



ПОСТОЯННЫЕ МАГНИТЫ

СПРАВОЧНИК

ПОСТОЯННЫЕ МАГНИТЫ

СПРАВОЧНИК

Под редакцией доктора техн. наук,
проф. Ю. М. Пятин

Издание второе, дополненное
и переработанное



МОСКВА • «ЭНЕРГИЯ» • 1980

ББК 31.235

П 63

УДК 621.318.2(03)

Авторы: *А. Б. Альтман, Э. Е. Верниковский,
А. Н. Герберг, П. А. Гладышев, Ю. А. Грацианов,
Е. Н. Зейн, Л. А. Кавалерова, Ю. М. Пятин,
Ю. С. Сакатунов, В. Г. Сергеев, А. Д. Скоков,
Р. Ю. Сухоруков, А. М. Чернявская*

П $\frac{30308-028}{051(01)-80}$ 119-80

2302020000

© Издательство «Энергия», 1980

ПРЕДИСЛОВИЕ

Справочник предназначен для инженерно-технических работников, занимающихся расчетом и конструированием магнитных систем с постоянными магнитами. Основное место отведено в нем методам инженерного проектирования магнитных систем, их конструктивному решению и свойствам магнитно-твердых материалов, выпускаемых отечественной и зарубежной промышленностью. В настоящее время конструирование постоянных магнитов невозможно без самого полного учета технологии изготовления изделий из магнитно-твердых материалов. Нередко форма магнита, найденная из условия получения требуемых параметров магнитного поля, оказывается практически неосуществимой из-за особенностей технологии изготовления магнита. Поэтому в справочнике большое место отведено также и технологии изготовления изделий из магнитно-твердых материалов.

За время, прошедшее с момента выхода первого издания справочника, техническая революция затронула и область постоянных магнитов: разработаны и начинают внедряться в производство новые магнитно-твердые материалы класса интерметаллических соединений редкоземельных элементов с кобальтом. Высокие значения коэрцитивной силы и удельной энергии этих материалов дают все основания ожидать, что их использование повлечет за собою переворот в приборостроении и производстве средств технической кибернетики и радиоэлектроники. Однако для этого необходимо отказаться от традиционных конструктивных решений магнитных систем и твердо проводить курс на их предельную миниатюризацию. За этот же период сильно увеличился объем производства ферритовых магнитов, нашедших широкое применение в магнитных муфтах, редукторах, опорах, фиксаторах и т. д.

В соответствии с указанными обстоятельствами в новом издании справочника существенно расширены гл. 2 и 3, в которые введены параграфы: «Оптимальная форма магнитов из редкоземельных материалов и ферритов», «Расчет тяговых усилий», «Расчет магнитов по методу эквивалентного соленоида», «Реализация требуемой характеристики распределения поля в рабочем зазоре» и ряд других. Существенной переработке подверглись также главы, посвященные технологии изготовления магнитов, так как за истекший период благодаря успехам металлургии появились новые прогрессивные магнитно-твердые материалы типа RCO_5 , сплавы системы $Fe-Cr-Co$ и одновременно устарели некоторые стали.

Материал справочника распределяется между авторами следующим образом: А. Б. Альтман и П. А. Гладышев — § 5-1—5-2; Э. Е. Верниковский — § 2-3; А. Н. Герберг — § 2-4, § 3-10; Ю. А. Грацианов и А. Д. Скоков — § 6-1, § 9-7; Е. Н. Зейн — § 3-11; Л. А. Кавалерова — § 1-11; § 6-1; И. В. Литвинова, С. И. Левченко

и В. Р. Краутман — § 7-1 — 7-6; Ю. М. Пятин — предисловие, введение, § 1-1 — 1-10, § 2-1 — 2-2, § 2-5 — 2-11, § 3-1 — 3-9; Ю. С. Сакатунов — § 4-1 — 4-4, § 8-1; А. Д. Скоков — § 6-2, 6-3, § 8-2, § 9-3, § 10-1; Р. Ю. Сухоруков — § 1-12 и § 8-3; А. М. Чернявская — § 9-1 — 9-2 и § 9-4 — 9-6; В. Г. Сергеев — § 10-2 — 10-5.

При подготовке нового издания были учтены все замечания читателей по первому изданию. Однако в связи с существенной переработкой материала в новом издании могут появиться другие недостатки. Все замечания и пожелания читателей авторы и издательство примут с благодарностью. Просьба направлять их по адресу: 113114, Москва, М-114, Шлюзовая наб., 10, издательство «Энергия».

Авторы

ВВЕДЕНИЕ

Основные этапы истории постоянных магнитов. Постоянные магниты служат человеку уже около трех тысяч лет. В Китае магниты делали из «волшебного камня» чу-ши, а в Европе, где магниты известны около тысячи лет, из «магнетос литос» (камня из Магнесии). Оба названия означают один и тот же минерал — магнетит (магнитный железняк) $\text{FeO} \cdot \text{Fe}_2\text{O}_3$. До конца XVIII в. магниты применяли в основном в компасах. Известно также их применение в качестве облицовки входа с целью обнаружения оружия, спрятанного входящим (подобно тому, как это делается в современных аэропортах посредством индуктивного контроля). Сначала использовали куски естественно намагниченного магнетита, а затем научились намагничивать стальные бруски, проводя по ним полюсом естественного магнита.

Начало изучения магнитных компасов положено Гильбертом, выпустившим в 1660 г. фундаментальный труд «О магните, магнитных телах в большом магните — Земле». Многие свойства компаса, например магнитное склонение, были известны и до Гильберта. Однако незнание принципа действия компаса иногда приводило к неправильному с ним обращению.

Изготовление сильных постоянных магнитов стало возможным после открытия Эрстедом явления электромагнетизма (1820 г.) и изготовления Стерджемом в 1825 г. первого электромагнита. Применение магнитов в измерительных приборах началось в 80-е годы XIX в. после изобретения гальванометра Дебре — д'Арсонваля. С начала XX в. и по настоящее время приборостроение является основным потребителем постоянных магнитов. Спрос на магниты породил интенсивные поиски подходящих материалов и разработку методов расчета постоянных магнитов.

Начало XX в. характеризуется применением для постоянных магнитов вольфрамовой, хромовой и кобальтовой сталей, обладающих высокими значениями остаточной индукции, но недостаточной коэрцитивной силой и, естественно, незначительной удельной энергией.

Тридцатые годы характеризуются разработкой сплавов альнико с высоким значением удельной энергии, так как они обладают большими значениями остаточной индукции и коэрцитивной силы. Появление этих сплавов расширило область применения магнитов, обеспечив их использование в поляризованных реле и других устройствах автоматики и связи. В настоящее время эти сплавы являются основными при производстве магнитов всех назначений.

Пятидесятые годы характеризуются разработкой магнитно-твердых ферритов, обладающих очень высоким значением коэрцитивной силы при низкой остаточной индукции и в силу этого значительно меньшей, чем у альнико, удельной энергией. Однако небольшая стоимость позволила широко применять ферритовые магниты в устрой-

ствах автотракторного электрооборудования, а высокая коэрцитивная сила — успешно использовать их в магнитной оптике радиоэлектронных устройств.

Параметры современных магнитов. Семидесятые годы характеризуются разработкой редкоземельных материалов на основе интерметаллических соединений редкоземельных металлов с кобальтом. Первое «поколение» этих магнитов со стехиометрией 1 : 5 представлено соединениями SmCo_5 и $(\text{Sm}, \text{Pr})\text{Co}_5$, обладающими очень высокими значениями коэрцитивной силы и умеренным значением остаточной индукции. Удельная энергия этих магнитов приблизительно в 2 раза выше, чем у альнико. Второе «поколение» со стехиометрией 2 : 17, представленное соединениями $\text{Sm}_2(\text{Co}, \text{Fe})_{17}$ и $\text{Pr}_2(\text{Co}, \text{Fe})_{17}$, еще проходит стадию лабораторных исследований. По данным Стрната [1], теоретические значения удельной энергии и значения, достигнутые на лучших лабораторных образцах ферритов, альнико и SmCo_5 , составляют в килоджоулях на кубический метр:

	Ферриты	Альнико	SmCo_5
Теоретические значения . .	24	176	112
Достигнутые значения . .	16	54	96

Эти соотношения представлены на рис. В-1, а, из которого следует, что у ферритов и SmCo_5 реализованные значения удельной энергии близки к их теоретическому пределу, а теоретический пре-

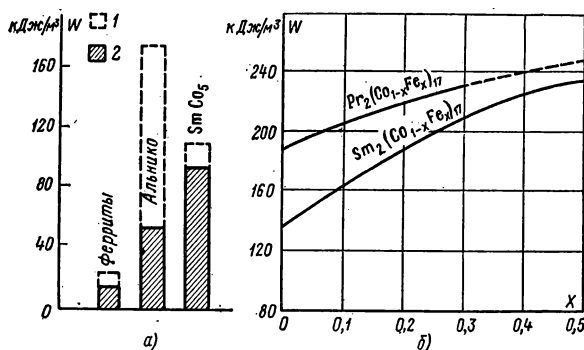


Рис. В-1 Сравнение теоретических значений магнитной энергии сплавов R_2Co_{17} и энергии других магнитных материалов.

а — для ферритов, альнико, SmCo_5 ; б — сплава класса $\text{R}_2(\text{Co}, \text{Fe})_{17}$, где R — редкоземельный элемент; 1 — потенциально-возможные значения; 2 — лучшие достигнутые значения.

дел у альнико существенно выше, чем у SmCo_5 . Однако в отношении альнико теоретический предел удельной энергии, приводимый Стрнатом, справедлив только для изолированных однодоменных частиц, а для сплава не может быть достигнут даже в принципе, ибо сплавы

альники представляют собой композиции из однодоменных частиц, заключенных в немагнитную матрицу. В любых композиционных материалах мы имеем дело с кажущимися значениями индукции и коэрцитивной силы, а не их действительными значениями для ферромагнитного компонента. При малой плотности упаковки, т. е. малом числе однодоменных частиц в единице объема, кажущееся значение индукции получается малым, а при большой плотности упаковки вследствие эффекта близости уменьшается кажущееся значение коэрцитивной силы. Поэтому существенный прогресс в улучшении магнитных свойств материалов типа альники и всех других аналогичных композиционных материалов маловероятен. По поводу редкоземельных материалов второго поколения Стрнат утверждает, что «без сомнения можно разработать магниты со значениями коэрцитивной силы 240—800 кА (3—10 кЭ) и энергетическим произведением до 480 кА·Тл/м (60 МГс·Э), превосходящие по свойствам магниты из SmCo_5 . Эти сплавы менее дороги, чем SmCo_5 , но создают больший магнитный поток, имеют более высокие значения точек Кюри и лучшие значения температурного коэффициента индукции, большую стабильность в условиях окружающей среды и лучшую механическую прочность... В лабораторных условиях были достигнуты значения энергетического произведения 176—240 кА·Тл/м (22—30 МГс·Э) при значениях коэрцитивной силы свыше 800—480 кА/м (10 и 6 кЭ) соответственно». Зависимость теоретического значения удельной энергии от состава редкоземельных материалов второго поколения представлена на рис. В-1, б, из которого следует, что оба соединения практически равноценны, так как максимальная удельная энергия у $\text{Pr}_2(\text{Co}, \text{Fe})_{17}$ всего на 5% выше, чем у $\text{Sm}_2(\text{Co}, \text{Fe})_{17}$. Приводимые Стрнатом ожидаемые рекордные значения энергетического произведения относятся к материалам с высоким значением температуры Кюри. У материалов с очень низким значением этой температуры энергетическое произведение может быть значительно выше. В настоящее время наибольшим реально достигнутым значением энергетического произведения обладает согласно [12] соединение $(\text{Tb}_{0,8}, \text{Gd}_{0,2})_3\text{Co}$, имеющее в гелиевом диапазоне температур $(BH)_{\max} = 816 \text{ кА} \cdot \text{Тл/м}$. Это на 70% выше ожидаемого для $\text{Sm}_2(\text{Co}_{0,5}, \text{Fe}_{0,5})_{17}$ при нормальной температуре.

В условиях сверхнизких температур обычно применяют сверхпроводниковые магниты, выполненные в виде тонкостенной трубки. Максимум энергетического произведения определяется здесь значением критической индукции $B_{\text{кр}}$, превышение которого ведет к потере сверхпроводимости. Согласно [13] наибольшим значением критической индукции $B_{\text{кр}} = 40 \text{ Тл}$ обладает соединение $\text{Nb}_3\text{Al}_{0,8}\text{Ge}_{0,4}$. Сверхпроводниковый магнит, выполненный из этого материала, имеет $H_{\text{см}} = \infty$, $H_{\text{св}} = B_r/\mu_0$, $B_r = B_{\text{кр}} = 40 \text{ Тл}$, $B_d = B_r/2 = 20 \text{ Тл}$, $H_d = H_{\text{св}}/2 = 0,5 B_{\text{кр}}/\mu_0 = 1,6 \cdot 10^7 \text{ А/м}$. Отсюда $(BH)_{\max} = B_d H_d = 320 \text{ МА} \times \times \text{Тл/м}$. Это в 400 раз больше, чем у магнита из $(\text{Tb}_{0,8}, \text{Gd}_{0,2})_3\text{Co}$, работающего при той же температуре.

Сверхпроводниковый магнит отличается от обычных магнитов только тем, что у него для использования доступно также и внутреннее поле, занятое в обычных магнитах веществом. Индукция $B_{\text{вн}}$ и напряженность $H_{\text{вн}}$ поля внутри длинной сверхпроводящей трубки определяются выражениями $B_{\text{вн}} = B_{\text{кр}}$, $H_{\text{вн}} = B_{\text{кр}}/\mu_0$. Поэтому у

сверхпроводникового магнита выгоднее использовать внутреннее поле, энергетическое произведение которого $B_{вн}H_{вн} = B_{кр}^2/\mu_0 = 4(BH)_{max}$ в 4 раза выше, чем у наружного поля.

Основная литература по расчету постоянных магнитов. Вопросам проектирования магнитных систем с постоянными магнитами посвящена весьма обширная литература. Первым обстоятельным исследованием была работа Эвершеда [2]. Инженерные методы расчета были предложены Пику [3], но основоположником теории магнитных процессов в металлах является В. К. Аркадьев [4]. Дальнейшая разработка методов проектирования постоянных магнитов велась многими авторами. В 1940 г. Н. Н. Разумовский [5] предложил «производную» кривую размагничивания для расчета магнитов, проектируемых с учетом искусственного старения путем размагничивания. Ундерхилл [6] дал в 1944 г. номограммы для учета рассеяния магнитного потока. А. М. Сенкевич [7] дал в 1946 г. сводку расчетных формул для определения проводимости воздушных участков путей магнитного потока. Ротерс [8] предложил в 1949 г. упрощенный метод расчета проводимостей воздушных путей магнитного потока, А. Г. Сливинская и А. В. Гордон [9] дали в 1965 г. методику определения оптимального соотношения параметров магнита. Р. Р. Арнольд [10] предложил в 1969 г. новый упрощенный метод расчета и проектирования разных типов систем с постоянными магнитами из различных материалов. В. В. Коген-Далин и Е. В. Комаров [11] в 1977 г. систематизировали методы электрического моделирования и численных расчетов магнитных систем с помощью ЭВМ.

Новые направления в конструировании устройств с постоянными магнитами. Появление редкоземельных магнитных материалов (РЗМ), имеющих малый объем, приходящийся на единицу энергии, высокое значение коэрцитивной силы по намагниченности и устойчивых к воздействию размагничивающих полей, ставит перед конструктором три основные задачи:

1) Радикально изменить традиционные конструкции магнитных систем с учетом того, что оптимальная длина магнита из РЗМ соизмерима с длиной рабочего зазора, а магнит, часто имеющий форму толстой пленки, необходимо располагать в непосредственной близости к рабочему зазору.

2) Эффективно использовать силы отталкивания магнитов в механических устройствах: опорах, муфтах, редукторах, передаточных механизмах и т. п.

3) Применять «безжелезные» якоря в быстроходных электрических машинах с целью устранения дестабилизирующих усилий от одностороннего притяжения железа якоря к железу статора, вредно отражающихся на работе опор.

В настоящее время магниты из РЗМ в основном применяются в космической и авиационной технике. В других областях техники их широкому применению пока препятствует довольно высокая стоимость. Имеются сообщения о разработке для космических объектов аккумулятора кинетической энергии на магнитных подшипниках, энергоемкость которого выше, чем у химических аккумуляторов той же массы [14], моментного кольца [15] и моментного двигателя [16] для стабилизации спутников по трем осям, прецизионного акселерометра [17] для космических кораблей, миниатюрной магнитной си-

стемы для фильтров сверхвысокой частоты [18], быстроходных магнитных подшипников [19] для устройств, длительно работающих в вакууме, турбомолекулярных насосов, лазерных сканирующих устройств, центрифуг и других быстроходных устройств.

В авиации магниты и РЗМ применяются в генераторах и исполнительных двигателях. Известна разработка быстроходного генератора на 200 кВ·А [20] и приводных микродвигателей [21].

Для нужд электротехнической промышленности предложен многофункциональный датчик скорости [22], предназначенный для крупных двигателей постоянного тока и систем регулирования. Для швейной промышленности предложены многороторные двигатели с общим статором [23] и «вобуляторы» — магнитные преобразователи вращательного движения в поступательно-возвратное.

Динамика цен на редкоземельные материалы и магниты. Началом промышленного производства магнитов из РМЗ следует считать 1973 г. Этому предшествовало резкое снижение цен на РЗМ благодаря открытию метода прямого восстановления SmCo_5 из окислов. В дальнейшем снижение стоимости происходило за счет введения новых мощностей и снижения цен на сырье. Согласно [24] современные цены мирового рынка на магниты из РЗМ в 4—10 раз выше цен на магниты из альнико разных марок, и ожидается, что стоимость сырьевых материалов для РЗМ в ближайшие годы снизится на 50%.

В настоящее время стоимость единицы магнитной энергии у альнико и РЗМ практически одинакова, но применение РЗМ приводит к компактности и миниатюрности изделий. Поэтому в общем случае применение изделий с магнитами из РЗМ следует считать целесообразным и экономически обоснованным.

ГЛАВА ПЕРВАЯ

ОСНОВНЫЕ ХАРАКТЕРИСТИКИ МАГНИТНО-ТВЕРДЫХ МАТЕРИАЛОВ

1-1. ОСНОВНЫЕ ВЕЛИЧИНЫ, ЕДИНИЦЫ И УРАВНЕНИЯ МАГНЕТИЗМА

Магнитное поле — одна из двух сторон электромагнитного поля, обусловленная движущимися заряженными частицами и изменением электрического поля, оказывающая силовое воздействие на движущиеся заряженные частицы и выявляемая по силовому воздействию, направленному нормально к направлению движения этих частиц и пропорциональному их скорости.

Магнитная индукция \mathbf{B} — векторная величина, характеризующая магнитное поле и определяющая силу, действующую на движущуюся заряженную частицу со стороны магнитного поля. Магнитная индукция численно равна отношению силы, действующей на заряженную частицу, к произведению заряда и скорости частицы, если направление скорости таково, что эта сила максимальна и имеет направление, перпендикулярное к векторам силы и скорости, совпадающее с поступательным перемещением правого винта при вращении его от направления силы к направлению скорости частицы с положительным зарядом.

Магнитный поток Φ — поток вектора магнитной индукции сквозь некоторую поверхность S .

Магнитный диполь — любой элементарный объект, создающий на больших по сравнению с его размерами расстояниях магнитное поле, идентичное магнитному полю элементарного электрического тока.

Магнитный момент магнитного диполя \mathbf{P} — векторная величина для магнитного диполя, ассоциируемого с элементарным электрическим током, равная произведению этого тока на поверхность, охватываемую контуром тока, ее направление нормально плоскости контура и такое, что для смотрящего в этом направлении ток протекает по направлению вращения стрелки часов.

Магнитный момент тела — векторная величина, равная геометрической сумме магнитных диполей в данном теле.

Намагниченность \mathbf{M} — векторная величина, характеризующая магнитное состояние вещества, равная пределу отношения магнитного момента элемента объема вещества к этому элементу объема, когда последний стремится к нулю.

Магнитная постоянная μ_0 — коэффициент пропорциональности между \mathbf{B} и \mathbf{H} в вакууме, равный в системе СИ $4\pi \times 10^{-7}$ Гн/м.

Таблица 1-1

Основные величины, единицы и уравнения магнетизма

Наименование величины	Обозначение величины	Определяющее уравнение (для равномерного поля)	Наименование и обозначение единицы измерения	Примечание
Магнитное потокосцепление	Ψ	$\Psi = \omega \Phi$	Вебер, Вб	1 Вб = 1 Гн·А = 1 В·с
Магнитный поток	Φ	$\Phi_M = BS$ $\Phi_C = IL$		
Магнитодвижущая сила	F	$F = I\omega$	Ампер, А	
Напряженность магнитного поля	H	$H = \frac{B}{\mu_0 \mu_r}$	Ампер на метр, А/м	
Намагниченность	M	$M_M = P_M/V_M$ $M_C = I\omega_C/l_C$	Ампер на метр, А/м	
Магнитный момент	P	$P_M = M_M V_M$ $P_C = I\omega_C S = M_C V_C$ $P_D = q_M l$	Ампер-квадратный метр, А·м ²	1 А·м ² = 1 Н·м/Тл
Магнитный заряд диполя	q_D	$q_D = P_D/l$	Ампер-метр, А·м	

Продолжение табл. 1-1

Наименование величины		Обозначение величины	Определяющее уравнение (для равномерного поля)	Наименование и обозначение единицы измерения	Примечание
Вращающий момент в поле с индукцией B	магнита	$M_{вр}$	$M_{врм} = P_m B \sin \alpha$	Ньютон-метр, Н·м	$1 \text{ Н} \cdot \text{м} = 1 \text{ Дж} = 1 \text{ Вт} \cdot \text{с} = 1 \text{ А} \cdot \text{В} \cdot \text{с} = 1 \text{ Вб} \cdot \text{А}$ $1 \text{ Н} = \text{Тл} \cdot \text{А} \cdot \text{м}$
	соленоида		$M_{врс} = P_c B \sin \alpha$		
	диполя		$M_{врл} = P_d B \sin \alpha$		
Магнитная индукция		B	$B = \mu_0 (H + M)$	Тесла, Тл	$1 \text{ Тл} = 1 \text{ Вб/м}^2 = 1 \text{ Гн} \cdot \text{А/м}^2 = 1 \text{ В} \cdot \text{с/м}^2$
Внутренняя индукция		B_i	$B_i = \mu_0 M$	Тесла, Тл	$1 \text{ Гн} = 1 \text{ Ом} \cdot \text{Кл/А} = 1 \text{ Ом} \cdot \text{с} = 1 \text{ В} \cdot \text{с/А} = 1 \text{ Вб/А}$
Индуктивность		L	$L = \Phi/I$	Генри, Гн	
Магнитная проводимость		Λ	$\Lambda = \mu_a S/l$		
Магнитная проницаемость (абсолютная)		μ_a	$\mu_a = B/H = \mu_0 \mu_r$	Генри на метр, Гн/м	$1 \text{ Гн/м} = 1 \text{ Тл} \cdot \text{м/А}$
Магнитная постоянная		μ_0	$\mu_0 = 4\pi \cdot 10^{-7}$		
Магнитная восприимчивость		χ	$\chi = M/H = \mu_r - 1$	—	
Удельная магнитная энергия		W	$W = BH/2$	Джоуль на кубический метр, Дж/м ³	$1 \text{ Дж} = 1 \text{ Вт} \cdot \text{с} = 1 \text{ А} \cdot \text{В}$ $\times \text{В} \cdot \text{с} = 1 \text{ А} \cdot \text{Вб}$
Энергетическое произведение		$B \cdot H$	$BH = 2W$	Тесла-ампер на метр, Тл·А/м	$1 \text{ Дж/м}^3 = 1 \text{ Тл} \cdot \text{А/м}$

Продолжение табл. 1-1

Перевод единиц системы СГСМ в единицы СИ

Величина	Наименование	Обозначение	Единицы				Перевод в единицы СИ
			Система СГСМ	Обозначение единицы	СИ	Обозначение единицы	
			Наименование		Наименование		
Магнитный поток		Φ	Максвелл	Мкс	Вебер	Вб	$1 \cdot 10^{-8}$ Вб
Магнитодвижущая сила		F	Гильберт	Гб	Ампер	А	$10/4\pi$ А
Напряженность магнитного поля		H	Эрстед	Э	Ампер на метр	А/м	$1000 \frac{\text{А/м}}{4\pi}$
Намагниченность		M	Единица СГСМ	—	Ампер на метр	А/м	1000 А/м
Магнитный момент		P_m	Единица СГСМ	—	Ампер-квадратный метр	$\text{А} \cdot \text{м}^2$	$10^{-3} \text{ А} \cdot \text{м}^2$
Магнитный заряд		q_m	Единица СГСМ	—	Ампер-метр	А·м	$10^{-1} \text{ А} \cdot \text{м}$
Магнитная индукция		B	Гаусс	Гс	Тесла	Тл	$1 \cdot 10^{-4}$ Тл
Индуктивность		L	Сантиметр	см	Генри	Гн	$1 \cdot 10^{-9}$ Гн
Магнитная проводимость		Λ	Единица СГСМ	—	Генри	Гн	$4\pi \cdot 10^{-9}$ Гн
Магнитная проницаемость абсолютная		μ_a	Единица СГСМ	—	Генри на метр	Гн/м	$4\pi \cdot 10^{-7}$ Гн/м

Продолжение табл. 1-1

Величина		Единицы					Перевод в единицы СИ
Наименование	Обозначение	Система СГСМ	Обозначение единицы	СИ	Обозначение единицы		
		Наименование		Наименование			
Удельная магнитная энергия	$W_{уд}$	Эрг на кубический сантиметр	$\frac{\text{эрг}}{\text{см}^3}$	Джоуль на кубический метр	Дж/м^3	$0,1 \text{ Дж/м}^3$	
Энергетическое произведение	BH	Гаусс-эрстед	$\text{Гс} \cdot \text{э}$	Тесла-ампер на метр	$\text{Тл} \cdot \text{А/м}$	$(40\pi)^{-1} \text{ Тл} \cdot \text{А/м}$	
Мощность	P	Эрг в секунду	$\frac{\text{эрг}}{\text{с}}$	Ватт	Вт	$1 \cdot 10^{-7} \text{ Вт}$	
Сила электрического тока	I	Единица СГСМ	—	Ампер	А	10 А	
Электрический заряд	Q	Единица СГСМ	—	Кулон	Кл	10 Кл	
Электродвижущая сила	E	Единица СГСМ	—	Вольт	В	$1 \cdot 10^{-8} \text{ В}$	
Сила	R	Дина	дин	Ньютон	Н	$1 \cdot 10^{-5} \text{ Н}$	
Момент силы (вращающий момент)	$M_{вр}$	Дина-сантиметр	дин·см	Ньютон-метр	Н·м	$1 \cdot 10^{-7} \text{ Н} \cdot \text{м}$	
Магнитная восприимчивость	κ	Единица СГСМ	—	—	—	4π	

Примечание. В таблице приняты следующие обозначения: l — длина, S — площадь поперечного сечения, V — объем, w — число витков. Под соленоидом понимается односторонняя обмотка, толщина которой пренебрежимо мала по сравнению с остальными размерами. Линейная плотность тока Iw/l условно названа здесь намагнитичностью соленоида M_c (по аналогии с намагнитичностью M_m постоянного магнита), так как в расчетных формулах M_c и M_m играют одинаковую роль.

Индукция намагниченности \mathbf{B}_m — векторная величина, равная по модулю произведению магнитной постоянной на намагниченность и совпадающая по направлению с направлением вектора намагниченности.

Напряженность магнитного поля \mathbf{H} — векторная величина, равная геометрической разности магнитной индукции, деленной на магнитную постоянную, и намагниченности.

Магнитная восприимчивость χ — величина, характеризующая свойство вещества намагничиваться в магнитном поле, скалярная для изотропного вещества, равная отношению модуля намагниченности к модулю напряженности магнитного поля и тензорная для анизотропного вещества.

Абсолютная магнитная проницаемость μ_a — величина, характеризующая магнитные свойства вещества, скалярная для изотропного вещества, равная отношению модуля магнитной индукции к модулю напряженности магнитного поля, и тензорная для анизотропного вещества.

Относительная магнитная проницаемость μ_r — отношение абсолютной магнитной проницаемости к магнитной постоянной.

Магнитное сопротивление R_m — скалярная величина, равная отношению разности магнитных потенциалов на рассматриваемом участке магнитной цепи к магнитному потоку в этом участке.

Магнитная проводимость Λ — скалярная величина, равная отношению магнитного потока в рассматриваемом участке магнитной цепи к разности магнитных потенциалов на этом участке.

Удельная энергия (плотность) магнитного поля W — величина, равная половине скалярного произведения вектора магнитной индукции на вектор напряженности магнитного поля в какой-либо точке поля.

Энергетическое произведение BH — величина, равная скалярному произведению вектора магнитной индукции на вектор напряженности магнитного поля в какой-либо точке поля. Измеряется в теслах-ампер на метр.

Основные величины, единицы их измерения и уравнения магнетизма приведены в табл. 1-1.

1-2. ВИДЫ МАГНЕТИЗМА

Строгое изложение теории магнитных свойств вещества возможно лишь в рамках квантовой механики. В технической литературе при изложении теории магнетизма ограничиваются качественным описанием явлений.

Магнитные свойства веществ в общем случае определяются совокупностью ряда физических явлений:

движением электронов по орбитам вокруг ядра — при этом создается орбитальный магнитный момент;

свойствами электронов, которые связаны с созданием спинового магнитного момента;

строением электронных оболочек атома;

электростатическим взаимодействием между электронными обо-

лочками соседних атомов с некомпенсированными спинами (обменное взаимодействие);

энергетическими соотношениями в веществе, что связано с созданием замкнутых макроскопических областей, называемых доменами.

Количественную оценку магнитных свойств вещества принято давать по его магнитной восприимчивости $\chi = M/H$, где M — намагниченность вещества, H — напряженность внешнего магнитного поля.

В зависимости от магнитного состояния вещества разделяют на диамагнетики, парамагнетики, ферромагнетики, антиферромагнетики и ферримагнетики.

Диамагнетики — вещества, атомы, ионы или молекулы которых не имеют результирующего магнитного момента при отсутствии внешнего поля. Во внешнем магнитном поле они намагничиваются противоположно приложенному полю, т. е. имеют отрицательную магнитную восприимчивость ($\chi < 0$).

Отрицательная восприимчивость есть следствие прецессии орбит электронов вокруг направления внешнего поля (прецессия Лармора).

Диамагнитные тела выталкиваются из неравномерного поля, а в равномерном стремятся расположиться перпендикулярно направлению поля. Диамагнетизм присущ всем без исключения веществам в твердом, жидком и газообразном состоянии, но проявляется слабо и часто подавляется другими эффектами.

В диамагнитных кристаллах наблюдается анизотропия восприимчивости. Наибольшей диамагнитной восприимчивостью обладают сурьма ($-110 \cdot 10^{-6}$), висмут ($-176 \cdot 10^{-6}$) и монокристалл графита ($-570 \cdot 10^{-6}$). Магнитная восприимчивость искусственных материалов составляет у поликристаллического спеченного углерода -190×10^{-6} , а у пиролизического углерода $-600 \cdot 10^{-6}$. Монокристалл графита и пиролизический углерод обладают сильной анизотропией восприимчивости. Поликристаллический и пиролизический углерод применяют в совершенных магнитных опорах (опорах без трения).

Парамагнетики — вещества, атомы, ионы или молекулы которых имеют результирующий магнитный момент при отсутствии внешнего магнитного поля. Во внешнем магнитном поле они намагничиваются согласованно с внешним полем, т. е. имеют положительную магнитную восприимчивость ($\chi > 0$). Парамагнитный эффект присущ веществам с некомпенсированным магнитным моментом атомов при отсутствии порядка в ориентировании этих моментов. Поэтому когда нет внешнего магнитного поля, атомные магнитные моменты располагаются хаотически и намагниченность парамагнитного вещества равна нулю. При воздействии внешнего поля атомные магнитные моменты получают преимущественно ориентировку в направлении этого поля и у парамагнитного вещества проявляется намагниченность.

Парамагнитное тело втягивается в неравномерное магнитное поле, а в равномерном стремится расположиться вдоль магнитного поля. Парамагнетизм проявляется у веществ в твердом, жидком и газообразном состоянии.

Магнитная восприимчивость парамагнетиков существенно зависит от температуры, так как тепловое движение атомов нарушает

ориентировку их магнитных моментов. При комнатных температурах $\chi = 10^{-2} \div 10^{-5}$ и для намагничивания парамагнетиков до насыщения требуются напряженности магнитного поля 10^8 кА/м, совершенно недостижимые на практике. Насыщение парамагнетиков в полях умеренной напряженности (порядка нескольких сотен килоампер на метр) достижимо лишь при очень низких температурах (около 1 К). Например, сернокислая соль гадолиния $Gd_2(SO_4)_3 \cdot 8A_2O$ при 1 К насыщается в поле 240 кА/м. Причем намагниченность насыщения достигает приблизительно такого же значения, как и у железа. Парамагнетики с низкими полями насыщения нашли практическое применение для получения сверхнизких температур в установках адиабатического размагничивания. Обычно для этих целей применяют тутоновские соли типа $Mn(NH_4)_2SO_4 \cdot 6H_2O$, квасцы $Fe_2(NH_4)_2(SO_4)_4 \cdot X \cdot 24H_2O$, соли редкоземельных металлов, некоторые органические вещества. Адиабатическое размагничивание в настоящее время является единственным способом получения температур ниже 0,3 К.

Среди газов наибольшей парамагнитной восприимчивостью обладает кислород. Это свойство кислорода используют в газоанализаторах для определения содержания кислорода в газовых смесях.

Ферромагнетики — кристаллические вещества¹, в которых магнитные моменты атомов или ионов находятся в состоянии самопроизвольного магнитного упорядочения, причем результирующие магнитные моменты каждого из доменов² отличны от нуля. Упорядочение называется коллинеарным (рис. 1-1, а), если векторы магнитных моментов соседних атомов параллельны, и геликоидальным (рис. 1-1, б), если они расположены спирально.

При воздействии внешнего поля магнитные моменты доменов приобретают преимущественную ориентировку в направлении этого поля и ферромагнитное вещество намагничивается.

Ферромагнитные вещества характеризуются кристаллической структурой, большим значением магнитной восприимчивости ($\chi \gg 1$), а также нелинейной ее зависимостью от напряженности поля и температуры, способностью намагничиваться до насыщения при обычных температурах даже в слабых полях, гистерезисом — зависимостью магнитных свойств от предшествующего магнитного состояния, точкой Кюри, т. е. температурой, выше которой материал теряет ферромагнитные свойства.

К ферромагнитным веществам относятся Fe, Ni, Co, их соединения и сплавы, а также некоторые сплавы Mn, Ag, Al.

Антиферромагнетики — кристаллические вещества, в которых магнитные моменты атомов или ионов находятся в состоянии самопроизвольного магнитного упорядочения, причем результирующие магнитные моменты каждого из доменов равны нулю.

Упорядочение у антиферромагнетиков бывает коллинеарным (антипараллельным) (рис. 1-1, в), геликоидальным (рис. 1-1, г) или циклоидальным (рис. 1-1, д).

¹ В настоящее время известны аморфные ферромагнетики, не обладающие кристаллической структурой.

² Доменом называется область в магнитном материале или антиферромагнетике, имеющая пространственно однородное упорядочение магнитных моментов атомов или ионов.

При воздействии внешнего магнитного поля магнитные моменты атомов приобретают преимущественную ориентировку вдоль внешнего поля и антиферромагнитное вещество намагничивается.

Антиферромагнитные вещества характеризуются кристаллическим строением, небольшим коэффициентом магнитной восприимчивости ($\chi \approx 10^{-3} \div 10^{-5}$), постоянством χ в слабых полях и сложной зависимостью от H в сильных полях, специфической зависимостью от температуры, температурой, выше которой вещество переходит в парамагнитное состояние (точка Нееля).

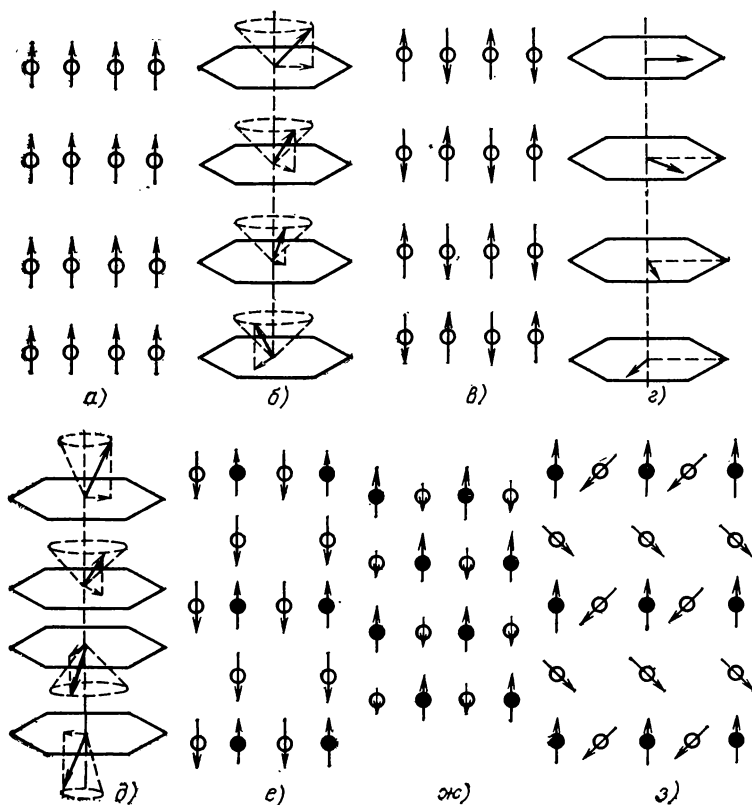


Рис. 1-1. Расположение магнитных моментов атомов.

a, б — коллинейрное и геликоидальное у ферромагнетиков; *в-г* — соответственно коллинейрное, геликоидальное и циклоидальное у антиферромагнетиков; *е-з* — с неодинаковым числом узлов, с неодинаковыми магнитными моментами, треугольное у ферримангнетиков.

● — подрешетка *A*; ○ — подрешетка *B*.

К антиферромагнетикам относятся чистые металлы: хром, α -марганец; редкоземельные металлы цериевой подгруппы: церий, неодим, празеодим, самарий и европий. Редкоземельные металлы диспрозий, гольмий и эрбий в зависимости от температуры могут быть антиферромагнетиками или ферромагнетиками. При воздействии на эти металлы, находящиеся в антиферромагнитном состоянии, внешнего магнитного поля, превышающего критическое, происходит переход антиферромагнитного порядка в ферромагнитный, сопровождающийся скачкообразным появлением индукции намагниченности $\mu_0 M \approx 2T_l$. Аналогичные превращения можно наблюдать у тулия и тербия.

Ферримагнетики — кристаллические вещества, магнитную структуру которых можно представить в виде двух или более подрешеток, магнитные моменты атомов или ионов которых находятся в состоянии самопроизвольного магнитного упорядочения, причем результирующие магнитные моменты каждого из доменов отличны от нуля.

Ферримагнитные вещества характеризуются кристаллическим строением, значительным, но меньшим, чем у ферромагнитных веществ, коэффициентом магнитной восприимчивости, такой же, как у ферромагнитных веществ, зависимостью намагниченности от напряженности магнитного поля, точкой Нееля и целым рядом других специфических свойств.

К ферримагнетикам относятся ферриты, манганиты, хромиты и другие соединения. Ферритами называются двойные оксиды типа $MeO \cdot Fe_2O_3$, где Me — металл (Ni , Mn , Ba , Co , Sr), а Fe_2O_3 — окись железа. Принято различать однокомпонентные и смешанные ферриты. Последние представляют твердые растворы однокомпонентных ферритов. Ферриты могут быть магнитно-мягкими ($MnO \cdot Fe_2O_3$ и др.), магнитно-твердыми ($BaO \cdot 6Fe_2O_3$ и др.) и немагнитными ($GdO \cdot Fe_2O_3$ и др.). В электрическом отношении ферриты принадлежат к классу полупроводников ($\rho = 1 \div 10^4$ Ом·м). Кристаллические решетки ферритов относятся к типу шпинели, граната, магнетоплумбита и др. У однокомпонентных ферритов кристаллическая решетка состоит из атомов, образующих две подрешетки, причем ближайшие соседи атома в подрешетке A принадлежат к подрешетке B . Если числа узлов в подрешетке A и B неодинаковы (рис. 1-1, e) или неодинаковы нескомпенсированные магнитные моменты атомов (рис. 1-1, $ж$), то самопроизвольная намагниченность подрешетки A оказывается отличной от самопроизвольной намагниченности подрешетки B и феррит магнитен. Возможен также и так называемый «треугольный» тип (рис. 1-1, $з$) и другие типы атомного магнитного порядка, когда нескомпенсированные магнитные моменты атомов одной из подрешеток направлены неколлинеарно к магнитным моментам атомов другой подрешетки. Ферримагнетизм может наблюдаться и у элементов, например тулия.

Ферромагнетизм, антиферромагнетизм и ферримагнетизм могут проявляться только в веществах, находящихся в твердом состоянии в объемах с линейными размерами не менее, чем несколько десятков и даже сотен элементарных ячеек. В настоящее время нет строгой количественной теории магнетизма, но вполне определенно установлено, что причины возникновения порядка в расположении атомных магнитных моментов связаны с особенностями электронной структу-

ры кристаллов, построенных с участием элементов переходных групп периодической таблицы Менделеева. Природа сил, ориентирующая магнитные моменты атомов и удерживающая их в этом положении, несмотря на расстраивающее воздействие теплового движения, имеет электростатическое происхождение. Это так называемое обменное взаимодействие, возникающее в результате обмена электронами между соседними атомами. При этом электрон данного атома может временно находиться вблизи ядра соседнего атома.

Ферромагнитные свойства у вещества возможны лишь при достаточно большом значении обменного взаимодействия, что харак-

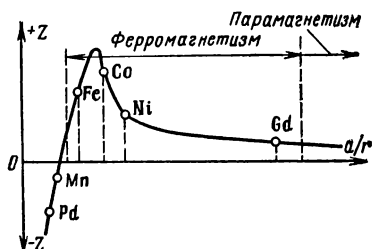


Рис. 1-2. Зависимость интеграла обменной энергии от отношения межатомного расстояния a к радиусу r незаполненной электронной подболочки.

терно для кристаллов железа, кобальта, никеля и некоторых других. Зависимость (качественная) интеграла обменной энергии от расстояния между атомами кристаллов изображена на рис. 1-2.

Необходимое значение обменного взаимодействия ферромагнетики имеют лишь в твердом состоянии. Этим объясняется отсутствие в природе жидких¹ и газообразных ферромагнетиков. Ферромагнетизм сплавов, целиком состоящих из «парамагнитных» компонентов, объясняется тем, что в этих сплавах, основой которых обычно является марганец или хром, введение в решетку мар-

ганца атомов висмута, сурьмы, серы и др., а в решетку хрома атомов серы и теллура изменяет электронную структуру кристаллов, чем создаются условия для возникновения магнетизма.

Из принципа Паули следует, что состояние системы взаимодействующих электронов оказывается (при соблюдении определенных условий) энергетически выгодным, если магнитные моменты атомов ориентированы одинаково. Но одинаковая ориентация магнитных моментов означает возникновение магнитного момента вещества, т. е. его намагничивание.

Кроме того энергетически более выгодным является разделение всего объема кристалла на замкнутые области — домены, каждая из которых имеет определенный магнитный момент. В целом кристалл не намагничен, так как магнитные моменты доменов ориентированы в пространстве равновероятно. При доменной структуре кристалла сумма всех видов энергии тела (обменной, кристаллографической магнитной анизотропии, магнитно-стрикционной деформации, магнитоупругой, магнитоэстетической, магнитной), как показывает теория, минимальна. Между соседними доменами возникают граничные

¹ Применяемые в технике «магнитные жидкости» представляют собой взвесь твердых ферромагнитных частиц в вязкой жидкости.

слои (стенки Блоха), внутри которых происходит плавный поворот векторов намагниченности (рис. 1-3).

Обычно домены имеют правильную форму с прямолинейными границами, параллельными главным кристаллографическим направлениям (рис. 1-4). Зависимость толщины доменной стенки от магнитной анизотропии доказана экспериментально. Для железа граница между антипараллельными доменами имеет толщину $13 \cdot 10^{-8}$ м, т. е. около 500 элементарных ячеек. У кобальта энергия магнитной анизотропии на порядок больше, чем у железа, соответственно толщина стенки меньше — 100 элементарных ячеек. В материалах, магнитная анизотропия которых крайне мала, толщина стенок может

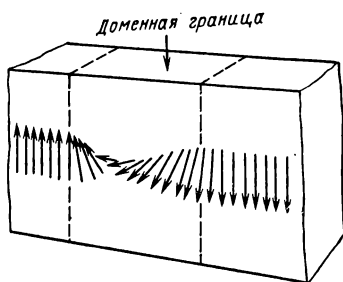


Рис. 1-3. Схема поворота векторов намагниченности в стенке Блоха.

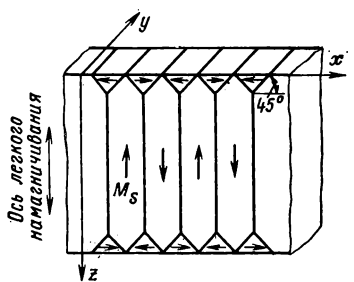


Рис. 1-4. Структура плоскопараллельных доменов в магнитном кристалле.

быть на несколько порядков больше и достигать десятков и сотен тысяч элементарных ячеек. В этом случае домены имеют неправильную конфигурацию, определяющуюся случайным характером внутренних напряжений. Такую доменную структуру имеют высококичелевые пермаллои. Криволинейные доменные границы могут наблюдаться и в кристаллах с большой магнитной анизотропией, но на таких плоскостях среза, в которых энергия магнитной анизотропии вдоль разных направлений не будет сильно отличаться, например в плоскости базиса гексагональных кристаллов кобальта или соединения SmCO_5 .

Если толщина границы зависит главным образом от соотношения энергий: обменной, магнитной анизотропии и магнитоупругой, то размеры самих доменов связаны не только со значением этих видов энергий, но и с поверхностной энергией, энергией, зависящей от наличия и распределения в образце неоднородностей: неметаллических включений, границ зерен, скоплений дислокаций и т. д. Стремление к уменьшению поверхностной энергии, а тем самым к уменьшению потоков рассеяния приводит к дроблению доменов и образованию замыкающих доменов как на внешних поверхностях кристаллов, так и на внутренних, вокруг пустот, неметаллических включений и т. д.

Поэтому практически объем доменов может колебаться даже для одного материала в очень широких пределах, от 10^{-1} до 10^{-6} см³.

При повышении температуры ориентация магнитных моментов атомов внутри домена постепенно расстраивается, что приводит к соответственному уменьшению намагниченности насыщения M_s . Условие $M_s=0$ определяет температуру Кюри для ферромагнетиков или температуру Нееля для ферримангнетиков. Температуры Кюри и Нееля можно рассматривать как меру обменной силы. Температуры Кюри и Нееля всегда значительно ниже температуры плавления вещества.

Зависимость намагниченности насыщения ферромагнетиков от температуры, выраженная в относительных единицах, показана на рис. 1-5 (по оси ординат отложено отношение M_s при данной температуре T к M_{s0} при 0 К, а по оси абсцисс отношение T/T_K , где T_K — температура Кюри).

Зависимость интенсивности намагниченности насыщения от температуры у ферритов существенно отличается от аналогичной характеристики ферромагнетиков (рис. 1-5). Температура Нееля у ферримангнетиков обычно ниже, чем температура Кюри у ферромагнетиков. У некоторых фер-

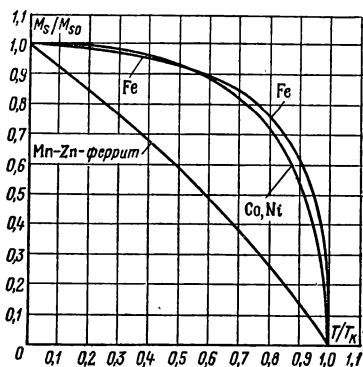


Рис. 1-5. Зависимость относительной намагниченности насыщения M_s/M_{s0} ферро- и ферримангнетиков от относительной температуры T/T_K .

M_{s0} — намагниченность насыщения при $T=0^\circ\text{K}$; T_K — температура Кюри.

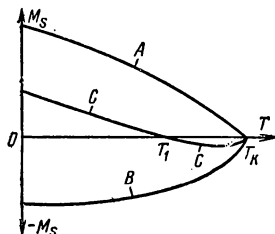


Рис. 1-6. Аномальный ход зависимости намагниченности насыщения от температуры T у никель-цинкового феррита.

T_K — температура Кюри.

ритов, например у литий-хром-феррита, наблюдается предсказанная Неелем аномалия хода температурной зависимости намагниченности насыщения. Различный характер температурной зависимости намагниченности двух подрешеток A и B (рис. 1-6) приводит к тому, что результирующая характеристика C при некоторой температуре «компенсации» T_1 , лежащей ниже температуры Кюри T_K , проходит через нуль, так как магнитные моменты атомов подрешеток взаимно уравновешиваются.

1-3. МАГНИТНЫЕ СВОЙСТВА МАТЕРИАЛОВ

Намагниченность насыщения, температура Кюри, константы магнитной кристаллографической анизотропии, магнитострикция насыщения относятся к основным магнитным свойствам, связанным со строением вещества. Эти свойства зависят только от основного химического состава и не зависят от структуры вещества. Поэтому их

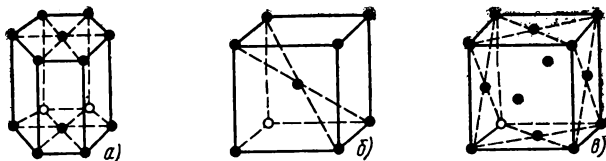


Рис. 1-7. Элементарные ячейки кристаллических решеток. а — гексагональная; б — объемно-центрированная; в — гранецентрированная.

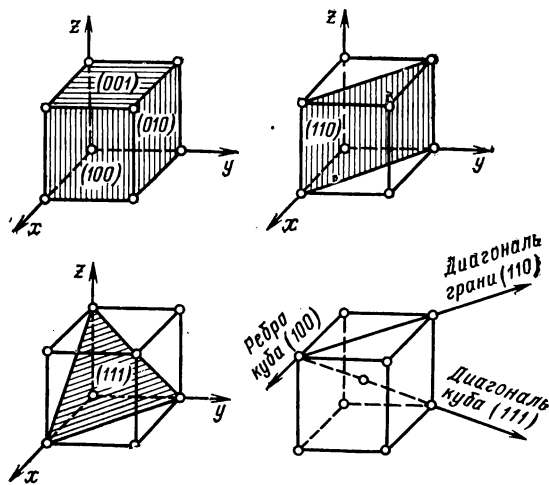


Рис. 1-8. Обозначение различных плоскостей и направлений в кубических кристаллах с помощью индексов Миллера.

называют структурно-нечувствительными. Магнитная проницаемость, коэрцитивная сила, остаточная намагниченность, весь ход кривой намагничивания и вид петли гистерезиса зависят от структуры вещества. Эти свойства называют структурно-чувствительными.

Основными типами кристаллических решеток ферромагнетиков являются гексагональная (рис. 1-7, *а*), кубическая объемно-центрированная (рис. 1-7, *б*) и кубическая гранецентрированная (рис. 1-7, *в*). Направления и плоскости в кристаллах обозначаются индексами Миллера (рис. 1-8). Индексы, определяющие положение поверхностей, заключают в круглые скобки, а индексы, определяющие направления, — в квадратные скобки. Монокристаллы ферромагнетиков магнитно-анизотропны и имеют оси легкого намагничивания. У кристалла железа этими осями являются направления $[100]$ ребер куба элементарной ячейки. Таких направлений в кристалле железа шесть. У кристалла никеля направления осей легкого намагничивания совпадают с пространственными диагоналями куба. В кристалле никеля восемь направлений легкого намагничивания. У кристалла кобальта только два направления легкого намагничивания, перпендикулярные плоскости базиса элементарной ячейки (рис. 1-7, *а*). Вектор спонтанной намагниченности домена при отсутствии внешних воздействий всегда направлен вдоль одной из осей легкого намагничивания. Чтобы отклонить вектор спонтанного намагничивания от направления оси легкого намагничивания, нужно затратить работу на преодоление энергии магнитной анизотропии. Удельная энергия намагничивания

$$W = \mu_0 \int_0^M H dM \quad (1-1)$$

пропорциональна площади между кривой намагничивания и осью ординат.

Намагничивание монокристалла до насыщения вдоль разных его осей требует различную затрату энергии (рис. 1-9). Формы петли гистерезиса (рис. 1-10) существенно различаются, если кристалл намагничивать вдоль оси легкого намагничивания (петля *а*), или перпендикулярно к этой оси (петля *б*). При почти одинаковом значении намагниченности насыщения петля *б* обладает существенно

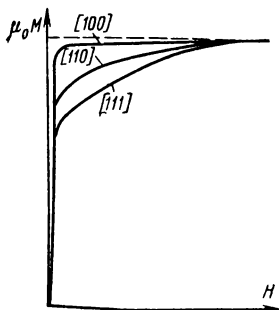


Рис. 1-9. Кривые намагничивания монокристалла железа в разных направлениях.

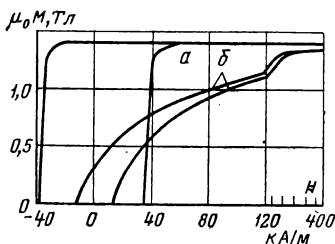


Рис. 1-10. Петли гистерезиса сплава альнико.

а — с термообработкой в магнитном поле, направленном вдоль текстуры; *б* — с термообработкой в магнитном поле, направленном перпендикулярно текстуре.

меньшими значениями коэрцитивной силы и остаточной индукции по сравнению с петлей *a*. Поэтому магниты, получаемые из монокристалла, нужно вырезать так, чтобы полярная ось магнита совпадала с осью легкого намагничивания монокристалла. Таким же требованиям должен отвечать и магнит, изготавливаемый из поликристаллического магнитно-анизотропного материала. Влияние угла рассогласования между направлением намагничивания и осью текстуры на значение удельной энергии у сплавов альнико представлено на рис. 1-11, из которого следует, что допустимыми можно считать углы рассогласования, не превышающие 8—10°.

Магнитное состояние вещества описыва-

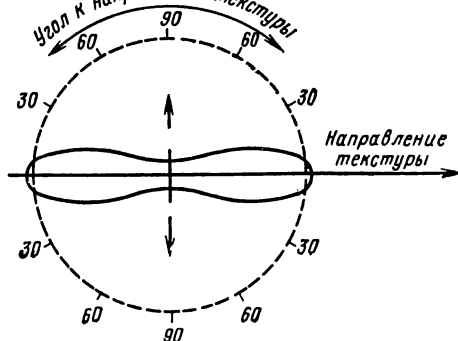


Рис. 1-11. Зависимость W_{\max} от направления намагничивания относительно текстуры.

ется зависимостью $M=f_1(H)$ или зависимостью $B=f_2(H)$, где M — намагниченность, H — напряженность поля внутри вещества, B — магнитная индукция. Для технических расчетов обычно пользуются характеристикой $B=f_2(H)$. В научной литературе чаще используют характеристику $M=f_1(H)$. Если известна одна из этих характеристик, то другую можно построить на основании соотношения

$$B = \mu_0 (M + H). \quad (1-2)$$

Характеристики $M=f_1(H)$ и $B=f_2(H)$ являются многозначными функциями напряженности H намагничивающего поля. Значения индукции и намагниченности, соответствующие данному значению напряженности магнитного поля, зависят от магнитной истории испытываемого образца. Принято различать кривую намагничивания, петлю магнитного гистерезиса и петли частных циклов.

Процесс намагничивания

Если образец был размагничен, то при наложении монотонно возрастающего поля напряженностью H намагниченность M будет изменяться по кривой намагничивания (рис. 1-12, *a*). На этой кривой принято различать три характерные участка: начальный участок *oa* (зона Релея), характеризующийся малым наклоном и положительной кривизной, средний участок *ab*, характеризующийся большим наклоном и содержащий точку перегиба, и третий участок *bc* (зона

технического насыщения), характеризующийся малым наклоном и отрицательной кривизной.

В размагниченном образце (рис. 1-12, б) расположение векторов намагниченности доменов равновероятно по всем направлениям. У образца (рис. 1-12, в), находящегося в очень слабом поле (зона Релея), соответствующем участку oa , происходят обратимое смещение границ и увеличение объема тех доменов, вектор намагниченности которых образует наименьший угол с направлением намагничи-

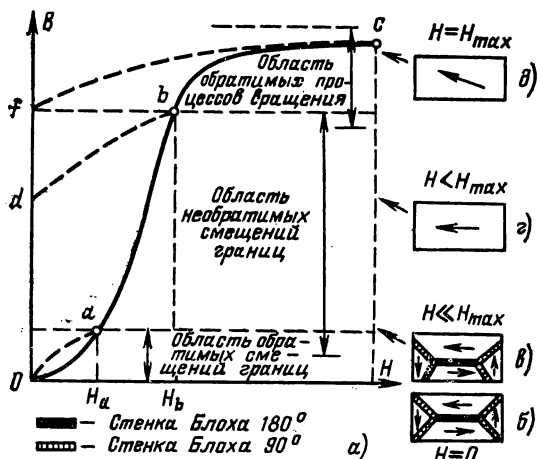


Рис. 1-12. Характеристика начального намагничивания.

вающего поля H . Это увеличение происходит за счет соответствующего уменьшения объема соседних доменов. Процесс обратим (пунктирная кривая ao на рис. 1-12, а), и при уменьшении намагничивающего поля до нуля размеры всех доменов восстанавливаются. У образца (рис. 1-12, в), находящегося в поле средней величины, соответствующей участку ab , происходят необратимое смещение границ доменов и поворот вектора намагниченности доменов в ближайшее направление легкого намагничивания. В итоге все векторы оказываются ориентированными вдоль той оси легкого намагничивания, направление которой составляет наименьший угол с направлением намагничивающего поля. Этот процесс необратим (пунктирная кривая bd на рис. 1-12, а). При уменьшении намагничивающего поля до нуля возникает гистерезис (отставание) и образец остается намагниченным. У образца (рис. 1-12, д), находящегося в поле, соответствующем участку bc (зона насыщения), происходит поворот векторов намагниченности доменов из направления вдоль оси легкого намагничивания в направление, параллельное намагничивающему полю H .

Этот процесс обратим (пунктирная кривая cf на рис. 1-12, a), и вектор намагниченности доменов после устранения намагничивающего поля возвращается в ближайшее направление легкого намагничивания. В действительности область смещения границ доменов и область вращения векторов намагниченности частично перекрывают друг друга, как это показано на рис. 1-12, a . Упрощенная схема изменения ориентации векторов намагниченности доменов в процессе намагничивания до насыщения и после устранения намагничивающего поля показана на рис. 1-13. У изотропного вещества (без магнитной текстуры) размагниченному состоянию соответствует равномерное распределение векторов намагниченности доменов по всем направлениям (рис. 1-13, a). При наложении внешнего поля и насыщении направление всех векторов намагниченности совпадает с направлением поля (рис. 1-13, b). После устранения намагничивающего поля векторы намагниченности стремятся возвратиться в ближайшее направление легкого намагничивания (рис. 1-13, $в$). У изотропных материалов остаточная намагниченность обычно составляет 0,5—0,8 от значения намагниченности насыщения.

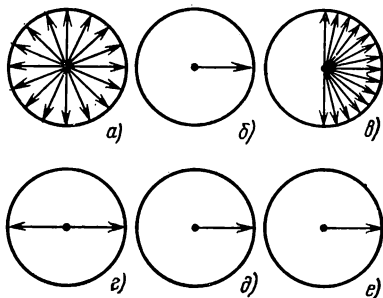


Рис. 1-13. Упрощенная схема изменения ориентации векторов намагниченности доменов.

У анизотропного материала размагниченному состоянию соответствует равномерное распределение векторов намагниченности вдоль оси легкого намагничивания (рис. 1-13, $г$). При намагничивании до насыщения вдоль текстуры, совпадающей с направлением легкого намагничивания, все векторы совпадают с направлением намагничивающего поля (рис. 1-13, $д$). После устранения намагничивающего поля направление векторов намагниченности сохраняется, поскольку ось легкого намагничивания совпадает с направлением текстуры и с направлением намагничивающего поля (рис. 1-13, $е$). Поэтому у анизотропных материалов остаточная намагниченность близка к намагниченности насыщения.

При расположении всех векторов намагниченности доменов вдоль направления намагничивающего поля наступает техническое насыщение, соответствующее тому значению спонтанного намагничивания доменов, которое возможно при данной температуре. Дальнейшее весьма незначительное возрастание намагниченности происходит за счет парапроцесса, т. е. направляющего воздействия внешнего поля на дезориентированные тепловым движением магнитные моменты. Кривую намагничивания определяют как геометрическое место вершин гистерезисных петель, получающихся при циклическом перемагничивании образца в поле возрастающей амплитуды (рис. 1-14).

Предельный гистерезисный цикл

Гистерезисные петли (рис. 1-14) образуют так называемое семейство петель гистерезиса. Отрезки, отсекаемые ими на оси абсцисс и ординат, определяют значения коэрцитивной силы по намагниченности H_{cm} и остаточной намагниченности M_r . По мере увеличения амплитуды намагничивающего тока H_{cm} и M возрастают, а петля гистерезиса достигает предельных очертаний, характерных для данного материала. Значение коэрцитивной силы H_{cm} является критерием для разделения ферро- и ферромагнитных материалов на магнитно-твердые и магнитно-мягкие. К магнитно-твердым относятся материалы с $H_{cm} \geq 1000$ А/м, а к магнитно-мягким — материалы с $H_{cm} \leq 1000$ А/м.

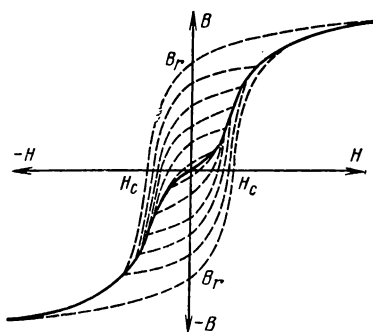


Рис. 1-14. Семейство петель гистерезиса.

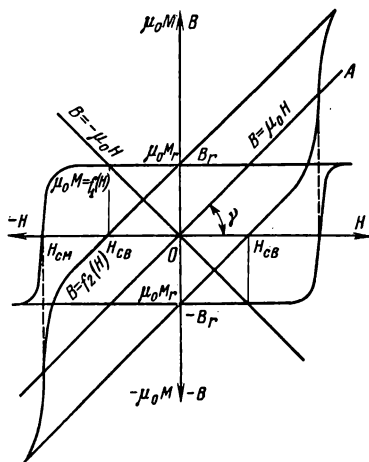


Рис. 1-15. Предельные петли гистерезиса по $\mu_0 M$ и B .

Свойства магнитно-мягких материалов обычно характеризуют кривой намагничивания, а свойства магнитно-твердых — предельной петлей гистерезиса, построенной в координатах $\mu_0 M$, H или B , H (рис. 1-15). По оси ординат здесь, кроме B , отложена индукция намагниченности $\mu_0 M$, позволяющая применить для построения петли гистерезиса по намагниченности тот же масштаб, что и для петли гистерезиса по индукции.

Для удобства построения через начало координат проводят прямую OA , характеризующую поле в вакууме $B_v = \mu_0 H$, угол наклона которой к оси $H = \gamma$ определяется выражением

$$\operatorname{tg} \gamma = \frac{B_v}{H} = \mu_0. \quad (1-3)$$

В первом квадранте $\mu_0 M$ и H положительны. Поэтому кривая $B = f_2(H)$ здесь лежит выше кривой $\mu_0 M = f_1(H)$. Во втором квадранте $\mu_0 M$ положительно, а H отрицательно и кривая $B = f_2(H)$ лежит ниже кривой $\mu_0 M = f_1(H)$. По этой причине всегда $H_{cm} > H_{cv}$. Из

рис. 1-15 следует, что петля гистерезиса по индукции $B=f_2(H)$ является деформированной петлей гистерезиса по намагниченности $\mu_0 M=f_1(H)$. Поэтому чем выше у данного материала коэрцитивная сила $H_{см}$, тем существенней разница между $H_{см}$ и $H_{св}$. У магнитотвердых материалов с относительно небольшой коэрцитивной силой $H_{см}$ расхождение между $H_{см}$ и $H_{св}$ практически неощутимо. Зато у материалов с очень большой $H_{см}$ и малым значением B_r оно становится весьма заметным.

Важнейшим следствием деформации петли гистерезиса при переходе от $\mu_0 M$ и B является возникновение условия

$$\lim (H_{св})_{H_{см} \rightarrow \infty} = \frac{B_r}{\mu_0}, \quad (1-4)$$

согласно которому коэрцитивная сила по индукции $H_{св}$ не может ни при каких обстоятельствах превзойти значение B_r/μ_0 . Действительно, при $H_{см} = \infty$ $\mu_0 M = B_r = \text{const}$ и $B = \mu_0 (M - H) = B_r - \mu_0 H$, но при $B = 0$ $H = (H_{св})_{\text{max}}$. Отсюда $(H_{св})_{\text{max}} = B_r/\mu_0$. На примере сплава силмэнал легко убедиться, что его коэрцитивная сила $H_{св} = 44,8$ кА/м уже весьма близка к предельно возможному ее значению $(H_{св})_{\text{max}} = B_r/\mu_0 = 47, 2$ кА/м, и дальнейшее увеличение $H_{см}$ практической пользы не принесет.

Вторым следствием деформации петли гистерезиса является возникновение условия

$$\lim (B_d H_d)_{H_{см} \rightarrow \infty} = \frac{B_r^2}{4\mu_0}, \quad (1-5)$$

где B_d и H_d — индукция и напряженность магнитного поля, соответствующие максимальной удельной энергии.

Действительно, при $H_{см} = \infty$ кривая $B=f_2(H)$ в пределах второго квадранта близка к прямой, проходящей через точки B_r и $H_{св}$. Следовательно, здесь $B_d = B_r/2$ и $H_d = H_{св}/2 = B_r/2\mu_0$.

Отсюда

$$(B_d H_d)_{\text{max}} = B_r^2/4\mu_0. \quad (1-6)$$

Частные циклы. Снятие предельной петли гистерезиса всегда производят при монотонном изменении H . Если же при прохождении любой точки a (рис. 1-16) монотонное изменение поля H заменить на циклическое, то характеристика $B=f_2(H)$ опишет петлю частного цикла ab . Общие положения, касающиеся частных циклов, подчиняются (в первом приближении) правилам Маделунга [1-1].

1. Всякая кривая \bar{a} однозначно определяется точкой поворота a , лежащей на кривой предельного цикла и служащей началом кривой \bar{a} .

2. Если какую-нибудь точку b кривой \bar{a} делают точкой поворота и получают новую кривую \bar{b} , то эта кривая \bar{b} приводит к исходной точке a кривой \bar{a} .

3. Если кривую \bar{c} начинают из какой-либо точки c на кривой \bar{b} , то она приводит в точку b и идет далее по кривой \bar{a} , как если бы цикл bcd не был описан.

4. Кривые частных циклов, выходящие из точек поворота a и d , имеющих одинаковые ординаты, могут быть приведены в совпадение путем параллельного смещения (петли ab и de при совмещении совпадают).

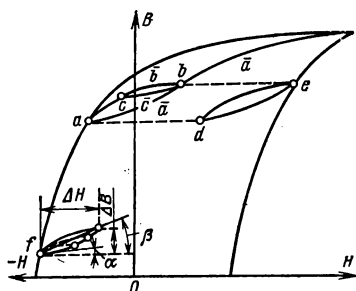


Рис. 1-16. Частные циклы гистерезиса.

Сюда следует добавить правило Юинга, согласно которому при помощи частных петель можно достичь любой точки, лежащей внутри петли предельного цикла, однако никогда нельзя пройти в точку, лежащую вне предельной петли.

При технических расчетах обычно пренебрегают как раствором петель частных циклов, так и кривизной образующих их линий, и заменяют семейство петель частных циклов прямыми, например прямой fg (рис. 1-16), на-

зываемыми прямыми возврата. Тангенс угла наклона этой прямой к оси абсцисс называется коэффициентом возврата K_v . Отсюда $K_v = \Delta B / \Delta H = \operatorname{tg} \beta$. Значение K_v всегда больше проницаемости возврата (реверсивной) $\mu_{r.rev} = \operatorname{tg} \alpha$, но обычно эта разница очень мала, и часто принимают $K_v = \mu_{r.rev}$. Значение K_v входит в расчетные формулы всех постоянных магнитов, испытывающих в процессе работы (или в условиях сборки) воздействие внешнего магнитного поля или изменение внешней магнитной проводимости.

Магнитная аккомодация (приспособление). При циклическом перемагничивании образца в поле $\pm H$, амплитуда которого близка к напряженности полного насыщения, петля гистерезиса достигает

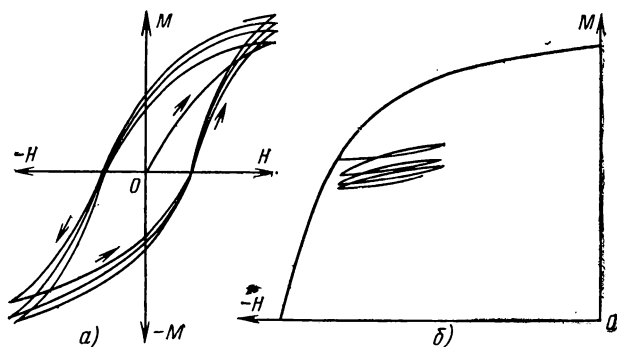


Рис. 1-17. Магнитная аккомодация.

стационарного состояния не сразу, а после 5—10 перемагничиваний (рис. 1-17, а). Такое «приспособление» образца к условиям намагничивания всегда должно учитываться при магнитных измерениях. Явление аккомодации объясняется различием в магнитной истории каждого цикла. Аккомодация наблюдается также и при прохождении частных циклов гистерезиса (рис. 1-17, б).

Особые формы петель гистерезиса

У подавляющего большинства материалов форма предельной петли $M=f_1(H)$ имеет одинаковый характер. В приведенных масштабах гистерезисные петли разных материалов (построенные в координатах M, H) почти совпадают. Исключение составляют только смещенная и прямоугольная петли.

Смещенная петля (рис. 1-18, а) имеет такую же форму, как обычная, но сдвинута относительно начала координат. Она соответствует одновременному существованию у материала ферромагнитного и антиферромагнитного состояний. Эффект смещения наблюдается у однодоменных частиц ферромагнитных металлов, покрытых слоем антиферромагнетика (например, у оксидированных частиц кобальта), и у некоторых сплавов (никель — марганец, железо — алюминий, уран — марганец и др.), хотя для сплавов еще не решен вопрос о существовании дискретных ферромагнитных и антиферромагнитных областей. Для получения сдвинутой петли материал должен пройти термомagnetную обработку путем охлаждения в сильном магнитном поле (порядка 1000 кА/м) от температуры Нееля для антиферромагнетика до температуры глубокого холода. Смещение петли исчезает при достижении образцом комнатной температуры.

Объяснение сдвига петли у однодоменных частиц, состоящих из дискретных ферромагнитных и антиферромагнитных областей, основано на предположении о существовании прямой связи между ато-

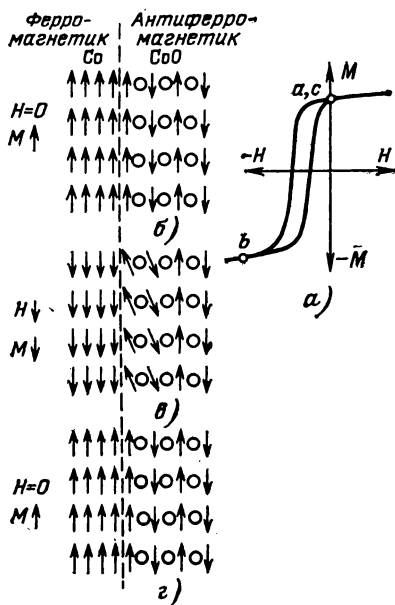


Рис. 1-18. Смещенная петля гистерезиса.

мами ферромагнетика и атомами того же элемента, входящими в состав антиферромагнитного окисла. При $H=0$ (рис. 1-18, б) все магнитные моменты атомов металла (кобальта) параллельны друг другу, а магнитные моменты атомов того же металла в окиси антипараллельны (кружками обозначены атомы кислорода). Взаимодействие между самым правым слоем атомов кобальта в металле и самым левым слоем атомов кобальта в окисле таково, что намагниченность их параллельна. Это получается в результате предварительного охлаждения частицы в магнитном поле до температуры ниже точки Нееля для окисла. Воздействие размагничивающего поля H (рис. 1-18, в) приводит к перемагничиванию частицы кобальта и к

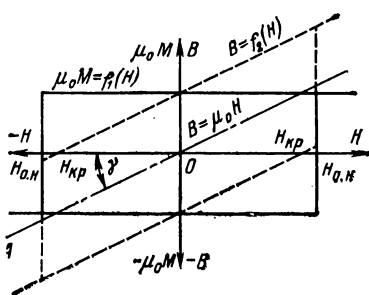


Рис. 1-19. Прямоугольная петля гистерезиса.

отклонению векторов намагниченности у нескольких левых слоев атомов кобальта в окиси. Основная же масса атомов кобальта в окиси не изменяет направления своих магнитных моментов, так как внешнее поле практически не взаимодействует с антиферромагнетиком. При уменьшении внешнего поля до нуля (рис. 1-18, г) взаимодействие между атомами кобальта в металле и окиси возвращает намагниченность однодоменной частицы кобальта в ее первоначальное направление. Эффект взаимодействия проявляется только при температурах, достаточно далеких от температуры Нееля.

Поэтому для его наблюдения образцы необходимо (в зависимости от материала) охлаждать до температуры около 70 К и даже значительно ниже.

Особенность магнитов из материалов со сдвинутой петлей состоит в том, что их невозможно ни размагнитить, ни перемагнитить воздействием сколь угодно сильного магнитного поля, так как после устранения действия поля поток магнита полностью восстанавливается.

Прямоугольная петля гистерезиса (рис. 1-19) характеризует предельный гистерезисный цикл материалов, у которых при монотонно изменяющейся величине напряженности поля H намагниченность M не имеет устойчивых значений в интервале между остаточной намагниченностью $+M_r$ и остаточной намагниченностью $-M_r$. Причина этого явления, которое можно рассматривать как резко выраженный эффект Баркгаузена, заключается в том, что у некоторых материалов напряженность $H_{0,n}$, при которой возникают зародыши обратной намагниченности, больше критической напряженности $H_{кр}$, при которой границы доменов могут смешаться через любые препятствия, имеющиеся в материале вследствие его структурной неоднородности. Если у материала, находящегося в состоянии остаточной намагниченности $+M_r$, нет доменов обратной намагниченности, то они образуются только при наложении внешнего поля $-H_{0,n}$ противо-

Таблица 1-2

Физические свойства ферромагнитных элементов

Элемент	Плотность, г/см ³	Температура плавления, °C	Температура Кюри, °C	Внутренняя индукция насыщения B_{is} , Тл	
				при 0 К	при 20° C
Никель	8,92	1453	358	0,64	0,605
Железо	7,87	1539	768	2,18	2,15
Кобальт	8,84	1495	1020	1,82	1,79
Гадолиний	7,87	1350	18	2,66	—
Тербий	8,25	1356	—55	3,27	—
Диспрозий	8,60	1480	—188	3,70	—
Гольмий	8,80	1500	—250	3,75	—
Эрбий	9,10	1500	—250	3,42	—
Тулий	9,33	1545	—222	2,72	—

Физические свойства интерметаллических соединений типа RCO_5

Соединение	Плотность, г/см ³	Температура плавления, °C	Температура Кюри, °C	Индукция намагниченности насыщения μ_s , Мз при 0 К, Тл	Индукция намагниченности насыщения μ_s , Мз при 20° C, Тл
YCo ₅	7,60	1352	700	1,12	1,06
CeCo ₅	8,54	1190	460	1,00	0,85
PrCo ₅	8,32	1225	635	1,32	1,20
NdCo ₅	8,39	1285	650	1,40	1,23
SmCo ₅	8,52	1320	740	1,08	0,96
GdCo ₅	8,86	1355	735	0,20	0,36
TbCo ₅	8,92	—	705	0,09	0,24
DyCo ₅	9,15	—	640	0,25	0,45
HoCo ₅	9,14	—	730	0,30	0,60
ErCo ₅	9,05	1335	720	0,22	0,72

Значения температуры Кюри

Соединение	T_K , °C	Соединение	T_K , °C	Соединение	T_K , °C
Ферриты		Соединения Fe		Соединения Mn, Cr, Ag	
NiOFe ₂ O ₃	590	Fe ₂ B	739	Mn ₄ N	470
CoOFe ₂ O ₃	520	Fe ₂ O ₃	620	MnBi	350
MnOFe ₂ O ₃	510	Fe ₃ O ₄	575	MnSb	320
CuOFe ₂ O ₃	490	FeBe ₂	520	Mn ₃ Sb ₂	315

Продолжение табл. 1-2

Соединение	$T_K, ^\circ\text{C}$	Соединение	$T_K, ^\circ\text{C}$	Соединение	$T_K, ^\circ\text{C}$
Ферриты		Соединения Fe		Соединения Mn, Cr, Ag	
LaOFe ₂ O ₃	465	Fe ₃ Al	500	Mn ₂ Sb	275
SrOFe ₂ O ₃	450	Fe ₄ N	488	MnB	260
BaOFe ₂ O ₃	445	Fe ₃ P	420	Mn ₂ Sn	150
PbOFe ₂ O ₃	435	Fe ₂ C	380	CrO ₂	116
Pr ₂ O ₃ Fe ₂ O ₃	435	FeS	320	AgFe ₂	110
AlOFe ₂ O ₃	339	Fe ₃ N	275	CrFe	100
SnOFe ₂ O ₃	325	Fe _{0,5-0,7} × × Co _{0,3-0,5}	250	MnAs	45
				MnP	25
MgOFe ₂ O ₃	315	Fe ₃ C	215	Соединения Co	
Nd ₂ O ₃ Fe ₂ O ₃	300	Fe ₂ Ce	116	Co ₂ B	510
Sm ₂ O ₃ Fe ₂ O ₃	300	Fe ₃ Si ₂	90	Co ₄ Zn	490
Yb ₂ O ₃ Fe ₂ O ₃	275	Соединения Ni		CoS ₂	180
Er ₂ O ₃ Fe ₂ O ₃	255	Ni ₃ Mn	470	CoZn	125
CdOFe ₂ O ₃	250	Ni ₂ Mg	235		
BeOFe ₂ O ₃	190				

ложной ориентации по отношению к $+M_r$. Поэтому при возрастании перемещающего поля H от нуля до $H = -H_{0,n}$ намагниченность материала не изменяется, так как в нем нет зародышей доменов обратной намагниченности. Если $H_{0,n} > H_{кр}$, то как только напряженность H достигнет значения $-H_{0,n}$, возникшие домены обратной намагниченности начинают неудержимо расти и намагниченность материала изменяется скачком от $+M_r$ до $-M_r$.

Строго прямоугольной может быть только петля гистерезисного цикла по намагниченности $M = f_1(H)$, а соответствующая ей петля $B = f_2(H)$, изображенная на рис. 1-18 пунктиром, оказывается наклоненной на угол γ , тангенс которого равен μ_0 . Поэтому понятие «материал с прямоугольной петлей гистерезиса» справедливо лишь по отношению к петле $M = f_1(H)$ и может приводить к недоразумениям в отношении формы петли $B = f_2(H)$.

Структурно нечувствительные свойства магнитных материалов представлены в табл. 1-2.

1-4. КЛАССИФИКАЦИЯ МАГНИТНО-ТВЕРДЫХ МАТЕРИАЛОВ

Все магнитно-твердые материалы принято подразделять по области применения на три группы: для постоянных магнитов, для гистерезисных двигателей и для магнитной записи. По преобладающему технологическому признаку (с учетом химического состава) их можно разделить на четыре группы: сплавы, интерметаллические соединения, ферриты и композиции (табл. 1-3). В настоящее время нан-

большее промышленное значение для постоянных магнитов имеют литые и металлокерамические сплавы на основе системы Fe-Al-Ni-Co и ферриты; для гистерезисных двигателей — сплавы на основе системы Fe-Co-Mo, обрабатываемые резанием; для магнитной записи — деформируемые сплавы различных систем, главным образом сплавы, получающие текстуру при холодной деформации. Промышленное значение остальных материалов сравнительно невелико. Магнитопласты почти не применяют, так как они имеют значительно меньшую магнитную энергию, чем металлокерамика из этих же материалов. Магнитопласты, обладающие такой же или меньшей энергией, чем магнитопласты, находят применение только в тех сравнительно редких случаях, когда имеет значение их эластичность, например в герметичных разъемных соединениях. Композиции из однодоменных удлиненных частиц, обладающих высокой магнитной энергией, являются перспективными материалами, но технология их производства пока слишком сложна. Сплавы на основе платины имеют высокую магнитную энергию и хорошие технологические свойства, но из-за высокой стоимости их применение ограничено микроминиатюрными магнитами специальных измерительных приборов для научных исследований. Магнитные свойства интерметаллических соединений, обладающих рекордно высокой коэрцитивной силой и высокой магнитной энергией, позволяют осуществлять предельную миниатюризацию магнитных систем. Поэтому редкоземельные материалы могут в скором времени вытеснить традиционные материалы (сплавы и ферриты) из области радиоэлектроники, приборостроения и автоматики.

Все существующие магнитно-твердые материалы следует по признаку свойств получаемых из них магнитов делить на две группы. В первую группу входят материалы, изделия из которых, будучи намагниченными вместе с арматурой, полностью восстанавливают свой поток после временного отсоединения арматуры. Вторую группу образуют материалы, изделия из которых при этих условиях теряют заметную часть потока. Причина столь резкого различия свойств постоянных магнитов, выполненных из материалов первой и второй группы, кроется в различии их кривых размагничивания по индукции $B=f_2(H)$.

У материалов первой группы колено кривой размагничивания лежит в третьем квадранте, а ее участок в пределах второго квадранта прямолинеен. У материалов второй группы колено кривой размагничивания расположено во втором квадранте, и ее участок в пределах этого квадранта имеет вид гиперболы.

Различие вида кривых $B=f_2(H)$ в основном зависит от значения отношения коэрцитивной силы по намагниченности H_{cm} к остаточной индукции B_r . Если $\mu_0 H_{cm}/B_r > 1$, то колено кривой $B=f_2(H)$ лежит в третьем квадранте, а если $\mu_0 H_{cm}/B_r < 1$, то во втором.

На рис. 1-20, а, представлены кривые размагничивания $\mu_0 M = f_1(H)$ для двух материалов. Кривая 1 характерна для материала первой группы [$\mu_0 H_{cm}/B_r > 1$], а кривая 2 — для материала второй группы [$\mu_0 H_{cm}/B_r < 1$]. Там же построены две производные кривые 1' и 2' размагничивания по индукции $B=f_2(H)$, полученные из кривых 1 и 2 на основании известного соотношения $B=\mu_0(M-H)$. Для построения служит вспомогательная прямая OA с угловым коэффициентом μ_0 . Любая ордината кривой $B=f_2(H)$ есть разность орди-

Таблица 1-3

Классификация магнитно-твердых материалов по преобладающему технологическому признаку с учетом химического состава

Группа материалов	Название и основные компоненты	Краткая характеристика технологических и магнитных свойств	Область применения
<i>Труднодеформируемые</i>			
Сплавы	Альнико Fe-Al-Ni-Co	Литые	Крупные магниты всех назначений. Магнитные системы измерительных приборов и дистанционных компасов. Успокоители. Статоры исполнительных двигателей. Роторы тахогенераторов. Магниты поляризованных реле. Роторы генераторов. Магнитные сепараторы. Магнитные муфты
		Твердые, хрупкие. Высокие магнитные свойства при магнитной и кристаллической текстуре. Удельная энергия до 40 кДж/м³	
		Металло-керамические	Мелкие магниты всех назначений. Подвижные магниты измерительных приборов. Магнитные системы тахометров и тахогенераторов. Магниты поляризованных микрореле. Роторы и статоры микродвигателей и микрогенераторов. Магнитные муфты приборного типа
		Механическая прочность выше, чем у литых. Магнитные свойства обычно изотропны и несколько ниже, чем у литых. Удельная энергия до 16 кДж/м³	

Деформируемые

Комоль Fe-Co-Mo	Ковка горячая. После смягчающей термообработки допускают обработку резанием. Удельная энергия до 9 кДж/м ³	Тонкие магниты и магниты сложной формы, изготовление которых литьем затруднительно. Стрелки компасов. Девяционные системы компасов. Магнитные пружины измерительных приборов. Гистерезисные двигатели	Магнитная запись
Fe-Cr-Co	Ковка горячая и холодная. Прокатка, волочение. Сложная окончательная термообработка. Удельная энергия до 16 кДж/м ³		
Викаллой Fe-V-Co	Легко штампуются. Обрабатываются резанием. Высокие магнитные свойства можно получить только в тонких сечениях. Удельная энергия до 18 кДж/м ³		
Кунико Fe-Cu-Ni-Co Кунифе Cu-Ni-Fe	Пластичны и прочны. Выпускаются в виде тонких лент и проволок. Допускают деформацию только в холодном виде. Удельная энергия до 6 кДж/м ³	Миниатюрные магниты	
Платиновые Pt-Co Pt-Fe	Высокие механические и магнитные свойства. Удельная энергия до 45 кДж/м ³		

Продолжение табл. 1-3

Группа материалов	Название и основные компоненты	Краткая характеристика технологических и магнитных свойств	Область применения
Интерметаллические соединения	Редкоземельные материалы (соединения редкоземельных элементов с кобальтом)	Твердые и хрупкие. Рекордно высокие магнитные свойства за счет высокой коэрцитивной силы. Удельная энергия до 72 кДж/м ³ у серийной продукции	Магнитные системы ламп бегущей волны, магнетронов и другой радиоэлектронной аппаратуры. Магниты измерительных приборов и микромашин
	Соединения на основе марганца Mn-Bi (бисманол) Mn-Al Mn-Gd	Твердые и хрупкие. Хорошие магнитные свойства за счет высокой коэрцитивной силы. Удельная энергия до 20 кДж/м ³ . Mn-Cd можно обрабатывать резанием	Пока широкого применения не нашли. Могут применяться в магнитных сепараторах, муфтах и фильтрах, магнитных линзах, поляризованных реле
Ферриты	Бариевые $\text{BaO}(\text{Fe}_2\text{O}_3)_6$ Кобальтовые CoOFe_2O_3 Стронциевые $\text{SrO}(\text{Fe}_2\text{O}_3)_6$	Твердые. Очень хрупкие. Хорошие магнитные свойства за счет высокой коэрцитивной силы. Удельная энергия до 12 кДж/м ³	Электрические машины. Электронные приборы. Магнитные системы ламп бегущей волны, магнетронов и другой радиоэлектронной аппаратуры. Магнитные линзы. Исполнительные двигатели. Микрогенераторы. Поляризованные реле. Аппаратура сигнализации. Магнитные сепараторы, муфты и редукторы

Композиции	На основе однокомпонентных частиц Fe Fe-Co	Хорошие механические и магнитные свойства. Удельная энергия до 26 кДж/м ³	Перспективны, но пока промышленное применение ограничено из-за сложной технологии
	Магнитоласты. Наполнитель — аль- никко, феррит; свя- зующее — бакелит, эпоксидные смолы	Технология изготовления и механические свойства, как у пластмасс и резины. Магнитные свойства низкие. Удельная энергия до 2,8 кДж/м ³	Подвижные магниты измерительных приборов. Эластичные герметизаторы для разъемных соединений. Магнитные линзы. Стопоры, фиксаторы
	Магнитоласты. Наполнитель — аль- никко, феррит. Свя- зующее — резина		

нат кривой $\mu_0 M = f_1(H)$ и прямой OA . Поэтому абсциссы точек c_1 и c_2 пересечения прямой OA с кривыми 1 и 2 определяют величины коэрцитивной силы $H_{св1}$ и $H_{св2}$.

Кривые 1 и 2 имеют линейный участок, заключенный между осью абсцисс и началом колена (точки a_1 и a_2). У кривой 1 точ-

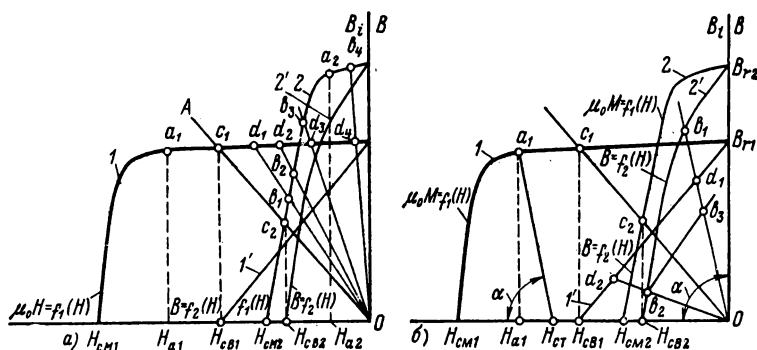


Рис. 1-20. Кривые размагничивания материалов первой и второй групп при воздействии внутреннего (а) и стороннего (б) размагничивающих полей.

ка a_1 лежит левее точки c_1 , а у кривой 2 точка a_2 лежит правее точки c_2 . Абсциссы точек a_1 и a_2 суть H_{a1} и H_{a2} . У кривой 1 $H_{a1} > H_{св1}$, а у кривой 2 $H_{a2} < H_{св2}$. Участок кривой 1 между точкой c_1 и осью ординат практически прямолинеен. Поэтому участок кривой 1' в пределах второго квадранта также прямолинеен. Участок кривой 2 между точкой c_2 и осью ординат криволинеен, поэтому колено кривой $B = f_2(H)$ лежит в пределах второго квадранта, а сама кривая имеет вид гиперболы (случай, когда $H_a = H_{св}$, является критическим). В соответствии с этим материалы первой группы следует называть закритическими, а материалы второй группы — докритическими. Промежуточную группу составляют критические материалы.

В группу докритических входят все традиционные магнитно-твердые материалы, в том числе новые сплавы альнико с направленной кристаллизацией и монокристаллы этих сплавов. В группу закритических материалов входят интерметаллические соединения редкоземельных металлов и те из магнитно-твердых ферритов, у которых в пределах второго квадранта линия $B = f_2(H)$ прямолинейна. В группу критических материалов входят те магнитно-твердые ферриты, у которых начало колена кривой $B = f_2(H)$ лежит вблизи оси абсцисс.

Магниты, выполненные из закритических материалов, имеют следующие свойства, недостижимые у магнитов из докритических материалов: независимость магнитного момента от формы магнита; способность полностью восстанавливать магнитный поток в процессе магнитного возврата (в частности, после временного отделения магнита

от арматуры и после воздействия стороннего размагничивающего поля, напряженность которого $H_{ст}$ соизмерима и даже превышает коэрцитивную силу $H_{св}$).

Независимость магнитного момента от формы магнита, выполненного из закритического материала, вытекает из рассмотрения кривой 1. Магнитный момент равномерно намагниченного магнита $P_m = M_m V_m$, где M_m — намагниченность; V_m — объем магнита. На рис. 1-20, б проведены четыре линии скоса $Od_1—Od_4$, соответствующие магнитам в виде тонкой пластинки, длинного цилиндра, намагниченного по диаметру, шара и длинного цилиндра, намагниченного по оси. Эти магниты имеют проникаемость формы, равную соответственно 1,01; 2; 3 и 55. Точки $d_1—d_4$ определяют остаточную намагниченность магнитов из закритического материала, а точки $b_1—b_4$ — остаточную намагниченность магнитов из докритического материала. Из рисунка следует, что намагниченность $\mu_0 M_m$, а следовательно, и магнитный момент P_m у магнитов из закритического материала практически не зависят от формы магнита (так как ординаты точек $d_1—d_2$ и d_4 почти одинаковы), а у магнитов из докритического материала зависят очень сильно (ибо ординаты точек $b_1—b_4$ неодинаковы).

Способность магнитов из закритических материалов полностью восстанавливать свой поток в процессе магнитного возврата объясняется тем, что у них характеристика $B=f_2(H)$ отражает только прямолинейный участок кривой $\mu_0 M=f_1(H)$, лежащий выше колена, а у всех магнитно-твердых материалов на этом участке прямая магнитного возврата совпадает с характеристикой размагничивания. На рис. 1-20, б представлены кривые $\mu_0 M=f_1(H)$ и соответствующие им кривые $B=f_2(H)$ для закритического материала (кривые 1 и 1') и докритического материала (кривые 2 и 2'). Прямая Od_1 — линия скоса у магнита с арматурой, а прямая Od_2 — линия скоса у магнита без арматуры. В зависимости от группы материала индукция у магнита, намагниченного с арматурой, определяется точкой d_1 или b_1 . Если магнит вынуть из арматуры, то его индукция определится соответственно точками d_2 или b_2 . Если же магнит снова соединить с арматурой, то у магнита из закритического материала индукция снова определится точкой d_1 , так как прямая магнитного возврата совпадает здесь с характеристикой размагничивания. У магнита из докритического материала прямая магнитного возврата b_2b_3 не совпадает с характеристикой размагничивания, поскольку точка b_2 лежит ниже колена кривой размагничивания, и операция вынимания магнита из арматуры приводит здесь к значительной потере магнитного потока.

Способность магнитов из закритических материалов полностью восстанавливать магнитный поток после воздействия стороннего размагничивающего поля $H_{ст}$ объясняется теми же причинами, что и способность полностью восстанавливать поток после временного отсоединения арматуры. Для нахождения наибольшей допустимой напряженности $H_{ст}$ нужно из точки a_1 начала колена кривой 1 провести линию a_1a_2 , параллельную линии скоса Od_1 магнита с арматурой. При этом отрезок Oa_2 определит значение $H_{ст}$. Из рисунка следует, что $H_{ст} = H_{a1} - H_{вн}$ — напряженность внутреннего размагничивающего поля (отрезок a_2a_3). Чем дальше отстоит точка a_1 от критической точки c_1 , тем больше $H_{ст}$ по сравнению с коэрцитивной силой $H_{св}$.

Таблица 1-4
 Параметры характеристики размагничивания литых сплавов по данным ГОСТ 17809-72

Марка сплава	Максимальная удельная энергия $W_{max} =$ $= 0,5 B_d H_d$, кДж/м ³	Коэрцитивная сила		Остаточная индукция B_r , Тл	B/H в точке $(B/H)_{max}$, мкН/м	Тип кристал- лической структуры	Магнитная анизотропия
		по индук- ции H_{CB} , кА/м	по намаг- ниченно- сти H_{CM} , кА/м				
ЮНД4	3,6	40	—	0,50	12,0—16,0	Равноосная	Отсутствует
ЮНД8	5,1	44	—	0,60	13,0—16,0		
ЮНТС	4,0	58	—	0,43	7,0—10,0		
ЮНДК15	6,0	48	—	0,75	15,5—18,0		
ЮНДК18	9,7	55	—	0,90	15,0—20,0		
ЮНДК18С	14	44	—	1,10	22,0—28,0		
ЮН13ДК24С	18	36	—	1,30	30,0—33,0		
ЮН13ДК24	18	40	—	1,25	25,0—27,5		
ЮН14ДК24	18	48	—	1,20	20,0—22,0		
ЮН15ДК24	18	52	—	1,15	15,0—17,5		
ЮН14ДК24Т2	15	60	—	1,10	16,0—19,0		

Имеется					
Столбчатая	28	44	—	1,40	27,5—30,0
	28	52	—	1,35	24,0—25,0
	28	48	—	1,40	26,5—27,5
	28	58	—	1,30	21,5—24,0
	28	62	—	1,25	16,5—21,5
	32	92	—	1,15	11,0—14,0
Равноосная	14	92	—	0,75	8,0—11,0
	16	96	—	0,75	8,0—10,0
	18	110	—	0,75	7,0—8,0
	18	135	—	0,75	4,5—5,5
Столбчатая	18	145	—	0,70	3,5—4,5
	36	110	—	1,02	8,0—9,0
Монокристаллическая	40	115	—	1,05	8,0—9,0
	32	145	—	0,90	4,0—5,0

В обозначениях марок сплавов буквы означают: Б — ниобий, Д — медь, К — кобальт, Н — никель, С — кремний, Т — титан, Ю — алюминий, АА — столбчатая кристаллическая структура, ААА — монокристаллическая структура. Цифры означают процентное содержание элемента.

1-5. МАГНИТНЫЕ ПАРАМЕТРЫ ОТЕЧЕСТВЕННЫХ МАГНИТНО-ТВЕРДЫХ МАТЕРИАЛОВ

В СССР государственными и отраслевыми стандартами нормированы параметры характеристик размагничивания всех основных материалов для постоянных магнитов, а именно литых и металлокерамических сплавов, деформируемых сплавов, интерметаллических соединений редкоземельных элементов и магнитно-твердых ферритов.

В области литых сплавов действует ГОСТ 17809-72, нормирующий параметры 25 марок (табл. 1-4), в области металлокерамических сплавов ГОСТ 13596-68, нормирующий параметры 11 марок (табл. 1-5), в области деформируемых сплавов — ГОСТ 10994-74, нормирующий состав сплавов. Магнитные параметры этих сплавов определены ведомственными нормативными документами (табл. 1-6). В области интерметаллических соединений редкоземельных элементов действует ГОСТ 21559-76, нормирующий параметры четырех марок (табл. 1-7). В области магнитно-твердых ферритов действуют ОСТ 11707002-76 и ТУ, нормирующие параметры 28 марок (табл. 1-8). Параметры композиционных материалов (табл. 1-9) нормируются ТУ.

Таблица 1-5

Параметры характеристики размагничивания металло-керамических сплавов по данным ГОСТ 13596-68

Марка сплава	Максимальная удельная энергия $W_{max} = 0,5 B_d H_d$ кДж/м ³	Коэрцитивная сила		Сстаточная индукция B_r , Тл	B/H в точке (BH) _{max} мкГн/м
		по индукции H_{cB} , кА/м	по намагниченности H_{cM} , кА/м		
		Не менее			
ММК1	3,0	24	—	0,60	20,6
ММК2	3,5	39	—	0,48	13,0
ММК3	4,0	44	—	0,52	11,1
ММК4	4,5	40	—	0,55	10,0
ММК5	4,7	44	—	0,60	13,0
ММК6	5,0	44	—	0,65	16,0
ММК7	10,5	44	—	0,95	17,2
ММК8	14,0	40	—	1,10	22,8
ММК9	12,0	80	—	0,75	8,3
ММК10	15,0	100	—	0,80	9,3
ММК11	16,0	128	—	0,70	5,0

Буквы ММК означают материал металлокерамический, а цифра — порядковый номер сплава.

Таблица 1-6

Параметры характеристики размагничивания деформируемых сплавов

Название сплава	Система	Марка сплава	Сортамент	$\Psi_{\text{плат}}$ кДж/м ³	B_r , Тл	H_{cB} , кА/м
Комоль	Fe-Co-Mo	12 KM	Трубная заготовка	3—9	0,8—0,11	8—20
	Fe-Co-Mo-W	12 KMB				
Викаллой	Fe-Co-V	52KФ	Лист, проволока	1,5—12,5	1,7—0,9	4—30
		52KФТМ	Прямолнейные прутки	1,5—17,5	1,15—0,9	32—48
Кунифе	Cu-Ni-Fe		Прутки, проволока, листы	3—7,5	0,7—0,65	20—46
Кунико	Cu-Ni-Co			2,5—4,0	0,5—0,3	35—56
—	Fe-Cr-Co	25X15K	Листы, прутки, проволока	10—17,5	1,0—1,25	35—45
	Fe-Cr-Co-Mo	30X25KM		15—20	1,0—1,25	45—80

Продолжение табл. 1-6

Название сплава	Система	Марка сплава	Сортамент	W_{max} , кДж/м ³	B_r , Тл	H_{CB} , кА/м
—	Fe-Mn-Ni	12ГН	Листы	6—7,5	0,8—0,7	15—18
—	Fe-Cr-Ni	ЭП322	Лента	0,5—4,0	0,5—0,1	20—56
				0,5—1,5	1,6—0,2	20—64
—	Fe-Co-Cr-V	25КХ4Ф	Листы, проволока	1,0—1,25	1,2—1,0	2,5—3,0
		35КХФ		1,25—2,0	1,2—0,8	2,5—4,8
	Fe-Co-Ni-V	25КН14Ф		0,75—1,0	1,2—1,1	1,6—2,0
		35КН10Ф		1,25—1,5	1,6—1,2	2,2—3,0
Платинакс	Pt-Co	ПлК78	Прутки, полосы, листы	32—47,5	0,8—0,7	300—400
		ПлК76		28—45	0,75—0,65	240—350

Таблица 1-7
Параметры характеристики размагничивания магнитно-твердых интерметаллических соединений

Группа	Марка соединения	Максимальная удельная энергия $W_{max} = 0,5 B_d H_d$, кДж/м ³	Коэрцитивная сила		Остаточная индукция B_r , Тл	Отношение B/H в точке (ВН) $\frac{mKl}{Hm}$
			по индукции H , кА/м	по намагниченности H , кА/м		
Редкоземельные ГОСТ 21559-76	КС37	55	540	1300	0,77	1,35
	КС37А	65	560	1000	0,82	1,30
	КСП37	65	520	800	0,85	1,39
	КСП37А	72,5	500	640	0,90	1,72
На основе марганца	МпВі (бисманоль)	Изотропный	12—13	250—300	500—600	0,35—0,40
		Анизотропный	30	400—450	700—800	0,55—0,60
	70 Мп 30 АІ	Литой	2—2,8	80—96	120—136	0,24
		Деформируемый	12—20	160—176	240	0,55
	68 Мп 32 Ga	Литой	4—6	96	320—360	0,15—0,2
		Деформируемый	8—10	120—160	400—640	0,2—0,25
		Изотропный	12—13	250—300	500—600	0,35—0,40
		Анизотропный	30	400—450	700—800	0,55—0,60

В обозначениях марок соединений буквы означают: К—кобальт, П—празеоим, С—самарий, А—улучшенная текстура. Цифры означают среднее содержание самария или среднее суммарное содержание самария и праэодиима.

Таблица 1-8

Параметры характеристики размагничивания магнитно-твердых ферритов

Марка феррита	Максимальная удельная энергия $W=0,5 B_d H_d$, кДж/м ³	Коэрцитивная сила		Остаточная индукция B_r , Тл	B/H в точке $(BH)_{max}$, мкГн/м
		по индукции $H_{сВ}$	по намагниченности $H_{сМ}$		
кА/м					
Не менее					
6БИ240	3,0	125	240	0,19	1,50
6БИ250	2,8	120	247	0,19	1,61
7БИ215	3,5	125	215	0,21	1,58
7БИ300	3,5	140	300	0,20	1,43
9БА205	4,5	135	205	0,24	1,60
14БА255	7,0	185	255	0,29	1,50
15БА300	7,5	200	300	0,30	1,50
16БА190	8,0	185	190	0,30	1,41
18БА220	9,0	210	220	0,33	1,51
18БА300	9,0	220	300	0,32	1,45
19БА260	9,5	225	260	0,33	1,43
225А220	11,0	215	220	0,36	1,48
24БА210	12,0	205	210	0,37	1,42
25БА150	12,5	145	150	0,38	1,44
25БА170	12,5	165	170	0,38	1,44
28БА170	14,0	165	170	0,39	1,39
28БА190	14,0	185	190	0,39	1,36
21СА320	10,5	239	318	0,34	1,38
24СА200	12,0	195	200	0,37	1,43
27СА220	13,5	215	220	0,38	1,34
28СА250	14,0	240	250	0,39	1,35
10КА165	5,0	143	165	0,23	1,32
11КА135	5,55	127	135	0,24	1,30
14КА135	7,15	127	135	0,28	1,37
22РА220	11,0	215	220	0,36	1,48
25РА150	12,5	145	150	0,38	1,60
28РА180	14,0	175	180	0,39	1,35
30РА190	15,0	185	190	0,40	1,33

Примечание. В обозначениях марок цифра, стоящая на первом месте, означает (округленно) энергетическое произведение, $B_d H_d$, выраженное в кА·Тл/м. Буква, стоящая на втором месте, означает состав феррита: Б — бариевый, К — кобальтовый, Р — легированный редкоземельными элементами, С — стронциевый. Буква, стоящая на третьем месте, означает: А — анизотропный, И — изотропный. Цифра, стоящая на последнем месте, определяет значение коэрцитивной силы по намагниченности, выраженное в килоамперах на метр.

Таблица 1-9

Параметры характеристики размагничивания магнитно-твердых композиционных материалов

Марка композиции	Максимальная удельная энергия $W_{max} = 0,5 B_d H_d$ кДж/м³	Коэрцитивная сила		Остаточная индукция B_r , Тл
		по индук- ции $H_{CB'}$ кА/м	по намагни- ченности $H_{CM'}$ кА/м	
		Не менее		
ИРП-2042	0,56	54,4	—	0,08
ИРП-2056	0,94	68,8	—	0,11
Магнитоэласт (ТУ45-75)	2,0	72	88	0,17
Пластиформ 1Н	4,15	155	176	0,214
Пластиформ 1	4,3	118	—	0,22

В качестве критерия энергоемкости нами всюду выбрано значение максимальной энергии $W_{max} = B_d H_d / 2$, а не энергетическое произведение $B_d H_d$, так как в некоторых нормативных документах последнее неправильно выражено в кДж/м³, в то время как его нужно выражать в кА·Тл/м. Запись формул удельной энергии и энергетического произведения в системах единиц СИ и СГСМ имеет вид:

Система единиц	Удельная максимальная энергия	Энергетическое произведение
СИ	$W = \left(\frac{BH}{2} \right)_{max}$, Дж/м ³	$(BH)_{max} = B_d H_d$, Тл·А/м
СГСМ	$W = \left(\frac{BH}{8\pi} \right)_{max}$, Эрг/см ³	$(BH)_{max} = B_d H_d$, Гс·Э

1-6. МАГНИТНЫЕ ПАРАМЕТРЫ ЗАРУБЕЖНЫХ МАГНИТНО-ТВЕРДЫХ МАТЕРИАЛОВ

О параметрах кривой размагничивания магнитно-твердых материалов иностранного производства наиболее достоверно можно судить лишь по данным, приводимым в каталогах фирм.

В настоящее время за рубежом наиболее распространенными являются магниты из ферритов (табл. 1-10) и сплавов альнико (табл. 1-11 и 1-12). Магниты из редкоземельных материалов (табл. 1-13) в силу их относительной дороговизны еще не нашли массового применения. Однако весьма вероятно, что они в скором времени будут доминировать в области радиоэлектроники, приборостроения и производства средств технической кибернетики, так как благодаря своей высокой энергии эти материалы позволяют существенно

Таблица 1-10

Параметры характеристики размагничивания магнитно-твердых ферритов по данным каталогов иностранных фирм

Марка	$(BH)_{max}$, МГс·Э	B_r , кГс	$H_{сВ}$, кЭ	$H_{сМ}$, кЭ	Фирма (страна)
Ферроксдюр:					
270	2,7	3,4	3,2	4,2	Philips (Нидерланды)
280	2,9	3,5	3,0	3,2	
300	3,6	4,0	1,8	1,85	
330	3,2	3,7	3,0	3,1	
370	3,5	3,85	2,95	3,1	
380	3,4	3,8	3,3	3,5	
Ферроксдюр:					
280K	2,8	3,55	3,0	2,7	Philips (Италия)
300R	3,3	3,4	1,9	2,0	
300	2,9	3,5	3,0	—	
330K	3,4	3,7	3,0	3,3	
360R	3,6	3,9	3,2	2,4	
100	0,95	2,2	1,65	2,7	
Ферроксдюр:					
FXDI	1,0	2,2	1,7	—	Fransco (Франция)
FXDII	3,2	3,8	2,0	—	
FXDIII	2,6	3,45	3,2	—	
Ферроксдюр:					
100	0,9	2,0	1,7	—	Valvo (Франция)
300	2,9	3,8	1,7	—	
Ферроксдюр:					
270	2,7	3,4	3,0	4,2	RTC La Radio- technique complex (Франция)
370	3,7	3,85	2,95	3,1	
Спиналь (изотропн.)	1,0	2,15	1,65	3,4	Allevard Ugine
Спиналор:					
1B	3,3	3,9	1,6	1,65	
1	3,0	3,6	2,0	2,05	
1H	2,65	3,3	2,5	2,6	

Продолжение табл. 1-10

Марка	$(BH)_{max}$, МГс·Э	B_r , кГс	H_{cB} , кЭ	H_{cM} , кЭ	Фирма (страна)
Спиналор:					
2	3,2	3,7	2,8	2,95	Allevard Ugine (Франция)
2H	2,85	3,5	3,05	3,25	
3B	3,5	3,95	2,0	2,1	
3H	2,8	3,5	2,6	2,7	
4B	3,6	4,05	2,0	2,1	
4H	3,2	3,7	3,2	3,6	
Ферроксдюр:					
I	1,0—1,2	2,1—2,4	1,8—2,0	—	Yokohama Kagaku Kinza- ku Co., Ltd. (Япония)
II	3,8—4,0	4,0—4,2	1,8—2,0	—	
III	2,5—3,1	3,6—3,8	2,0—2,4	—	
Ферринет:					
Q_6	3,4—4,0	4,0—4,3	1,8—2,2	—	Tohoku Metals Industries, Ltd. (Япония)
Q_1	1,0—1,2	2,3—2,5	1,8—2,0	2,9—3,3	
Q_7	2,5—3,0	3,3—3,7	2,8—3,2	3,0—3,5	
Q_8	3,4—4,0	3,8—4,1	2,1—2,4	2,15—2,45	
УВМ-1А	3,25—4,0	3,7—4,1	1,7—2,1	1,75—2,15	Hitachi Metals Ltd. (Япония)
УВМ-2А	2,0—2,5	3,0—3,5	2,2—2,6	2,4—3,0	
УВМ-2С	2,91—3,62	3,5—3,9	2,8—3,3	3,0—3,6	
УВМ-2F	2,14—2,75	3,0—3,4	2,3—2,7	2,4—3,0	
УВМ-2D	2,59—3,25	3,3—3,7	2,7—3,3	3,0—3,8	
УВМ-1В	3,8—4,4	4,0—4,3	1,8—2,2	1,85—2,25	
УВМ-2В	3,4—4,2	3,8—4,2	2,7—3,4	2,9—3,6	
УВМ-2ВВ	4,2—4,6	4,2—4,4	2,4—3,1	2,5—3,2	
УВМ-3	0,95—1,26	2,0—2,3	1,7—2,0	3,2—3,4	
УВМ-2G	2,43—3,08	3,2—3,6	2,6—3,1	3,1—3,8	
УВМ-2D	2,59—3,25	3,3—3,7	2,7—3,3	3,0—3,8	
FB ₁	1,1	2,2	1,9	3,5	TDK Electronics Co., Ltd (Япония)
FB ₂ A	3,4	3,85	1,8	1,85	
FB ₂ B	3,4	3,85	1,8	1,85	
FB ₃ A	2,9	3,6	2,4	2,5	
FB ₃ B	2,6	3,4	3,0	3,4	
FB ₄ A	3,8	4,15	1,8	1,85	
FB ₄ B	3,2	3,8	3,2	3,5	

Продолжение табл. 1-10

Марка	$(BH)_{max}$, МГс·Э	B_r , кГс	H_{CB} , кЭ	H_{CM} , кЭ	Фирма (страна)
FXД1	0,8—1,0	2,0—2,3	1,5—1,7	—	Sumitomo Special Metals Co., Ltd. (Япония)
FXД2	2,7—3,3	3,5—4,0	1,7—2,0	—	
FXД3	2,1—2,5	3,0—3,5	2,2—2,6	—	
FXД4	3,5—4,0	4,0—4,3	1,7—2,2	—	
FXД6	3,0	3,8	1,7	—	
SSR1	4,5	4,5	2,0	—	
SSR2	3,5	4,0	3,2	—	
OP-B1	0,8—1,1	2,0—2,3	1,5—1,8	3,0—3,5	Mitsubishi Electric Corporation (Япония)
OP-B2	2,1—2,5	3,0—3,5	2,2—2,6	3,0—3,5	
OP-B3	3,4—4,3	3,8—4,3	1,7—2,2	1,7—2,2	
MPA-80	0,8—1,0	2,0—2,2	1,5—1,7	—	
MPA-270	2,7—3,3	3,5—4,0	1,7—2,0	—	
MPB-210	2,1—2,5	3,0—3,5	2,2—2,6	—	
P1	1,1	2,2—2,4	1,9—2,2	—	Nippon Ferrite Industrial Co., Ltd. (Япония)
P2	1,73	2,9	2,2	—	
P3	2,0	3,4	1,6	—	
P5	2,5—3,0	3,4—3,8	2,1—2,5	—	
P6	3,1—3,7	3,8—4,3	1,7—2,1	—	
Индокс:					
I	1,0	2,2	1,82	—	Indiana General (США)
II	1,65	2,7	2,25	—	
V	3,5	3,84	2,20	—	
VIA	2,6	3,3	3,0	—	
VI	2,2	3,05	2,4	—	
Ферримаг:					
1	1,05	2,3	1,85	—	Crucible Magnetics Division of «Colt Industries» (США)
1A	1,05	2,2	1,80	3,2	
1B	1,1	2,25	1,85	4,0	
5	3,5	3,95	2,00	—	
5E	2,6	3,35	2,30	2,60	
5A	3,5	3,95	2,40	2,47	
6	3,1	3,6	2,75	3,1	
6E	2,5	3,3	2,8	3,0	
7	2,8	3,45	3,3	4,0	
8	3,5	3,85	2,95	3,1	
Генокс:					
1	1,1	2,3	1,95	—	General Magnetic Corporation (США)
5	3,4	3,8	2,4	—	
6	2,7	3,3	2,8	—	

Продолжение табл. 1-10

Марка	$(BH)_{max}$, МГс·Э	B_r , кГс	H_{CB} , кЭ	H_{CM} , кЭ	Фирма (страна)
M-01	1,0	2,2	1,8	3,5	Allen Bradley (США) DM Steward Manufacturing Co. (США)
M-0,5C	2,6	3,3	2,2	2,3	
M-0,5B	3,4	3,8	2,05	2,1	
F-335	1,3	2,25	1,75	3,75	
F-330	1,15	2,38	1,92	3,85	
F-500	3,75	4,10	2,35	2,45	
F-620	2,6	3,44	3,00	3,58	
Арнокс:					Arnold Engine- ring (США)
1	1,05	2,25	1,8	3,0	
5	3,5	3,9	2,4	2,42	
6	2,8	3,45	3,1	3,6	
7	2,7	3,45	3,2	4,0	
8	3,5	3,85	2,9	3,0	
Мангадур:					Mullard Overse- as Ltd. (Вели- кобритания)
6	3,2	3,7	3,0	—	
2	3,3	3,9	1,8	—	
3	2,9	3,4	3,0	—	
4	2,0	2,6	2,45	—	
P120	1,3	2,3	1,95	—	
1	0,95	2,1	1,75	—	
Фероба:					Balfour and Darwins Ltd. (Великобри- тания)
I	1,0	2,2	1,7	—	
II	3,2	3,9	1,7	—	
III	2,7	3,4	2,5	—	
Коэрокс:					Fried Krupp GMBH Widia- Fabrik (ФРГ)
100	0,8—1,1	1,9—2,3	2,0—1,6	—	
300	2,7—3,2	3,4—3,8	2,5—1,9	—	
300K	2,5—3,6	3,3—3,9	1,8—2,6	—	
300	2,8—3,5	3,5—4,0	2,0—1,6	—	
330	3,0—3,4	3,4—3,8	3,2—2,6	—	
360	3,3—3,8	3,7—4,1	2,0—2,9	—	
Окс:					Magnetfabrik Bonn (ФРГ)
100	1,0	2,1	1,7	—	
300	3,0	3,8	1,8	—	
330	3,0	3,6	2,8	—	
360	3,3	3,8	2,0	—	
400	3,6	3,8	2,8	—	

Продолжение табл. 1-10

Марка	$(BH)_{max}$, МГс·Э	B_r , кГс	H_{cB} , кЭ	H_{cM} , кЭ	Фирма (страна)
Сифферит:					
DB1	5,0	2,0—2,3	1,5—1,9	—	Siemens Aktien- gesellschaft (ФРГ)
DS1	4,6	3,6—4,0	2,2—2,9	—	
DS2	4,4	3,2—3,6	3,0—3,65	—	
Оксит:					
100	0,8—1,0	2,2—1,9	1,6—1,9	—	Deutsche Edel- stahlwerkge- sellschaft Mag- netfabrik Dort- mund (ФРГ)
300K	2,7—3,2	3,9—3,6	1,9—2,3	—	
300KK	2,0—2,7	2,8	2,3	—	
300	2,9—3,4	4,1—3,75	1,6—2,0	—	
330	3,0—3,4	3,8—3,6	2,6—3,1	—	
360	3,0—3,7	4,0—3,75	1,9—2,3	—	
300	2,7	3,5	1,35	—	РЭС ПРОМ (НРБ)
A20K	0,8—1,1	2,0—2,3	1,8—1,1	—	
A25R	2,9—3,3	3,4—4,0	2,1—1,2	—	

Таблица 1-11

Параметры кривой размагничивания литых сплавов альни и альнико по данным каталогов иностранных фирм

Марка	$(BH)_{max}$, МГс·Э	H_{cB} , Э	B_r , кГс	H_d , Э	B_d , кГс	Фирма (страна)
Тикональ:						
190	2,1	730	8,0	400	5,0	Philips (Ни- дерланды)
360	3,6	710	10,7	500	7,2	
400	4,0	640	11,6	500	8,0	
450	4,25	1335	8,5	800	5,3	
500	4,8	630	12,8	500	9,6	
600	5,77	645	13,1	550	10,5	
650	6,5	700	13,0	565	11,0	
750	7,5	760	13,4	650	11,5	
800	7,5—8,0	750	13,8	—	—	
900	9,0	1400	10,6	1100	8,0	
1100	10,8	1500	10,1	—	—	
Реко:						
100	1,2	480	6,2	300	4,0	Philips (Италия)
120	1,3	600	5,9	400	3,1	
140	1,4	565	6,5	400	3,5	
160	1,65	680	6,6	400	4,15	
170	1,65	890	5,6	500	3,3	
220	2,3	1200	6,3	600	3,75	

Продолжение табл. 1-11

Марка	$(BH)_{max}$, МГс·Э	H_{CB} , Э	B_r , кГс	H_d , Э	B_d , кГс	Фирма (страна)
УСМ:						
1A	3,8	515	12	435	8,8	Hitachi Metals (Япония)
1B	4,8	600	12,3	300	9,7	
1C	5,3	630	12,6	515	10,2	
1D	6,0	670	13,0	570	10,5	
2A	2,8	770	8,3	480	5,8	
2B	3,8	720	10,5	485	7,8	
2C	3,2	950	8,0	615	5,2	
УСМ:						
2D	3,5	1050	9,0	640	5,45	Hitachi Metals (Япония)
3	1,1	350	8,0	205	5,3	
4A	1,5	550	5,8	393	3,8	
4B	1,9	650	6,2	430	4,4	
4C	2,7	850	7,5	555	4,9	
4D	3,0	900	7,75	590	5,1	
KS1	0,9—1,0	200— 250	9,5— 11	130	7,0	Sumitomo Spe- cial Metals (Япония)
KS2	0,6—0,65	140— 180	9,0— 9,5	102	6,0	
KS4	0,45—0,5	100— 120	8—9	80	6,0	
CS1	0,9—1,25	400— 500	4,5— 5,5	310	3,4	
CS2	0,75—1,0	700— 800	3— 3,5	420	2,1	
CS3	0,8—1,0	100— 150	10—11	145	8,5	
CS3A	0,75—1,0	230— 270	7,5— 8,5	200	4,8	
NKS-1	3,4—4,0	640— 720	10,3— 11,3	470	7,5	
NKS-1B1	3,8—4,8	620— 680	11,5— 12,5	520	8,2	
NKS-1B2	3,5—4,5	640— 700	10,0— 12,0	500	8,0	
NKS-1B3	3,5—4,5	660— 730	10,5— 11,5	520	7,7	
NKS-1DA	1,2—1,55	570— 650	6,0— 6,8	370	3,7	
NKS-1DB	1,2—1,5	650— 750	5,3— 5,8	450	3,2	
NKS-1F	3,0—3,8	730— 800	9,5— 10,5	485	6,9	

Продолжение табл. 1-11

Марка	$(BH)_{max}$ МГс·Э	H_{cB} , Э	B_r , кГс	H_d , Э	B_d , кГс	Фирма (страна)
NKS-1M	0,4—0,5	100—140	8,0—9,8	80	5,7	Sumitomo Special Metal (Япония)
NKS-3	4,0—5,0	560—640	12,3—13,0	565	9,7	
NKS-5	4,5—5,5	600—660	12,3—13,3	525	9,5	
NKS-5DG	5,3—6,3	630—730	12,5—13,5	575	10,0	
NKS-6	3,5—4,5	1200—1400	8,0—9,0	750	4,3	
NKS-7	6,7—8,0	680—780	13,0—14,0	620	11,3	
NKS-10	8,6—11,0	1400—1600	10,0—11,0	—	—	
Альнико:						Crucible Steel (США)
IA	1,4	540	6,6	340	4,1	
IB	1,4	450	7,1	300	4,7	
IC	1,4	400	7,6	270	5,2	
IIA	1,7	650	7,0	400	4,3	
IIB	1,7	580	7,5	360	4,7	
IIH	2,1	600	8,4	390	5,4	
IIIA	1,35	560	6,4	346	3,9	
IIIB	1,35	490	6,8	315	4,3	
IIIC	1,35	400	7,5	270	5,0	
IVA	1,35	730	5,5	420	3,2	
IVB	1,45	660	6,0	400	3,6	
VA	5,0	720	12,0	550	9,1	
VAB	5,5	685	12,5	550	10,0	
VAB	6,5	700	13,1	590	11,0	
IXA	8,5	1600	10,4	—	—	
IXB	9,5	1400	10,5	—	—	
VB	5,5	650	12,7	530	10,4	
VBDG	6,5	685	13,3	580	11,85	
VC	5,5	580	13,2	490	11,2	
VE	4,5	700	11,0	535	8,4	
VIA	2,75	975	7,5	600	4,6	
VIB	3,65	760	10,5	520	7,0	
Альнико:						General Magnetic (США)
I	1,4	425	7,0	310	4,5	
II	1,6	530	7,4	340	4,7	
III	1,4	475	7,0	310	4,5	
IV	1,3	700	5,3	430	3,0	
V	5,7	640	12,8	540	10,6	

Продолжение табл. 1-11

Марка	$(BH)_{max}$ Мгс·Э	$H_{сВ}$, Э	$B_{г'}$ кгс	$H_{д'}$, Э	$B_{д'}$ кгс	Фирма (страна)
VDG	6,5	675	13,5	580	11,2	
VI	4,0	750	10,2	530	7,5	
VIII	5,0	1600	8,0	—	—	
IX	5,0	1450	8,5	—	—	
Альнико:						Arnold Engineering Co. (США)
I	1,40	450	7,1	305	4,60	
II	1,55	530	7,3	335	4,62	
III	1,40	470	7,0	325	4,30	
IV	1,25	740	5,2	415	3,0	
V	5,00	620	12,5	500	10,0	
VDG	6,0	640	13,1	560	10,75	
VIII	5,0	1500	8,8	—	—	
IX	5,0	1650	7,8	—	—	
Альнико:						Indiana Steel Products Co. (США)
VI	3,75	650	10,5	515	7,28	
VII	2,75	1050	7,2	690	4,00	
X900	1,80	850	6,5	540	3,30	
I	1,4	440	7,0	300	4,5	
изотропный II	1,6	560	7,2	350	4,7	
изотропный III	1,35	470	6,9	315	4,3	
изотропный IV	1,30	700	6,5	430	3,0	
анизотропный V	5,25	600	12,5	512	10,2	
анизотропный VI	3,8	750	10,1	543	7,0	
анизотропный VII	7,5	730	13,4	—	—	
анизотропный						
Маглой:						Plessey Co., Ltd. (Велико-британия)
1	5,3	645	12,7	530	10,0	
2	1,70	750	10,7	540	7,4	
5	1,25	560	7,7	400	4,25	

Продолжение табл. 1-11

Марка	$(BH)_{max}$ МГс·Э	H_{CB} , Э	B_r , кГс	H_d , Э	B_d , кГс	Фирма (страна)
6	1,25	480	6,2	300	4,0	Plessey Co., Ltd. (Великобритания)
7	3,3	720	9,5	730	6,25	
8	4,4	1250	9,0	800	5,5	
10	5,8	700	12,9	560	10,4	
100X	6,5	730	13,4	600	10,8	
Тикональ:						Mullard Overseas Ltd. (Великобритания)
XX	9,0	1400	10,6	—	—	
GX	7,5	720	13,5	625	12,0	
G	5,7	583	13,48	520	11,0	
C	5,0	680	12,50	520	9,62	
F	4,8	600	12,40	480	10,0	
H	4,5	670	11,80	545	8,27	
E	4,1	740	11,07	550	7,5	
Д	3,8	600	12,0	420	9,0	
К	3,6	1150	8,50	775	4,65	
Реко:						
2A	1,92	1000	5,50	600	3,3	
3A	1,7	645	7,20	390	4,35	
Альни	1,25	490	6,2	340	3,65	English Steel Magnet Corporation (Великобритания)
Алькомакс:						
II	4,5	575	12,4	450	9,6	
III	5,1	675	12,5	500	9,5	
IV	4,3	750	11,2	535	8,0	
Альнико	1,7	550	8,0	360	4,7	
Эрстит:						Deutsche Edelstahlwerke AG (ФРГ)
190	2,1	820	7,5	485	4,4	
300	3,1	820	9,15	515	4,4	
450	4,4	1300	8,6	825	5,25	
500	5,0	650	12,05	515	9,65	
600	5,85	710	12,5	590	9,95	
700	>6,2	>700	>12,5	>580	>9,9	

Продолжение табл. 1-11

Марка	$(BH)_{max}$, МГс·Э	$H_{сВ}$, Э	B_r , кГс	H_d , Э	B_d , кГс	Фирма (страна)
Тикональ:						
190	2,95	740	8,0	—	—	Valvo (ФРГ)
360	3,4	710	10,75	—	—	
450	4,12	1300	8,5	—	—	
500	4,65	620	12,65	—	—	
600	5,65	650	13,2	—	—	
700	6,5	670	13,1	—	—	
750	7,25	740	13,7	—	—	
Коэрцит:						
120R	1,4	425	7,0	275	5,0	Fried Krupp Widia-Fabrik Magnetwerk- stoffe (ФРГ)
120K	1,22	600	5,9	385	3,3	
160	1,70	690	6,5	440	4,0	
190	2,1	725	8,0	450	4,9	
220	2,3	1225	6,3	650	3,55	
330	3,1	750	9,15	490	6,05	
350	3,7	1150	8,25	715	5,0	
400	4,15	610	11,5	475	9,0	
400K	4,05	815	9,97	560	6,6	
450	4,4	1200	8,35	740	5,6	
500	5,0	650	12,0	515	9,5	
600	5,85	720	12,5	580	9,8	
700	6,75	750	13,25	580	9,5	
Тикональ 1500	5,0	1450	8,5	—	—	Allevard Ugine (Франция)
Перматит:						
600	6,5	700	12,5	550	10,2	Böher, Gebrüder and Co. (Австрия)
500	4,5	630	12,0	500	9,5	
400	3,8	610	11,2	470	9,0	
350	3,3	1150	8,4	700	5,2	
220	2,0	1000	6,2	570	3,6	
190	1,8	760	7,5	440	4,5	
160	1,5	700	6,6	420	3,9	
120	1,1	630	5,8	380	3,4	

Таблица 1-12

Параметры кривой размагничивания металлокерамических (синтетических) сплавов альни и альнико по данным каталогов иностранных фирм

Маг. ка	$(BH)_{max}$, МГс·Э	B_r , кГс	$H_{сВ}$, Э	B_d , кГс	H_d , Э	Фирма, страна
Тикональ	4,2	11,07	620	8,93	470	Mullard (Велико- британия)
Альнико	1,5	7,0	550	4,5	330	
Алькомакс:						Murex (Велико- британия)
II	3,6	11,0	550	8,5	425	
III	4,1	11,0	620	8,8	465	
IV	3,5	9,5	725	7,6	530	
Гикомакс	2,6	8,1	810	4,9	—	
Альни	1,1	5,6	520	3,4	294	Darwins Ltd (Ве- ллкобритания)
Альнико	1,6	7,0	550	3,6	445	
Гикомакс	2,6	8,1	810	5,1	510	
Алькомакс:						
II	3,6	11,0	550	8,5	425	
III	3,2	11,3	620	8,8	480	
IV	3,5	9,5	725	6,8	515	
Альнико:						Indiana Steel Products Co. (США)
II	1,45	6,9	520	4,3	340	
IV	1,20	5,2	700	3,0	400	
V	3,50	10,5	600	7,8	450	
VI	2,75	8,8	800	5,5	500	
Индаллой	0,9	9,0	240	6,0	150	
Альнико:						Crucible Steel Co. (США)
II	1,5	7,2	550	4,40	340	
IV	1,25	5,5	730	3,10	400	
V	3,8	10,5	600	8,15	465	

Продолжение табл. 1-12

Марка	$(BH)_{max}$ МГс·Э	B_r кГс	H_{cB} Э	B_d кГс	H_d , Э	Фирма, страна
Альнико: 160 400	0,72 3,75	7,3 10,5	470 550	3,36 8,46	216 443	VEB Hartmetall- stahlwerke AG (ФРГ)
Эрстит: 120R 120K 160 220 190 300 350 400 400	1,4 1,25 1,7 2,3 2,6 3,1 3,7 4,15 3,65	7,3 5,9 6,5 6,1 7,5 9,15 8,25 11,5 9,8	435 640 705 1175 820 820 1125 610 750	5,0 3,3 3,95 3,55 4,4 6,0 5,1 8,9 6,9	275 330 430 650 485 515 715 475 530	Deutsche Edel- stahlwerke AG (ФРГ)

Таблица 1-13

Параметры характеристики размагничивания магнитно-твердых
интерметаллических соединений по данным каталогов
иностранных фирм

Материал	$(BH)_{max}$ МГс·Э	B_r , кГс	H_{cB} , кЭ	H_{cM} кЭ	Фирма, страна
SmSo ₅	EC-16 ЕК-20 ЕК-24	15—17 19—21 23—25	7,8—8,4 8,8—9,2 9,7—10,2	7,5—8,0 8,5—9,0 9,0—10,0	14—16 12—16 10—16
Sm-Pr-Co	26	10,3	—	15	Hitachi Metals (Япония)

Таблица 1-14
 Параметры характеристики размагничивания магнитно-твердых композиционных материалов по данным каталогов иностранных фирм

Марка и тип связующего	$(BH)_{max}$, МГс·Э	B_r , кГс	$H_{св}$, кЭ	$H_{сМ}$, кЭ	Фирма (страна)
Ферроксдюр	P30 термопласт 15%	0,3—0,35	1,15—1,25	1,05—1,10	Philips (Нидерланды) и RTS la Radio-technique-Complex (Франция)
	P40 термопласт 10%	0,4—0,45	1,35—1,45	1,15—1,20	
	P50 термопласт 7%	0,5—0,55	1,55—1,60	1,22—1,28	
	D-55 термопласт 5%	0,55—0,6	1,65—1,70	1,30—1,40	
	P130 термопласт 11%	1,3—1,4	2,3—2,4	2,1—2,4	
Пластоферрит	Пластоферрит I	0,60	1,65	1,25	Allevard Ugine (Франция)
	» II	0,50	1,55	1,20	
	» III	0,25	1,0	0,95	
Феррифлекс	Резина I	0,50	1,55	1,15	
	Термопласт II	0,35	1,30	1,10	
	» III	1,15	2,20	1,90	
	» IV	1,50	2,50	2,10	
				2,5	
				3,0	

Мангадур	Д-55 термoplast IE термoplast P-40 резина P-120 резина	0,6 0,46 0,45 1,30	1,70 1,47 1,45 2,30	1,40 1,23 1,20 1,95	— — — —	Mullard (Велико- британия)
Гэзлокс III резина		0,4	1,4	1,05	—	Plessey (Велико- британия)
УР М3 УР М4 УР М3G УР М4G	Резина	0,35—0,40 0,45—0,52 0,6—0,9 0,8—1,1	1,3—1,5 1,6—1,8 1,75—2,0 2,1—2,3	1,0—1,1 1,05—1,2 1,5—1,65 1,6—1,8	— — — —	Hitachi Metals Ltd. (Япония)
КРМ-2А КРМ-2В	Эластик	0,4—0,6 0,2—0,3	1,4—1,6 1,0—1,2	1,2—1,35 0,9—1,0	— —	
ОР-Г1 ОР-Г2 ОР-Г3 ОР-Г4 ОР-Г5 ОР-Г6 ОР-Н	Резина	— — — — 0,43—0,07 1,1—1,4	0,7 1,02 1,28 1,55 1,70 1,36—0,58 2,4—3,0	0,62 0,85 0,98 1,08 1,13 1,26—0,46 0,9—1,2	— — — — — — —	Mitsubishi Electric Corporation (Япония)
МБС-3 МБС-6	Термореактивная резина	0,5—0,6 1,0—1,2	1,5—1,7 2,1—2,3	1,3—1,4 1,8—2,0	3,0 3,0	TDK Electronics Co., Ltd. (Япония)

Продолжение табл. 1-14

Марка и тип связующего		(ВН) _{max} МГС·Э	B_r , кГс	H_{cB} , кЭ	H_{cM} , кЭ	Фирма (страна)
МВР-1	Термопластичная резина	0,2	1,0	0,9	3,0	TDK Electronics Co., Ltd. (Япония)
RN-1 RN-2	Резина	0,54 0,75	1,7 2,0	1,15 1,35	— —	Sumitomo Special Metals Co., Ltd.
RM-1A RM-1B	Смола	0,5 0,25—0,30	1,6 1,05—1,1	1,2 0,85	— —	Япония
GP-S GP-B	Резина изопрено-вая	1,02 1,04	2,10 2,15	1,95 1,92	3,65 3,0	TODA Industrial Co., Ltd. (Япония)
Козрок G	Резина Термопласт	0,5—1,0 0,4—0,6	1,5—2,0 1,4—1,6	1,5—1,3 1,3—1,1	— —	Fried Krupp GMBH Widia-Fabrik (ФРГ)
Оксилит G	Резина Дюропласт Термопласт Резина Дюропласт	0,5—0,65 0,5—0,65 0,5—0,65 0,9—1,1 0,7—0,8	1,8—1,5 1,8—1,5 1,8—1,5 2,1—1,9 2,0—1,8	1,3—1,5 1,3—1,5 1,3—1,5 1,2—1,3 1,3—1,35	— — — — —	Deutsche Edelstahlwerke Aktiengesellschaft Magnetfabrik Dortmund (ФРГ)
Спрокс: 1H 2F 2H 2FE 3FP 4F	Резина	0,13 0,28 0,55 0,60 0,50 1,1	0,75 1,1 1,6 1,7 1,5 2,2	0,65 0,90 1,2 1,3 1,15 1,8	—	Magnetfabrik Bonn (ФРГ)

ВР1 ВР2	Резина	0,3—0,4 0,4—0,5	1,05—1,35 1,35—1,55	1,05—1,15 1,15—1,25	— —	Electronica Industrija OOUR fabrika Gerita (Югославия)
------------	--------	--------------------	------------------------	------------------------	--------	--

Таблица 1-15
Параметры характеристики размагничивания ковок сплавов по данным каталогов
иностранных фирм

Марка	(ВН) max. МГс.Э	B_r , Гс	$H_{св}$, Э	B_d , Гс	H_d , Э	Фирма (страна)
Кунифе 1	1,3	5,4	500	4,0	325	Indiana Steel Products Co. (США)
Кунико	0,8	3,4	700	2,0	400	
Кунифе	1,35	5,4	500	4,4	300	Arnold Engineering Co. (США)
Кунико	0,85	3,4	710	2,0	425	
Викаллой (вако)	0,80	7,5	250	4,7	170	
Ремаллой (комоль)	1,00	9,7	250	6,2	160	

Продолжение табл. 1-15

Марка	$(BH)_{max},$ МГс·Э	B_r , Гс	$H_{сВ}$, Э	B_d , Гс	H_d , Э	Фирма (страна)
Викаллой I (вако)	1,00	9,0	300	5,5	180	Crucible Steel Co. (США)
Викаллой II (вако)	3,0	10,0	450	8,2	370	
Ремаллой (комоль)	1,1	10,0	230	6,9	160	
Кунико:						
I	0,85	3,45	710	2,0	425	
II	0,99	5,3	450	3,4	290	Fr. Krupp Widia- Fabrik Magnet- werkstoffe (ФРГ)
I	1,85	5,7	590	4,2	440	
II	0,87	7,3	260	4,7	185	
Коэрцит: Т (вако)	2,8—3,4	10,8—12,2	410—340	9,6—10,0	360—290	
проволока						
лента	1,7—2,2	9,5—11,0	330—280	7,1—8,2	250—210	
Коэрцит Т «Н» (вако)	1,0	14—16	200	12,0	150	Vac (ФРГ)
Магнетофлекс 72	0,5	3,0	400	2,25	250	

уменьшать объем и массу тех изделий, в которых они используются. Магниты из композиций (табл. 1-14) находят довольно широкое применение в герметизирующих устройствах благодаря своей эластичности и в электрических микродвигателях благодаря легкости механической обработки. Деформируемые сплавы (табл. 1-15) служат в основном для изготовления роторов гистерезисных двигателей, а также проволоки и ленты для магнитной записи. В производстве постоянных магнитов они существенной роли не играют.

1-7. РАСЧЕТНЫЕ ХАРАКТЕРИСТИКИ РАЗМАГНИЧИВАНИЯ И ХАРАКТЕРИСТИКИ МАГНИТНОГО ВОЗВРАТА ДЛЯ МАТЕРИАЛОВ, ВЫПУСКАЕМЫХ В СССР

Расчетными здесь названы такие характеристики материала, по которым можно вычислить (в пределах точности расчетных формул) гарантированные значения параметров магнитной системы при условии, что свойства материала в любой точке магнита отвечают требованиям нормативного документа (ГОСТ или ОСТ). В соответствии с этим расчетные кривые должны характеризовать материал с наименьшими допустимыми значениями параметров, т. е. строго проходить через все три точки ($H_{св}$, B_r и H_d , B_d), определяемые нормативными документами. Изготовить образец, точно отвечающий этому требованию, практически невозможно. Поэтому в нормативных документах расчетная характеристика должна проходить через нормированные точки, сохраняя тенденцию характеристик, снятых экспериментально. Однако лучшие результаты (см. § 1-8) дает предложенная в [1-8] аппроксимация характеристик размагничивания двумя прямыми и дугой окружности (рис. 1-21). Здесь для построения характеристики размагничивания не требуется таблица координат контрольных точек, а достаточно знать координаты только двух точек: точки A пересечения продолжений линейных участков и точки ζ — центра дуги окружности.

В момент выхода первого издания справочника ни в одном из нормативных документов не приводились характеристики размагничивания. В настоящее время в новых нормативных документах (ГОСТ 17809-72, ГОСТ 21559-76 и ОСТ 11707002-76) характеристики размагничивания представлены, но, к сожалению, не снабжены таблицами координат контрольных точек и выполнены в мелком масштабе. Поэтому при построении характеристик размагничивания всех основных магнитно-твердых материалов (рис. 1-22—1-55) во втором издании справочника использована аппроксимация характеристики размагничивания двумя прямыми и дугой окружности.

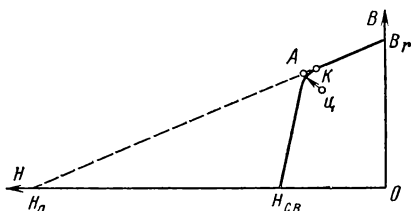
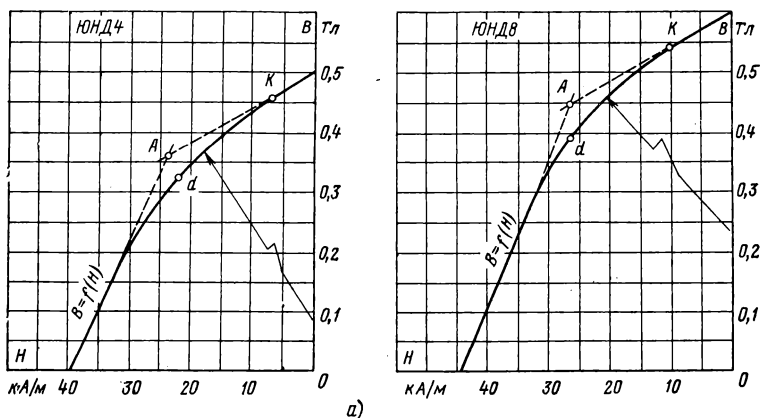


Рис. 1-21. Аппроксимация кривой размагничивания.

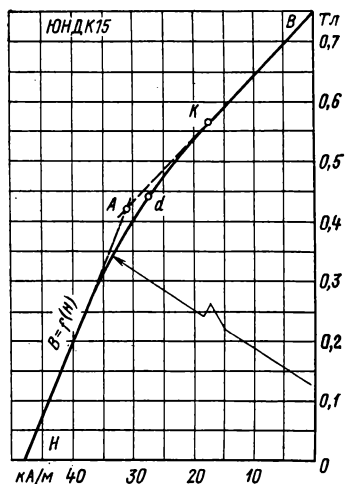
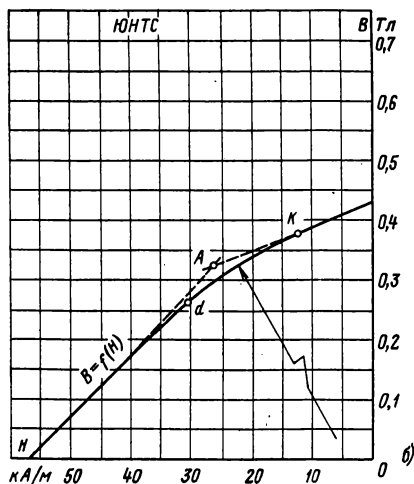


	$H_{сВ}$	H_d	H_A	$H_{ц}$	H_K	$H_{сМ}$	W
	кА/м					кДж/м³	
ЮНД4	40	22,7	24	-32	7	42,2	3,6
	B_r	B_d	B_A	$B_{ц}$	θ_l	K_B	$(B/H)_d$
	Тл				—	мкГн/м	
	0,5	0,318	0,355	-0,143	0,21	6,04	12—6

	$H_{сВ}$	H_d	H_A	$H_{ц}$	H_K	$H_{сМ}$	W
	кА/м					кДж/м³	
ЮНД8	44	26,5	26,5	-22,5	10	45,5	5,1
	B_r	B_d	B_A	$B_{ц}$	θ_l	K_B	$(B/H)_d$
	Тл				—	мкГн/м	
	0,6	0,385	0,445	0,02	0,215	5,85	13—16

Рис. 1-22. Характеристики

а — ЮНД4 и ЮНД8;

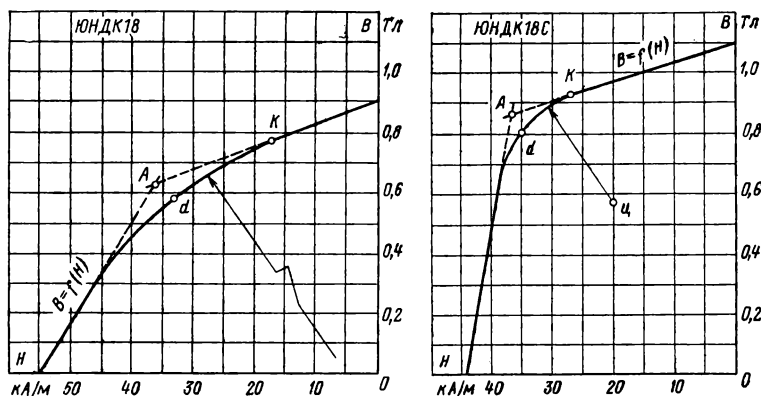


ЮНТС	H_{CB}	H_d	H_A	$H_{ц}$	H_K	H_{CM}	W
	кА/м						кДж/м³
	58	30,7	26,4	-24	12,5	62,5	4
	B_r	B_d	B_A	$B_{ц}$	θ_l	K_B	$(B/H)_d$
	Тл				—	мкГн/м	
	0,43	0,261	0,325	-0,43	0,32	3,98	7—10

ЮНДК15	H_{CB}	H_d	H_A	$H_{ц}$	H_K	H_{CM}	W
	кА/м						кДж/м³
	48	27,5	31	-60	17,5	50	6
	B_r	B_d	B_A	$B_{ц}$	θ_l	K_B	$(B/H)_d$
	Тл				—	мкГн/м	
	0,75	0,44	0,42	-0,175	0,12	10,6	15,5—18,0

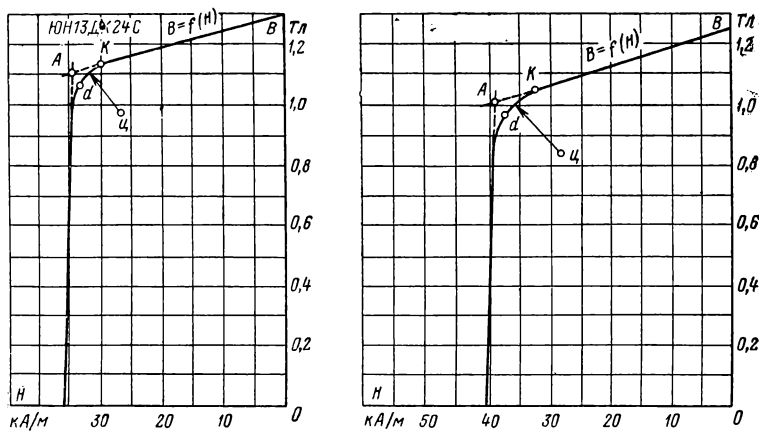
размагничивания альнико.

б — ЮНТС и ЮНДК15.



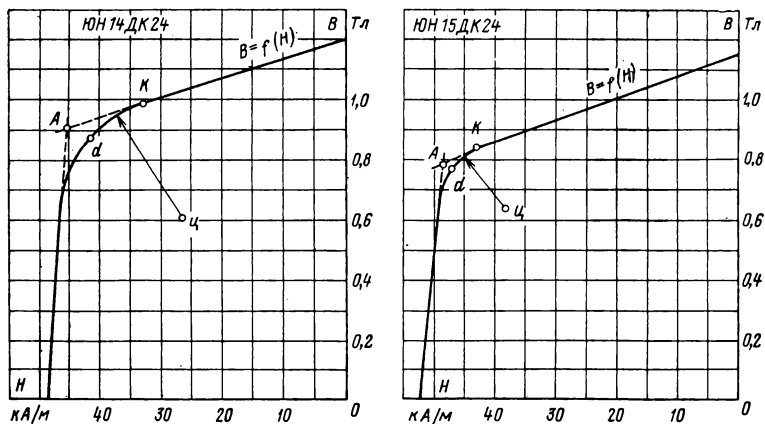
ЮНДК18	$H_{сВ}$	H_d	H_A	$H_{ц}$	H_K	$H_{сМ}$	W
	кА/м						кДж/м³
	55	33,3	36,5	-7,5	17,5	57	9,7
	B_r	B_d	B_A	$B_{ц}$	θ_L	K_B	$(B/H)_d$
	Тл				—	мкГн/м	
	0,9	0,58	0,63	-0,43	0,17	7,4	15—20
ЮНДК18С	$H_{сВ}$	H_d	H_A	$H_{ц}$	H_K	$H_{сМ}$	W
	кА/м						кДж/м³
	44	35	36,7	20	27	44,4	14
	B_r	B_d	B_A	$B_{ц}$	θ_L	K_B	$(B/H)_d$
	Тл				—	мкГн/м	
	1,1	0,8	0,86	0,57	0,19	6,54	22—28

Рис. 1-23. Характеристики размагничивания альнико ЮНДК18 и ЮНДК18С.



ЮН13ДК24С	$H_{сВ}$	H_d	H_A	$H_{ц}$	H_K	$H_{сМ}$	W
	кА/м						кДж/м³
	36	33,5	35	26,5	30	36,1	8
	B_r	B_d	B_A	$B_{ц}$	$\theta_{л}$	K_B	$(B/H)_d$
	Тл				—	мкГн/м	
	1,30	1,075	1,11	0,98	0,23	0,43	30—33
ЮН13ДК24	$H_{сВ}$	H_d	H_A	$H_{ц}$	H_K	$H_{сМ}$	W
	кА/м						кДж/м³
	40	37,5	39	28	32,5	40,1	18
	B_r	B_d	B_A	$B_{ц}$	$\theta_{л}$	K_B	$(B/H)_d$
	Тл				—	мкГн/м	
	1,25	0,96	1,0	0,84	0,2	6,41	25,0—27,5

Рис. 1-24. Характеристики размагничивания альнико ЮН13ДК24С и ЮН13ДК24.



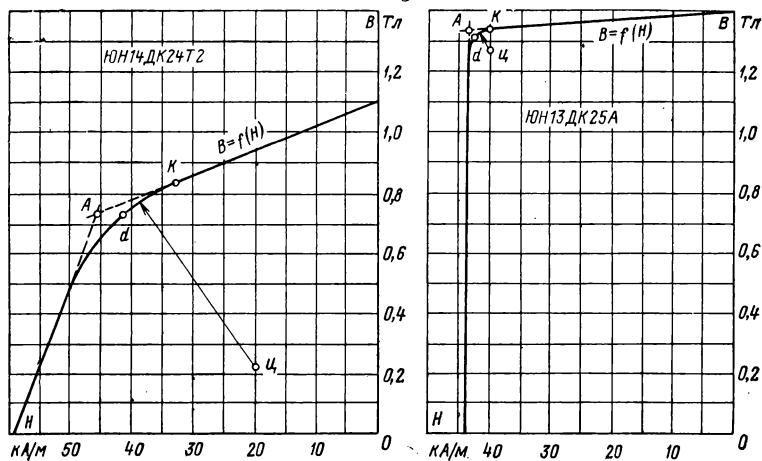
ЮН14ДК24

H_{CB}	H_d	H_A	$H_{ц}$	H_K	H_{CM}	ψ
кА/м						кДж/м ³
48	41,5	45,4	26,5	33	48,1	18
B_r	B_d	B_A	$B_{ц}$	θ_L	K_B	$(B/H)_d$
Тл				—	мкГн/м	
1,20	0,87	0,9	0,61	0,19	6,6	20—22

ЮН15ДК24

H_{CB}	H_d	H_A	$H_{ц}$	H_K	H_{CM}	ψ
кА/м						кДж/м ³
52	47	48,3	38	43	48,1	18
B_r	B_d	B_A	$B_{ц}$	θ_L	K_B	$(B/H)_d$
Тл				—	мкГн/м	
1,15	0,767	0,79	0,63	0,17	7,45	15—17

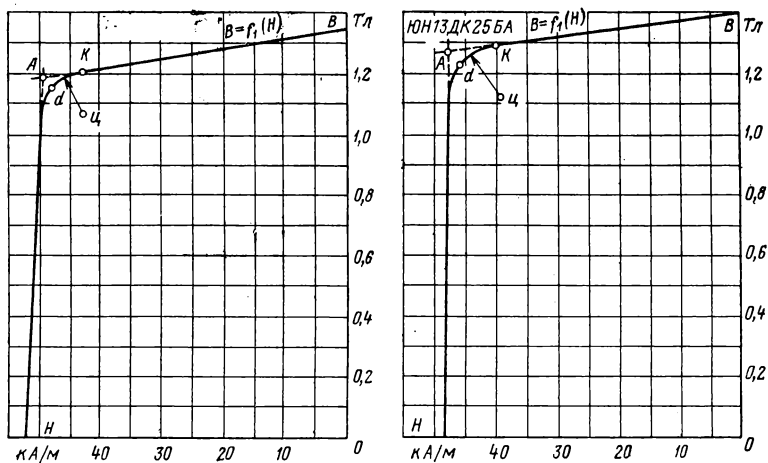
Рис. 1-25. Характеристики размагничивания альнико ЮН14ДК24 и ЮН15ДК24.



ЮН14ДК24Т2	$H_{сВ}$	H_d	H_A	$H_{ц}$	H_K	$H_{сМ}$	W
	кА/м						кДж/м³
	60	41,4	45,5	20	33	61	15
	B_r	B_d	B_A	$B_{ц}$	θ_L	K_B	$(B/H)_d$
	Тл					мкГн/м	
	1,1	0,725	0,725	0,22	0,15	8,24	16—19

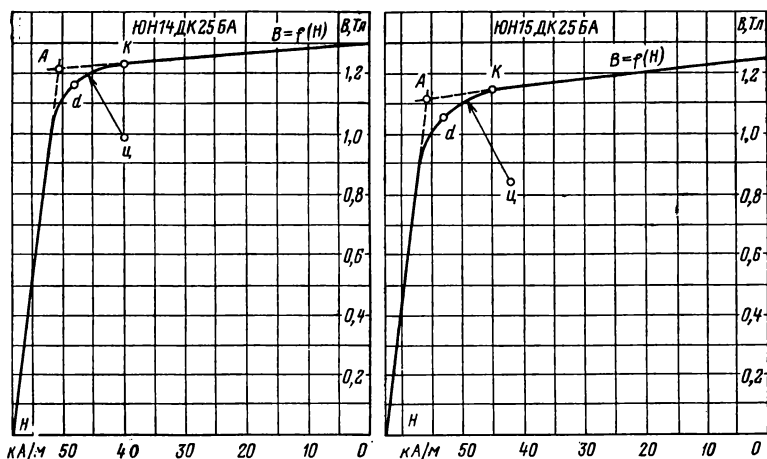
ЮН13ДК25А	$H_{сВ}$	H_d	H_A	$H_{ц}$	H_K	$H_{сМ}$	W
	кА/м						кДж/м³
	44	42,5	43,5	40	40	44,01	28
	B_r	B_d	B_A	$B_{ц}$	θ_L	K_B	$(B/H)_d$
	Тл				—	мкГн/м	
	1,4	1,32	1,34	1,27	0,91	1,38	27,5—30,0

Рис. 1-26. Характеристики размагничивания альнико ЮН14ДК24Т2 и ЮН13ДК25А.



ЮН14ДК25А	H_{cB}	H_d	H_A	$H_{ц}$	H_K	H_{cM}	W
	кА/м						кДж/м³
	52	48,3	49,5	43	43	52,5	28
	B_r	B_d	B_A	$B_{ц}$	θ_L	K_B	$(B/H)_d$
	Тл				—	мкГн/м	
	1,35	1,16	1,19	1,07	0,39	3,23	24—25
ЮН13ДК25БА	H_{cB}	H_d	H_A	$H_{ц}$	H_K	H_{cM}	W
	кА/м						кДж/м³
	48	45,5	47,5	39	40	48,1	28
	B_r	B_d	B_A	$B_{ц}$	θ_L	K_B	$(B/H)_d$
	Тл				—	мкГн/м	
	1,4	1,23	1,27	1,12	0,46	2,74	26,5—27,5

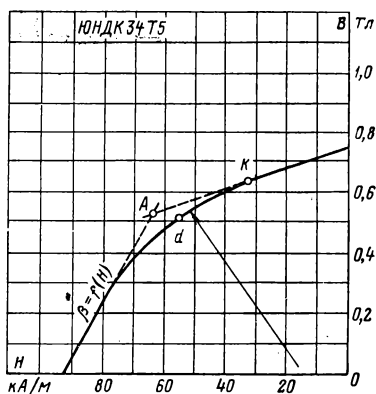
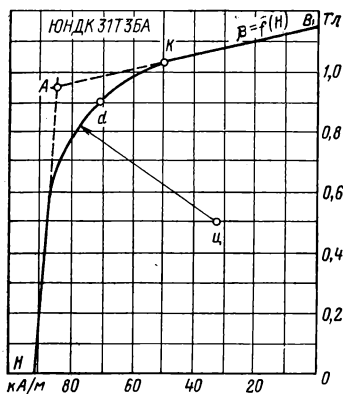
Рис. 1-27. Характеристики размагничивания альнико ЮН14ДК25А и ЮН13ДК25БА.



ЮН14ДК25БА	$H_{сВ}$	H_d	H_A	$H_{ц}$	H_K	$H_{сМ}$	W
	кА/м						кДж/м³
	58	48,3	50,5	40	40	58,6	28
	B_r	B_d	B_A	$B_{ц}$	θ_l	K_B	$(B/H)_d$
	Тл				—	мкГн/м	
	1,3	1,16	1,21	0,99	0,705	1,78	21,5—24,0

ЮН15ДК25БА	$H_{сВ}$	H_d	H_A	$H_{ц}$	H_K	$H_{сМ}$	W
	кА/м						кДж/м³
	62	53,3	55,5	42	45	62,7	28
	B_r	B_d	B_A	$B_{ц}$	θ_l	K_B	$(B/H)_d$
	Тл				—	мкГн/м	
	1,25	1,05	1,12	0,84	0,537	2,34	16,5—21,5

Рис. 1-28. Характеристики размагничивания альнико ЮН14ДК25БА и ЮН15ДК25БА.



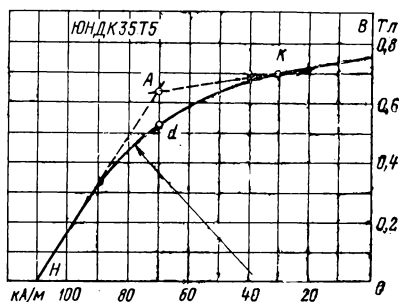
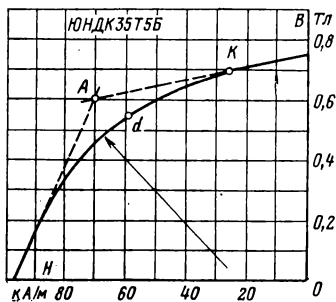
ЮНДК31Т3БА

$H_{сВ}$	H_d	H_A	$H_{ц}$	H_K	$H_{сМ}$	W
кА/м						кДж/м³
92	71,2	85	32,5	50	93,5	32
B_r	B_d	B_A	$B_{ц}$	θ_l	K_B	$(B/H)_d$
Тл				мкГн/м		
1,15	0,90	0,95	0,50	0,53	2,35	11—14

ЮНДК34Т5

$H_{сВ}$	H_d	H_A	$H_{ц}$	H_K	$H_{сМ}$	W
кА/м						кДж/м³
92	54,9	63,5	0	32,5	97,5	14
B_r	B_d	B_A	$B_{ц}$	θ_l	K_B	$(B/H)_d$
Тл				—		
0,75	0,51	0,525	—0,23	0,35	3,54	3—11

Рис. 1-29. Характеристики размагничивания альянко ЮНДК31Т3БА и ЮНДК34Т5.



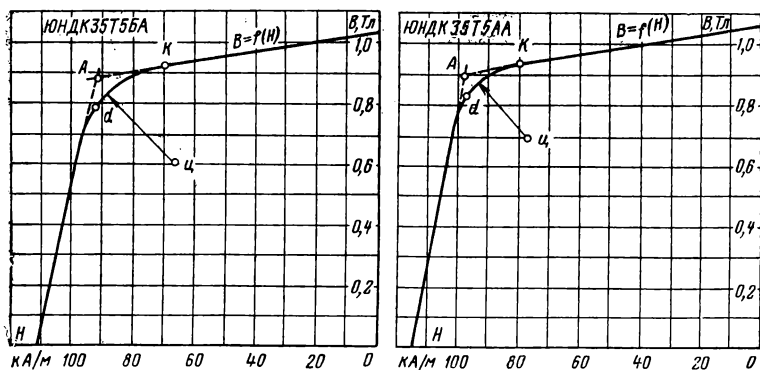
ЮНДК35Т5Б

$H_{сВ}$	H_d	H_A	$H_{ц}$	H_K	$H_{сМ}$	W
кА/м						кДж/м³
96	59,3	70	5,5	27,5	102	16
B_r	B_d	B_A	$B_{ц}$	θ_l	K_B	$(B/H)_d$
Тл				—	мкГн/м	
0,75	0,54	0,595	-0,193	0,45	2,78	8—10

ЮНДК35Т5

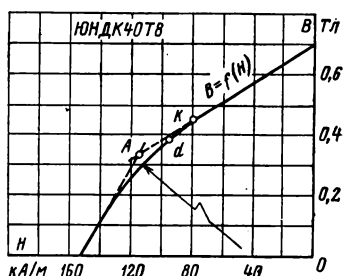
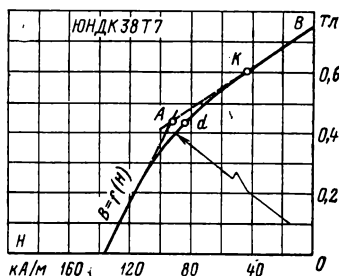
$H_{сВ}$	H_d	H_A	$H_{ц}$	H_K	$H_{сМ}$	W
кА/м						кДж/м³
110	69,2	70	11	30	114,5	18
B_r	B_d	B_A	$B_{ц}$	θ_l	K_B	$(B/H)_d$
Тл				—	мкГн/м	
0,75	0,52	0,63	-0,27	0,38	1,7	7—8

Рис. 1-30. Характеристики размагничивания альнико ЮНДК35Т5Б и ЮНДК35Т5.



ЮНДК35Т5БА	H_{CB}	H_d	H_A	H_{Σ}	H_K	H_M	W
	кА/м						кДж/м³
	110	92	92,5	66	70	112,5	36
	B_r	B_d	B_A	B_{Σ}	θ_{Σ}	K_B	$(B/H)_d$
	Тл				—	мкГн/м	
	1,02	0,78	0,88	0,6	0,83	1,51	8—9
ЮНДК35Т5АА	H_{CB}	H_d	H_A	H_{Σ}	H_K	H_{CM}	W
	кА/м						кДж/м³
	115	96,8	97	77	80	118	40
	B_r	B_d	B_A	B_{Σ}	θ_{Σ}	K_B	$(B/H)_d$
	Тл				—	мкГн/м	
	1,05	0,826	0,90	0,69	0,81	1,55	8—9

Рис. 1-31. Характеристики размагничивания альнико ЮНДК35Т5БА и ЮНДК35Т5АА.



ЮНДК38Т7

$H_{сВ}$	H_d	H_A	$H_{ц}$	H_K	$H_{сМ}$	W
кА/м						кДж/м³
135	84,8	92,5	69	45	145	18
B_r	B_d	B_A	$B_{ц}$	θ_l	K_B	$(B/H)_d$
Тл				—	мкГн/м	
0,75	0,425	0,44	0,27	0,41	3,35	4,5—5,5

ЮНДК40Т8

$H_{сВ}$	H_d	H_A	$H_{ц}$	H_K	$H_{сМ}$	W
кА/м						кДж/м³
145	94,8	114,5	—38	80	150	18
B_r	B_d	B_A	$B_{ц}$	θ_l	K_B	$(B/H)_d$
Тл				—	мкГн/м	
0,7	0,38	0,327	—0,38	0,39	3,26	3,5—4,5

Рис. 1-32. Характеристики размагничивания альнико ЮНДК38Т7 и ЮНДК40Т8.

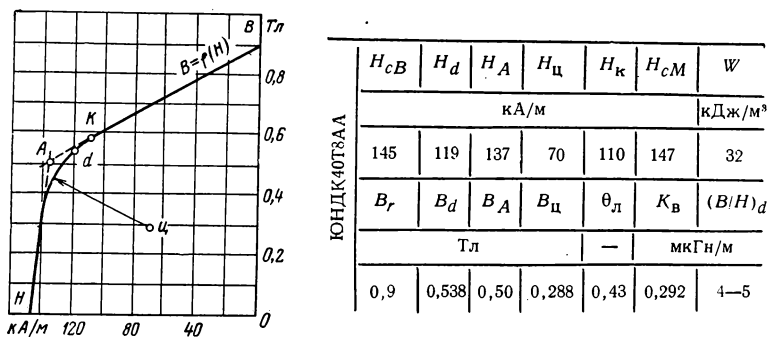
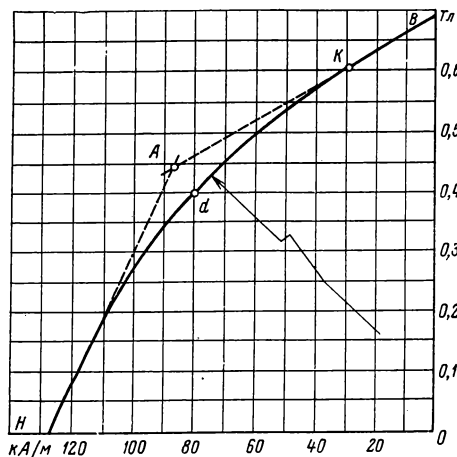


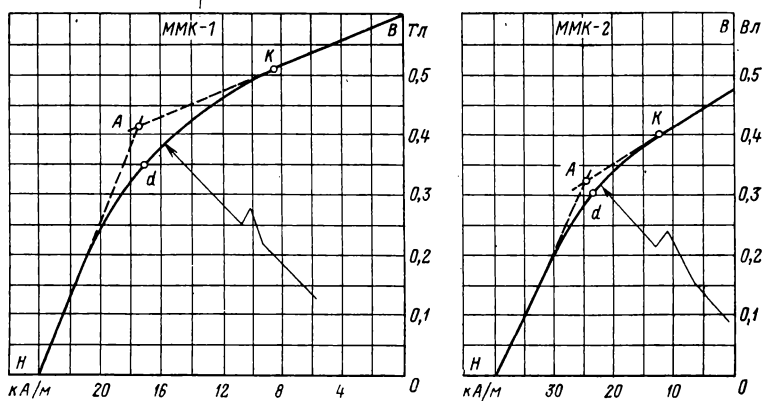
Рис. 1-33. Характеристика размагничивания альянко ЮНДК40Г8АА.



ММК-11

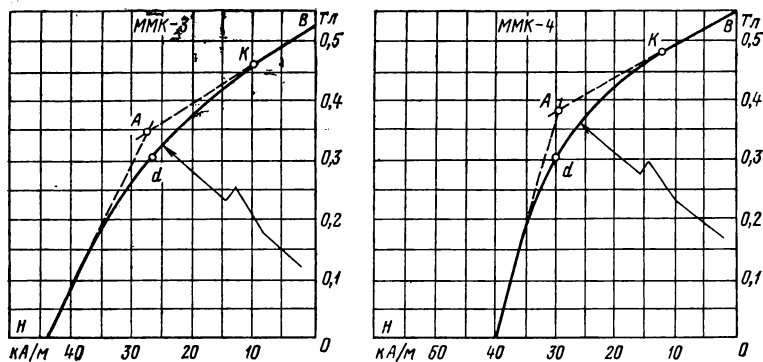
$H_{сВ}$	H_d	H_A	$H_{ц}$	H_K	$H_{сМ}$	W
кА/м						кДж/м³
128	80	87	—100	30	140	16
B_r	B_d	B_A	$B_{ц}$	θ_L	K_B	$(B/H)_d$
Тл				—	мкГн/м	
0,70	0,40	0,44	—0,4	0,42	3,0	5,0

Рис. 1-34. Характеристика размагничивания металлокерамического альянко ММК-11.



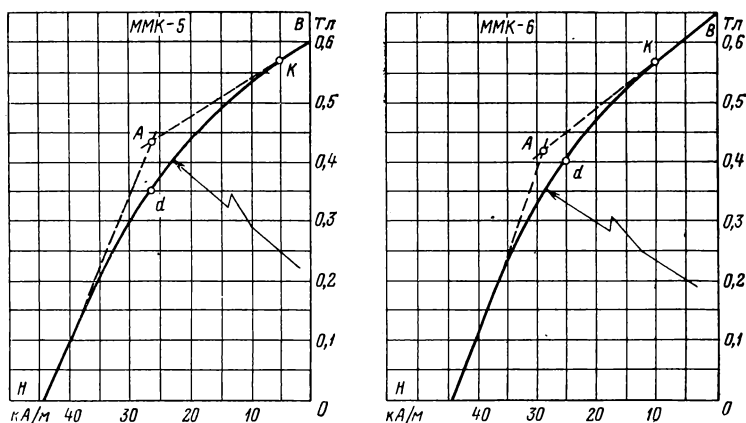
ММК-1	$H_{сВ}$	H_d	H_A	$H_{ц}$	H_K	$H_{сМ}$	W
	кА/м						кДж/м³
	24	17,15	17,5	-2,2	8,6	24,34	3
	B_r	B_d	B_A	$B_{ц}$	θ_l	K_B	$(B/H)_d$
	Тл				—	мкГн/м	
	0,60	0,35	0,415	-0,065	0,12	10,6	20,6
ММК-2	$H_{сВ}$	H_d	H_A	$H_{ц}$	H_K	$H_{сМ}$	W
	кА/м						кДж/м³
	39	23,3	24,3	-16	12,5	40,5	3,5
	B_r	B_d	B_A	$B_{ц}$	θ_l	K_B	$(B/H)_d$
	Тл				—	мкГн/м	
	0,48	0,30	0,32	-0,025	0,17	7,4	12,9

Рис. 1-35. Характеристики размагничивания металлокерамических альнико ММК-1 и ММК-2.



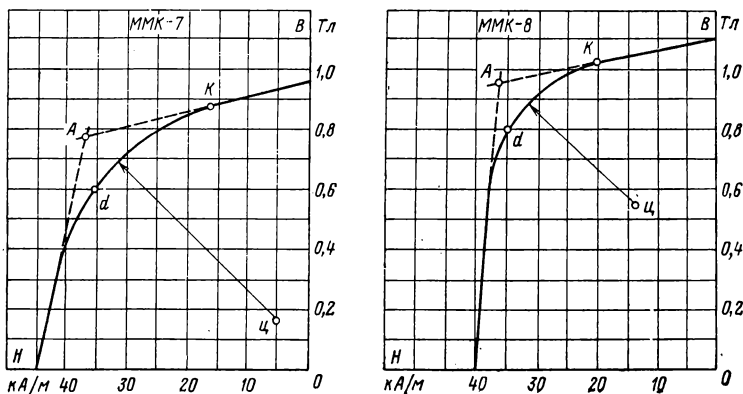
ММК-3	H_{CB}	H_d	H_A	$H_{ц}$	H_K	H_{CM}	\mathcal{W}
	кА/м						кДж/м³
	44	26,7	27,5	-37,5	10	46	4,0
	B_r	B_d	B_A	$B_{ц}$	θ_L	K_B	$(B/H)_d$
	Тл				—	мкГн/м	
	0,52	0,3	0,343	-0,23	0,20	6,44	11,2
ММК-4	H_{CB}	H_d	H_A	$H_{ц}$	H_K	H_{CM}	\mathcal{W}
	кА/м						кДж/м³
	40	30	29,5	-13	12,5	41	4,5
	B_r	B_d	B_A	$B_{ц}$	θ_L	K_B	$(B/H)_d$
	Тл				—	мкГн/м	
	0,55	0,30	0,38	0,05	0,22	5,75	10

Рис. 1-36. Характеристики размагничивания металлокерамических альнико ММК-3 и ММК-4.



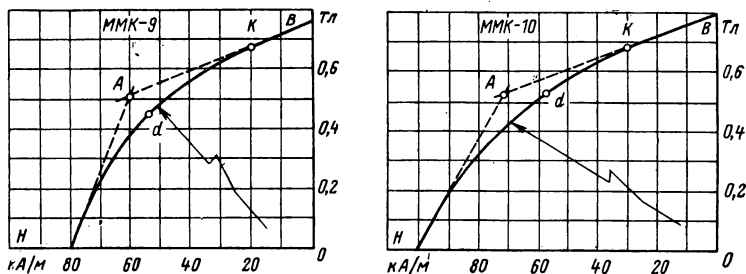
ММК-5	$H_{сВ}$	H_d	H_A	$H_{ц}$	$H_{к}$	$H_{сМ}$	\mathcal{W}
	кА/м						кДж/м³
	44	26,8	26,5	-52	5	46	4,7
	B_r	B_d	B_A	$B_{ц}$	$\theta_{л}$	K_B	$(B/H)_d$
	Тл				—	мкГн/м	
	0,6	0,35	0,43	-0,22	0,2	6,4	13
ММК-6	$H_{сВ}$	H_d	H_A	$H_{ц}$	$H_{к}$	$H_{сМ}$	\mathcal{W}
	кА/м						кДж/м³
	44	25	29	-65	10	45,7	5
	B_r	B_d	B_A	$B_{ц}$	$\theta_{л}$	K_B	$(B/H)_d$
	Тл				—	мкГн/м	
	0,65	0,40	0,415	-0,25	0,16	8,1	16

Рис. 1-37. Характеристики размагничивания металлокерамических альнико ММК-5 и ММК-6.



ММК-7	H_{CB}	H_d	H_A	$H_{ц}$	H_K	H_{CM}	W
	кА/м						кДж/м³
	44	35	37	5	16	44,5	10,5
	B_r	B_d	B_A	$B_{ц}$	θ_L	K_B	$(B/H)_d$
	Тл				—	мкГн/м	
	0,95	0,60	0,77	0,16	0,26	4,9	17,2
ММК-8	H_{CB}	H_d	H_A	$H_{ц}$	H_K	H_{CM}	W
	кА/м						кДж/м³
	40	35	36,5	13,5	20	40,1	14
	B_r	B_d	B_A	$B_{ц}$	θ_L	K_B	$(B/H)_d$
	Тл				—	мкГн/м	
	1,1	0,8	0,95	0,55	0,3	4,1	22,8

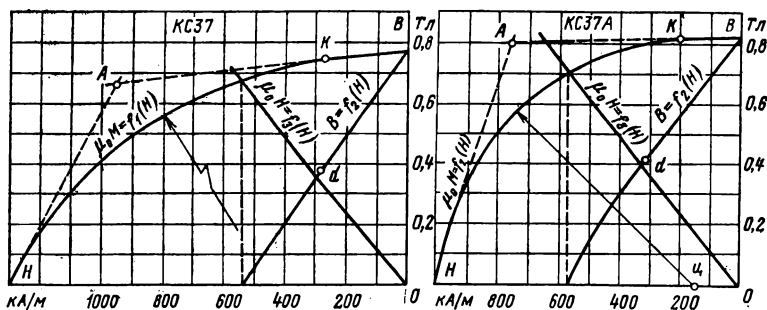
Рис. 1-38. Характеристики размагничивания металлокерамических альянко ММК-7 и ММК-8.



ММК-9	H_{CB}	H_d	H_A	$H_{Ц}$	H_K	H_{CM}	W
	кА/м						кДж/м³
	80	54	61	-15	20	83	12
	B_r	B_d	B_A	$B_{Ц}$	$\theta_{л}$	K_B	$(B/H)_d$
	Тл				—	мкГн/м	
	0,75	0,45	0,51	-0,24	0,32	3,94	8,34

ММК-10	H_{CB}	H_d	H_A	$H_{Ц}$	H_K	H_{CM}	W
	кА/м						кДж/м³
	100	57	71	-23	30	108	15
	B_r	B_d	B_A	$B_{Ц}$	$\theta_{л}$	K_B	$(B/H)_d$
	Тл				—	мкГн/м	
	0,8	0,526	0,53	-0,55	0,33	3,8	9,24

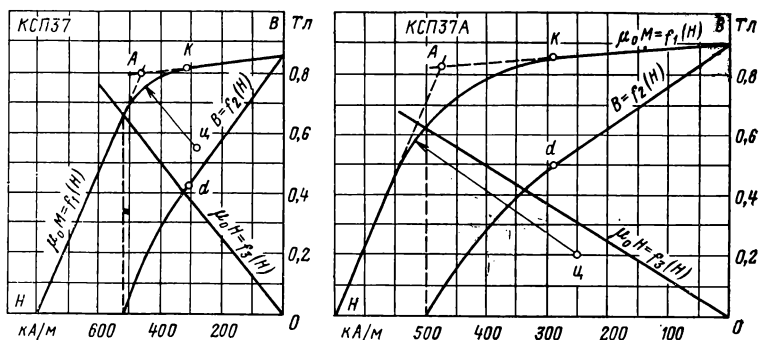
Рис. 1-39. Характеристики размагничивания металлокерамических сплавов ММК-9 и ММК-10.



КС37	H_{CB}	H_d	H_A	$H_{Ц}$	H_K	H_{CM}	W
	кА/м						кДж/м³
	540	286	960	100	275	1300	55
	B_r	B_d	B_A	$B_{Ц}$	θ_L	K_B	$(B/H)_d$
	Тл				—	мкГн/м	
	0,77	0,385	0,675	—0,575	0,90	1,35	1,35

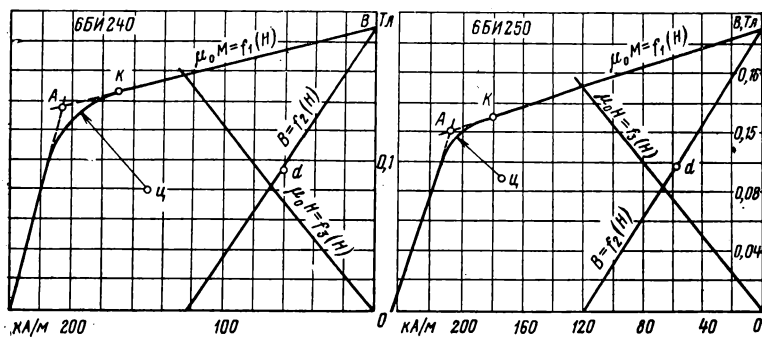
КС37А	H_{CB}	H_d	H_A	$H_{Ц}$	H_K	H_{CM}	W
	кА/м						кДж/м³
	560	315	750	145	200	1000	65
	B_r	B_d	B_A	$B_{Ц}$	θ_L	K_B	$(B/H)_d$
	Тл				—	мкГн/м	
	0,82	0,41	0,8	0	0,98	1,30	1,30

Рис. 1-40. Характеристики размагничивания редкоземельных материалов КС37 и КС37А.



КСП37	H_{cB}	H_d	H_A	$H_{ц}$	H_K	H_{cM}	W
	кА/м						кДж/м³
	520	306	463	280	315	800	65
	B_r	B_d	B_A	$B_{ц}$	$\theta_{л}$	K_B	$(B/H)_d$
	Тл				—	мкГн/м	
	0,85	0,425	0,793	0,55	0,90	1,39	1,39
КСП37А	H_{cB}	H_d	H_A	$H_{ц}$	H_K	H_{cM}	W
	кА/м						кДж/м³
	500	290	475	250	290	640	72,5
	B_r	B_d	B_A	$B_{ц}$	$\theta_{л}$	K_B	$(B/H)_d$
	Тл				—	мкГн/м	
	0,9	0,5	0,83	0,21	0,90	1,38	1,72

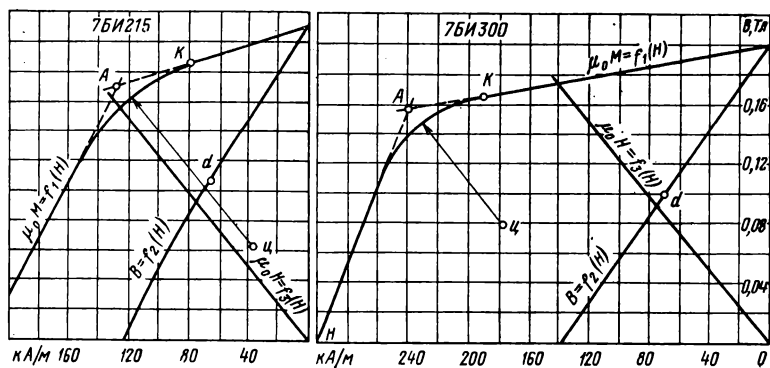
Рис. 1-41. Характеристики размагничивания редкоземельных материалов КСП37 и КСП37А.



6БИ240	H_{CB}	H_d	H_A	$H_{ц}$	H_K	H_{CM}	W
	кА/м						кДж/м³
	125	62,5	206	172	170	240	3
	B_r	B_d	B_A	$B_{ц}$	$\theta_{Л}$	K_B	$(B/H)_d$
	Тл				—	мкГн/м	
	0,19	0,095	0,136	0,08	0,84	1,50	1,50

6БИ250	H_{CB}	H_d	H_A	$H_{ц}$	H_K	H_{CM}	W
	кА/м						кДж/м³
	120	59	208	174	180	247	2,8
	B_r	B_d	B_A	$B_{ц}$	$\theta_{Л}$	K_B	$(B/H)_d$
	Тл				—	мкГн/м	
	0,19	0,095	0,121	0,088	0,78	1,61	1,61

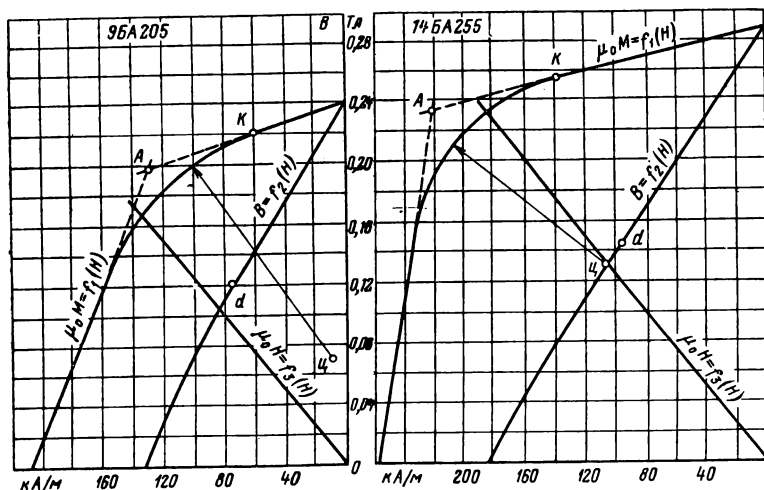
Рис. 1-42. Характеристики размагничивания ферритов бария 6БИ240 и 6БИ250.



7БИ215	$H_{сВ}$	H_d	H_A	$H_{ц}$	H_K	$H_{сМ}$	W
	кА/м						кДж/м³
	125	66,7	128	38	80	215	3,5
	B_r	B_d	B_A	$B_{ц}$	$\theta_{л}$	K_B	$(B/H)_d$
	Тл				—	мкГн/м	
	0,21	0,105	0,17	0,064	0,8	1,58	1,58

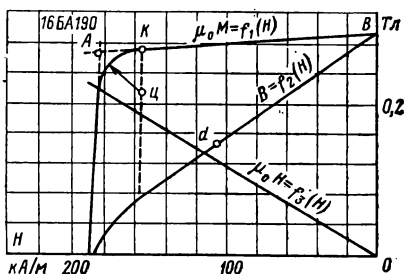
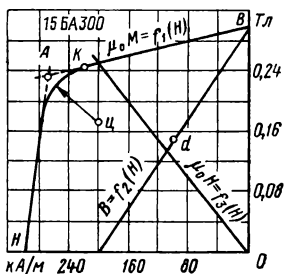
7БИ300	$H_{сВ}$	H_d	H_A	$H_{ц}$	H_K	$H_{сМ}$	W
	кА/м						кДж/м³
	140	70	240	178	190	300	3,5
	B_r	B_d	B_A	$B_{ц}$	$\theta_{л}$	K_B	$(B/H)_d$
	Тл				—	мкГн/м	
	0,2	0,1	0,156	0,08	0,88	1,43	1,43

Рис. 1-43. Характеристики размагничивания ферритов бария 7БИ215 и 7 БИ300.



9БА205	H_{CB}	H_d	H_A	$H_{ц}$	H_K	H_{CM}	W
	кА/м						кДж/м³
	135	75	130	8	60	205	4,5
	B_r	B_d	B_A	$B_{ц}$	$\theta_{л}$	K_B	$(B/H)_d$
	Тл				—	мкГн/м	
	0,24	0,12	0,196	0,07	0,78	1,6	1,6
14БА255	H_{CB}	H_d	H_A	$H_{ц}$	H_K	H_{CM}	W
	кА/м						кДж/м³
	185	96,5	221	108	140	255	7
	B_r	B_d	B_A	$B_{ц}$	$\theta_{л}$	K_B	$(B/H)_d$
	Тл				—	мкГн/м	
	0,29	0,145	0,233	0,132	0,84	1,5	1,5

Рис. 1-44. Характеристики размагничивания ферритов бария 9БА205 и 14БА255.



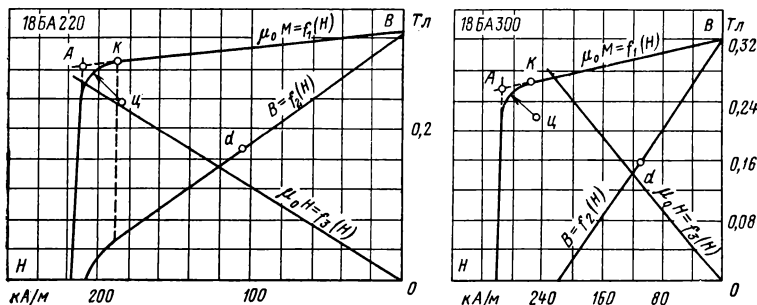
15BA300

H_{CB}	H_d	H_A	$H_{ц}$	H_K	H_{CM}	W
кА/м						кДж/м³
200	100	268	200	220	300	7,5
B_r	B_d	B_A	$B_{ц}$	θ_L	K_B	$(B/H)_d$
Тл				—	мкГн/м	
0,3	0,15	0,232	0,172	0,84	1,5	1,5

16BA190

H_{CB}	H_d	H_A	$H_{ц}$	H_K	H_{CM}	W
кА/м						кДж/м³
185	106,6	184	163	165	190	8
B_r	B_d	B_A	$B_{ц}$	θ_L	K_B	$(B/H)_d$
Тл				—	мкГн/м	
0,30	0,15	0,272	0,23	0,89	1,41	1,41

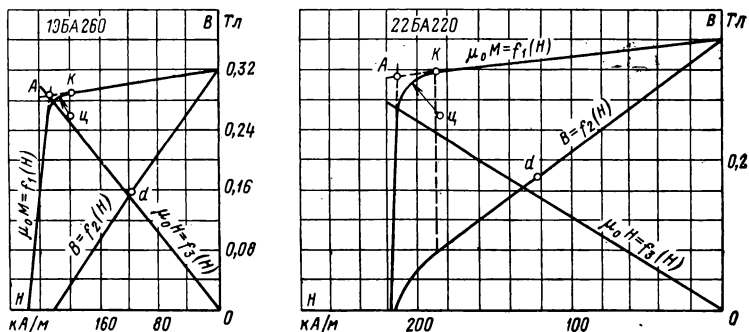
Рис. 1-45. Характеристики размагничивания ферритов бария 15BA300 и 16BA190.



18BA220	H_{CB}	H_d	H_A	$H_{ц}$	H_K	$H_{сМ}$	W
	кА/м						кДж/м³
	210	109	212	196,5	198	220	9
	B_r	B_d	B_A	$B_{ц}$	$\theta_{л}$	K_B	$(B/H)_d$
	Тл				—	мкГн/м	
	0,33	0,165	0,273	0,244	0,83	1,51	1,51

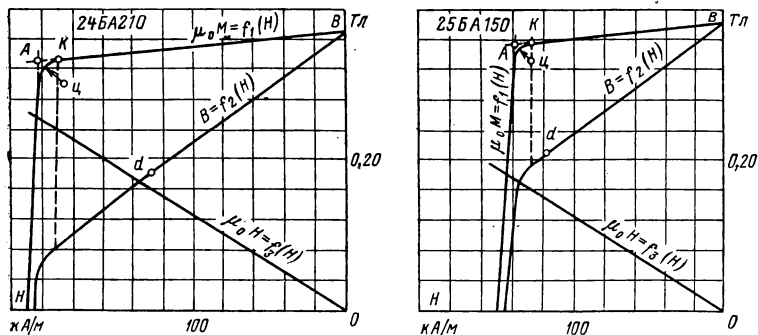
18BA300	H_{CB}	H_d	H_A	$H_{ц}$	H_K	$H_{сМ}$	W
	кА/м						кДж/м³
	220	110	296	250	256	300	9
	B_r	B_d	B_A	$B_{ц}$	$\theta_{л}$	K_B	$(B/H)_d$
	Тл				—	мкГн/м	
	0,32	0,16	0,260	0,22	0,87	1,45	1,45

Рис. 1-46. Характеристики размагничивания ферритов бария 18BA220 и 18BA300.



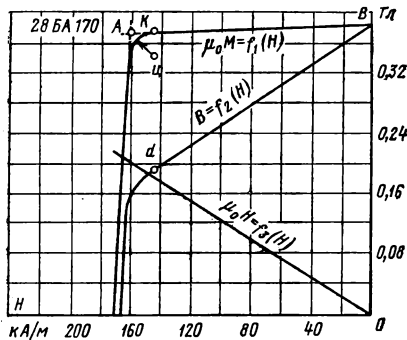
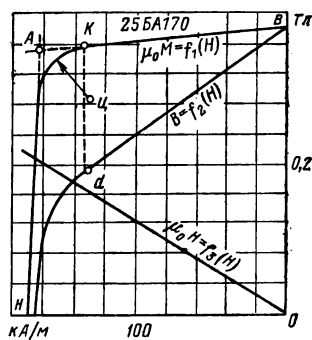
19BA260	H_{cB}	H_d	H_A	$H_{ц}$	H_K	H_{cM}	W
	кА/м						кДж/м³
	225	115	231	202	200	260	9,5
	B_r	B_d	B_A	$B_{ц}$	θ_L	K_B	$(B/H)_d$
	Тл				—	мкГн/м	
	0,33	0,165	0,287	0,26	0,87	1,43	1,43
22BA220	H_{cB}	H_d	H_A	$H_{ц}$	H_K	H_{cM}	W
	кА/м						кДж/м³
	215	122	216	179,5	184	220	11
	B_r	B_d	B_A	$B_{ц}$	θ_L	K_B	$(B/H)_d$
	Тл				—	мкГн/м	
	0,36	0,18	0,312	0,244	0,85	1,48	1,48

Рис. 1-47. Характеристики размагничивания ферритов бария 19БА260 и 22БА220.



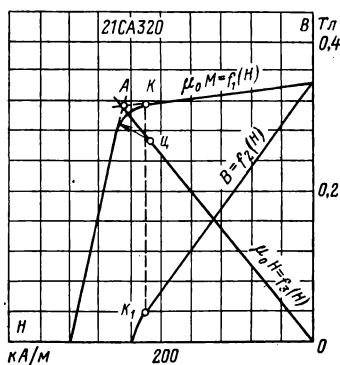
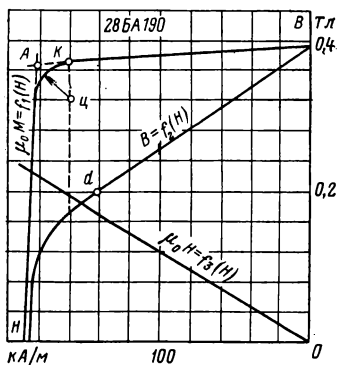
24BA210	H_{CB}	H_d	H_A	H_{Σ}	H_K	H_{CM}	Ψ
	кА/м						кДж/м³
	205	130	203	186	187	210	12
	B_r	B_d	B_A	B_{Σ}	θ_L	K_B	$(B/H)_d$
	Тл				—	мкГн/м	
	0,37	0,185	0,336	0,303	0,88	1,42	1,42
25BA150	H_{CB}	H_d	H_A	H_{Σ}	H_K	H_{CM}	Ψ
	кА/м						кДж/м³
	145	132	140	129	131	150	12,5
	B_r	B_d	B_A	B_{Σ}	θ_L	K_B	$(B/H)_d$
	Тл				—	мкГн/м	
	0,38	0,19	0,354	0,332	0,87	1,44	1,44

Рис. 1-48. Характеристики размагничивания ферритов бария 24BA210 и 25BA150.



25BA170	H_{CB}	H_d	H_A	$H_{ц}$	H_K	$H_{сМ}$	W
	кА/м						кДж/м ³
	165	132	161	129	133	170	12,5
	B_r	B_d	B_A	$B_{ц}$	θ_l	K_B	$(B/H)_d$
	Тл				—	мкГн/м	
	0,38	0,19	0,349	0,291	0,87	1,44	1,44
28BA170	H_{CB}	H_d	H_A	$H_{ц}$	H_K	$H_{сМ}$	W
	кА/м						кДж/м ³
	165	144	162	146	146	170	14
	B_r	B_d	B_A	$B_{ц}$	θ_l	K_B	$(B/H)_d$
	Тл				—	мкГн/м	
	0,39	0,195	0,372	0,342	0,93	1,35	1,39

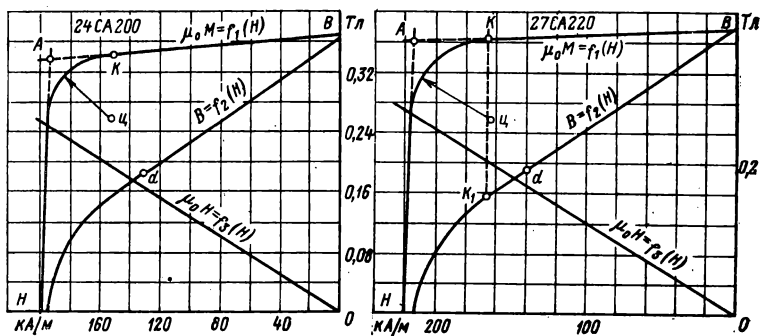
Рис. 1-49. Характеристики размагничивания ферритов бария 25BA170 и 28BA170.



28BA190	H_{CB}	H_d	H_A	$H_{\text{ц}}$	$H_{\text{к}}$	H_{CM}	W
	кА/м						кДж/м³
	185	143,5	182	158	160	190	14
	B_r	B_d	B_A	$B_{\text{ц}}$	$\theta_{\text{л}}$	K_B	$(B/H)_d$
	Тл				—	мкГн/м	
	0,39	0,195	0,371	0,324	0,92	1,36	1,36

21CA320	H_{CB}	H_d	H_A	$H_{\text{ц}}$	$H_{\text{к}}$	H_{CM}	W
	кА/м						кДж/м³
	239	123,3	252	216	222	318	10,5
	B_r	B_d	B_A	$B_{\text{ц}}$	$\theta_{\text{л}}$	K_B	$(B/H)_d$
	Тл				—	мкГн/м	
	0,34	0,17	0,306	0,267	0,85	1,38	1,38

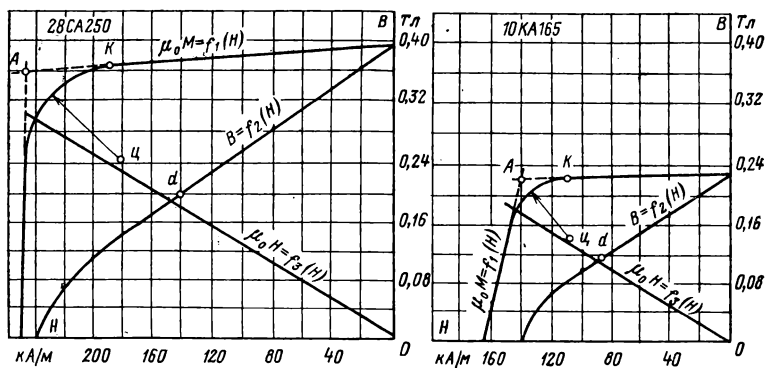
Рис. 1-50. Характеристики размагничивания ферритов бария 28BA190 и 21CA320.



24CA200	H_{CB}	H_d	H_A	$H_{ц}$	H_K	H_{CM}	W
	кА/м						кДж/м³
	195	129,5	193	152	150	200	12
	B_r	B_d	B_A	$B_{ц}$	$\theta_{Л}$	K_B	$(B/H)_d$
	Тл				—	мкГн/м	
	0,37	0,185	0,334	0,256	0,88	1,43	1,43

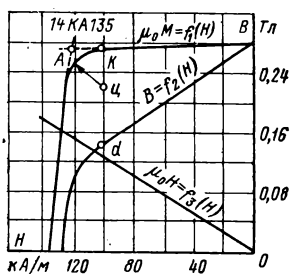
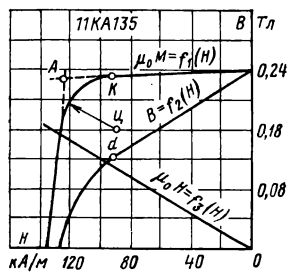
27CA220	H_{CB}	H_d	H_A	$H_{ц}$	H_K	H_{CM}	W
	кА/м						кДж/м³
	215	142	213	162	165	220	13,5
	B_r	B_d	B_A	$B_{ц}$	$\theta_{Л}$	K_B	$(B/H)_d$
	Тл				—	мкГн/м	
	0,38	0,19	0,364	0,260	0,94	1,34	1,34

Рис. 1-51. Характеристики размагничивания ферритов стронция 24CA200 и 27CA220.



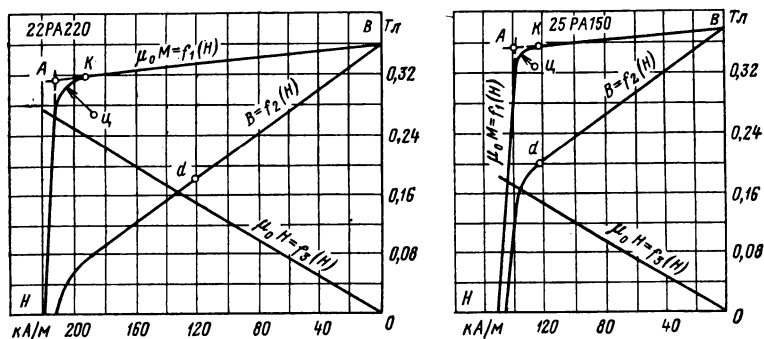
28CA250	H_{cB}	H_d	H_A	H_{II}	H_K	H_{cM}	W
	кА/м						кДж/м ²
	240	144	246	182	190	250	14
	B_r	B_d	B_A	B_{II}	θ_{II}	K_B	$(B/H)_d$
	Тл				—	мкГн/м	
	0,39	0,195	0,360	0,240	0,93	1,35	1,35
10KA165	H_{cB}	H_d	H_A	H_{II}	H_K	H_{cM}	W
	кА/м						кДж/м ²
	143	87	141	109	110	165	5
	B_r	B_d	B_A	B_{II}	θ_{II}	K_B	$(B/H)_d$
	Тл				—	мкГн/м	
	0,23	0,115	0,218	0,142	0,95	1,32	1,32

Рис. 1-52. Характеристики размагничивания ферритов стронция 28CA250 и кобальта 10KA165.



11KA135	$H_{сВ}$	H_d	H_A	$H_{ц}$	H_K	$H_{сМ}$	W
	кА/м						кДж/м³
	127	92,5	123,5	89	92	135	5,55
	B_r	B_d	B_A	$B_{ц}$	$\theta_{л}$	K_B	$(B/H)_d$
	Тл				—	мкГн/м	
	0,24	0,12	0,233	0,16	0,97	1,3	1,3
14KA135	$H_{сВ}$	H_d	H_A	$H_{ц}$	H_K	$H_{сМ}$	W
	кА/м						кДж/м³
	127	102	122	100	102	135	7,15
	B_r	B_d	B_A	$B_{ц}$	$\theta_{л}$	K_B	$(B/H)_d$
	Тл				—	мкГн/м	
	0,28	0,14	0,266	0,22	0,915	1,37	1,37

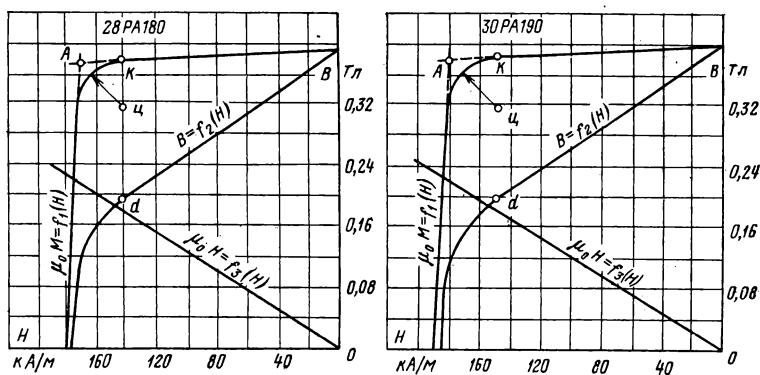
Рис. 1-53. Характеристики размагничивания ферритов кобальта 11KA135 и 14KA135.



22PA220	H_{CB}	H_d	H_A	$H_{ц}$	H_K	H_{CM}	W
	κА/м						κДж/м³
	215	122	214	190	194	220	11
	B_r	B_d	B_A	$B_{ц}$	$\theta_{л}$	K_B	$(B/H)_d$
	Тл				—	мкГн/м	
	0,36	0,18	0,312	0,268	0,85	1,48	1,48

25PA150	H_{CB}	H_d	H_A	$H_{ц}$	H_K	H_{CM}	W
	κА/м						κДж/м³
	145	125	140	127	125	150	12,5
	B_r	B_d	B_A	$B_{ц}$	$\theta_{л}$	K_B	$(B/H)_d$
	Тл				—	мкГн/м	
	0,38	0,20	0,352	0,328	0,87	1,44	1,6

Рис. 1-54. Характеристики размагничивания ферритов, легированных редкоземельными элементами 22PA220 и 25PA150.



28PA180	$H_{сВ}$	H_d	H_A	$H_{ц}$	H_K	$H_{сМ}$	W
	кА/м						кДж/м³
	175	144	172	142	144	180	14
	B_r	B_d	B_A	$B_{ц}$	$\theta_{л}$	K_B	$(B/H)_d$
	Тл				—	мкГн/м	
	0,39	0,195	0,374	0,316	0,93	1,35	1,35

30PA190	$H_{сВ}$	H_d	H_A	$H_{ц}$	H_K	$H_{сМ}$	W
	кА/м						кДж/м³
	185	150	182	150	150	190	15
	B_r	B_d	B_A	$B_{ц}$	$\theta_{л}$	K_B	$(B/H)_d$
	Тл				—	мкГн/м	
	0,40	0,20	0,384	0,320	0,94	1,33	1,33

Рис. 1-55. Характеристики размагничивания ферритов, легированных редкоземельными элементами 28PA180 и 30PA190.

Характеристики магнитного возврата до сих пор не приведены ни в одном из нормативных документов, хотя общеизвестно, что магнитное состояние любого стабилизированного магнита определяется не характеристикой размагничивания, а характеристикой магнитного возврата, и что знание характеристики магнитного возврата особенно важно при расчете электрических машин, магнитных муфт, фиксаторов и многих других устройств, в которых поток магнита обратимо изменяется в процессе работы. Чтобы дать конструктору хотя бы грубое представление о крутизне подъема прямых магнитного возврата, нами использовано замеченное А. М. Сенкевичем [1-10] обстоятельство, что прямая магнитного возврата, отходящая из точки с координатами $B=B_d$ и $H=H_d$, практически параллельна касательной к характеристике размагничивания в точке с координатами $B=B_r$, $H=0$.

В таблицах, приведенных на рис. 1-22—1-55, даны следующие обозначения: H_A и B_A — координаты точки A пересечения продолжений линейных участков; H_{π} и B_{π} — координаты центра дуги; H_k — абсцисса конца верхнего линейного участка; K_b — коэффициент магнитного возврата; $(B/H)_d$ — отношение B/H в точке $(BH)_{\max}$; $0 = \mu_0 H_0 / B_r$ — магнитная твердость материала; H_0 — абсцисса точки пересечения продолжения верхнего линейного участка и оси абсцисс.

1-8. АППРОКСИМАЦИЯ КРИВОЙ РАЗМАГНИЧИВАНИЯ И ПЕТЛИ МАГНИТНОГО ВОЗВРАТА

Аппроксимация кривой размагничивания

К аппроксимирующим формулам кривой размагничивания предъявляется требование, чтобы кривая проходила через три точки, координаты которых (H_{cb} , B_r , H_d , B_d) определены ГОСТ или ведомственными стандартами.

В настоящее время широко распространена аппроксимирующая формула

$$B = B_r \frac{H_{cb} - H}{H_{cb} - aH}, \quad (1-7)$$

где a — коэффициент выпуклости:

$$a = 2 \sqrt{B_r H_{cb} / (B_d H_d)} - B_r H_{cb} / (B_d H_d).$$

Здесь H и B — текущие значения напряженности размагничивающего поля и индукции; H_{cb} — коэрцитивная сила по индукции; B_r — остаточная индукция; H_d и B_d — координаты точки, определяющей максимум удельной энергии.

Применение формулы (1-7) к изотропным материалам дает приемлемое совпадение расчетной и экспериментальной кривых. Распро-

странение формулы на анизотропные материалы средней энергии и средней коэрцитивной силы увеличивает относительную погрешность. Попытки же применить ее к материалам с высокой коэрцитивной силой и особенно к ферритам приводят в некоторых случаях к недопустимо большому возрастанию относительной погрешности.

Основной причиной недостаточной степени приближения формулы (1-7) следует считать то обстоятельство, что она дает аналитическое выражение кривых $B=f_2(H)$, отличающихся у разных материалов большим разнообразием формы.

Характеристика $B=f_2(H)$ является деформированной характеристикой $M=f_1(H)$, а форма кривых $M=f_1(H)$ у всех материалов почти одинакова. Поэтому правильнее применить аппроксимирующее уравнение (1-7) не к характеристике $B=f_2(H)$, а к характеристике $M=f_1(H)$. В этом случае

$$M = M_r \frac{H_{cm} - H}{H_{cm} - kH}, \quad (1-8)$$

где

$$k = 2 \sqrt{M_r H_{cm} / (M_d H_d)} - M_r H_{cm} / (M_d H_d).$$

Из (1-8) на основании известного соотношения $B = \mu_0 M - \mu_0 H$ получаем аппроксимирующую формулу для $B=f_2(H)$:

$$B = B_r \frac{H_{cm} - H}{H_{cm} - kH} - \mu_0 H. \quad (1-9)$$

В этих формулах M_d и H_d — координаты точки a пересечения кривой $M=f_1(H)$ с диагональю OA (рис. 1-56) прямоугольника со сторонами M_r и H_{cm} . Значения M_d и H_d легко определить по кривым $\mu_0 M=f_1(H)$, приводимым в этом справочнике.

В. М. Кирюхиным предложена другая аппроксимирующая формула, имеющая вид:

$$\mu_0 M = \mu_0 M_r \left(D + C - D \frac{H}{H_{cm}} \right) - H \operatorname{tg} \delta_0, \quad (1-10)$$

где $\operatorname{tg} \delta$ — тангенс угла наклона касательной к кривой размагничивания материала в точке с координатами $M=M_r$ и $H=0$; D и C — коэффициенты, которые зависят от выбранных для расчета параметров кривой размагничивания:

$$C = \operatorname{Arth} \frac{H_{cm} \operatorname{tg} \delta_0}{\mu_0 M_r}; \quad (1-11)$$

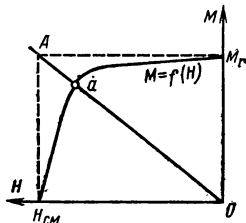


Рис. 1-56. Кривая размагничивания в координатах $M/M_r - H/H_{cm}$.

$$D = \frac{\operatorname{Arth} \frac{\mu_0 M_d + H_d \operatorname{tg} \delta_0}{\mu_0 M_r} - C}{1 - \frac{H_d}{H_{cM}}} \quad (1-12)$$

Исследование точности аппроксимации, проведенное В. М. Кирюхиным, показало, что для изотропных материалов формула (1-10) сравнима по точности с формулой (1-8), а для анизотропных материалов с высоким значением коэрцитивной силы H_{cM} расчет по формуле (1-10) дает значительно лучшее приближение к кривой, снятой экспериментально. В некоторых случаях, например, для сплава PtCo (ПлК78) (рис. 1-57) формула (1-10) становится единственной приемлемой.

Еще лучшее совпадение дает предложенная в [1-8] аппроксимация кривой размагничивания дугой окружности и касательными к

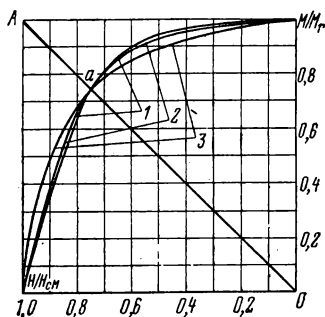


Рис. 1-57. Аппроксимация кривой размагничивания сплава ПлК78.

1 — экспериментальная кривая; 2 — аппроксимация по формуле (1-10) В. М. Кирюхина; 3 — аппроксимация по формуле (1-8).

ней, пересекающими оси координат в точках H_{cM} и M_r . Для аналитического расчета магнитных систем такая кусочная аппроксимация менее удобна, чем по формуле (1-10), но зато она очень удобна при вычерчивании кривых размагничивания. Определение границ применимости этого способа исследовано В. М. Кирюхиным на кривых размагничивания всех основных типов современных магнитно-твердых материалов: интерметаллического соединения SmCo_5 (рис. 1-58), сплава PtCo (рис. 1-59), сплава ЮНДК35Т5 (рис. 1-60) и феррита бария 19БА260 (рис. 1-61). Кривые размагничивания первых трех материалов сняты им совместно с А. Д. Скоковым, а кривая для феррита взята из ОСТ 11702002. На всех рисунках совпадение экспериментального 1 и аппроксимирующего графиков 2 получилось почти полным. Это позволяет сделать вывод о том, что аппроксимация дугой окружности и двумя касательными к ней лучше отражает процесс размагничивания, нежели остальные известные аппроксимирующие формулы, и может быть применена ко всем современным магнитно-твердым материалам.

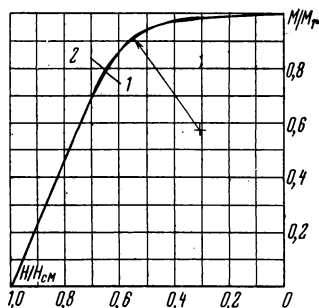


Рис. 1-58. Аппроксимация (1) кривой размагничивания РЗМ SmCo_5 (2) дугой окружности и касательными.

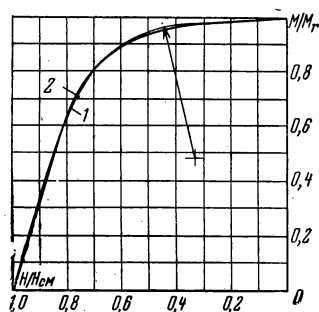


Рис. 1-59. Аппроксимация (1) кривой размагничивания сплава ПлЗ78 (2) дугой окружности и касательными.

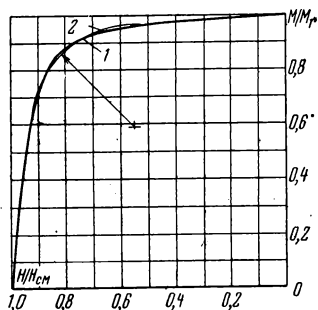


Рис. 1-60. Аппроксимация (1) кривой размагничивания литого сплава ЮНДК35Т5 (2) дугой окружности и касательными.

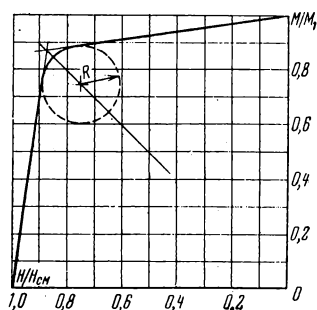


Рис. 1-61. Аппроксимация (1) кривой размагничивания феррита 19БА260 (2) дугой окружности и касательными.

Аппроксимация петли магнитного возврата

У любого магнита, прошедшего магнитную стабилизацию, рабочая точка, определяющая его магнитное состояние, находится на петле магнитного возврата. Поэтому знание наклона петли магнитного возврата и ее раствора существенно необходимо при проектировании любой магнитной системы. Имеющиеся в литературе сведения

о петлях магнитного возврата крайне скудны и относятся к материалам уже устаревшим. Поэтому А. Д. Скоковым и В. М. Кирюхиным специально для данного справочника было проведено исследование петель магнитного возврата у различных современных магнитно-твердых материалов. Они установили, что кривизна линий магнитного возврата увеличивается с возрастанием коэрцитивной силы $H_{см}$, а наклон нижней ветви в точке отхода от кривой размагничивания

можно считать равным наклону касательной к кривой размагничивания $M=f(H)$ в точке с координатами $M=M_r$, $H=0$. Раствор петель у всех современных магнитно-твердых материалов оказался незначительным, и при расчетах магнитных систем с ним можно не считаться, заменяя петли магнитного возврата их средними линиями.

Наименьший раствор (практически прямая линия), параллельность касательной ab и наименьшая кривизна петель магнитного возврата оказались у сплава ЮНДК35Т5 (рис. 1-62). У сплава PtCo, обладающего вдвое большей коэрцитивной силой $H_{см}$ (рис. 1-63), петли магнитного возврата имеют незначительный раствор и небольшую кривизну, возрастающие при переходе от верхних петель к нижним. Наклон касательной к любой из петель возврата равен наклону касательной ab . У интерметаллического соединения $SmCo_5$ (рис. 1-64), коэрцитивная сила $H_{см}$ которого более чем в 2 раза превышает коэрцитивную силу сплава PtCo, петли магнитного возврата имеют более заметный раствор и сильно искривлены. Однако и здесь наклон

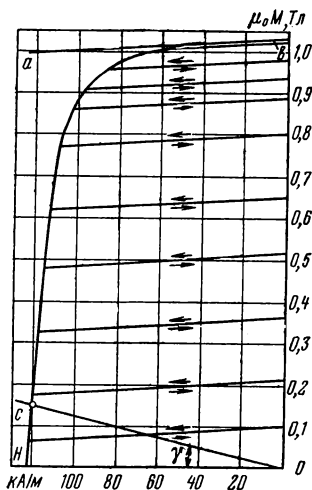


Рис. 1-62. Петли циклов магнитного возврата, снятые с образца литого сплава ЮНДК35Т5.

касательной к нижней ветви каждой петли равен наклону касательной ab .

В большинстве случаев при расчете магнитных систем пользуются кривыми $B=f_2(H)$, которым соответствует верхняя часть кривой $M=f_1(H)$, лежащая выше точки c ее пересечения с прямой $\mu_0 H=f_3(H)$, проведенной под углом γ , отвечающим условию $\tan \gamma = \mu_0$. Из рис. 1-62—1-64 следует, что для всех точек отхода, лежащих выше точки c , кривизна и раствор петель магнитного возврата оказываются незначительными. Поэтому при пользовании кривыми размагничивания $B=f_2(H)$ можно считать, что у всех магнитно-твердых материалов линии магнитного возврата достаточно хорошо аппроксимируются прямыми, параллельными касательной к кривой размагничивания $B=f_2(H)$ в точке с координатами $B=B_r$, $H=0$.

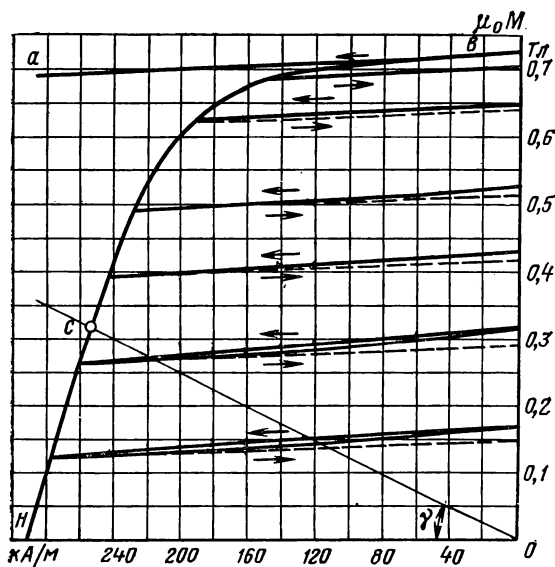


Рис. 1-63. Петли циклов магнитного возврата, снятые с образца сплава ПЛК78.

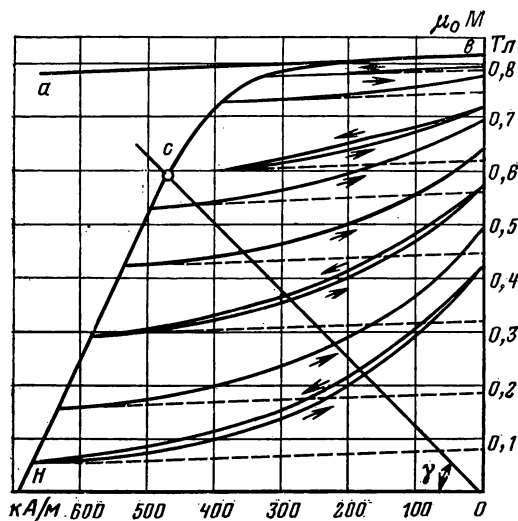


Рис. 1-64. Петли циклов магнитного возврата, снятые с образца РЗМ SmCo_5 .

1-9. ТЕОРЕМЫ ПОДОБИЯ МАГНИТНЫХ СИСТЕМ

Теоремы подобия позволяют легко рассчитывать варианты данной магнитной системы, отличающиеся от нее лишь масштабом. При этом все параметры исходной магнитной системы считаются известными. Приведем формулировки теорем подобия.

1. Геометрически подобные магниты имеют магнитные поля одинаковой конфигурации, если картина поля в теле магнита у них одинакова.

Исследованиями В. К. Кривоногова и В. Я. Чеботаренко установлено [1-5], что картина поля в теле геометрически подобных магнитов при одинаковых условиях намагничивания получается одинаковой только у магнитов из одинакового материала, а у магнитов из разных материалов, сильно различающихся по значению $H_{см}$, может (в зависимости от формы магнита) получаться различной.

2. При увеличении всех размеров магнита в n раз напряженности полей в соответственных точках остаются без изменения, а магнитный поток возрастает в n^2 раз.

3. При увеличении всех размеров электромагнита в n раз напряженность полей и индукции в соответственных точках остаются без изменения, а магнитный поток возрастает в n^2 раз, если токи увеличиваются также в n раз. При этом плотность токов уменьшается в n раз, выделение тепла возрастает в n раз, теплоотдача возрастает в n раз и условия охлаждения улучшаются в n раз. Числа витков при этом считаются неизменными.

4. Если при увеличении всех размеров электромагнита в n раз условия охлаждения и числа витков обмоток должны оставаться неизменными, то токи необходимо увеличить в $n^{3/2}$ раз. При этом напряженность полей и индукции возрастают в \sqrt{n} раз (при отсутствии насыщения), а потребляемая мощность возрастает в n^2 раз.

1-10. ВЫБОР МАТЕРИАЛА ДЛЯ МАГНИТА

При выборе материала для изготовления магнита необходимо одновременно учитывать многие факторы. Важнейшими из них являются энергоемкость материала, наличие в его составе дефицитных компонентов, стоимость, температурная и временная стабильность. Кроме того, на выбор материала существенное влияние оказывают условия эксплуатации магнита и предполагаемый объем производства изделий.

Энергоемкость материала является одним из важнейших факторов, так как чем выше значение магнитной энергии, приходящейся на единицу объема вещества, тем меньше объем магнита и рассеяние его потока. Это положение наглядно иллюстрируется сопоставлением размеров и формы магнитов из разных материалов (рис. 1-65), изображенные на рисунке магниты обеспечивают одинаковую напряженность поля в рабочем промежутке полюсных наконечников. Из рис. 1-65 следует, что магниты из ранее применявшихся сталей: хромистой ЕХЗ, вольфрамовой Е7В6 и кобальтовых ЕХ5К5 и ЕХ9К15М должны иметь большие размеры и форму подковы, характеризующуюся большим рассеянием потока, магниты же из литых сплавов

типа альнико значительно компактнее и имеют форму скобы, характеризующуюся значительно меньшим рассеянием, а магниты из редкоземельных материалов принимают вид практически не имеющих рассеяния толстых пленок 1, покрывающих рабочую поверхность полюсных наконечников 2, превратившихся здесь в ядро из магнитно-мягкого материала.

Если в роли критерия для оценки качества магнитно-твердого материала принять его энергоемкость, то характеристика прогресса материаловедения в этой области выразится (рис. 1-66) кривой параболического вида.

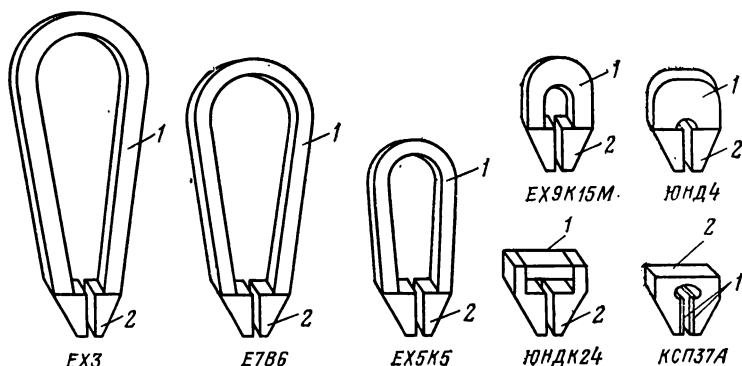


Рис. 1-65. Сравнительные размеры постоянных магнитов из различных материалов.

1 — магнит; 2 — наконечник.

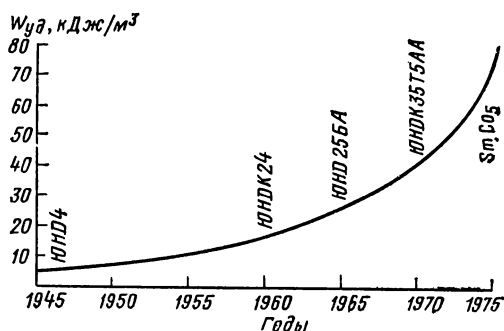


Рис. 1-66. Характеристика прогресса в области усовершенствования магнитно-твердых материалов.

Энергоемкость магнитно-твердого материала, т.е. значение его максимальной удельной энергии $W = (BH)_{\max}/2$, используется в роли критерия для оценки качества с начала промышленного изготовления постоянных магнитов. Однако появление энергоемких, но дорогих редкоземельных материалов с очень высоким значением коэрцитивной силы $H_{сМ}$ потребовало уточнения этого критерия и учета экономических показателей.

Вопрос о критериях добротности магнитно-твердого материала явился предметом обсуждения на V Всесоюзной конференции по постоянным магнитам (Новочеркасск, 1976 г.). В докладе Н. А. Пересыпкина предложено оценивать добротность по стоимости массы вещества, содержащей 1 Дж магнитной энергии, и одновременно учитывать расход дефицитного кобальта. В табл. 1-16 приводятся значения расхода кобальта на 1 Дж и относительной стоимости джоуля энергии у наиболее употребительных материалов по сравнению со сплавом ЮН14ДК24, полученные на основании обработки данных, приведенных в докладе, и ориентировочные данные по РЗМ.

Таблица 1-16

Материал	ЮНД4	ЮНДК15	ЮНДК18	ЮН14ДК24	ЮН14ДК25БА	ЮНДК35Т5БА	КСР37А
Расход кобальта на 1 Дж (г)	0	190	140	101	68	74	73
Относительная стоимость 1 Дж энергии	1,84	2,73	1,64	1,00	1,95	2,17	73,5

Данные этой сводки свидетельствуют о том, что по стоимости материала наиболее дешевыми получаются магниты из ЮН14ДК24. Подтверждением этому является факт преимущественного использования указанной марки сплава для изготовления магнитов из альнико. Если же подходить к выбору марки сплава с точки зрения экономии кобальта, то приходится или применять громоздкие магниты из сплава ЮНД4 и других бескобальтовых материалов или делать их из сплава ЮН14ДК25БА, почти в 2 раза более дорогого, но на 32% более экономичного в расходовании кобальта, чем сплав ЮН14ДК24. Энергоемкость все же не полностью характеризует качество магнитно-твердого материала, так как форма и размеры магнита зависят также и от требуемого запаса устойчивости к воздействию сторонних размагничивающих полей $Q = H_{пр}/H_b$, где $H_{пр}$ — предельное значение напряженности размагничивающего стороннего поля, после воздействия которого магнит восстанавливает свой по-

ток, H_b — абсцисса точки b отхода прямой магнитного возврата (рис. 1-67). Роль запаса устойчивости хорошо иллюстрируется примером двух магнитов, выполненных из двух магнитно-твердых материалов с одинаковой энергоемкостью $W_{max1} = W_{max2}$, но существенно различной магнитной твердостью по намагниченности¹ $\theta_M = H_{cM}/M_r = \mu_0 H_{cM}/B_r$. У первого магнита (с большой магнитной твердостью) точка d_1 максимума удельной энергии лежит на прямолинейной части характеристики размагничивания правее точки k_1 конца линейного участка, а у второго материала (с малой магнитной твердостью) точка d_2 , наоборот, лежит левее точки k_2 и поэтому расположена на колене характеристики размагничивания. Магнит

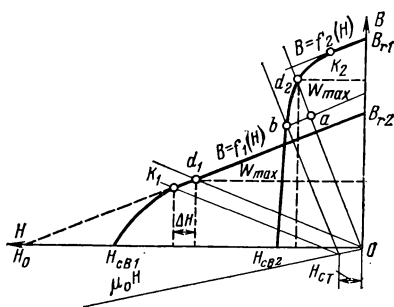


Рис. 1-67. Кривые размагничивания двух материалов с одинаковой удельной энергией и разной коэрцитивной силой.

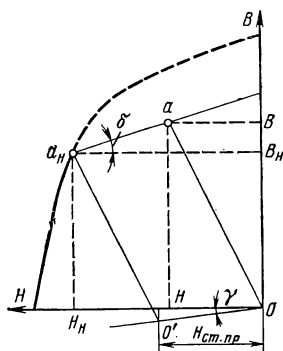


Рис. 1-68. К выводу формулы добротности магнитно-твердого материала.

с максимальной удельной энергией W_{max1} , выполненный из первого материала, может выдерживать без потери потока воздействие стороннего размагничивающего поля $H_{ст}$, а магнит с такой же удельной энергией $W_{max2} = W_{max1}$, выполненный из второго материала, будет обладать этой энергией только при тщательной защите от воздействия стороннего поля, так как его запас устойчивости равен нулю. После воздействия на этот магнит поля $H_{ст}$ его рабочая точка перейдет из точки d_2 в точку a , лежащую на прямой магнитного возврата, характеризующуюся меньшим значением W_{max} . Поэтому материалы, у которых точка W_{max} лежит на криволинейной части характеристики размагничивания, например литые и металло-керамические сплавы альнико, следует применять для магнитных систем с замкнутой магнитной цепью, практически не подвергающих-

¹ Под магнитной твердостью по намагниченности здесь понимается отношение коэрцитивной силы по намагниченности H_{cM} к остаточной намагниченности M_r .

ся воздействию размагничивающих сторонних полей, а материалы, у которых точка W_{max} лежит на прямолинейной части характеристики размагничивания, например ферриты и РЗМ, целесообразно применять для магнитных систем с разомкнутой магнитной цепью, где магниты подвергаются взаимному размагничивающему воздействию и влиянию размагничивающих сторонних полей. Рисунок 1-67, показывающий несовершенство энергетического критерия, заимствован из доклада на упомянутой выше конференции О. Ю. Пятинна, предложившего оценивать качество магнита по значению ресурса удельной энергии $R_3 = BH/2$ и ресурса стабильности $R_{ст} = H_{ст.пр}$, где $H_{ст.пр}$ — предельное допустимое значение стороннего размагничивающего поля, не вызывающее необратимой потери потока. Для оценки качества магнитно-твердого материала О. Ю. Пятинным предложен критерий добротности, определяемый максимумом произведения $R_3 R_{ст}$:

$$D = (R_3 R_{ст})_{max} = (H_{ст.пр} BH/2)_{max}. \quad (1-13)$$

Рабочая точка a стабильного магнита, способного восстанавливать прежнее значение потока после воздействия размагничивающего поля, всегда лежит (рис. 1-68) на прямой магнитного возврата, совпадающей у некоторых материалов с характеристикой размагничивания. Известными здесь являются координаты H_H и B_H точки a_H отхода прямой магнитного возврата и коэффициент магнитного возврата K_B . Обозначив через H и B координаты рабочей точки a , получают:

$$B = B_H + (H_H - H) K_B, \quad (1-14)$$

$$H_{ст.пр} = \frac{H_H [B_H + (H_H - H) K_B] - HB_H}{B_H + (H_H - H) K_B + \mu_0 H}. \quad (1-15)$$

Отсюда

$$R_{ст} R_3 = \frac{H_H [B_H + (H_H - H) K_B] - HB_H}{B_H + (H_H - H) K_B + \mu_0 H} \cdot \frac{H [B_H + (H_H - H) K_B]}{2}. \quad (1-16)$$

У большинства материалов $\mu_0 H \ll B_H + (H_H - H) K_B$.

В этом случае

$$R_{ст} R_3 = \frac{H (B_H + H_H K_B) (H_H - H)}{2}. \quad (1-17)$$

Относительный максимум по H наступает здесь при $H = H_H/2$, когда рабочая точка a лежит на середине прямой магнитного возврата. При этом условии

$$R_{ст} R_3 = \frac{H_H^2 (B_H + H_H K_B)}{8}. \quad (1-18)$$

Так как точка a_H лежит на кривой размагничивания, то $B_H = f(H_H)$.

Отсюда

$$D = (R_{\text{ст}} R_{\text{э}})_{\text{max}} = \left\{ \frac{H_{\text{н}}^2 [f(H_{\text{н}}) + H_{\text{н}} K_{\text{в}}]}{8} \right\}_{\text{max}}. \quad (1-19)$$

Максимум правой части этого выражения можно найти графоаналитически, задаваясь рядом значений аргумента $H_{\text{н}}$, или аналитически, используя аппроксимирующую формулу кривой размагничивания. Значения добротности, ресурса стабильности и энергетического ресурса основных магнитно-твердых материалов приведены в табл. 1-17.

Таблица 1-17

Основные показатели магнитно-твердых материалов

Материал	B_r , Тл	$H_{\text{сМ}}$, кА/м	θ	W , кДж/м ³	D		$R_{\text{э}}$, кДж/м ³	$R_{\text{с}}$, кА/м	θW	
					ГДж/м ⁴	относительный			кДж/м ³	относительный
Литой сплав ЮН14ДК24	1,2	48,1	0,05	18	0,23	1	10,2	22,5	0,9	1
Литой сплав ЮНДК35Т5АА	1,05	118	0,14	40	1,07	4,65	19,6	54,5	5,6	6,2
Феррит 19БА260	0,33	263	1,0	9,55	0,96	4,17	9,2	107	9,55	10,6
Редкоземельный материал КСП37	0,85	800	1,18	65	19,7	85,6	63,6	310	76,7	85,3

Из табл. 1-17 следует, что магнитная твердость у сплавов аль-нико значительно меньше, чем у ферритов и РЗМ. Этим в основном и объясняется, что у ферритов и РЗМ энергетический ресурс $R_{\text{э}}$ лишь немного меньше энергосодержания $W_{\text{уд}}$, а у альнико $R_{\text{э}}$ почти вдвое меньше, чем $W_{\text{уд}}$. По этой же причине ресурс стабильности у альнико значительно меньше, чем у РЗМ. Поэтому приближенную оценку качества магнитно-твердого материала можно производить и по произведению $\theta W_{\text{уд}}$, значения которого приведены в таблице.

Предложенный критерий добротности свидетельствует о том, что магнитное качество ферритов приближается к качеству лучших марок альнико, несмотря на то, что энергия сплава ЮН14ДК24, принятого за эталон, в 2 раза выше, чем у феррита. Благодаря высокой магнитной добротности и относительно дешевой ферритов область их применения все время расширяется, и по объему мирового производства они превосходят сплавы альнико. Добротность РЗМ в свою очередь в 20 раз выше, чем у ферритов, а это уже обещает переворот в электронике и других областях техники.

1-11. СТАБИЛЬНОСТЬ ПОСТОЯННЫХ МАГНИТОВ

Магнитный поток, создаваемый постоянным магнитом, меняется с течением времени и при воздействии внешних условий: магнитных полей, механических нагрузок, температуры, радиации, влиянии соседних ферромагнитных масс, изменениях магнитного сопротивления.

Различают структурную и магнитную нестабильность. Структурная нестабильность связана с кристаллическим строением, фазовыми превращениями, уменьшением внутренних напряжений и другими причинами. Магнитные свойства, изменившиеся в результате структурной нестабильности (структурное старение), могут быть восстановлены только регенерацией структуры, например, путем повторной термической обработки материала.

Степень структурного старения для различных материалов весьма различна. Структурную стабильность сплавов типа альнико можно повысить частичным снятием напряжения посредством отпуска магнитов при повышенной температуре с последующим медленным охлаждением.

Причина магнитной нестабильности состоит в изменении магнитной (доменной) структуры вещества, стремящейся к установлению устойчивого термодинамического равновесия как во времени (магнитное старение), так и при изменении внешних условий. Магнитная нестабильность может иметь обратимый и необратимый (гистерезисный) характер. Если после возвращения внешних условий к исходным магнитные свойства восстанавливаются, то имеют место обратимые изменения, при наличии гистерезиса — необратимые. Необратимые изменения, вызванные магнитной нестабильностью, можно устранить повторным намагничиванием материала.

Магнитное старение происходит по закону, близкому к логарифмическому. Количественно оно зависит от формы кривой размагничивания, относительных размеров магнита (положения рабочей точки) и внешних условий, в которых находится материал: температуры, механических напряжений и т. п.

Изменение магнитной индукции $\beta_c = [\Delta B/B] \cdot 100\%$, вызванное магнитным старением за время τ , в рабочей точке с координатами B , H можно приближенно оценить следующим выражением:

$$\beta_c = \frac{h\tau_0}{H} \left(\frac{k}{k + \mu_a} - \frac{\mu_{r,rev}}{\mu_a + \mu_{r,rev}} \right) \lg \frac{10\tau}{\tau_0} \cdot 100\%, \quad (1-20)$$

где $k = dB/dH$ — тангенс угла наклона касательной в рабочей точке к оси H (при определении k надо учитывать масштабы B и H); $\mu_a = -B/H$ — абсолютная магнитная проницаемость в рабочей точке; $\mu_{r,rev}$ — проницаемость возврата (абсолютная); h_{τ_0} — коэффициент, имеющий размерность напряженности поля и определяемый экспериментально по магнитному старению материала в одной рабочей точке за время τ_0 . Этот коэффициент зависит от свойств материала и от условий, в которых работает магнит. При температуре $\vartheta = 20 \pm 5^\circ \text{C}$, отсутствии внешних магнитных полей и при времени $\tau_0 = 10$ дней для изотропных магнитов типа ЮНД4 $h_{\tau_0} = 1,4 \text{ кА/м}$, для анизотропных типов ЮНДК24 и ЮНДК35Т5 $h_{\tau_0} = 0,7 \text{ кА/м}$.

Магнитное старение постоянных магнитов в зависимости от марки материала и положения рабочей точки меняется от десятых долей процента до нескольких процентов за один год.

Уменьшение магнитной нестабильности идет по пути устранения необратимых изменений, включая магнитное старение (магнитная стабилизация), и последующей оценки оставшихся обратимых изменений. Основными методами магнитной стабилизации являются частичное размагничивание магнита и обработка его температурными циклами. Идея метода частичного размагничивания заключается в том, что намагниченный магнит подвергают действию переменного магнитного поля с убывающей до нуля амплитудой. В результате такой обработки дальнейшие изменения свойств магнита в известном диапазоне изменений внешних условий становятся обратимыми.

Исследования показали, что частичное размагничивание уменьшает необратимые изменения индукции не только от влияния внешних магнитных полей, но и от действия температуры, изменения магнитного сопротивления цепи, ударов, тряски, вибраций, а также улучшает структурную стабильность.

Следует отметить, что степень изменения магнитной индукции под действием размагничивающего поля $\pm \Delta H$ зависит не только от этого поля, но также от коэффициента возврата, формы кривой размагничивания и положения рабочей точки. Так, для магнитов из ферритов бария, у которых проницаемость возврата $\mu_{r,rev} \approx 0,9 \times 10^{-6}$ Гн/м и кривая размагничивания представляет собой прямую линию, действие внешних полей вызывает практически только обратимые изменения свойств, и, следовательно, в данном случае обработка переменным полем с убывающей до нуля амплитудой с целью повышения магнитной стабильности не имеет смысла.

В табл. 1-18 приведены данные по естественному магнитному старению β_c некоторых магнитно-твердых материалов через 1 год после намагничивания для разных положений рабочей точки магнита («с» — в средней части кривой размагничивания — в области максимума магнитной энергии, «в» — выше и «н» — ниже этого максимума).

В таблице также указано относительное изменение магнитной индукции при размагничивании $\beta_p = \frac{\Delta B}{B} \cdot 100\%$, обеспечивающее

Таблица 1-18

Естественное магнитное старение за 1 год после намагничивания β_c и рекомендуемое размагничивание β_p для магнитов с высокими (в), средними (с) и низкими (н) рабочими точками

Характер воздействия	ЮНДК24			ЮНДК25БА			ЮНДК35Т5		
	в	с	н	в	с	н	в	с	н
Магнитное старение β_c , %	0,5	1,0	1,7	0,2	0,6	1,5	0,2	0,4	0,6
Размагничивание β_p , %	4	8	12	2	4	12	2	3	4

Продолжение табл. 1-18

Характер воздействия	ЮНДК35Т5БА			ЮНДК38Т7			ЮНД4		
	в	с	н	в	с	н	в	с	н
Магнитное старение β_c , %	0,2	0,5	0,8	0,1	0,3	0,5	1,0	2,0	3,0
Размагничивание β_p , %	2	4	5	1	2	4	8	15	20

практическое отсутствие магнитного старения, т. е. магнитную стабильность свойств во времени при неизменных внешних условиях (с точностью до 0,1 %).

В тех случаях, когда к стабильности магнита предъявляются особенно высокие требования в сочетании с большими возможными изменениями внешних условий (механические и температурные воздействия), кроме частичного размагничивания, магниты подвергают температурной обработке и механическим воздействиям.

Температурная обработка состоит в том, что магнит после частичного размагничивания 3—5 раз нагревают и охлаждают до температуры несколько выше и ниже наибольшей ожидаемой. Особенно большие изменения наблюдаются при этом после первого цикла, последующие сказываются значительно меньше. Механические воздействия также повторяют несколько раз, при этом они не должны превышать максимально возможные при эксплуатации. Размагничивание современных магнитно-твердых материалов за счет механической нагрузки обычно не превышает 1 %.

В результате магнитной стабилизации (частичного размагничивания, термообработки и механических воздействий) удается уменьшить необратимые изменения магнитной индукции до сотых долей процента.

Дальнейшие изменения магнитных свойств стабилизированного магнита в некотором диапазоне изменений внешних условий (температуры, напряженности поля, механических воздействий) обратимы. Эти изменения можно оценивать соответствующими коэффициентами, например температурным коэффициентом магнитной индукции

$$\alpha_B = \frac{\Delta B}{B \Delta \theta}, \quad (1-21)$$

где B — магнитная индукция при начальной температуре; $\Delta \theta$ — изменение температуры; ΔB — изменение индукции, вызванное изменением температуры на $\Delta \theta$.

Подобным образом принято оценивать изменения и других параметров — коэрцитивной силы H_c , удельной магнитной энергии W_{max} и т. п.

Для магнитов из сплава альинко температурный коэффициент магнитной индукции зависит, кроме химического состава и структуры материала, от относительных размеров магнита (коэффициента

размагничивания), степени предварительного размагничивания, а также (в общем случае) от θ_0 до $\Delta\theta$.

В табл. 1-19 приведены значения температурного коэффициента магнитной индукции в точке максимума магнитной энергии для сплавов типа альнико.

Таблица 1-19

Температурный коэффициент индукции α_B в области максимума магнитной энергии в указанном температурном интервале, $\%/^{\circ}\text{C}$

Материал	Температура, $^{\circ}\text{C}$						
	$-180 \div +80$	$-80 \div +20$	$20-200$	$200-300$	$300-400$	$40-500$	$500-600$
ЮНДК24	+0,015	-0,020	-0,015	-0,023	-0,030	-0,037	-0,044
ЮНДК25БА	+0,015	-0,020	-0,015	-0,023	-0,030	-0,037	-0,044
ЮНДК35Т5	+0,025	+0,025	-0,008	-0,015	-0,019	-0,024	-0,028
ЮНДК38Т7	+0,020	+0,020	-0,006	-0,011	-0,017	-0,022	-0,025
ЮНДК35Т5БА	+0,025	+0,025	-0,008	-0,015	-0,019	-0,024	-0,023
ЮНД4	+0,020	+0,020	-0,020	-0,026	-0,033	—	—

Для магнитов из феррита бария и сплавов Pt-Co температурный коэффициент магнитной индукции не зависит от положения рабочей точки магнита и равен $0,19\%/^{\circ}\text{C}$ для ферритов бария и $-0,015\%/^{\circ}\text{C}$ для магнитов из сплавов Pt-Co.

Для металлокерамических магнитов на базе Fe-Ni-Al-Co марок ММК1—ММК11 α_B среднее составляет $0,035-0,48\%/^{\circ}\text{C}$.

Для сплавов типа ЮНДК24 и ЮНДК35Т5 при охлаждении от 20 до -180°C необратимые изменения индукции в рабочей точке доходят до -16% , обратимые изменения составляют $-8 \div +6\%$. При нагреве от 20 до 600°C магнитов из этих сплавов необратимые изменения доходят до -6% , обратимые до -15% .

Приближенную оценку α_B , обратимых $\Delta B_{0\theta}/B_{20}$ и необратимых $B_{H\theta}/B_{20}$ изменений магнитной индукции для любой рабочей точки магнитов из сплавов типа альнико можно получить, если известны температурные зависимости остаточной магнитной индукции ($\Delta B_{r\theta}/B_{r20}$) и коэрцитивной силы ($\Delta H_{c\theta}/H_{c20}$) материала.

Если $\Delta B_{r\theta}/B_{r20} < 0$, $\Delta H_{c\theta}/H_{c20} < 0$, то

$$\frac{\Delta B_{0\theta}}{B_{20}} = \frac{\Delta B_{r\theta}}{B_{r20}} \frac{\mu'}{\mu' + \mu_{r.rev}}; \quad (1-22)$$

$$\frac{\Delta B_{H\theta}}{B_{20}} = \frac{\Delta B_{r\theta}}{B_{r20}} \frac{\mu_{r.rev}}{\mu' + \mu_{r.rev}}. \quad (1-23)$$

Когда $\Delta B_{r\phi}/B_{r20} > 0$, $\Delta H_{c\phi}/H_{c20} < 0$,

$$\frac{\Delta B_{0\phi}}{B_{20}} = \frac{\Delta B_{r\phi}}{B_{r20}} + \frac{\Delta H_{c\phi}}{H_{c20}} \frac{\mu_{r.rev}}{\mu' + \mu_{r.rev}}; \quad (1-24)$$

$$\frac{\Delta B_{H\phi}}{B_{20}} = \frac{\Delta H_{c\phi}}{H_{c20}} \left(\frac{k}{\mu' + k} - \frac{\mu_{r.rev}}{\mu' + \mu_{r.rev}} \right). \quad (1-25)$$

Если $\Delta B_{r\phi}/B_{r20} < 0$, $\Delta H_{c\phi}/H_{c20} > 0$, то

$$\frac{\Delta B_{0\phi}}{B_{20}} = \frac{\Delta B_{r\phi}}{B_{r20}} \frac{\mu'}{\mu' + \mu_{r.rev}} + \frac{\Delta H_{c\phi}}{H_{c20}} \frac{k}{\mu' + k}; \quad (1-26)$$

$$\frac{\Delta B_{H\phi}}{B_{20}} = \frac{\Delta B_{r\phi}}{B_{r20}} \frac{\mu_{r.rev}}{\mu' + \mu_{r.rev}}. \quad (1-27)$$

Температурный коэффициент индукции $\alpha_B(\vartheta_2 - \vartheta_1)$ в интервале температур $\vartheta_2 - \vartheta_1$ вычисляется по формуле

$$\alpha_{B(\vartheta_2 - \vartheta_1)} = \frac{\Delta B_{0(\vartheta_2 - \vartheta_1)}}{B_{\vartheta_1(\vartheta_2 - \vartheta_1)}}, \quad \% / ^\circ\text{C}. \quad (1-28)$$

Экспериментальные данные о температурных изменениях B_r и H_{cB} приведены в табл. 1-20. Кристаллическая текстура и небольшое изменение химического состава не влияют на температурные зависимости.

Иногда при эксплуатации постоянные магниты в течение продолжительного времени подвергаются воздействию высоких температур. Это происходит, например, в датчиках и исполнительных механизмах для контроля и автоматизации современных энергетических установок, химических производств, во многих приборах для научных исследований, в самолетах, ракетах и космических аппаратах. Кроме того, магниты нагреваются при заливке их силумином для крепления в магнитной системе. Поэтому знание поведения постоянных магнитов при высоких температурах и определение верхнего предела рабочей температуры имеют большое практическое значение.

При повышенных температурах (выше 200°C) наиболее приемлемыми являются сплавы типа ЮНДК24 и ЮНДК35Т5, так как наряду с высокой точкой Кюри (около 850°C) эти сплавы обладают высокой структурной устойчивостью. До 500°C в этих сплавах не наблюдалось структурных изменений, влияющих на магнитный поток (при испытаниях в течение 1 года). При более высокой температуре время работы постоянных магнитов ограничено.

Для работы при высоких температурах (до $550-650^\circ\text{C}$) магниты подвергают специальной структурной и магнитной стабилизации. После стабилизации магниты из сплавов ЮНДК35Т5, ЮНДК35Т5БА и ЮНДК38Т7 стабильны в течение не менее 10 000 ч при 550°C , 1000 ч при 600°C и 50 ч при 650°C . При 500°C и ниже время работы магнитов не ограничено.

Таблица 1-20
Относительное изменение остаточной индукции и коэрцитивной силы в интервале $-180 \div 600^\circ\text{C}$, %

Материал	$\Delta B_{\text{ост}}, \Delta H_{\text{ост}}$	Температура, $^\circ\text{C}$								
		-180	-80	20	100	200	300	400	500	600
ЮНДК24	$\Delta B_{\text{ост}}/B_{\text{ост}}$	+5	+2,5	0	-2,0	-4,3	-7,0	-10,0	-14,0	-19
	$\Delta H_{\text{ост}}/H_{\text{ост}}$	-17	-9	0	+3,0	+4,0	+2,0	-1,0	-6,0	-15
ЮНДК35Т5	$\Delta B_{\text{ост}}/B_{\text{ост}}$	+3,5	+2	0	-1,0	-3,0	-5,0	-7,0	-10,0	-14
	$\Delta H_{\text{ост}}/H_{\text{ост}}$	-6	-1,5	0	-0,8	-2,5	-4,8	-8,5	-14	-20
ЮНДК38Т7	$\Delta B_{\text{ост}}/B_{\text{ост}}$	+2,5	+1	0	-0,5	-1,6	-3,2	-5,4	-8,5	-12
	$\Delta H_{\text{ост}}/H_{\text{ост}}$	-4,5	-1,5	0	-0,8	-2,5	-4,8	-8,5	-14,5	-22
ЮНД4	$\Delta B_{\text{ост}}/B_{\text{ост}}$	+7	+3,5	0	-3	-8	-16,5	-25	-36,5	-50
	$\Delta H_{\text{ост}}/H_{\text{ост}}$	+6	+3	0	-6,5	-13	-20	-28	-40	-56

Магниты из сплавов ЮНДК24 и ЮНДК25БА стабильны не менее 10 000 ч при 500°С, 1000 ч при 550°С и 50 ч при 600°С. Общее старение магнитов (структурное и магнитное) за это время не превосходит 1%. При более высокой температуре магнитный поток быстро падает. За 1000 ч при 650°С для магнитов из сплавов типа ЮНДК24 или за 1000 ч при 700°С для магнитов из сплавов типа ЮНДК35Т5 снижение магнитного потока составляет 80—90%.

Стабилизация магнитов для работы при температуре до 550—650°С заключается в проведении после стандартной термообработки длительного остаривания при 550—650°С и последующей магнитной стабилизации.

Остаривание магнитов из сплавов ЮНДК35Т5, ЮНДК35Т5БА и ЮНДК38Т7 производят по режиму: нагрев до 650°С, выдержка 50 ч, охлаждение до 600°С, выдержка 50 ч, охлаждение до 550°С, выдержка 100 ч, нагрев до 600°С, выдержка 100 ч, охлаждение до комнатной температуры.

Остаривание магнитов из сплавов ЮНДК24 и ЮНДК25БА производят по режиму: нагрев до 600°С, выдержка 100 ч, охлаждение до 550°С, выдержка 100 ч, охлаждение до комнатной температуры.

После сборки магнитные системы намагничивают до насыщения и подвергают магнитной стабилизации. Для магнитов из сплавов ЮНДК35Т5, ЮНДК35Т5БА, ЮНДК38Т7: нагрев до 650°С, выдержка 3 ч, охлаждение до комнатной температуры (3 цикла), затем размагничивание на 5%. Для магнитов из сплавов ЮНДК24 и ЮНДК25БА: нагрев до 600°С, выдержка 3 ч, охлаждение до комнатной температуры (3 цикла), затем размагничивание на 10%.

При выдержке выше 500°С в постоянных магнитах происходят непрерывные изменения кристаллической структуры, влияющие на магнитные свойства и особенно на коэрцитивную силу. Поэтому магниты, предназначенные для работы при температуре выше 500°С, должны иметь рабочую точку выше максимума магнитной энергии.

Минимальные допустимые отношения размеров магнитов l/\sqrt{S} равны 1,6; 2,1; 1,3; 4,0; 3,7 для магнитов из сплавов ЮНДК35Т5, ЮНДК35Т5БА, ЮНДК38Т7, ЮНДК24 и ЮНДК25БА соответственно.

Структурные изменения при 550°С, а в сплавах типа ЮНДК35Т5 и при 600°С могут привести к некоторому повышению магнитной индукции при повторном намагничивании до насыщения после выдержки (вследствие упорядочения структуры). Однако увеличение индукции в результате общего старения магнитов (без повторного намагничивания) обычно не превышает 1% даже в тех случаях, когда повторное намагничивание дает увеличение индукции более чем на 10% (чистое структурное старение).

Имеются некоторые данные по исследованию влияния радиации на свойства магнитов. Так, например, после действия на различные магнитно-твердые материалы быстрых нейтронов в количестве $3 \cdot 10^{17}$ 1/см³ в течение 12 дней изменения индукции находились в пределах погрешности измерений.

Свойства магнита могут существенно измениться в результате взаимодействия с другими магнитами или ферромагнитными массами. Поэтому при хранении или эксплуатации магниты надо оберегать от операций такого рода.

Проблема стабильности магнитно-твердых материалов и магнитных систем изучена далеко не полностью. Практически чаще всего наибольший интерес представляют температурные зависимости не постоянного магнита, а магнитной системы, т. е. магнита с арматурой из магнитно-мягкого материала. Такие данные могут быть получены только на основании экспериментальных исследований магнитных систем. Применяемая для этого измерительная аппаратура должна обеспечивать высокую чувствительность (порядка 0,001 Тл) и воспроизводимость результатов измерения в пределах 0,01—0,02%, необходимо иметь специальные термо- и криостаты и т. п. Для получения достоверных результатов в этой области необходимо также накопление большого статистического материала, что является чрезвычайно трудоемкой задачей.

1-12. МЕТОДИКА РАСЧЕТА ТЕХНОЛОГИЧЕСКОЙ ТОЧНОСТИ И ТЕМПЕРАТУРНОЙ СТАБИЛЬНОСТИ РАБОЧЕГО ПОТОКА МАГНИТНЫХ СИСТЕМ

Сложность физического взаимодействия магнитных и конструктивных параметров, отсутствие нормативных данных по точности их формирования затрудняют изучение механизма образования суммарной погрешности рабочего потока магнитных систем в условиях серийного производства.

Это приводит к увеличению сборочно-регулирующих работ при функциональном согласовании выходных параметров магнитных систем с соответствующими звеньями приборов.

Чтобы преодолеть эти трудности необходимо: исследовать влияние производственных погрешностей конструктивных параметров и свойств магнитно-твердых материалов (МТМ) на точность и стабильность рабочего потока и разработать научно обоснованные технологические решения, направленные на повышение качества магнитных систем в условиях серийного производства.

Решение этих задач базируется на основных положениях теории точности производства и теории точности приборов [1-2].

Использование известных методов расчета систем с постоянными магнитами позволяет представить поток Φ в рабочем зазоре как аналитическую функцию вида

$$\Phi = F(q_i), \quad (1-29)$$

где q_i — первичные магнитные параметры МТМ и конструктивные размеры магнитной системы ($i=1, 2, 3, \dots, n$).

Так как для систем с постоянными магнитами в области номинальных значений параметров q_i функция (1-29) линеаризуема, то с учетом вероятностной природы производственных погрешностей

$$\delta_{0\Phi} = \frac{1}{k_{\Phi}} \times$$

$$\times \sqrt{\sum_{i=1}^n N_{\Phi q_i}^2 k_{q_i}^2 \delta_{0q_i}^2 + 2 \sum_{i=1}^n r_{q_j q_k} N_{\Phi q_j} k_{q_j} \delta_{0q_j} N_{\Phi q_k} k_{q_k} \delta_{0q_k}} \quad (1-30)$$

Для температурной погрешности магнитного потока имеем:

$$\alpha_{\Phi} = \sum_{i=1}^n N_{\Phi q_i} \alpha_{q_i}, \quad (1-31)$$

причем

$$N_{\Phi q_i} = \frac{q_i}{\Phi} - \frac{\partial F(q_i)}{\partial q_i} \quad (1-32)$$

$$\text{и } \delta_{0\Phi} = \delta_{\Phi} / \Phi; \quad \delta_{0q_i} = \delta_{q_i} / q_i. \quad (1-33)$$

В выражениях (1-30)—(1-33): $\delta_{0\Phi}$ — суммарная относительная производственная погрешность потока Φ ; α_{Φ} — коэффициент температурной стабильности магнитной системы; $N_{\Phi q_i}$ — относительный коэффициент влияния отклонения первичного параметра на погрешность потока в зазоре; δ_{0q_i} — относительное безразмерное значение поля допуска i -го первичного параметра; α_{q_i} — температурный коэффициент i -го первичного параметра; Φ , q_i — номинальное значение магнитного потока в зазоре и первичного параметра магнитной системы; δ_{Φ} , δ_{q_i} — значения полей допусков магнитного потока и i -го первичного параметра; k_{Φ} , k_{q_i} — коэффициенты относительного рассеивания производственных погрешностей потока в зазоре и i -го первичного параметра магнитной системы; $r_{q_j q_k}$ — коэффициент попарной корреляции между производственными погрешностями параметров q_j и q_k , входящих в полное множество параметров q_i магнитной системы.

Таким образом, для расчета интересующих нас погрешностей $\delta_{0\Phi}$ и α_{Φ} необходимо иметь: значения коэффициентов влияния погрешностей основных параметров рассматриваемого МТМ; достоверные данные о технологических и температурных отклонениях его параметров B_r , $H_{св}$, B_d , H_d .

Для определения $N_{\Phi q_i}$ следует построить математическую модель магнитной системы. Эта модель по существу является аналитическим описанием рабочей диаграммы постоянного магнита.

Если учитывать достаточную сложность математической модели системы со стабилизированным магнитом из литых МТМ (позиции 5—11 на рис. 1-69), для определения относительных коэффициентов влияния первичных магнитных параметров на параметр Φ был использован метод численного дифференцирования [1-9].

Для вычисления коэффициентов влияния вида $N_{\Phi q_i}$ на ЭВМ была разработана схема программы расчета для области реальных

конструкций магнитных систем (рис. 1-69). При вычислении для каждого МТМ удовлетворялось условие: $\operatorname{tg} \alpha_i > \operatorname{tg} \alpha_d$.

Фиксированные значения $\operatorname{tg} \alpha$ для каждого МТМ приведены на рис. 1-70. Требуемое значение τ обеспечивалось напряженностью стабилизирующего магнитного поля $H_{ст}$, которая обычно для исследуемых литых МТМ выбирается в пределах 0,1—0,5 $H_{св}$.

При дискретном изменении $H_{ст}$ с шагом 0,1 $H_{св}$ получена область изменения τ в пределах 0—15%, что совпадает с рекомендациями по выбору степени стабилизации для основных марок МТМ, приведенными в [1-6, 1-7]. При вычислении коэффициентов влияния вида $N_{\Phi q_i}$ в качестве исход-

ных данных использовались номинальные значения нормируемых параметров МТМ (ГОСТ 17809-72).

Знак коэффициентов влияния вида $N_{\Phi q_i}$ определяется с

учетом знака приращения функции $F(q_i)$, вызванного отклонением соответствующего первичного магнитного параметра.

Результаты расчета (коэффициентов влияния) показателей чувствительности рабочего потока систем к погрешностям свойств магнитов из исследуемых МТМ, стабилизированных при заданном относительном размагничивании, представлены на рис. 1-70 в виде семейства графических зависимостей $N_{\Phi q_i} = f(\tau, \operatorname{tg} \alpha)$.

Пользуясь этими графиками, еще на этапе поверочного расчета магнитных систем по предварительному вычисленному значению $\operatorname{tg} \alpha$ и принятому τ можно определить коэффициенты влияния погреш-

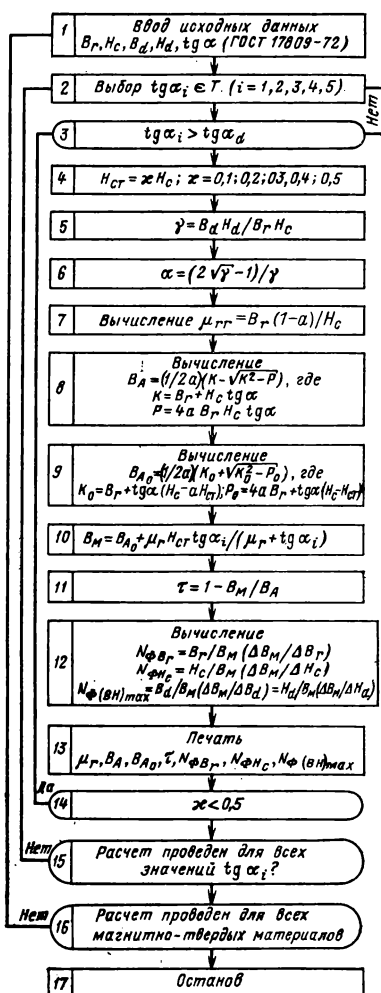
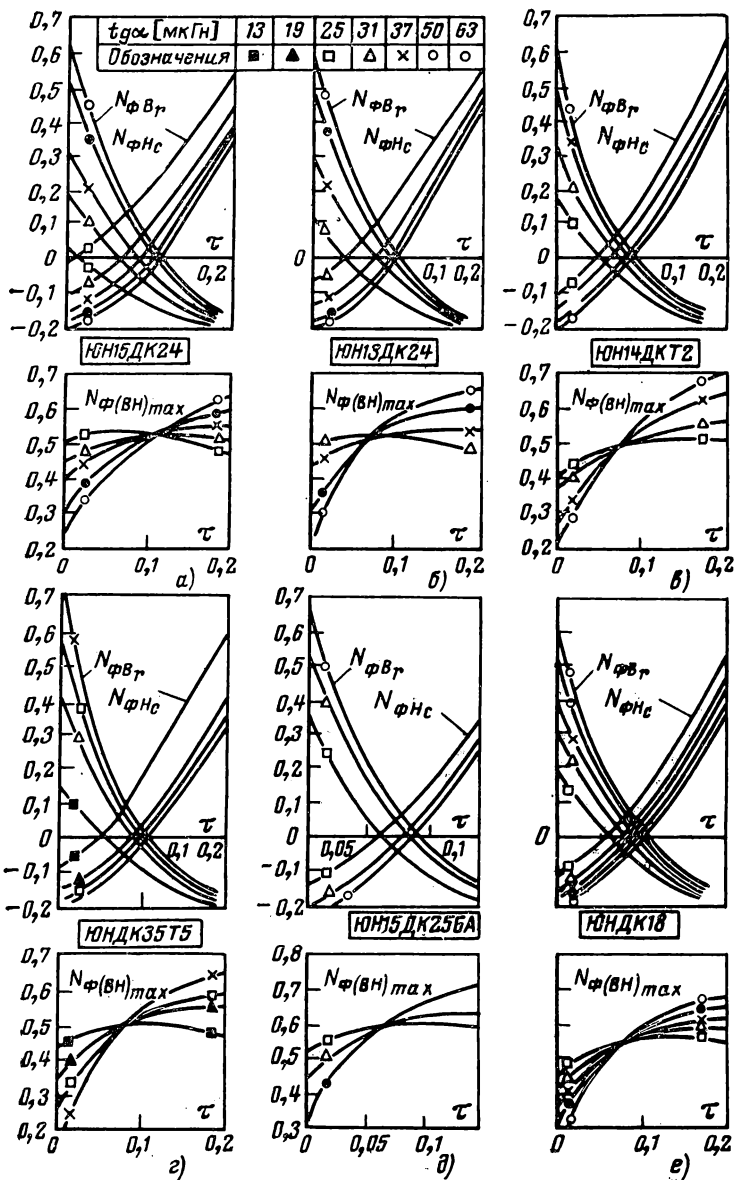


Рис. 1-69. Схема программы расчета коэффициента влияния вида $N_{\Phi q_i}$.



ностей основных параметров литых МТМ на погрешность потока в рабочем зазоре.

Найденные коэффициенты используются для определения оптимальных сочетаний первичных геометрических и магнитных параметров, позволяющих уменьшить чувствительность магнитных систем к производственным и температурным погрешностям, а также для оценки качества магнитных систем в условиях серийного производства.

В качестве критерия чувствительности параметра Φ магнитной системы с некоторыми допущениями взята функция $z = \sum_{i=1}^n N_{\Phi q_i}^2 [1-3]$.

Из рис. 1-70 видно, что минимум этой функции, а следовательно, и минимум технологического разброса параметра Φ в основном определяется степенью размагничивания постоянных магнитов τ .

Таким образом для разнообразных систем с постоянными магнитами из литых МТМ аналитически найдена область значений $\tau = 3 \div 10\%$, обеспечивающих построение оптимальных по точности и стабильности технологических процессов. Это совпадает с рекомендациями, принятыми в практике производства магнитных систем [1-6, 1-7].

Известно, что значения производственных и температурных погрешностей параметров МТМ на два-три порядка превышают соответствующие значения относительных допусков и коэффициентов линейного расширения геометрических размеров магнитной системы. Учитывая это, а также результаты исследований, проведенных в [1-2, 1-11], расчет α_{Φ} и $\delta_{0\Phi}$ проводится по соответствующим отклонениям параметров магнитного материала.

Данные о допусках и температурных погрешностях основных магнитных параметров литых МТМ, которые не указаны в нормативных документах, получают на основе статистического анализа производственной партии магнитов.

Пример. Определить производственную и температурную погрешность рабочего потока для изготавливаемой серийно магнитной системы с постоянным магнитом из ЮНДК35Т5 размером $16 \times 8 \times 8$ мм³. Расчетное значение $\text{tg } \alpha = 18,75$ мкГ/м, степень размагничивания 7%.

С целью получения статистических данных о точности формирования основных магнитных параметров сплава ЮНДК35Т5 было исследовано 166 образцов производственной партии магнитов. По виду распределения параметров B_r , $H_{св}$, B_d , H_d , а также согласно про-

Рис. 1-70. Зависимость коэффициентов влияния вида $N_{\Phi c_i}$ от степени размагничивания τ и конструктивного исполнения магнитных систем $\text{tg } \alpha$.

a — ЮН15ДК24; b — ЮН13ДК24; c — ЮНДК35Т5; d — ЮН14ДК24Т2; e — ЮНДК18; e — ЮН15ДК25БА.

верке по критерию χ^2 функции распределения соответствующих генеральных совокупностей являются нормальными, т. е. $k_{q_i}=1$ и $k_\Phi=1$ [1-2].

Номинальные значения основных параметров ЮНДК35Т5: $B_r=0,89$ Тл; $H_{св}=107$ кА/м; $B_d=0,54$ Тл; $H_d=63,7$ кА/м; относительные допуски: $\delta_{0B_r}=0,24$ ($\pm 12\%$); $\delta_{0H_{св}}=0,3$ ($\pm 15\%$); $\delta_{0B_d}=0,34$ ($\pm 17\%$); $\delta_{0H_d}=0,36$ ($\pm 18\%$).

Полученные коэффициенты корреляции значимы при 95%-ном уровне доверительной вероятности: $r_{B_r H_c}=0,48$; $r_{B_r B_d}=0,78$; $r_{H_{св} H_d}=0,77$.

Температурные отклонения параметров сплава ЮНДК35Т5 составляют: $\alpha_{B_r}=-0,0167\%/^\circ\text{C}$; $\alpha_{H_{св}}=-0,014\%/^\circ\text{C}$; $\alpha_{B_d}=-0,008\%/^\circ\text{C}$; $\alpha_{H_d}=-0,016\%/^\circ\text{C}$ для интервала температур $+20 \div +200^\circ\text{C}$.

Коэффициенты влияния определяются из рис. 1-70, в для значений: $\text{tg } \alpha=18,75$ мкГ/м и $\tau=7\%$; $N_{\Phi B_r}=0,025$; $N_{\Phi H_{св}}=-0,025$; $N_{\Phi B_d}=N_{\Phi H_d}=0,52$.

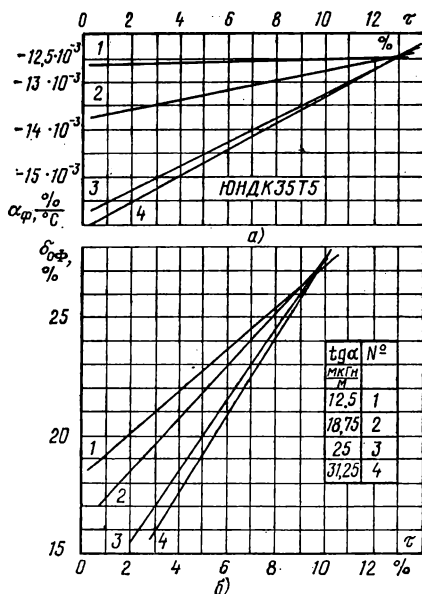


Рис. 1-71. Зависимость температурной (а) и технологической (б) погрешностей параметра качества Φ от степени размагничивания τ и конструкции магнитных систем.

По формулам (1-30), (1-31) находим:

$$\delta_{0\Phi} = \pm 12\% \text{ и } \alpha_{\Phi} = -0,013\%/^{\circ}\text{C}.$$

На рис. 1-70, а, б представлены результаты аналогичных расчетов для реальных конструкций магнитных систем, имеющих $\text{tg } \alpha = 12,5$; 25; 31,25 мкГн/м, при стабилизации их размагничивающим полем, при этом ($\tau = 0 \div 10\%$).

Результаты расчетов на рис. 1-71, а показывают, что при существующих допусках на погрешности магнитных параметров МТМ производственная погрешность $\delta_{0\Phi}$ определяется в основном степенью размагничивания τ и мало зависит от конструктивного исполнения магнитной системы.

Таким образом, степень размагничивания τ является важным конструктивно-технологическим фактором, который позволяет в процессе производства магнитных систем получать заданную величину технологического разброса параметра их качества — потока Φ .

Однако, как следует из рис. 1-71, б, степень размагничивания τ определяет также температурную погрешность рабочего потока в магнитной системе. Поэтому целесообразность приведения к «нулю» технологического разброса параметра Φ необходимо рассматривать также с точки зрения получения заданной температурной стабильности систем с постоянными магнитами. Вопрос выбора степени размагничивания должен решаться совместно с требованиями, предъявляемыми к магнитным системам по точности и температурной стабильности в условиях серийного производства. Это особенно важно при разработке прецизионных магнитных систем, повышение качества и надежности которых неразрывно связано с обеспечением их взаимозаменяемости по физическим параметрам в соответствующих звеньях приборов.

ГЛАВА ВТОРАЯ

КОНСТРУКЦИИ МАГНИТНЫХ СИСТЕМ С ПОСТОЯННЫМИ МАГНИТАМИ

2-1. ОБЩИЕ ПОЛОЖЕНИЯ

Постоянный магнит в подавляющем большинстве случаев снабжают магнитной арматурой, формирующей поле магнита в соответствии с назначением устройства или защищающей его от воздействия внешних полей. Магнит с арматурой образует магнитную систему. Принято различать следующие основные элементы магнитной арматуры: полюсный наконечник, сердечник, ярмо, термомагнитный шунт, магнитный экран.

Конструкция магнитной системы существенно зависит от объема производства. Магнитные системы крупносерийного и массового про-

изводства конструируют с учетом применения технологических приемов массового производства: прессования, сварки, штамповки, литья под давлением, опрессовывания пластмассой и конвейерной сборки.

Магнитные системы серийного и мелкосерийного производства конструируют так, чтобы по возможности исключить технологические приемы массового производства. Здесь широко применяют фрезерование и токарную обработку вместо штамповки и склеивание вместо сварки. Поэтому магнитные системы крупносерийного производства обычно совершенно не похожи на мелкосерийные магнитные системы такого же назначения.

Область применения постоянных магнитов охватывает многие отрасли промышленности: приборостроение, электромашиностроение, радиоэлектронику, аппаратостроение, производство средств связи, станкостроение и многие другие. Крупнейшими потребителями постоянных магнитов являются предприятия приборостроения и электромашиностроения. Возможно, что в ближайшее время потребителем постоянных магнитов станет и транспорт.

2-2. МАГНИТНЫЕ СИСТЕМЫ ИЗМЕРИТЕЛЬНЫХ ПРИБОРОВ

Постоянные магниты применяют в электроизмерительных приборах непосредственной оценки, приборах для измерения неэлектрических величин электрическими методами, компасах и различных измерительных приборах и устройствах.

В измерительных приборах постоянные магниты выполняют следующие функции: создают рабочее поле в измерительных механизмах магнитоэлектрической системы, вращающий момент в измерительных механизмах индукционной системы (тахометрах, расходомерах и т. д.), тормозной момент в счетчиках электрической энергии, противодействующий момент в устройствах «магнитной пружины», синхронизирующий момент в магнитных муфтах и демпфирующий момент в магнитно-индукционных успокоителях. В зависимости от назначения магнита к его материалу предъявляются различные требования. Материал магнитов, применяемый для измерительных механизмов и для создания тормозного момента в счетчиках электрической энергии, должен обладать высокой стабильностью параметров во времени, высокой плотностью магнитной энергии и возможно меньшей зависимостью свойств от температуры. Поэтому здесь в основном применяют литые и металлокерамические сплавы типа альнико, легированные титаном, ниобием и другими элементами. В дешевых приборах массового выпуска вместо альнико применяют литые и металлокерамические сплавы типа альни, легированные медью, кремнием и другими элементами, так как сплавы альни не содержат дорогого и дефицитного кобальта.

Подвижные магниты логометров, отличающиеся малыми размерами, выполняют из металлокерамического сплава типа альнико или из деформируемого сплава викаллой. Материал этих магнитов должен иметь возможно большую коэрцитивную силу и малую плотность.

Зависимость магнитных свойств от температуры не имеет здесь решающего значения. Поэтому для подвижных магнитов можно применять магнитно-твердые ферриты. Стрелки обычных компасов, характеризующиеся большим отношением длины к диаметру, выполняют из деформируемых сплавов, а крупные магниты датчиков дистанционных компасов авиационного типа — из сплавов типа альнико.

Магниты демпферов и магнитных муфт, отличающиеся, как правило, малым отношением длины к периметру, выполняют из материала с высокой коэрцитивной силой. Здесь наиболее употребительны литые сплавы типа альни и альнико и ферриты.

По углу раствора шкалы магнитные системы с внешним относительно рамки магнитом принято делить на системы с малым (порядка $5-10^\circ$), средним (порядка $50-90^\circ$) и большим (порядка $270-300^\circ$) углом раствора. Системы с малым углом раствора используют в осциллографах, системы со средним углом раствора — в электроизмерительных приборах, а системы с большим углом раствора — в приборах для электрического измерения неэлектрических величин, преимущественно в приборах логометрического типа. Конструкция магнитной системы с большим углом раствора шкалы значительно сложнее, дороже и менее технологична, чем конструкция магнитной системы со средним углом раствора. Поэтому системы с большим углом раствора применяют в основном там, где из-за малого габарита корпуса приходится любыми средствами увеличивать угол раствора шкалы, чтобы обеспечить ее требуемую длину.

По форме магнитной цепи магнитные системы измерительных приборов с внешним магнитом можно разделить на скобообразные, С-, θ -образные и стержневые. Магниты классической подковообразной формы в настоящее время практически не применяются. Общая тенденция развития магнитных систем измерительных механизмов состоит в приближении магнита к рабочему зазору, так как при этом уменьшается рассеивание магнитного потока. Однако у систем с внешним магнитом реализация этой тенденции приводит к усложнению и удорожанию конструкции и уменьшению ее технологичности. Поэтому выбор конструкции магнитной системы для приборов крупносерийного и массового производства требует проведения технико-экономического расчета.

Магнитные системы скобообразного типа (рис. 2-1 и 2-2) являются широко распространенными. Магниты этой системы (рис. 2-1, а и б) имеют форму дуги или скобы. Среднюю часть магнита нередко делают утолщенной. Форма магнита не допускает применения материалов с направленной кристаллизацией. Применение материалов, требующих термической обработки изделия в магнитном поле, целесообразно лишь при условии, что форма намагничивающего поля при термомагнитной обработке совпадает с формой магнита, а напряженность этого поля во всех точках не ниже требуемой величины, что практически трудно выполнимо. Полюсные наконечники у систем (рис. 2-1, а) припаивают к магниту (обычно с подогревом магнита до $400-500^\circ\text{C}$) или приваривают. Окончательную расточку полюсных поверхностей производят после присоединения полюсных наконечников к магниту. Полюсные наконечники у систем (рис. 2-1, б) монтируют независимо от магнита, а магнит прикрепляют скобой к тому же основанию, на котором смонтированы полюсные наконечники.

ки. Магнитные системы нуждаются в экранировании для защиты внешнего пространства от полей рассеивания магнитов.

Системы (рис. 2-2, *а* и *б*) имеют магниты прямоугольной формы, позволяющей использовать материалы с направленной кристаллизацией. Полюсные наконечники припаивают или приваривают к магниту. Окончательную расточку полюсных поверхностей производят после присоединения полюсных наконечников к магниту. Магнитное рассея-

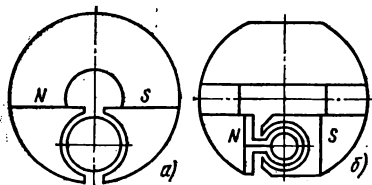


Рис. 2-1. Магнитные системы с магнитами скобообразной формы.

а — с малым углом раствора шкалы; *б* — с большим углом раствора шкалы.

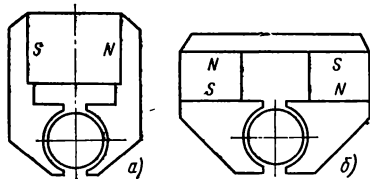


Рис. 2-2. Магнитная система скобообразной формы с прямоугольными магнитами.

а — с одним магнитом; *б* — с двумя магнитами.

ние у системы рис. 2-2, *а* примерно такое же, как и у системы рис. 2-1, *б*. Система рис. 2-2, *б* обладает меньшим рассеиванием, так как магниты расположены ближе к рабочему промежутку, но конструкция сложнее и больше мест соединения (стыков), создающих дополнительное сопротивление магнитному потоку. Обе системы нуждаются в экранировании для защиты внешнего пространства от полей рассеивания.

Магнитные системы С-образного типа (рис. 2-3 и 2-4). Системы (рис. 2-3, *а* и *б*) не имеют полюсных наконечников. Такие магниты могут быть изготовлены только из деформируемых материалов или методами металлокерамики, так как мелкие раковины, неизбежные при литье, нарушают равномерность поля в рабочем зазоре. У магнитной системы (рис. 2-3, *б*), применяемой в комбинированных при-

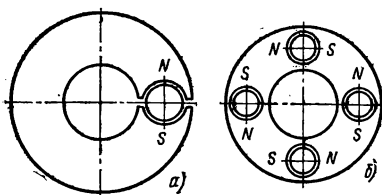


Рис. 2-3. Магнитная система С-образного типа.

а — ординарная; *б* — комбинированная.

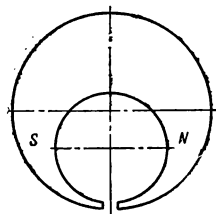


Рис. 2-4. Магнитная система С-образного типа.

борах авиационного типа, часть магнитного потока замыкается по металлическим мостам, минуя рабочий промежуток. Обе магнитные системы конструктивно просты и удобны в сборке. Магнитная система (рис. 2-4) предназначена для осциллографов. Она может быть выполнена как с полюсными наконечниками, так и целиком из деформируемого магнитно-твердого материала, а также изготовлена методами металлокерамики. В качестве материала для полюсных наконечников здесь целесообразно применять пермендюр и другие магнитно-мягкие материалы с высокой индукцией насыщения.

Магнитные системы θ -образного типа (рис. 2-5 и 2-6) характеризуются (за редкими исключениями) применением коротких магни-

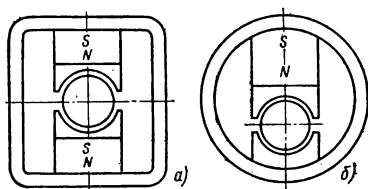


Рис. 2-5. Магнитная система θ -образного типа с магнитами простой формы.

a — симметричная; *б* — несимметричная.

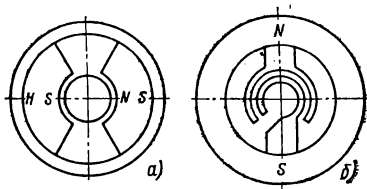


Рис. 2-6. Магнитная система θ -образного типа с магнитами сложной формы.

a — с радиальным направлением поля в магните; *б* — с аксиальным направлением поля в магните.

тов простой формы, допускающей применение магнитно-анизотропных материалов. Система рис. 2-5, *a* обладает меньшим магнитным рассеянием по сравнению с системой рис. 2-5, *б*, так как ее магниты расположены симметрично относительно рабочего промежутка, но зато она менее удобна для применения в малогабаритных приборах. Магниты припаивают, приклеивают или приваривают к полюсным наконечникам и ярму. Окончательную расточку полюсных поверхностей производят после сборки системы ярмо — магнит — наконечник. Система рис. 2-6, *a* с радиальным направлением поля в магните обладает меньшим рассеянием по сравнению с системами рис. 2-5, *a* и *б*, так как магниты непосредственно примыкают к рабочему промежутку, но форма магнита здесь сложная и не допускает применения магнитно-анизотропных материалов. Во избежание искажений рабочего поля магниты должны быть однородными. Этому требованию отвечают магниты, выполненные из деформируемых материалов или из недеформируемых материалов, но не литьем, а методами металлокерамики. Окончательную доводку полюсной поверхности целесообразно проводить после сборки системы магнит — ярмо. У магнитных систем рис. 2-5, *a* и *б* и рис. 2-6, *a* ярмо частично выполняет функции магнитного экрана, замыкая на себя потоки рассеяния. Систему рис. 2-6, *б* с радиальным направлением поля в рабочем зазоре применяют сравнительно редко из-за ее сложности и значительного рас-

сеяния потока, а также потому, что форма магнита неудобна для осуществления процесса термомангнитной обработки.

Магнитные системы стержневого типа (рис. 2-7, 2-8). Магнитные системы этого типа характеризуются большим углом раствора шкалы. Магнит имеет вид стержня с поперечным сечением в виде подковы. Такая форма удобна для применения материалов с магнитной текстурой, но затруднительна для материалов с направленной кристаллизацией. Магнитное рассеяние велико. Поэтому системы стержневого типа нуждаются в хорошем экранировании с целью защиты внешнего пространства от полей рассеяния. Системы рис. 2-7, а и б от-

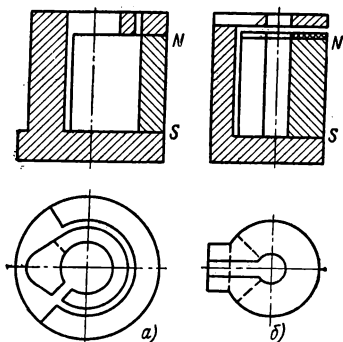


Рис. 2-7. Магнитные системы униполярного типа со стержневыми магнитами.

а — с радиальным рабочим полем;
б — с аксиальным рабочим полем.

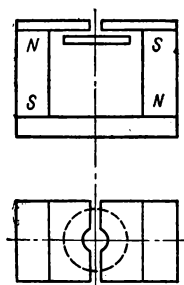


Рис. 2-8. Магнитная система биполярного типа со стержневыми магнитами.

носятся к униполярному типу и различаются лишь направлением поля в рабочем промежутке. У системы рис. 2-7, а оно радиальное, а у системы рис. 2-7, б — аксиальное. Последняя система менее требовательна к однородности материала магнита, так как его торец снабжен полюсным наконечником в виде пластинки. Выбором формы этой пластинки можно существенно влиять на закон распределения рабочего магнитного поля вдоль полюсной дуги. Поэтому систему рис. 2-7, б с одинаковым успехом применяют как для гальванометров, так и для логометров. Магнитная система (рис. 2-8) относится к биполярному типу. Она состоит из двух магнитов, ярма, полюсных наконечников пластинчатого типа и полюсного круглого сердечника, расположенного под полюсными наконечниками. Такое расположение сердечника позволяет регулировать напряженность рабочего поля путем изменения величины рабочего промежутка. Выбором формы полюсных наконечников можно существенно влиять на закон распределения магнитного поля в рабочем промежутке. Поэтому магнитная система (рис. 2-8) одинаково пригодна как для гальванометров, так и для логометров.

У систем с внешним магнитом, используемых в логометрах, магнитное поле в рабочем промежутке должно быть существенно неравномерным. По соображениям простоты изготовления полюсным поверхностям сердечников и полюсным наконечникам здесь придают цилиндрическую форму, а требуемую неравномерность поля создают или за счет эксцентричного расположения полюсных поверхностей (рис. 2-9) или за счет профилирования (переменной высоты) полюсных наконечников (рис. 2-10).

Полюсная система с положительным эксцентриситетом (рис. 2-9, а) обеспечивает минимум индукции в средней части рабочего

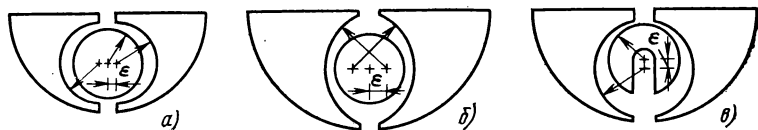


Рис. 2-9. Полюсные системы с эксцентричным расположением сердечника.

промежутка, а система с отрицательным эксцентриситетом (рис. 2-9, б) — максимум индукции в средней части. Система со смещенным сердечником (рис. 2-9, в), обеспечивающая монотонное нарастание индукции, наиболее проста в изготовлении.

Полюсные системы с профилированными наконечниками, более сложные, чем системы с эксцентриситетом, применяют для приборов с большим углом раствора шкалы. Устройство (рис. 2-10, а) может быть выполнено в виде сложенных вместе двух магнитных систем. Сердечник (рис. 2-10, г) имеет постоянную высоту, а высота полюсного наконечника (рис. 2-10, д) уменьшается по мере удаления от магнита. Развертка его полюсной поверхности изображена на рис. 2-10, е. Если подобная полюсная система работает совместно со скобообразным магнитом (рис. 2-10, б), то сердечник делают или разъемным (рис. 2-10, в) или придают ему форму крючка (рис. 2-10, ж).

Магнитные системы с внутренним (внутрирамочным) магнитом выполняют в двух вариантах: с подвижным (рис. 2-11, а—в) и неподвижным (рис. 2-11, г—е) магнитом. Подвижным магнитам придают или форму миниатюрного цилиндра, намагниченного диаметрально (рис. 2-11, а, или форму миниатюрного бруска (рис. 2-11, б). В обоих случаях магнит защищают от воздействия внешних полей магнитным экраном. Подвижной магнит мегнесина (рис. 2-11, в) выполняют в форме цилиндра, окруженного сердечником из пермаллоя. По сравнению с магнитами (рис. 2-11, а, б) магнит мегнесина делают массивным, так как его поле должно создавать в сердечнике состояние насыщения. Магнитные системы с неподвижным магнитом (рис. 2-11, г—е) характеризуются относительно малым рабочим за-

зором между магнитом и ярмом. Для логометров используют магниты без полюсных наконечников, дающие синусоидальное распределение индукции вдоль полюсной дуги, а для приборов гальванометрического типа используют магниты с дугообразными полюсными наконечниками (рис. 2-11, *б*). Магнитам из высококоэрцитивных материалов целесообразно придавать (рис. 2-11, *в*) форму прямоугольной

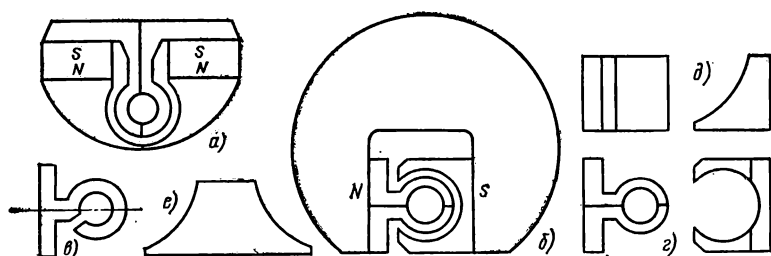


Рис. 2-10. Полюсные системы с профилированными полюсными наконечниками.

пластинки с наклеенными на нее полюсными наконечниками в форме сегментов.

Магнитные системы тахометров выполняют во многих вариантах. Наиболее совершенными в магнитном отношении являются варианты (рис. 2-12), в которых магнитный поток замыкается ярмом, жестко соединенным с магнитом. По направлению магнитного потока в рабочем промежутке эти системы делят на радиальные и аксиальные. Радиальная система (рис. 2-12, *а*) состоит из звездообразного много-

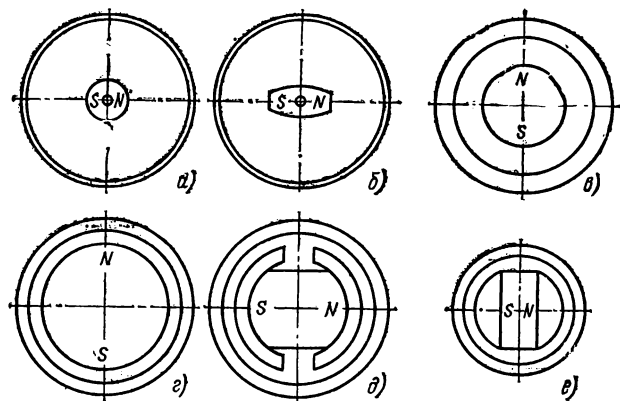
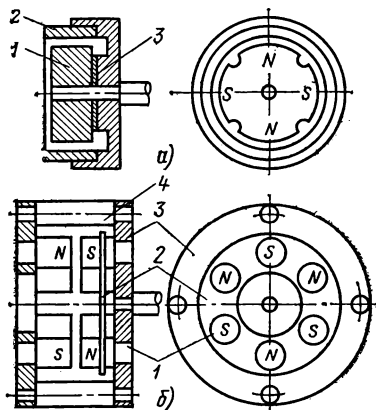


Рис. 2-11. Магнитные свойства с подвижным и неподвижным внутрирамочным магнитом.

полюсного магнита 1, ярма 3 и термокомпенсатора 2 в виде шунта из термомагнитного материала. Аксиальная система (рис. 2-12, б) состоит из двух одинаковых частей, каждая из которых содержит группу магнитов 1, запрессованных в ярмо 3 и снабженных термо-

Рис. 2-12. Магнитные системы магнитоиндукционных тахометров.



компенсатором 2 в форме шайбы с отверстиями, сквозь которые проходят магниты 1. Механическая фиксация магнитных систем осуществляется посредством колонок 4.

2-3. МАГНИТНЫЕ СИСТЕМЫ СВЕТОЛУЧЕВЫХ ОСЦИЛЛОГРАФОВ

Современные светолучевые осциллографы имеют общий магнитный блок — многогнездную систему, в которую вставляют гальванометры — вставки, не имеющие индивидуальных магнитов. Унифицированный блок (рис. 2-13, а) позволяет одновременно использовать гальванометры — вставки 1 различных типоразмеров, вставляемые в гнезда полюсных вкладышей 2. Толщина вкладыша равна значению шага на канал записи. Шаг составляет 4,5 или 9,0 мм. Каждый гальванометр-вставка имеет встроенные магнитно-мягкие полюсы, образующие рабочий зазор размером $1 \times 1 \times 13$ мм. Магнитная система унифицированного блока (рис. 2-13, б) содержит два постоянных магнита 1 прямоугольной формы, ярмо 2 и полюсные наконечники: сплошной неподвижный 3 и набор подвижных наконечников 4 с вставленными между ними полюсными вкладышами 5, содержащими гнезда диаметром 6 мм. Магниты 1 выполняют из сплава ЮН14ДК24 или из более дорогого сплава ЮН14ДК25БА, обеспечивающего более высокие значения магнитных параметров блока (табл. 2-1).

Унифицированный блок можно использовать как источник магнитного поля с диапазоном индукции 0,4—2,0 Тл. Так, термостатированный блок находит применение в биологических исследованиях для определения влияния магнитных полей на микроорганизмы.

Таблица 2-1

Магнитные параметры унифицированного блока

Марка сплава	Индукция в гнезде, Тл	Индукция в рабочем зазоре при шаге, Тл	
		4,5 мм	9 мм
ЮН14ДК24	0,4	1,2	1,6
ЮН14ДК25БА	0,6	1,5	2,0

В однолучевых осциллографах, например в миниатюрном электрокардиографе, применяют одногнездную магнитную систему (рис. 2-13, в), содержащую два прямоугольных магнита 1 из ЮН14ДК24, ярмо 2 и полюсные наконечники 3. Внутреннее пространство заполнено пластмассой 4, которая вместе с полюсными наконечниками образует гнездо диаметром 6 мм для гальванометра-вставки. Масса магнитов составляет 36 г, индукция в гнезде $B_r = 0,25$ Тл. Индукция

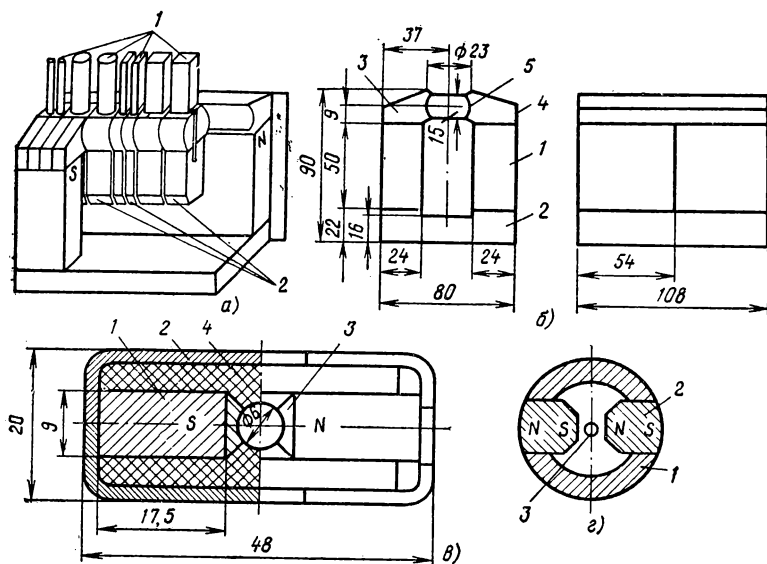


Рис. 2-13. Магнитные системы светолучевых осциллографов.

а — эскиз магнитного блока с набором гальванометров-вставок; б — магнитная система унифицированного блока; в — одногнездная магнитная система; г — магнитная система миниатюрного автономного гальванометра.

в рабочем зазоре гальванометра составляет 0,65 Тл при зазоре размерами $1,5 \times 1,5 \times 13$ мм и 0,9 Тл при зазоре $1 \times 1 \times 13$ мм. Однолучевые осциллографы находят применение в системах отклонения светового луча по заданному закону, в том числе в лазерных телевизионных установках, оптических линиях связи, голографической связи и т. п.

В настоящее время наметилась тенденция к возврату от гальванометров-вставок к гальванометрам автономной магнитной системой и отказу от общего магнитного блока. Это стало возможным в результате миниатюризации магнитной системы путем замены магнитов из альнико магнитами из SmCo_5 (рис. 2-13, з). Использование прорезей в немагнитных стенках корпуса 1 для установки магнитов 2 позволяет максимально приблизить магниты к подвижной системе 3. Роль ярма здесь выполняют гнезда держателя, изготовленного из магнитно-мягкого материала. Масса каждого из магнитов составляет 0,5 г при размерах $2,5 \times 2,0 \times 8$ мм. Индукция в рабочем зазоре $1 \times 1 \times 8$ мм составляет 0,3 Тл.

2-4. МАГНИТНЫЕ СИСТЕМЫ ПРИБОРОВ РАДИОЭЛЕКТРОНИКИ

С-образная (подковообразная) магнитная система (рис. 2-14, а—г). Выполняется монолитной или составной (составлена из прямых или цилиндрических магнитов с С-образным магнитопроводом). Армирована дисковыми или пластинчатыми полюсными наконечниками. Непосредственно у зазора расположен магнитно-мягкий материал, на-

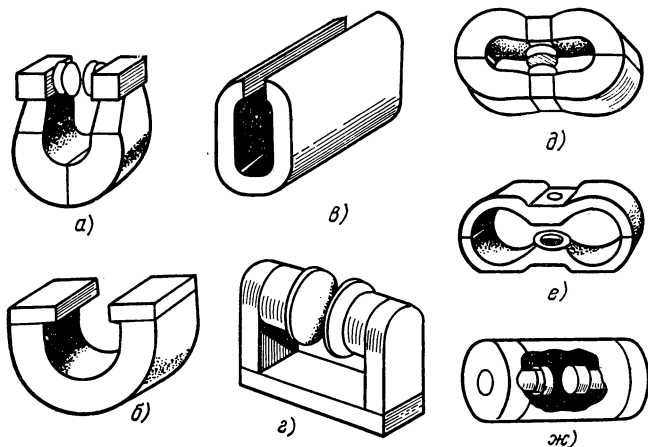


Рис. 2-14. Статические магнитные системы приборов радиоэлектроники.

а—г — С-образные; д — двусвязная подковообразная; е — двусвязная Ф-образная; ж — в форме тела вращения.

ходящийся под полной разностью магнитных потенциалов. Это приводит к потерям магнитодвижущей силы, с которыми необходимо считаться. Предназначается для фокусирующих систем пакетированных электровакуумных приборов типа М, ферритовых вентилей, циркуляторов и других устройств.

Двухсвязная подковообразная система (рис. 2-14, д). Состоит из двух параллельно соединенных секций («подков»), работающих на общую нагрузку — воздушный зазор. Одноименные полюсы этих магнитов замкнуты общими полюсными наконечниками. По сравнению с односвязной системой магнитный материал здесь распределяется по цепи более равномерно. Устраняются резкие переходы от массивного сечения нейтралы к малому сечению полюсов. В итоге в двухсвязных системах обеспечивается более эффективное использование магнитной энергии материала. Наряду с этим такие системы более сложны в конструктивном отношении, недостаточно механически прочны и компактны. Предназначаются для фокусирующих систем пакетированных электронных приборов типов М и О и др.

Двухсвязная Ф-образная система (рис. 2-14, е). Отличается от предыдущей отсутствием разделительных «башмаков» и монолитностью всей конструкции. Полюсные наконечники вводятся в зазор системы через отверстия в полюсах магнита. Одновременно они являются элементами электровакуумных приборов. Система обладает высокой механической прочностью. Монолитные боковые поверхности являются базой, позволяющей надежно крепить регулирующее устройство прибора и производить его перестройку. Из технологических соображений для лучшей термоманитной закалки магнитов в системе иногда делается разъем по нейтралы и тогда она собирается из двух Ш-образных магнитов. Система предназначается для работы в фокусирующих системах пакетированных приборов типа М. Применяется в качестве фокусирующих систем СВЧ приборов типа О. Частным случаем многосвязной системы является система в форме тела вращения (цилиндра, шара, эллипсоида). Цилиндр (рис. 2-14, ж) армируется внутренними полюсными наконечниками, которые формируют в ограниченном объеме внутренней полости магнита сильное магнитное поле. Область применения — фокусирующие системы пакетированных приборов типа М, приборы фазированных решеток с коаксиальными выводами и др.

2-5. МАГНИТНЫЕ СИСТЕМЫ ЭЛЕКТРИЧЕСКИХ МАШИН

Область применения. Применение постоянных магнитов увеличивает надежность электрической машины и устраняет потери на возбуждение, но одновременно увеличивает массу и ухудшает некоторые ее параметры и характеристики. Поэтому в электромашиностроении область применения постоянных магнитов пока ограничена машинами малой мощности. Применение в электрических машинах новых магнитно-твердых материалов класса интерметаллических соединений редкоземельных элементов с кобальтом позволит увеличить мощность машин не менее чем на один порядок. Однако в настоящее время широкому применению редкоземельных материалов в электромашиностроении препятствует их высокая цена.

В области микромашин, где потери на возбуждение составляют более 50% всех потерь, электромагнитное возбуждение практически полностью вытеснено возбуждением от постоянных магнитов, т. е. возбуждением с помощью постоянных магнитов. В настоящее время магнитоэлектрическое возбуждение применяют в авиационных преобразователях постоянного тока, тракторных генераторах и многочисленных исполнительных двигателях устройств автоматического регулирования и управления небольшой мощности, а также в двигателях, генераторах и чувствительных элементах магнитиндукционных тахометров, генераторах омметров и в генераторах и двигателях других измерительных приборов.

Постоянные магниты электрических машин принято делить на роторные и статорные. Роторные магниты выполняют главным образом многополюсными, с 4, 6, 8 и 12 полюсами. Статорные магниты выполняют только двух- и четырехполюсными. Основным материалом магнитов, применяемых в машиностроении, служат литые сплавы типа альни и альнико и бариевые ферриты (в дешевых машинах).

Роторные магниты. Принято различать роторы с неявно выраженными полюсами, с явно выраженными полюсами, с полюсными наконечниками и роторы коттеобразного типа.

Роторы с неявно выраженными полюсами применяют в микрогенераторах. Для уменьшения диаметра машины применяют (рис. 2-15, а) магнитопровод специальной формы, позволяющей выполнять обмотку генератора по типу обмоток трансформатора. Недостатком системы является большое рассеяние магнитного потока.

Роторы с явно выраженными полюсами без полюсных наконечников применяют в двух- и трехфазных генераторах малой мощности (рис. 2-15, б), имеющих распределенную обмотку. Для улучшения формы кривой напряжения полюсы часто делают скошенными. Отсутствие полюсных наконечников, защищающих магнит от размагничивания при ударном токе короткого замыкания и от несимметричного размагничивания при перегрузках, частично компенсируют устройством демпферной клетки путем заливки ротора алюминием (рис. 2-15, в).

Роторы с полюсными наконечниками (рис. 2-15, г) применяют в генераторах повышенной мощности, работающих при большой скорости вращения. Для придания ротору большой прочности полюсные наконечники сваривают с участками из немагнитной стали. В получившийся стальной цилиндр впрессовывают с натягом предварительно отшлифованный звездобразный магнит (рис. 2-15, г). Звездобразная форма магнита не позволяет получать направленную кристаллизацию отливки. Поэтому в случае применения сплава с направленной кристаллизацией магнитную систему выполняют наборной (рис. 2-15, д). Стальной цилиндр можно не сваривать, а делать сплошным, если выполнить его из нержавеющей стали ЭА-1Т, не обратимо теряющей магнитные свойства при нагревании до 1000—1050° С. Нагрев участков, которые должны быть немагнитными, можно производить токами высокой частоты. У роторов с малой линейной скоростью полюсные наконечники вместе с магнитом заливают цинковым сплавом, образующим монолитную рубашку, прочно фиксирующую наконечник относительно магнита.

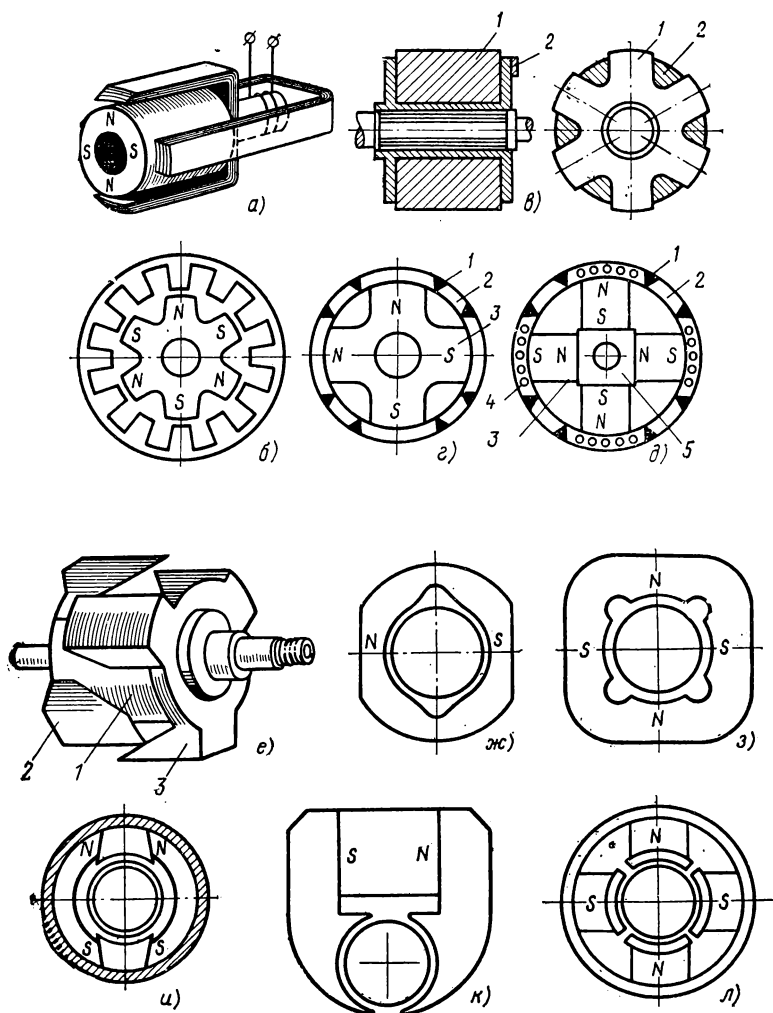


Рис. 2-15. Магнитные системы электрических машин.

а — магнитопровод специальной формы; **б** — ротор с явно выраженными полюсами; **в** — ротор с демпфирующей клеткой; **г**, **д** — ротор с полюсными наконечниками; **е** — ротор с полюсными наконечниками коттеобразного типа; **ж**, **з** — статорный кольцевой магнит (двухполюсный и четырехполюсный); **и** — дугообразные статорные магниты; **к** — магнитная система типа магнето; **л** — статор с прямыми магнитами.

Роторы когтеобразного типа (рис. 2-15, *е*) отличаются аксиальным направлением магнитного потока. Их магнит *1* в форме шайбы расположен между двумя фланцами 2 и 3 из магнитно-мягкой стали, снабженными когтеобразными полюсными выступами. Магнит имеет малую относительную длину и поэтому должен выполняться из материала с высокой коэрцитивной силой. Обычно материалом таких магнитов служат магнитно-твердые ферриты. Механическая прочность литых звездообразных роторов сравнительно невелика. В [2-2] рекомендуется ограничивать окружную скорость литых роторов 30—50 м/с, а допустимое механическое напряжение при двукратном запасе прочности выбирать равным 10 МПа. Механическая прочность металлокерамических сплавов типа альни и альнико выше приблизительно в 3—6 раз. Поэтому при расчете металлокерамических роторов допустимое напряжение можно выбирать равным 30—60 МПа. Приведенные здесь цифры являются средними и существенно зависят от марки сплава и тонких особенностей технологии изготовления магнита. Поэтому в нормативных документах обычно указывают как рабочую скорость ротора, так и предельную скорость, которую каждый ротор выдерживает при 100%-ной заводской проверке готовых изделий.

Статорные магниты. По геометрической форме статорные магниты принято делить на кольцевые, дугообразные и прямые. Наибольшее распространение нашла магнитная система с кольцевым магнитом — корпусом в двухполюсном (рис. 2-15, *ж*) и четырехполюсном исполнении (рис. 2-15, *з*). Магнит, одновременно являющийся корпусом машины, намагничивается со стороны плоских срезов. Несколько сложнее конструкция магнитной системы с дугообразными магнитами (рис. 2-15, *и*), так как здесь статор состоит из пяти деталей вместо одной и для крепления магнитов необходим специальный корпус из немагнитного материала, обычно алюминия. Однако здесь полнее используется материал магнита и соответственно меньше его масса.

Применение прямых магнитов, позволяющих использовать энергоемкие магнитно-анизотропные материалы, привело к использованию для электрических машин магнитной системы по типу магнето (рис. 2-15, *к*). Вместе с тем прямые магниты позволяют использовать магнитные системы типа машин с электромагнитным возбуждением (рис. 2-15, *л*). Однако малая длина магнита требует применения в этой конструкции материалов с высокой коэрцитивной силой. Наиболее часто здесь используют бариевые ферриты.

Применение в электромашинных магнитов из редкоземельных материалов может быть эффективным только при полном учете присущих им магнитных и механических свойств. Высокая магнитная твердость этих материалов приводит к тому, что у магнита, наиболее эффективного в энергетическом отношении, полярная длина (в направлении *N—S*) должна быть значительно меньше поперечных размеров

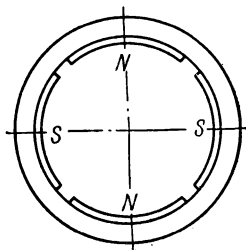


Рис. 2-16. Ротор с внутренними магнитами из РЗМ.

и наиболее выгодным оказывается использование магнита без полюсных наконечников. Малая механическая прочность и высокая хрупкость делают эти магниты больше пригодными для статоров, чем для роторов. Использование подобных магнитов в роторах потребует существенного изменения их конструкции. Возможно, что лучшим решением будет применение наружного ротора (рис. 2-16) в форме стального стакана с наклеенными внутри магнитами, имеющими вид толстой пленки.

Нормальные ряды магнитов, применяемых в электромашиностроении. В настоящее время проектирование электрических машин су-

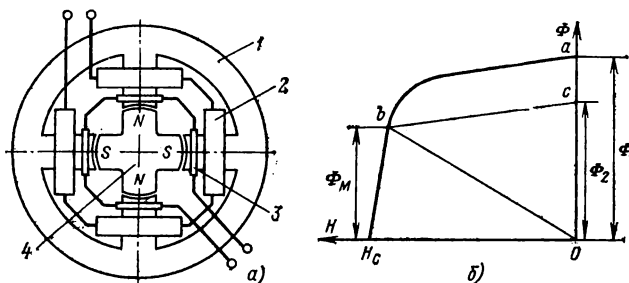


Рис. 2-17. Установка для контроля звездообразных магнитов.

a — схема; b — определение рабочей точки на кривой размагничивания.

шественно облегчено наличием нормального ряда типоразмеров постоянных магнитов, установленного системой межреспубликанских технических условий (МРТУ).

По роторным магнитам МРТУ нормированы магниты в форме звездочек с 4, 6, 8 и 12 полюсами, а по статорным магнитам — двух- и четырехполюсные магниты кольцевого типа. В МРТУ приняты следующие условные обозначения: n_1 — номинальная частота вращения ротора; n_2 — частота вращения при испытании каждого ротора на прочность; Φ_1 — магнитный поток до удаления магнита из намагничивающей установки, отключенной от источника; Φ_2 — магнитный поток после возвращения магнита в отключенную от источника намагничивающую установку.

Потоки Φ_1 и Φ_2 измеряют баллистическим методом, причем измерительная обмотка укреплена неподвижно в пазах намагничивающей установки. Установка (рис. 2-17, a) состоит из многополюсного электромагнита 1, на каждом из полюсов которого укреплены намагничивающая обмотка 2 и измерительная обмотка 3. Все измерительные обмотки соединены последовательно. Если зазор между намагничиваемым магнитом 4 и электромагнитом 1 настолько мал, что им можно пренебречь, то после выключения намагничивающего тока часть общего потока магнита Φ_1 определяется на кривой размагничивания $\Phi = f(H)$ (рис. 2-17, b) точкой a . Поэтому при удалении магнита из намагничивающей установки баллистический гальвано-

метр даст отклонение α_1 , пропорциональное Φ_1 . Магнитный поток изолированного магнита определится ординатой Φ_m точки b пересечения кривой размагничивания $\Phi = f(H)$ с линией проводимости магнита Ob , наклон которой характеризует внешнюю проводимость магнита. После возвращения магнита в установку поток магнита возрастает (вследствие явления магнитного возврата) до значения Φ_2 , а баллистический гальванометр дает отклонение α_2 , пропорциональное Φ_2 .

Значения потоков Φ_1 и Φ_2 , приводимые в МРТУ, позволяют делать приблизительную оценку поведения магнита в электрической машине. Значение Φ_2 близко к значению $\Phi_{раб}$ рабочего потока магнита, когда он находится внутри статора.

Отношение $(\Phi_1 - \Phi_2)/\Phi_1$ позволяет судить об относительной потере магнитного потока, возникающей вследствие появления у изолированного магнита размагничивающего поля полюсов, и тем самым о степени стабилизации магнитного потока во времени и о способности магнита восстанавливать свой поток после размагничивания полем тока короткого замыкания обмоток электрической машины.

Размеры и форма магнитов, нормированных МРТУ, представлены на рис. 2-18 и 2-19 и в таблицах к ним.

Роторные магниты относятся здесь к типу с явно выраженными полюсами без полюсных наконечников: рис. 2-18, *а* — четырехполюсные, рис. 2-18, *б* — шестиполюсные, рис. 2-18, *в* — восьмиполюсные, рис. 2-18, *г* — двенадцатиполюсные.

Статорные магниты, нормированные МРТУ, относятся к типу кольцевых: рис. 2-19, *а* — кольцевой круглый двухполюсный, рис. 2-19, *б* — кольцевой круглый четырехполюсный, рис. 2-19, *в* — кольцевой квадратный четырехполюсный.

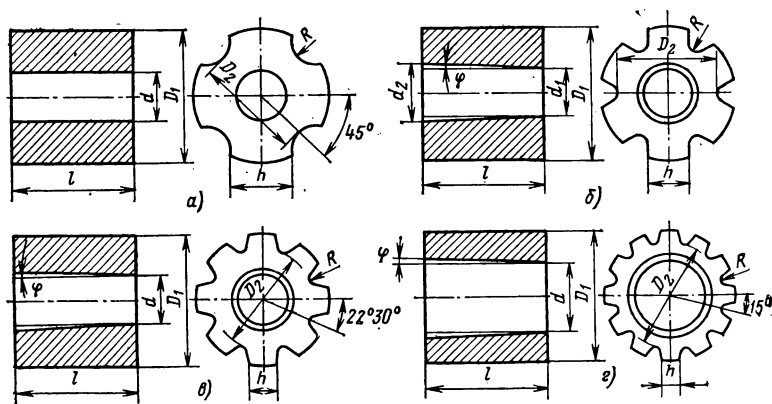


Рис. 2-18. Роторные магниты.

а — четырехполюсный; *б* — шестиполюсный; *в* — восьмиполюсный; *г* — двенадцатиполюсный.

Таблица 2-2 (к рис. 2-18, а)

МРТУ	мм						R
	D ₁	l	d	b	D ₂		
16-586-43-65	50,8C _{3-0,06}	29 _{-0,5}	16 ⁺¹	25 ₋₁	42 ₋₁	8	
16-586-46-65	23,4C _{3-0,28}	20C _{6-0,28}	8,4A ₆ ^{+0,21}	9 ^{+0,5}	17,9 _{-0,4} ^{+0,9}	6,2	
16-586-55-65	150 _{-0,036}	26C _{4-0,14}	47 ^{+0,3}	5,9 _{-0,36}	14±0,5	3	
16-586-59-65	50,8C _{3-0,06}	29 _{-0,5}	18A ₄ ^{+0,12}	24 _{-1,0} ^{+1,6}	42±1	2	
16-586-64-65	29 _{-0,06}	21C _{5-0,28}	8±1	11±0,5	20±1	6	
16-586-41-65	67,4C _{3-0,06}	42 _{-0,5}	20 ⁺¹	33,5	57 ₋₁	9	
16-586-51-65	20,8C _{3-0,045}	20C _{5-0,28}	8 ⁺¹	8,5 _{-0,58}	16,7 _{-1,1}	4,5	
16-586-68-65	23,4C _{3-0,045}	20C _{5-0,28}	12±1	9 ^{+0,5}	17,9 _{-0,4} ^{+0,6}	6,2	

Продолжение табл. 2-2 (к рис. 2-18, а)

МРТУ	n_1		n_2	Φ_1		Φ_2		Масса, г	Марка сплава
	об/мин			мкВБ					
16-586-43-65	15 000	22 000		≥ 800	≥ 300		330	ЮНДК24 ЮНДК24Б	
16-586-46-65	3500	6000		≥ 135	≥ 105		45	ЮНДК35Т5	
16-586-55-65	6000	10 000		≥ 115	≥ 80		23	ЮНДК35Т5	
16-586-59-65	—	—		≥ 550	≥ 400		350	ЮНДК35Т5	
16-586-64-65	6500	19 000		≥ 180	≥ 140		75	ЮНДК35Т5	
16-586-41-65	—	—		1200	400		850	ЮНДК15	
16-586-51-65	—	—		110	83		34	ЮНДК35Т5	
16-586-68-65	—	—		130	100		45	ЮНДК35Т5	

Т а б л и ц а 2-3 (к рис. 2-18, б)

МРТУ	D_1	l	d_1	h	D_2	R
	мм					
16-586-34-65	59,5C _{3-0,06}	40 ₋₁	26 ⁺¹	19 ₋₁	47,3 _{-1,6}	3,5
16-586-39-65	59,5 _{3-0,06}	35±0,5	26 ⁺¹	19 ₋₁	47,3 _{-1,6}	4,0

Продолжение табл. 2-3 (к рис. 2-18, б)

МРТУ	φ	n ₁	n ₂	Φ ₁	Φ ₂	Мас- са, г	Марка сплава
		об/мин		мкВб			
16-586-34-65	1°30' ± 30'	10 000	15 000	490	290	500	ЮНДК15
16-586-39-65	1°30' ± 30'	10 000	15 000	650	270	260	ЮНДК15

Т а б л и ц а 2-4 (к рис. 2-18, в)

МРТУ	D_1	d	l	h	D_2	R
	мм					
16-586-081-65	52,3 _{-0,4}	21±0,5	25 _{-0,5}	13,3 _{-0,4}	38 _{-0,5} ⁺¹	10
16-586-032-65	85,1C _{3-0,07}	46,5 ^{+1,5}	50 ₋₁	22 ₋₂	12,5 _{-1,5}	4
16-586-033-65	67,4C _{3-0,06}	32 ⁺¹	42 _{-0,5}	16,7 _{-0,5}	54 ₋₁ ^{+0,5}	3
16-586-049-65	28,2C _{3-0,045}	10,5 ^{+0,43}	45 _{-0,5}	5,3C _{3-0,15}	21 _{-0,52}	1,4
16-586-052-65	22,6C _{3-0,045}	10,5 ^{+0,43}	40 _{-0,5}	1,4 _{-0,3}	15,8 _{-0,43}	1
16-586-054-65	20,2C _{3-0,045}	9 ^{+0,36}	35 _{-0,5}	3,9 _{-0,3}	13,8 _{-0,43}	1
16-586-056-65	12,7C _{3-0,035}	6 ^{+0,36}	12 _{-0,43}	2,4C _{3-0,12}	9,7 _{-0,36}	1
16-586-057-65	12,7C _{3-0,035}	6 ^{+0,36}	22 _{-0,5}	2,5 _{-0,5}	9,7 _{-0,36}	1
16-586-062-65	67,6C _{3-0,06}	29±0,28	42±0,5	16,5 _{-0,5} ^{+0,6}	47 _{-0,5} ^{+1,5}	3
16-586-050-65	35C _{3-0,05}	14,5 ⁺¹	46 _{-0,5}	6,8 _{-0,5}	25 _{-1,5}	2
16-586-047-65	25,2C _{3-0,045}	9 ^{+0,58}	—	5,3C _{3-0,16}	18 ₋₁	0,75
16-586-053-65	52C _{3-0,035}	7 ^{+0,35}	27 _{-0,5}	3 _{-0,25}	11 _{-0,43}	1
16-586-069-65	15,2C _{3-0,035}	8 ^{+0,35}	27 _{-0,5}	2,55C _{3-0,12}	11C _{3-0,43}	1

Продолжение табл. 2-4 (к рис. 2-18, в)

МРТУ	D_1	d	l	h	D_2	R
	мм					
16-586-070-65	28,2C ₃ —0,045	10,5 ^{+0,43}	45—0,5	4,4C ₃ —0,16	21—0,52	1,4
16-586-071-65	12,7C ₃ —0,035	6 ^{+0,36}	22—0,5	1,9C ₅ —0,12	9,7—0,36	1
16-586-073-65	15,2C ₃ —0,035	8 ^{+0,36}	12—0,43	3—0,25	11—0,43	1

Продолжение табл. 2-4 (к рис. 2-18, в)

МРТУ	Ф	n_1	n_2	Φ_1	Φ_2	Мас- са, г	Масса сплава
		об/мин		мкВб			
16-586-081-65	1°30'±30	—	—	270	135	360	ЮНДК24
16-586-032-65	1°30'±30	10 000	14 000	—	—	1200	ЮНДК15
16-586-033-65	1°30'±30	15 000	22 000	560	240	700	—
16-586-049-65	—	5000	10 000	120	130	110	—
16-586-052-65	—	3000	6000	145	90	70	—
16-586-054-65	—	3000	6000	100	63	60	—
16-586-056-65	—	5000	10 000	15	11	6	ЮНДК15
16-586-057-65	—	5000	10 000	27	20	13	ЮНДК15
16-586-062-65	—	15 000	20 000	720	350	840	ЮНДК24
16-586-050-65	—	—	—	235	165	220	—
16-586-050-65	—	—	—	184	106	90	—
16-586-053-65	—	—	—	44	27,5	18	ЮНДК15
16-586-069-65	—	—	—	43	27	17	ЮНДК15
16-586-070-65	—	—	—	175	115	109	—
16-586-071-65	—	—	—	26	19,3	12	ЮНДК15
16-586-073-65	—	—	—	19	12	8	ЮНДК15

Таблица 2-5 (к рис. 2-18, з)

МРТУ	мм										φ	об/мин		мкВб		Масса, г
	D ₁	d	l	h	D ₂	R	n ₁	n ₂	Φ ₁	Φ ₂						
16-586-035-65	59,5C _{3-0,06}	31 ⁺¹	40 ₋₁	10 ₋₁	49 ₋₂	2	1°30′	15 000	20 000	370	170	500				
16-586-040-65	59,5C _{3-0,06}	31 ⁺¹	35±0,5	10 ₋₁	49 ₋₂	2	1°30′	10 000	15 000	295	145	430				

Таблица 2-6 (к рис. 2-19, а)

МРТУ	мм										мкВб		Марка сплава
	D_1	D_2	D_3	D_4	l	h	a	b	Φ_1	Φ_2			
16-586-077-65	14,25 ^{+0,25}	20,2 _{-0,03}	16,4	17,2	19,8	14,0	1,5	3,0	—	62			ЮНДК24
16-586-078-65	17,85 ^{+0,05}	25,2 _{-0,03}	20,5	21,5	24,8	17,5	1,8	3,7	—	100			ЮНДК24

Таблица 2-7 (к рис. 2-19, б)

МРТУ	мм					
	D_1	D_2	l	h	R	r_1
16-586-017-65	$30,4 \pm 0,02$	$48C_{2-0,17}$	$30C_{4-0,14}$	$37 \pm 0,3$	6,0	$1,5 \pm 0,4$
16-586-023-65	$30,4^{+0,04}_{-0,02}$	$48C_{4-0,17}$	$20C_{4-0,14}$	$37 \pm 0,3$	9,5	$1,5 \pm 0,5$
16-586-016-65	$30,4^{+0,06}_{-0,02}$	$44 \pm 0,02$	$20C_{3-0,045}$	$36,6 \pm 0,4$	9,5	$1,5 \pm 0,4$
16-586-020-65	$30,4^{+0,02}_{-0,002}$	$48C_{3-0,17}$	$40C_{4-0,17}$	$37 \pm 0,36$	0	$1,5 \pm 0,4$

Продолжение табл. 2-7 (к рис. 2-19, б)

МРТУ	мм			φ	мм В6		Марка сплава
	r_2	b_1	b_2		Φ_1	Φ_2	
16-586-017-65	1,6	$3,2^{+0,6}$	$3,2^{+0,6}$	$54^\circ 30'$	225	127	ЮНДК15
16-586-023-65	1,6	$3,2^{+0,5}$	$3,2^{+0,5}$	34°	150	85	ЮНДК15
16-586-016-65	0	$4^{+0,5}$	0	34°	150	85	ЮНДК15
16-586-020-65	2,0	$4^{+0,5}$	$4^{+0,5}$	$54^\circ 30'$	300	170	ЮНДК15

МПУ	D_1	D_2	l	h
	мм			
16-586-010-65	$40,8 \pm 0,02$	$67,5C_{4-0,3}$	$46C_{4-0,17}$	$57,5 \pm 0,5$
16-586-012-65	$30,4^{+0,04}_{-0,02}$	$48C_{4-0,17}$	$40C_{4-0,17}$	$41,5 \pm 0,5$
16-586-019-65	$40,8 \pm 0,02$	$67C_{4-0,3}$	$46C_{4-0,17}$	$57,5 \pm 0,5$
16-586-021-65	$35,7 \pm 0,05$	$59C_{4-0,2}$	$36C_{4-0,17}$	$51,5 \pm 0,5$
16-586-025-65	$30,4^{+0,04}_{-0,02}$	$48C_{4-0,17}$	$30C_{4-0,14}$	$45,5 \pm 0,5$
16-586-027-65	$30,4^{+0,04}_{-0,02}$	$48C_{4-0,17}$	$20C_{4-0,14}$	$41,5 \pm 0,5$
16-586-074-65	$34 \pm 0,08$	$30,6 \pm 0,5$	$28C_{5-0,28}$	$30,6 \pm 0,5$
16-586-018-65	$22,4 \pm 0,02$	$34 \pm 0,02$	$28C_{3-0,28}$	$30,6 \pm 0,4$
16-586-022-65	$22,4 \pm 0,02$	$34_{-0,02}$	$22C_{5-0,28}$	$31,8 \pm 0,4$
16-586-083-65	—	$59C_{4-0,2}$	$22C_{4-0,14}$	$52 \pm 0,5$
16-586-028-65	$30,4^{+0,04}_{-0,02}$	$49 \pm 0,02$	$20C_{4-0,14}$	$41,5 \pm 0,5$
16-586-024-65	$16,3^{+0,03}_{-0,01}$	$25 \pm 0,01$	$26C_{4-0,14}$	$21 \pm 0,3$
16-586-015-65	$22,4 \pm 0,02$	$34Пp_{3-0,06}^{+0,11}$	$22C_{5-0,28}$	$32,3C_{5-0,34}$
16-586-075-65	$16,3^{+0,03}_{-0,01}$	$25 \pm 0,08$	$26C_{4-0,14}$	$21 \pm 0,3$

Т а б л и ц а 2-8 (к рис. 2-19, в)

<i>R</i>	<i>r</i>	<i>c</i>	Φ	Φ ₁	Φ ₂	Масса, г	Марка сплава
мм				мкВб			
6,8	3,5 ^{+0,5}	4 ^{+0,5} _{-1,2}	52°30′	700	400	600	—
5,0	2,0	1,5±0,4	34°	300	170	350	ЮНДК15
8,6	3,5±0,3	4±0,4	45°	700	400	600	—
6,8	3,5	4±0,7	50°	290	165	460	ЮНДК15
5,5	2,0	1,5±0,4	54°30′	300	190	260	ЮНДК15
5,5	2,0	1,5±0,4	54°30′	150	85	200	ЮНДК15
5,0	2,5±0,5	1,3±0,1	47°	160	95	80	—
5,0	2,5±0,5	1,3±0,3	47°	160	95	84	—
5,0	2,5±0,5	1,3±0,1	47°	170	100	100	—
5,8	3,5	3,3±0,4	50°	255	180	220	—
5,5	2,0	1,5±0,5	51°30′	150	85	200	ЮНДК15
3,5	0	1,0±0,15	47°	140	69	50	—
5,0	0	1,3±0,25	47°	170	100	100	—
3,5	0	1,0±0,15	47°	270	200	130	ЮНДК15

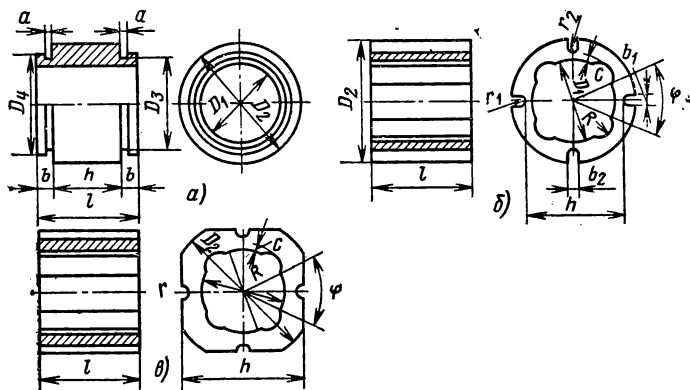


Рис. 2-19. Статорные магниты.

а, б — кольцевые круглые (двух- и четырехполюсные); *в* — кольцевой квадратный.

2-6. МАГНИТНЫЕ СИСТЕМЫ МУФТ И РЕДУКТОРОВ

Магнитные муфты предназначены для передачи вращения или поступательного движения через герметичную перегородку. Во избежание потерь на вихревые токи и перегрева перегородки она у быстроходных муфт (5000—10 000 об/мин) должна быть сделана из диэлектрика, а у тихоходных может быть металлической, но обязательно немагнитной и с большим удельным сопротивлением. Муфта не должна менять своих параметров, если при перегрузке ее ведущая часть (ведущая полумуфта) начнет вращаться относительно ведомой полумуфты. При таком режиме магниты обеих полумуфт, встречаясь одноименными полюсами, стремятся размагнитить друг друга. Поэтому для современных магнитных муфт подходят только магниты из высококоэрцитивных материалов (ферриты и РЗМ). Магниты из РЗМ из-за их высокой стоимости целесообразно применять в миниатюрных муфтах индикаторного (приборного) типа. Силовые муфты выполняют из ферритов. Конструкции и параметры магнитных систем представлены на рис. 2-20 и в табл. 2-9 [2-10]. По конструктивному признаку и характеру передаваемого движения муфты делят на аксиальные, радиальные и линейные. Аксиальная силовая муфта (рис. 2-20, *а*) собирается из одинаковых полумуфт, каждая из которых состоит из магнитно-мягкого ярма 1, окруженного немагнитным бандажом 2, и ферритовых пластинчатых магнитов 3 трапецевидной формы. Бандаж предохраняет муфты от разрушения при вращении и от случайных ударов. Основным недостатком аксиальных муфт является большая сила взаимного притяжения магнитных систем, на-

Таблица 2-9

Параметры аксиальных муфт (рис. 2-20, а)

Максималь- ный крутя- щий момент M_{max} , Н·м	D	d	L	h	l	Число полю- сов $2p$	Масса, кг	Предельное число оборо- тов в минуту
	мм							
2,5	100	50	16	4	10	8	0,67	10 000
4,0	120	60	15	4	10	8	1,00	8000
6,3	130	52	20	4	15	10	1,45	6000
10	150	75	21	4	15	12	2,33	1000
16	175	90	21	4	15	12	2,1	5000
25	200	100	21	4	15	14	2,3	3000
25	220	110	22	6	15	14	3,3	3000
40	270	135	24	6	15	16	5,7	1500
63	305	150	24	6	15	16	7,4	1500
100	360	180	25	6	15	20	12,3	1000
100	380	190	26	8	15	24	14,8	1000
160	450	220	28	8	15	28	20,4	750

Таблица 2-10

Параметры радиальных муфт (рис. 2-20, б)

Максимальный крутящий момент M_{\max} , Н·м	Внутренняя магнитная система				Наружная магнитная система				Длина системы L , мм	Число полюсов $2p$	Предельное число оборотов в ми- нуту, об/мин
	D_1	d_1	l_1	Масса, кг	D_2	d_2	l_2	Масса, кг			
	мм				мм						
2,5	70	45	7	0,69	110	79	10	12,1	40	8	10 000
4,0	90	65	7	1,00	130	99	10	1,51	40	10	8000
6,3	90	65	7	1,45	130	99	10	2,51	60	10	6000
10	105	75	10	2,55	150	114	12	3,86	60	10	5000
16	115	85	10	2,08	160	124	12	3,10	80	12	4000
25	140	106	12	2,68	190	149	12	4,40	80	16	3000
40	170	136	12	4,47	225	179	15	7,42	80	18	3000
63	170	136	12	6,40	225	179	15	11,0	120	18	3000
25	140	106	12	3,58	195	153	15	6,19	100	16	3000
40	190	150	15	5,56	250	203	15	9,77	80	18	1500
63	190	150	15	7,98	250	203	15	12,4	120	18	1500
100	210	170	15	8,87	270	223	15	13,7	120	20	1500
63	250	210	15	10,6	320	267	15	16,4	120	24	1500
160	200	230	15	12,7	350	293	15	17,6	120	28	1000
100	280	230	15	12,7	355	297	15	18,1	120	28	1000
160	330	280	15	15,6	405	347	15	21,1	120	30	750
250	380	330	15	18,6	455	397	15	23,8	120	36	750

грузающая их подшипники. Нормализованные параметры аксиальных муфт приведены в табл. 2-9.

Радиальная силовая муфта (рис. 2-20, б) собирается из внутренней и наружной полумуфт, каждая из которых состоит из магнитного ядра 1 с укрепленными на нем ферритовыми пластинчатыми магнитами 2 и немагнитными кольцами 3. Обечайка 4 из немагнитного металла защищает внутреннюю магнитную систему от разрыва

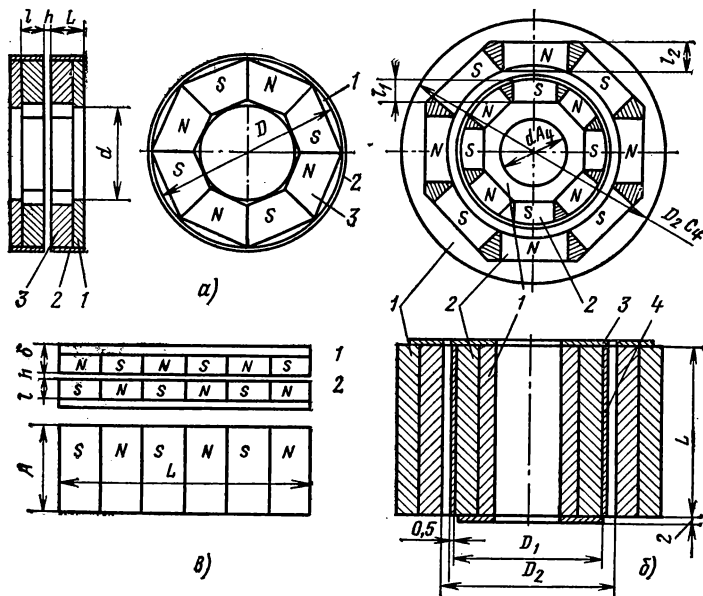


Рис. 2-20. Магнитные муфты.

а — аксиальная; б — радиальная; в — линейная.

центробежной силой. Радиальная муфта не создает дополнительной радиальной нагрузки на подшипники только при условии тщательной механической и магнитной балансировки. Параметры радиальных муфт приведены в табл. 2-10.

Линейная силовая муфта (рис. 2-20, в) состоит из одинаковых полумуфт, каждая из которых представляет переменнопольную магнитную систему, состоящую из ядра 1, на котором укреплены ферритовые пластинчатые магниты 2 прямоугольной формы. Обе полумуфты, взаимодействующие через герметизирующую перегородку, могут перемещаться по прямолинейным направляющим. Основным недостатком этих муфт является дополнительная нагрузка на опоры, вызываемая силой взаимного притяжения магнитов. Параметры линейных муфт приведены в табл. 2-11.

Таблица 2-11

Параметры линейных муфт (рис. 2-20, в)

Максимальное тяговое ус- лие, Н	A	L	h	δ	l	Число подлюсов 2p	Масса, кг
	мм						
100	60	180	5	20	15	6	1,14
160	80	240	5	20	15	8	1,80
160	80	280	8	20	15	8	2,40
250	120	240	5	20	15	8	3,10
250	120	280	8	20	15	8	3,70
250	120	480	12	28	20	10	7,50
400	160	350	8	23	15	10	7,30
400	200	400	12	28	20	10	12,3
630	200	420	8	25	15	12	12,4
630	240	560	12	30	20	14	19,8
1000	240	800	12	30	20	18	29,7

Магнитные редукторы предназначены в основном для замены механических зубчатых редукторов в быстроходных передачах, не допускающих применения смазки, и в передачах ограниченного угла (или вращающего момента), требующих взаимного проскальзывания

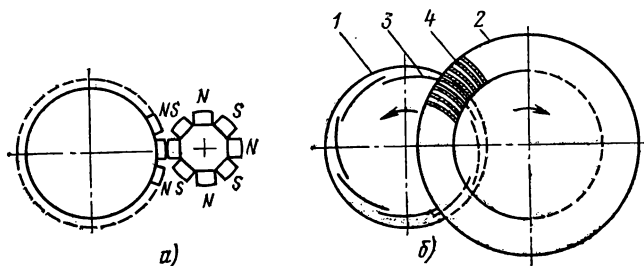


Рис. 2-21. Магнитные редукторы.

а — с прямым зубом; б — с дугообразным зубом.

шестерни. Возможность проскальзывания должна предусматриваться в магнитных редукторах любого назначения. Магниты ведущей и ведомой шестерен, встречаясь при проскальзывании одноименными полюсами, могут взаимно размагничиваться. Поэтому в редукторах следует применять только магниты из ферритов и РЗМ. Редукторы с прямым зубом (рис. 2-21, а) состоят из двух шестерен разного диаметра, выполненных в виде переменного-полюсных систем с пластинчатыми магнитами прямоугольной формы. Редукторы с дугообразным зубом (рис. 2-21, б) состоят из двух магнитно-мягких дисков 1 и 2,

на которых расположены переменнo-полюсные магнитные системы 3 и 4, состоящие из магнитов криволинейной формы. Взаимодействие магнитных систем создает «магнитное сцепление» ведущей 1 и ведомой 2 шестерен. Стрелками показано направление вращения шестерен.

2-7. МАГНИТНЫЕ СИСТЕМЫ ОПОР И ФИКСАТОРОВ

Магнитной опорой называется устройство, в котором за счет использования статических магнитных сил ограничивается одна или несколько степеней свободы перемещения тела. Опоры, ограничивающие все степени свободы, за исключением требуемой (например, свободы углового или линейного перемещения), называются совершенными, а состояние тела — левитацией (парением). Левитирующее тело должно находиться в устойчивом равновесии без механической или любой иной немагнитной поддержки. Вопросами левитации занимались Ирншоу, Максвелл, Тонкс, Браунбек, Боердийк и многие другие. В основном их исследования касались доказательства невозможности осуществления левитации в определенных частных условиях.

Ирншоу впервые показал, что левитация невозможна в системе тел, притягивающихся или отталкивающихся с силой, обратно пропорциональной квадрату расстояния. Максвелл показал, что левитация невозможна в системе наэлектризованных тел. Тонкс распространил «запрет» Ирншоу на магнитостатические поля. Однако Браунбек показал, что левитация в магнитостатическом и электростатическом полях невозможна только для тел, у которых относительная магнитная проницаемость μ_r или относительная диэлектрическая проницаемость ϵ_r больше единицы. Поскольку в природе существуют тела с $\mu_r < 1$ (диамагнетики) и нет тел с $\epsilon_r < 1$, то Браунбек сделал вывод о том, что левитация невозможна только в электростатических полях, и впервые осуществил эксперименты по левитации диамагнитных тел. Боердийк показал экспериментально возможность левитации ферромагнитных тел ($\mu_r > 1$) при использовании диамагнетиков в качестве стабилизирующих неподвижных экранов. Опыты Боердийка свидетельствуют о возможности обхода запретов Ирншоу и Браунбека, т. е. о несовершенстве определения условия существования левитации. Из этих опытов следует, что точная формулировка условия левитации должна учитывать влияние среды, окружающей левитирующее тело. Поскольку условие левитации есть нечто иное, как условие устойчивости равновесия тела, находящегося под воздействием случайных возмущающих усилий, то точная формулировка условия левитации должна иметь вид: «В системе, состоящей из левитирующего тела, источников фиксирующих полей и окружающей их среды, для осуществления левитации необходимо и достаточно, чтобы первая производная энергии системы по смещению левитирующего тела в любом направлении от точки равновесия была отрицательна. Отрицательный знак производной свидетельствует о том, что энергия системы должна быть минимальной, когда левити-

рующее тело находится в точке равновесия. Это означает, что для осуществления левитации необходимо и достаточно создать вокруг точки равновесия пространственную «потенциальную яму».

Из теории поля известно, что в однородной среде статические поля не могут создавать потенциальную яму. На этом, собственно, и построен «запрет» Ирншоу. Однако в неоднородной среде статические поля легко создают потенциальные ямы. Отсюда следует, что:

1. Выводы Ирншоу, Максвелла и Тонкса о невозможности левитации тел в статических полях справедливы только для систем, находящихся в однородных средах.

2. Вывод Браунбека о невозможности левитации в магнитном и электростатическом полях тел с проницаемостями $\mu_{r1} > 1$ и $\epsilon_{r1} > 1$ неверен. Эти тела могут левитировать в средах с проницаемостями μ_{r2} и ϵ_{r2} при условии $\mu_{r2} > \mu_{r1}$ и $\epsilon_{r2} > \epsilon_{r1}$.

3. Пользуясь формальной аналогией между электрическим и магнитным полями, можно утверждать, что все опыты с левитацией, реализуемые в магнитостатических полях, можно повторить в электростатических полях.

Все магнитные опоры можно разделить на три группы: ферромагнитную, диамагнитную и смешанную. Опоры ферромагнитной группы используют в качестве подшипников, подпятников и подвесов. Их грузоподъемность может достигать нескольких тонн. Получить магнитную левитацию здесь нельзя, и для обеспечения устойчивости в состав опор приходится вводить немагнитную поддержку (механическую, пневматическую, гидравлическую и т. п.). Левитирующие опоры диамагнитной группы используют только в измерительных приборах специального назначения (высокочувствительных весах, акселерометрах, наклономерах и т. д.). Их подъемная сила обычно не превосходит $5 \cdot 10^{-3}$ Н. Левитирующие опоры смешанной группы могут развивать подъемную силу порядка 0,5 Н, но для ее получения нужны сильные магнитные поля и довольно громоздкие диамагнитные экраны.

Ферромагнитные опоры выполняют в двух основных вариантах: без магнитно-мягкой арматуры и с арматурой. Опоры без арматуры конструктивно более просты, но обладают малой грузоподъемностью (из-за сильного рассеяния магнитного потока) и не допускают высоких частот вращения из-за недостаточной прочности современных магнитно-твердых материалов, идущих на изготовление магнитного ротора. Основной областью их применения является приборостроение. Опоры с магнитно-мягкой арматурой конструктивно сложнее, но благодаря более полному использованию магнитного потока могут развивать большее усилие и работать при очень высоких частотах вращения, лимитируемых только прочностью стального ротора. Они находят применение в качестве разгрузочных устройств для уменьшения нагрузки быстроходных механических опор с целью существенного увеличения их долговечности.

Магнитные опоры подобно механическим делятся на радиальные и аксальные подшипники, подвесы и подпятники.

Радиальный магнитный подшипник (рис. 2-22, а) состоит из ротора 1 и статора 2. Векторы намагниченности обоих магнитов направлены в одну сторону, вследствие чего силы отталкивания одноименных полюсов препятствуют касанию ротора и статора. Осевому

смещению ротора здесь препятствуют ограничители 3 аксиального типа. Аксиальный подшипник (рис. 2-22, б) отличается от радиального только взаимным направлением векторов намагниченности ротора 1 и статора 2, вследствие чего силе притяжения разноименных полюсов ротора здесь препятствуют ограничители 3 радиального типа. В тех случаях, когда необходимо обеспечить большую жесткость в осевом направлении, ротор 1 (рис. 2-22, в) выполняют из магнитно-мягкого материала, а на магнит статора 2 надевают по-

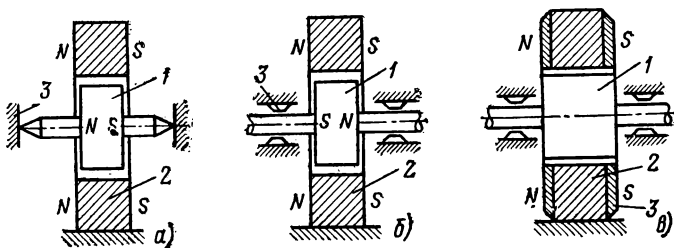


Рис. 2-22. Магнитные подшипники.

а — радиальный; б — аксиальный; в — аксиальный с магнитно-мягким ротором.

люсные наконечники 3. Во всех представленных магнитных подшипниках ограничители могут быть как механическими, так и пневматическими или любого другого типа.

Свойства радиального и аксиального магнитных подшипников можно объединить в радиально-аксиальной конструкции, иногда (без достаточных к тому оснований) называемой упорным подшипником. В подшипнике Брайермана (рис. 2-23, а) ротор 1 обычного радиального подшипника, немного поднятый относительно статора 2, не теряет радиальной устойчивости и приобретает подъемную силу, уравновешивающуюся реакцией механической опоры 3 точечного типа. В подшипнике Стеттлера (рис. 2-23, б) тот же эффект достигается применением ротора 1 конической формы и статора 2 с конической выемкой. Ротор и статор намагничены здесь радиально. Особенно-

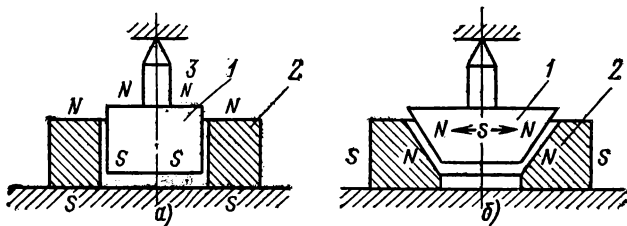


Рис. 2-23. Радиально-аксиальные подшипники.

а — Брайермана; б — Стеттлера.

стью обоих подшипников является их убывающая жесткость. По мере сближения центров ротора и статора вертикальное усилие не возрастает, а падает. Поэтому левитация здесь невозможна.

Магнитные подвесы в основном также являются опорами разгрузочного типа. Магнитный подвес приборного типа (рис. 2-24, а), предназначенный для разгрузки подпятника, состоит из магнитов ротора 1 и статора 2, сила притяжения которых почти уравнивает вес подвижной части. Точная регулировка силы тяги достига-

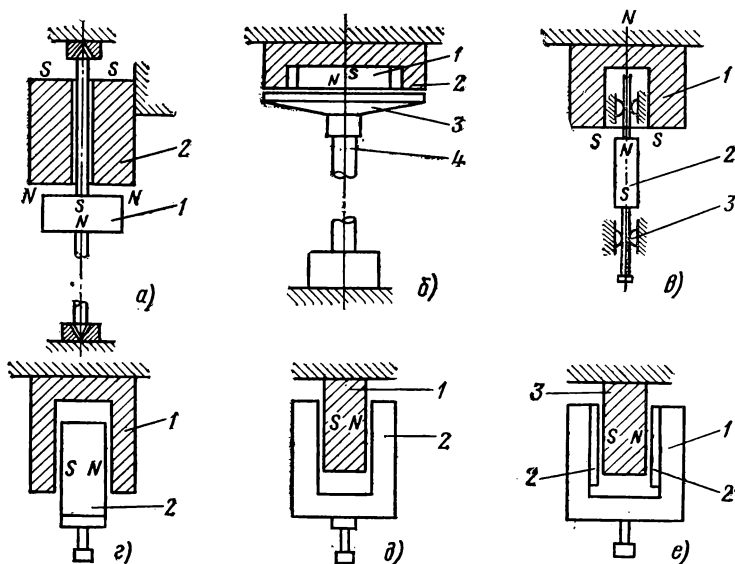


Рис. 2-24. Магнитные подвесы.

а — приборного типа; б — машиностроительного типа; в — эластичный подвес Капнельсона; г — силовой эластичный подвес транспортного типа с железным рельсом; д — то же с магнитным рельсом; е — то же с магнитным рельсом и магнитным якорем.

ется перемещением магнита 2. Для разгрузки опор тяжелых роторов с вертикальной осью применяют магнитный подвес аналогичного типа (рис. 2-24, б), состоящий из магнита 1, ярма 2 и якоря 3, укрепляемого на валу 4 подвешиваемого ротора. Вал может вращаться устойчиво, имея лишь один механический подпятник на нижнем конце.

В тех случаях, когда необходимо обеспечить возможность больших вертикальных перемещений подвешенного тела, можно применять эластичный подвес [2-8], состоящий (рис. 2-24, в) из неподвижного полого магнита 1 и подвижного магнита 2, равновесие которо-

го устойчиво вдоль вертикальной оси и неустойчиво в горизонтальной плоскости. Смещения системы в этой плоскости могут препятствовать диамагнитные экраны. К нижнему концу оси можно прикладывать полезную нагрузку.

Силовой эластичный подвес для транспорта на магнитной опоре (рис. 2-24, *г*) может состоять из магнитно-мягкого рельса 1 в форме швеллера, внутри которого расположен магнит 2, выполняющий роль якоря. Система устойчива по вертикали. Горизонтальная неустойчивость якоря должна компенсироваться механическими или любыми другими средствами. При движении магнита относительно рельса в последнем возникают вихревые токи, тормозящие движение магнита. Торможения можно избежать в устройстве (рис. 2-24, *д*), где роль рельса выполняет магнит 1 из феррита, практически являющегося

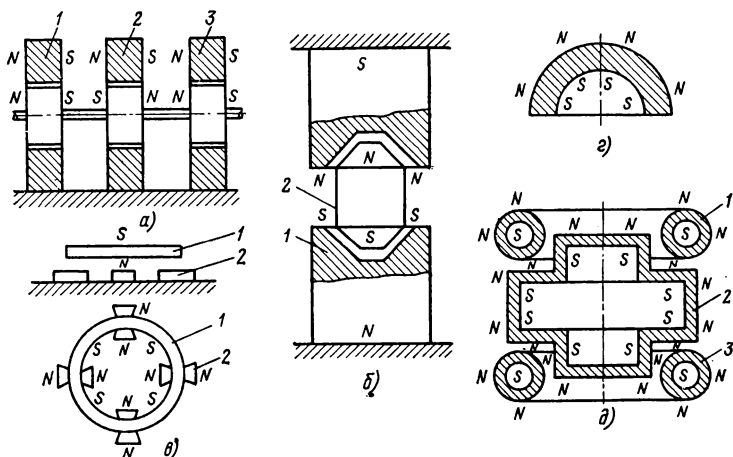


Рис. 2-25. Ошибочные конструкции левитации магнитов.

а — сочетание двух радиальных и одного аксиального подшипников; *б* — «летающая бочка»; *в* — «летающее кольцо»; *г* — намагниченное полушарие; *д* — конструкция запатентованной магнитной опоры.

диэлектриком, а магнитно-мягкий якорь 2 имеет форму швеллера. Наибольшую возможную подъемную силу можно получить, поместив (рис. 2-24, *е*) на магнитно-мягком якорь 1 дополнительные магниты 2 из редкоземельных материалов. Рельс 3 во избежание потерь на вихревые токи здесь должен быть выполнен в виде ферритового магнита.

Игнорирование теоремы Ирншоу породило ряд ошибочных проектов левитирующей магнитной опоры. «Совершенные» магнитные опоры, предлагавшиеся изобретателями, в основном сводятся к сочетанию на общем валу (рис. 2-25, *а*) двух радиальных подшипников 1 и 3 и одного аксиального подшипника 2 или к сочетанию в одной конструкции (рис. 2-25, *б*) двух подшипников Стеттлера. Здесь 1 —

неподвижный магнит с коническими выемками, а 2 — магнит с коническими выступами, имеющий вид бочки. По мнению изобретателей, такая «бочка» должна висеть в пространстве, отталкиваясь от одноименных полюсов и не имея возможности сместиться вбок. Аналогичной ошибки не избежал и изобретатель «летающего кольца», предложивший устройство (рис. 2-25, в), состоящее из аксиально-намагниченного кольца 1 и нескольких неподвижных магнитов 2 бисквитообразной формы. По идее изобретателя кольцо 1, отталкиваясь от магнитов 2, должно устойчиво висеть в воздухе, опираясь только на магнитные поля.

Особую разновидность представляют проекты, игнорирующие не теорему Ирншоу, а другие законы магнетизма. Сюда относится проект однополюсной магнитной опоры, в основу которого положено предположение о том, что набор намагниченных элементов, например полушарий (рис. 2-25, г), позволит получить полое тело, например сферу, наружная поверхность которого всюду имеет одну полярность, т. е. тело, представляющее своеобразный «монополь Дирака». Предложенная конструкция (рис. 2-25, д) состоит из двух неподвижных «монопольей» 1, 3 тороидальной формы и подвижного «монополя» 2 цилиндрической формы. Если бы изобретателю удалось осуществить эти «монополи», то левитация была бы возможна.

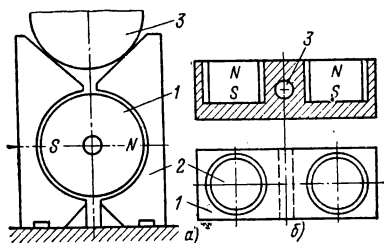


Рис. 2-26.. Магнитные фиксаторы.

а — регулируемые; б — «магнитная присоска».

Магнитные фиксаторы являются разновидностью ферромагнитных опор. Они предназначены для закрепления в заданном положении измерительных инструментов или для временной фиксации узлов собираемой конструкции. Частным случаем фиксаторов являются магнитные плиты станков. Несмотря на большое разнообразие конструкций, все фиксаторы можно разделить на регулируемые и нерегулируемые. Принцип действия регулируемого фиксатора состоит в изменении силы тяги магнита путем шунтирования его рабочего потока. Фиксатор с поворотным магнитом (рис. 2-26, а) состоит из ротора 1 в форме цилиндра, намагниченного диаметрально, и полюсных наконечников 2, жестко связанных между собой и образующих статор фиксатора. В положении, показанном на рис. 2-26, а, магнитный поток разветвляется на две части: верхняя притягивает фиксируемый объект 3, а нижняя притягивает статор фиксатора к неподвижной ферромагнитной опоре. Поворот ротора 1 на небольшой угол приводит к шунтированию магнитного потока полюсными наконечниками и ослаблению сил притяжения, а поворот на 90° — к короткому замыканию магнитного потока и выключению фиксатора. Нерегулируемые фиксаторы (магнитные присоски) состоят (рис. 2-26, б) из магнитно-мягкого яра 1 и одного или нескольких магнитов 2, расположенных в углублениях яра. Отверстие 3 служит для крепле-

ния штанги, соединяющей два фиксатора, которые фиксируют ферромагнитные тела в требуемом положении (например, при сварке двух листов стали).

Диамагнитные опоры обладают незначительной подъемной силой и поэтому применяются только в измерительных устройствах специального назначения, для правильной работы которых необходимо полное отсутствие силы трения. Для левитации диамагнетика в земных условиях необходимо магнитное поле с высоким значением градиента напряженности, вследствие чего масса магнита, создающего это поле, на 2—3 порядка превосходит массу левитирующего тела.

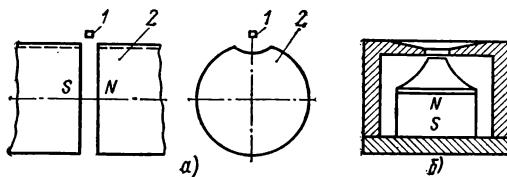


Рис. 2-27. Диамагнитные опоры.

a — опора Браунбека; *б* — магнитная система современной диамагнитной подвески.

Приоритет создания диамагнитной опоры принадлежит Браунбеку [2-4], подвесившему кусочек 1 висмута (8 мг) и графита (75 мг) в поле электромагнита 2 (рис. 2-27, *a*). В современных диамагнитных подвесках используют только углерод, обладающий среди диамагнетиков наибольшей магнитной восприимчивостью. Левитирующему телу придают форму шара, цилиндра или диска. Подвеска шара и цилиндра описана в [2-9], а подвеска диска в [2-4]. Магнитная система с постоянным магнитом (рис. 2-27, *б*), создающим в рабочем зазоре поле требуемой напряженности, описана в [2-11]. Определение закона изменения вертикальной составляющей магнитного поля H_z , при котором обеспечивается максимум подъемной силы диамагнитного шара, произведено Б. В. Кошелевым [2-9], получившим для характеристики поля $H_z = f(z)$ и максимальной подъемной силы R_{max} выражения

$$H_z = H_{\pi} \sqrt{1 - \frac{z - z_{\pi}}{z_0}}, \quad (2-1)$$

где $z_0 = 1,5 r_{\pi}$;

$$R_{max} = \frac{3}{8} \pi \kappa_k \mu_0 H_{\pi}^2 r_{\pi}^2. \quad (2-2)$$

Здесь κ_k — кажущаяся магнитная восприимчивость; r_{π} — радиус диамагнитного шара; z_{π} — высота левитации (рис. 2-28); $z_0 + z_{\pi}$ — координата точки, в которой $H_z = 0$; H_{π} — напряженность поля на высоте левитации; H_0 — напряженность поля на полюсной поверхности магнита.

Левитация наступает при равенстве подъемной силы R_{max} и веса шара $G_{ш}$. Отсюда условие левитации

$$r_{ш} = \frac{9}{32} \frac{\gamma_k \mu_0}{pg} H_{л}^2, \quad (2-3)$$

где p — плотность диамагнетика; g — ускорение силы тяжести.

Смешанные опоры являются сочетанием ферромагнитного подвеса и диамагнитных экранов, компенсирующих воздействие возмущающих усилий при случайных смещениях левитирующего тела из положения равновесия. Приоритет создания смешанной опоры принадлежит Боердийку [2-2], подвесившему малый магнит 1 (рис. 2-29) в поле большого неподвижного магнита 2 на расстоянии l , при котором сила тяги почти уравнивает вес магнита 1. Состояние левитации поддерживается экраном 3 из графита. Возможны также смешанные опоры, являющиеся комбинацией аксиального и радиального подшипников. К их числу принадлежит опора Штейнгривера [2-11], представляющая комбинацию ферромагнитного и диамагнитного подшипников, фиксирующих ось диска счетчика электрической энергии. Устройство (рис. 2-30) содержит верхний неподвижный магнит 1 в форме полого цилиндра, намагниченного аксиально, систему магнитов 2 и 3, укрепленных на оси диска 4, графитовое кольцо 5 и нижний неподвижный магнит 6. Расстояние между магнитами 2 и 3 подбирается так, чтобы при перемещении оси диска в вертикальном направлении изменение силы тяги верхнего подшипника было

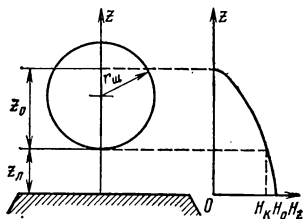


Рис. 2-28. К расчету магнитного поля магнитной системы (рис. 2-27).

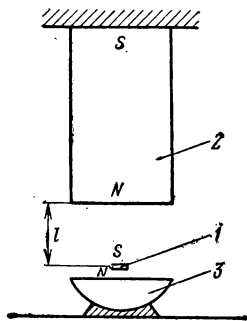


Рис. 2-29. Опора Боердийка.

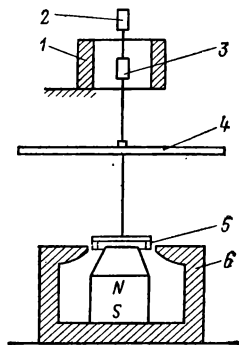


Рис. 2-30. Опора Штейнгривера.

мало. Масса подвижной части составляет 50 г. Диамагнитный подшпикник воспринимает нагрузку 4 г. Смешанные опоры обладают значительно большей грузоподъемностью, чем диамагнитные, но и они не могут работать как силовые и находят применение только в измерительной технике.

2-8. ПОСТОЯННЫЕ МАГНИТЫ ПОЛЯРИЗОВАННЫХ МАГНИТНЫХ СИСТЕМ

Поляризованными называются электромагнитные устройства, в которые введены один или несколько постоянных магнитов, выполняющих вспомогательную функцию, например, убыстрение срабатывания, фиксации положения подвижной части и др. Наиболее широко поляризованные электромагнитные системы применяются в реле, исполнительных механизмах, шаговых двигателях и электромагнитах спускового действия.

Поляризованные реле. Постоянный магнит здесь вводят главным образом для увеличения быстродействия, так как при наличии поляризирующего поля исключается затрата времени на накопление энергии магнитного поля управляющего сигнала и время срабатывания практически определяется лишь временем движения

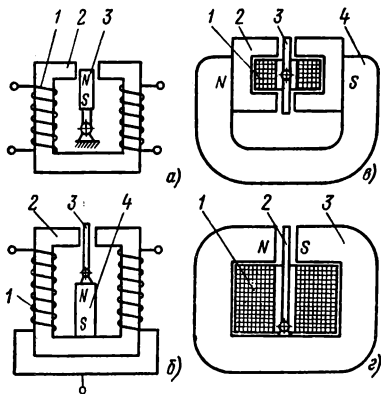
якоря. Кроме того, поляризованное реле в отличие от нейтрального обладает свойством реверсировать движение якоря при перемене полярности управляющего сигнала.

Магнитная система поляризованного реле должна отвечать ряду требований, важнейшими из которых являются:

1. Якорь должен обладать малой массой.
2. Магнитная цепь управляющей обмотки должна иметь малое магнитное сопротивление управляющему потоку и большое электрическое сопротивление вихревым токам.

3. Поляризирующий магнит должен иметь малое рассеяние потока.

Рис. 2-31. Магнитные системы поляризованных реле с общей магнитной цепью.



Одновременное выполнение всех перечисленных требований приводит к существенному усложнению конструкции магнитной системы и ее удорожанию. Поэтому оно осуществляется только в тех случаях, когда от реле требуются высокое быстродействие и высокая чувствительность.

Простейшая магнитная система (рис. 2-31, а) содержит управляющую обмотку 1, расположенную на шихтованном сердечнике 2, и якорь 3, роль которого выполняет поляризующий магнит. Основным недостатком этой системы является относительно большая масса якоря, что уменьшает быстродействие реле. Для устранения этого недостатка якорь 3 (рис. 2-31, б) выполняют в виде пластинки из магнитно-мягкого материала, а поляризующий магнит 4 укрепляют на сердечнике 2. Недостатком этой системы является то, что поток поляризующего магнита, проходя по сердечнику, увеличивает его магнитное сопротивление. Для уменьшения магнитного сопротивления сердечника (рис. 2-31, в) его выполняют в виде двух расщеп-

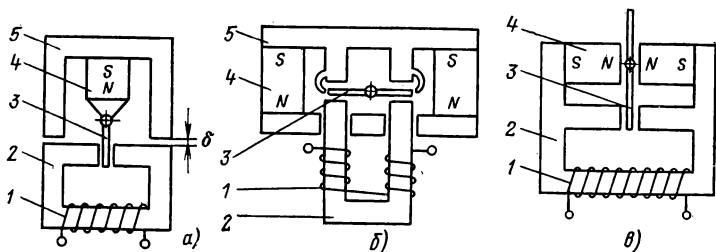


Рис. 2-32. Магнитные системы поляризованных реле с разделенными магнитными полями.

ленных полюсных наконечников 2, укрепляемых на полюсах поляризующего магнита 4. Управляющая обмотка 1 расположена здесь соосно с якорем 3 из магнитно-мягкого материала. Основным недостатком этой конструкции является трудность крепления оси якоря внутри управляющей обмотки, а разделение этой обмотки на две части с целью выпуска оси якоря приводит к резкому уменьшению управляющей м. д. с. и связанному с этим уменьшению чувствительности реле. Этот недостаток устранен в магнитной системе (рис. 2-31, г), содержащей только управляющую обмотку 1, якорь 2 и поляризующий магнит 3. Однако отсутствие сердечника приводит к тому, что поток управляющей обмотки встречает очень большое магнитное сопротивление, так как в основном замыкается по воздуху. Все магнитные системы, представленные на рис. 2-31, характеризуются общей магнитной цепью управляющей обмотки и поляризующего магнита.

Магнитные системы с разделенными управляющей и поляризующей магнитными цепями (рис. 2-32) сложнее, чем системы с неразделенными цепями. Простейшей здесь является магнитная система (рис. 2-32, а), содержащая управляющую обмотку 1, расположенную на сердечнике 2, якорь 3, укрепленный шарнирно на поляризующем магните 4, снабженном дополнительным сердечником 5. Зазор δ между сердечниками 2 и 5 необходим для того, чтобы поляризующий магнит не создавал дополнительную магнитную цепь для м. д. с.

управляющей обмотки. Магнитные системы 2-32, б и в отличаются от системы рис. 2-32, а лишь незначительно. Наибольшим вращающим моментом обладает система рис. 2-32, б с поперечным поляризующим потоком. Для получения линейной тяговой характеристики здесь применяют «когти» (когтеобразные выступы полюсных наконечников), по которым основная часть поляризующего потока переходит в торцы якоря.

Поляризованные электромагниты исполнительных механизмов (рис. 2-33) применяют взамен нейтральных в тех случаях, когда исполнительный механизм должен срабатывать за время, меньшее 1 мс.

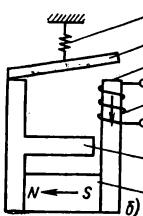
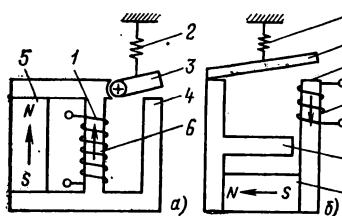


Рис. 2-33. Поляризованные электромагниты исполнительных механизмов.

Здесь часто применяют режим запоминания управляющего сигнала, когда после прекращения тока в управляющей обмотке якорь остается притянутым к полюсам за счет действия поляризующего магнита и отводится пружиной только после поступления в управляющую обмотку нового сигнала обратной полярности. По способу соединения управляющей и поляризующей магнитных цепей эти системы делятся на параллельные (рис. 2-33, а) и последовательные (рис. 2-33, б). Принцип их действия основан на перераспределении потока постоянного магнита между якорем и шунтирующей якорь частью магнитопровода. При включенной управляющей обмотке 1 пружина 2 отводит якорь 3 от полюса 4 и поток магнита 5 в основном замыкается через шунт 6.

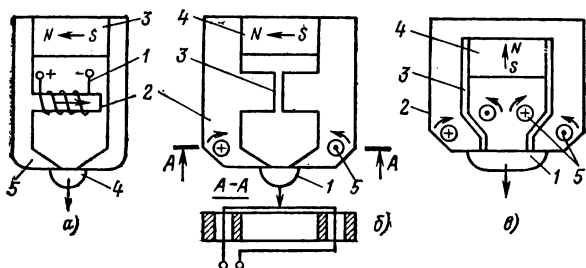


Рис. 2-34. Удерживающие поляризованные электромагниты.

При включении тока нужной полярности в обмотке возникает поле, под действием которого поток в шунте резко уменьшается, а поток магнита в якорь увеличивается и вызывает его движение.

Удерживающие полярирующие магниты (рис. 2-34) предназначены для работы в автоматических устройствах, требующих практически мгновенного отпущения (за время меньше 1 мс), в строго определенный момент времени. Принцип действия этих устройств основан на перераспределении рабочего потока постоянного магнита путем шунтирования или путем насыщения части магнитопровода. В устройствах с шунтированием (рис. 2-34, а) поле управляющей обмотки 1 в шунте 2 направлено согласно, а в якоре 4 — встречно с полем постоянного магнита 3. Поэтому при включении тока поток в якоре 4 резко убывает, и он отрывается от магнитопровода 5. Уст-

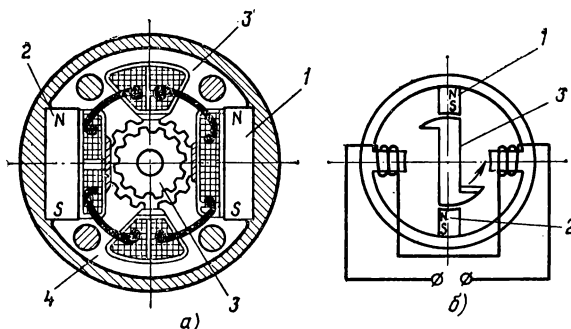


Рис. 2-35. Поляризованные магнитные системы индукторных (а) и реактивных (б) шаговых двигателей.

ройства с насыщением имеют два исполнения: простое (рис. 2-34, б) и двояное (рис. 2-34, в). В обоих случаях магнитная система состоит из якора 1, магнитопровода 2, шунтирующего зазора 3, постоянного магнита 4 и одной или двух управляющих обмоток 5, проходящих сквозь круглые отверстия в магнитопровode 2. При пропускании тока участки магнитопровода вблизи отверстий быстро насыщаются и поток магнита 4 перестает удерживать якорь 1, замыкаясь в основном через шунтирующий зазор 3.

Поляризованные магниты шаговых двигателей применяются в шаговых двигателях с пассивным ротором (индукторных и реактивных), где выполняют роль фиксаторов положения ротора при обесточенных обмотках статора. Для сохранения магнитной симметрии здесь всегда применяют систему из двух одинаковых магнитов. В индукторных шаговых двигателях (рис. 2-35, а) магниты 1 и 2 поляризуют верхнюю 3 и нижнюю 4 магнитные системы статора, вследствие чего звездообразный пассивный ротор приобретает z фиксированных положений, где z — число его зубцов.

В реактивных шаговых двигателях (рис. 2-35, б) также применяются два полярирующих магнита 1 и 2, обеспечивающих фикса-

цию ротора 3 в двух положениях, различающихся на 180° , но, кроме того, эти магниты обеспечивают поворот ровно на один шаг, ибо под воздействием поля обмоток статора ротор 3 может повернуться из фиксированного положения только на $1/2$ шага (90°), а последующий поворот ротора на $1/2$ шага совершается при обесточенных обмотках статора за счет силы взаимодействия магнитов с клювообразными выступами ротора.

2-9. НОРМАЛЬНЫЕ РЯДЫ ЛИТЫХ МАГНИТОВ ПРОСТЕЙШЕЙ ФОРМЫ

При конструировании и модернизации магнитных систем из сплавов альнико необходимо стремиться использовать магниты массового выпуска, сведения о которых содержатся в каталоге «Магниты литые постоянные» Новочеркасского производственно-технического объединения «Магнит». В новых системах следует по возможности применять только магниты простейших форм в виде брусков, цилиндров и конусов (рис. 2-36), так как они дешевле фигурных, а собран-

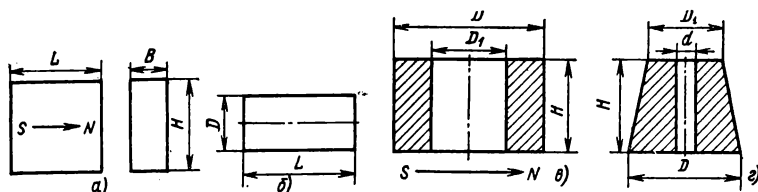


Рис. 2-36. Литые магниты простейшей формы.

а — бруски; б — цилиндры; в — полые цилиндры; г — усеченные конусы.

ная из них магнитная система обычно обладает меньшим рассеянием. Литые магниты выполняют из сплавов ЮНД4, ЮНДК15, ЮН14ДК24 и ЮН14ДК24Т2. Наиболее употребительны магниты из ЮН14ДК24, так как стоимость 1 Дж энергии у этого сплава ниже, чем у других сплавов альнико.

Данные о магнитах в форме брусков (рис. 2-36, а) приведены в табл. 2-12 в порядке возрастания размера L , совпадающего с направлением намагничивания. Данные о цилиндрических магнитах (рис. 2-36, б) приведены в табл. 2-13 в порядке возрастания диаметра. Данные о магнитах в форме полых цилиндров (рис. 2-36, в) приведены в табл. 2-14 в порядке возрастания наружного диаметра. Данные о магнитах в форме усеченного конуса (рис. 2-36, г) приведены в табл. 2-15 в порядке возрастания высоты.

Таблица 2-12

Литые магниты в форме брусков (рис. 2-36, а)

Материал	Основные размеры, мм			Масса, г	Направление намагничивания	Материал	Основные размеры, мм			Масса, г	Направление намагничивания		
	L	B	H				L	B	H				
ЮН14ДК24	6,5	15,5	23,0	13	Вдоль размера L	ЮН14ДК24	36,0	19,5	11,5	58	Вдоль размера L		
	7,5	60,0	12,0	40			40,5	21,0	39,0	218			
	9,5	8,5	36,5	40			51,5	25,5	37,5	360			
	16,3	68,5	10,8	95			52,0	27,5	46,0	452			
							63,0*	10,0	14,5	66			
	18,5	27,5	40,0	153		63,5	23,5	31,0	340	Любое			
	19,5	11,5	12,5	20		90,0	15,8	13,5	140				
	19,5	13,5	21,5	42		ЮНД4	25,0	5,4	14,0		13		
	20,5	13,5	16,5	35			46,4	21,0	31,2		198		
							53,5	11,0	11,5		46		
21,5	25,0	21,5	122	83,0	7,8		20,0	96					
24,5	10,0	18,0	30	87,0	25,0		54,0	783					
ЮН14ДК24Т2	24,5	13,5	22,5	55	Вдоль размера L	ЮНДК15	14,7	5,8	17,0	10	Вдоль размера L		
	25,0	18,0	20,0	100			20,5	11,5	26,0	45			
							26,0	9,3	28,0	50			
	25,5	20,5	30,5	116		ЮНДК15	20,5	11,5	26,0	45		Вдоль размера L	
	29,5	23,5	39,5	200			26,0	9,3	28,0	50			
	31,5	10,5	47,5	120									
31,5	12,0	23,0	60										

* Выполняется также из сплава ЮН14ДК24Т2.

Таблица 2-13

Литые магниты в форме цилиндров¹ (рис. 2-36, б)

Марка сплава	Размеры, мм		Масса, г	Марка сплава	Размеры, мм		Масса, г
	D	L			D	L	
ЮН14ДК24	10	36,4	21	ЮН14ДК24	23,5	22,5	76
	11,5	65,0	49		25,5	13,0	48
	11,5	17,5	15		26,5	21,0	81
	11,5	107	82		27,0	27,5	112
	13,0	108,5	105		27,5	21,0	87
	13,2	65	62		28,0	26,5	110
	13,5	17,5	18		29,5	38,0	160
	13,5	61,5	64		30,0	63,0	350
	15,0	10,5	13,5		31,5	31,5	160
	16,0	66,5	100		32,5	27,5	156
	16,5	21,5	33		37,5	39,5	235
	17,0	14,0	24		40,0	41,5	320
	17,0	76,0	1,26		41,6	39,5	315
	17,5	19,5	35		80,0	25,5	250
	18,5	26,5	51	ЮНДК15	11,5	43,6	435
	19,8	12,5	28		14,5	123,5	4510
	20,0	17,0	36,7		17,7	65,0	48
	20,0	21,5	52			24,7	28
	22,0	22,5	62			13,6	25

¹ Направление текстуры — аксиальное.

Таблица 2-14

Литые магниты в форме полых цилиндров (рис. 2-36, в)

Марка сплава	Размеры, мм			Масса, г	Направление намагничивания
	D	D ₁	H		
ЮН14ДК24	28,0	10,0	10,5	40	Диаметральное
	29,5	18,0	25,5	80	То же
	33,0	18,5	29,5	140	» »
	35,0	9,0	25,0	146	Аксиальное
	35,0	20,5	36,5	180	То же
	35,2	22,0	21,5	96	Диаметральное
	41,5	16,0	16,5	140	То же
	41,5	15,0	74,0	690	Аксиальное
	51,0	26,4	17,0	210	Диаметральное

Продолжение табл. 2-14

Марка сплава	Размеры, мм			Масса, г	Направление намагничивания
	<i>D</i>	<i>D</i> ₁	<i>H</i>		
ЮН14ДК24Т2	58,0	39,0	29,5	320	Аксиальное
	71,5	30,5	21,5	515	То же
	73,0	20,0	78,0	2156	» »
	90,0	70,0	56,0	1120	» »
	102,0	48,5	31,5	1410	» »
	105,0	78,0	47,0	1420	» »
	112,5	87,0	44,0	1122	» »
	126,0	93,0	62,5	2700	» »
	20,5	11,5	10,5	19	Диаметральное
	32,0	19,8	11,0	40	Аксиальное
	38,5	21,7	16,5	95	Радиальное четырехполюсное
	47,5	29,5	16,5	130	Радиальное многополюсное
	55,5	39,9	16,5	145	Радиальное четырехполюсное
	69,5	48,5	31,5	430	Диаметральное
	26,0	9,0	10,0	28	Любое
	26,0*	9,0	10,0	28	
ЮНД4	29,5	17,0	6,7	23	
	30,0	16,2	40,0	150	
	39,5	25,0	6,5	30	
	51,0	37,0	23,5	157	
	78,0	54,5	32,0	534	

* Сплав ЮНД15.

Таблица 2-15

Литые магниты в форме усеченных конусов¹ (рис. 2-36, г)

Марка сплава	Размеры, мм				Масса, г
	<i>H</i>	<i>D</i>	<i>D</i> ₁	<i>d</i>	
ЮН14ДК24	24,0	31	29	0	129
	28,0	38,5	34,5	0	220
	41,5	63,5	61,5	0	912
	58,0	100	90,0	14	2980

¹ Направление намагничивания — вдоль размера *H*.

2-10. НОРМАЛЬНЫЕ РЯДЫ ФЕРРИТОВЫХ МАГНИТОВ

Ферритовые магниты в отличие от литых всегда имеют простую форму, так как технология изготовления фигурных магнитов слишком сложна. Подробные сведения об ассортименте, размерах и допусках на размеры ферритовых магнитов содержатся в [2-2].

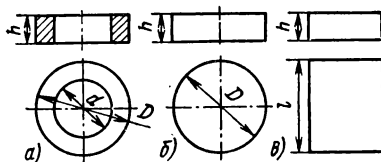


Рис. 2-37. Основные формы ферритовых магнитов.

а — кольцо; *б* — диск; *в* — пластина.

Магниты серийного выпуска имеют вид колец, дисков и пластин (рис. 2-37). Для кольцевых магнитов (рис. 2-37, *а*) применяют ферриты марок 15БА300, 22БА220, 25БА150. Наибольшее число типоразмеров (табл. 2-16) приходится на магниты из 15БА300, выпускаемые в виде колец с наружным диаметром от 20 до 120 мм и толщиной от 4,5 до 10 мм. Размеры колец, выраженные в миллиметрах, образуют ряды:

<i>d</i> . .	8	10	12	14	16	18	20	22	24	26
<i>D</i> . .	20	24	25	30	32	34	36	40	45	50
<i>h</i> . .	4,5	5,0	5,5	6,0	6,5	7,0	7,5	8,0	8,5	9,0

Продолжение

<i>d</i> . .	28	32	34	36	38	40	42	46	50	60
<i>D</i> . .	60	70	80	90	100	120				
<i>h</i> . .	9,5	10,0								

Кольцевые магниты из ферритов марок 22БА220 и 25БА150 имеют восемь и шесть типоразмеров (табл. 2-17). Дисковые магниты (рис. 2-37, *б*) имеют шесть типоразмеров (табл. 2-18). Прямоугольные (пластинчатые магниты, рис. 2-37, *в*) имеют восемь типоразмеров (табл. 2-19). Магниты массового выпуска имеют вид колец и пластин. Кольцевые магниты (табл. 2-20) имеют 17 типоразмеров; пластинчатые магниты (табл. 2-21) имеют 5 типоразмеров.

Таблица 2-16

Типоразмеры кольцевых магнитов из феррита 15БА300
(рис. 2-37, а), мм

<i>d</i>	<i>D</i>	<i>h</i>	<i>d</i>	<i>D</i>	<i>h</i>	<i>d</i>	<i>D</i>	<i>h</i>	
8	20 24	4,5—8,0	16	32 34	4,5—8,5	24	50 60 70	5,5—10,0	
10	20 24 25 30 32	4,5—8,0		36	5,0—8,5		26 и 28	80 90	6,0—10,0
	34	5,0—8,0		40 45	5,0—9,0			50 60 70 80 90	
		36 40 50		5,0—9,0	50 60	5,0—10,0			
				70	5,5—10,0				
	12	24 25 30 32 34 36		4,6—8,0	32 34	4,5—8,5		30	50 60 70 80 90 100
40		5,0—8,0		36 40	5,0—8,5				
		45		5,0—9,0					
50 60		5,5—9,5		45	5,0—9,0				
25 30 32 34 36		4,5—8,0		50 60 70	5,5—10,0				
40		5,0—8,0		36	5,0—8,5	32 и 36	60 70 80 90 100		
45		5,0—9,0	40 45	5,0—9,0					
50 60		5,5—9,5	50 60 70	5,5—10,0					
14		25 30 32 34 36	4,5—8,0	80	6,0—10,0		38, 40 и 42	70 80 90 100	
		40 45	5,0—8,5	36	5,0—8,5				
	50 60		5,0—9,0	40 45	5,0—9,0	46	80 90 110 120		
	70	5,0—9,5	50 60 70 80	5,5—10,0					
	16	30	4,5—8,0	24	40 45		50 60	100 120	

Таблица 2-17

Типоразмеры кольцевых магнитов (рис. 2-37, а)

Марка феррита	Размеры, мм			Масса, г	Марка феррита	Размеры, мм			Масса, г
	D	d	h			D	d	h	
22БА220	44	18	5,5	39	22БА220	85	35	15,0	374
	44	18	7,0	49	22БА150	20	12	12	15
	52	23	7,0	66		25	14	16	30
	52	23	8,0	75		40	26	20	70
	60	25	9,0	114		45	18	42	270
	65	32	12,0	165		52	22	45	390
	75	28	12,5	252		80	30	30	650

Таблица 2-18

Типоразмеры дисковых магнитов (рис. 2-37, б)

Марка феррита	Размеры, мм		Масса, г	Марка феррита	Размеры, мм		Масса, г	Марка феррита	Размеры, мм		Масса, г
	D	h			D	h			D	h	
25БА150	10	12	5	25БА150	17	20	25	25БА150	50	55	560
	13	15	10		20	24	40		70	80	1540

Таблица 2-19

Типоразмеры прямоугольных магнитов (рис. 2-37, в)

Марка феррита	Размеры, мм			Масса, г	Марка феррита	Размеры, мм			Масса, г
	h	l	b			h	l	b	
25БА150	10	12	6	5	25БА150	52	80	60	1350
	16	18	10	15		76	80	50	1520
	20	20	14	30		95	60	40	1215
	30	45	34	240		95	80	60	2430

Таблица 2-20

Типоразмеры кольцевых магнитов массового выпуска

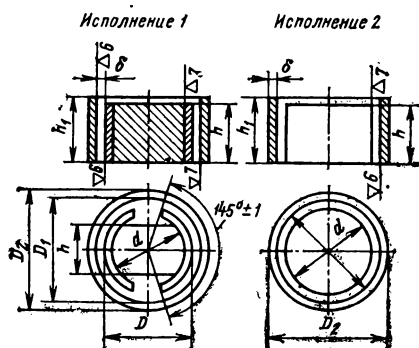
Марка феррита	Размеры, мм			Марка феррита	Размеры, мм		
	<i>D</i>	<i>d</i>	<i>h</i>		<i>D</i>	<i>d</i>	<i>h</i>
25БА170	45	22	10	25БА190	44	18	5,5
	48	22	11		44	18	7,0
	56	24	8		52	23	7,0
	56	24	12		52	23	8,0
	61	24	8		60	25	9,0
	61	24	13		65	32	12,0
	72	32	10		75	28	12,5
	72	32	15		85	35	15,0
	86	32	10				

Таблица 2-21

Типоразмеры пластинчатых магнитов массового выпуска

Марка феррита	Размеры, мм		
	<i>L</i>	<i>b</i>	<i>h</i>
16БА190	84	64	8
	84	64	10
	84	64	14
22БА220	80	60	16
	120	80	16

2-11. НОРМАЛЬНЫЕ РЯДЫ МАГНИТОВ И МАГНИТНЫХ СИСТЕМ СЛОЖНОЙ ФОРМЫ



В настоящее время отечественные заводы выпускают много разновидностей магнитов сложной формы, различающихся иногда лишь несущественными деталями. Так, в каталоге 1976 г. «Магниты литые постоянные»

Рис. 2-38. Нормализованные магнитные системы с внутренним неподвижным магнитом,

приведено 114 типов магнитов, из которых 84 магнита имеют только один типоразмер. Многие из этих магнитов имеют весьма ограниченную область применения. Поэтому ниже приводятся сведения лишь о тех магнитных системах и магнитах, которые хорошо себя зарекомендовали и могут быть использованы во многих устройствах.

Магнитные системы с внутрирамочными магнитами (рис. 2-38) выпускают в двух исполнениях. Исполнение 1 характеризуется наличием у магнита полюсных наконечников с полюсной дугой 145° .

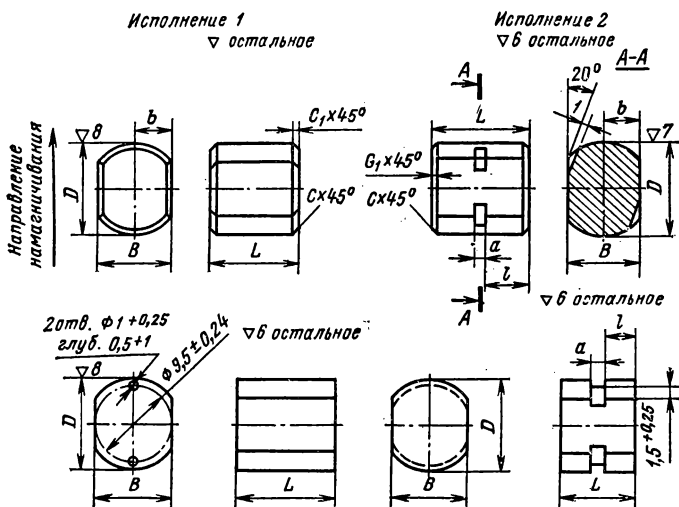


Рис. 2-39. Неподвижные внутрирамочные магниты различных исполнений.

Магнитное поле в рабочем промежутке здесь равномерное. Система пригодна только для механизмов гальванометрического типа. Исполнение 2 характеризуется отсутствием полюсных наконечников, вследствие чего распределение магнитного поля в рабочем промежутке близко к синусоидальному. Такая система пригодна для измерительных механизмов логометрического типа. Нормализованные размеры магнитных систем с внутрирамочным магнитом приведены в табл. 2-22. Исполнение 1 имеет 14 вариантов, а исполнение 2 — 17 вариантов.

Ярмо выполняют из стали 10 (ГОСТ 1050-60), а полюсные наконечники или из стали 10, или из стали А (ЧМТУ 2900-51). Нормаль допускает следующие отклонения от чертежа:

- а) уменьшение длины рабочего промежутка δ по ряду R_a 40 (ГОСТ 6636-60) за счет уменьшения внутреннего диаметра ярма D_1 ;
- б) увеличение высоты ярма h_1 по ряду R_a 10;

Таблица 2-22
Нормализованные размеры магнитных систем с внутрирабочным магнитом (рис. 2-38)

Исполнение 1														Исполнение 2									
d	b	h	D	D ₁	D ₂	h ₁	δ*	F _{ср} T	Марка сплава	Допускаемые отклонения по										δ*	F _{max} T	Марка сплава	
										C ₃	C ₅	C ₄	A ₃	C ₅	C ₃	C ₅	A ₃	C ₅	C ₆				
8	6,5 7,2	8	10,0	13,0	15,0	8	1,5	0,12 0,15	ЮНДК24Т2 ЮНДК35Т5	6	6	9,0	10,0	6	1,5	0,10 0,14 0,26	ЮНД8С ЮНДК24Т2 ЮНДК35Т5						
										8	8	11,0	13,0	8									
										10	7,0 9,0	10	12,2	15,2				17,5	10	0,15 0,19	ЮНД8С ЮНДК24Т2 ЮНДК35Т5		
13	8,5 10,0	12	16,2	19,4	23,0	12	1,6	0,16 0,10	ЮНДК18С ЮНД8С	10	8	13,0	15,0	8	1,6	0,16 0,23 0,38 0,19	ЮНД8С ЮНДК24Т2 ЮНДК35Т5 ЮНД8С						
										12	10	15,2	17,5 18,5	10									
										12	12	19,4	24,0	10									
16	11,0 14,0	16	19,6	23,0	26,5	16	1,7	0,18 0,11	ЮНДК18С ЮНД8С	16	12	19,4	23,0 24,0	12	17	0,23 0,34 0,49	ЮНД8С ЮНДК24Т2 ЮНДК35Т5						
										20	20	23,6	33,5 36,0	20									
										20	14,0 18,0	20	25,0	28,6				33,5	20	1,8	0,23 0,12	ЮНДК18С ЮНД8С	

* Справочный размер.

* Справочный размер.

в) для миниатюрных и профильных приборов — изменение высоты магнитной системы (h и h_1) по ряду R_a 10 и наличие отверстий и пазов в магните;

г) для изменения характера распределения индукции в рабочем промежутке — профилирование ярма, срезы и различные виды намагничивания магнита;

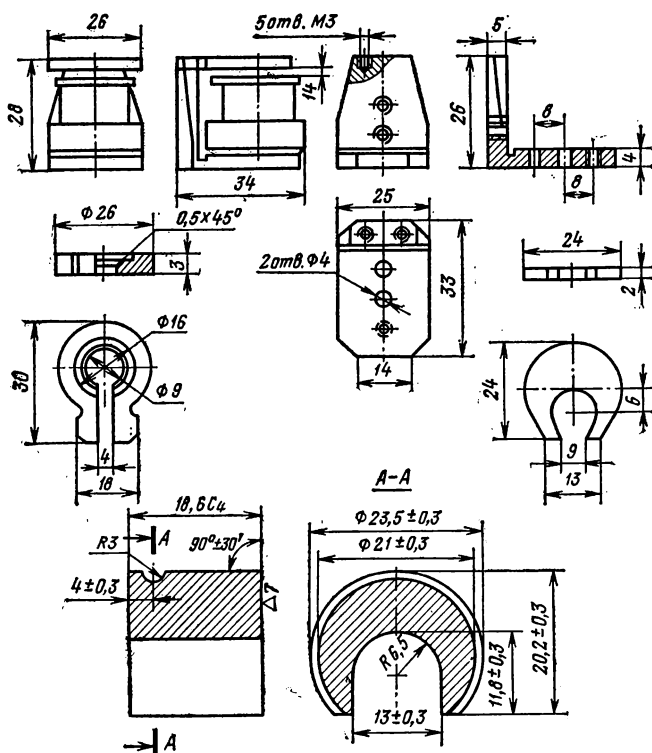


Рис. 2-40. Униполярная магнитная система стержневого типа.

д) для приборов с углом поворота подвижной части, меньшим 90° , — уменьшение угла полюсных наконечников.

Значения индукции в рабочем промежутке при перечисленных допущениях могут не соответствовать величинам, указанным в табл. 2-22.

Внутрирамочные магниты (рис. 2-39) имеют четыре исполнения, различающихся в основном способом закрепления магнита в обойме. Шлифуется вся поверхность. Нормализованные размеры приведены

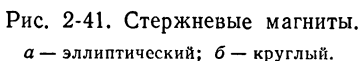


Таблица 2-23

Нормализованные размеры внутрирабочных магнитов (рис. 2-39)

Исполнение	D		L		B		b		a	l	c	c ₁	Марка сплава	Масса, г
	Номи- нальное значение	Допуски- мое от- клонение	Номи- нальное значение	Допуски- мое от- клонение	Номи- нальное значение	Допуски- мое от- клонение	Номи- нальное значение	Допуски- мое от- клонение						
2	10,0	+0,650 -0,350	9,5	-0,10	8,5	-0,10	4,25	±0,10	2,0	4,0	0,3		ЮНДК15	5,5
	12,0	-0,035	13,5	-0,12	9,5	-0,03	4,75	±0,02					ЮНДК24Т2	10,0
1			12,0	+0,06 -0,18		-0,10					-		ЮНДК24	8,9
		+0,020 -0,070			8,0	-0,20					1,0		ЮНДК12	
			12,5	-0,24									ЮНДК24	7,8
													ЮНД12	
3		+0,022		-0,06									ЮНДК24	10,4
		+0,010	12,0	-0,18		-0,10					-		ЮНДК24Т2	10,8

2	12,7	+0,075 -0,040	12,2	-0,12	10,0	-0,20	5,0	-0,10	3,0	4,6	0,3*	0,3*	ЮНД12	8,7										
													ЮНДК25БА											
													ЮНДК24Т2											
													ЮНДК15											
1	13,5	+0,035	9,0	-0,10	-0,10	-	-	-	-	-	-	-	ЮНДК24	7,8										
													ЮНДК24Т2		1,0									
													ЮНДК15			17,0								
													ЮНДК24				19,5							
2	19,0	+0,095 -0,050	11,0	-0,12	13,6**	-0,12	8,0	+0,10	3,0	4,0	0,3	-	ЮНДК15	19,5										
													29,5											
															4	24,0	-0,045	19,0	-0,14	-	-	2,5	4,5	-

* Фаски c_1 и c_2 только с одного торца.

** Спрямочный размер.

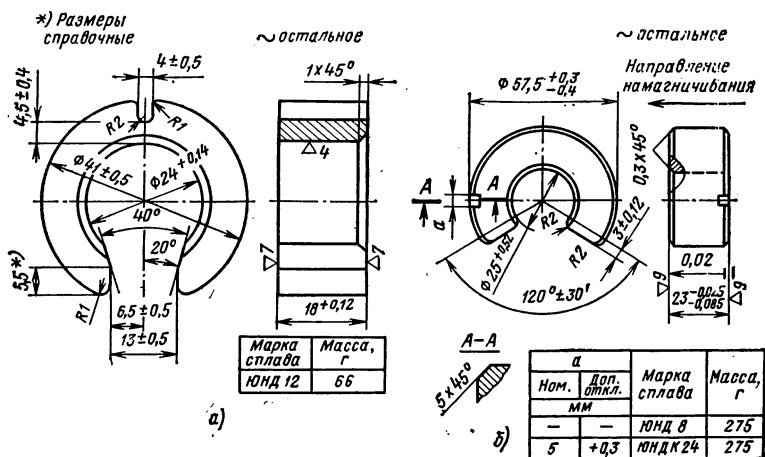


Рис. 2-43. Стержневые магниты.

а — подковообразный; б — дугообразный.

Магниты арочного типа (рис. 2-44) применяются в системах с внешним (по отношению к обмотке) магнитом. Наружная поверхность цилиндрическая. Шлифуются только полюсные поверхности. Нормализованные размеры приведены в табл. 2-24.

Фигурные призматические магниты (рис. 2-45, а) с плоскими полюсными поверхностями (рис. 2-45, а) имеют два продольных паза, упрощающих соединение с полюсными наконечниками. Шлифуются обе плоскости поверхности. Нормализованные размеры приведены в табл. 2-25.

Магниты с выпуклой полюсной поверхностью (рис. 2-45, б). Шлифуются обе полюсные поверхности, одна из которых имеет цилиндрическую форму. Нормализованные размеры приведены в табл. 2-26.

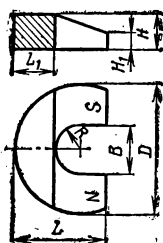


Рис. 2-44. Магниты арочного типа.

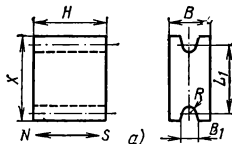
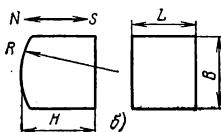


Рис. 2-45. Фигурные призматические магниты.

а — с плоскими полюсными поверхностями; б — с выпуклой полюсной поверхностью.



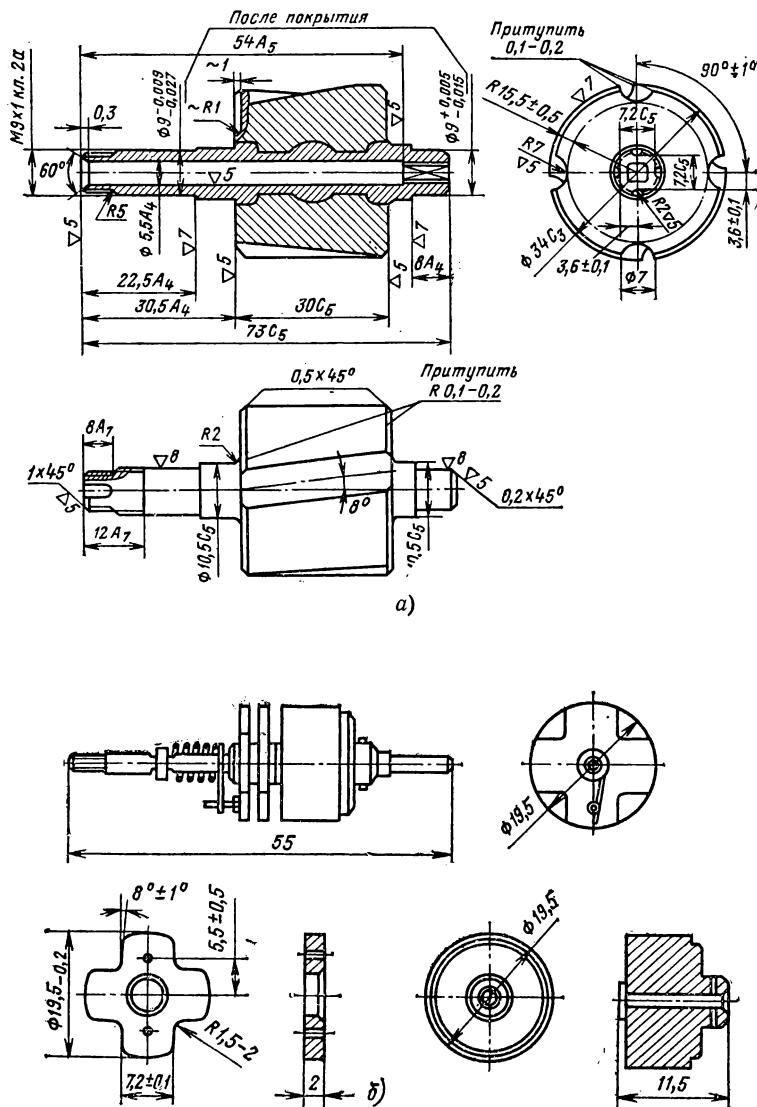


Рис. 2-46. Магнитные роторы «электрического вала» тахометра.

а — общий вид; б — детали.

Таблица 2-24

Нормализованные размеры арочных магнитов (рис. 2-44)

Номера магнитов	Размеры, мм							Масса, кг	Марка сплава
	B	H	H ₁	L	L ₁	D	R		
0042	24,6	16,5	11,0	38,5	22,5	60,5	11,3	0,197	ЮН14ДК24 ЮНД4
0194	16,0	15,0	11,0	25,0	16,0	45,0	8,0	0,083	
0377	25,0	17,0	12,0	40,0	27,0	61,5	7,0	0,178	ЮН14ДК24 ЮНД4
0473	16,0	14,5	10,0	24,8	15,0	44,0	7,2	0,078	
0475	25,0	17,0	12,0	40,0	17,0	61,5	7,0	0,193	ЮНД4 ЮНДК18
1562	15,5	14,5	10,0	25,0	15,0	45,0	7,0	0,070	
1575	24,0	17,0	12,0	40,0	23,0	62,0	11,0	0,180	

Таблица 2-25

Нормализованные размеры фигурных призматических магнитов (рис. 2-45)

Номера магнитов	Размеры, мм						Масса, кг	Марка сплава
	H	L	L ₁	B	B ₁	R		
0044	26,5	23,5	19,0	23,5	6,0	2,5	0,099	ЮН14ДК24
0086	38,0	44,0	34,4	27,0	8,0	2,5	0,306	
0256	19,5	20,5	17,5	12,5	6,0	2,0	0,033	ЮНДК15 ЮН14ДК24Т2
0374	37,0	40,0	32,0	19,5	6,0	2,5	0,183	
0375	12,0	19,0	13,3	15,5	4,0	1,6	0,023	
1327	37,5	40,0	32,0	19,5	7,8	2,9	0,183	

Таблица 2-26

Нормализованные размеры призматических магнитов с выпуклой полюсной поверхностью (рис. 2-45, б)

Номера магнитов	Размеры, мм				Масса, кг	Марка сплава
	B	H	L	R		
0084	21,5	22,7	20,0	29,0	0,062	ЮН14ДК24 ЮНДК15
0359	19,7	22,7	21,5	29,0	0,052	
0360	19,7	22,7	21,5	29,0	0,057	ЮНД4 ЮНДК15
0479	32,0	29,2	29,2	42,0	0,172	
0763	22,0	19,6	18,5	29,0	0,060	ЮН14ДК24
0901	25,5	38,5	18,0	30,4	0,120	
1042	22,0	25,5	19,0	20,8	0,070	
1264	24,0	31,5	28,5	19,8	0,184	
1275	16,0	8,5	80,0	17,0	0,073	
1482	26,5	34,0	61,5	50,3	0,205	
1551	23,0	26,0	20,0	20,8	0,086	

Магнитные системы роторов «электрического вала» (рис. 2-46) применяют в дистанционных тахометрах. «Вал» состоит из трехфазного магнитоиндукционного генератора, являющегося датчиком тахометра, и миниатюрного трехфазного синхронного двигателя с асинхронным запуском при помощи гистерезисного диска, укрепляемого на одном валу с постоянным магнитом.

ГЛАВА ТРЕТЬЯ

РАСЧЕТ МАГНИТНЫХ СИСТЕМ С ПОСТОЯННЫМИ МАГНИТАМИ

3-1. ОБЩИЕ ПОЛОЖЕНИЯ

Основная задача проектирования магнитных систем с постоянными магнитами обычно заключается в выборе формы и размеров магнита и деталей магнитной арматуры (полюсных наконечников, сердечников, ярма и т. п.), обеспечивающих оптимальное соотношение параметров. Выбор критерия оптимальности определяется назначением магнитной системы. Наиболее часто в качестве критерия оптимальности принимают или энергию в рабочем зазоре (у измерительных механизмов с подвижными обмотками), или магнитный момент (у измерительных механизмов с подвижным магнитом), или силу тяги (у поляризованных реле, магнитных муфт, редукторов опор и фиксаторов), или структуру и напряженность поля в рабочем объеме (в устройствах магнитной оптики). Однако это не исключает использования в качестве критериев оптимальности технологических и экономических показателей, роль которых особенно велика при проектировании магнитных систем из новых материалов ввиду их относительно высокой стоимости.

Любой постоянный магнит представляет собой источник магнитного поля с распределенными параметрами. Поэтому строгий расчет возможен здесь только по уравнениям теории электромагнитного поля. Однако ввиду трудности применения этих уравнений к расчету магнитных систем сложной формы обычно применяют упрощенные методы¹.

При расчете магнитных систем измерительных приборов и средств автоматики наиболее употребительны три основных метода: метод отношений, метод размагничивающего фактора и метод эквивалентного соленоида. Практика показала, что перечисленные методы удобны для анализа при выборе наилучшего соотношения параметров и дают приемлемую точность: метод отношений — при расчете магнитов с арматурой, метод размагничивающего фактора — при расчете магнитов без арматуры в форме брусков и цилиндров, метод эквивалентного соленоида — при расчете магнитов без арматуры, выполненных из новых материалов с очень высокими значениями коэрцитивной силы и энергетического произведения.

Расчет магнитной системы независимо от избранного метода требует знания магнитных характеристик применяемых материалов.

¹ В последнее время начали разрабатываться методы расчета магнитных систем, основанные на применении моделирования и ЭВМ.

Если учитывать, что параметры магнитных материалов даются с точностью порядка 5%, а принятые методы расчета магнитных проводимостей имеют ряд допущений, точность расчета магнитных систем порядка 10—15% считается удовлетворительной.

3-2. РАСЧЕТ МАГНИТОВ С АРМАТУРОЙ МЕТОДОМ ОТНОШЕНИЙ

Систему, состоящую из постоянного магнита, магнитной арматуры и воздушных путей магнитного потока, обычно рассчитывают по методу отношений (метод Эвершеда — Пику), при котором магнитная цепь приводится к двухузловой эквивалентной схеме с сосредоточенными параметрами. Распределение магнитного напряжения вдоль магнита принимают линейным, а магнитное сопротивление арматуры (если ее состояние далеко от насыщения) считают равным нулю. Формальная аналогия между уравнениями магнитной и элект-

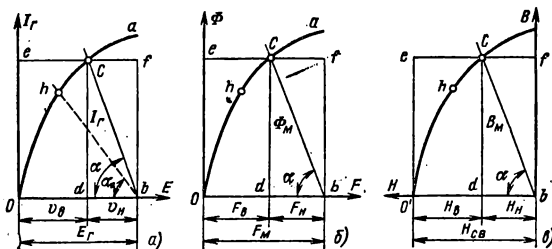


Рис. 3-1. К расчету магнитных систем по методу отношений.

рической цепи позволяет использовать для расчета магнитной цепи графоаналитический метод, широко применяемый при расчете нелинейных электрических цепей. Аналогом тока I здесь является магнитный поток Φ , аналогом э. д. с. E — м. д. с. F , аналогом электрической проводимости g — магнитная проводимость Λ , а аналогом вольт-амперной характеристики генератора — вебер-амперная характеристика магнита.

Из теории нелинейных электрических цепей известно, что для определения тока I в цепи, состоящей из генератора, имеющего э. д. с. E и нагрузки, проводимость которой g , нужно построить (рис. 3-1, а) вольт-амперную характеристику генератора (кривая oa) и, отложив по оси абсцисс отрезок ob , равный E_r , провести из точки b прямую bc под углом α , тангенс которого определяется условием $\operatorname{tg} \alpha = g$. Линию bc обычно называют характеристикой внешней проводимости. Точка c ее пересечения с характеристикой генератора определяет значение тока I_r (отрезок cd). Отрезок bd определяет напряжение U_n на зажимах нагрузки, а отрезок od — внутреннее падение напряжения U_v генератора. Площадь прямоугольника $bdcf$ пропорциональ-

на значению полезной мощности $P_n = I_r U_n$, выделяемой в нагрузке, а площадь прямоугольника $oecd$ — потерям мощности внутри генератора $P_b = I_r U_b$. При некотором значении $\alpha = \alpha_0$ полезная мощность достигает максимума $P_n = (I_r U_n)_{max}$. Точка h вольт-амперной характеристики, соответствующая этому условию, называется точкой максимума полезной энергии.

При переходе от расчета электрической (рис. 3-1, а) к расчету магнитной цепи (рис. 3-1, б) все построения полностью сохраняются в силу упомянутой аналогии. Кривая oa определяет здесь вебер-амперную характеристику магнита, отрезок ob определяет м. д. с. магнита F_m , а отрезки od и db — те ее части, которые обеспечивают поддержание магнитного потока внутри (F_b) и снаружи (F_n) магнита.

Если магнитное состояние арматуры далеко от насыщения, то внешняя проводимость $\Lambda = \text{const}$ и характеристика внешней проводимости имеет вид прямой bc , угол α наклона которой определяется условием $\text{tg} \alpha = \Lambda = \Phi_m / F_n$ и откладывается на чертеже с учетом масштабов координатных осей. Если же магнитное состояние арматуры или некоторых ее участков близко к состоянию насыщения, то $\Lambda = \text{var}$ и характеристика внешней проводимости становится нелинейной. Точка c пересечения вебер-амперных характеристик магнита и арматуры определяет магнитный поток Φ_m в нейтрали постоянного магнита. Площадь прямоугольника $oecd$ пропорциональна энергии магнитного поля $W_n = \Phi_m F_n / 2$ вне магнита. Точка h определяет условие максимума внешней энергии, когда $W_n = \left(\frac{\Phi_m F_n}{2} \right)_{max}$.

Магнитные цепи в отличие от электрических лишены изоляторов. Поэтому магнитное рассеяние в них неизбежно и полезной является только та часть внешней энергии, которая заключена в рабочем зазоре. Магнитный поток Φ_m можно рассматривать как сумму рабочего потока $\Phi_{раб}$ и потока рассеяния $\Phi_{рас}$. Поэтому

$$\Phi_m = \Phi_{раб} + \Phi_{рас}.$$

Соответственно $\Lambda = \Lambda_{раб} + \Lambda_{рас}$ и $W_n = W_{раб} + W_{рас}$, где

$$W_{раб} = \frac{\Phi_{раб} F_n}{2}; \quad W_{рас} = \frac{\Phi_{рас} F_n}{2}.$$

Так как

$$\Phi_{раб} / F_n = \Lambda_{раб} \quad \text{и} \quad \Phi_{рас} / F_n = \Lambda_{рас},$$

то

$$\frac{W_n}{W_{раб}} = \frac{\Phi_m}{\Phi_{раб}} = \frac{\Lambda}{\Lambda_{раб}} = \sigma, \quad (3-1)$$

где σ — коэффициент рассеяния.

При расчете цепей с постоянными магнитами обычно вместо вебер-амперной характеристики используют кривую размагничивания $B = f(H)$ (рис. 3-1, в). Это возможно, так как кривые $B = f(H)$ отличаются от кривых $\Phi = f(F)$ только масштабом и положением

точки начала координат $B = \Phi/S_M$, где S_M — площадь поперечного сечения магнита по нейтральной линии, а $H = F/l_M$, где l_M — длина магнита. При таком изменении масштабов отрезок cd определяет индукцию B_M в нейтрали магнита, отрезок od — напряженность H_B поля внутри магнита, отрезок db — напряженность H_H внешней части поля магнита, отрезок ob — коэрцитивную силу по индукции H_{CB} , а угол α — наклон приведенной характеристики внешней проводимости системы, который находится из соотношения

$$\operatorname{tg} \alpha = \frac{B_M}{H_M} = \frac{\Phi_M l_M}{F_H S_M} = \Lambda \frac{l_M}{S_M}. \quad (3-2)$$

Точка h соответствует максимуму произведения $B_M H_H$ и обычно называется точкой максимума энергетического произведения, так как это произведение входит в формулу, определяющую энергию внешнего поля магнита:

$$W_H = \frac{\Phi_M F_H}{2} = \frac{B_M S_M H_H l_M}{2} = \frac{B_M H_H}{2} V_M, \quad (3-3)$$

где $V_M = S_M l_M$ — объем магнита.

Из сопоставления (рис. 3-1, б и в) следует, что

$$\Phi_M = B_M S_M; \quad F_B = H_B l_M; \quad F_M = H_{CB} l_M. \quad (3-4)$$

При $H = H_{CB}$, $B = 0$, $M = M_0$ и $B = \mu_0 (M - H)$ принимает вид $H_{CB} = M_0$. Поэтому м. д. с. магнита F_M можно определять и по формуле $F_M = M_0 l_M$, где M_0 — намагниченность при $B = 0$.

Порядок расчета магнитной системы при намагничивании магнита отдельно от арматуры

При расчете магнитных систем, у которых магнит намагничивается отдельно от арматуры, необходимо учитывать, что рабочая точка находится не на кривой размагничивания, а на прямой возврата, и поэтому все построения должны вестись относительно прямой возврата.

1. Определяют проводимость $\Lambda_1, \Lambda_2, \dots, \Lambda_n$ между боковыми поверхностями магнита и проводимостью $\Lambda_{\text{раб}}$ его рабочего промежутка.

2. Определяют проводимость $\Lambda_{\text{возд}}$ воздушных путей потока магнита $\Lambda_{\text{возд}} = \Lambda_{\text{раб}} + 0,5(\Lambda_1 + \Lambda_2 + \dots + \Lambda_n)$, где множитель 0,5 учитывает принятое выше допущение о линейности распределения магнитного напряжения вдоль длины магнита.

3. Строят по справочным данным ГОСТ или по аппроксимирующей формуле характеристику размагничивания $B = f(H)$ (рис. 3-2) для выбранного материала магнита. Характеристика должна проходить через точки H_{CB} , B_r и $(BH)_{\text{max}}$, значения которых нормированы ГОСТ.

4. Определяют крутизну наклона¹ характеристики приведенной

¹ Здесь и далее под крутизной наклона понимается тангенс угла наклона соответствующей характеристики.

внешней проводимости магнита без арматуры $\operatorname{tg} \alpha_1 = \Lambda_{\text{возд}} l_M / S_M$ и проводят прямую OA внешней проводимости магнита.

5. Из точки A под углом $\delta = \operatorname{arctg} \mu_v$ (μ_v — коэффициент возврата) проводят прямую магнитного возврата AL .

6. Определяют проводимости рассеяния арматуры $\Lambda_{a1} \dots \Lambda_{an}$, проводимость рабочего промежутка $\Lambda_{\text{раб}}$ и новые значения проводимости рассеяния между боковыми поверхностями магнита $\Lambda'_1 \dots \Lambda'_n$ (если присоединение арматуры существенно изменяет поле рассеяния с боковых поверхностей магнита).

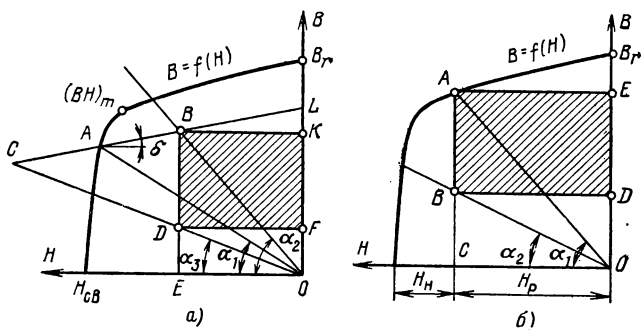


Рис. 3-2. К расчету магнитных систем при намагничивании магнита.

a — отдельно от арматуры; b — совместно с арматурой.

7. Подсчитывают проводимость $\Lambda_{\text{рас}}$ потоков рассеяния магнита с арматурой $\Lambda_{\text{рас}} = \Lambda_{a1} + \Lambda_{a2} + \dots + \Lambda_{an} + 0,5 (\Lambda'_1 + \Lambda'_2 + \dots + \Lambda'_n)$.

8. Определяют общую проводимость всех путей магнитного потока

$$\Lambda_0 = \Lambda_{\text{рас}} + \Lambda_{\text{раб}}.$$

9. Проводят прямую OB приведенной внешней проводимости магнита с арматурой до ее пересечения в точке B с прямой возврата. Крутизна наклона этой прямой $\operatorname{tg} \alpha_2 = \Lambda_0 l_M / S_M$.

10. Определяют индукцию B_M в нейтрали магнита (отрезок BE).

11. Проводят прямую OC проводимости рассеяния магнита с арматурой до ее пересечения в точке C с продолжением прямой возврата. Крутизна наклона этой прямой $\operatorname{tg} \alpha_3 = \Lambda_{\text{рас}} l_M / S_M$.

12. Определяют рабочий магнитный поток

$$\Phi_{\text{раб}} = \frac{\Lambda_{\text{раб}}}{\Lambda_0} B_M S_M.$$

Критерием правильности выбора соотношения основных размеров магнитной системы служит энергия в рабочем промежутке, пропорциональная площади заштрихованного прямоугольника $BDFK$. Максимум эта площадь достигает при условии, что точка

B делит отрезок CL пополам. В этом случае рабочий магнитный поток равен половине потока короткого замыкания после возврата.

Если окажется, что соотношение размеров системы далеко от оптимального, то изменяют размеры рабочего промежутка, выбирая их такими, чтобы точка B делила отрезок CL пополам. При этом можно считать, что изменение размеров рабочего промежутка не отражается на проводимости рассеяния обмотки ($\text{tg } \alpha_3 = \text{const}$).

Порядок расчета магнитной системы при намагничивании магнита совместно с обмоткой

Этот расчет несколько проще, чем в предыдущем случае. После нахождения проводимостей рабочего промежутка $\Lambda_{\text{раб}}$, рассеяния $\Lambda_{\text{рас}}$ и общей Λ_0 и построения по справочным данным ГОСТ или по аппроксимирующей формуле кривой размагничивания проводят (рис. 3-2, б) прямую OA приведенной внешней проводимости с крутизной $\text{tg } \alpha_1 = \Lambda_0 l_m / S_m$ и прямую OB проводимости рассеяния с крутизной $\text{tg } \alpha_2 = \Lambda_{\text{рас}} l_m / S_m$. Затем определяют B_m — индукцию в нейтрале магнита (отрезок AC) и находят рабочий магнитный поток $\Phi_{\text{раб}}$. Критерием правильности выбора соотношения основных размеров магнитной системы служит, как и раньше, энергия в рабочем промежутке, но здесь она пропорциональна площади заштрихованного прямоугольника $ABDE$, причем положение точки A , соответствующее максимуму этой площади, зависит от формы кривой размагничивания и может быть найдено или аналитически или (что обычно значительно проще), графически, путем небольшого числа проб. Смещение точки A в ее оптимальное положение здесь достигают тем же способом, т. е. в основном за счет выбора надлежащих размеров рабочего промежутка.

Расчет магнитных систем с пренебрежимо малым рассеянием

К таким системам относятся устройства, в которых магнит цилиндрической формы окружен близко расположенным ярмом из магнитно-мягкого материала, например магнитные системы измерительных приборов с неподвижным внутрирамочным магнитом (рис. 3-3, а) и магнитные системы электрических машин с цилиндрическим магнитом ротора (рис. 3-3, б). Магниты электрических машин могут быть многополюсными. Если магнит выполнен из изотропного материала, то число полюсов не ограничено. Если же магнит выполнен из анизотропного материала, то он также может быть многополюсным, но практически выполнимыми оказываются лишь четырехполюсные магниты, так как эффективность необходимой здесь термоманитной обработки резко убывает с увеличением числа полюсов.

В двухполюсной системе (рис. 3-3, а) при небольшом размере зазора l_z линии магнитного поля в зазоре можно считать прямыми, имеющими радиальное направление. Предполагая магнит намагниченным равномерно, можно выделить элементарные трубки магнитного поля, как показано на рисунке, и рассматривать намагниченный

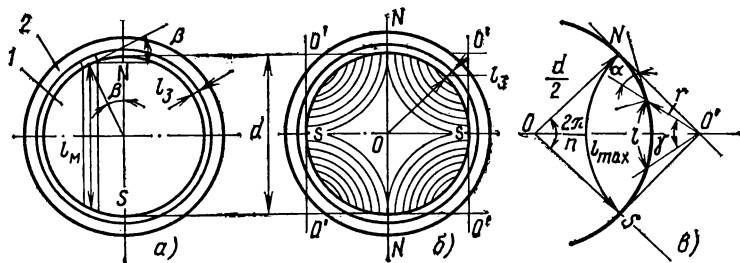


Рис. 3-3. Магнитные системы с пренебрежимо малым рассеянием. а — двухполюсная; б — четырехполюсная; в — к расчету длины силовой линии.

цилиндр как совокупность элементарных магнитов. Длина l_M любого из элементарных магнитов определяется выражением $l_M = d \cos \beta$, где d — диаметр цилиндра. Отношение площади S_M поперечного сечения элементарного магнита к площади S_Π его полюсной поверхности определяется выражением

$$S_M/S_\Pi = \cos \beta. \quad (3-5)$$

Если пренебречь рассеянием с торцов магнита, то проводимость Λ воздушных путей магнитного потока окажется равной проводимости магнитной трубки в верхнем и нижнем зазорах: $\Lambda = \mu_0 S_\Pi / 2l_3$. Отсюда для крутизны наклона линии приведенной внешней проводимости получают на основании (3-2) выражение

$$\Lambda \frac{l_M}{S_M} = \mu_0 \frac{d}{2l_3}. \quad (3-6)$$

Отсутствие в этой формуле параметров элементарного магнита свидетельствует о том, что проницаемость формы у всех элементарных магнитов одинакова и сделанное предположение о равномерном намагничении цилиндра соответствует действительности. Поэтому формула (3-6) пригодна для расчета магнита в целом. Энергия в рабочем зазоре достигает максимума, когда линия внешней проводимости пересекает кривую размагничивания в точке с координатами B_d и H_d , т. е. когда $\operatorname{tg} \alpha = B_d/H_d$. Из формулы (3-6) следует, что

$$\frac{d}{2l_3} = \frac{B_d}{\mu_0 H_d}. \quad (3-7)$$

Закон распределения индукции в воздухе вдоль полюсной дуги вытекает из (3-5). Так как $\frac{B}{B_M} = \frac{S_M}{S_\Pi}$, то

$$B = B_M \cos \beta, \quad (3-8)$$

где B_M — индукция в магните.

В многополюсной системе (рис. 3-3, б) линии магнитного поля в цилиндре можно в первом приближении считать дугами окружностей, центр которых O' лежит на пересечении касательных, проведенных через точки N и S середин соседних полюсов. При этом допущении условие равномерности намагничивания не сохраняется, так как закономерности изменений длины элементарных магнитов и отношения площади их полюсов к площади поперечного сечения здесь не совпадают. Однако кривая распределения индукции вдоль полюсной дуги (построенная с учетом того, что $l_m = \text{var}$) сравнительно мало отличается от синусоиды. Максимальной индукцией обладает здесь элементарный магнит, имеющий наибольшую длину l_{max} . Из геометрических соотношений (рис. 3-3, в) вытекает, что при 2р-полюсной системе длину l_{max} нужно подсчитывать по формуле

$$l_{max} = \pi d \left(\frac{1}{2} - \frac{1}{2p} \right) \text{tg} \frac{T}{2p}. \quad (3-9)$$

Площадь поперечного сечения S_m этого элементарного магнита равна площади S_p его полюса. Поэтому (3-6) принимает вид:

$$\text{tg} \alpha = \mu_0 \frac{l_{max}}{2l_3}, \quad (3-10)$$

где l_3 — длина воздушного зазора.

Для любого другого элементарного магнита радиуса r отношение площади поперечного сечения к площади полюса $S_m/S_p = \cos \alpha$ и (3-2) принимает вид:

$$\text{tg} \alpha = \mu_0 \frac{r\gamma}{2l_3 \cos \alpha}, \quad (3-11)$$

где α — угол наклона полюсной поверхности элементарного магнита; γ — центральный угол его дуги.

Оптимальная форма магнитов из редкоземельных материалов и ферритов

При оптимальной форме магнита рабочая точка на характеристике размагничивания совпадает с точкой максимума удельной энергии, и поэтому

$$\text{tg} \alpha = \frac{B_d}{H_d}.$$

Для закритических материалов $B_d = B_r/2$ и $H_d = H_{cb}/2$, поэтому

$$\text{tg} \alpha = \frac{B_r}{H_{cb}} = \frac{\mu_0}{\theta}, \quad (3-12)$$

где $\theta = \mu_0 H_{cb}/B_r$ — магнитная твердость материала [$\theta < 1$, а у магнитно-твердых материалов (ферритов и РЗМ) $\theta \approx 1$].

Крутизна наклона характеристики приведенной проводимости

$$\operatorname{tg} \alpha = \Lambda_0 \frac{l_M}{S_M}. \quad (3-13)$$

Таким образом,

$$\frac{B_r}{H_{cB}} = \Lambda_0 \frac{l_M}{S_M}.$$

Если магнит не имеет полюсных наконечников и находится в непосредственной близости к рабочему зазору, то рассеянием с боковой поверхности можно пренебречь и считать, что

$$\Lambda_0 = \Lambda_{\text{раб}} = \mu_0 \frac{S_M}{l_3}.$$

Тогда

$$\frac{B_r}{H_{cB}} = \mu_0 \frac{S_M}{l_3} \frac{l_M}{S_M} = \mu_0 \frac{l_M}{l_3}.$$

Для закритических материалов (см. § 1-4)

$$\frac{B_r}{\mu_0} = \frac{H_{cB}}{\theta},$$

и тогда $\frac{l_M}{l_3} = \frac{1}{\theta}.$

Если $\theta \approx 1$, то $l_M = l_3$:

$$\frac{l_M}{l_3} = \frac{1}{\theta} \approx 1. \quad (3-14)$$

Следовательно, оптимальная длина магнита из закритического материала соизмерима с длиной воздушного зазора магнитной системы.

В современных измерительных механизмах догометрического и гальванометрического типа широкое применение нашла униполярная магнитная система стержневого типа (рис. 3-4, а), обеспечивающая большой угол раствора шкалы. Существующая конструкция с магнитом из литых сплавов типа альнико характеризуется применением магнита, длина которого приблизительно равна диаметру. Замена докритического сплава альнико закритическим материалом SmCo_5 , существенно уменьшит длину и массу как самого магнита, так и всей магнитной системы. Приняв ориентировочно магнитную твердость редкоземельного материала $\theta = 0,95$, получим $l_M = 1,05 l_3$. Это позволяет придать магниту вид толстой пленки, покрывающей обе полюсные поверхности магнитопровода (рис. 3-4, б). Внутримачные неподвижные магниты, вероятно, примут вид сэндвича (рис. 3-4, в), состоящего из полюсных наконечников 1 и 2 с цилиндрической полюсной поверхностью и магнита 3, имеющего вид относительно тонкой прослойки. Характерными особенностями такой

системы будут равномерное распределение индукции вдоль полюсной дуги и большой угол раствора шкалы, близкий к 180° . Если длина магнита l_M значительно меньше радиуса R полюсного наколенника, то для площадей полюсной поверхности S_n и поперечного сечения магнита S_M можно использовать приближенные формулы: $S_n = \pi R h$ и $S_M = 2 R h$, где h — размер, перпендикулярный к плоскости

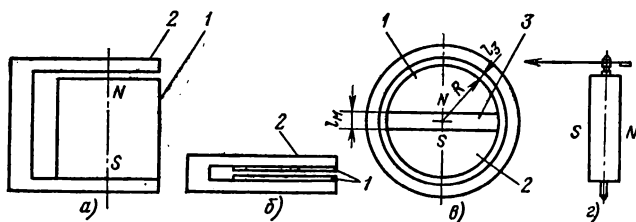


Рис. 3-4. Оптимальная форма магнитов из докритического и закритического материалов.

a и *б* — стержневые магнитные системы из докритического и закритического материалов; *в* и *г* — неподвижный и подвижный внутрирамочные магниты из закритического материала.

чертежа. Если пренебречь рассеянием магнитного потока, то $\Lambda = \mu_0 \frac{S_n}{l_a}$. Отсюда по (3-3) получают

$$\mu_0 \frac{S_n l_M}{S_M l_a} = \frac{\mu_0}{\theta}. \quad \text{Тогда}$$

$$l_M = \frac{4}{\pi \theta} l_a \approx 1,5 l_a. \quad (3-15)$$

Следовательно, в этом случае оптимальная длина магнита из закритического материала соизмерима с длиной рабочего зазора.

Внутрирамочные подвижные магниты (рис. 3-4, г), а также стрелки компасов целесообразно будет делать в форме цилиндров, намагниченных по диаметру. При такой форме момент инерции имеет наименьшее возможное значение, а магнитный момент практически такой же, как и при аксиальном намагничивании.

3-3. РАСЧЕТ МАГНИТОВ БЕЗ АРМАТУРЫ МЕТОДОМ В. К. АРКАДЬЕВА (методом размагничивающего фактора¹)

Данный метод применим к магнитам, у которых вектор намагниченности одинаков по модулю и направлению во всем объеме магнита. Из тел конечных размеров этому требованию отвечает

¹ В настоящее время термин «размагничивающий фактор» заменен термином «коэффициент размагничивания», но название метода сохранилось.

только эллипсоид, намагниченный вдоль одной из осей. Постоянство вектора намагниченности сохраняется здесь при любом материале, в том числе и магнитно-анизотропном (если ось анизотропии совпадает с полярной осью эллипсоида).

Если ферромагнитный эллипсоид находится в равномерном внешнем поле с индукцией B_0 , то он намагничивается и индукция B в теле эллипсоида определяется формулой

$$B = B_0 + B_i, \quad (3-16)$$

где $B_i = \mu_0 M$ — внутренняя индукция, обусловленная намагничиванием эллипсоида.

В отсутствие внешнего поля $B_0 = 0$ магнитные свойства постоянного магнита определяются только внутренней индукцией B_i . Индукция B_i зависит как от намагниченности M , так и от формы (соотношения размеров) эллипсоида:

$$B_i = n\mu_0 M, \quad (3-17)$$

где n — коэффициент пропорциональности, зависящий только от формы эллипсоида ($n < 1$).

Вместе с тем на основании формулы $B = \mu_0(M + H)$ имеем:

$$B_i = \mu_0(M + H_i), \quad (3-18)$$

где H_i — напряженность внутреннего поля, вызванного намагниченностью M .

Из формул (3-17) и (3-18) следует, что

$$H_i = -(1 - n)M = -NM,$$

где $N = 1 - n$ — коэффициент размагничивания эллипсоида, зависящий только от его формы.

Знак минус свидетельствует здесь о том, что внутренняя напряженность поля H_i является здесь размагничивающей. Поэтому для размагничивающего поля H_p справедливо выражение

$$H_p = -H_i = NM = M/m, \quad (3-19)$$

где $m = 1/N$ — проницаемость формы.

Намагниченность M при помещении магнита во внешнее равномерное намагничивающее поле напряженностью H_0 определяется напряженностью результирующего намагничивающего поля внутри эллипсоида:

$$H_H = H_0 - H_p. \quad (3-20)$$

Графическим выражением уравнения (3-19) является прямая $M = f(H_p)$, крутизна наклона которой к оси H составляет

$$\operatorname{tg} \alpha = \frac{M}{H_p} = \frac{1}{N} = m.$$

Так как проницаемость m зависит только от формы (соотношения размеров) эллипсоида, то эта прямая является магнитной характеристикой проницаемости формы. Если по оси ординат отложены зна-

чения $\mu_0 M$, то крутизна наклона характеристики проницаемости формы составит:

$$\operatorname{tg} \alpha = \frac{\mu_0 M}{H_p} = \mu_0 m. \quad (3-21)$$

Проницаемость формы эллипсоида вращения (с полуосями a , b и c) находят из выражений:

для вытянутого эллипсоида ($a > b$, $c = b$)

$$m_a = \frac{\gamma^3}{(1 - \gamma^2) \left(0,5 \ln \frac{1 + \gamma}{1 - \gamma} - \gamma \right)}, \quad (3-22)$$

где $\gamma = \sqrt{1 - (b/a)^2}$;

для шара ($a = b = c$)

$$m = 3; \quad (3-23)$$

для сплющенного эллипсоида ($a < b$, $c = b$)

$$m_a = \frac{\beta^3}{(1 + \beta^2) (\beta - \operatorname{arctg} \beta)}, \quad (3-24)$$

где $\beta = \sqrt{(b/a)^2 - 1}$.

Проницаемость формы m_b и m_c находят из выражения

$$m_b = m_c = \frac{2m_a}{m_a - 1}, \quad (3-25)$$

пригодного как для вытянутого, так и для сплющенного эллипсоидов.

Расчет проницаемости формы m для магнитов, форма которых отлична от эллипсоида, ведется по эмпирическим формулам или графикам.

Проницаемость формы цилиндров и призм находят по экспериментальным кривым Томпсона и Мосса с поправкой Аркадьева [1-1]. Кривые, снятые баллистическим методом, определяют магнитное состояние в нейтральной зоне образца. Они выражают зависимость проницаемости формы m стержневого магнита от его относительной длины λ , определяемой по формуле

$$\lambda = l_m / \sqrt{S_m}, \quad (3-26)$$

где l_m — длина магнита; S_m — площадь поперечного сечения магнита.

На рис. 3-5 приведены семейство кривых для призм прямоугольного сечения с соотношением сторон от 10:1 до 1:1, кривая для цилиндра и кривая для эллипсоида вращения.

Рабочий диапазон относительной длины λ современных стержневых магнитов лежит в пределах от $\lambda=1$ до $\lambda=10$. В этих пределах кривые, представленные на рис. 3-5, хорошо аппроксимируются формулами:

для сплошного цилиндра [3-10]

$$m_{\text{ц}} = \frac{(1,06\lambda)^2 - 1}{\frac{1,06\lambda}{\sqrt{(1,06\lambda)^2 - 1}} \ln [1,06\lambda + \sqrt{(1,06\lambda)^2 - 1}] - 1} + 0,9\lambda e^{-0,2\lambda}, \quad (3-27)$$

для полого цилиндра [3-4]

$$m_{\text{ц.п}} = m_{\text{ц}} \frac{d_{\text{н}}^2}{d_{\text{нар}}^2 - d_{\text{вн}}^2}, \quad (3-28)$$

где $d_{\text{нар}}$ и $d_{\text{вн}}$ — наружный и внутренний диаметры цилиндра; для призмы с отношением сторон, равным n [3-10]:

$$m_{\text{пр}} = m_{\text{ц}} + n \cdot 0,144\lambda e^{-0,025\lambda}. \quad (3-29)$$

К стержневым магнитам принято относить и короткие цилиндры, намагниченные по диаметру. Проницаемость формы такого цилиндра подсчитывают по формуле [3-9]

$$m = 2 + \frac{d_{\text{м}}}{l_{\text{м}}}, \quad (3-30)$$

где $d_{\text{м}}$ и $l_{\text{м}}$ — диаметр и длина магнита.

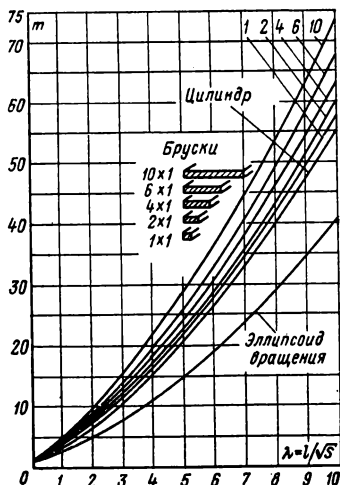


Рис. 3-5. Проницаемость формы стержневых магнитов.

Для шара и куба $m=3$.

Исследование свойств магнитов в форме эллипсоидов важно потому, что из всех тел конечных размеров только для эллипсоидов расчетные формулы математически обоснованы, независимы от магнитной твердости материала магнита и не требуют введения

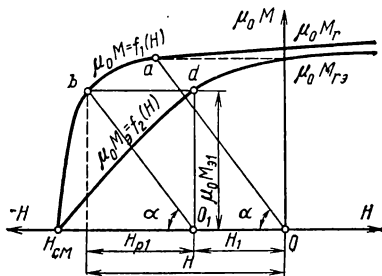


Рис. 3-6. Построение кривой размагничивания эллипсоида.

различных допущений, необходимых при расчете магнитов других форм. По этой причине значения параметров эллипсоидальных магнитов можно использовать в качестве критериев для оценки правильности расчета магнитов других форм.

Построение кривых размагничивания эллипсоида по внутренней индукции. Известными считаются кривая размагничивания $\mu_0 M = f_1(H)$ материала, из которого изготовлен эллипсоид, и проницаемость t его формы. Для построения любой точки искомой характеристики размагничивания эллипсоида $\mu_0 M_a = f(H)$ нужно из начала координат O (рис. 3-6) провести магнитную характеристику проницаемости формы, т. е. прямую oa , крутизна наклона которой к оси абсцисс $\operatorname{tg} \alpha = \mu_0 t$. Воздействие внешнего размагничивающего поля H_1 равносильно смещению начала координат влево по оси абсцисс, поэтому из точки O_1 проводят прямую $O_1 b$, параллельную прямой oa до пересечения ее в точке b с характеристикой $\mu_0 M = f_1(H)$. Проведя из точек O_1 и b прямые, параллельные осям координат, получают точку d их пересечения, лежащую на искомой кривой $\mu_0 M_a = f_2(H) = f_1(H + H_p)$, так как ее абсцисса H отвечает уравнению (3-20), имеющему для второго квадранта вид $H = H_1 + H_{p1}$, а ордината $\mu_0 M_{a1}$ является функцией напряженности внешнего поля H_1 .

Кривые $\mu_0 M = f_1(H)$ и $\mu_0 M_a = f_2(H)$ пересекают ось абсцисс в одной и той же точке. Поэтому у эллипсоида коэрцитивная сила по намагниченности H_{cm} такая же, как у материала, из которого он сделан. Ось ординат кривая $\mu_0 M_a = f_2(H)$ пересекает ниже, чем кривая $\mu_0 H = f_1(H)$. Поэтому остаточная внутренняя индукция эллипсоида $\mu_0 M_{r_a}$ меньше остаточной внутренней индукции его материала $\mu_0 M_r$. Из рис. 3-6 следует, что для нахождения $\mu_0 M_{r_a}$ нет необходимости строить кривую $\mu_0 M_a = f_2(H)$. Достаточно провести характеристику проницаемости формы oa до пересечения ее в точке a с кривой размагничивания материала эллипсоида $\mu_0 M = f_1(H)$. Тогда ордината точки a определит искомое значение $\mu_0 M_{r_a}$. Чем короче эллипсоид, тем меньше проницаемость его формы и тем сильнее смещение петли гистерезиса по намагниченности. Поэтому для доведения до магнитного насыщения коротких эллипсоидов (шара, сфероида) требуются поля, напряженность которых значительно превосходит напряженность H_s насыщения их материала.

Соотношение между кривыми размагничивания $\mu_0 M = f_1(H)$ и $B = f_2(H)$. При расчете постоянных магнитов в случаях, когда задана кривая $\mu_0 M = f_1(H)$, часто приходится делать переход от кривой размагничивания $\mu_0 M = f_1(H)$ к кривой размагничивания по индукции $B = f_2(H)$. Этот переход производят на основании (3-18).

Если известна кривая размагничивания $\mu_0 M = f_1(H)$, то для построения (рис. 3-7) искомой кривой $B = f_2(H)$ проводят характеристику магнитного поля в вакууме $B_v = \mu_0 H$ (прямая os , крутизна наклона которой $\operatorname{tg} \gamma = B_v/H = \mu_0$) и из ординат кривой $\mu_0 M = f_1(H)$ вычитают ординаты прямой os . Например, для нахождения ординаты точки b искомой кривой $B = f_2(H)$ из ординаты точки a (отрезок ea) вычитают отрезок $ab = ek$. Если при этом точка a лежала на пересечении кривой размагничивания $\mu_0 M = f_1(H)$ характеристикой проницаемости формы oa , то соответствующая ей точка b лежит на пересечении кривой размагничивания $B = f_2(H)$ с линией проницаемости

формы по индукции ob . Крутизна наклона линии ob к оси абсцисс определяется выражением

$$\operatorname{tg} \beta = \frac{be}{oe} = \frac{ae - ke}{oe} = \operatorname{tg} \alpha - \operatorname{tg} \gamma = \mu_0 (m - 1). \quad (3-31)$$

Из рис. 3-7 следует, что ось ординат кривые $B=f_2(H)$ и $\mu_0 M=f_1(H)$ пересекают в одной и той же точке $(\mu_0 M_r = B_r)$, а ось абсцисс кривая $B=f_2(H)$ пересекает ближе к началу координат, чем кривая $\mu_0 M=f_1(H)$. Следовательно, коэрцитивная сила по индукции H_{cb} всегда меньше коэрцитивной силы по намагниченности H_{cm} . Так как $\beta < \alpha$, то остаточная индукция намагниченного эллипсоида B_{r3} меньше его остаточной внутренней индукции $\mu_0 M_{r3}$.

Построение кривой размагничивания эллипсоида по индукции. Способ построения кривой размагничивания эллипсоида $B_3=f_3(H)$ зависит от того, какая из кривых $\mu_0 M=f_1(H)$ или $B=f_2(H)$ является известной. Если известна кривая $\mu_0 M=f_1(H)$, то для построения кривой $B_3=f_3(H)$ можно воспользоваться формулой $B=\mu_0(M-H)$, имеющей для материала постоянного магнита вид:

$$B = \mu_0 M - \mu_0 (H + H_p). \quad (3-32)$$

Для построения нужно (рис. 3-8) провести характеристику магнитной индукции в вакууме (прямая oA) и, задавшись значением H (отрезок oa), провести из точки a характеристику проницаемости формы по намагниченности до пересечения ее с кривой $\mu_0 M=f_1(H)$ в точке b . Далее, опустив из точки b перпендикуляр на ось абсцисс, нужно отложить на нем отрезок bc , равный отрезку ea . Тогда точка c будет принадлежать кривой $B=f_2(H)$, показанной пунктиром, так как $B=\mu_0 M - \mu_0 (H + H_p)$. Если из точек a и c провести прямые ad и cd , параллельные осям координат, то точка d их пересечения будет принадлежать искомой характеристике $B_3=f_3(H)$.

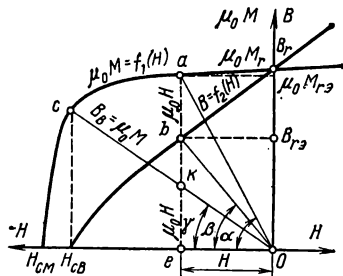


Рис. 3-7. Переход от кривой размагничивания вещества $\mu_0 M$ к кривой размагничивания по B .

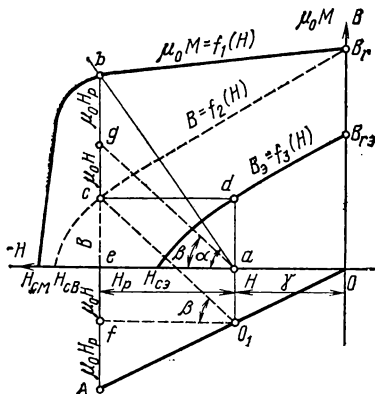


Рис. 3-8. Построение кривой размагничивания эллипсоида по B , если известна кривая размагничивания по $\mu_0 M$.

Если из точки a , кроме линии проницаемости формы по намагниченности ab , провести линию проницаемости формы по индукции ag , то она пересечет отрезок bc в точке g , ордината которой $eg = \mu_0 M - \mu_0 H_p$. Следовательно, длина отрезка gc равна $\mu_0 H$ и сторона co_1 параллелограмма o_1cga параллельна линии проницаемости формы по индукции ag . Это обстоятельство позволяет строить кривую $B_a = f_3(H)$ по кривой размагничивания материала эллипсоида $B = f_2(H)$. Для построения (рис. 3-9) искомой кривой задаются значением H (отрезок Oa) и из точки a

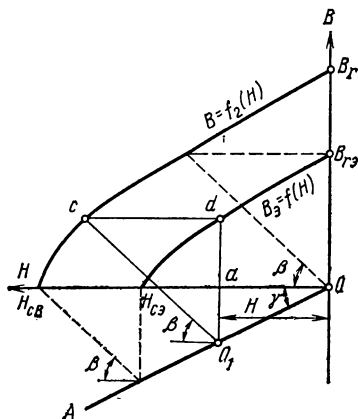


Рис. 3-9. Построение кривой размагничивания эллипсоида по B , если известна кривая размагничивания вещества по B .

(шар, сфероид) размагничиваются и даже перемагничиваются в полях, напряженность которых H заметно меньше величины коэрцитивной силы их материала $H_{св}$.

Форма эллипсоида, обеспечивающая максимум энергии внешнего поля магнита. Энергия W внешнего поля эллипсоидального магнита выражается формулой

$$W = V \frac{B_m H_n}{2}, \quad (3-33)$$

где V — объем эллипсоида, а B_m и H_n — индукция в нейтрالي и введенная к полюсу напряженность наружной части поля магнита.

Максимум энергии наступает при условии $B_m H_n = B_d H_d$, где B_d и H_d — координаты точки максимума энергетического произведения на кривой размагничивания материала магнита. Проницаемость фор-

материала, из которого он выполнен. Это различие тем заметнее, чем меньше угол β наклона прямой проницаемости формы по индукции, т. е. чем меньше величина m проницаемости формы эллипсоида. Поэтому короткие эллипсоиды

мы m_d , при которой линия проницаемости формы пересекает кривую $B=f_2(H)$ в точке с координатами B_d и H_d , находят из (3-31):

$$m_d = \frac{B_d}{\mu_0 H_d} + 1. \quad (3-34)$$

Зная параметры материала B_d и H_d и вычислив значение m_d , находят искомое соотношение полуосей $(a/b)_{max}$ по графику (рис. 3-10) или по формулам (3-22) — (3-25).

Сравнение параметров цилиндрического и эллипсоидального магнитов. Выше отмечалось, что параметры эллипсоидального магнита можно использовать в качестве критерия для оценки магнитов других форм. В качестве примера приведем сравнение эллипсоидального и цилиндрического магнитов одинакового объема $V = V_{\text{ц}} = V_{\text{э}}$ и с одинаковым значением проницаемости формы $m = m_{\text{ц}} = m_{\text{э}}$. Критерием будет служить отношение магнитных потоков цилиндра и эллипсоида. Пусть отношение полуосей эллипсоида составляет $a/b=10$. В этом случае расчет по (3-22) дает значение $m_{\text{э}}=49,25$. По кривой (см. рис. 3-5) находим, что значение $m_{\text{э}}=49,25$ соответству-

ет $\lambda_{\text{ц}} = \frac{l}{r \sqrt{\pi}} = 9,2$, где r и l —

радиус и длина цилиндра. Из усло-

вия равенства объемов имеем $r^2 l = \frac{4}{3} ab^2$. Совместное решение этих

уравнений дает $r/b=0,935$. Но при одинаковой индукции $\frac{\Phi_{\text{ц}}}{\Phi_{\text{э}}} = \frac{r^2}{b^2} =$

$=0,874$. Следовательно, магнитный поток у цилиндра оказался на 12,6% меньше, чем у эллипсоида такого же объема. Если бы в качестве критерия было взято отношение магнитных моментов, то расхождение стало бы еще более заметным, так как у эллипсоида намагниченность M одинакова во всех точках, а у цилиндров, выполненных из традиционных материалов, например из ЮН14ДК24, она заметно убывает от середины к концам магнита.

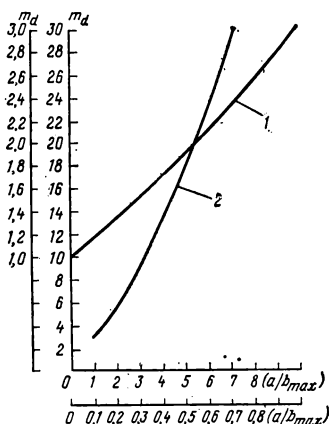


Рис. 3-10. К определению формы эллипсоида, обеспечивающей максимум энергии его внешнего поля.

1 — значения m_d в диапазоне $(a/b)_{max}=0 \div 1$; 2 — значения m_d в диапазоне $(a/b)_{max}=1 \div 7$.

3-4. РАСЧЕТ МАГНИТОВ БЕЗ АРМАТУРЫ МЕТОДОМ ЭКВИВАЛЕНТНОГО СОЛЕНОИДА

Метод эквивалентного соленоида основан на возможности рассматривать постоянный магнит как однослойный соленоид, имеющий очень тонкую обмотку, по которой протекает намагничивающий ток i . Линейная плотность тока (м. д. с., приходящаяся на единицу длины соленоида) должна быть такой, чтобы поле эквивалентного соленоида точно соответствовало полю данного магнита. Условием эквивалентности является равенство магнитных моментов соленоида и магнита.

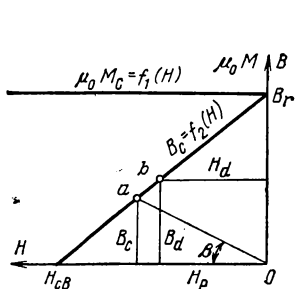


Рис. 3-11. Характеристика размагничивания соленоида по $\mu_0 M$ и B .

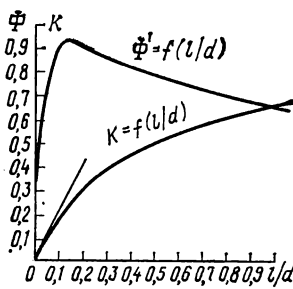


Рис. 3-12. К вычислению магнитного потока соленоида.

Магнитный момент P_c соленоида равен сумме магнитных моментов всех его витков:

$$P_c = wiS = \omega_0 i l S = \omega_0 i V_c, \quad (3-35)$$

где l — длина соленоида; $\omega_0 = w/l$ — число витков на единицу длины соленоида; S — площадь, охватываемая витком; V_c — объем соленоида.

Магнитный момент P_m магнита, измеряемый в тех же единицах ($A \cdot m^2$), выражается формулой

$$P_m = M_m V_m, \quad (3-36)$$

где V_m — объем магнита; M_m — его намагниченность.

Так как $V_c = V_m$, то условие эквивалентности $P_c = P_m$ приводит к выражению

$$i\omega_0 = \frac{i\omega}{l} = M_m. \quad (3-37)$$

Следовательно, линейную плотность тока $i\omega/l$ можно рассматривать как намагниченность соленоида

$$M_c = \frac{i\omega}{l}. \quad (3-38)$$

Поскольку $i\omega/l = \text{const}$, то и намагниченность M_c также должна быть одинаковой во всех точках магнита. Это условие соблюдается точно только в магнитах эллипсоидальной формы, а у магнитов других форм соблюдается тем точнее, чем выше магнитная твердость θ материала. Поэтому на практике метод эквивалентного соленоида следует использовать только при расчете магнитов, выполняемых из материалов с магнитной твердостью $\theta > 0,8$, т. е. ферритов и РЗМ.

Магнитные характеристики и параметры эквивалентного соленоида. Намагниченность соленоида $M_c = \text{const}$. Поэтому (рис. 3-11) характеристика $\mu_0 M_c = f_1(H)$ у соленоида параллельна оси абсцисс, а кривая размагничивания по индукции $B_c = f_2(H)$ представляет собой прямую, отсекающую на осях отрезки $H_{св}$ и B_r , причем $\mu_0 H_{св} = B_r$. Индуктивность L соленоида конечных размеров определяют согласно [3-3] по формуле

$$L = K_L \mu_0 \frac{\omega^2}{l} S = K_L \mu_0 \frac{\omega^2}{l^2} V_c, \quad (3-39)$$

где K_L — коэффициент, определяемый из табл. 3-1 или графика (рис. 3-12).

Таблица 3-1

Коэффициент K_L и проницаемость формы соленоида m в функции отношения l/d

l/d	0,05	0,1	0,2	0,5	1,0	1,5	2,0	3,0	4,0	5,0	10
K_L	0,1	0,2	0,31	0,5	0,66	0,73	0,80	0,84	0,88	0,91	0,96
m	1,11	1,25	1,45	2,0	3,0	3,7	5,0	6,0	8,3	11	25
Φ'	0,737	0,920	0,907	0,794	0,66	0,56	0,50	0,40	0,35	0,31	0,21

Отсюда для магнитного потока получается выражение

$$\Phi_c = \frac{Li}{\omega} = K_L \mu_0 \frac{i\omega}{l} S = K_L \mu_0 M_c S. \quad (3-40)$$

Индукция в разных точках цилиндрического соленоида неодинакова: на концах она меньше, чем в середине, а в центре сечения меньше, чем на периферии. Поэтому под расчетным значением индукции соленоида нужно понимать

$$B_c = \frac{\Phi_c}{S} = K_L \mu_0 M_c. \quad (3-41)$$

Проницаемость формы m соленоида можно найти из выражения $\mu_0(m-1) = B_c/H_p$, где H_p — напряженность размагничивающего поля

соленоида, определяется, как и в случае магнита, из формулы $H_p = M_c/m$. Отсюда, учитывая (3-41), получают уравнение $m-1=K_L m$. Следовательно,

$$m = \frac{1}{1-K_L}. \quad (3-42)$$

Для крутизны c_B (рис. 3-11) наклона линии проницаемости формы oa получается выражение

$$c_B = \operatorname{tg} \beta = \frac{B_c}{H_p} = \mu_0 (m-1) = \mu_0 \frac{K_L}{1-K_L}. \quad (3-43)$$

Соленоид с максимальной энергией. Энергию W внешнего поля соленоида можно определить так же, как и у магнита, по формуле

$$W = V \frac{BH}{2}. \quad (3-44)$$

Максимум W наступает при условии $BH = B_d H_d$ (точка b на рис. 3-11). Так как у соленоида $B_d = B_r/2$, $H_d = H_{cB}/2$ и, кроме того, $\mu_0 H_{cB} = B_r$, то формуле (3-44) можно придать вид

$$W_{max} = V \frac{B_r^2}{8\mu_0}. \quad (3-45)$$

Для получения максимума энергии необходимо подобрать такое значение l/d , при котором $B_c = B_r/2$; но согласно (3-41) $B_c = K_L B_r$. Отсюда $K_L = 0,5$. Из табл. 3-1 следует, что при этом $l/d = 0,5$. Следовательно, цилиндрический соленоид заданного объема будет обладать наибольшей энергией внешнего поля, когда его длина составит половину диаметра.

Соленоид с максимальным магнитным потоком. Задача сводится к нахождению значения $\lambda = l/d$, при котором у соленоида заданного объема V_c и заданной M_c магнитный поток максимален. Поэтому в (3-40) нужно величину S выразить через V . Площадь $S = \pi d^2/4$, объем $V = l\pi d^2/4$. Отсюда $d = \sqrt[3]{4S/\pi} = \sqrt[3]{4V/\pi\lambda}$. Решая это уравнение относительно S , получают:

$$S = \sqrt[3]{\frac{\pi}{4} \frac{V^2}{\lambda^2}}. \quad (3-46)$$

Тогда

$$\Phi_c = K_L \mu_0 M_c \sqrt[3]{\frac{\pi}{4} \frac{V^2}{\lambda^2}} = \frac{c K_L}{\sqrt[3]{\lambda^2}} = c \Phi', \quad (3-47)$$

где $c = \mu_0 M_c \sqrt[3]{\frac{\pi V^2}{4}}$; $\Phi' = K_L \lambda^{-2/3}$.

Из (3-47) следует, что максимум потока совпадает с максимумом Φ' . Значения Φ' приведены в табл. 3-1, а кривая $\Phi' = f(l/d)$ — на рис. 3-12. Из рис. 3-12 следует, что максимум потока Φ_c наступает при $l/d = 0,14$. Следовательно, соленоид, обладающий максимальным магнитным потоком, не обладает одновременно и максимальной энергией внешнего магнитного поля.

Расчет поля по оси цилиндрического магнита. Индукция B_x в точке x на оси эквивалентного соленоида (рис. 3-13):

$$B_x = \frac{\mu_0 i \omega_0}{2} (\cos \alpha_1 - \cos \alpha_2). \quad (3-48)$$

При переходе к магниту на основании (3-37) принимаем $i \omega_0 = M_M$: отсюда (3-48) принимает вид:

$$B_x = \frac{\mu_0 M_M}{2} (\cos \alpha_1 - \cos \alpha_2) = \\ = \frac{\mu_0 M_M}{2} \left[\frac{l - 2x}{\sqrt{d^2 + (l - 2x)^2}} + \frac{l + 2x}{\sqrt{d^2 + (l + 2x)^2}} \right]. \quad (3-49)$$

Индукция в центре магнита ($x=0$)

$$B_{\text{ц}} = \mu_0 M_M \frac{l}{\sqrt{l^2 + d^2}}, \quad (3-50)$$

а индукция в центре торца магнита ($x=l/2$)

$$B_{\text{т}} = \mu_0 M_M l / \sqrt{4l^2 + d^2}. \quad (3-51)$$

Расчет поля на оси трубчатого магнита. Поле трубчатого магнита можно на основании принципа суперпозиции рассматривать как результирующее поле двух коаксиальных соленоидов, имеющих одинаковую длину l (при разных диаметрах d_1 и d_2) и встречное направление токов в обмотках. Отсюда индукцию B_x в точке x на оси соленоидов можно вычислить как разность индукций B_{x1} и B_{x2} , создаваемых в точке x наружным и внутренним соленоидами. На основании (3-49) получают выражение

$$B_x = \frac{\mu_0 M_M}{2} \left[\frac{l - 2x}{\sqrt{d_1^2 + (l - 2x)^2}} + \frac{l + 2x}{\sqrt{d_1^2 + (l + 2x)^2}} - \right. \\ \left. - \frac{l - 2x}{\sqrt{d_2^2 + (l - 2x)^2}} - \frac{l + 2x}{\sqrt{d_2^2 + (l + 2x)^2}} \right], \quad (3-52)$$

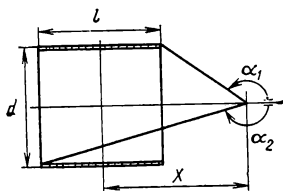


Рис. 3-13. К расчету индукции на ось эквивалентного соленоида.

а для индукции в центре ($x=0$) — выражение

$$B_{\text{ц}} = \mu_0 M_{\text{м}} \left[1 / \sqrt{1 + \left(\frac{d_1}{l}\right)^2} - 1 / \sqrt{1 + \left(\frac{d_2}{l}\right)^2} \right]. \quad (3-53)$$

Отрицательные члены в (3-52) свидетельствуют о том, что у трубчатого магнита в отличие от сплошного индукция на оси может иметь разный знак и, следовательно, существует точка, где $B_x=0$. Из графика (рис. 3-14), построенного для трубчатого магнита, имеющего $d_1=2d_2=l$, следует, что нулевая точка лежит вблизи торца магнита и что поле в канале трубчатого магнита

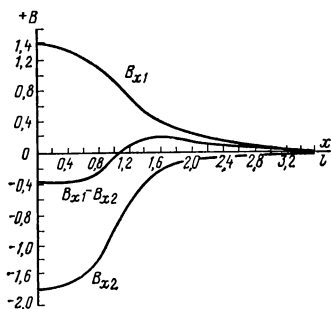


Рис. 3-14. Распределение индукции на оси трубчатого магнита.

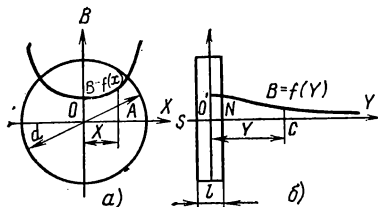


Рис. 3-15. Распределение индукции по радиусу (а) и вдоль оси (б) дискового магнита.

более равномерное, чем в теле сплошного магнита такого же наружного диаметра. Проницаемость формы у полого цилиндра $m_{\text{пол}}$ выражается через проницаемость формы сплошного цилиндра формулой

$$m_{\text{пол}} = m_{\text{спл}} \frac{1}{1 - (d_{\text{вн}}/d_{\text{нар}})^2}, \quad (3-54)$$

где $d_{\text{вн}}$ и $d_{\text{нар}}$ — внутренний и наружный диаметры; $m_{\text{спл}}$ — проницаемость формы сплошного цилиндра, определяемая по формуле (3-42).

Расчет магнита в форме диска. Если магнит (рис. 3-15) имеет форму короткого цилиндра, то эквивалентный соленоид приближается по форме к круглому витку, обтекаемому током i . Если $d \gg l$, то формулы индукции в центре соленоида и эквивалентного ему витка должны совпадать:

$$B_{\text{ц}} = \mu_0 M_{\text{м}} l/d = \mu_0 i/d. \quad (3-55)$$

Отсюда $i = M_{\text{м}} l$. Вследствие малости отношения l/d индукция на полюсах дискового магнита такая же, как и в его средней плоскости. Поэтому индукция B_A в точке А на расстоянии x от центра торца

диска O определяется, как и у эквивалентного витка, по формуле

$$B_A = \frac{2\mu_0 M_M l}{\pi d (1 - k^2)} E(k), \quad (3-56)$$

где $k=2x/d$; $E(k)$ — полный эллиптический интеграл второго рода (табл. 3-2).

Таблица 3-2

Значения полного эллиптического интеграла второго рода

K	0	0,1	0,2	0,3	0,4	0,5	0,6	0,7	0,8	0,9	1,0
$E(K)$	$\pi/2$	1,567	1,554	1,534	1,504	1,467	1,416	1,351	1,277	1,165	1,0

Зависимость $B=f(x)$ при $2\mu_0 M_M l / (\pi d) = 1$ представлена на рис. 3-15, а.

Индукция B_{Π} в центре торца диска ($x=0$) выражается формулой

$$B_{\Pi} = \mu_0 M_M l / d, \quad (3-57)$$

а индукция B_y в точке y , лежащей на полярной оси магнита на расстоянии y от его центра O' , выражается формулой

$$B_y = \frac{\mu_0 M_M l}{d (1 + 4y^2/d^2)^{3/2}}. \quad (3-58)$$

Кривая $B_y=f(y)$ представлена на рис. 3-15, б.

По данным табл. 3-1 зависимость $K_L=f(l/d)$ в пределах $0 < l/d < 0,1$ имеет характер, близкий к линейному (см. также рис. 3-12). Поэтому в указанных пределах можно принять

$$K_L = 2l/d. \quad (3-59)$$

Отсюда для дисков формулы (3-40) и (3-41) принимают вид:

$$\Phi = 2l\mu_0 M_M S/d; \quad (3-60)$$

$$B_{\text{ср}} = 2l\mu_0 M_M/d. \quad (3-61)$$

Из сопоставления (3-50) и (3-42) следует, что проницаемость формы m у дисков можно определять по формуле

$$m = \frac{1}{1 - 2l/d}. \quad (3-62)$$

Расчет магнита в форме шайбы. Если толщина шайбы не превышает 0,1 от ее внутреннего диаметра d_2 , то расчетные формулы (3-53) и (3-54) трубчатого магнита можно значительно упростить и подсчитывать индукцию в центре шайбы по формуле

$$B_{\Pi} = \mu_0 M_M l (1/d_1 - 1/d_2), \quad (3-63)$$

а проницаемость формы m находить из выражения

$$m = \frac{d_1^3}{(d_1^2 - d_2^2)(d_1 - 2l)} \approx \frac{d_1^2}{d_1^2 - d_2^2}. \quad (3-64)$$

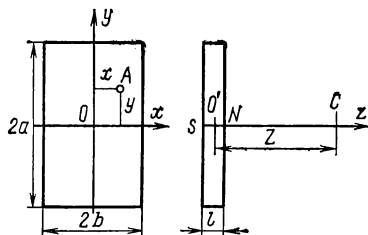


Рис. 3-16. К расчету магнита в форме прямоугольной пластинки.

Расчет магнита в форме прямоугольной пластины. Магнит (рис. 3-16) имеет форму прямоугольной пластинки, толщина которой l мала по сравнению с ее размерами $2a$ и $2b$. В этом случае эквивалентный соленоид превращается в прямоугольный виток. Индукция B_A в произвольной точке A с координатами x и y , лежащей в плоскости витка ($z=0$), выражается формулой

$$B_A = \frac{\mu_0 M_M l}{4\pi} \left[\frac{\sqrt{(b-x)^2 + (a-y)^2}}{(b-x)(a-y)} + \frac{\sqrt{(a-y)^2 + (b+x)^2}}{(a-y)(b+x)} + \right. \\ \left. + \frac{\sqrt{(a+y)^2 + (b+x)^2}}{(a+y)(b+x)} + \frac{\sqrt{(b-x)^2 + (a+y)^2}}{(b-x)(a+y)} \right]. \quad (3-65)$$

Индукция в центре магнита ($x=y=z=0$) выражается формулой

$$B_{\text{ц}} = \frac{\mu_0 M_M l}{\pi} \frac{\sqrt{a^2 + b^2}}{ab}. \quad (3-66)$$

Индукцию в точке C , расположенной на полярной оси на расстоянии z от центра магнита ($x=y=0$), определяют по формуле

$$B_C = \frac{\mu_0 M_M lab}{\pi \sqrt{a^2 + b^2 + z^2}} \left(\frac{1}{a^2 + z^2} + \frac{1}{b^2 + z^2} \right). \quad (3-67)$$

Индуктивность прямоугольного витка, выполненного из круглой проволоки, радиус которой r_0 мал по сравнению с размерами $2a$ и $2b$ сторон витка, выражается формулой

$$L = \frac{\mu_0}{\pi} \left[a \ln \frac{2ab}{r_0(a + \sqrt{a^2 + b^2})} + b \ln \frac{2ab}{r_0(b + \sqrt{a^2 + b^2})} - \right. \\ \left. - 2(a + b - \sqrt{a^2 + b^2}) \right]. \quad (3-68)$$

В этой формуле неопределенным является радиус r_0 проволоки эквивалентного витка. В первом приближении можно принять

$r_0 = l/2$. Подставляя значение L в формулу (3-40), находят (при $r_0 = l/2$).

$$\Phi = \frac{\mu_0 M_M l}{\pi} \left[a \ln \frac{4ab}{l(a + \sqrt{a^2 + b^2})} + \right. \\ \left. + b \ln \frac{4ab}{l(b + \sqrt{a^2 + b^2})} - 2(a + b - \sqrt{a^2 + b^2}) \right]; \quad (3-69)$$

$$B_{cp} = \Phi / 4ab. \quad (3-70)$$

Отсюда на основании (3-41) получают сначала значение K_L , а затем из (3-42) — выражение проницаемости формы m пластинчатого магнита

$$m = \frac{4\pi ab}{4\pi ab - l \left[a \ln \frac{4ab}{l(a + \sqrt{a^2 + b^2})} + \right.} \rightarrow \\ \rightarrow \left. \frac{4\pi ab}{+ b \ln \frac{4ab}{l(b + \sqrt{a^2 + b^2})} - 2(a + b - \sqrt{a^2 + b^2})} \right]. \quad (3-71)$$

Соленоид, эквивалентный намагниченному эллипсоиду вращения. Форма и размеры соленоида должны соответствовать форме и размерам магнита. Дополнительным условием эквивалентности является постоянство намагниченности M вдоль оси соленоида. Поэтому линейная плотность тока у соленоида должна быть переменной. Эллипс (рис. 3-17, а), образующий эллипсоид вращения, определяется уравнением $\frac{x^2}{a^2} + \frac{y^2}{b^2} = 1$. В точке A с координатами x и y наклон касательной

$$\frac{dy}{dx} = \operatorname{tg} \alpha = \frac{l}{a} \frac{x}{\sqrt{a^2 - x^2}}. \quad \text{Условие } M = i\omega/2a = \operatorname{const} \text{ у}$$

прямого соленоида требует, чтобы при $i = \operatorname{const}$ число витков $d\omega$, приходящееся на участок dl эллиптического соленоида, было таким же, как и на участке прямого соленоида dx . Отсюда $d\omega = \frac{\omega}{2a} dl \cos \alpha$.

Следовательно, число витков ω_0 , приходящееся на единицу длины образующей эллипсоида, составляет:

$$\omega_0 = \frac{d\omega}{dl} = \frac{\omega}{2a} \cos \alpha = \frac{\omega}{2a \sqrt{1 + \operatorname{tg}^2 \alpha}} = \frac{\omega}{2a} \times \\ \times \sqrt{\frac{a^2 - x^2}{a^2 - x^2 (1 - b^2/a^2)}}. \quad (3-72)$$

В применении к сферическому соленоиду радиуса r (рис. 3-17, б) формула (3-72) принимает вид:

$$\omega_0 = \frac{\omega}{2r} \frac{y}{r} = \frac{\omega}{2r} \sin \varphi. \quad (3-73)$$

Из (3-72) и (3-73) следует, что плотность намотки, т. е. число витков, приходящееся на единицу длины образующей эллипсоида, должна быть максимальной в середине эллиптического соленоида и убывать до нуля на его концах. Магнитное поле сферического соле-

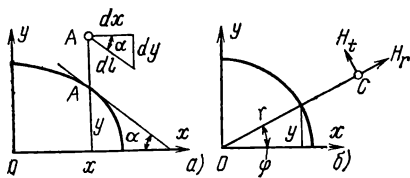


Рис. 3-17. Соленоид, эквивалентный намагниченному эллипсоиду.

a — эллипсоид вращения; b — сфера.

ноида, отвечающего условию (3-73), равномерно внутри соленоида и неравномерно снаружи. Индукцию поля внутри соленоида можно легко определить, зная проницаемость его формы m . Уравнение линии проницаемости формы (рис. 3-11), определяемое из (3-43), имеет здесь вид:

$$\operatorname{tg} \beta = \frac{B}{H} = \mu_0 (m - 1). \quad (3-74)$$

Характеристика $B_c = f_2(H)$ у соленоида линейна и отсекает на осях координат отрезки B_r и H_{cB} . Поэтому ее уравнение имеет вид:

$$\frac{B}{B_r} + \frac{H}{H_{cB}} = 1. \quad (3-75)$$

Совместное решение (3-74) и (3-75) дает:

$$B = \mu_0 (m - 1) \frac{B_r H_{cB}}{\mu_0 H_{cB} (m - 1) + B_r}; \quad (3-76)$$

$$H = \frac{B_r H_{cB}}{\mu_0 H_{cB} (m - 1) + B_r}. \quad (3-77)$$

Формулы (3-76) и (3-77) пригодны также и для расчета магнитов из высококоэрцитивных материалов (например, ферритов и РЗМ), у которых кривая размагничивания линейна. У соленоидов всегда $H_{cB} = B_r / \mu_0$. Поэтому формулы (3-76) и (3-77) в применении к соленоидам имеют вид:

$$B = B_r (m - 1) / m; \quad (3-78)$$

$$H = B_r / (\mu_0 m). \quad (3-79)$$

У шара $m=3$. Поэтому у сферического соленоида

$$B = \frac{2}{3} B_r = \frac{2}{3} \mu_0 M_r; \quad (3-80)$$

$$H = \frac{1}{3} \frac{B_r}{\mu_0} = \frac{1}{3} M_r. \quad (3-81)$$

Внешнее поле сферического соленоида совпадает с полем диполя, расположенного в центре сферы и имеющего такой же магнитный момент, как и соленоид. Радиальную и тангенциальную составляющие вектора напряженности H в точке C вне соленоида (рис. 3-17) определяют по формулам

$$H_r = \frac{2}{3} M \frac{a^3}{r^3} \cos \varphi; \quad (3-82)$$

$$H_t = \frac{1}{3} M \frac{a^3}{r^3} \sin \varphi; \quad (3-83)$$

где H_r и H_t — радиальная и тангенциальная составляющие; M и a — намагниченность и радиус соленоида; r — расстояние между центром соленоида и точкой C .

3-5. ВЗАИМОДЕЙСТВИЕ МАГНИТА И СТОРОННЕГО ПОЛЯ

Влияние стороннего поля на постоянный магнит. Во многих ответственных случаях, например при магнитной стабилизации магнитов измерительных приборов, стабилизации магнитов электрических машин размагничивающим полем реакции якоря, расчете влияния продольной и поперечной м. д. с. силы якоря на характеристики электрических машин, расчете тока короткого замыкания магнитоиндукционных генераторов и т. д., приходится учитывать воздействие стороннего поля на магнит. В литературе, посвященной этому вопросу, например в [1-1, 2-2, 3-8], и рекомендуется ошибочная методика построения диаграммы. Согласно [3-11] сущность этой широко распространенной ошибки заключается в том, что для нахождения индукции B рекомендуется построение, пригодное лишь для нахождения намагниченности M . Ниже приведен скорректированный метод графического определения B в применении к классическому случаю намагниченного эллипсоида.

Если ферромагнитный эллипсоид намагнитить до насыщения, а затем снять намагничивающее поле, то при $H=0$ магнитное состояние эллипсоида определяется (рис. 3-18) ординатой $B_{\text{нас}}$ точки a пересечения характеристики проницаемости формы oa с кривой размагничивания $B = f_2(H)$. Если затем включить стороннее поле — $H_{\text{ст}}$, то индукция B изменится и при $H = -H_{\text{ст1}}$ достигнет значения B_1 , определяемого пересечением характеристики проницаемости формы oa_1 и кривой размагничивания. Рабочая точка, характеризующая процесс, переместится при этом по кривой размагничивания

из a в a_1 . Если изменить стороннее поле от $H_{ст} = -H_{ст1}$ до $H_{ст} = 0$, то рабочая точка переместится по линии возврата a_1a_2 и при $H_{ст} = 0$ перейдет в точку a_0 . При этом индукция возрастет от значения B_1 до B_0 . Если затем изменить знак стороннего поля $H_{ст}$ и начать увеличивать его от $H_{ст} = 0$ до $H_{ст} = +H_{ст2}$, то индукция достигнет значения B_2 , а рабочая точка перейдет в точку a_2 .

При последующих изменениях стороннего поля $H_{ст}$, лежащих в пределах от $-H_{ст1}$ до $+H_{ст2}$, рабочая точка будет перемещаться только по линии магнитного возврата в пределах участка $a_1 - a_2$.

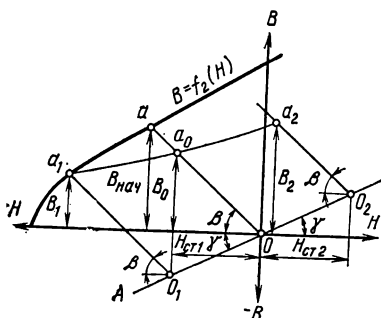


Рис. 3-18. Влияние стороннего поля на намагниченный эллипсоид.

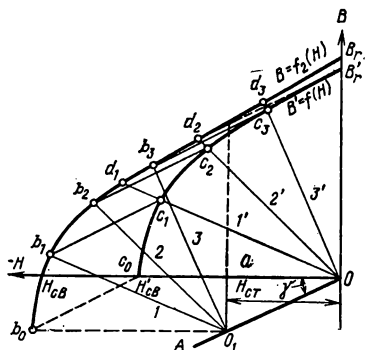


Рис. 3-19. Построение производной кривой Н. Н. Разумовского.

Построение производной кривой Разумовского. Условия работы большинства постоянных магнитов требуют стабилизации их магнитного потока во времени. Стабилизация магнита достигается его частичным размагничиванием в стороннем стабилизирующем поле напряженностью $H_{ст}$. Поэтому рабочая точка диаграммы у всех стабилизированных магнитов лежит не на кривой размагничивания, а на кривой магнитного возврата. Это обстоятельство отражается на выборе наилучшего соотношения параметров магнита и должно учитываться при конструировании магнитных систем. Н. Н. Разумовский, исходя из указанных соображений, предложил пользоваться для расчета магнитов не кривыми размагничивания $B = f_2(H)$, а производными кривыми $B' = f'(H)$, заранее учитывая уменьшение рабочего магнитного потока после стабилизации. Для построения производной кривой (рис. 3-19) нужно провести прямую OA , характеризующую магнитное поле в вакууме, затем отложить по оси абсцисс значение напряженности стабилизирующего поля $H_{ст}$ (отрезок Oa) и в точке a восстановить перпендикуляр aO_1 до его пересечения в точке O_1 с прямой OA . В дальнейшем построение ведется аналогично представленному на рис. 3-18. Из центров O и O_1 проводят несколько пар параллельных линий проницаемости формы 1 и $1'$, 2 и $2'$, 3 и $3'$ и т. д. для эллипсоидов с разными значениями m . Точки b_1, b_2, \dots, b_n пересечения линий

проницаемости формы с кривой размагничивания $B=f_2(H)$ определяют индукцию во время воздействия стабилизирующего поля и являются точками отхода линий магнитного возврата. Точки c_1, c_2, \dots, c_n пересечения линий магнитного возврата с линиями проницаемости формы $1', 2', 3', \dots$, проведенными из начала координат O , определяют индукцию эллипсоидов после стабилизации (когда $H_{ст}=0$) и, следовательно, лежат на искомой производной кривой $B'=f(H)$. Если бы стабилизация не производилась, то индукция в эллипсоиде определялась бы ординатами точек $d_1, d_2, d_3 \dots$. Из диаграммы (рис. 3-19) следует, что относительная потеря индукции при стабилизации возрастает по мере уменьшения крутизны наклона линий проницаемости формы к оси абсцисс.

Вращающий момент магнита в стороннем поле. Если магнит расположен под углом α к стороннему равномерному полю напряженностью $H_{ст}$, то создается вращающий момент

$$M_{вр} = P_M B_{ст} \sin \alpha = M_M V_M B_{ст} \sin \alpha, \quad (3-84)$$

где V_M — объем магнита; $P_M = M_M V_M$ — магнитный момент магнита.

Формула (3-84) справедлива при условии, что влиянием поля $B_{ст}$ на магнит можно пренебречь.

Во втором квадранте петли гистерезиса связь между величинами M и B выражается формулой

$$M = \frac{B + \mu_0 H^*}{\mu_0}. \quad (3-85)$$

Отсюда (3-84) принимает вид:

$$M_{вр} = (B + \mu_0 H) V_M H_{ст} \sin \alpha. \quad (3-86)$$

Удельный вращающий момент $M_{уд}$ т. е. момент, приходящийся на единицу напряженности стороннего поля и единицу объема магнита, при $\alpha = \pi/2$, выражается формулой

$$M_{уд} = M_{вр}/V_M H_{ст} = \mu_0 M. \quad (3-87)$$

Отсюда

$$M_{уд} = B + \mu_0 H. \quad (3-88)$$

Если отношение длин полуосей $a/b = (a/b)_{max}$, то обеспечен максимум удельной энергии и $B = B_d$, $H = H_d$. В этом случае

$$M_{уд} = B_d + \mu_0 H_d. \quad (3-89)$$

При выборе материала для подвижного магнита основным критерием является угол застоя $\alpha_{заст}$, при котором момент трения в опорах $M_{тр} = km_{п.с}^{1,5}$ уравнивается вращающим моментом $M_{вр} = \mu_0 M_M V_M H_{ст} \sin \alpha$.

При малых углах $\sin \alpha \approx \alpha$. Отсюда

$$\alpha_{заст} = \frac{km_{п.с}^{1,5}}{(B + \mu_0 H) V_M H_{ст}}, \quad (3-90)$$

* Здесь H — численное значение напряженности размагничивающего поля.

где k — коэффициент пропорциональности; $m_{п.с}$ — масса подвижной системы; $H_{ст}$ — напряженность стороннего поля.

Если масса оси и других конструктивных деталей m_k мала по сравнению с массой магнита $m_m = V_m \gamma_m$, где V_m — объем, а γ_m — плотность магнита, то можно принять $m_{п.с} = V_m \gamma_m$. В этом случае (3-90) примет вид:

$$\alpha_{заст} = \frac{k \sqrt{V_m} \gamma_m^{1,5}}{H_{ст} (B + \mu_0 H)}.$$

При сравнительной оценке магнитов из двух разных материалов нужно исходить из условия, что при одинаковом объеме магнитов соотношение их размеров обеспечивает максимум энергетического произведения. В этом случае

$$\frac{\alpha_{заст1}}{\alpha_{заст2}} = \left(\frac{\gamma_{m1}}{\gamma_{m2}} \right)^{1,5} \frac{(B_d + \mu_0 H_d)_2}{(B_d + \mu_0 H_d)_1}. \quad (3-91)$$

Например, при сравнении литого сплава марки ЮН14ДК24 ($\gamma_{m1} = 7,30$) с магнитно-твердым ферритом марки 25БА150 ($\gamma_{m2} = 4,75$) получают:

$$\frac{\alpha_{заст1}}{\alpha_{заст2}} = \left(\frac{7,30}{4,75} \right)^{1,5} \cdot \frac{0,35}{0,90} = 0,74,$$

следовательно, угол застоя ферритового магнита только на 26% больше угла застоя магнита из ЮН14ДК24, несмотря на то, что магнитный параметр $B_d + \mu_0 H_d$ у феррита 25БА150 в 2,6 раза меньше, чем у ЮН14ДК24.

В электроизмерительных приборах массой m_k конструктивных деталей пренебрегать нельзя. В этом случае $m_{п.с} = m_k + m_m$ и

$$M_{тр} = k (m_k + m_m)^{1,5}.$$

Отсюда угол застоя

$$\begin{aligned} \alpha_{заст} &= \frac{k (m_k + m_m)^{1,5}}{V_m (B + \mu_0 H) H_{ст}} = \\ &= \frac{k \gamma_m (m_k + m_m)^{1,5}}{(B + \mu_0 H) H_{ст} m_m}. \end{aligned} \quad (3-92)$$

Минимум угла застоя получается при условии $d\alpha_{заст}/dm_m = 0$, откуда

$$m_m = 2m_k. \quad (3-93)$$

Следовательно, наименьшим углом застоя обладает такая подвижная система, у которой масса эллипсоидального магнита равна удвоенной массе

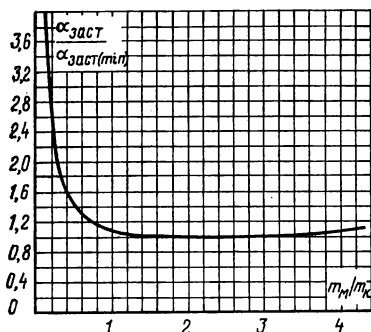


Рис. 3-20. Зависимость угла застоя от массы подвижного магнита.

конструктивных деталей. В этом случае

$$\alpha_{\text{заст min}} = \frac{k\gamma_M}{(B + \mu_0 H) H_{\text{ст}}} \frac{(3m_K)^{1,5}}{2m_K}. \quad (3-94)$$

Отсюда получают:

$$\alpha_{\text{заст}}/\alpha_{\text{заст min}} = 2m_K (1 + m_M/m_K)^{1,5} / (3\sqrt{3} m_M). \quad (3-95)$$

Эта зависимость (рис. 3-20) имеет весьма пологую зону минимума. Поэтому даже существенные отступления от условия оптимальности мало отражаются на угле застоя.

Частота свободных колебаний магнита в стороннем поле

Если магнит, обладающий динамическим моментом инерции M_{Π} и магнитным моментом P_M , находится в равномерном стороннем поле напряженностью $H_{\text{ст}}$, то период T его свободных колебаний выражается формулой

$$T = 2\pi \sqrt{\frac{M_{\Pi}}{P_M H_{\text{ст}}}} = 2\pi \sqrt{\frac{M_{\Pi}}{(B + \mu_0 H) V_M H_{\text{ст}}}}. \quad (3-96)$$

Так как $M_{\Pi} = V_M \gamma_M R_{\Pi}^2$, где V_M — объем, γ_M — плотность и R_{Π} — радиус инерции магнита, то

$$T = 2\pi R_{\Pi} \sqrt{\frac{\gamma}{(B + \mu_0 H) H_{\text{ст}}}}. \quad (3-97)$$

Измерительные механизмы с подвижным магнитом известны давно, но не находили широкого применения, так как магниты из традиционных материалов имели вид длинного стержня, намагниченного аксиально, и обладали большим моментом инерции. Это затрудняло успокоение колебаний и увеличивало радиальные размеры механизма. Использование редкоземельных и других материалов с высокой магнитной твердостью θ позволяет придавать магнитам форму длинного цилиндра, намагниченного диаметрально, т. е. тела с наименьшим возможным динамическим моментом инерции. Так, отношение динамических моментов инерции $M_{\Pi 1}$ и $M_{\Pi 2}$ у цилиндра, вращающегося относительно поперечной и продольной оси, составляет:

$$M_{\Pi 1}/M_{\Pi 2} = 0,67l^2/d^2 + 0,5, \quad (3-98)$$

где l и d — длина и диаметр цилиндра.

При $l/d = 10$, что характерно для магнитов дистанционных компасов, $M_{\Pi 1}/M_{\Pi 2} = 67$.

Из-за особенностей производства магнитов из РЗМ и ферритов они выпускаются в форме брусков прямоугольного сечения, а не цилиндров. При переходе от цилиндра к призме такого же объема и высоты динамический момент инерции возрастает всего на 4,5%.

Частота f собственных колебаний подвижной системы измерительного механизма с подвижным магнитом определяется по формуле

$$f = \frac{1}{2\pi} \sqrt{\frac{M_{уд}}{M_{н.м} + M_{и.к}}}, \quad (3-99)$$

где $M_{уд} = M_m V_m B_{ст}$ — удельный устанавливающийся момент; $M_{м.м}$ и $M_{и.к}$ — динамические моменты инерции магнита и конструктивных деталей; V_m — объем магнита; M_m — намагниченность материала магнита; $H_{ст}$ — напряженность стороннего поля (например, поля измерительных обмоток).

Момент инерции призматического магнита квадратного сечения относительно его продольной оси

$$M_{и.м} = \frac{\gamma h a^4}{6}, \quad (3-100)$$

где γ — плотность материала магнита; h — высота магнита; a — ширина магнита.

Отсюда (3-99) принимает вид:

$$f = \frac{1}{2\pi} \sqrt{\frac{6\mu_0 M_m H_{ст} a^2 h}{\gamma h a^4 + 6M_{и.к}}}. \quad (3-101)$$

Если высота магнита задана ($h = \text{const}$), то максимум частоты собственных колебаний подвижной системы прибора можно найти из условия $df/da = 0$. Отсюда

$$a = a_{\text{опт}} = \sqrt[4]{\frac{6M_{и.к}}{\gamma h}}. \quad (3-102)$$

Подставив это значение a в (3-100), получим:

$$M_{и.м} = M_{и.к}, \quad (3-103)$$

следовательно, при условиях $h = \text{const}$, $a = \text{var}$ и $M_m = \text{const}$ максимум частоты собственных колебаний подвижной части измерительного механизма наступает при условии, когда момент инерции магнита равен моменту инерции конструктивных частей подвижной системы.

При $a = a_{\text{опт}}$ частота собственных колебаний

$$f = f_{\text{max}} = \frac{1,107}{2\pi} \sqrt{\frac{\mu_0 M_m H_{ст}}{\gamma h M_{и.к}}}, \quad (3-104)$$

а объем магнита

$$V_m = V_{м.опт} = \sqrt{\frac{6M_{и.к} h}{\gamma}}. \quad (3-105)$$

Зависимость $f/f_{\max} = F\left(\frac{a}{a_{\text{опт}}}\right)$ при $h=\text{const}$ и $M_m=\text{const}$ представлена на рис. 3-21. Кривая имеет острую вершину, и поэтому сравнительно небольшие отступления от условия (3-103) вызывают заметное уменьшение частоты собственных колебаний подвижной системы измерительного механизма.

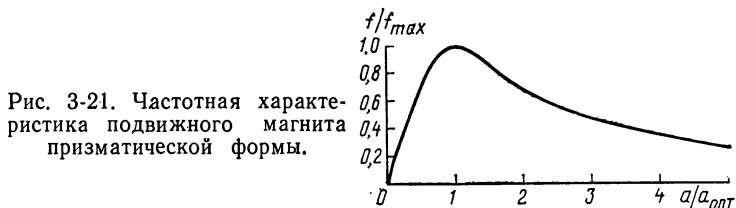


Рис. 3-21. Частотная характеристика подвижного магнита призматической формы.

У магнитно-твердых материалов намагниченность M изменяется сравнительно мало во всем диапазоне H_p от $H_p=0$ до $H_p=H_{св}$. Из уравнения $\mu_0 B = B + \mu_0 H_p$ следует, что при $H_p=0$ $\mu_0 M_r = B_r$, а при $H_p=H_{св}$, когда $B=0$, $M_{\min} = H_{св}$.

Отсюда

$$\frac{M_{\min}}{M_r} = \frac{\mu_0 H_{св}}{B_r} = \theta, \quad (3-106)$$

где θ — магнитная твердость материала.

Например, у феррита бария марки 16БА190 $\theta = \frac{\mu_0 \cdot 217 \cdot 10^3}{0,3} = 0,91$. Поэтому намагниченность очень коротких магнитов здесь лишь на 9% меньше намагниченности очень длинных. Следовательно, при проектировании подвижных магнитов, выполняемых из материалов с твердостью $\theta > 0,8$, форму магнита нужно выбирать, исходя из конструктивных и технологических соображений. Например, подвижным магнитам логометров, выполненным из ферритов или РЗМ, следует придавать форму высоких цилиндров, намагниченных диаметрально. Такие магниты обладают наименьшим возможным моментом инерции, и поэтому их колебания быстро затухают.

3-6. РАСЧЕТ СИЛ ВЗАИМОДЕЙСТВИЯ СТЕРЖНЕВЫХ МАГНИТОВ МЕТОДОМ ЭКВИВАЛЕНТНЫХ ДИПОЛЕЙ

Расчет сил взаимодействия стержневых магнитов получается относительно простым только при условии, что размеры магнитов малы по сравнению с расстоянием между ними, так как в этом случае магниты можно заменить эквивалентными магнитными диполями. Условием эквивалентности является равенство значений магнитного момента у диполя и магнита:

$$P_M = q_M l = M_M V_M, \quad (3-107)$$

где q_m — магнитный заряд¹; l — плечо эквивалентного диполя.

Если расстояние между полюсами эллипсоидального магнита $l = \frac{4a}{3}$, а объем эллипсоида вращения $V_0 = \frac{4}{3} \pi a b^2 = \frac{4}{3} a S$, то

$$V_0 = l S, \quad (3-108)$$

где S — площадь мидель-сечения эллипсоида.

Поэтому магнитный заряд полюса эллипсоида такой же, как и у эквивалентного диполя:

$$q_m = M_m S. \quad (3-109)$$

Силу R взаимодействия магнитных зарядов q_{m1} и q_{m2} определяют по формуле закона Кулона [1-4]

$$R = \frac{\mu_0 q_{m1} q_{m2}}{4\pi r^2} = \frac{\mu_0 M_{m1} S_1 M_{m2} S_2}{4\pi r^2} \cdot 10^{-7}, \quad (3-110)$$

где r — расстояние между полюсами магнитов.

При вычислении силы R взаимодействия магнитов необходимо учитывать, что каждый из полюсов одного магнита отталкивается от одноименного и притягивается к разноименному полюсу другого магнита. Например, для силы притяжения двух магнитных диполей ($P_{m1} = l q_{m1}$; $P_{m2} = l q_{m2}$), расположенных последовательно (рис. 3-22, а), получают выражение

$$R = R_1 - R_2 + R_3 - R_4 = \frac{\mu_0 q_{m1} q_{m2}}{4\pi} \times \left[\frac{1}{(r_0 - l)^2} - \frac{1}{r_0^2} + \frac{1}{(r_0 + l)^2} - \frac{1}{r_0^2} \right], \quad (3-111)$$

где r_0 — расстояние между центрами диполей; l — плечо диполя. Отсюда при $l \ll r_0$

$$R = \frac{\mu_0 q_{m1} q_{m2}}{4\pi} \frac{6l^2}{r_0^4} = \frac{1,5\mu_0 P_{m1} P_{m2}}{\pi r_0^4}. \quad (3-112)$$

Если магниты расположены параллельно (рис. 3-22, б), то они отталкиваются с силой

$$R = \frac{0,75\mu_0 P_{m1} P_{m2}}{\pi r_0^4}. \quad (3-113)$$

Если же магниты расположены под углом 90° (рис. 3-22, в), то в результате взаимодействия их полюсов возникает пара сил R с моментом $M_{вр} = R r_0$, где

$$R = \frac{0,75\mu_0 P_{m1} P_{m2}}{\pi r_0^4}; \quad M_{вр} = \frac{0,75\mu_0 P_{m1} P_{m2}}{\pi r_0^3}, \quad (3-114)$$

¹ Магнитные заряды фиктивных. Однако магнитные диполи могут быть реализованы в виде трубчатых сверхпроводящих соленоидов, длина которых значительно превосходит их диаметр.

и, кроме того, на диполи 1 и 2 действуют неодинаковые моменты:

$$M_{1вр} = -\frac{\mu_0 P_{M1} P_{M2}}{4\pi r_0^3}; \quad M_{2вр} = -\frac{\mu_0 P_{M1} P_{M2}}{2\pi r_0^3}. \quad (3-115)$$

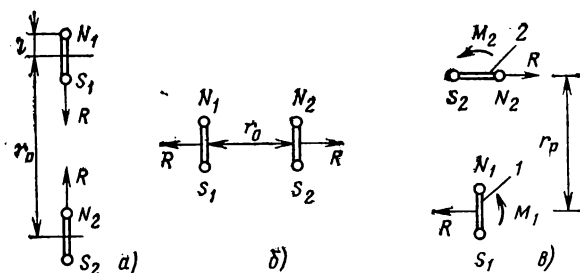


Рис. 3-22. К вычислению сил взаимодействия магнитных диполей при их различном расположении.

Силу R взаимодействия магнитных зарядов q_{M1} и q_{M2} можно вычислять также и по формуле

$$R = \frac{\mu_0}{4\pi} q_{M1} H_2; \quad (3-116)$$

где H_2 — напряженность поля заряда q_{M2} в точке расположения заряда:

$$H_2 = \frac{q_{M2}}{r_0^2}, \quad (3-117)$$

где r_0 — расстояние между зарядами q_{M1} и q_{M2} . Подстановка в (3-116) значения H из (3-117) приводит к формуле (3-110).

3-7. РАСЧЕТ МАГНИТНЫХ СИСТЕМ СИЛОВЫХ МАГНИТНЫХ ОПОР ЭНЕРГЕТИЧЕСКИМ МЕТОДОМ

Магнитными силовыми опорами называются устройства, предназначенные для увеличения долговечности быстро вращающихся тяжело нагруженных механических опор путем почти полной разгрузки их от усилий. В силу запрета Ирншоу магнитные опоры могут работать только совместно с механическими, жидкостными или пневматическими. Магнитные силовые опоры могут обладать грузоподъемностью порядка нескольких тонн при сравнительно ограниченных габаритах. В сочетании с механическими опорами они допускают частоты вращения порядка 1000 об/с при условии, что враща-

ющейся деталью является прочный стальной якорь, а не хрупкий магнит. Если магнитная опора сочетается с пневматической, то частота вращения ограничивается только прочностью стального якоря. Необходимость располагать магнит только в статоре магнитной силовой опоры исключает возможность получения радиального подшипника и ограничивает область их применения лишь подвесами и аксиальными подшипниками.

Магнитный подвес вертикального вала (рис. 3-23, а) состоит из магнита 1 и ярма 2, образующих статор, и якоря 3, являющегося ротором. Магнитная система должна быть строго симметричной относительно оси вращения во избежание электромагнитных потерь. Подвес горизонтального вала (рис. 3-23, б) состоит из магнита 1, укрепленного в ярме 2, и якоря 3, набранного из листов электротехнической стали для уменьшения потерь на вихревые токи. Аксиальный подшипник (рис. 3-23, в) состоит из магнита 1 в форме шайбы, намагниченной аксиально, полюсных наконечников 2 с кольцевыми пазами и стального ротора 3 с кольцевыми выступами.

Характерной особенностью работы силовых магнитных опор является непостоянство магнитного сопротивления рабочего зазора, вследствие чего рабочая точка магнита всегда лежит не на кривой размагничивания, а на прямой магнитного возврата. Выход рабочей точки на кривую размагничивания недопустим, так как вызывает необратимое уменьшение силы взаимодействия. Поэтому расчет силовых магнитных опор требует строгого учета магнитных свойств материала магнита. У магнитов из докритических материалов начальная индукция определяется (рис. 3-23, г) точкой a пересечения кривой размагничивания $B=f_1(H)$ с прямой oa начальной приведенной проводимости. Угол α_n наклона этой прямой зависит от начальной приведенной проводимости $\Lambda_{нач}$ системы магнит — ярмо при удаленном якоре и определяется условием $\operatorname{tg} \alpha_n = \Lambda_{нач} l_m / S_m$, где l_m и S_m — длина и площадь поперечного сечения магнита. Установка якоря (рис. 3-23, а) в систему магнит — ярмо на расстоянии l_3 уменьшает магнитное сопротивление системы и переводит рабочую точку с кривой размагничивания $B=f_1(H)$ на прямую магнитного возврата $B=f_2(H)$.

Рабочая точка b определяется пересечением прямой магнитного возврата $B=f_2(H)$ с прямой ob приведенной проводимости. Угол α наклона этой прямой зависит от проводимости рабочего зазора $\Lambda_{раб}$ и проводимости рассеяния $\Lambda_{рас}$. Он определяется условием $\operatorname{tg} \alpha = (\Lambda_{раб} + \Lambda_{рас}) l_m / S_m$. Переход рабочей точки на прямую магнитного возврата означает, что магнит нужно рассчитывать так, будто он выполнен из абстрактного закритического материала, обладающего прямолинейной характеристикой размагничивания, отсекающей на координатных осях отрезки H_0 и B_0 . Значения параметров H_0 и B_0 зависят от положения точки a на кривой $B=f_1(H)$. Наибольшей величины они достигают, когда точка a совпадает с точкой k или находится правее этой точки. В этом случае $B_0 = B_r$, а $H_0 > H_{св}$. У реальных закритических материалов прямые магнитного возврата практически совпадают с характеристикой размагничивания $B=f_1(H)$. Поэтому здесь всегда $B_0 = B_r$ и $H_0 = H_{св}$.

Силу R тяги магнита определяют по общей энергетической формуле как производную энергии магнитной системы по

перемещению якоря:

$$R = -dW/dl_3, \quad (3-118)$$

где W — энергия магнитного поля, а l_3 — длина рабочего зазора.

Магнитная цепь, у которой рабочая точка находится на прямой магнитного возврата, является линейной. Она может быть представлена в виде источника (с м. д. с. $F_0 = H_0 l_M$ и внутренним магнитным сопротивлением $r_{вн}$), работающего на нагрузку в виде двух параллельно включенных сопротивлений: магнитного сопротивления рабочего зазора r_1 и магнитного сопротивления путей рассеяния r_2 .

Отсюда для потока магнита Φ_M получают выражение

$$\Phi_M = H_0 l_M / [r_{вн} + r_1 r_2 / (r_1 + r_2)], \quad (3-119)$$

где l_M — длина магнита, а для энергии магнитного поля — выражение

$$W = 0,5 F_0 \Phi_M = 0,5 H_0^2 l_M^2 (r_1 + r_2) / [r_1 (r_2 + r_{вн}) + r_2 r_{вн}]. \quad (3-120)$$

Малые изменения длины рабочего зазора практически не влияют на величину потока рассеяния. Поэтому можно считать, что при $l_3 = \text{var}$, $r_2 = \text{const}$ и $r_{вн} = \text{const}$, а $r_1 = f_1(l_3)$.

Отсюда на основании (3-118) получают:

$$R = -dW/dl_3 = -\frac{dW}{dr_1} \frac{dr_1}{dl_3}. \quad (3-121)$$

Магнитное сопротивление рабочего зазора r_1 можно представить в виде суммы $r_1 = r_{11} + r_{12}$, где r_{11} и r_{12} — магнитные сопротивления

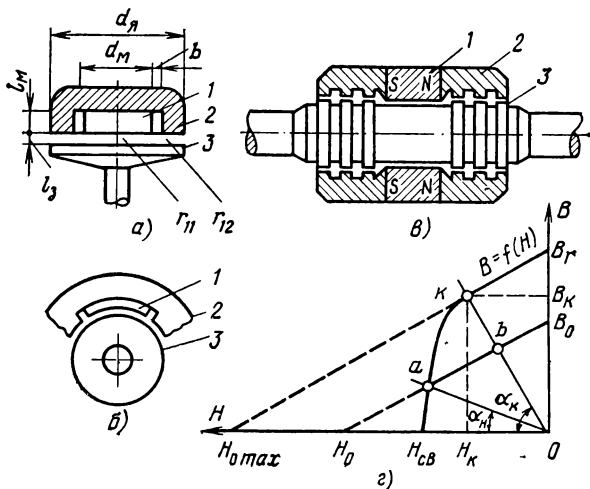


Рис. 3-23. Магнитные силовые опоры.

$a, б$ — подвесы для горизонтального и вертикального вала; $в$ — аксиальный подшипник; $г$ — к расчету силы тяги.

зазоров между ярком и полюсными наконечниками магнита и ярма (рис. 3-23, а). Здесь

$$r_{11} = l_3 / (\mu_0 S_{\Pi 1}); \quad r_{12} = l_3 / (\mu_0 S_{\Pi 2}), \quad (3-122)$$

где $S_{\Pi 1}$ и $S_{\Pi 2}$ — площади полюсных наконечников магнита и ярма. Следовательно,

$$r_1 = \frac{l_3}{\mu_0} \left(\frac{1}{S_{\Pi 1}} + \frac{1}{S_{\Pi 2}} \right). \quad (3-123)$$

Если $S_{\Pi 1} = S_{\Pi 2} = S_{\Pi}$, то

$$r_1 = 2l_3 / (\mu_0 S_{\Pi}). \quad (3-124)$$

Из (3-120) и (3-124) следует, что

$$dW/dr_1 = 0,5 \{H_0 l_M\}^2 / [r_1 + r_{\text{вн}} (1 + r_1/r_2)]^2; \quad (3-125)$$

$$\frac{dr_1}{dl_3} = \frac{2}{\mu_0 S_{\Pi}}. \quad (3-126)$$

Отсюда

$$R = \frac{(H_0 l_M)^2}{\mu_0 S_{\Pi} [r_1 + r_{\text{вн}} (1 + r_1/r_2)]^2}. \quad (3-127)$$

Если рабочая точка находится на прямой магнитного возврата, то внутреннее сопротивление магнита

$$r_{\text{в}} = \frac{F_{\text{вн}}}{\Phi_M} = \frac{H_{\text{вн}} l_M}{B_M S_M}, \quad (3-128)$$

где $F_{\text{вн}}$ — часть м. д. с., затрачиваемая внутри магнита; S_M — площадь поперечного сечения магнита; $H_{\text{вн}}$ — напряженность поля внутри магнита.

Из рис. 3-23, г следует, что

$$H_{\text{вн}}/B_M = H_0/B_0. \quad (3-129)$$

Отсюда (3-128) принимает вид:

$$r_{\text{вн}} = l_M H_0 / (S_M B_0) = l_M \theta_0 / (\mu_0 S_M), \quad (3-130)$$

где $\theta_0 = \mu_0 H_0 / B_0$ — магнитная жесткость фиктивного закритического материала.

Эквивалентное сопротивление путей рассеяния

$$r_2 = 2K / (\mu_0 l_M), \quad (3-131)$$

где K — коэффициент, зависящий от формы магнита и ярма, а множитель 2 учитывает линейный закон возрастания магнитного потенциала вдоль магнита.

Если магнит и ярмо цилиндрические, то

$$K = \ln(1 + 2b/d_M) / (2\pi), \quad (3-132)$$

где d_M — диаметр магнита; b — зазор между магнитом и ярмом.

Отсюда (3-131) принимает вид:

$$r_2 = \ln(1 + 2b/d_M) / (\mu_0 \pi l_M). \quad (3-133)$$

Подстановка в (3-127) значений r_1 , r_2 и $r_{вн}$ из (3-124), (3-130) и (3-131) дает:

$$R = \frac{H_0^2 l_M^2}{\mu_0 S_{\Pi} \left[\frac{2l_3}{\mu_0 S_{\Pi}} + \frac{l_M \theta_0}{\mu_0 S_M} \left(1 + \frac{l_3 l_M}{S_{\Pi} K} \right) \right]^2} =$$

$$= \frac{B_0^2 S_M l_M^2 S_M / S_{\Pi}}{\mu_0 \left[\frac{2l_3}{\theta_0} \frac{S_M}{S_{\Pi}} + l_M \left(1 + \frac{l_3 l_M}{S_{\Pi} K} \right) \right]^2}. \quad (3-134)$$

У магнитных силовых опор длина рабочего зазора l_3 всегда ничтожно мала по сравнению с поперечными размерами магнита, поэтому всегда $l_3 l_M / (S_{\Pi} K) \ll 1$. Отсюда (3-134) принимает вид:

$$R = \frac{B_0^2 S_M l_M^2 S_M / S_{\Pi}}{\mu_0 \left[\frac{2l_3}{\theta_0} \frac{S_M}{S_{\Pi}} + l_M \right]^2} = \frac{B_0^2 V_M l_M S_M / S_{\Pi}}{\mu_0 \left[\frac{2l_3}{\theta_0} \frac{S_M}{S_{\Pi}} + l_M \right]^2}, \quad (3-135)$$

где $V_M = S_M l_M$ — объем магнита.

Силовые опоры из закритических материалов

При проектировании магнитов из дорогих закритических материалов приходится решать две основных задачи: в первую очередь находить такое соотношение размеров, при котором требуемое тяговое усилие создается магнитом минимального объема, и во вторую очередь — соотношение размеров, при котором требуемое тяговое усилие создается магнитом ограниченных габаритных размеров (если такое ограничение окажется необходимым по конструктивным соображениям).

В формуле (3-135) при $V_M = \text{const}$ значение R может иметь максимум как по l_M , так и по S_M / S_{Π} . Приравнявая нулю производные dR/dl_M и $dR/d(S_M/S_{\Pi})$, получаем единое условие максимума

$$\frac{S_M}{S_{\Pi}} = \frac{l_M \theta_0}{2l_3}, \quad (3-136)$$

при соблюдении которого (если иметь в виду, что здесь $H_0 = H_{св}$ и $B_0 = B_r$) формула (3-135) принимает вид:

$$R = R_0 = \frac{V_{Mmin} B_r^2 \theta}{8 \mu_0 l_3} = V_{Mmin} \frac{H_{св} B_r}{8 l_3}. \quad (3-137)$$

Решая (3-136) и (3-137) относительно l_M и V_M , получаем:

$$V_{Mmin} = R_0 \frac{8 l_3}{H_{св} B_r}; \quad l_M = l_{M0} = \frac{2 l_3}{\theta_0} \frac{S_M}{S_{\Pi}};$$

$$S_M = S_{M0} = \frac{V_{Mmin}}{l_{M0}} = R_0 \frac{4 \theta_0}{H_{св} B_r} \frac{S_{\Pi}}{S_M}. \quad (3-138)$$

Из (3-137) следует, что минимальный объем магнита не зависит от соотношения S_M/S_Π , т. е. от наличия полюсных наконечников. Их применение целесообразно лишь при необходимости уменьшить поперечные габариты магнита. Для этого необходимо иметь $S_M/S_\Pi > 1$, т. е. применять концентраторы магнитного потока. Однако концентраторы заметно повышают рассеяние и в силу этого малоэффективны. Если концентраторов нет, то $S_M = S_\Pi$ и формулы (3-135) и (3-136) принимают вид:

$$R = \frac{B_r^2 S_M l_M^2}{\mu_0 \left[\frac{2l_3}{\theta_0} + l_M \right]^2} = \frac{B_r^2 V_M l_M}{\mu_0 \left[\frac{2l_3}{\theta_0} + l_M \right]^2}; \quad (3-139)$$

$$V_{Mmin} = R_0 \frac{8l_3}{H_{CB} B_r}; \quad l_{M0} = \frac{2l_3}{\theta_0};$$

$$S_{M0} = R_0 \frac{4\mu_0}{B_r^2}. \quad (3-140)$$

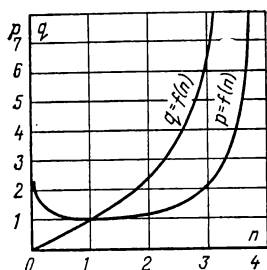


Рис. 3-24. К выбору соотношения размеров магнита.

Из (3-140) следует, что при наилучшем использовании закритического материала оптимальная длина магнита должна быть соизмерима с длиной рабочего зазора, а оптимальная площадь его сечения обратно пропорциональна квадрату остаточной индукции.

Если окажется, что значение S_{M0} , найденное из (3-140), не может быть реализовано по конструктивным соображениям, то требуемую силу тяги $R = R_0$ можно получить при меньшем значении $S_M = S_{M0}/n$ и соответственно большей длине магнита $l_M = q l_{M0}$. Однако при этом объем магнита увеличивается в $p = q/n$ раз и ухудшается энергетическое использование его материала. Подставив

в (3-139) указанные значения S_M и l_M , получим при $R = R_0$ уравнение $4q^2 = n(1+q)^2$. Отсюда

$$q = (n + 2\sqrt{n})/(4 - n) \text{ и } p = (n + 2\sqrt{n})/(4n - n^2).$$

Следовательно,

$$l_M = \frac{n + 2\sqrt{n}}{4 - n} l_{M0}; \quad V = \frac{n + 2\sqrt{n}}{(4 - n)n} V_{Mmin}. \quad (3-141)$$

Графики $q = f(n)$ и $p = f(n)$ представлены на рис. 3-24. При $n = 4$ обе кривые уходят в бесконечность. Поэтому уменьшать площадь поперечного сечения магнита не следует более чем в 3 раза. При $n = 3$ объем магнита увеличивается в 2,15 раза, а длина в 6,46 раз.

Силовые опоры из докритических материалов

Применение материалов с относительно малым значением $H_{св}$ требует намагничивания опоры после установки якоря путем пропускания импульса тока по специальной обмотке, входящей в состав статора. Импульс тока должен быть достаточным для доведения магнита до насыщения при наличии рабочего зазора l_3 между магнитом и якорем. Если намагничивание производят при $l_3=0$, то в конструкции опоры нужно предусмотреть приспособление, позволяющее устанавливать и поддерживать необходимый рабочий зазор. При демонтаже опоры магнит может быть размагничен импульсом тока обратного направления. Длина магнита здесь должна быть такой, чтобы прямая внешней проводимости (рис. 3-23, з), наклоненная к оси абсцисс под углом α_k , проходила через точку k конца линейного участка кривой размагничивания. Пренебрегая потоком рассеяния, ввиду относительной малости длины рабочего зазора имеем: $tg \alpha_k = B_k/H_k = \Delta_{раб} l_M / S_M$. Но $\Delta_{раб} = \mu_0 S_M / (2l_3)$.

Отсюда

$$l_M = \frac{B_k}{\mu_0 H_k} l_3 = \frac{2l_3}{\theta_k}, \quad (3-142)$$

где $\theta_k = \mu_0 H_k / B_k$.

Заменяя в (3-139) l_M на его выражение из (3-142), получаем:

$$R = \frac{B_r^2 V_M \theta_k}{2\mu_0 l_3 \left(1 + \frac{\theta_k}{\theta_0}\right)^2}. \quad (3-143)$$

Отсюда

$$V_M = R \frac{2l_3 \mu_0}{B_r^2} \frac{(1 + \theta_k/\theta_0)^2}{\theta_k}; \quad S_M = \frac{V}{l_M} = R \frac{\mu_0 (1 + \theta_k/\theta_0)^2}{B_r^2}. \quad (3-144)$$

Если рабочая точка магнита может находиться только на верхнем прямолинейном участке кривой размагничивания (см. рис. 3-23, з), то магнит независимо от его материала ведет себя так, будто он сделан из закритического материала с параметрами B_r и $H_{отак}$. Так как докритические материалы обладают более высокими значениями остаточной индукции, нежели закритические, то магниты подвесов из докритических материалов обладают большей грузоподъемностью по сравнению с одинаковыми по размерам магнитами из закритических материалов. Обозначив индексами «д» и «з» параметры докритических и закритических материалов, получим на основании (3-142) и (3-144) $\frac{R_d}{R_z} = B_{rd}^2 / B_{rz}^2$. Например, если магнит из альинко марки ЮН13ДК25А ($B_{rd}=1,4$ Тл), рассчитанный по формулам (3-142) и (3-144), заменить таким же по размерам магнитом из РЗМ марки КС37 ($B_{rz}=0,77$ Тл), то $R_d/R_z=1,4^2/0,77^2=15-64$

=3,3, т. е. сила тяги магнита из альнико в 3,3 раза превзойдет силу тяги такого же по размерам магнита из РЗМ. Однако при выборе материала магнита необходимо учитывать, что магнитные системы из докритических материалов нужно намагничивать в собранном виде и что они менее устойчивы к воздействию внешних магнитных полей.

Учитывая стоимость магнита, грузоподъемность при заданных габаритах и удобство монтажа магнитной пары, следует для опор малой, средней и высокой грузоподъемности в качестве материала магнита рекомендовать соответственно ферриты, РЗМ и альнико.

Тяговая характеристика магнитной опоры

Зависимость силы тяги от длины рабочего зазора $R=f(l_3)$ у магнита заданных размеров можно определить из (3-135): при $S_n=S_m$

$$R = \frac{B_0^2 S_m}{\mu_0 [1 + 2l_3/\theta_0 l_m]^2}. \quad (3-145)$$

Максимум силы тяги наступает при $l_3=0$. Отсюда

$$R = \frac{R_{max}}{[1 + 2l_3/\theta_0 l_m]^2}. \quad (3-146)$$

Формулы (3-145) и (3-146) действительны при $0 < H < H_k$ (см. рис. 3-23, з).

Примеры расчета. 1. Рассчитать магнит из РЗМ марки КС37 для магнитного подвеса грузоподъемностью 9,81 кН при рабочем зазоре $l_3=0,2$ мм. Магнит должен иметь минимальный объем.

РЗМ марки КС37 имеет параметры: $B_r=0,77$ Тл, $H_{CB}=540$ кА/м, $\theta_0=0,88$. Размеры магнита находим из (3-140): $l_{m0}=2l_3/\theta_0=0,454$ мм;

$$S_{m0} = R_0 \frac{4\mu_0}{B_r^2} = 0,083 \text{ м}^2; \quad V_{min} = R_0 \frac{8l_3}{H_{CB} B_r} = 37,6 \text{ см}^3.$$

Диаметр магнита

$$d_0 = 2\sqrt{S_{m0}/\pi} = 326 \text{ мм}.$$

2. Определить длину и объем магнита из примера 1, если при той же грузоподъемности площадь сечения магнита должна быть уменьшена в 3 раза: $S_m=S_{m0}/3=0,0277$ м². Из (3-141) находим:

$$l_m = \frac{n+2\sqrt{n}}{4-n} l_{m0} \approx 3 \text{ мм}; \quad V_m = \frac{n+2\sqrt{n}}{(4-n)n} V_{min} = 2,15V_{min}.$$

Диаметр магнита $d=2\sqrt{S_{m0}/\pi}=188$ мм. Уменьшение диаметра магнита в 1,73 раза достигнуто здесь за счет увеличения объема магнита в 2,15 раза.

3. Определить размеры магнита в примере 1, если вместо РЗМ применить феррит 22БА220 с параметрами $B_r=0,36$ Т, $H_{св}=215$ кА/м, $\theta_0=0,75$. Значения размеров магнита находим из (3-140):

$$l_{m0} = \frac{2l_3}{\theta_0} = 0,534 \text{ м}; \quad S_{m0} = R_0 \frac{4\mu_0}{B_r^2} = 0,38 \text{ м}^2;$$

$$d_0 = 2 \sqrt{S_0/\pi} = 696 \text{ мм.}$$

При одинаковой грузоподъемности магнит из феррита марки 22БА220 должен иметь диаметр в 2,14 раза больше, чем у магнита из РЗМ марки КС37.

4. Определить силу тяги магнита из альнико марки ЮН13ДК25А при условии, что диаметр магнита и длина рабочего зазора такие же, как в примере 2. Магниты из альнико нужно намагничивать только после монтажа опоры. Поэтому в ярме должен быть предусмотрен кольцевой паз (см. рис. 3-23, а) шириной $b \approx 0,1$ дм, необходимый для размещения намагничивающей обмотки. Длина магнита должна быть такой, чтобы прямая внешней проводимости (см. рис. 3-23, в) проходила через точку k конца верхнего прямолинейного участка кривой размагничивания. Альнико марки ЮН13ДК25А имеет параметры: $B_r=1,4$ Тл, $H_{св}=44$ кА/м, $H_{0max}=1115$ кА/м, $\theta_0=0,997$, $\theta_k=\mu_0 H_k/B_k=0,037$.

Длину магнита определяем из (3-142): $l_m=2l_3/\theta_k=11$ мм. Отсюда объем магнита $V_m=0,0277 \cdot 1110^{-3}=300 \cdot 10^{-6}$ м³. Искомую силу тяги определяем из (3-143):

$$R = \frac{B_r^2 V \theta_k}{2\mu_0 l_3 (1 + \theta_k/\theta_0)^2} = 40,7 \text{ кН.}$$

Сила тяги магнита из КС37 в примере 2 составляла 9,81 кН. Следовательно, замена магнита из КС37 магнитом из ЮН13ДК25А того же диаметра увеличивает силу тяги в 4,15 раза.

Основная расчетная формула (3-135) получена при допущении, что $l_3 l_m/(S_n k) \ll 1$. При цилиндрическом магните значение коэффициента k определяется по (3-132). При $b=0,1$ дм $k=2,9 \cdot 10^{-2}$. Отсюда при $S_n=S_m=2,77 \cdot 10^{-2}$ м² имеем $l_3 l_m/(S_m k)=2,74 \cdot 10^{-3} \ll 1$, и в данном случае расчет по (3-143) уточнения не требует.

5. Определить размеры магнита из ЮН13ДК25А для магнитного подвеса, рабочий зазор которого l_3 может изменяться от 0 до 5 мм. При $l_3=0$ сила тяги должна составлять $R_{max}=98,1$ кН. Параметры материала приведены в примере 4. Из (3-134) при $S_m/S_n=1$ и $l_3=0$ имеем

$$S_m = R_{max} \frac{\mu_0}{B_r^2} = 6,28 \cdot 10^{-2} \text{ м}^2. \quad \text{Отсюда } d_m = 2 \sqrt{S_m/\pi} = 282 \text{ мм.}$$

Для магнита диаметром 282 мм рабочий зазор 5 мм является большим. Проводимость потока рассеяния становится здесь заметной по сравнению с проводимостью рабочего потока, и ее необходимо учитывать. При изменении зазора от 0 до 5 мм рабочая точка маг-

нита должна (во избежание необратимого изменения магнитного потока) оставаться на верхнем прямолинейном участке кривой размагничивания. Если она совпадает с точкой k конца этого участка (см. рис. 3-23, z), то из условия

$$\operatorname{tg} \alpha_k = (0,5\mu_0 S_M / l_3 + 0,5\mu_0 l_M / k) l_M / S_M = \frac{B_k}{H_k} = \frac{\mu_0}{\theta_k}$$

находим

$$l_M^2 + l_M S_M k / l_3 - 2S_M / \theta_k = 0.$$

Решение этого уравнения дает

$$l_M = 0,5k S_M \left(\sqrt{1 + 8l_3^2 / (\theta_k S_M k)} - 1 \right) / l_3 = 182 \text{ мм.}$$

Силу тяги при $l_3 = 5$ мм находим из (3-135): $R_{min} = B_r^2 S_M / [\mu_0 (1 + 2l_3 / (\theta_0 l_M) + l_3 l_M / (k S_M)^2)] = 40,8 \text{ кН.}$

Следовательно, здесь $R_{min} = 0,42 R_{max}$.

3-8. РАСЧЕТ ЗАЩИТЫ ИЗМЕРИТЕЛЬНЫХ ПРИБОРОВ ОТ ПОЛЕЙ РАССЕЯНИЯ СИЛЬНЫХ ПОСТОЯННЫХ МАГНИТОВ

Магнитные экраны, применяемые в измерительных приборах и средствах технической кибернетики, рассчитаны на защиту от слабых наружных полей напряженностью $H_{нар} \leq 400 \text{ А/м}$ и поэтому выполняются из пермаллоя с большой начальной проницаемостью и малой индукцией насыщения. Для защиты от полей рассеяния сильных постоянных магнитов, в том числе сверхпроводниковых, эти экраны совершенно не пригодны. У сильных магнитов поля рассеяния могут иметь напряженность $H_{нар} \gg 400 \text{ А/м}$ на расстояниях, во много раз превышающих размеры самого магнита. Например, у неэкранированного сверхпроводникового магнита небольших размеров ($l=d=100 \text{ мм}$) напряженность поля рассеяния превышает 400 А/м в радиусе 3 м .

При расчете магнитных экранов наружное поле $H_{нар}$ считают равномерным. Это допустимо при условии, что расстояние между экранированным измерительным прибором и источником поля не менее 1 м .

Магнитные экраны часто располагают снаружи корпуса прибора. Поэтому форма и размеры экрана обычно определяются формой и размерами корпуса.

В приборостроении и автоматике наиболее часто встречаются экраны в форме полых цилиндров с отношением наружного диаметра к внутреннему $1,01-1,25$ и отношением высоты к наружному диаметру $0,8-1,2$. Чаше всего встречаются однослойные и двухслойные экраны. Трехслойные экраны встречаются редко. Многослойные экраны имеют больший коэффициент экранирования, чем однослойные той же толщины, но их изготовление значительно сложнее. Расчеты, подтверждающиеся опытом, показывают, что при конструировании магнитных экранов нужно учитывать следующие обстоятельства:

1. Наиболее совершенной формой экрана является многослойная сфера, состоящая из концентрических слоев магнитно-мягкого и немагнитного материалов. Толщины этих слоев должны по мере удаления от центра возрастать в геометрической прогрессии.

2. При изменении всех размеров экрана в одинаковое число раз степень экранирования остается неизменной.

3. Уменьшение размеров экрана при сохранении его толщины увеличивают степень экранирования, но одновременно увеличивает рассеяние магнитного поля защищаемого механизма.

4. Наличие в экране небольших отверстий мало отражается на степени экранирования, но стыки между частями экрана следует располагать параллельно направлению помехонесущего поля.

5. Форма экрана мало влияет на степень экранирования. Поэтому экран произвольной формы можно рассчитывать по формулам сферического экрана той же толщины Δ , если принять за диаметр сферы d среднее арифметическое значений размеров a , b и c по трем его главным осям:

$$d = \frac{a + b + c}{3}. \quad (3-147)$$

Например, цилиндрический экран с наружным радиусом $r_{\text{нар}}$ и высотой h может быть рассчитан по формулам сферического экрана с наружным радиусом

$$R_{\text{нар}} = (2r_{\text{нар}} + h/2)/3. \quad (3-148)$$

Расчет сферического экрана заданных размеров

Защитные свойства экрана в основном определяются значением относительной магнитной проницаемости μ_r и намагниченности насыщения M_s его материала. Экраны для защиты от сильных полей ($H_{\text{нар}} \gg 400$ А/м) следует проектировать так, чтобы рабочая точка, определяющая его магнитное состояние, лежала на линейном участке основной кривой намагничивания ниже ее «колена». В этой зоне магнитная проницаемость приблизительно постоянна и близка к максимальной ($\mu_r \approx \mu_{r, \text{max}}$). Если магнитная проницаемость материала экрана $\mu_{r, \text{max}} \geq 5000$, то коэффициент экранирования трехслойного экрана (рис. 3-25, а) можно определять по формуле

$$K_3 = \frac{\mu_r}{4,5} \left\{ 1 - P_1 P_2 P_3 + \left(\frac{\mu_r}{4,5} \right)^2 n_1 n_{12} n_2 n_{23} n_3 + \right. \\ \left. + \frac{\mu_r}{4,5} [(n_1 n_2 + n_1 n_3 - n_1 n_2 n_3) n_{12} + (n_1 n_3 + n_2 n_3 - n_1 n_2 n_3) n_{23} - \right. \\ \left. - n_1 n_{12} n_3] \right\}, \quad (3-149)$$

где $P_1 = (R_{\text{вн}}/R_1)^3$; $P_2 = (R_2/R_3)^3$; $P_3 = (R_4/R_{\text{нар}})^3$; $n_1 = 1 - P_1$; $n_2 = 1 - P_2$; $n_3 = 1 - P_3$; $n_{12} = 1 - (R_1/R_2)^3$; $n_{23} = 1 - (R_3/R_4)^3$.

Из формулы (3-149) можно получить выражения для коэффициентов экранирования двухслойного (рис. 3-25, б) и однослойного (рис. 3-25, в) экранов.

Полагая $R_3=R_4=R_{\text{нар}}$, получают $P_3=1$ и $n_{23}=n_3=0$. Подставив эти значения в формулу (3-142), получают выражение коэффициента экранирования K_2 двухслойного экрана:

$$K_2 = \frac{\mu_r}{4,5} \left[1 - P_1 P_2 + \frac{\mu_{rH}}{4,5} n_1 n_{12} n_2 \right], \quad (3-150)$$

где

$$P_1 = (R_{\text{вн}}/R_1)^3; \quad P_2 = (R_2/R_{\text{нар}})^3; \quad n_1 = 1 - P_1; \quad n_2 = 1 - P_2; \\ n_{12} = 1 - (R_1/R_2)^3.$$

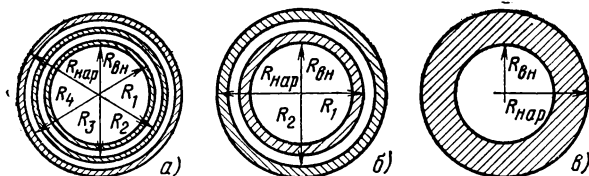


Рис. 3-25. Сферические экраны.

а — трехслойный; б — двухслойный; в — однослойный.

Полагая в (3-143) $R_1=R_2=R_{\text{нар}}$, получают $P_2=1$; $n_{12}=n_2=0$. Отсюда выражение коэффициента экранирования однослойного экрана принимает вид:

$$K_1 = \frac{\mu_r}{4,5} \left[1 - \left(\frac{R_{\text{вн}}}{R_{\text{нар}}} \right)^3 \right]. \quad (3-151)$$

При заданных значениях внутреннего $R_{\text{вн}}$ и наружного $R_{\text{нар}}$ радиусов экрана максимум коэффициента экранирования наступает при условии, что отношение радиусов всех слоев (магнитных и немагнитных) составляет геометрическую прогрессию, знаменатель которой

$$\sigma_n = \sqrt[n-1]{R_{\text{вн}}/R_{\text{нар}}}, \quad (3-152)$$

где n — число ферромагнитных слоев экрана.

Следовательно, для трехслойного экрана оптимальное соотношение радиусов выражается условием

$$\frac{R_{\text{вн}}}{R_1} = \frac{R_1}{R_2} = \frac{R_2}{R_3} = \frac{R_3}{R_4} = \frac{R_4}{R_{\text{нар}}} = \sigma_3 = \sqrt[5]{R_{\text{вн}}/R_{\text{нар}}}. \quad (3-153)$$

При соблюдении этого условия $P_1=P_2=P_3=\sigma_3^3$, а $n_1=n_2=n_3=n_{12}=n_{23}=1-\sigma_3^3$ и формула (3-149) преобразуется к виду

$$K_{\text{опт}} = \frac{\mu_r}{4,5} \left\{ 1 - \sigma_3^9 + \frac{\mu_r}{4,5} (1 - \sigma_3^3)^3 \left[1 + 3\sigma_3^3 + \right. \right. \\ \left. \left. + \frac{\mu_r}{4,5} (1 - \sigma_3^3)^2 \right] \right\}. \quad (3-154)$$

Для двухслойного экрана условие оптимальности принимает вид:

$$\frac{R_{вн}}{R_1} = \frac{R_1}{R_2} = \frac{R_2}{R_{нар}} = \sigma_2 = \sqrt[3]{R_{вн}/R_{нар}}. \quad (3-155)$$

При соблюдении этого условия $P_1 = P_2 = \sigma_2^3$, а $n_1 = n_2 = n_{12} = 1 - \sigma_2^3$ и формула (3-150) преобразуется к виду

$$K_2 = K_{2опт} = \frac{\mu_{rn}}{4,5} \left[1 - \sigma_2^6 + \frac{\mu_{rn}}{4,5} (1 - \sigma_2^3)^3 \right]. \quad (3-156)$$

Толщины слоев оптимального двухслойного экрана также образуют геометрическую прогрессию

$$\Delta_{вн}/\Delta_{п} = \Delta_{п}/\Delta_{нар} = \sigma_2, \quad (3-157)$$

где $\Delta_{вн}$ и $\Delta_{нар}$ — толщины внутреннего и наружного ферромагнитных слоев, а $\Delta_{п}$ — толщина немагнитного промежутка.

Действительно, так как $\Delta_{вн} = R_1 - R_{вн}$, $\Delta_{п} = R_2 - R_1$ и $\Delta_{нар} = R_{нар} - R_2$, то $\frac{\Delta_{вн}}{\Delta_{п}} = \frac{R_1 - R_{вн}}{R_2 - R_1} = \frac{1 - \sigma}{1/\sigma - 1} = \sigma$.

Точно так же можно показать, что и $\Delta_{п}/\Delta_{нар} = \sigma$.

Если задано значение Δ общей толщины двухслойного экрана, то оптимальные значения толщин слоев находят по формулам

$$\begin{aligned} \Delta_{вн} &= \Delta \frac{\sigma_2^2}{1 + \sigma_2 + \sigma_2^2}; & \Delta_{п} &= \Delta \frac{\sigma_2}{1 + \sigma_2 + \sigma_2^2}; \\ \Delta_{нар} &= \Delta \frac{1}{1 + \sigma_2 + \sigma_2^2}. \end{aligned} \quad (3-158)$$

Отношение толщины немагнитного промежутка к суммарной толщине ферромагнитных слоев определяется здесь формулой

$$\frac{\Delta_{п}}{\Delta_{вн} + \Delta_{нар}} = \frac{\sigma_2}{1 + \sigma_2^2}. \quad (3-159)$$

Оно возрастает с уменьшением относительной толщины экрана $\Delta/R_{нар}$ и в пределе при $\Delta/R_{нар} \rightarrow 0$ достигает значения 0,5. Поэтому у тонких экранов на немагнитный промежуток приходится около $1/3$ общей толщины экрана.

Двухслойный оптимальный экран выгоднее однослойного такой же относительной толщины лишь при определенном соотношении значений μ_r и σ_2 . Из формул (3-151) и (3-156) следует, что условие $K_1 = K_{2опт}$ наступит при

$$\mu_r = \mu_{r.рев} = \frac{4,5\sigma_2^2}{(1 - \sigma_2^3)^2} = 4,5 \frac{(1 - \Delta/R_{нар})^2}{(\Delta/R_{нар})^2}. \quad (3-160)$$

Разность коэффициентов экранирования двухслойного оптимального и однослойного экранов такой же толщины Δ выражается через $\mu_{r.rev}$ уравнением

$$K_2 - K_1 = \left(\frac{\mu_r}{\mu_{r.rev}} - 1 \right) \frac{\mu_r}{4,5} \sigma_2^6 (1 - \sigma_2^3). \quad (3-161)$$

Если $\mu_r > \mu_{r.rev}$, то $K_2 > K_1$ и выгоднее применять двухслойный экран. Значение $\mu_{r.rev}$ может служить критерием при выборе типа экрана. Характеристика $\mu_{r.rev} = f(\Delta/R_{нар})$, подсчитанная (табл. 3-3)

Таблица 3-3

Значения $\mu_{r.rev}$ в зависимости от $\Delta/R_{нар}$

$\frac{\Delta}{R_{нар}}$	0,010	0,015	0,020	0,025	0,030	0,035	0,040	0,050
$\mu_{r.rev}$	44 100	19 400	10 800	7200	4700	3400	2680	1620

Продолжение

$\frac{\Delta}{R_{нар}}$	0,06	0,08	0,10	0,12	0,14	0,16	0,18	0,20
$\mu_{r.rev}$	1100	595	362	242	170	123	92,5	72

на основании (3-160), позволяет выбрать тип экрана по заданным параметрам $\Delta/R_{нар}$ и μ_r . Например, если экран, имеющий относительную толщину $\Delta/R_{нар} = 0,03$, выполнить из материала, имеющего $\mu_r = 16\,000$, то нужно применять двухслойную конструкцию, так как значению $\Delta/R_{нар} = 0,03$ по данным таблицы соответствует $\mu_{r.rev} = 4700$. Если тот же экран выполнить из материала, имеющего $\mu_r = 3000$, то нужно выбирать однослойную конструкцию.

Преимущество двухслойного экрана быстро возрастает по мере увеличения проницаемости материала, о чем свидетельствует график (рис. 3-26), на котором представлена характеристика $K = f(\mu_r)$ для однослойного (прямая K_1) и двухслойного (кривая K_2) экранов, имеющих одинаковую относительную толщину $\Delta/R_{нар} = 0,03$. Если же при $\mu_r = \text{const}$ изменять относительную толщину экрана $\Delta/R_{нар}$, то (рис. 3-27) с уменьшением толщины коэффициент экранирования у двухслойного экрана уменьшается значительно быстрее, чем у однослойного, и после некоторого предельного значения $\Delta/R_{нар}$ более выгодным становится однослойный экран.

Расчет экрана по заданному коэффициенту экранирования

Формулы (3-145) и (3-146) предназначены для случая, когда геометрические размеры экрана известны заранее и требуется получить наибольший возможный при этих условиях коэффициент экранирования. При проектировании экрана чаще возникает обратная задача: рассчитать экран, обладающий заданным коэффициентом экранирования. Известными здесь считаются требуемый коэффициент

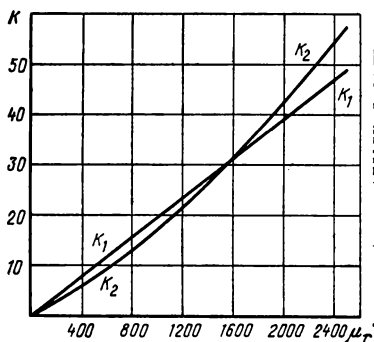


Рис. 3-26. Зависимость коэффициента экранирования от магнитной проницаемости материала сферического экрана.

K_1 — однослойного; K_2 — двухслойного ($\Delta R_{\text{нар}} = 0,03$).

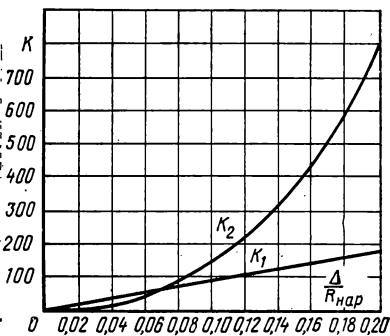


Рис. 3-27. Зависимость коэффициента экранирования от толщины экрана.

K_1 — однослойного; K_2 — двухслойного ($\mu = 2000$).

экранирования K и наружный радиус экрана $R_{\text{нар}}$. Поэтому задача сводится к отысканию относительной толщины экрана $\Delta/R_{\text{нар}}$.

Зависимость $\Delta/R_{\text{нар}} = f(\sigma)$ находят, решив уравнение (3-148) относительно $\Delta/R_{\text{нар}}$:

$$\Delta/R_{\text{нар}} = 1 - \sigma_2^3. \quad (3-162)$$

Зависимость $\Delta/R_{\text{нар}} = f(K, \mu_r)$ находят, решив уравнения (3-151) и (3-156) относительно σ_2 с учетом выражения (3-162). Для однослойного экрана получается формула

$$\left(\frac{\Delta}{R_{\text{нар}}} \right)_{\text{одн}} = 1 - \sqrt[3]{1 - 4,5K/\mu_r}, \quad (3-163)$$

а для двухслойного оптимального экрана формула

$$\left(\frac{\Delta}{R_{\text{нар}}} \right)_{\text{дв}} = \sqrt[3]{\left(\frac{4,5}{\mu_r} \right)^2 K}. \quad (3-164)$$

Расчет удобно вести по номограмме (рис. 3-28).

Вычислив по заданным значениям K и μ_r значения $4,5 K/\mu_r$ и $(4,5/\mu_r)^2 K$, находят по кривой 1 соответствующее значение относительной толщины $(\Delta/R_{\text{нар}})_{\text{одн}}$, а по кривой 2 соответствующее значение $(\Delta/R_{\text{нар}})_{\text{дв}}$. Если окажется, что $(\Delta/R_{\text{нар}})_{\text{одн}} < (\Delta/R_{\text{нар}})_{\text{дв}}$, то выгоднее однослойный экран. Если же $(\Delta/R_{\text{нар}})_{\text{одн}} > (\Delta/R_{\text{нар}})_{\text{дв}}$, то выгоднее двухслойный экран, и найденная по кривой 1 толщина экрана может быть уменьшена за счет перехода на двухслойный экран. Требуемую толщину двухслойного экрана уточняют по формуле (3-157).

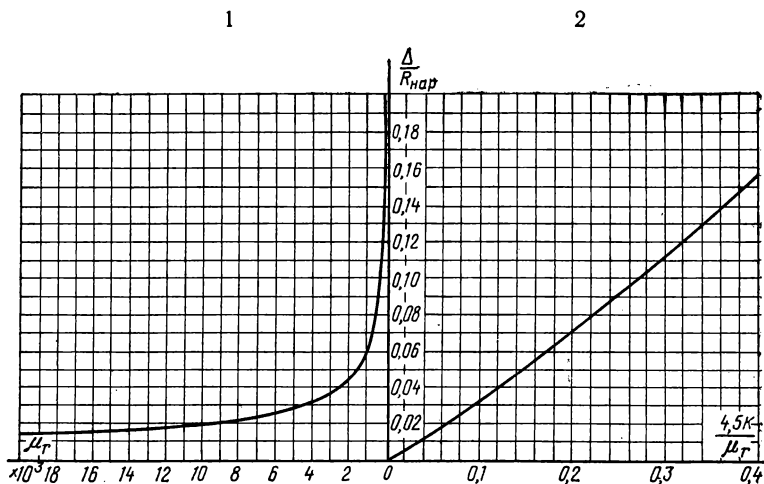


Рис. 3-28. Номограмма для расчета магнитных экранов.

Определение магнитного состояния экрана. Магнитное состояние материала экрана определяется кривой $B=f_2(H)$ намагничивания тела экрана (рис. 3-29), а также площадью S поперечного сечения его наружного магнитно-мягкого слоя. Кривая намагничивания тела экрана является не чем иным, как скошенной вправо основной кривой $B=f_1(H)$ намагничивания его вещества. Крутизна наклона определяется формулой $\operatorname{tg} \alpha = \mu_0(m-1)$, где m — проницаемость формы экрана.

Для построения искомой кривой $B=f_2(H)$ нужно провести под углом α линию oa и сместить каждую из точек кривой $B=f_1(H)$ на соответствующий отрезок. Например, точка c должна быть сдвинута вправо на длину отрезка bd и перейти в точку e , принадлежащую искомой кривой $B=f_2(H)$. Полученная кривая позволяет найти среднюю индукцию $B_{\text{ср}}$, если известна напряженность $H_{\text{ст}}$ стороннего поля. Действительная индукция в стенке экрана B во столько раз больше найденного значения, во сколько раз площадь поперечного сечения экрана больше площади поперечного сечения его стенки.

При двухслойном экране за площадь поперечного сечения стенки следует принимать площадь сечения наружного слоя.

Проницаемость формы экрана m находят по тем же формулам, что и проницаемость формы прямых магнитов. У цилиндрического экрана, намагниченного по диаметру, $m = 2 + \frac{2R_{\text{нар}}}{l}$, где l — длина экрана. У сферического экрана $m=3$. У цилиндрических и призматических экранов, намагниченных по длине, проницаемость формы определяют по кривым Томпсона и Мосса, или по формулам (3-27) — (3-30).

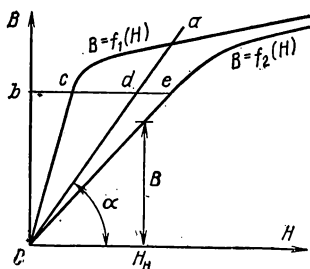


Рис. 3-29. Построение кривой намагничивания стенок экрана.

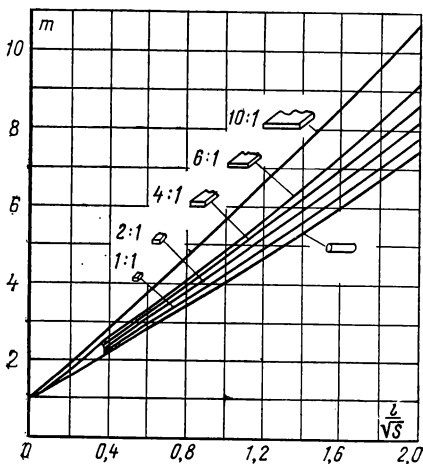


Рис. 3-30. Проницаемость формы цилиндрических и прямоугольных экранов.

Относительная длина экрана λ обычно невелика ($\lambda \leq 2$). Поэтому на рис. 3-30 приведена начальная область тех же кривых, что и на рис. 3-6, но в более крупном масштабе.

Выбор материала экрана. Материал экранов, работающих в сильных полях, должен отвечать двум основным требованиям: иметь высокую магнитную проницаемость и высокую индукцию «колена» кривой намагничивания. Этим требованиям отвечают пермендюры — сплавы с выпуклой кривой намагничивания и высокой индукцией насыщения. Координаты начала «колена» B_k и H_k определяют рабочее значение магнитной проницаемости $\mu_{\text{раб}} = B_k / \mu_0 H_k$, близкое к значению $\mu_{r, \text{max}}$. Для экранов лучше всего подходит супермендюр марки 49К2ФА, у которого $B_k = 2$ Тл, $H_k = 25$ А/м и $\mu_{\text{раб}} = 63\,000$. Особенностью этого сплава является большая протяженность зоны Релея. Поэтому в диапазоне $H = 0 \div 8$ А/м магнитная проницаемость постоянна: $\mu_r = \mu_{\text{нач}} = 500$.

Магнитные экраны выполняют также и из сплава 49К2ФВИ, имеющего $\mu_{\text{раб}} = (5 \div 6) \cdot 10^3$.

Примеры расчета. 1. Требуется рассчитать цилиндрический экран в двух исполнениях: для $K=100$ и для $K=1000$. Радиус экрана $R_{\text{нар}}=50$ мм, длина экрана $l=2 R_{\text{нар}}$. В обоих случаях экран выполнен из сплава 49К2ФВИ с $\mu_{\text{раб}}=5000$.

Расчет: при $K=100$ параметры $4,5 K/\mu_r=0,09$ и $(4,5/\mu_r)^2 K=8 \cdot 10^{-5}$. Из графика (см. рис. 3-28) следует, что в этом случае $(\Delta/R_{\text{нар}})_{\text{одн}}=0,03$ и $(\Delta/R_{\text{нар}})_{\text{дв}}=0,04$. Так как $(\Delta/R_{\text{нар}})_{\text{одн}} < (\Delta/R_{\text{нар}})_{\text{дв}}$, то выгоднее однослойный экран. Толщина экрана Δ равняется $0,03 R_{\text{нар}}=0,03 \cdot 50=1,5$ мм. При $K=1000$ параметр $4,5 K/\mu_r=0,9$. Из графика (см. рис. 3-28) следует, что в этом случае $(\Delta/R_{\text{нар}})_{\text{одн}}$ заведомо больше, чем $(\Delta/R_{\text{нар}})_{\text{дв}}$, и нужно принять двухслойный экран.

$$\text{По (3-157) находим: } (\Delta/R_{\text{нар}})_{\text{дв}} = \sqrt[3]{\left(\frac{4,5}{5 \cdot 10^3}\right)^2 \cdot 1000} = 0,093.$$

Общая толщина экрана Δ равняется $0,093 \cdot 50=4,65$ мм. Однослойный экран имел бы в этом случае относительную толщину

$$\left(\frac{\Delta}{R_{\text{нар}}}\right)_{\text{одн}} = 1 - \sqrt[3]{1 - \frac{4,5 \cdot 1000}{5 \cdot 10^3}} = 0,536.$$

Отсюда $\Delta=26,8$ мм. Следовательно, применение двухслойной конструкции приводит в этом случае к существенному уменьшению общей толщины и массы экрана.

Для определения толщины отдельных слоев экрана находим

$$\sigma = \sqrt[3]{1 - \frac{\Delta}{R_{\text{нар}}}} = 0,96 \text{ и } 1 + \sigma + \sigma^2 = 2,88.$$

Отсюда

$$\Delta_{\text{вн}} = \Delta \frac{\sigma^2}{1 + \sigma + \sigma^2} = 1,49 \text{ мм; } \Delta_{\text{п}} = \Delta \frac{\sigma}{1 + \sigma + \sigma^2} = 1,55 \text{ мм;}$$

$$\Delta_{\text{нар}} = \Delta \frac{1}{1 + \sigma + \sigma^2} = 1,61 \text{ мм.}$$

2. Определить наибольшую напряженность внешнего поля $H_{\text{нар max}}$, допустимую для однослойного цилиндрического экрана из супермендюра 49К2ФА ($\mu_r=60\,000$) при коэффициенте экранирования $K=1000$. Соотношение размеров экрана: $l=2R_{\text{н}}$.

Предельную напряженность внешнего поля легко определить, рассчитав координаты точки начала «колена» кривой намагничивания тела экрана (рис. 3-29), построенной на основании кривой намагничивания его вещества. При этом нужно учитывать, что индукция в стенке экрана $B=B_{\text{ср}}S_{\text{з}}/S_{\text{ст}}$, где $B_{\text{ср}}$ — среднее значение индукции без учета полости в экране; $S_{\text{з}}$ — площадь поперечного сечения экрана; $S_{\text{ст}}$ — площадь поперечного сечения стенки. Расчет нужно вести для такого направления поля относительно оси экрана, при котором проницаемость m формы экрана наибольшая. При продольном направлении поля значение $m_{\text{пр}}$ находят по кривым Томпсона и Мос-

са (рис. 3-30), а при поперечном — по формуле $m_{\text{поп}} = 2 + \frac{2R_{\text{н}}}{l}$.

При продольном направлении поля $\left(\frac{S_{\text{э}}}{S_{\text{ст}}}\right)_{\text{пр}} = \frac{\pi R_{\text{нар}}^2}{2\pi R_{\text{нар}} \Delta} = \frac{R_{\text{нар}}}{2\Delta}$,

а при поперечном $\left(\frac{S_{\text{э}}}{S_{\text{ст}}}\right)_{\text{поп}} = \frac{2R_{\text{нар}} l}{2\Delta (l + 2R_{\text{нар}})} = \frac{R_{\text{нар}}}{\Delta \left(1 + \frac{2R_{\text{н}}}{l}\right)}$.

В нашем случае $l = 2R_{\text{нар}}$; отсюда

$$(S_{\text{э}}/S_{\text{ст}})_{\text{пр}} = (S_{\text{э}}/S_{\text{ст}})_{\text{поп}} = R_{\text{нар}}/2\Delta \text{ и } m_{\text{поп}} = 3.$$

По кривым рис. 3-29 находим, что и $m_{\text{пр}} = 3$. Следовательно, магнитное состояние экрана одинаково как при продольном, так и при поперечном направлении поля, и уравнение линии проницаемости формы имеет вид:

$$B_{\text{ср}}/H_{\text{нар}} = \mu_0 (m - 1), \text{ где } B_{\text{ср}} = BS_{\text{ст}}/S_{\text{э}} = B \cdot 2\Delta/R_{\text{нар}} \text{ и } m = 3.$$

Отсюда $H_{\text{нар}} = B\Delta/R_{\text{нар}}\mu_0$. Чтобы линия проницаемости формы, охватывающая весь диапазон изменения индукции, помещалась в пределах чертежа, масштаб оси абсцисс должен быть достаточно мелким. При этом линейный участок кривой намагничивания материала почти сливается с осью ординат, а кривая намагничивания тела — с линией проницаемости формы. У супермендюра 49К2ФА

насыщение начинается при $B = 2$ Тл. Отсюда $H_{\text{нар max}} = \frac{\Delta}{R_{\text{нар}} \mu_0} \cdot 2$. Относительную толщину стенки экрана $\Delta/R_{\text{нар}}$ находим по формуле (3-156):

$$\begin{aligned} \frac{\Delta}{R_{\text{нар}}} &= 1 - \sqrt[3]{1 - \frac{4,5K}{\mu_r}} = 0,0257. \text{ Отсюда } H_{\text{нар max}} = \\ &= \frac{2 \cdot 0,0257}{4\pi \cdot 10^{-7}} = 40 \text{ кА/м.} \end{aligned}$$

3-9. РЕАЛИЗАЦИЯ ТРЕБУЕМОЙ ХАРАКТЕРИСТИКИ РАСПРЕДЕЛЕНИЯ ПОЛЯ В РАБОЧЕЙ ЗОНЕ МАГНИТА

Эта проблема возникает при проектировании многих магнитных систем. Наиболее важно ее решение, когда необходимо сначала определить, а затем реализовать требуемую характеристику распределения поля, особенно в тех случаях, когда поле должно быть неравномерным. Поставленная задача будет рассмотрена на примере проектирования магнитных систем логометрических измерительных механизмов, для работы которых необходим существенно нелинейный характер распределения поля.

Логометрические механизмы часто используют в приборах для электрического измерения неэлектрических величин. Из анализа структурной схемы прибора всегда можно определить внешнюю характеристику измерительного механизма $Y = f(\alpha)$, где α — угол по-

вороты стрелки, а Y — электрическая величина, на которую реагирует измерительный механизм прибора, измеряющего неэлектрическую величину X . Проектирование полюсной системы магнита сводится здесь к последовательному решению двух задач:

1. Зная внешнюю характеристику измерительного механизма $Y=f(\alpha)$, найти требуемую характеристику магнитного поля $Q=f(\alpha)$, где $Q=d\Phi/d\alpha$ — производная потокосцепления среднего витка обмотки логометра; Φ — часть рабочего потока, сцепленная с обмоткой.

2. Реализовать требуемую характеристику магнитного поля путем придания полюсным поверхностям соответствующих очертаний.

При решении первой задачи возможны два основных случая — когда обмотки логометра расположены в разных магнитных полях и когда они расположены в общем магнитном поле.

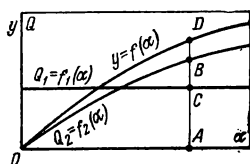


Рис. 3-31. Характеристика магнитной системы с раздельными полями.

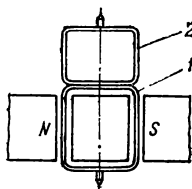


Рис. 3-32. Магнитная система логометра с использованием поля рассеяния.

1. Обмотки расположены в разных магнитных полях с характеристиками $Q_1=f_1(\alpha)$ и $Q_2=f_2(\alpha)$, где Q_1 и Q_2 — производные потокосцепления обмотки 1 и 2 (рис. 3-31). Требуется определить вид этих характеристик, если известна только внешняя характеристика механизма $Y=f(\alpha)$.

Из теории логометров известно, что $Y=Q_2/Q_1$. Поэтому, задавая произвольно одной из характеристик, например характеристикой $Q_1=f_1(\alpha)$, строят вторую характеристику по уравнению $Q_2=YQ_1=f(\alpha)f_1(\alpha)$. Отсюда для любой точки A (рис. 3-31) $Q_2=AD \cdot AC=AB$.

Произвольным выбором формы одной из характеристик часто пользуются для упрощения конструкции магнитной системы логометра. Например, характеристиками, представленными на рис. 3-31, обладает логометр (рис. 3-32), использующий простую в изготовлении магнитную систему гальванометрического типа. Обмотка 1 здесь расположена в радиально-равномерном поле, а обмотка 2 — в поле рассеяния.

2. Обмотки расположены в общем магнитном поле. Задачу можно решить графоаналитически по способу базисных точек, по способу базисного участка и аналитически, используя разложения в ряд Тейлора.

Способ базисных точек (рис. 3-33) пригоден при условии $2\gamma \ll \alpha_{\text{ш}}$, где $\alpha_{\text{ш}}$ — угол раствора шкалы, а 2γ — угол раствора обмотки лого-

метра. Заданной считается внешняя характеристика механизма $Y=f(\alpha)$ (кривая AB). Для построения искомой характеристики $Q=F(\alpha)$ нужно задаться одной из ее ординат, например начальной ординатой Q_0 . Важно найти лишь форму кривой $Q=F(\alpha)$, так как ее масштаб можно определить только после расчета магнитной системы. Расположение обмоток 1 и 2 показано на схеме. Ординат

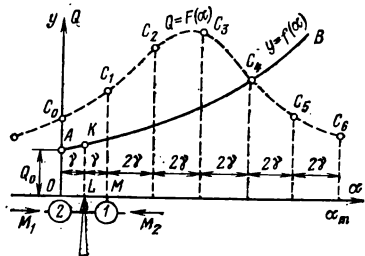


Рис. 3-33. Метод базисных точек.

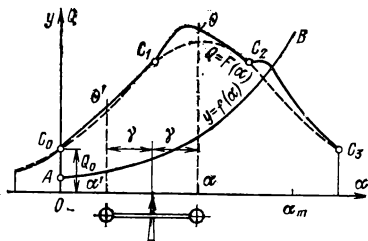


Рис. 3-34. Метод базисного участка. Общий случай.

точки C_1 искомой кривой, т. е. $F(2\gamma) = MC_1$, вычисляют по формуле $Q_1/Q_2 = \omega_1 \cdot MC_1 / (\omega_2 \cdot OC_0) = 1$ (γ) = LK :

$$F(2\gamma) = \frac{w_2}{w_1} \cdot OC_0 \cdot LK. \quad (3-165)$$

Переводя подвижную часть логометра каждый раз на угол 2γ , этим же способом строят точки C_2, C_3, \dots, C_n , отстоящие от точки C_0 , принятой за начальную, на углы, кратные 2γ . Ординату любой из этих точек можно вычислять по формуле

$$F(k \cdot 2\gamma) = \frac{w_1}{w_0} Q_0 f(\gamma) f(3\gamma) f(5\gamma) \dots f[(2k-1)\gamma], \quad (3-166)$$

где k — порядковый номер базисной точки.

Соединяя найденные базисные точки плавной кривой, получают искомую характеристику $Q=F(\alpha)$.

Способ базисных точек тем точнее, чем меньше угол 2γ раствора обмоток по сравнению с углом α_m раствора шкалы. Если же углы 2γ и α_m близки по значению, то результаты оказываются ненадежными.

Способ базисного участка. Для нахождения точных очертаний характеристики магнитного поля $Q=F(\alpha)$ задаются начальной ординатой Q_0 (рис. 3-34), вычисляют по формуле (3-158) ординату $Q=F(2\gamma)$ соседней базисной точки C_1 и соединяют полученные точки C_0 и C_1 произвольной линией, приняв ее за базисный участок искомой характеристики. Тогда для любой точки θ с абсциссой α , лежащей на искомой кривой вне базисного участка, всегда можно найти на базисном участке соответствующую точку θ' с абсциссой

α' , отличающейся на величину, кратную 2γ , и применить формулу (3-159). В зависимости от выбора формы базисного участка искомая характеристика может получиться либо плавной, либо с изломами. Так, при заданной на рис. 3-34 внешней характеристике (кривая AB) выбор прямолинейного базисного участка дает характеристику с изломами (сплошная линия), а выбор криволинейного базисного участка C_0C_1 дает плавную характеристику (пунктирная линия).

Наличие изломов не всегда является недостатком характеристики магнитного поля. Иногда изломы желательны, так как это может приводить к упрощению очертания полюсных наконечников. Примером может служить механизм (см. рис. 2-10) с углом раствора шкалы 120° , одинаковыми обмотками ($\omega_1 = \omega_2$), расположенными под углом $2\gamma = 60^\circ$, и внешней характеристикой $Y = (60 - \alpha)/(60 + \alpha)$ (рис. 3-35). Так как эта характеристика пересекает ось абсцисс при $\alpha = +60^\circ$ (когда $I_1 = 0$) и уходит в бесконечность при $\alpha = 60^\circ$ (когда $I_2 = 0$), то для удобства дальнейших построений в первом квадранте она изображена на рис. 3-35

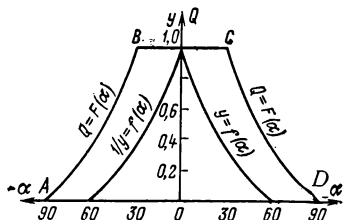


Рис. 3-35. Метод базисного участка. Частный случай.

по уравнению $Y = (60 - \alpha)/(60 + \alpha)$, а во втором квадранте по уравнению $1/Y = (60 + \alpha)/(60 - \alpha)$.

О виде искомой характеристики $Q = F(\alpha)$ можно сделать следующие предварительные заключения: во-первых, она должна пересекать ось абсцисс в точке A ($\alpha = -90^\circ$), когда отношение $I_1/I_2 = \infty$, и в точке D ($\alpha = +90^\circ$), когда $I_1/I_2 = 0$, так как в обеих точках равновесие логометра возможно только при условии $Q = 0$.

Во-вторых, при $\omega_1 = \omega_2$ ординаты точек B и C , соответствующие абсциссам $-\gamma$ и $+\gamma$, равны между собой, так как при этом положении подвижной части $\alpha = 0$ и токи в обмотках равны друг другу. Прямолинейный базисный участок удобно расположить между точками B и C , условно выбрав их ординаты равными единице. После этого для построения остальных участков искомой характеристики $Q = F(\alpha)$ достаточно сдвинуть правую часть характеристики $Y = f(\alpha)$ на 30° вправо, а левую — на 30° влево. Полученная криволинейная трапеция $ABCD$ является искомой характеристикой, так как при отклонении подвижной части логометра на любой угол α , лежащий в пределах шкалы, выполняется условие

$$\frac{Q_2}{Q_1} = \frac{F(\alpha + \gamma)}{F(\alpha - \gamma)} = \frac{f(\alpha)}{1} = f(\alpha). \quad (3-167)$$

Построенная характеристика имеет резкие изломы в точках B и C . Однако в применении к полюсной системе (см. рис. 2-10) это лишь упрощает изготовление наружного полюсного наконечника, ибо развертка его полюсной поверхности должна иметь такие же очертания, как и характеристика магнитного поля.

Способ разложения в ряд Тейлора. Приближенное уравнение плавной характеристики можно найти, разложив числитель и знаменатель правой части уравнения $Y = \frac{Q_2}{Q_1} = \frac{\omega_2}{\omega_1} \frac{F(\alpha + \gamma)}{F(\alpha - \gamma)}$ в ряд Тейлора. Обрывая ряд на втором члене, получают при $\omega_2 = \omega_1$ формулу

$$f(\alpha) = \frac{F(\alpha) - \gamma F'(\alpha)}{F(\alpha) + \gamma F'(\alpha)}. \quad (3-168)$$

Почленное умножение и группировка членов приводят к выражению

$$\frac{dF(\alpha)}{F(\alpha)} = -\frac{f(\alpha) - 1}{\gamma[f(\alpha) + 1]}, \quad (3-169)$$

проинтегрировав которое получают формулу

$$Q = F(\alpha) = \frac{1}{C} e^{-\frac{1}{\gamma} \left[\alpha - 2 \int \frac{d\alpha}{1+f(\alpha)} \right]}, \quad (3-170)$$

где C — постоянная интегрирования.

Применение этого общего выражения к рассмотренному выше частному случаю $f(\alpha) = (60 - \alpha)/(60 + \alpha)$ дает

$$Q = \frac{1}{C} e^{-\alpha^2/120\gamma}. \quad (3-171)$$

Постоянную C находят из начальных условий. При $\alpha = 0$ $F(\alpha) = Q_0$ и $C = \frac{1}{F(0)} = \frac{1}{Q_0}$. Отсюда уравнение искомой характеристики принимает вид:

$$Q = Q_0 e^{-\alpha^2/120\gamma}. \quad (3-172)$$

Формула (3-172) является приближенной, так как ряд Тейлора был оборван на втором члене. О степени приближения можно судить по рис. 3-36, где пунктиром изображена приближенная характеристика, вычисленная по формуле (3-172). Если же характеристику магнитного поля выполнить в соответствии с формулой (3-172), то внешняя характеристика механизма

$$Y = \frac{I_1}{I_2} = \frac{Q_0 e^{-(\alpha+\gamma)^2/120\gamma}}{Q_0 e^{-(\alpha-\gamma)^2/120\gamma}} = e^{-\alpha/\gamma}, \quad (3-173)$$

изображенная пунктиром, будет заметно отличаться от заданной внешней характеристики $Y = (60 - \alpha)/(60 + \alpha)$.

Чтобы увеличить степень приближения, нужно взять больше членов ряда Тейлора, но это значительно усложняет расчетную формулу и делает ее малоприменимой для анализа.

Реализация требуемой характеристики распределения поля обычно достигается двумя способами:

1. Изменением высоты h полюсного наконечника при постоянной длине l_3 рабочего зазора.

2. Изменением длины зазора при $h = \text{const}$. Высота цилиндрического сердечника в обоих случаях остается постоянной.

Если образующие полюсных поверхностей сердечника и наконечников взаимно параллельны, то индукция $B_{\text{раб}}$ практически одинакова во всех точках образующей. При $l_3 = \text{const}$ рабочее поле

радиально-равномерное, а при $l_3 = \text{var}$ поле неравномерное, но направление линий поля в зоне расположения обмотки близко к радиальному, так как линии поля практически перпендикулярны к поверхности сердечника. У каждой магнитной системы заранее известны размеры полюсных поверхностей, т. е. длину полюсной дуги α_n и наибольшую высоту h_{max} полюсного наконечника.

Независимо от вида полюсной системы приращение потокоцепления среднего витка обмотки при ее повороте на угол $d\alpha$ выражается формулой

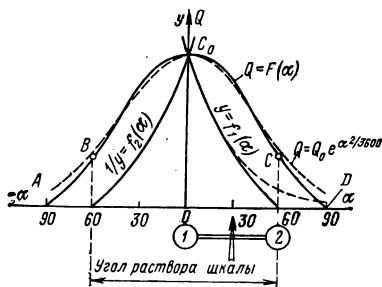


Рис. 3-36. Аналитическое определение характеристики поля способом разложения функции в ряд Тейлора.

$$d\Phi = B_{\text{раб}} h_a r d\alpha, \quad (3-174)$$

где $B_{\text{раб}}$ — индукция в рабочем зазоре; h_a — длина активной части витка; r — расстояние между активной частью витка и осью вращения.

Отсюда для производной потокоцепления, характеризующей магнитное поле, получают:

$$Q = \frac{d\Phi}{d\alpha} = B_{\text{раб}} h_a r. \quad (3-175)$$

Проектирование полюсной системы первого типа $h = \text{var}$, $l_3 = \text{const}$.

1. Если известны длина l_m и площадь поперечного сечения S_m магнита, из конструктивных соображений выбирают значения диаметра сердечника d_s , длины рабочего зазора l_3 , высоты полюсного наконечника h_{max} и угловой длины полюсной дуги α_n .

2. Зная требуемую характеристику магнитного поля $Q = F(\alpha)$, вычерчивают развертку полюсной поверхности $h = F(\alpha)$, совпадающую с очертаниями этой характеристики.

3. Определяют площадь полюса S_n и вычисляют проводимость $G_{\text{раб}}$ с учетом краевого эффекта (выпучивания поля на краях полюсной поверхности).

4. Строят производную кривую Разумовского (рис. 3-37) для выбранного материала магнита и требуемого запаса магнитной устойчивости.

5. Проводят луч OA_1 полной проводимости и луч OA_2 проводимости рассеяния $\Lambda_{\text{рас}}$, углы наклона которых определяют по формулам $\text{tg } \alpha_1 = (\Lambda_{\text{раб}} + \Lambda_{\text{рас}})l_M/S_M$; $\text{tg } \alpha_2 = \Lambda_{\text{рас}}l_M/S_M$ и определяют значение отрезка B_1 .

6. Находят значение индукции $B_{\text{раб}}$ по формуле $B_{\text{раб}} = B_1 S_M / S_{\text{п}}$.

7. Определяют масштаб оси ординат графика $Q = F(\alpha)$ путем определения значения $Q_{\text{тах}}$, соответствующего значению $h_{\text{тах}}$:

$$Q_{\text{тах}} = B_{\text{раб}} h_{\text{тах}} r. \quad (3-176)$$

8. Определяют значение потока, поступающего в сердечник с боковых граней полюсного наконечника, и в случае надобности уточняют вид характеристики $Q = F(\alpha)$ с учетом этого потока.

Проектирование полюсной системы второго типа $l_3 = \text{var}$, $h = \text{const}$.

Получение требуемой характеристики $Q = F(\alpha)$ при $l_3 = \text{var}$ связано с необходимостью точного выполнения криволинейных поверхностей малых размеров, что весьма затруднительно в технологическом отношении. Поэтому полюсные системы с $l_3 = \text{var}$ применяют лишь в случаях сочетания цилиндрических поверхностей в комбинациях, представленных на рис. 2-9, а—в, и задача сводится не к нахождению зависимости $l_3 = f(\alpha)$, соответствующей требуемой характеристике $Q = F(\alpha)$, а к построению характеристики $Q = F(\alpha)$ для полюсной системы с уже известной геометрией. При цилиндрических поверхностях вид функции $F(\alpha)$ довольно сильно зависит от значения эксцентриситета и взаимного расположения центров полюсных дуг. Это позволяет подбирать параметры полюсной системы так, чтобы по возможности приблизить действительную характеристику распределения магнитного поля к требуемой.

Расчет характеристики $Q = F(\alpha)$ здесь ведут с помощью построения картины поля. При ненасыщенном магнитопроводе трубки по-

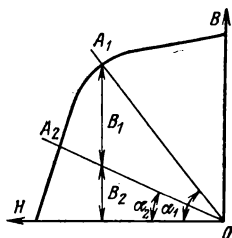
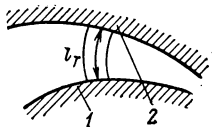


Рис. 3-37. Производная кривая Разумовского.

Рис. 3-38. Трубка поля в неравномерном рабочем промежутке.

1 — сердечник; 2 — полюсный наконечник.



ля (рис. 3-38) перпендикулярны к сердечнику 1 и полюсному наконечнику 2. Индукцию $B_{\text{раб}}$ в средней части трубки поля определяют по формуле $B_{\text{раб}} = \mu_0 F_{\text{п}} / l_r$, где $F_{\text{п}}$ — магнитное напряжение между полюсными поверхностями сердечника и полюсного наконеч-

ника, l_r — длина трубки поля. Имея картину поля, находят зависимость $l_r = f_1(\alpha)$ и, подставив в формулу (3-175) найденные выражения для B , получают искомую характеристику магнитного поля

$$Q = \frac{\mu_0 F_{\Pi} hr}{f_1(\alpha)}. \quad (3-177)$$

3-10. РАСЧЕТ МАГНИТНЫХ СИСТЕМ ПРИБОРОВ РАДИОЭЛЕКТРОНИКИ

Методика и порядок расчета

Техническое задание на расчет магнитных систем приборов радиоэлектроники должно включать в себя: длину рабочего воздушного зазора δ , площадь поперечного сечения рабочего воздушного зазора S_z , или геометрию полюсных наконечников, индукцию стабилизации (с учетом стабилизации на 2—3%) в центре воздушного зазора B_0 , тип магнитной системы и ее габаритные размеры, предельную массу.

Материал магнита и магнитной арматуры в большинстве случаев выбирается исходя из условий работы магнитной системы, требуемых магнитных и механических свойств, существующего опыта проектирования и т. д.

Расчет системы

1. Определяют расчетные значения индукции B_z и напряженность магнитного поля в воздушном зазоре:

$$B_z = k_z B_0, \quad (3-178)$$

где k_z — коэффициент, учитывающий соотношение между индукцией средней по сечению зазора и в центре воздушного зазора. Обычно $k_z = 1,05 \div 1,1$;

$$H_z = \frac{B_z}{\mu_0}. \quad (3-179)$$

2. Находят основные размеры магнита — длину l_m и площадь нейтрального сечения S_m :

$$l_m = \frac{H_z f \delta}{H_d}; \quad (3-180)$$

$$S_m = \frac{B_z \sigma S_z}{B_d}; \quad (3-181)$$

здесь f — коэффициент, учитывающий падение м. д. с. в магнитной арматуре и на стыках. Обычно принимают $f = 1,1 \div 1,4$; σ — коэффициент рассеяния магнитного потока:

$$\sigma = \frac{\Phi_m}{\Phi_z}, \quad (3-182)$$

где Φ_m и Φ_a — соответственно магнитный поток через нейтральное сечение магнита и магнитный поток через сечение рабочего воздушного зазора; B_d и H_d — индукция и напряженность поля, соответствующие точке $(BH/2)_{max}$ кривой размагничивания выбранного материала магнита.

Из-за многообразия типоразмеров и форм магнитных систем и полюсных наконечников, а также широкого интервала значений полюс значения коэффициента σ колеблются в больших пределах даже для однотипных конструкций. Поэтому на первом этапе расчета σ выбирается по аналогии с существующими или подобными системами и в дальнейшем корректируется. Для ориентировки в первом приближении рекомендуется: в рогеобразных системах считать σ лежащей в пределах 8—12, в С-образных системах 16—20, в армированных полюсными наконечниками одно- и двусвязных подковообразных системах 20—40.

3. По вычисленным I_m и S_m делают предварительный эскиз магнитной системы и намечают ожидаемые пути рассеяния магнитного потока. Картина рассеяния строится либо на основании картины магнитного поля, снятой с подобной системы, либо на основании имеющегося опыта. Затем вся цепь разбивается на ряд элементарных участков таким образом, чтобы их проводимости достаточно просто подсчитывались или аналитически по известным формулам или графически. В случае, если проводимость не может быть подсчитана по аналитическим формулам, она определяется приближенно из соотношения

$$\Lambda_p = \mu_0 \frac{V_{p.m.}}{l_{cp}^2}, \quad (3-183)$$

где $V_{p.m.}$ — объем пространства, занимаемого магнитным потоком рассеяния; l_{cp} — средняя длина линии поля.

Для учета изменения магнитного потенциала по длине магнита определяют расчетную геометрическую проводимость рассеяния магнита $\Lambda_{p.m.}$. Если иметь в виду линейное изменение м. д. с., коэффициент, учитывающий падение м. д. с., k в большинстве случаев принимается равным 0,5:

$$\Lambda_{p.m.} = k \sum_1^n \Lambda_{p.m.n.} \quad (3-184)$$

4. Полная геометрическая проводимость магнитной системы определяется как сумма геометрических проводимостей рабочего зазора, проводимости рассеяния арматуры и расчетной проводимости магнита:

$$\Lambda = \Lambda_3 + \Lambda_{p.a} + \Lambda_{p.m.} \quad (3-185)$$

5. Полная приведенная проводимость системы

$$\Lambda_{пр} = \mu_0 \Lambda \frac{l_m}{S_m}. \quad (3-186)$$

6. Рабочую точку системы находят графически как точку пересечения луча, проведенного из начала координат под углом $\alpha = \arctg \Lambda_{пр}$ до пересечения его с кривой размагничивания.

7. Определяют координаты рабочей точки H_m и B_m и сравнивают их с исходными H_d и B_d .

8. Индукция поля в рабочем зазоре подсчитывается по формуле

$$B_z = \frac{B_m S_m}{S_z \sigma} \quad (3-187)$$

При несовпадении полученного значения B_z с заданным размером магнитной системы или отдельных ее узлов корректируются, и весь расчет в том же порядке повторяется.

Точность данного метода расчета лежит в пределах до 10% и зависит от конструкции магнитной цепи.

Примеры расчета

Расчет и проектирование П-образных односвязных магнитных систем (рис. 3-39)

П-образная односвязная магнитная система предназначена для формирования сильных магнитных полей. Магнитная цепь состоит из вытянутого П-образного магнита и полюсных наконечников. Магнит может быть подковообразным (монолитным или разрезным) или П-образным составным. Подковообразные магниты выполняются из сплава типа ЮНДК24 или ЮНДК25БА. Полюсные наконечники выполняются из стали марки Э (ЧМТУ-1-84-67) или пермендюра 50КФ.

Техническое задание

Длина воздушного зазора $\delta = 27$ мм.

Индукция в центре зазора $B_0 = 450$ мТл.

Габаритные размеры не более $250 \times 170 \times 170$ мм.

Предельная масса без наконечников 22 кг.

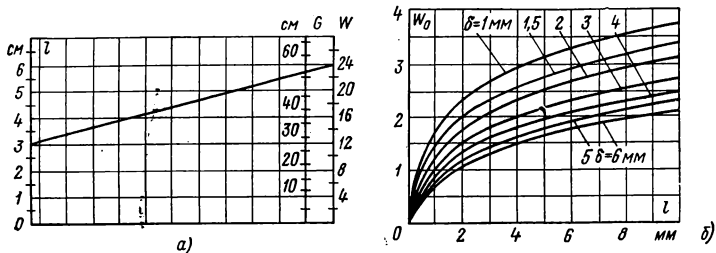


Рис. 3-39. Графики и номограмма для расчета проводимости.

a — график зависимости параметра W от длины участка l и расстояния между торцами цилиндров; *b* — номограмма для определения проводимости между боковыми поверхностями цилиндров, обращенных торцами друг к другу (δ — в сантиметрах).

Расчет системы

Наименование величин	Расчет величин
Расчетная индукция в рабочем зазоре (3-178)	$B_3 = 1,05 \cdot 450 = 470 \text{ мТл}$
Расчетная напряженность поля в рабочем зазоре (3-179)	$H_3 = 378 \text{ кА/м}$
Длина магнита (3-180) Для магнита выбираем сплав типа ЮНДК24 с $H_d = 33,6 \text{ кА/м}$ и $B_d = 0,85 \text{ Тл}$	$I_M = \frac{378 \cdot 2,7 \cdot 1,1}{33,6} = 33 \text{ см}$
Площадь поперечного сечения в нейтрали (3-181). Принимаем $\sigma = 40$	$S_M = \frac{470 \cdot 4,15 \cdot 40}{850} = 96 \text{ см}^2$

Расчет геометрических проводимостей

Проводимость воздушного зазора Λ_3 — проводимость между параллельными кольцевыми плоскостями, обращенными друг к другу (с учетом выпучивания только у внешнего ребра кольца):

$$\Lambda_3 = \frac{\pi \left[\left(D + k \frac{\delta}{\pi} \right)^2 - d^2 \right]}{4\delta}$$

Проводимость $M_{p.a1}$ между боковыми поверхностями цилиндров, обращенных торцами друг к другу, рассчитывается по формулам

$$\Lambda_{p.a1} = l + 2,1W$$

$$W = r \ln \left[1 + 2 \frac{l + \sqrt{l^2 + l\delta}}{\delta} \right]$$

или построенным по ним номограммам и графикам (рис. 3-39)

Проводимости $\Lambda_{p.a2}$ и $\Lambda_{p.a3}$ определяются аналогично проводимости $\Lambda_{p.a1}$

$$\begin{aligned} \Lambda_3 &= \\ &= \frac{3,14 \left[\left(2,4 + 0,307 \frac{2,7}{3,14} \right)^2 - \right]}{4 \times} \rightarrow \\ &\rightarrow \frac{-1,2^2}{\times 2,7} = 1,68 \text{ см} \end{aligned}$$

$$W_1 = 1; \quad \Lambda_{p.a1} = 2,59 \text{ см}$$

$$W_2 = 1,27; \quad \Lambda_{p.a2} = 3,2 \text{ см}$$

$$W_3 = 1,85; \quad \Lambda_{p.a3} = 4,3 \text{ см}$$

Продолжение

Наименование величин	Расчет величин
<p>Проводимость между боковыми гранями $\Lambda_{p.a4}$ — проводимость между поверхностями, лежащими в одной плоскости, удваивается, так как имеется такая же проводимость между противоположными гранями (табл. 3-4, III, 2а) $\Lambda_{p.a4} = gb$</p> <p>Проводимости $\Lambda_{p.a5}$ и $\Lambda_{p.a6}$ определяются аналогично проводимости $\Lambda_{p.a4}$</p> <p>Проводимость $\Lambda_{p.a7}$ между параллельными гранями, обращенными в противоположные стороны: $n = 2b/\delta; \quad m = 2c + \delta/\delta$ $\Lambda_{p.a7} = ga$</p> <p>Проводимость между торцами цилиндров $\Lambda_{p.a8}$ — проводимость между двумя дисками без учета выпучивания</p> <p>Проводимость между кольцевыми плоскостями $\Lambda_{p.a9}$ и $\Lambda_{p.a10}$ определяется аналогично проводимости Λ_3, но без учета выпучивания</p> <p>Общая проводимость рассеяния полюсных наконечников $\Lambda_{p.a} = \Lambda_{p.a1} + \dots + \Lambda_{p.a10}$</p> <p>Проводимость участка магнита I определяется как проводимость дуги по формуле $\Lambda_{p.m1} = 0,785p + 0,318\rho,$ где p — периметр нейтрального сечения; ρ — средний радиус дуги</p> <p>Участок II заменяется равновеликими параллелепипедами</p>	$m = \frac{2 \cdot 4,2 + 5,3}{5,3} = 2,59$ $g = 0,33$ $\Lambda_{p.a4} = 2 \cdot 0,33 \cdot 5 = 3,3 \text{ см}$ $m = 2,59; \quad g = 0,33$ $\Lambda_{p.a5} = 0,33 \cdot 6,6 = 2,18 \text{ см};$ $g = 0,259$ $\Lambda_{p.a6} = 0,259 \cdot 6,6 = 1,7 \text{ см}$ $n = \frac{2 \cdot 5}{5,3} = 1,89;$ $m = 2,59; \quad g = 0,168$ $\Lambda_{p.a7} = 0,168 \cdot 6,6 = 1,11 \text{ см}$ $\Lambda_{p.a8} = \frac{3 \cdot 1,4 \cdot 1,2^2}{4 \cdot 2,7} = 0,4 \text{ см}$ $\Lambda_{p.a9} = \frac{3,14 (3,6^2 - 2,4^2)}{4 \cdot 3,5} =$ $= 1,17 \text{ см}$ $\Lambda_{p.a10} = \frac{3,14 (5,8^2 - 3,6^2)}{4 \cdot 4,5} =$ $= 3,65 \text{ см}$ $\Lambda_{p.a} = 2,59 + 3,2 + 4,3 +$ $+ 3,3 + 2,18 + 1,7 + 1,11 +$ $+ 0,4 + 1,17 + 3,65 = 23,8 \text{ см}$ $\Lambda_{p.m1} = 0,785 \cdot 44 + 0,318 \cdot 3 =$ $= 36 \text{ см}$

Продолжение

Наименование величин	Расчет величин
Проводимость $\Lambda_{p.m2}$ между параллельными плоскостями, обращенными друг к другу	$\Lambda_{p.m2} = \frac{8 \cdot 11}{7,5} = 11,8 \text{ см}$
Проводимость $\Lambda_{p.m3}$ определяется аналогично проводимости $\Lambda_{p.a4}$	$m = 2; \quad g = 0,423$ $\Lambda_{p.m3} = 2 \cdot 0,423 \cdot 8 = 6,76 \text{ см}$
Проводимость $\Lambda_{p.m4}$ определяется аналогично проводимости $\Lambda_{p.a7}$	$n = 1,33; \quad m = 2; \quad g = 0,15$ $\Lambda_{p.m4} = 2 \cdot 0,15 \cdot 8 = 2,4 \text{ см}$
Расчетная проводимость рассеяния магнита	$\Lambda_{p.m} = 0,5 (36 + 11,8 + 6,74 + 2,4) = 28,48 \text{ см}$
$\Lambda_{p.m} = 0,5 (\Lambda_{p.m1} + \dots + \Lambda_{p.m4})$	
Полная геометрическая проводимость	$\Lambda = 1,68 + 23,8 + 28,48 = 53,86 \text{ см}$
$\Lambda = \Lambda_3 + \Lambda_{p.a} + \Lambda_{p.m}$	
Полная приведенная проводимость	$\Lambda_{пр} = \mu_0 \frac{33}{96} \cdot 53,86 = 18,2 \mu_0, \text{ Гн/м}$
$\Lambda_{пр} = \mu_0 \Lambda \frac{l_M}{S_M}$	
Напряженность поля в нейтральном сечении и индукция в нейтральном сечении находятся как координаты точки пересечения прямой Λ с кривой размагничивания (рис. 3-39, з)	$H_M = 37,6 \text{ кА/м};$ $B_M = 860 \text{ мТл}$
Расчетная индукция в зазоре (3-178)	$B_3 = \frac{47 \cdot 33}{2,7 \cdot 1,1} = 520 \text{ мТл}$
Рабочая индукция в центре зазора	$B_0 = \frac{520}{1,1} = 470 \text{ мТл}$
Масса рассчитанной магнитной системы	22 кг

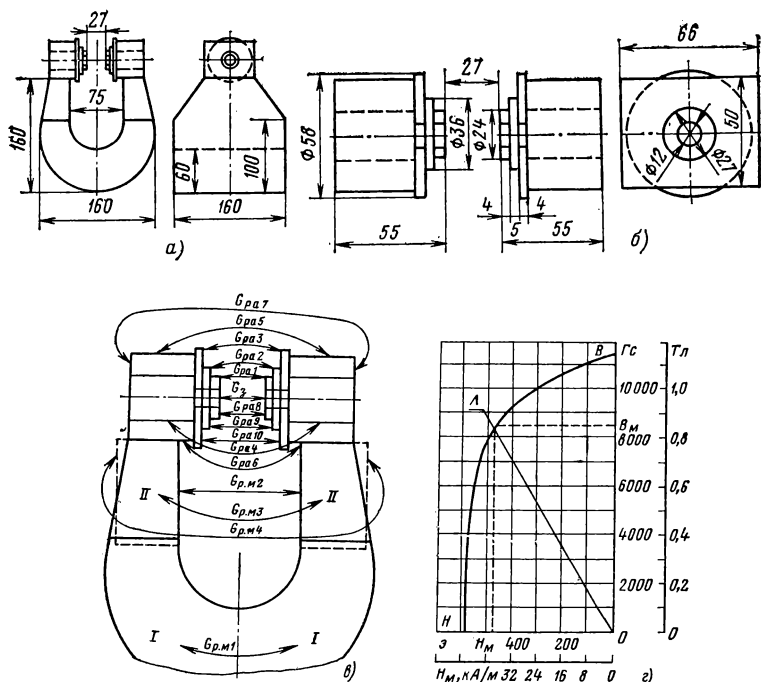


Рис. 3-40. К расчету П-образных односвязных магнитных систем.

а — эскиз магнитной системы; б — эскиз полюсных наконечников; в — схема путей рассеяния магнитного потока в односвязной системе; г — кривая размагничивания сплава типа ЮНДК24.

Расчет и проектирование П-образных двусвязных магнитных систем (рис. 3-41)

П-образная двусвязная система предназначена для формирования сильных магнитных полей. Магнитная цепь системы состоит из двух параллельно соединенных П-образных магнитов, замкнутых полюсными наконечниками и работающих на общий воздушный зазор. П-образная двусвязная магнитная система применяется в двух случаях:

а) когда требуется, чтобы поле было однородным и симметричным относительно продольной оси зазора;

б) когда площадь сечения нейтрали велика по отношению к площади сечения полюса, вследствие чего в односвязной системе невозможно обеспечить равномерное распределение индукции по длине магнита.

Магнит может быть подковообразным (монолитным или разрезным) и П-образным составным.

Действующей длиной в двусвязной системе является длина одного магнита; площадью нейтрального сечения — площадь сечения по нейтрали двух магнитов. Так как магниты соединены параллельно, то при подсчете полной проводимости системы расчетная проводимость удваивается и к ней прибавляются проводимости накопечников и воздушного зазора.

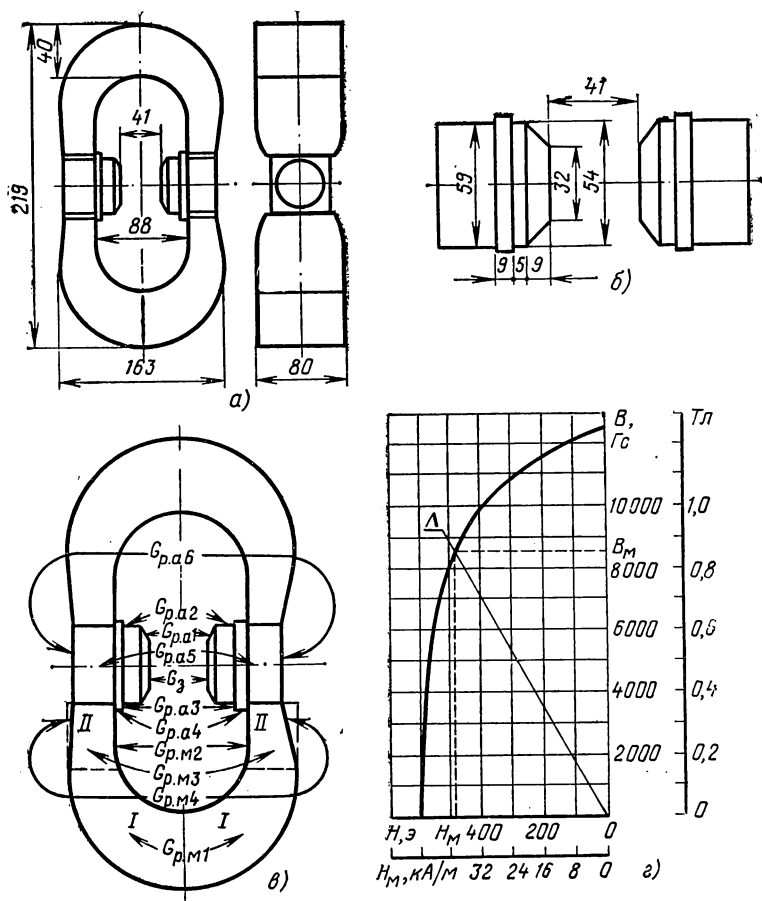


Рис. 3-41. К расчету П-образных двусвязных магнитных систем.

а — эскиз подковообразной магнитной системы; б — схема путей рассеяния магнитного потока в двусвязной системе; в — эскиз полюсных наконечников; г — кривая размагничивания сплава типа ЮНДК24.

Подковообразные магниты выполняются из сплава типа ЮНДК24, а составные П-образные из ЮНДК25БА или ЮНДК25А.

Полюсные наконечники выполняются из стали Э (ЧМТУ-1-84-67) или пермендюра 50КФ.

Техническое задание

Длина воздушного зазора $\delta=41$ мм.

Индукция в центре зазора $B_0=230$ мТл.

Габаритные размеры не более $100 \times 200 \times 350$ мм.

Предельная масса системы без наконечников 19 кг.

Расчет системы

Наименование величин	Расчет величин
Расчетная индукция в рабочем зазоре (3-178)	$B_3 = 1,05 \cdot 230 = 242$ мТл
Расчетная напряженность поля в рабочем зазоре (3-179)	$H_3 = 193$ кА/м
Длина магнита (3-180). Для магнита выбираем сплав типа ЮНДК24 с $H_d=37,6$ кА/м и $B_d=0,76$ Тл	$l_m = \frac{193 \cdot 4,1 \cdot 1,15}{37,6} = 24$ см
Площадь нейтрального сечения магнита (3-181). Выбираем $\sigma=30$	$S_m = \frac{242 \cdot 6,56 \cdot 30}{750} = 64$ см ²

Расчет геометрических проводимостей

Проводимость воздушного зазора — проводимость между параллельными дисками, обращенными друг к другу:

$$\Lambda_3 = \frac{\pi \left(d + k \frac{\delta}{\pi} \right)^2}{4\delta}$$

Проводимость $G_{p.a2}$ между цилиндрическими поверхностями наконечников определяется по графикам (рис. 3-40)

Проводимость $G_{p.a1}$ между конусными поверхностями наконечников вычисляется как проводимость между параллельными кольцевыми плоскостями, обращенными друг к другу:

$$\Lambda_{p.a1} = \frac{\pi (D^2 - d^2)}{4\delta}$$

$$\Lambda_3 = \frac{3,14 \left(3,2 + 0,307 \frac{4,1}{3,14} \right)^2}{4 \cdot 4,1} = 2,48 \text{ см}$$

При $r = 2,7$ см, $l = 0,5$ см,

$\delta = 5,9$ см,

$W = 1,87 G_{p.a2} = 4,83$ см

$$\Lambda_{p.a1} = \frac{3,14 (5,4^2 - 3,2^2)}{4,5} = 2,98 \text{ см}$$

Продолжение

Наименование величин	Расчет величин
Проводимость $\Lambda_{p.a3}$ между кольцевыми поверхностями наконечников вычисляется аналогично $\Lambda_{p.a1}$	$\Lambda_{p.a3} = \frac{3,14 (5,9^2 - 5,4^2)}{4 \cdot 7} = 1,1 \text{ см}$
Проводимость $\Lambda_{p.a4}$ вычисляется аналогично проводимости $\Lambda_{p.a2}$	<p>При $r = 2,95 \text{ см}$, $l = 0,9 \text{ см}$ $\delta = 7 \text{ см}$, $W = 1,77$, $\Lambda_{p.a4} = 4,62 \text{ см}$</p>
Проводимость $\Lambda_{p.a5}$ между параллельными гранями «башмаков», лежащих в одной плоскости. Проводимость удваивается, так как имеет место аналогичная проводимость между противоположными гранями (табл. 3-4, III, 2а):	$m = \frac{2 \cdot 2,6 + 8,8}{8,8} = 1,59; g = 0,3$
$\Lambda_{p.a5} = gb$	$2\Lambda_{p.a5} = 3,48 \text{ см}$
Проводимость $\Lambda_{p.a6}$ между плоскостями наконечников, обращенных в противоположные стороны:	$m = \frac{2 \cdot 2,6 + 8,8}{8,8} = 1,59$
$\Lambda_{p.a6} = 2gb$	$n = \frac{5}{8,8} = 0,57; g = 0,1$
Общая проводимость рассеяния наконечников	$\Lambda_{p.a6} = 2 \cdot 0,1 \cdot 5,8 = 1,16 \text{ см}$
$\Lambda_{p.a} = \Lambda_{p.a1} + \dots + \Lambda_{p.a6}$	$\Lambda_{p.a} = 2,98 + 4,83 + 1,1 + 4,62 + 3,48 + 1,16 = 18,17 \text{ см}$
Проводимость участка I магнита $\Lambda_{p.m1}$ определяется как проводимость дуги:	$\Lambda_{p.m1} = 0,785 \cdot 24 + 0,318 \cdot 6,3 = 20,8 \text{ см}$
$\Lambda_{p.m1} = 0,785p + 0,318\rho$, где p — периметр нейтрального сечения; ρ — средний радиус дуги	
Участок II магнита заменяется равновеликими параллелепипедами. $\Lambda_{p.m2}$ — проводимость между параллельными плоскостями магнита, обращенными друг к другу с учетом выпучивания линий поля по размеру 6,5 см:	$\Lambda_{p.m2} = \frac{4,5 \left(6,5 + 0,307 \frac{8,8}{3,14} \right)}{8,8} = 3,76$
$\Lambda_{p.m2} = \frac{a \left(b + k \frac{\delta}{\pi} \right)}{\delta}$	

Продолжение

Наименование величин	Расчет величин
Проводимость $\Lambda_{p.m3}$ вычисляется аналогично проводимости $\Lambda_{p.a5}$	$m = \frac{15,2}{8,8} = 1,73; \quad g = 0,36;$ $2\Lambda_{p.m3} = 2 \cdot 0,35 \cdot 4,5 = 3,15 \text{ см}$
Проводимость $\Lambda_{p.m4}$ вычисляется аналогично проводимости $\Lambda_{p.a6}$	$m = 1,73;$ $n = \frac{6,5}{8,8} = 0,74; \quad g = 0,12;$ $\Lambda_{p.m4} = 2 \cdot 0,12 \cdot 4,5 = 1,08 \text{ см}$
Расчетная проводимость рассеяния магнита:	$\Lambda_{p.m} = k (\Lambda_{p.m1} + \Lambda_{p.m2} + \Lambda_{p.m3} + \Lambda_{p.m4})$ $\Lambda_{p.m} = 0,5 (20,8 + 3,76 + 3,15 + 1,08) = 14,4 \text{ см}$
Полная геометрическая проводимость	$\Lambda = 2,48 + 18,17 + 28,8 = 49,45 \text{ см}$
Полная приведенная проводимость (рис. 3-41, з)	$\Lambda_{пр} = \mu_0 \cdot 0,375 \cdot 49,45 = 18,5 \text{ Гн}$
$\Lambda = \Lambda_{пр} = \mu_0 G \frac{l_M}{S_M}$	
Напряженность поля в нейтральном сечении (рис. 3-41, з)	$H_M = 38,4 \text{ кА/м}$
Индукция в нейтральном сечении (рис. 3-41, з)	$B_M = 870 \text{ мТл}$
Расчетная индукция в зазоре (3-178)	$B_3 = \frac{480 \cdot 24}{4,1 \cdot 1,15} = 244 \text{ мТл}$
Рабочая индукция в зазоре	$B_0 = \frac{244}{1,05} = 233 \text{ мТл}$
Масса рассчитанной системы	14 кг

Расчет Φ -образной магнитной системы (рис. 3-42)

Техническое задание

Длина воздушного зазора $\delta = 8$ мм.

Индукция в центре зазора $B_0 = 460$ мТл.

Габариты не более $60 \times 60 \times 140$ мм.

Предельная масса без наконечников 0,8 кг.

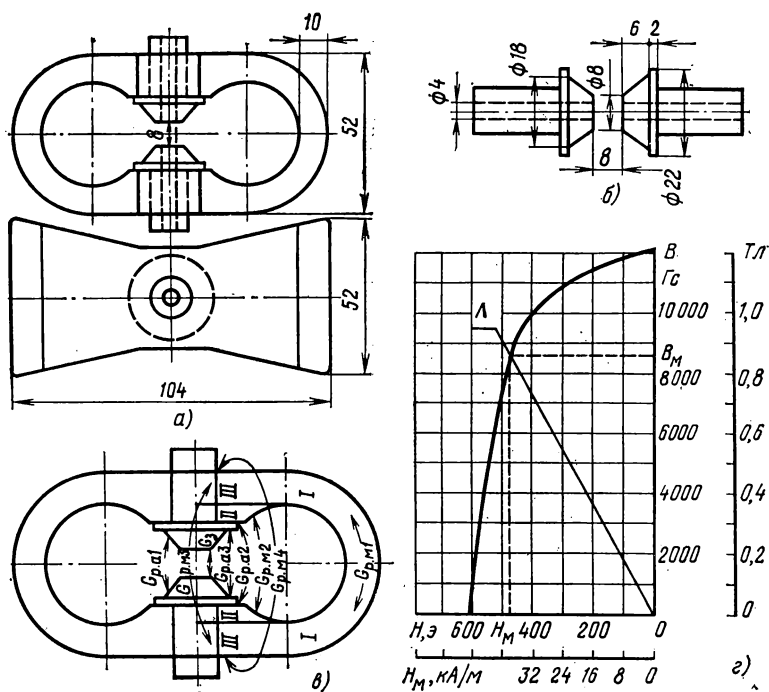


Рис. 3-42. К расчету Φ -образных магнитных систем.

a — эскиз Φ -образной магнитной системы; $б$ — эскиз полюсных наконечников; $в$ — схема путей рассеяния магнитного потока в Φ -образной системе; $г$ — кривая размагничивания сплава типа ЮндК24.

Расчет системы

Наименование величин	Расчет величин
Расчетная индукция в рабочем зазоре (3-178)	$B_3 = 1,05 \cdot 460 = 485 \text{ мТл}$
Расчетная напряженность поля в рабочем зазоре (3-179)	$H_3 = 388 \text{ кА/м}$
Длина магнита (3-180). Для магнита выбираем сплав типа ЮНДК24:	
$H_d = 37,5 \text{ кА/м}, B_d = 0,774 \text{ Тл}$	$l_M = \frac{388 \cdot 0,8 \cdot 1,2}{37,5} = 10 \text{ см}$
Площадь нейтрального сечения магнита по (3-181), σ выбираем равным 15	$S_M = \frac{388 \cdot 1,5 \cdot 15}{744} = 12 \text{ см}^2$

Расчет геометрических проводимостей

Проводимость воздушного зазора — проводимость между параллельными дисками, обращенными друг к другу. Уменьшение проводимости за счет отверстий не учитывается (см. предыдущий пример)

Проводимость $\Lambda_{p.a}$ между коническими поверхностями наконечников вычисляется как проводимость между боковыми поверхностями цилиндров, обращенных торцами друг к другу; при этом боковая поверхность цилиндра берется равной боковой поверхности конуса. Расчет по графикам (рис. 3-40)

Проводимость $\Lambda_{p.a2}$ вычисляется аналогично проводимости $\Lambda_{p.a1}$

Проводимость $\Lambda_{p.a3}$ вычисляется аналогично проводимости Λ_3 , но без учета выпучивания линий поля

$$\Lambda = \frac{3,14 \left(0,8 + 0,307 \frac{0,8}{3,14} \right)^2}{4 \cdot 0,8} = 0,75 \text{ см}$$

При $r = 0,65 \text{ см}, l = 0,6 \text{ см},$
 $\delta = 0,8 \text{ см},$
 $W = 0,975 \quad \Lambda_{p.a1} = 2,64 \text{ см}$

При $r = 1,25 \text{ см}, l = 0,2 \text{ м},$
 $\delta = 1,9 \text{ см},$
 $W = 0,44 \quad \Lambda_{p.a2} = 1,1 \text{ см}$
 $\Lambda_{p.a3} = \frac{3,14 \cdot 2,5^2}{4 \cdot 1,9} = 2,58 \text{ см}$

Продолжение

Наименование величин	Расчет величин
<p>Общая проводимость рассеяния полюсных наконечников</p> $\Lambda_{p.a} = \Lambda_{p.a1} + \Lambda_{p.a2} + \Lambda_{p.a3}$ <p>Проводимость участка I магнита определяется как проводимость дуги</p> $\Lambda_{p.m1} = 0,785p + 0,318\rho,$ <p>где p — периметр дуги; ρ — средний радиус дуги</p> <p>Проводимость между коническими поверхностями полюсов магнитов вычисляется как проводимость с боковых поверхностей цилиндров, обращенных торцами друг к другу, при этом коническая поверхность заменяется равновеликой ей цилиндрической поверхностью. В расчет одной подковы входит половина этой проводимости (см. график и номограмму рис. 3-40)</p> <p>Проводимость $\Lambda_{p.m3}$ между поверхностями магнита, лежащими в одной плоскости. Эта проводимость имеет место также между плоскостями на противоположной стороне магнита, поэтому она удваивается</p> <p>Проводимость $\Lambda_{p.m4}$ между плоскостями магнита, обращенными в противоположные стороны</p> <p>Расчетная проводимость рассеяния подковы</p> $\Lambda_{p.m} = k(\Lambda_{p.m1} + \Lambda_{p.m2} + \Lambda_{p.m3} + \Lambda_{p.m4})$ <p>Полная геометрическая проводимость</p> $\Lambda = \Lambda_3 + \Lambda_{p.a} + \Lambda_{p.m}$	$\Lambda_{p.a} = 2,64 + 1,1 + 2,58 = 6,36 \text{ см}$ $\Lambda_{p.m1} = 0,785 \cdot 12,4 + 0,318 \times 2,8 = 10,6 \text{ см}$ <p>При $r = 1,77 \text{ см}$, $l = 0,5 \text{ см}$, $\delta = 3,7 \text{ см}$, $W = 1,06 \Lambda_{p.m2} = 2,72:2 = 1,36 \text{ см}$</p> $m = \frac{5,2}{3,4} = 1,53; \quad g = 0,3$ $2\Lambda_{p.m3} = 2 \cdot 0,3 \cdot 2,75 = 1,35 \text{ см}$ $m = \frac{5,2}{3,4} = 1,53; \quad n = 1,1;$ $g = 0,155$ $\Lambda_{p.m4} = 2 \cdot 0,155 \cdot 2,25 = 0,7 \text{ см}$ $\Lambda_{p.m} = 0,5 (10,6 + 1,36 + 1,35 + 0,7) = 6,94 \text{ см}$ $\Lambda = 0,75 + 6,33 + 14,16 = 20,96 \text{ см}$

Продолжение

Наименование величин	Расчет величин
Полная приведенная проводимость $\Lambda_{\text{пр}} = \mu_0 \Lambda \frac{l_{\text{м}}}{S_{\text{м}}}$	$\Lambda_{\text{пр}} = \mu_0 \cdot 0,833 \cdot 20,96 =$ $= 17,5 \mu_0 \text{ Гн}$
Напряженность поля в нейтральном сечении	$H_{\text{м}} = 38,4 \text{ кА/м}$
Индукция в нейтральном сечении	$B_{\text{м}} = 860 \text{ мТл}$
Расчетная индукция в рабочем зазоре	$B_{\text{з}} = \frac{48 \cdot 10}{0,8 \cdot 1,2} = 500 \text{ мТл}$
Индукция в центре зазора	$B_0 = \frac{500}{1,05} = 470 \text{ мТл}$
Масса рассчитанной магнитной системы	0,75 кг

Расчет и проектирование составных магнитных систем (рис. 3-43)

Магнитная цепь составной системы состоит из прямых магнитов из сплава с направленной кристаллизацией.

Магниты сопрягаются между собой при помощи призматических переходников из стали ЧМТУ-1-84-67 или непосредственным контактом под углом, отличным от 90° (рекомендуемые углы сопряжения 45 и 135°).

Техническое задание

Длина воздушного зазора 16 мм.

Индукция в центре воздушного зазора $B_0 = 500 \text{ мТл}$.

Габариты не более 70×55×160 мм.

Предельная масса 6 кг.

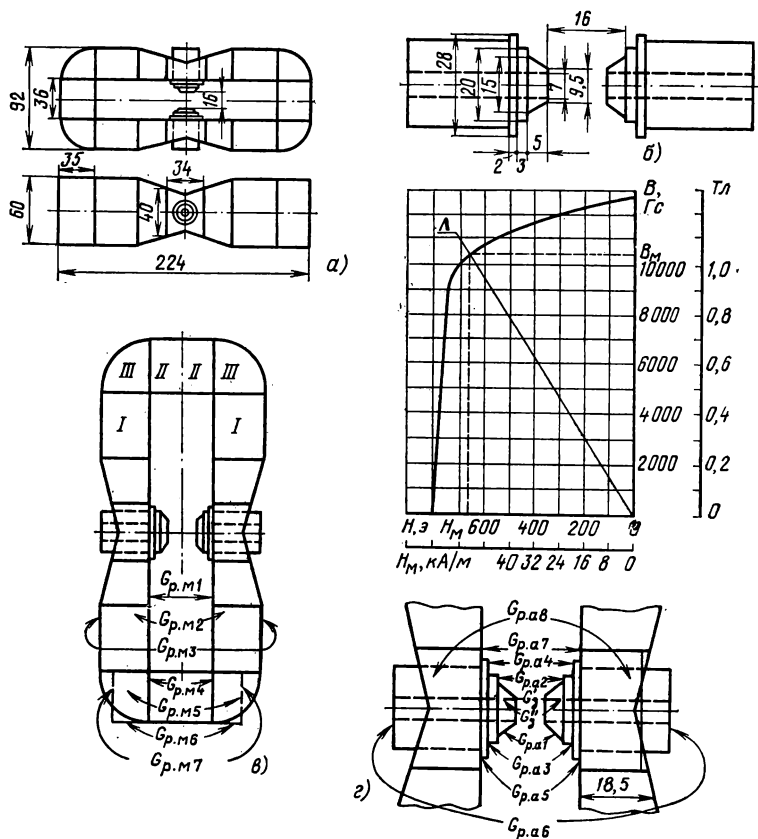


Рис. 3-43. К расчету двусвязной составной магнитной системы.

а — эскиз двусвязной магнитной системы; б — эскиз полюсных наконечников; в — схема путей рассеяния магнитного потока; г — кривая размагничивания сплава типа ЮНДК25БА.

Расчет системы

Наименование величин	Расчет величин
Расчетная индукция в рабочем зазоре (3-178)	$B_3 = 1,05 \cdot 500 = 525 \text{ мТл}$
Расчетная напряженность поля в рабочем зазоре (3-179)	$H_3 = 420 \text{ кА/м}$

Продолжение

Наименование величин	Расчет величин
<p>Длина магнита (3-180). Для магнита выбираем сплав типа ЮНДК25БА с $H_d=54,4$ кА/м и $B_d=1,04$ Тл</p> <p>Площадь поперечного сечения в нейтралы (3-181). Выбираем $\sigma=20$</p>	$l_M = \frac{420 \cdot 1,6 \cdot 1,25}{54,4} = 15,6 \text{ см}$ $S_M = \frac{525 \cdot 0,5 \cdot 20}{1040} = 42 \text{ см}^2$
Расчет геометрических проводимостей	
<p>Проводимость воздушного зазора Λ_3 складывается из двух проводимостей: Λ_3' — проводимость между кольцевыми плоскостями, обращенными друг к другу. Рассчитывается аналогично примеру № 1</p>	$\Lambda_3' = \frac{3,14 \left(0,95 + 0,307 \frac{1,6}{3,14} \right)^2 - 3,14 \cdot 0,7^2}{4 \cdot 1,6} = 0,35 \text{ см}$
<p>Λ_3'' — проводимость потока с внутренней поверхности отверстия в наконечниках. Она определяется как проводимость между поверхностями, лежащими в одной плоскости (табл. 3-4, III, 2а):</p>	$m = \frac{2 \cdot 0,3 + 1,6}{1,6} = 1,4; g = 0,25$ $\Lambda_3'' = 0,25 \cdot 3,14 \cdot 0,7 = 0,55 \text{ см}$ $\Lambda_3 = 0,35 + 0,55 = 0,9 \text{ см}$
$\Lambda_3 = \Lambda_3' + \Lambda_3''$	
<p>$\Lambda_{p.a1}$ — проводимость между плоскостями, наклоненными друг к другу под углом (конические поверхности развернули и заменили плоскостями, наклоненными друг к другу) (табл. 3-4, II, 3а), где $b = \pi d_{cp}$</p>	$\theta = \frac{2}{3} \pi; \quad r_1 = 0,9 \text{ см};$ $r_2 = 1,5 \text{ см}$ $g = \frac{3}{2} \frac{1}{\pi} \cdot 2,3 \lg \frac{1,5}{0,9} = 0,24$ $d_{cp} \geq 1,22 \text{ см};$ $\Lambda_{p.a1} = 0,24 \cdot 3,14 \cdot 1,22 \approx 1 \text{ см}$
<p>$\Lambda_{p.a2}$ — проводимость между параллельными кольцевыми плоскостями, обращенными друг к другу. Расчет аналогичен примеру № 1</p>	$\Lambda_{p.a2} = \frac{3,14 \left(2,0 + 0,307 \frac{2,6}{3,14} \right)^2 - \pi \cdot 1,5^2}{4 \cdot 2,6} = 0,85 \text{ см}$

Продолжение

Наименование величин	Расчет величин
<p>$\Lambda_{p.a3}$ — проводимость между боковыми поверхностями цилиндров, обращенных торцами друг к другу. Расчет по графику и номограмме рис. 3-40 аналогично примеру № 1</p> <p>$\Lambda_{p.a4}$ — проводимость, аналогичная проводимости $\Lambda_{p.a2}$</p> <p>$\Lambda_{p.a5}$ — проводимость, аналогичная проводимости $\Lambda_{p.a3}$</p> <p>$\Lambda_{p.a6}$ — проводимость между параллельными плоскостями, обращенными в противоположные стороны (круг заменяем равновеликим по площади квадратом)</p> <p>$\Lambda_{p.a7}$ — проводимость между параллельными плоскостями «башмаков», обращенными друг к другу (см. пример № 1)</p> <p>$\Lambda_{p.a8}$ — проводимость между поверхностями, лежащими в одной плоскости. Плоскость «башмака» заменяем равновеликим по площади прямоугольником (табл. 3-4, III, 2а). Общая проводимость рассеяния полюсных наконечников и «башмаков»</p> <p>$\Lambda_{p.a} = \Lambda_{p.a1} + \dots + 2\Lambda_{p.a8}$</p>	<p>$l = 0,3 \text{ см}; r = 1,0 \text{ см};$ $\delta = 2,6 \text{ см};$ $W = 0,45 \text{ см}; \Lambda_{p.a3} = 1,5 \text{ см}$</p> <p>$\Lambda_{p.a4} =$ $3,14 \left[\left(2,5 + 0,307 \frac{3,2}{3,14} \right)^2 - \right.$ $\left. - 2,0^2 \right]$ $= \frac{\quad}{4 \cdot 3,2} =$ $= 1,37 \text{ см}$</p> <p>$l = 0,2 \text{ см}; r = 1,4 \text{ см};$ $\delta = 3,2 \text{ см};$ $W = 1,4 \cdot 0,3 = 0,42, \Lambda_{p.a5} = 1,0 \text{ см}$ $m = \frac{2,5 \cdot 2 + 3,4}{3,4} = 2,5$ $n = \frac{2,48}{3,4} = 0,73; g = 0,1$ $\Lambda_{p.a6} = 2 \cdot 0,1 \cdot 2,48 = 0,5 \text{ см}$ $\Lambda_{p.a7} =$ $3,14 \left(3,8 + 0,307 \frac{3,6}{3,14} \right)^2 -$ $\left. - 1,4^2 \right]$ $= \frac{\quad}{3,6} =$ $= 2,2 \text{ см}$ $m = \frac{1,85 \cdot 2 + 3,6}{3,6} = 2,0; g = 0,4$ $\Lambda_{p.a8} = 0,4 \cdot 3,4 = 1,36 \text{ см}$ $\Lambda_{p.a} = 1 + 0,85 + 1,5 + 1,37 +$ $+ 1 + 0,5 + 2,2 + 2 \cdot 1,36 = 11 \text{ см}$</p>

Продолжение

Наименование величин	Расчет величин
<p>Магнит разбивается на участки I—III. Участки I—I и III—III заменяются равновеликими параллелепипедами. Проводимость $\Lambda_{p.m1}$ определяется как проводимость между параллельными плоскостями, обращенными друг к другу. Выпучивание силовых линий учитываем по одному размеру</p> <p>$\Lambda_{p.m2}$ — проводимость между поверхностями, лежащими в одной плоскости (табл. 3-4, III, 2а)</p> <p>$\Lambda_{p.m3}$ — проводимость между поверхностями, обращенными в противоположные стороны (3-185)</p> <p>$\Lambda_{p.m4}$ — проводимость самого магнита</p> <p>Полная геометрическая проводимость магнитов (учитывается, что система двусвязная)</p> $\Lambda'_{p.m} = 2 (\Lambda_{p.m1} + 2\Lambda_{p.m2} + \Lambda_{p.m3} + \Lambda_{p.m4})$ <p>Проводимость $\Lambda_{p.m5}$ определяется аналогично проводимости $\Lambda_{p.m2}$</p>	$\Lambda_{p.m1} = \frac{6 \left(5,4 + 0,307 \frac{3,6}{3,14} \right)}{3,6} = 9,6 \text{ см}$ $m = \frac{2,6 \cdot 2 + 3,6}{3,6} = 2,44;$ $g = 0,5$ $\Lambda_{p.m2} = 0,5 \cdot 6 = 3 \text{ см}$ $m = 2,44;$ $n = \frac{5,4}{3,6} = 1,5; \quad g = 0,152$ $\Lambda_{p.m3} = 2 \cdot 0,152 \cdot 6 = 1,82 \text{ см}$ <p>Периметр, по которому определяется проводимость,</p> $p = 2 \cdot 3,5 + 6 = 13 \text{ см}$ $\Lambda_{p.m4} = \frac{2}{3,14} p = 8,3 \text{ см}$ $\Lambda'_{p.m} = 2 (9,6 + 2 \cdot 3,0 + 1,82 + 8,3) = 51,44 \text{ см}$ $m = \frac{2,6 \cdot 2 + 3,6}{3,6} = 2,44;$ $g = 0,28$ $\Lambda_{p.m5} = 0,28 \cdot 3,5 = 0,98 \text{ см}$

Продолжение

Наименование величин	Расчет величин
Проводимость $\Lambda_{p.m6}$ определяется аналогично проводимости $\Lambda_{p.m5}$	$m = 2,45; \quad g = 0,28;$ $\Lambda_{p.m6} = 0,28 \cdot 6 = 1,68 \text{ см}$
Проводимость $\Lambda_{p.m7}$ определяется аналогично проводимости $\Lambda_{p.m3}$	$m = 2,45;$ $n = \frac{6}{3,6} = 1,67; \quad g = 0,16$ $\Lambda_{p.m7} = 2 \cdot 0,16 \cdot 3,5 = 1,12 \text{ см}$
Полная проводимость $\Lambda''_{p.m} = 2\Lambda_{p.m5} + \Lambda_{p.m6} + \Lambda_{p.m7}$	$\Lambda''_{p.m} = 2 \cdot 0,98 + 1,68 +$ $+ 1,12 = 4,76 \text{ см}$
Расчетная проводимость рассеяния магнитов и переходников $\Lambda_{p.m} = k (\Lambda'_{p.m} + \Lambda''_{p.m})$	$\Lambda_{p.m} = 0,5 (51,44 + 4,76) =$ $= 28,0 \text{ см}$
Полная геометрическая проводимость системы $\Lambda = \Lambda_{p.m} + \Lambda_{p.a} + \Lambda_z$	$\Lambda = 28 + 11 + 0,9 = 40 \text{ см}$
Полная приведенная проводимость системы (рис. 3-43, з) $\Lambda_{пр} = \mu_0 \Lambda \frac{I_M}{S_M}$	$\Lambda_{пр} = \mu_0 \cdot 0,372 \cdot 40,0 = 14,5 \text{ Гн}$
Напряженность поля в нейтральном сечении	$H_M = 52 \text{ кА/м}$
Индукция в нейтральном сечении	$B_M = 1040 \text{ мТл}$
Расчетная индукция в зазоре	$B_z = \frac{65 \cdot 15,6}{1,6 \cdot 1,25} = 530 \text{ мТл}$
Рабочая индукция в зазоре	$B_0 = \frac{530}{1,05} = 505 \text{ мТл}$
Масса рассчитанной магнитной системы	5,5 кг

Расчет и проектирование трубчатой магнитной системы с внутренними полюсными наконечниками (рис. 3-44)

Трубчатые магнитные системы предназначены для создания сильных магнитных полей в малых зазорах. Магниты выполняются из сплава со столбчатой структурой. Система отличается компактностью и применяется в тех случаях, когда ограничены габариты.

Техническое задание

Длина воздушного зазора $\delta = 5$ мм.

Индукция в центре зазора $B_0 = 550$ мТл.

Габаритные размеры не более $45 \times 45 \times 35$ мм.

Предельная масса без наконечников 0,15 кг.

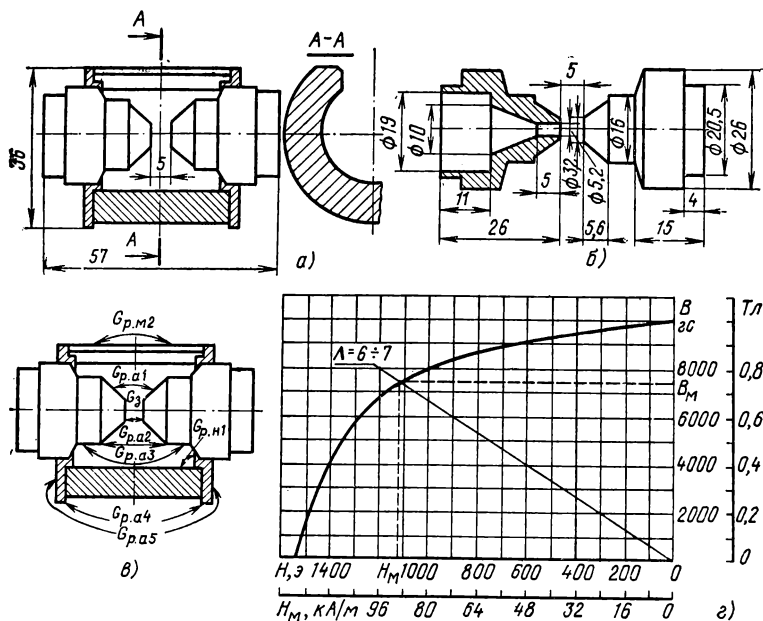


Рис. 3-44. К расчету трубчатой магнитной системы с внутренними полюсными наконечниками.

а — эскиз «трубчатой» магнитной системы; б — эскиз полюсных наконечников; в — схема путей рассеяния магнитного потока в «трубчатой» системе; г — кривая размагничивания сплава типа ЮНДК35Т5.

Расчет системы

Наименование величин	Расчет величин
Расчетная индукция в рабочем зазоре (3-178)	$B_3 = 1,05 \cdot 550 = 578 \text{ мТл}$
Расчетная напряженность поля в рабочем зазоре (3-179)	$H_3 = 462 \text{ кА/м}$
Длина магнита (3-180). Для магнита выбираем сплав типа ЮНДК35Т5 с $H_d = 94,4 \text{ кА/м}$ и $B_d = 0,73 \text{ Т}$	$l_M = \frac{462 \cdot 0,5 \cdot 1,35}{94,4} = 3,3 \text{ см}$
Площадь поперечного сечения магнита в нейтрали (3-181). σ выбираем равным 38	$S_M = \frac{578 \cdot 0,212 \cdot 38}{730} = 6,4 \text{ см}$

Расчет геометрических проводимостей

Проводимость воздушного зазора — проводимость между параллельными дисками, обращенными друг к другу. Проводимость $\Lambda_{p.a1}$ между коническими поверхностями наконечников вычисляется как проводимость с боковых поверхностей равновеликих им цилиндров, обращенных торцами друг к другу. Расчет по графику и номограмме (рис. 3-40)

Проводимость $\Lambda_{p.a2}$ между кольцевыми поверхностями, обращенными друг к другу без учета выпучивания

Проводимость $\Lambda_{p.a3}$ определяется аналогично проводимости $\Lambda_{p.a1}$

Проводимость $\Lambda_{p.a4}$ между поверхностями крышек наконечников, лежащих в одной плоскости (табл. 3-4, III, 2а)

$$\begin{aligned} \Lambda_3 &= \\ &= \frac{3,14 \left(0,52 + 0,307 \frac{0,5}{3,14} \right)^2}{4 \cdot 0,5} = \\ &= 0,51 \text{ см} \\ 2r &= 0,87 \text{ см}; \quad \delta = 0,5 \text{ см}; \\ l &= 0,55 \text{ см}; \\ W &= 0,792; \quad \Lambda_{p.a1} = 2,24 \text{ см} \\ D &= 1,6 \text{ см}; \quad d = 1,25 \text{ см}; \\ \Lambda_{p.a2} &= \frac{3,14 \cdot 2,56 - 1,56}{6,4} = \\ &= 0,49 \text{ см} \\ 2r &= 1,5; \quad l = 0,6; \\ \delta &= 1,6; \quad W = 0,87; \\ \Lambda_{p.a3} &= 2,47 \text{ см} \\ m &= \frac{3,7}{3,3} = 1,12; \quad g = 0,155; \\ \Lambda_{p.a4} &= 0,155 \cdot 13 = 2,02 \text{ см} \end{aligned}$$

Продолжение

Наименование величин	Расчет величин
<p>Проводимость $\Lambda_{p.a5}$ между поверхностями крышек, обращенными в противоположные стороны</p> <p>Проводимость $\Lambda_{p.a5}$ удваивается, так как магнитные силовые линии условно принимаются в две стороны:</p> $\Lambda_{p.a5} = 2gb$ <p>Проводимость $\Lambda_{p.m1}$ между цилиндрической частью наконечника и внутренней поверхностью магнита. Эта проводимость соединена с аналогичной проводимостью другого полюса последовательно, поэтому в расчет вводится $\Lambda_{p.m1}/2$:</p> $\Lambda_{p.m1} = \frac{b}{\theta} \ln l$ <p>Проводимость внешней стороны поверхности магнита</p> $\Lambda_{p.m2} = \frac{2}{\pi} p; \quad p = \varphi \cdot 2,1$ <p>Расчетная проводимость магнита</p> $\Lambda_{p.m} = 0,5 \left(\frac{\Lambda_{p.m1}}{2} + \Lambda_{p.m2} \right)$ <p>Полная геометрическая проводимость магнитной системы</p> $\Lambda = \Lambda_3 + \Lambda_{p.a} + \Lambda_{p.m}$ <p>Полная приведенная проводимость системы (рис. 3-44, з)</p> $\Lambda_{пр} = \mu_0 \Lambda \frac{l_M}{S_M}$ <p>Напряженность поля в нейтральном сечении</p> <p>Индукция в нейтральном сечении</p>	$m = 1,12;$ $n = \frac{3,67}{3,3} = 1,12; \quad g = 0,18$ $\Lambda_{p.a5} = 2 \cdot 0,18 \cdot 3,67 = 1,32 \text{ см}$ $r = 1,4 \text{ см}; \quad b = \theta r; \quad \theta = 0,53$ $b = 0,53 \cdot 1,4 = 0,74 \text{ см}$ $\Lambda_{p.m1} =$ $= \frac{2 \cdot 7,4 \cdot 2,3}{3,14} \lg 5 = 0,76 \text{ см}$ $\frac{\Lambda_{p.m1}}{2} = 0,38 \text{ см}$ $\varphi = 5,3$ $\Lambda_{p.m2} = \frac{2 \cdot 5,3 \cdot 2,1}{3,14} = 7,1 \text{ см}$ $\Lambda_{p.m} = 0,5 (0,38 + 7,1) =$ $= 3,74 \text{ см}$ $\Lambda = 0,51 + 8,54 + 3,74 = 12,79 \text{ см}$ $\Lambda_{пр} = 0,516 \cdot 12,79 = 6,6$ $H_M = 95,2 \text{ кА/м}$ $B_M = 730 \text{ мТл}$

Продолжение

Наименование величин	Расчет величин
Расчетная индукция в центре зазора	$B_3 = \frac{119 \cdot 3,3}{0,5 \cdot 1,35} = 582 \text{ мТл}$
Рабочая индукция в центре зазора	$B_0 = \frac{B_3}{1,05} = \frac{528}{1,05} = 555 \text{ мТл}$
Масса магнитов	0,15 кг

3-11. РАСЧЕТ ПРОВОДИМОСТИ ВОЗДУШНЫХ ПУТЕЙ МАГНИТНОГО ПОТОКА

Магнитная проводимость — скалярная величина, равная отношению магнитного потока в рассматриваемом участке магнитной цепи к разности магнитных потенциалов на этом участке, т. е.

$$\Lambda = \frac{\Phi}{U_m}.$$

На участках магнитной цепи с постоянной площадью поперечного сечения, выполненных из однородного материала, напряженность магнитного поля H , магнитную индукцию B и относительную магнитную проницаемость μ_r можно считать одинаковыми, а вектор \mathbf{B} совпадающим с вектором \mathbf{H} . Тогда

$$\Lambda = \frac{BS}{Hl_{cp}} = \mu_0 \mu_r \frac{S}{l_{cp}},$$

где l_{cp} — длина средней линии магнитной индукции, м; S — площадь поперечного сечения участка магнитной цепи, м²; μ_r — относительная магнитная проницаемость; μ_0 — магнитная постоянная, равная $4\pi \cdot 10^{-7}$ Гн/м.

Для воздушных промежутков $\mu_r = 1$ и

$$\Lambda = \mu_0 \frac{S}{l_{cp}}, \text{ Гн.}$$

Наряду с понятием магнитной проводимости пользуются понятиями: геометрическая проводимость воздушных промежутков, удельная магнитная проводимость, удельная геометрическая проводимость и относительная проводимость.

Геометрическая проводимость воздушного промежутка есть магнитная проводимость, отнесенная к магнитной постоянной, т. е.

$$\Lambda_r = \frac{\Lambda}{\mu_0} = \frac{S}{l_{cp}}, \text{ м.}$$

Удельная магнитная проводимость g — магнитная проводимость, отнесенная к какому-либо размеру магнитопровода

(чаще к длине периметра поперечного сечения магнитопровода), т. е.

$$g = \frac{\Lambda}{l}, \text{ Гн/м.}$$

Удельная геометрическая проводимость g_r — геометрическая проводимость, отнесенная к какому-либо размеру магнитопровода (чаще к длине периметра поперечного сечения магнитопровода), т. е.

$$g_r = \frac{\Lambda_r}{l} \text{ (безразмерная величина).}$$

Таким образом, проводимости и удельные проводимости связаны между собою соотношениями:

$$\Lambda = \mu_0 \Lambda_r; \quad g = \mu_0 g_r.$$

Относительная проводимость λ определяется выражением

$$\lambda = \frac{\Lambda}{\mu_0 a} \text{ (безразмерная величина),}$$

где a — базовый размер магнитопровода (ширина, диаметр и т. д.).

В некоторых случаях понятия «удельная геометрическая проводимость» и «относительная проводимость» могут совпадать.

Вывод расчетных формул магнитной проводимости базируется на ее определении, т. е. магнитную проводимость можно рассчитывать как отношение магнитного потока к м. д. с., его вызвавшей. Только в некоторых частных случаях при относительно простой картине магнитного поля магнитную проводимость можно определять из геометрических соображений — через длину средней линии магнитного поля и площадь поперечного сечения воздушного промежутка.

Круг задач, решаемых аналитически, на практике оказывается весьма ограниченным. Это объясняется как сложностью конфигурации граничных поверхностей магнитопроводов, так и явлениями «выпучивания» и «рассеяния» магнитного поля в воздушных промежутках, которые приводят к трехмерному характеру поля и его неравномерному распределению в воздушном промежутке. Эти обстоятельства привели к необходимости, помимо аналитического метода расчета магнитной проводимости, использовать ряд других методов таких, как метод численного интегрирования уравнений поля, графический метод, графоаналитический метод, экспериментальный метод и др. Помимо сказанного, при расчете магнитных проводимостей используются общие принципы, применимые для всех линейных потенциальных полей: принцип наложения, принцип зеркальных изображений, принцип подобия, принцип аналогий, принцип отвердения.

Аналитические методы расчета

Аналитические методы расчета магнитной проводимости используются в тех случаях, когда поле в воздушном промежутке можно свести к двумерному с простой конфигурацией.

Метод прямого расчета применим при простейших конфигурациях магнитопроводов в случаях, когда можно пренебречь выпучиванием и рассеиванием магнитного потока.

Пример расчета магнитной проводимости между одинаковыми прямоугольными поверхностями, расположенными под углом θ друг к другу (рис. 3-45), приведен ниже.

Если пренебречь выпучиванием магнитного поля у краев магнитопровода и принять линии поля за дуги окружности радиуса r , то можно найти элементарную магнитную проводимость слоя толщиной dr :

$$d\Lambda = \mu_0 \frac{drb}{r\theta}.$$

Интегрируя в пределах от r_2 до r_1 , получаем:

$$\Lambda = \int_{r_1}^{r_2} d\Lambda = \mu_0 \frac{b}{\theta} \int_{r_1}^{r_2} \frac{dr}{r} = \mu_0 \frac{b}{\theta} \ln \frac{r_2}{r_1}.$$

Метод решения уравнений поля. Магнитное поле в воздушной среде, образованное магнитопроводами, находящимися под постоянной разностью магнитных потенциалов, описывается уравнением Лапласа

$$\nabla^2 \varphi_m = 0,$$

где φ_m — скалярный магнитный потенциал поля.

Решение задачи при указанных условиях сводится к нахождению функции, удовлетворяющей уравнению Лапласа и принимающей на границе области заданное значение (первая краевая задача или задача Дирихле).

Для сложных конфигураций граничных поверхностей решение уравнения Лапласа встречает непреодолимые трудности математического характера, и задача во многих случаях оказывается неразрешимой. В тех случаях, когда решение уравнения возможно (число таких случаев ограничено), находятся закон распределения магнитного потенциала в функции координат поля, напряженность поля $\mathbf{H} = -\nabla \varphi_m$ и магнитная индукция $\mathbf{B} = \mu_0 \mathbf{H}$. Магнитный поток, проходящий через границу одного из магнитопроводов:

$$\Phi = \int_s \mathbf{B} ds,$$

где s — поверхность магнитопровода.

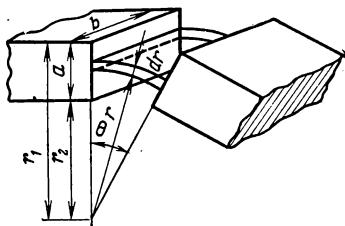


Рис. 3-45. К расчету проводимости между одинаковыми прямоугольными поверхностями, расположенными под углом θ друг к другу.

Магнитная проводимость Λ находится как отношение Φ/F :

$$\Lambda = \frac{\Phi}{F} = \frac{\int_s B ds}{U_{M1} - U_{M2}}.$$

В качестве примера рассмотрим расчет магнитной проводимости между коаксиальными цилиндрической поверхностью и цилиндрической полостью (рис. 3-46).

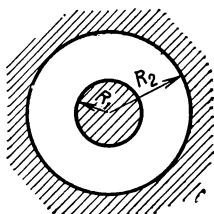


Рис. 3-46. К расчету проводимости между коаксиальными цилиндрами.

При значительной протяженности магнитопроводов можно считать, что поле вдоль осей цилиндра и полости не меняется. Тогда уравнение Лапласа в цилиндрических координатах примет вид:

$$\frac{1}{r} \frac{d}{dr} \left(r \frac{d\varphi_M}{dr} \right) = 0$$

(частные производные заменены полными, поскольку магнитный потенциал поля зависит только от расстояния от оси).

Сокращая на $1/r$ и интегрируя, получаем:

$$r \frac{d\varphi_M}{dr} = c_1; \quad \frac{d\varphi_M}{dr} = \frac{c_1}{r}.$$

Интегрируя вторично, имеем:

$$\varphi_M = c_1 \ln r + c_2. \quad (3-188)$$

Постоянные интегрирования c_1 и c_2 находятся из граничных условий:

$$\text{при } r = R_1 \quad \varphi_M = U_{M1};$$

$$\text{при } r = R_2 \quad \varphi_M = U_{M2}.$$

Подставляя граничные условия в (3-188), получаем:

$$U_{M1} = c_1 \ln R_1 + c_2 \text{ и } U_{M2} = c_1 \ln R_2 + c_2,$$

откуда

$$c = \frac{U_{M1} - U_{M2}}{\ln R_1 / R_2}; \quad c_2 = U_{M1} - \frac{U_{M1} - U_{M2}}{\ln R_1 / R_2} \frac{1}{r}.$$

$$\varphi_M = \frac{U_{M1} - U_{M2}}{\ln R_1 / R_2} \ln \frac{r}{R_1} + U_{M1}$$

и

$$H = -\nabla \varphi_M = -\frac{U_{M1} - U_{M2}}{\ln R_1 / R_2} \frac{1}{r}.$$

В воздушной среде магнитная индукция

$$B = \mu_0 H = -\mu_0 \frac{U_{M1} - U_{M2}}{\ln R_1/R_2} \frac{1}{r}.$$

Магнитный поток

$$\begin{aligned}\Phi &= \int_s \mathbf{B} d\mathbf{s} = \int_s B ds = B \cdot 2\pi R_1 = \\ &= \mu_0 \frac{U_{M1} - U_{M2}}{\ln R_1/R_2} \frac{2\pi R_1}{R_1}.\end{aligned}$$

Магнитная проводимость

$$\Lambda = \frac{\Phi}{F} = -\frac{2\pi\mu_0 \frac{U_{M1} - U_{M2}}{\ln R_1/R_2}}{U_{M1} - U_{M2}} = \frac{2\pi\mu_0}{\ln R_2/R_1}.$$

Метод конформных преобразований базируется на использовании указанного преобразования для расчета магнитной проводимости. Как следует из теории конформных преобразований, он применим только для решения задач при двухмерных полях.

Идея метода сводится к замене действительного поля, имеющего достаточно сложную конфигурацию и в силу этого не поддающегося исследованию методом прямого использования уравнения Лапласа, другим, более простым полем, расчет которого известен или относительно легко может быть выполнен.

Основная трудность в применении метода конформных преобразований состоит в отыскании такой функциональной зависимости, которая бы правильно отображала замену поля, т. е. в отыскании комплексной функции $W=f(z)$, где z — комплексная координата точек исходного поля, W — комплексная координата точек преобразованного поля.

Решение этой задачи составляет основное содержание теории конформных преобразований. Из этой теории также следует, что при конформном преобразовании полей меняются конфигурация и линейные размеры магнитопроводов и линий поля, напряженность поля, но остаются неизменными магнитные потенциалы магнитопроводов, поток и магнитная проводимость. Последнее обстоятельство и используется для расчета магнитной проводимости.

В теории функций комплексного переменного существует несколько методов отыскания отображающей функции $W=f(z)$:

метод заданного комплексного потенциала;

отображение заданной области на каноническую с помощью комбинации элементарных функций;

метод использования интеграла Кристоффеля — Шварца.

Подробное изложение этих методов можно найти в литературе по теории функций комплексного переменного.

Наибольший интерес с точки зрения расчета магнитных проводимостей представляет последний метод, так как он является единственным для получения ряда расчетных формул в случаях, когда сечение магнитопроводов имеет форму многоугольника. Так, на

базе метода конформных преобразований Крэмп и Кальдервуд получили расчетные формулы магнитной проводимости между элементами прямоугольных параллелепипедов [3-6].

Метод приближенного аналитического расчета (метод Ротерса). Идея метода состоит в том, что пространство между двумя магнитопроводами разбивается на элементарные объемы, имеющие простую геометрическую форму. Проводимость каждого элементарного объема определяется из геометрических соображений по формуле

$$\Lambda_{эл} = \mu_0 \frac{S_{ср}}{l_{ср}} \text{ или } \Lambda_{эл} = \mu_0 \frac{V_{эл}}{l_{ср}^2},$$

где $V_{эл}$ — объем элемента; $S_{ср}$ — площадь среднего поперечного сечения элемента; $l_{ср}$ — длина средней магнитной линии элемента (когда $l_{ср}$ трудно рассчитать, ее измеряют на чертеже).

Так, например, проводимость между углами торцов рассматри-

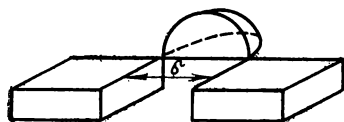


Рис. 3-47. К расчету проводимости между углами торцов полюсных наконечников.

вается как проводимость сферического квадранта (рис. 3-47). Длина средней линии $l_{ср}$ принимается равной длине линии, проходящей между центром сферы и полуокружностью на расстоянии 0,65 δ от центра сферы. При этом $l_{ср} = 1,3\delta$. Так как объем сферического квадранта

$$V = \frac{\pi}{3} \left(\frac{\delta}{2} \right)^3,$$

то магнитная проводимость

$$\Lambda_{эл} = \mu_0 \frac{\frac{\pi}{3} \left(\frac{\delta}{2} \right)^3}{1,3^2 l_{ср}^2} = 0,077 \mu_0 \delta.$$

Искомая магнитная проводимость Λ определяется как сумма проводимостей элементарных объемов (если объемы «включены» параллельно) $\Lambda = \Sigma \Lambda_{эл}$ или как сумма сопротивлений элементарных объемов (если объемы «включены» последовательно) $R_m = \Sigma R_m$.

Основные формулы для определения магнитных проводимостей элементарных объемов Ротерс выводит на примере расчета проводимости между элементами двух прямоугольных призм. Пространство между призмами разбивается на пять элементарных объемов: параллелепипед, полуцилиндр, полукольцо, сферический квадрант и квадрант сферической оболочки. Формулы для каждого из перечисленных объемов приведены в сводной таблице.

Метод Ротерса ввиду его простоты и наглядности широко используется при практических расчетах. Однако необходимо иметь в виду, что погрешности метода весьма значительны.

Более подробно данный метод изложен в [3-11].

Экспериментально-аналитический метод (А. Г. Сливинской). Магнитная проводимость магнитопроводов цилиндрической и прямоугольной формы с осевой симметрией определялась экспериментально. Эксперимент был поставлен на модели электромагнита со сменными полюсами различной формы, при разных размерах и разных воздушных промежутках между полюсами. На основе экспериментальных данных построены графики относительной проводимости λ в функции относительных размеров ξ . Из графиков выведены аналитические зависимости, позволяющие рассчитывать магнитные проводимости между торцевыми и боковыми поверхностями магнитопроводов.

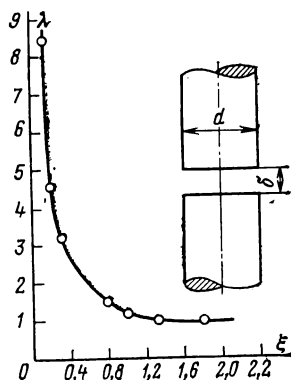
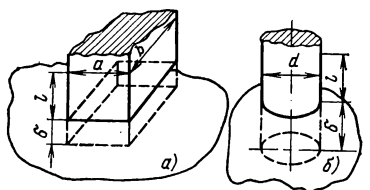


Рис. 3-48. К расчету проводимости между торцевыми поверхностями с учетом выпучивания магнитного поля.

Рис. 3-49. К расчету проводимости между элементами. a — призмы; b — цилиндра и плоскости.



Исследованию подвергались соосные магнитопроводы следующих форм: цилиндрические с плоским концом; цилиндрические с коническим концом; цилиндрические с усеченно-коническим концом; прямоугольные с плоским концом.

Из полученных таким образом аналитических зависимостей выведены формулы для расчета магнитной проводимости между отдельными элементами магнитопроводов: боковыми поверхностями, ребрами, углами.

Так, например, относительная проводимость между торцевыми поверхностями с учетом выпучивания магнитного поля определяется из экспериментально полученного графика $\lambda = f(\xi)$ (рис. 3-48). В результате математической обработки графика выведена зависимость

$$\lambda = \frac{0,786}{\xi} + 0,48 + \frac{0,36}{2,4 + \xi}.$$

Первое слагаемое в формуле выражает относительную магнитную проводимость воздушного промежутка без учета выпучивания, второе и третье — относительная проводимость с ребра торца.

Графики и расчетные формулы для всех перечисленных выше случаев приведены в сводной таблице. Более подробное изложение метода можно найти в [3-4].

Точность метода ориентировочно может быть оценена в 6—8%, что достаточно для практических расчетов. Расчетные формулы весьма наглядны и широко используются в практике расчетов магнитных цепей.

Экспериментально-графический метод (Б. К. Буля). Проводимость между элементами призмы или цилиндра и плоскостью (рис. 3-49, а, б) измерялась на модели электромагнита со сменными сердечниками. По полученным данным построены графики зависимости удельной геометрической проводимости ребер торца $g_{г.р.т}$ в функции относительных размеров a/δ , b/δ или d/δ и графики зависимости удельной геометрической проводимости боковой поверхности прямоугольного или цилиндрического магнитопровода $g_{г.л}$ в функции относительного размера l/δ .

Полная магнитная проводимость

$$\Lambda = \Lambda_{о.т} + \Lambda_{р.т} + \Lambda_l,$$

где $\Lambda_{о.т}$ — основная магнитная проводимость воздушного промежутка между торцом и плоскостью; $\Lambda_{р.т}$ — общая проводимость ребер торцевой поверхности (с учетом проводимости углов у призмы); Λ_l — общая проводимость боковой поверхности.

Для призмы

$$\Lambda_{о.т} = \mu_0 \frac{ab}{\delta}; \quad \Lambda_{р.т} = 2\mu_0 (ag_{г.р.та} + bg_{г.р.тб});$$

$$\Lambda_l = 2\mu_0 (ag_{г.лa} + bg_{г.лb}).$$

Для цилиндра

$$\Lambda_{о.т} = \mu_0 \frac{\pi d^2}{4}; \quad \Lambda_{р.т} = \mu_0 \pi d g_{г.р.т};$$

$$\Lambda_l = \mu_0 \pi d g_{г.л}.$$

Магнитная проводимость между элементами двух одинаковых соосно расположенных призм или цилиндров находится по принципу зеркального отображения. Для более сложных случаев используются данные, полученные для отдельных элементов призм и цилиндров.

Точность метода составляет 5—8%.

Метод позволяет рассчитывать магнитную проводимость воздушных промежутков различной формы и размеров, однако он неудобен для вариантных расчетов, так как не имеет решения в аналитической форме.

Более подробно данный метод изложен в [3-2].

Численный метод (метод потенциальной сетки). Метод базируется на решении уравнения Лапласа в конечных разностях. Покажем использование метода на примере двухмерного поля с квадратной сеткой.

Если на чертеже исследуемого воздушного промежутка нанести квадратную сетку (рис. 3-50), то решение уравнения Лапласа в конечных разностях приводит к уравнению

$$\Phi_1 + \Phi_2 + \Phi_3 + \Phi_4 = 4\Phi_0, \quad (3-189)$$

где $\Phi_1, \Phi_2, \Phi_3, \Phi_4$ и Φ_0 — магнитные потенциалы узлов ячейки сетки.

Задаваясь магнитными потенциалами некоторых узлов и используя уравнение (3-169), путем подбора и последовательных приближений добиваются удовлетворения уравнения во всех узлах сетки.

По полученным таким образом значениям магнитного потенциала узлов сетки проводят эквипотенциальные линии и перпендикулярные им линии магнитной индукции, находят напряженность поля у поверхности магнитопровода и магнитный поток с этой поверхности. Тогда магнитная проводимость

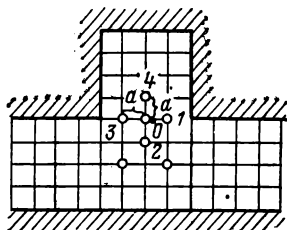


Рис. 3-50. К определению поправки на краевой эффект.

$$\Lambda = \frac{\Phi}{F_m} = \mu_0 \frac{\Sigma H_k a}{V_m} b,$$

где V_m — разность магнитных потенциалов между магнитопроводами.

Если форма воздушного промежутка не позволяет нанести квадратную сетку, то наносят прямоугольную сетку или сетку в полярных координатах (для этих случаев выведены соответствующие уравнения, связывающие значения магнитных потенциалов в узлах).

Метод потенциальной сетки имеет ряд преимуществ: он применим к полям с любой формой граничных поверхностей и любым распределением магнитных потенциалов на последних, применим как для двухмерных, так и для трехмерных полей, позволяет вести расчет с любой желаемой степенью точности, расчет узловых потенциалов может вестись с помощью ЭВМ.

Однако, как и при всяком численном методе, результат расчета нельзя выразить в аналитической форме.

Изложение данного метода можно найти в [3-4] и другой литературе.

Графический метод для плоскопараллельных полей разработан Леманом. Метод основан на построении картины поля, которое заключается в изображении трубок индукции и эквипотенциальных поверхностей таким образом, чтобы весь объем воздушного промежутка оказался разбитым на элементарные объемы, геометрическая проводимость которых была бы равна 1. Проводимость всего поля подсчитывается как проводимость элементарных объемов, включенных (относительно потока) последовательно и параллельно.

При построении картины поля разность магнитных потенциалов между соседними эквипотенциальными поверхностями должна быть одинакова и равна ΔV_m , а магнитный поток в каждой трубке индукции — также одинаков и равен $\Delta \Phi$. Кроме того, учитывается,

Таблица 3-4

Вид поверхности и расчетные графики	Магнитные проводимости
<p>I. Проводимость между параллельными прямоугольными поверхностями</p>	<div data-bbox="471 1045 771 1252" data-label="Image"> </div> <p>1. Без учета проводимости между ребрами и углами, т. е. без учета «выпучивания»,</p> $\Lambda = \mu_0 \frac{ab}{\delta} \quad (3-190)$ <p>По данным Б. К. Буля [3-2], формула дает погрешность не выше 10% при $\delta/a \leq 0,04$, $\delta/b \leq 0,04$ и $l/\delta \leq 1$</p> <p>2. С учетом проводимости между ребрами и углами, т. е. с учетом «выпучивания»:</p> <p>а) Формула Крэмпта и Кольдевуд [3-6]</p> $\Lambda = \mu_0 \frac{\left(a + k \frac{\delta}{\pi}\right) \left(b + k \frac{\delta}{\pi}\right)}{\delta} \quad (3-191)$ <p>Коэффициент k зависит от отношений l_a/δ и l_b/δ. Если l_a/δ или $b_b/\delta > 1$ («толстые края»), то $k = 0,307$, если же l_a/δ или $l_b/\delta < 1$ («тонкие края»), то k быстро растет и при l_a/δ или $l_b/\delta = 0$ $k = 1$</p>

б) Формула Ротерса [3-11]

$$\Lambda = \mu_0 \left(\frac{ab}{\delta} + 2 \cdot 0,26 \cdot a + 2 \cdot 0,26b + 4 \cdot 0,77\delta \right) \quad (3-192)$$

в) Формула и график Б. К. Буля [3-2]

$$\Lambda = \mu_0 \left(\frac{ab}{\delta} + ag_{p.ta} + bg_{p.tb} \right), \quad (3-193)$$

где значения $g_{p.ta}$ и $g_{p.tb}$ определяются из графика I по $2a/\delta$ и $2b/\delta$ соответственно

3. При $a=b$ формула А. Г. Сливинской [3-4]

$$\Lambda = \mu_0 \left[\frac{a^2}{\delta} + \frac{1,51a^2 + 0,48a\delta}{2,4a + \delta} + \frac{0,14a}{\ln \left(1,05 + \frac{\delta}{a} \right)} \right] \quad (3-194)$$

II. Проводимость между прямоугольными поверхностями, расположенными под углом

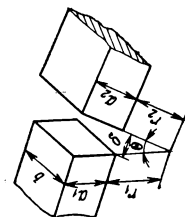
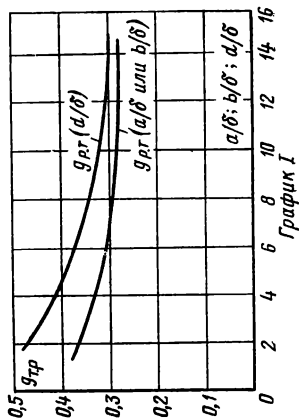
1. $r_1 \neq r_2$; $a_1 \neq a_2$ [3-2]

$$\Lambda = \Lambda_1 - \Lambda_2,$$

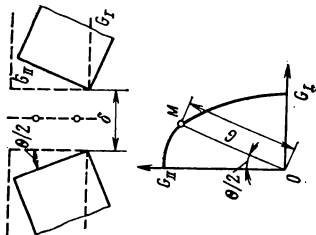
где

$$\Lambda_1 = \frac{\mu_0 b}{\theta} \frac{(a_1 + r_1 - r_2) \ln \left(1 + \frac{a_2}{r_2} \right) + a_2 \ln \frac{a_1 + r_1}{r_2}}{a_1 + a_2 + r_1 - r_2} \quad (3-195)$$

$$\Lambda_2 = \frac{\mu_0 b}{\theta} \frac{\frac{r_1}{r_2} + (r_1 - r_2) \ln \left(1 + \frac{a_2}{r_2} \right)}{a_2 + r_1 - r_2} \quad (3-196)$$

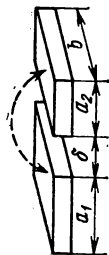


Продолжение табл. 3-4

Вид поверхности и расчетные графики	Магнитные проводимости
	<p>2. $r_1 = r_2 = r$; $a_1 \neq a_2$ [3-2]</p> $\Lambda = \frac{\mu_0 b}{\theta} \frac{a_1 \ln(1 + a_2/r) + a_2 \ln(1 + a_1/r)}{a_1 + a_2} \quad (3-197)$ <p>3. $r_1 = r_2 = r$; $a_1 = a_2 = a$:</p> <p>а) $\Lambda = \frac{\mu_0 b}{\theta} \ln(1 + a/r)$ [3-2] (3-198)</p> <p>б) $\Lambda = \mu_0 b g_1 \sqrt{\frac{\operatorname{tg}^2 \theta/2 + 1}{\operatorname{tg}^2 \theta/2 + g_1/g_2}}$ [3-9], (3-199)</p> <p>где</p> $g_1 = \frac{1}{\pi} \ln(1 + 2a/\delta)$ $g_2 = a/\delta + 0,52(1 + a/b) + 0,308\delta/b$ <p>в) В случаях, когда $\theta < 20^\circ$ [3-9],</p> $\Lambda = \frac{\mu_0 b}{\theta} \ln(1 + a/r) \approx \frac{\mu_0 b}{\theta} \frac{2a}{2r + a} \quad (3-200)$ <p>г) Если поверхности наклонены под большим углом, то вычисляются проводимости для двух предельных положений: когда поверхности параллельны Λ_1 и когда они лежат в одной плоскости Λ_1</p>

Проводимости Λ_{11} и Λ_1 откладываются на перпендикулярных осях и соединяются дугой эллипса. Искомую проводимость дает отрезок OM прямой, проведенной под углом $\theta/2$ к вертикали [3-12]

III. Проводимость между прямоугольными поверхностями, лежащими в одной плоскости



$$1. \quad a_1 \neq a_2 \quad [3-4]$$

$$\Lambda = \frac{\mu_0 b}{\pi} \ln \left[\frac{\Delta^2 - (\varepsilon + x)^2}{\Delta(\delta - x)} - \frac{\varepsilon + x}{\Delta} \right], \quad (3-201)$$

где

$$\varepsilon = \frac{a_2 - a_1}{2}; \quad 2\Delta = a_1 + a_2 + 2\delta$$

$$x = \frac{(\Delta^2 - \delta^2 - \varepsilon^2) - \sqrt{(\Delta^2 - \delta^2 - \varepsilon^2)^2 - 4\varepsilon^2 \delta^2}}{2\varepsilon}$$

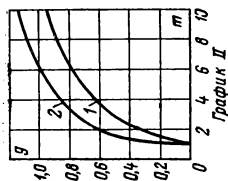
2. $a_1 = a_2$

а) $g_r = \Lambda_m / \mu_0 a$ определяется графически (график 11) как функция $m = 2a + \delta/\delta$ и c/δ . Если c/δ велико, то пользуются кривой 1 («толстые края»), если мало — то кривой 2 («тонкие края»)

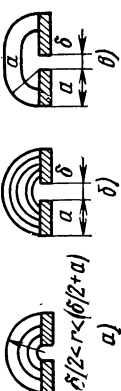
Графики дают наиболее точное значение проводимости

б) Приближенная формула, выведенная из условия, что линии поля имеют формулу полуокружности a :

$$\Lambda = \frac{\mu_0 b}{\pi} \ln(1 + 2a/\delta) \quad (3-202)$$



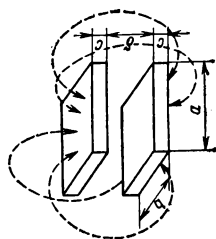
Продолжение табл. 3-4

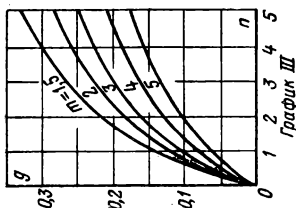
Вид поверхности и расчетные графики	Магнитные проводимости
	<p>Дает наиболее точные результаты по сравнению со случаями «в» и «г», особенно при небольших δ</p> <p>в) Приближенная формула, введенная из условия, что линии поля имеют форму эллипсов b:</p> $\Lambda = \frac{\mu_0 b}{\pi} \ln \left(1 + 2 \frac{a + \sqrt{a^2 + a\delta}}{\delta} \right) \quad (3-203)$ <p>г) Приближенная формула, введенная из условия, что линии поля имеют форму e:</p> $\Lambda = \frac{\mu_0 b}{\pi} \ln (1 + \pi a / \delta) \quad (3-204)$

IV. Проводимость между параллельными прямоугольными поверхностями, обращенными в противоположные стороны

$$1. \Lambda = \mu_0 (g' \cdot 2b + g'' \cdot 2a) \quad [3-6] \quad (3-205)$$

$$g' = f' (m, n'), \quad g'' = f'' (m, n''),$$





где $m = (2c + \delta)/\delta$; $n' = a/\delta$; $n'' = b/\delta$.

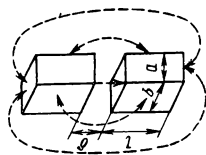
Функции g' и g'' заданы графически (график III)

V. Проводимость между прямоугольными призмами

1. Общая проводимость для участка длиной l при совпадении осей [3-9] без учета проводимости с передней и задней граней

$$g = \frac{\Lambda}{b} = \mu_0 \left(\frac{a}{\delta} + \frac{K'}{K'} \right), \quad (3-206)$$

где K и K' — полные эллиптические интегралы первого рода с модулями $k = \delta/\delta + 2l = \sin \alpha$; $k' = \sin(90 - \alpha)$



Продолжение табл. 3-4

Вид поверхности и расчетные графики	Магнитные проводимости
<div data-bbox="280 1082 461 1236"> </div> <div data-bbox="581 954 896 1380"> </div>	<p data-bbox="305 225 378 847">2. Между боковыми поверхностями длиной l при совпадении осей: а)</p> $\Lambda = \mu_0 \cdot 1,7p \frac{l}{l + \delta}, \quad [3-4] \quad (3-207)$ <p data-bbox="446 687 471 847">где $p=2(a+b)$</p> <p data-bbox="564 726 585 821">При $a=b$</p> $\Lambda = \mu_0 \frac{al}{0,17\delta + 0,4l} \quad (3-208)$ <p data-bbox="668 821 688 847">б)</p> $\Lambda = \frac{\mu_0}{2} [(g'_{la} + g''_{la})a + (g'_{lb} + g''_{lb})b], \quad (3-209)$ <p data-bbox="767 225 896 847">где $g'_{la}, g''_{la}, g'_{lb}, g''_{lb}$ — проводимости между боковыми границами и плоскостью; берутся из графика IV по отношениям $2l'_a/\delta$ и $2b/\delta$; $2l'_a/\delta$ и $2b/\delta$; $2l'_b/\delta$ и $2a/\delta$; $2l'_b/\delta$ и $2a/\delta$ [3-2]</p>

3. Между боковыми поверхностями длиной l при параллельных осях:

а)

$$\Lambda = \mu_0 \cdot 1,4l \sqrt{p/\delta + 0,25} \quad [3-4] \quad (3-210)$$

при $0,25 \leq p/\delta \leq 4$, где $p = 2(a+b)$

б)

$$\Lambda = \mu_0 l \left(\frac{b}{\delta} + \frac{2a}{\delta + \pi a/2} \right) \quad [3-12] \quad (3-211)$$

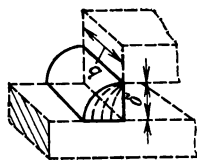
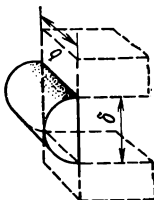
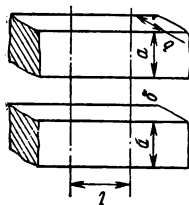
VI. Проводимость между элементами прямоугольных призм (по Ротерсу [3-13])

1. Ребро — ребро (проводимость полуцилиндра):

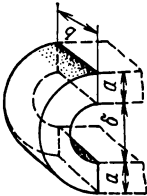
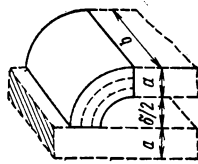
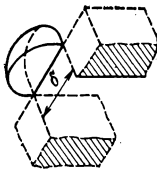
$$\Lambda = 0,26\mu_0 b \quad (3-212)$$

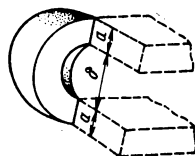
2. Ребро — грань (проводимость цилиндрического квадранта):

$$\Lambda = 0,52\mu_0 b \quad (3-213)$$



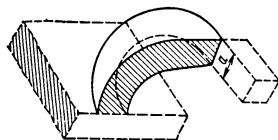
Продолжение табл. 3-4

Вид поверхности и расчетные графики	Магнитные проводимости
  	<p>3. Грань — грань, расположенные в одной плоскости (проводимость полукольца):</p> $\Lambda = \mu_0 \frac{0,64b}{\delta/a + 1} \quad \text{при } \delta > 3a \quad (3-214)$ <p>и</p> $\Lambda = \mu_0 \frac{b}{\pi} \ln(1 + 2a/\delta) \quad \text{при } \delta < 3a \quad (3-215)$ <p>4. Грань — грань, расположенные перпендикулярно (проводимость четверти кольца):</p> $\Lambda = \mu_0 \frac{1,28b}{\delta/a + 1} \quad \text{при } \delta > 3a \quad (3-216)$ $\Lambda = \mu_0 \frac{2b}{\pi} \ln(1 + 2a/\delta) \quad \text{при } \delta < 3a \quad (3-217)$ <p>5. Угол — угол (проводимость сферического квадранта):</p> $\Lambda = 0,077\mu_0\delta \quad (3-218)$



6. Ребро — ребро, расположенные на одной линии (проводимость полного сферического квадранта):

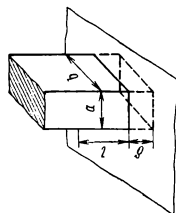
$$\Lambda = 0,25\mu_0 a \quad (3-219)$$



7. Ребро — грань, расположенные перпендикулярно (проводимость полного сферического октанта):

$$\Lambda = 0,5\mu_0 a \quad (3-220)$$

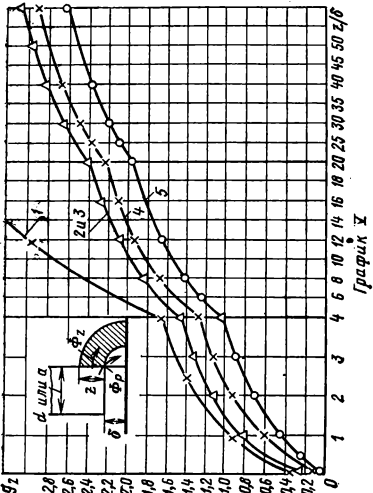
VII. Проводимость между прямоугольной призмой и плоскостью



1. Для расчета указанной проводимости справедливы все формулы расчета проводимости между двумя одинаковыми прямоугольными призмами и их элементами (см. разделы I—VI). Зная Λ' и используя принцип зеркального изображения, находят

$$\Lambda = 2\Lambda',$$

Продолжение табл. 3-4

Вид поверхности и расчетные графики	Магнитные проводимости
	<p>где Λ' — проводимость призма — призма; Λ — проводимость призма — плоскость</p> <p>2. Метод расчетных полюсов [3-2]</p> <p>а) Проводимости определяются по расчетным размерам</p> $\Lambda = \mu_0 \frac{a_p b_p}{\delta}, \quad (3-221)$ <p>где $a_p = a + \delta (g'_{p.ta} + g''_{p.ta} + g'_{za} + g''_{za})$; $b_p = b + \delta (g'_{p.tb} + g''_{p.tb} + g'_{zb} + g''_{zb})$</p> <p>Значения g_z и g_p берутся по данным одного автора. g_z определяется по графикам V, а $g_{p.t}$ — по Ротерсу $g_{p.t}=0,52$, по Крэмпу и Кольдеруд $g_{p.t}=0,1$, для других авторов $g_{p.t}=0$. На рисунке изображены кривые изменения удельной магнитной проводимости для круглого и прямоугольных полюсов в зависимости от z/δ: круглые полюсы: 1 — данные Эверхеда; прямо-угольные полюсы: 2 — данные Финниса; 3 — Крэмпа и Кольдеруд; 4 — Форба; 5 — Ротерса</p>

б) Проводимость определяется по расчетным размерам

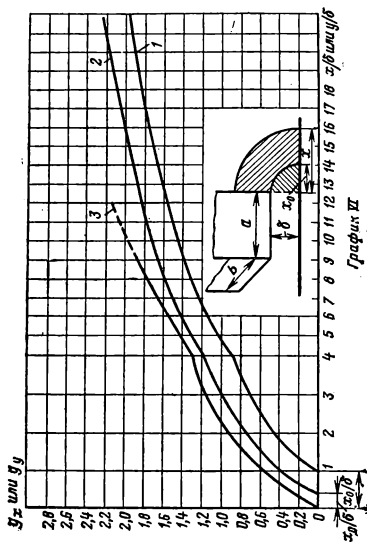
$$\Lambda = \mu_0 \frac{a_p b_p}{\delta}, \quad (3-222)$$

$$\text{где } a_p = a + \delta (2g_{p,\tau} + g'_x + g''_x);$$

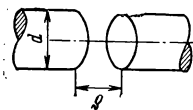
$$b_p = b + \delta (2g_{p,\tau} + g'_y + g''_y)$$

Кривые изменения удельной магнитной проводимости поля с боковой гранью в зависимости от x/δ или y/δ : 1 — данные Ротерса; 2 — Фрая; 3 — Бергольда

Значения $g_x, g_y, g_{p,\tau}$ должны браться по данным одного автора: g_x, g_y — по графикам VI, $g_{p,\tau}$ — по Ротерсу 0,52, по Фраю 0,42, по Бергольду 0



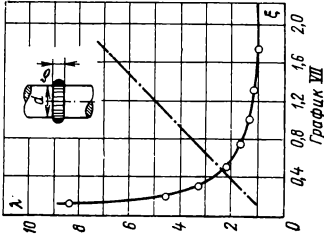
VIII. Проводимость между торцами соосных цилиндрических магнитопроводов



1. Без учета проводимости между ребрами, т. е. без учета «выпучивания», с ребра торца

$$\Lambda = \mu_0 \frac{\pi d^2}{4\delta} \quad (3-223)$$

Продолжение табл. 3-4

Вид поверхности и расчетные графики	Магнитные проводимости
 <p>График VII</p>	<p>Формула дает достаточное приближение при $\delta/d < 0,2$</p> <p>2. С учетом проводимости между ребрами, т.е. с учетом «выпучивания», с ребра торца:</p> <p>а)</p> $\Lambda = \mu_0 \left[\frac{\pi d^2}{4\delta} + 0,408 (2d + \delta) \right] \quad [3-11] \quad (3-224)$ <p>б)</p> $\Lambda = \mu_0 \left[\frac{\pi d^2}{4\delta} + \frac{1,51d^2 + 0,48d\delta}{2,4d + \delta} \right] \quad [3-4] \quad (3-225)$ <p>в)</p> $\Lambda = \mu_0 d \lambda(\xi), \quad (3-226)$ <p>где $\lambda(\xi)$ задана графически (график VII) [3-4]</p> <p>г)</p> $\Lambda = \mu_0 \frac{\pi d^2}{4\delta} \varepsilon_{0,г}^2 \quad [3-7], \quad (3-227)$ <p>где $\varepsilon_{0,г}^2$ задана графически (график VIII)</p> <p>д)</p> $\Lambda = \mu_0 \left[\frac{\pi d^2}{4\delta} + \frac{\pi d}{2} g_{p,г} \right] \quad [3-2], \quad (3-228)$ <p>где $g_{p,г} = f(2d/\delta)$ определяется по отношению $2d/\delta$ из графика I</p>

IX. Проводимость между боковыми поверхностями соосных цилиндров

1.

$$\Lambda = \mu_0 \frac{ld}{0,22\delta + 0,4l} \quad [3-4] \quad (3-229)$$

Рекомендуется при $l/\delta = 0 \div 2$

2.

$$\Lambda = \mu_0 d \ln \left(1 + \frac{2l}{\delta} \right) \quad [3-11] \quad (3-230)$$

Рекомендуется при любых l/δ . При $l/\delta < 0,33$ можно пользоваться упрощенным вариантом формулы

$$\Lambda = \mu_0 \frac{2dl}{l + \delta} \quad (3-231)$$

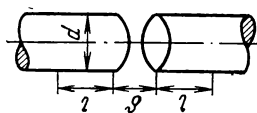
3. Формулы Эвершеда [В-2]

$$\Lambda = \mu_0 \frac{\pi \sqrt{n^2 - l^2}}{\arccos l/n}, \quad \text{если } n > l$$

$$\Lambda = \mu_0 \pi l, \quad \text{если } n = l$$

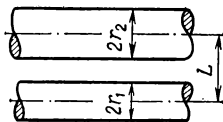
$$\Lambda = \mu_0 \frac{\pi \sqrt{l^2 - n^2}}{\ln \left[\frac{l + \sqrt{l^2 - n^2}}{n} \right]}, \quad \text{если } n < l, \quad (3-232)$$

$$\text{где } n = d/2 \ln \left[1 + 2 \frac{l + \sqrt{l^2 + l\delta}}{\delta} \right]$$



Продолжение табл. 3-4

Вид поверхности и расчетные графики	Магнитные проводимости
<p>График IX</p>	<p>4. $\Lambda = \mu_0 [d \ln(1 + 2l/\delta) + 4l/\pi]$ [3-7] (3-233)</p> <p>5. $\Lambda = \mu_0 \frac{\pi d}{2} g_l$, (3-234)</p> <p>где g_l определяется графически (график IX) по $2l/\delta$ и $2l/\delta$</p>
<p>Х. Проводимость между параллельными боковыми цилиндрическими поверхностями</p>	<p>1. Полные боковые поверхности [3-11]:</p> <p>а) $r_1 \neq r_2$</p> $\Lambda = \mu_0 \frac{2\pi l}{\ln \left[n + \sqrt{n^2 - 1} \right]}, \quad \text{где } n = \frac{L^2 - r_1^2 - r_2^2}{2r_1 r_2} \quad (3-235)$ <p>б) $r_1 = r_2 = r$</p>



$$\Lambda = \mu_0 \frac{\pi l}{\ln \left[\frac{L/2r + \sqrt{(L/2r)^2 - 1}}{L/r} \right]}; \quad (3-236)$$

при $L > 8r$

$$\Lambda = \mu_0 \frac{\pi l}{\ln L/r} \quad (3-237)$$

2. Половины боковой поверхности, обращенные друг к другу:

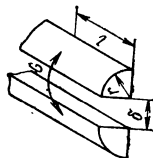
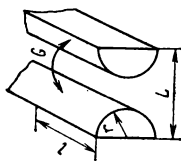
$$\Lambda = \mu_0 l \frac{\operatorname{arctg} \sqrt{\frac{n+1}{n-1}}}{\ln \left[n + \sqrt{n^2 - 1} \right]}, \quad (3-238)$$

где $n = L/2r$

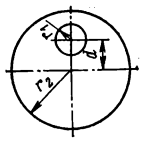
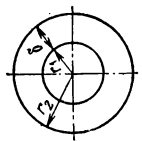
3. Четверти боковой поверхности:

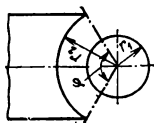
$$\Lambda = \mu_0 \frac{0,5l}{\pi - 2 \operatorname{arctg} \sqrt{\frac{1+n}{1-n}}} \ln \frac{1 + \sqrt{\frac{1-n}{1+n}}}{1 - \sqrt{\frac{1-n}{1+n}}}, \quad (3-239)$$

где $n = \delta/2r$



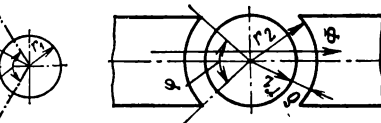
Продолжение табл. 3-4

Вид поверхности и расчетные графики	Магнитные проводимости
<p>XI. Проводимость между параллельными боковыми поверхностями цилиндра и цилиндрической полости</p>	<div style="display: flex; justify-content: space-around; align-items: center;">  <div style="text-align: center;"> <p>1. Оси не совпадают ($d \neq 0$) [3-11]:</p> $\Lambda = \mu_0 \frac{2\pi l}{\ln \left[n + \sqrt{n^2 - 1} \right]}, \text{ где } n = \frac{r_1^2 + r_2^2 - d^2}{2r_1 r_2} \quad (3-240)$ </div> </div> <div style="display: flex; justify-content: space-around; align-items: center;">  <div style="text-align: center;"> <p>2. Оси совпадают ($d = 0$) [3-11]:</p> $\Lambda = \mu_0 \frac{2\pi l}{\ln r_2 / r_1} \quad (3-241)$ <p>Если $\delta \ll r_1$, то можно пользоваться упрощенной формулой</p> $\Lambda = \mu_0 \frac{2\pi l (r_1 + \delta/2)}{\delta} \quad (3-242)$ </div> </div> <div style="text-align: center;"> <p>3. Части поверхностей, оси совпадают:</p> <p>а)</p> $\Lambda = \mu_0 \frac{\varphi l}{\ln r_2 / r_1} \quad (3-243)$ <p>Если $\delta \ll r_1$, то можно пользоваться упрощенной формулой</p> </div>



$$\Lambda = \mu_0 \frac{\varphi l (r_1 + \delta/2)}{\delta} \quad (3-244)$$

б)

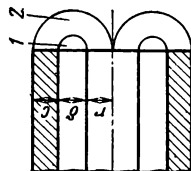


$$\Lambda = \mu_0 \frac{\varphi l}{2 \ln r_2/r_1} \quad (3-245)$$

Если $\delta \ll r$, то можно пользоваться упрощенной формулой

$$\Lambda = \mu_0 \frac{\varphi l (r_1 + \delta/2)}{2\delta} \quad (3-246)$$

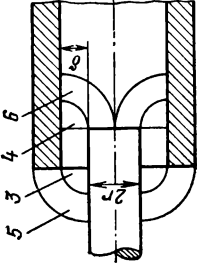
XII. Проводимость между элементами коаксиальной цилиндрической трубы и цилиндрического стержня [3-11]



l — ребро цилиндрической трубы — ребро цилиндрического стержня

$$\Lambda_1 = 1,63 \mu_0 (r + \delta/2) \quad (3-247)$$

Продолжение табл. 3-4

Вид поверхности и расчетные графики	Магнитные проводимости
	<p>2 — торец цилиндрической трубы — торец цилиндрического стержня:</p> <p>а) $c < r$</p> $\Lambda_2 = 2\mu_0 (r + \delta/2) \ln \frac{2c + \delta}{\delta} \quad (3-248)$ <p>б) $c > r$</p> $\Lambda_2 = 2\mu_0 (r + \delta/2) \ln \frac{2r + \delta}{\delta} \quad (3-249)$ <p>3 — ребро цилиндрической трубы — боковая поверхность цилиндрического стержня</p> $\Lambda_3 = 3,3\mu_0 (r + 0,425\delta) \quad (3-250)$ <p>4 — ребро цилиндрического стержня — боковая поверхность цилиндрической трубы</p> $\Lambda_4 = 3,3\mu_0 (r + 0,575\delta) \quad (3-251)$ <p>5 — торец цилиндрической трубы — боковая поверхность цилиндрического стержня</p> $\Lambda_5 = 4\mu_0 \left[r + \sqrt{\delta(c + \delta)} \right] \ln \frac{c + \delta}{\delta} \quad (3-252)$ <p>6 — торец цилиндрического стержня — боковая поверхность цилиндрической трубы</p>

$$\Lambda_6 = 4\mu_0 \left[r + \delta - \sqrt{\delta(r + \delta)} \right] \ln \frac{r + \delta}{\delta} \quad (3-253)$$

7—12. Ребро и торец цилиндрической трубы — ребро и торец цилиндрического стержня

Зона проводимости разбивается на три части (см. рисунк)

а) При $l > \delta$ и $l > r$

$$7 \quad \Lambda_7 = 4,45 \mu_0 \frac{l - \delta}{\delta} (r + \delta/2) \quad (3-254)$$

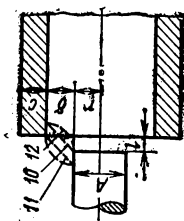
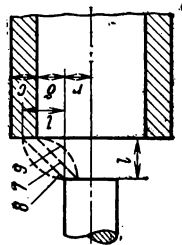
$$8 \quad \Lambda_8 = 0,92 \mu_0 \left(r + \frac{l}{2} \right) \quad (3-255)$$

$$9 \quad \Lambda_9 = 0,92 \mu_0 (r + \delta - l/2) \quad (3-256)$$

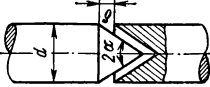
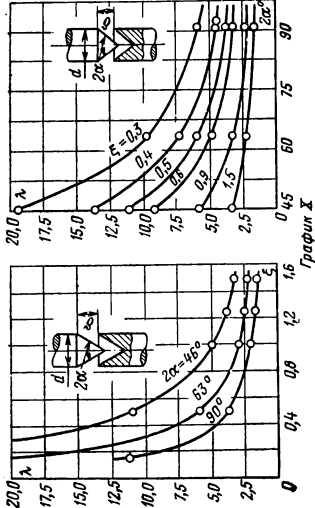
б) При $l < \delta$ и $l > 0$

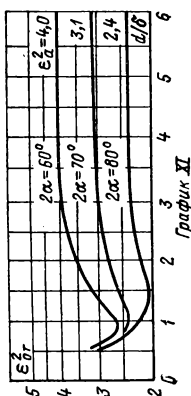
$$10 \quad \Lambda_{10} = 4,45 \mu_0 \frac{\delta - l}{\delta} (r + \delta/2) \quad (3-257)$$

$$11, 12 \quad \Lambda_{11} = \Lambda_{12} = 0,92 \mu_0 (r + \delta/2) \quad (3-258)$$



Продолжение табл. 3-4

Вид поверхности и расчетные графики	Магнитные проводимости
<p data-bbox="256 373 280 1291">XIII. Проводимость между коническими торцами цилиндров</p> 	<p data-bbox="377 229 428 772">1. $\Lambda = \mu_0 \left(\frac{\pi d^2}{4\delta} \left(\frac{1}{\sin^2 \alpha} - \frac{2\delta^2}{d^2} \cos^2 \alpha \right) \right) [3-11] \quad (3-259)$</p> <p data-bbox="459 229 511 836">2. $\Lambda = \mu_0 \left(\frac{\pi d^2}{4\delta \sin^2 \alpha} - \frac{0,157 d}{\sin^2 \alpha} + 0,75 d \right) [3-4] \quad (3-260)$</p>
 <p data-bbox="687 229 718 692">3. $\Lambda = \mu_0 d \lambda (\xi, 2\alpha) [3-4], \quad (3-261)$</p> <p data-bbox="750 405 775 844">где $\lambda(\xi, 2\alpha)$ задана графиком λ ($\xi = \delta/d$)</p>	



XIV. Проводимость между усеченно-коническими торцами

$$4. \Lambda = \mu_0 \frac{\pi d^2}{4\delta} \varepsilon^2(x) \quad [3-7], \quad (3-262)$$

где $\varepsilon^2(x)$ задана графиком XI ($x=d/\delta$).

$$1. \Lambda = \mu_0 \frac{\pi d^2}{4\delta} \left[\frac{1-k^2}{\sin^2 \alpha} - 2 \frac{\delta}{d} (1+k) \operatorname{ctg} \alpha \right] \quad [3-7], \quad (3-263)$$

где

$$k = d_1/d = 1 - 2h/d \operatorname{tg} \alpha$$

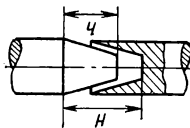
$$2. \Lambda = \mu_0 \left\{ \frac{\pi d^2}{4\delta \sin^2 \alpha} - \frac{0,157 d}{\sin^2 \alpha} + 0,75 d - \frac{1,97 d(1-\eta)}{\sin \alpha} \right. \\ \left. \times \left[\frac{0,6-\eta}{\ln(1+\delta/d \sin 2\alpha)} + \frac{1+\eta}{\ln(1+5\delta/d \sin 2\alpha)} \right] \right\} \quad [3-4], \quad (3-264)$$

где

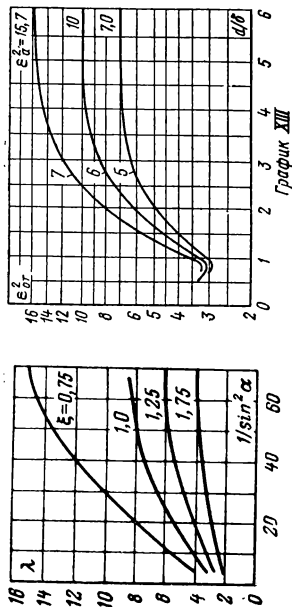
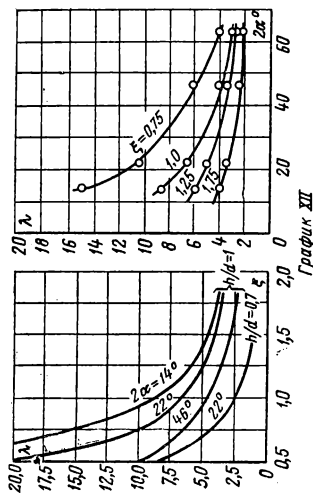
$$\eta = h/H + 0,29 \operatorname{tg}(1-h/H) \quad \text{при} \quad \delta/d < \frac{h/H}{\sin 2\alpha}$$

$[(1-h/H) - \text{в радианах}]$

$$\eta = \delta/d \sin 2\alpha \quad \text{при} \quad \delta/d \geq \frac{h/H}{\sin 2\alpha}$$



Вид поверхности и расчетные графики



Магнитные проводимости

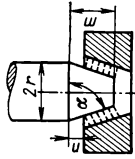
$$\eta = 1 \text{ при } \delta/d > \frac{1}{2 \operatorname{tg} \alpha}$$

3. $\Lambda = \mu_0 d\lambda (\xi, 2\alpha, h/H)$ [3-4], (3-265)
где $\xi = \delta/d$, а $\lambda(\xi, 2\alpha, h/H)$ задана графиками XII

$$4. \quad \Lambda = \mu_0 \frac{\pi d^2}{4\delta} \varepsilon^2(x), \quad (3-266)$$

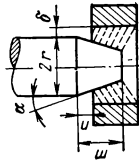
где $\varepsilon^2(x)$ задана графиком XIII,
 $x = d/\delta$ и $h/d = 0,75$

XV. Проводимость между усеченными конусами [3-11]



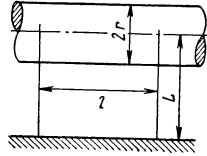
$$\Lambda = \mu_0 \frac{2\pi}{n \cos \alpha} \left(r - \frac{m-n}{2 \lg \alpha} \right) \left(\frac{m}{\sin \alpha} - n \sin \alpha \right) \quad (3-267)$$

XVI. Проводимость между цилиндром и усеченным конусом [3-11]



$$\Lambda = \mu_0 \pi \left[\frac{2(r+\delta)}{\alpha} \ln \frac{\alpha m + \delta}{\alpha n + \delta} + n - m \right] \quad (3-268)$$

XVII. Проводимость между цилиндром и плоскостью



1. Боковая поверхность цилиндра — плоскость [3-4]:
 а) Плоскость бесконечна ($b = \infty$)

$$\Lambda = \mu_0 \frac{2\pi l}{\ln \left[\frac{L}{L/r} + \sqrt{\left(\frac{L}{L/r} \right)^2 - 1} \right]} \quad (3-269)$$

Продолжение табл. 3-4

Вид поверхности и расчетные графики	Магнитные проводимости
<div data-bbox="372 989 787 1292"> <p>График XIV</p> </div>	<div data-bbox="497 217 704 861"> <p>При $L > 5r$ $\Lambda \approx \mu_0 \frac{2\pi l}{\ln 2L/r}$ (3-270)</p> <p>б) Плоскость ограничена в направлении размера b</p> <p style="text-align: center;">$\Lambda' = k_m G$,</p> <p>где Λ' рассчитывается по (3-249); k_m — определяется по графику XIV</p> </div>

2. Боковая поверхность цилиндра — симметричные параллельные плоскости

$$\Lambda'' = \mu_0 l (1,25 - 1,4) \Lambda_\infty, \quad (3-271)$$

где Λ_∞ — проводимость, подсчитанная по (3-249)

3. Боковая поверхность цилиндра — параллельная прямоугольная поверхность [3-4]

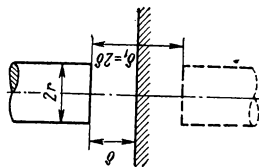
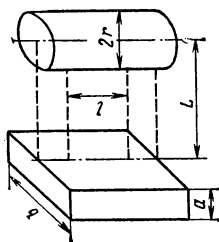
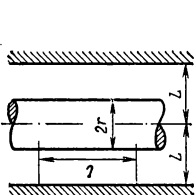
$$\Lambda = \Lambda_\infty \frac{2c}{1+c} \quad (3-272)$$

$$c = \frac{1}{\pi} \arctg \frac{2y \sqrt{n^2 - 1}}{n^2 - y^2 - 1}$$

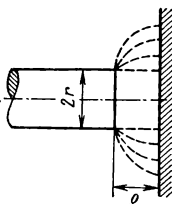
$$y = \frac{b+2a}{2r}; \quad n = \frac{L}{2r}$$

4. Цилиндр — перпендикулярная плоскость

$$\Lambda = 2\Lambda' \quad (3-273)$$



Продолжение табл. 3-4

Вид поверхности и расчетные графики	Магнитные проводимости
	<p>Определяется Λ' для зеркального отображения; при этом расстояние $\delta_1 = 2\delta$ и полученную проводимость удваивают.</p> <p>5. Ребро цилиндра — перпендикулярная плоскость (3-274)</p> $\Lambda = 3,26 \mu_0 r \quad [3-11]$ <p>6. Торцы цилиндра — наклонная плоскость («а» — «в» — без учета выпучивания с ребра торца):</p> <p>а) Рис. I</p> $\Lambda = \frac{2\pi\mu_0}{\theta} (R - \sqrt{R^2 - r^2}) \quad (3-275)$ <p>б) Рис. II</p> $\Lambda = \frac{2\pi\mu_0}{\theta} \left[\left(R + \frac{\Delta}{\theta} \right) - \sqrt{\left(R - \frac{\Delta}{\theta} \right)^2 - r^2} \right] \quad (3-276)$ <p>в) Рис. I</p> $\Lambda = \mu_0 \frac{\pi d^2}{4\delta} \kappa_1, \quad (3-277)$

где κ_1 задано таблицей

Δ/δ	$2R/d$					
	1	1,2	1,5	2	3	6
0	2	1,29	1,14	1,08	1,04	1,01
0,2	1,25	1,14	1,085	1,05	1,02	1
0,5	1,05	1,03	1,02	1	1	1
1	1	1	1	1	1	1

г) С учетом проводимости ребра и боковой поверхности шляпки

$$\Lambda = \mu_0 \left(\frac{\pi d_{\pi}^2}{4\delta} + 1,63 d_{\pi} + \frac{2d_{\pi}}{\delta/\Delta + 0,5} \right) \quad [3-11] \quad (3-278)$$

$$\Lambda = \mu_0 \left(\frac{\pi d_{\pi}^2}{4\delta} \kappa_1 + \frac{\pi d_{\pi}}{0,69\delta/c + 0,63} + 1,16 d_{\pi} \right) \quad [3-4] \quad (3-279)$$

XVIII. Проводимость между брусками с прямоугольными и цилиндрическими поверхностями (без учета проводимостей торцов), т. е. между боковыми, верхними и нижними сторонами [3-9]:

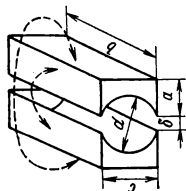
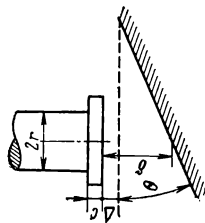
1.

$$\Lambda = \mu_0 \delta \left(\frac{K'}{K} + \frac{K'_1}{K_1} \right), \quad (3-280)$$

где K , K' , K_1 и K'_1 — полные эллиптические интегралы первого рода с модулями:

$$K = \sin \alpha = \delta/\delta + 2a \text{ и } K' = \sin(90^\circ - \alpha)$$

$$K_1 = \sin \alpha_1 = \delta/d \text{ и } K'_1 = \sin(90^\circ - \alpha)$$



Продолжение табл. 3-4

Вид поверхности и расчетные графики	Магнитные проводимости
<div data-bbox="308 1074 498 1235" data-label="Image"> </div>	<p data-bbox="282 807 301 826">2.</p> $\Lambda = \mu_0 b \left(\frac{c+d}{2\delta} + \frac{K_1'}{K_1} \right), \quad (3-281)$ <p data-bbox="401 228 459 847">где K_1 и K_1' — полные эллиптические интегралы первого рода с модулями:</p> $K_1 = \sin \alpha_1 = \delta/d \text{ и } K_1' = \sin (90^\circ - \alpha)$
<div data-bbox="619 1054 809 1246" data-label="Image"> </div>	<p data-bbox="588 807 607 826">3.</p> $\Lambda = \mu_0 b \left(\frac{\psi d}{2\delta} + \frac{K'}{K} \right), \quad (3-282)$ <p data-bbox="681 228 729 847">где K и K' — полные эллиптические интегралы первого рода с модулями:</p> $K = \sin \alpha = \frac{a'}{a'+2a} \text{ и } K' = \sin (90^\circ - \alpha)$

что пересекающиеся поверхности силовых трубок индукции и эквипотенциальные поверхности должны быть взаимно перпендикулярны.

Предположим, что картина поля в соответствии с указанными выше принципами построена (рис. 3-51). Тогда воздушный промежуток оказывается разбитым на h параллельных «слоев» при высоте каждого слоя, равной единице. Каждый слой состоит из m трубок индукции, а каждая трубка индукции — из n элементарных объемов. Выделим один элементарный объем. Его геометрическая проводимость

$$\Delta\Lambda_{г.эл} = \frac{b \cdot 1}{a},$$

где a и b — соответственно средняя ширина и длина элементарного объема.

Так как элементарные объемы в трубке расположены последовательно, то проводимость трубки определяется из соотношения

$$\frac{1}{\Lambda_{г.тр}} = \frac{1}{\Delta\Lambda_{г.э1}} + \frac{1}{\Delta\Lambda_{г.э2}} + \dots + \frac{1}{\Delta\Lambda_{г.эn}},$$

где 1, 2, ..., n — номера элементарных объемов в трубке индукции.

Так как проводимость всех элементарных объемов одинакова, то

$$\Lambda_{г.тр} = \frac{\Delta\Lambda_{г.тр}}{n}.$$

Если среднюю ширину a элемента выбрать равной средней длине b элемента, то

$$\Delta\Lambda_{г.э} = 1, \text{ а } \Lambda_{г.тр} = \frac{1}{n}.$$

Так как в слое m трубок индукции, то проводимость слоя

$$\Lambda_{г.сл} = \frac{m}{n},$$

а проводимость всего воздушного промежутка

$$\Lambda_{г} = \frac{m}{n} h.$$

Таким образом, разбивая поле на элементы с одинаковой средней шириной и длиной, можно по числу таких элементов найти геометрическую проводимость воздушного промежутка.

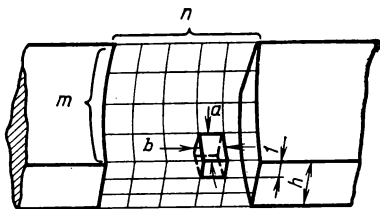


Рис. 3-51. К расчету проводимости методом потенциальной сетки.

Методика построения картины поля подробно изложена в [3-4], там же можно найти описание графического метода для случая плоскомеридианного поля.

В заключение необходимо отметить, что графические методы весьма трудоемки, и поэтому предпочтение отдается более совершенному методу потенциальной сетки.

Сводка расчетных формул

Основные расчетные формулы для определения магнитной проводимости даны в табл. 3-4.

ГЛАВА ЧЕТВЕРТАЯ

ТЕХНОЛОГИЯ ИЗГОТОВЛЕНИЯ ЛИТЫХ ПОСТОЯННЫХ МАГНИТОВ

4-1. ИЗГОТОВЛЕНИЕ ОТЛИВОК

Технологический процесс изготовления отливок постоянных магнитов состоит из приготовления литейных форм, плавки шихты и заливки сплавом литейных форм.

Изготовление литейных форм

Литье постоянных магнитов производят в песчано-влажные, сухие (стержневые) и оболочковые (скорлупчатые) формы. *Песчано-влажные формы* применяют для малоответственного литья. В качестве материалов для изготовления песчаных форм служат кварцевый песок, тамбовская полужирная земля, латненская огнеупорная глина. Формовочные материалы должны быть просушены. Глинистые и песчаные составляющие перемешиваются в смесительных бегунах, увлажняются до содержания влаги 4—5% и затем поступают на формовочные плацы. Облицовочная смесь составляется из свежих формовочных материалов, а в качестве наполнительной используется оборотная (отработанная) формовочная смесь. Обратная земля очищается от металлических включений на магнитном сепараторе, просеивается на вибрационном сите и пропускается через землеразрыхлитель.

Процесс формовки производится по схеме: установка моделей на плиту, набивка форм, создание каналов для вентиляции, сборка форм в стопки, загрузка стопок грузами. Готовые стопки форм заливаются расплавом.

Формы с мелкими и средними отливками из сплавов ЮНДК остывают в земле до комнатной температуры. Формы с крупными отливками из сплавов ЮНД разбираются через 5—10 мин после

заливки, очищаются от земли и остывают на воздухе или на специальных решетках, обеспечивающих равномерное охлаждение всех поверхностей отливок. Мелкие магниты остывают в формах. Для средних и крупных отливок рекомендуется раскрытие опок и остывание отливок на воздухе. Формы с отливками сплавов типа ЮНД, как правило, раскрываются по завершении процесса кристаллизации, и отливки остывают на воздухе. В случае получения недостаточных магнитных свойств отливки подвергаются термической обработке — нормализации.

Формы со сплавами типа ЮНДК24 для любых составов и любых размеров охлаждаются в земле до комнатной температуры. Эти сплавы весьма чувствительны к режимам охлаждения в процессе литья. Как искусственно замедленное охлаждение отливок, так и их ускоренное охлаждение вызывают ухудшение магнитных свойств постоянных магнитов.

Освобожденные от опок отливки откалываются от литниковых систем вручную и подвергаются дробеструйной очистке, а затем поступают на зачистку литников на наждачных точилах.

Отливка постоянных магнитов в песчано-земляные формы проста, но имеет ряд существенных недостатков: расход сплава на литники при литье в землю составляет от 50 до 90% массы отливок. Метод литья в землю не обеспечивает получения отливок с достаточно точными размерами. Брак отливок по литейным дефектам, усадочным раковинам, засорам, намывам, вскипам, утяжинам и другим дефектам часто достигает значительной величины, что делает этот вид отливок малорентабельным по сравнению с другими видами литья.

Сухие (стержневые) формы применяются для тех же сплавов, что и песчано-влажные формы. В отличие от последних они крепятся, упрочняются с помощью различных составов и подвергаются тепловой обработке (сушке) и выдержке при температуре 100—250°C.

Высушенные формы имеют высокую прочность, выдерживают значительные гидростатические давления, возникающие при заливке. Применение сухих форм и стержней вследствие их пониженной газотворности и повышенной газопроницаемости облегчает изготовление средних и крупных отливок, имеющих сложные полости. Эти свойства сухих форм обеспечивают лучшее качество отливок постоянных магнитов по сравнению с песчано-влажными формами. Благодаря большей прочности они имеют меньшую высоту, что снижает расход формовочных материалов. В сухих формах магниты остывают медленнее, чем в песчано-влажных, поэтому в них рекомендуется лить магниты с переменным сечением и роторные магниты, работающие при значительных динамических нагрузках. Сухие формы не рекомендуется применять для тонкостенных отливок из-за опасности образования трещин при усадке в процессе кристаллизации.

Во избежание образования на отливках пригаров следует применять огнеупорные краски.

Оболочковые (скорлупчатые) формы (песчаные с крепителем, разрушающимся после заливки) рекомендуются для отливки постоянных магнитов малого и среднего размеров. Формовочная смесь

для оболочковых форм состоит из сухого кварцевого песка и терморезистивных смол, в которые добавляются огнеупорные материалы и увлажнители. В качестве связующих применяются синтетические смолы. Оболочковые формы для постоянных магнитов изготавливаются из кварцевого песка 1К 100/200 и 2К 100/200, а также из смеси песков марок 1К 140/70 и 1К 140/270. Может быть рекомендован песок 2К 140/270 с низким содержанием глинистой составляющей. Пески с равномерным распределением различных по величине зерна фракций на ситах 0,25; 0,16; 0,1; 0,063 мм обеспечивают наилучшую чистоту поверхности отливки. Газопроницаемость оболочковых форм в 6 раз больше, чем обычных.

При изготовлении оболочковых форм связующими служат фенолформальдегидные смолы, изготавливаемые на основе фенола и его гомологов — ксиленола, креозола и др. (фенольные pulverбакелит № 15, 18, 109, 113; креозольные № 20, 220, 235; фенолаксилепольная № 17 и феноланилиновые № 211, 214).

В качестве увлажнителей рекомендуется жидкий бакелит, фурфурол и др. Наибольшая прочность форм обеспечивается введением комбинированного увлажнителя, состоящего из 50%-ного раствора жидкого бакелита в фурфуроле.

Процесс изготовления оболочковых форм состоит в следующем: модельная плита нагревается до температуры 200—300°C и опрыскивается разделительным составом. В качестве разделительного состава рекомендуется силиконовая жидкость или более дешевая канифоно-битумная связка. Последняя представляет собой раствор нефтештума, церезина и канифоли в уайт-спирите с небольшим добавлением трехзамещенного фосфорно-молибденовокислого аммония.

На плиту с разделительным слоем опрокидывается из бункера смесь состава: песок саблинский 1К 140/70 — 70%; песок 1К 140/270 — 24%; pulverбакелит — 51%; комбинированный увлажнитель — 0,9% или смесь состава: молотый хромомгнезит — 93%; pulverбакелит — 3%; бакелитовый лак — 4%.

Для нагрева модельных плит и спекания оболочек применяют нагревательные печи. Предпочтительнее иметь плиты с индивидуальным электроподогревом, контроль нагрева которых осуществляется контактной термпарой.

После выдержки смеси на нагретой плите в течение 15—20 с бункер поворачивают в исходное состояние, неприставшая масса осыпается обратно в бункер.

Плиту с полутвердой налипшей оболочкой помещают в печь для спекания. После выдержки в печи оболочек толщиной 4—6 мм в течение 40—60 с (при 300°C) плиту выдвигают из печи и готовую полуформу снимают с плиты толкателями.

Готовые оболочковые формы собирают в той же последовательности, как и сухие формы. Фиксаторами при этом служат впадины и выступы на рабочей поверхности полуформ. Оболочковые полуформы скрепляют струбцинами, болтами или склеивают. В качестве клея применяют состав: 40% сульфатно-спиртовой барды (плотность 1,24—1,28 г/см³) и 60% тонко размолотой огнеупорной глины. Склеенные оболочковые формы выдерживаются под грузом 1,5—2 ч. Для ускорения процесса склеивания применяют терморезистивные клеи. Рекомендуется клей на основе крепителя МО-17 в соче-

тании с 15% декстрина и с добавкой в качестве катализатора 0,6% ортофосфорной кислоты (20% концентрации).

Собранные и скрепленные оболочковые формы с вертикальным разъемом устанавливают в металлические контейнеры, промежутки между формами и контейнерами засыпают песком, гравием или формовочной смесью. Оболочковые формы заливают сплавом с температурой на 50°C ниже, чем при литье, в песчано-влажные формы.

В ЦНИИТмаш на базе древесных пеков, содержащих около 70% фенолов и фенолсодержащих групп, разработан дешевый заменитель пульвербакелита — крепитель ПС-1 (58% фенольного или кислотного пека, 30% смолы № 18 (ТУ МПХ № 1—53) и 12% уротропина).

Газотворность крепителя ПС-1 приближается к газотворности пульвербакелита.

При изготовлении оболочковой формы модель не только создает нужную конфигурацию магнита, но и участвует в процессе формирования самой оболочки. Большое значение имеет теплоемкость моделей, поэтому материалами для моделей служат чугун, среднеуглеродистая сталь и бронза. Модель должна быть массивной, чтобы сохранять тепло для образования оболочки достаточной толщины. Точность и чистота поверхности моделей определяют точность и чистоту отливки, поэтому точность модели должна быть на два класса выше точности отливки. Чистота оформляющих поверхностей должна быть 8—10-го класса, что достигается их хромированием. Литейные уклоны обычно составляют от 30' до 1° и редко 2°. Модельные плиты снабжаются толкателями для снятия полуформ. В качестве толкателей могут служить сами модели.

Для уменьшения расхода крепителя применяют двухслойные оболочковые формы, состоящие из двух слоев: первого — прочного (облицовочного) толщиной 1—2 мм с мелкими зернами песка и с повышенным содержанием крепителя и второго — газопроницаемого из смеси с более крупным песком и меньшим содержанием крепителя и менее прочного. Вследствие небольшой толщины первого слоя газы легко удаляются, не встречая большого сопротивления второго слоя.

Отверстия в отливках создают при помощи стержней, изготовляемых из тех же смесей, что и сами формы, но во избежание образования газовых раковин в магнитах — с меньшим содержанием крепителя (более крупный песок К016 с меньшим содержанием смолы). Литье в оболочковые формы позволяет:

получать отливки магнитов с более чистой поверхностью и с более точными размерами;

благодаря податливости формы и свободной усадке избегать горячих трещин в отливках;

создавать высокое металлостатическое давление, не опасаясь действия гидравлического удара струи во время заливки, и осуществлять стопорную заливку форм с сифонным подводом металла;

получать отливки тонких сечений, свободные от засоров, намывов и искажения размеров в результате деформации форм при заливке.

При производстве постоянных магнитов с целью получения очень точных отливок с высокой чистотой поверхности может применяться заливка расплава в стеклянные оболочковые формы.

Наиболее распространено литье постоянных магнитов в керамические формы, изготовленные по выплавляемым моделям. В качестве исходных материалов для изготовления модельной массы здесь используют стеарин и парафин. Равные по массе количества парафина и стеарина расплавляются в сосуде, обогреваемом горячей водой. После расплавления массы ее фильтруют и охлаждают до 40—50°C при интенсивном перемешивании. Когда масса приобретает пастообразное состояние, она загружается в пресс-автомат. Модельная масса может быть использована многократно, если к ней добавляется по 10% свежего парафина и стеарина.

Для изготовления моделей магнитов и элементов литниковой системы модельная масса нагнетается прессом под давлением 0,5—0,6 МПа в предварительно подготовленную пресс-форму. Перед этим внутренняя полость пресс-формы протирается марлей, смоченной трансформаторным маслом, затем пресс-форма собирается и устанавливается на рабочем столе. После запрессовки модельной массы пресс-форма охлаждается в холодной воде или на специальных столах-холодильниках.

Извлеченные из пресс-формы модели охлаждаются в воде. Затем модели зачищаются, контролируются по размерам и собираются в блоки. Для сборки блоков устанавливается стояк, к которому припаиваются модели с питателями. Блоки покрываются огнеупорной суспензией, состоящей из гидролизованного раствора этилсиликата и пылевидного кварца (маршалита). После нанесения суспензии на модельный блок он присыпается слоем прокаленного кварцевого песка и сушится не менее 4 ч. Описанная выше операция повторяется несколько раз для нанесения нескольких слоев огнеупорного покрытия (для мелких отливок — 3, для средних и крупных — от 5 до 8 слоев).

Просушенные блоки погружают в горячую (около 90°C) воду, где происходит выплавление модельного состава. После просушки на воздухе литейную форму помещают в опоку из нержавеющей стали и засыпают молотым шамотом. На шамот насыпают тонкий слой борной кислоты для спекания верхнего слоя засыпки. Опоки прокаливают в камерной электропечи при температуре 900°C не менее 3 ч.

Прокаленные формы подают под заливку за 15—20 мин до окончания плавки.

Плавка шихты в открытой печи

В качестве шихтовых материалов при изготовлении сплавов для постоянных магнитов типов ЮНД и ЮНДК используются промышленные материалы: технически чистое железо марки А или ЭП-355, никель электролитический марки Н1, кобальт марки К0 или К1, медь катодная электролитическая, алюминий марки А0. В качестве легирующих добавок чаще используется титан (губчатый, йодидный, листовой), цирконий и ниобий в штабиках (металлоке-

рамический), феррониобий с содержанием ниобия от 60 до 75%. Легирование сплавов титаном предпочтительнее производить техническим титаном, раскатанным в листы или ленты толщиной до 7 мм — тонкий прокат применяется для лучшего растворения Ti ($\vartheta_{пл} = 1820^\circ\text{C}$), но особо ответственные сплавы (типов ЮНДК35Т5, ЮНДК40Т8) рекомендуется легировать йодидным титаном (наиболее чистым по химическому составу).

Легирование ниобием следует производить чистым металлическим (металлокерамическим) ниобием, имеющим минимальное количество примесей. Металлокерамический ниобий перед введением в расплав должен быть тщательно размельчен ($\vartheta_{пл} = 2415^\circ\text{C}$).

Легирование цирконием осуществляется введением в расплав достаточно мелко измельченного металлокерамического циркония ($\vartheta_{пл} = 1750^\circ\text{C}$).

Шихтовые материалы Fe, Co, Ni должны быть очищены от механических загрязнений и налетов окислов. Железо марки А пескоструят и отгольцовывают от окалины. Никель, если он окислен, также пескоструят.

Очищенные шихтовые материалы поступают на разрезку. При плавке в печах, питаемых ламповым генератором, рекомендуется мелкая шихта (кусками 16—20 мм). Развеска шихтовых материалов производится на технических весах с точностью до 1,0 г.

Выплавку производят в тигельных индукционных печах емкостью до 60 кг.

Мощность генератора индукционной печи должна обеспечить оптимальную скорость ведения плавки (1—1,2 мин на 1 кг шихты). Ускорение или замедление плавки вызывает повышенный угар компонентов сплава и его загрязнение, нарушает повторяемость химического сплава от плавки к плавке и снижает магнитные свойства.

Расплавление основных компонентов производится в следующем порядке: на дно тигля погружают кобальт; железо укладывают ближе к стенкам тигля перпендикулярно магнитным силовым линиям, благодаря чему оно быстрее расплавляется; никелем уплотняют всю шихту. После расплавления введенных материалов загружают титан, ниобий, цирконий и медь. После полного расплавления всех компонентов в расплав вводят кусковой алюминий.

Для ЮН14ДК24 температура расплава перед введением алюминия должна составлять 1460—1520°C.

При более низкой температуре расплава после введения алюминия придется производить дополнительный нагрев, а при более высокой может произойти повышенный угар алюминия и загрязнение расплава перегретой размягченной футеровкой тигля плавильной печи. Обедненный алюминий и загрязненный сплав ЮН14ДК24 характеризуется серым цветом излома литников. Магниты с таким изломом отбраковываются. Для сплава ЮНДК35Т5, отлитого в кислых (кварцитовых) тиглях, этот признак не является браковочным, так как сплав всегда имеет серый излом.

Температура выпускаемого под заливку литейных форм окончательно готового сплава должна составлять для крупных отливок 1520—1540°C, для средних отливок 1540—1600°C, для мелкого литья 1560—1580°C.

Контроль температуры производят ардометрами или радиационными пирометрами, в особо ответственных случаях рекомендуется применять термопары погружения.

Рекомендуется непосредственная заливка литейных форм из плавильного тигля, минуя промежуточный разливочный ковш.

Наиболее вредными примесями для магнитных сплавов являются углерод и кремний. Увеличение углерода в сплавах ЮНД на 0,1% вызывает ухудшение магнитных свойств на 15—18%. Кремний и марганец также снижают магнитную энергию сплавов.

В сплавах типов ЮНДК24Б, ЮНДК15, ЮНДК18, ЮНДК24 отрицательное влияние углерода и кремния выражено еще более сильно. Содержание углерода в исходном материале не должно превышать 0,025—0,045%.

Вакуумная плавка в плавильно-кристаллизационных установках

Применение вакуумной индукционной выплавки магнитных сплавов обеспечивает значительное снижение содержания в них углерода, азота, кислорода, неметаллических включений, что повышает их магнитные свойства.

Анизотропные магнитные сплавы изготавливают в специальных вакуумных плавильно-кристаллизационных установках типа СКБ-7025 (рис. 4-1). Установка представляет собой вакуумную камеру 1, в которой размещается плавильная индукционная печь 2 и печь-кристаллизатор 3. Вакуумная камера имеет верхнюю крышку, на которой размещены дозатор 4, шарнирный ломик 5, термопара погружения 6, смотровые окна, мановакуумметр. На боковой поверхности вакуумной камеры имеются вентиль 6 для напуска аргона, патрубок 7, соединенный с трубопроводом откачной системы, включающей в себя форвакуумный насос ВН-4, бустерный насос ВН-2000, паромасляный насос ВН-2 (2 шт.). Вакуумная камера имеет выводы с вакуумными уплотнениями для контактной термопары 8 печи-кристаллизатора, водоохлаждаемых токопроводов 9 к этой же печи, и штока холодильника 10,

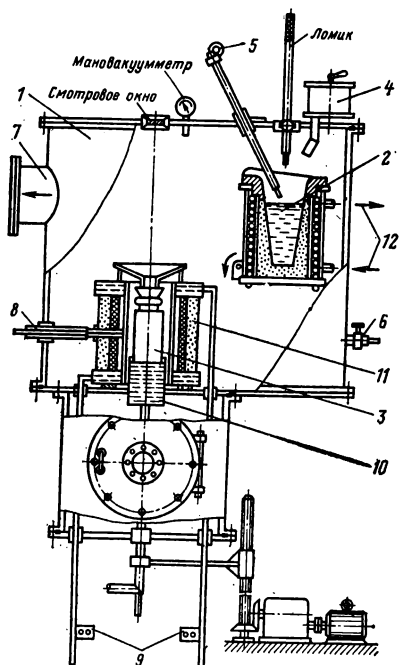


Рис. 4-1. Вакуумная плавильно-кристаллизационная установка.

соединенного с механизмом вытяжки. Кроме того, вакуумная камера имеет верхнюю боковую крышку, через которую проходит поворотное уплотнение коаксиального типа с высокочастотными токоподводами к плавильной печи, укрепленной на кронштейне поворотного уплотнения, а также нижнюю боковую дверцу для установки и снятия залитой литейной формы.

Для изготовления изотропных литых магнитов применяются вакуумные плавильно-заливочные установки типа ИСВ-0,010ПИ (рис. 4-2), которые также представляют собой вакуумную камеру 1, на боковой крышке 2 которой установлен механизм поворота 3 пла-

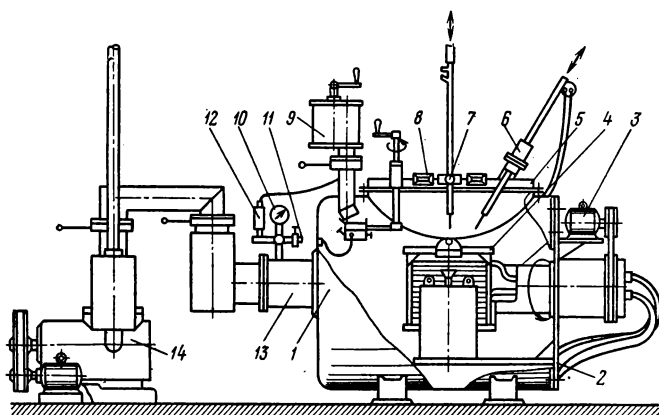


Рис. 4-2. Вакуумная плавильно-заливочная установка.

вильной печи 4. На верхней крышке 5 вакуумной камеры размещены термпары погружения 6, шарнирный ломик 7, смотровые окна 8. Верхняя часть вакуумной камеры несет патрубок с дозатором 9, патрубок с мановакуумметром 10, штуцером 11 для напуска аргона и датчиком 12 для измерения вакуума в вакуумной камере — термопарной лампой (ЛТ-2). На боковой поверхности вакуумной камеры имеется патрубок 13, соединенный через шиббер с форвакуумным насосом 14.

Технология производства отливок со столбчатой структурой в вакуумных плавильно-кристаллизационных установках типа СКБ-7025 складывается из следующих основных операций:

- подготовки и постановки литейной формы на холодильник в печь-кристаллизатор;

- навески и загрузки шихты (Fe, Ni, Co в алундовый тигель индукционной плавильной печи, а присадочных элементов Ti, Cu, Al, Nb и др. — в секционный дозатор);

- откачки вакуумной камеры до остаточного давления 13,3—1,33 Па;

одновременного разогрева литейной формы в печи-кристаллизаторе до температуры 1600—1650°C и расплавления шихтовых материалов в алундовом тигле плавильной печи;

выдержки дегазации расплава под вакуумом из расчета 1 мин на 1 кг расплава;

отключения откачки, напуска инертного газа (аргона) в вакуумную камеру до давления 0,1 МПа;

введения в расплав (Fe, Co, Ni), имеющий температуру 1550°C, присадочных элементов из секционного дозатора: 1/3 Al, всего Ti, остального 2/3 Al, Cu, Nb, FeS и Ce и доведения температуры расплава до 1600—1650°C;

заливки расплава в литейную форму печи-кристаллизатора;

выдержки залитой формы на холодильнике 5—10 мин; кристаллизации залитой формы на холодильнике со скоростью вытяжки из печи-кристаллизатора 2—6 мм/мин (в зависимости от состава сплава);

Таблица 4-1

Параметры режима плавления-заливочной и плавления-кристаллизационной установок

Параметры технологического режима	При производстве изотропных магнитов	При производстве анизотропных магнитов
Время плавки, мин	20—40 (в зависимости от веса шихты)	20—25
Давление при плавке в вакууме, Па .	1—10	1—10
Время разогрева формы (режим прокали), ч	0,5—1	0,3—0,5
Температура разогрева формы, °C . .	850—900	1600—1650
Время дегазации, мин/кг	1	1
Температура заливки сплава, °C . . .	1550	1600—1650
Время заливки, с (в зависимости от массы расплава)	10—15	5—10
Давление аргона после проведения дегазации, МПа	0,1	0,1
Температура в рабочей зоне печи-кристаллизатора, °C	—	1600
Температурный градиент по нагревателю на выходе из рабочей зоны, °C/см ² .	—	100
Время выдержки залитой формы на холодильнике после заливки, мин . . .	30	3—5
Скорость вытяжки холодильника с залитой формой (в зависимости от состава сплава), мм/с	—	2—6

разгерметизации вакуумной камеры и выемки формы с отливкой; охлаждения готовой отливки в песке до температуры 100—200°C.

Затем отливки магнитов откалываются от прибыли и направляются на дальнейшую обработку.

Параметры технологического режима плавления-заливочной и плавления-кристаллизационной установок приведены в табл. 4-1.

Изготовление постоянных магнитов с направленной кристаллической структурой

Одним из наиболее производительных методов изготовления магнитов с направленной кристаллизацией является заливка и кристаллизация их в печах сопротивления, позволяющая кристаллизовать отливки значительных размеров (70×30×150 или 40×80×200) при обеспечении магнитных параметров, превышающих требования ГОСТ 17809-72.

Шихтовые материалы расплавляют в индукционной печи и заливают в керамическую литейную форму, установленную в печи-кристаллизаторе на медный водоохлаждаемый холодильник. Литейная форма в своем основании не имеет дна и расплав при заливке непосредственно соприкасается с холодильником. Скорость кристаллизации при этом методе зависит от теплопроводности сплава, интенсивности отвода тепла, сечения и высоты отливок и составляет примерно 2,3 мм/мин.

В настоящее время находит применение метод внепечной кристаллизации сплава, залитого в предварительно нагретые до 1300—1350°C формы. Этот метод экономически представляется наиболее целесообразным для магнитов небольших сечения и высоты, так как при этом отпадает необходимость в установках-кристаллизаторах и уменьшается трудоемкость механической обработки. Литейная форма помещается в камерную печь сопротивления и прокаливается в течение 3—4 ч, в том числе при температуре 1300—1350°C не менее 1 ч. Затем форма извлекается, ставится на холодильник, представляющий собой стальную плиту, и заливается расплавом, приготовленным в индукционной плавильной печи.

Для получения направленности в отливках на высоту более 60 мм стальные плиты изготавливают водоохлаждаемыми. Этим способом производят магниты из сплава ЮН15ДК25БА с максимальной удельной энергией до 30 кДж/м³ и из сплава ЮНДК35Т5АА — 31—36 кДж/м³.

Анализ технологии изготовления литых магнитов показывает, что наиболее перспективным является метод направленной кристаллизации.

Осуществление направленной кристаллизации применительно к процессу изготовления литых постоянных магнитов требует определенного метода плавки шихты: сначала в печь загружается стекло для наведения шлака, затем Со и железо; после их частичного расплавления загружается Ni и медь; после их полного расплавления печь отключается и с поверхности металла снимается шлак; затем,

если металл в ванне сильно бурлит, т. е. температура его слишком высока, необходимо дать ванне выстояться при отключенном генераторе, чтобы снизить температуру металла перед введением в него Ti и Al; далее в ванну загружаются предварительно подогретые Ti и Al, металл тщательно перемешивается, снимаются остатки шлака, замеряется температура и металл выливается в ковш. Церий подается в струю металла, после его введения металл в ковше перемешивается и разливается по формам. Эти последние операции надо производить быстро. Отстаивание металла в отключенной печи или в ковше с целью снижения его температуры и очищения от шлака может привести к дополнительному угару Ti и Al, поэтому получение низкой температуры в основном осуществляется в процессе плавки. Для изготовления отливок с минимальными припусками на шлифовку целесообразно использовать метод точного литья по выплавляемым моделям.

В процессе плавки и литья необходимо обеспечить:

- 1) получение металла заданного химического состава;
- 2) получение отливок высокой плотности, с мелким зерном;
- 3) создание в процессе кристаллизации и охлаждения отливки условий, не допускающих появления в них высоких напряжений, ведущих к образованию трещин.

Для выполнения первого требования обычно стремятся к минимальному угару элементов в процессе плавки, для чего компоненты следует загружать в определенном порядке (в зависимости от температуры их плавления и склонности к угару). Очень важно при этом не перегревать металл, но вести плавку интенсивно; выливать металл в заливочный ковш при расплавлении последней загрузки (это особенно важно, если в состав шихты входят склонные к угару Ti и Al, загружаемые в последнюю очередь).

Для выполнения второго требования также необходимо не перегревать металл с тем, чтобы температура металла при заливке была невысокой, но вместе с тем и не очень низкой, чтобы на отливках не образовывалось большого затупления углов и кромок за счет снижения жидкотекучести металла.

Для получения в отливке мелкого зерна наиболее рациональным является режим: заливка металла в подстуженную форму (при температуре 700—600°C), а после затвердевания отливок (время затвердевания определяется экспериментально) установка в печь с температурой 800—700°C и последующее охлаждение вместе с нею до температуры 100°C.

В качестве литейных форм для магнитов, изготавливаемых методом направленной кристаллизации, наиболее целесообразно использовать керамические формы (на основе этилсиликата+маршалит), применяемые в процессах прецизионного литья по выплавляемым моделям и состоящие из полости, соответствующей по конфигурации будущей отливке, и формы для литниковой системы. Для получения формы собирают модель отливки с моделями литниковой системы, образуют модельные комплексы (блоки), изготовленные из легкоплавкого модельного сплава. На модельные комплексы наносят огнеупорное покрытие, состоящее из нескольких слоев огнеупорной массы. В качестве модельного состава используется обычная смесь из 50% парафина и 50% стеарина.

По высыхании последнего слоя керамического покрытия модельный сплав выплавляют или выжигают и прокаливают полученную керамическую форму в специальных ящиках с засыпкой — «жакетах» для возгонки остатков модельного сплава и удаления других газообразующих веществ.

Конструктивные варианты корковых форм перед их использованием проходят двухстадийное испытание. Предварительное испытание: готовая форма укрепляется в никелевой «лодочке» и нагревается до температуры 900—1300°C и заливается расплавом с температурой 1650°C. Окончательное испытание: форма ставится на медный водоохлаждаемый поддон и вместе с ним вводится в рабочее пространство силитовой печи, нагретой до температуры 1475°C, и заливается расплавом с температурой 1620—1650°C. Если форма выдержала заливку, вариант приемлем для производства.

Установлено, что температура стенки керамической формы должна быть равной 1380°C, т. е. близкой к температуре солидуса сплава, а температура заливаемого металла равной 1600°C. Если будет выдержан этот режим, то направленность кристаллизации в отливке достигается полностью по всей высоте. Однако полностью направленную кристаллизацию в отливке можно получить и путем некоторого перегрева металла. Проведение плавов с заливкой перегретого до температуры 1650°C металла в форму, заведомо «холодную» — с температурой внутри 1300°C (при температуре печного пространства, равной 1400°C, дает хорошую направленность кристаллизации по всей высоте отливки. Кристаллы получаются крупнее. Перегреть металл выше 1650°C не следует, так как резко увеличивается угар элементов сплава, что приводит к резкому снижению магнитных свойств.

Определение времени кристаллизации можно производить простым способом: регулярно, через 5 мин, в полость залитой формы погружать тонкий металлический стержень — шуп до тех пор, пока он не упрется в затвердевшую поверхность. Установлено, что отливки с сечением 80×80 мм и высотой 300 мм кристаллизуются в течение 1 ч 10 мин. С уменьшением высоты отливки уменьшается и время кристаллизации; так, например, при высоте 120 мм время кристаллизации равно 30 мин. С уменьшением поперечного сечения время кристаллизации увеличивается потому, что поверхность соприкосновения с холодильником достаточно мала, отвод тепла от жидкого металла становится меньше, кристаллы растут медленнее и зерно становится крупнее. При прочих равных условиях в верхней части отливки сечением 20×50 мм и длиной 220 мм был получен монокристалл с сечением 10×18 мм и высотой 50 мм, в то время как у отливки с диаметром поперечного сечения, равным 100 мм, кристаллы имеют диаметр 6—7 мм. В нижней части отливки образуются мелкие кристаллы, расширяясь снизу вверх.

При изготовлении литейных форм с двойными стенками с целью повышения аккумуляции тепла и поднятия температуры подогрева до 1400—1450°C возможно изготовление магнитов значительных размеров и массы. Способ внепечной заливки может стать перспективным и в этом отношении и с точки зрения механизации. В дальнейшем данный способ, возможно, может стать основным для изготовления магнитов определенных типоразмеров.

О средней производительности современных установок при изготовлении литых постоянных магнитов можно судить по данным табл. 4-2.

Таблица 4-2

Сплавы	Получаемая структура	Тип установки, печи	Производительность, кг/ч
ЮН13ДК25БА	С направленной кристаллизацией	НК-3М	4,6
ЮНДК35Т5БА	То же	СКБ-7025	1,2
ЮНДК35Т5БА	» »	СКБ-7046	1,6
ЮНДК35Т5	Равноосная	Плавильная печь ИО-102	43,2
ЮН14ДК24	»	То же	43,8
ЮН15ДК24	»	» »	43,5
ЮНДК15	»	» »	43,9
ЮНДК18	»	» »	43,9
ЮНДК40Т8	»	» »	43,1
ЮНДК42Т2	»	» »	43,0
ЮНД4	»	» »	44,0
ЮНД8	»	» »	44,0

Наиболее высокие магнитные характеристики достигаются на монокристаллах сплава. Известны следующие методы получения монокристаллов: 1) метод Чохральского; 2) метод Бриджмена; 3) метод зонной рекристаллизации.

Первый метод заключается в выращивании на затравке монокристалла из расплава. Он позволяет получать строгую ориентацию монокристалла в кристаллографическом направлении (100). Ориентация задается затравочным кристаллом того же сплава с идентичной кристаллической решеткой. Возможности метода ограничены. Монокристаллы получают только цилиндрической формы и малой длины. Этим методом фирма «Филипс» (Голландия) получила монокристалл сплава тикональ с $W_{max}=44$ кДж/м³, а монокристалл сплава альнико с $W_{max}=39,7$ кДж/м³. В СССР для этой цели используется установка «Редмет-1».

Второй метод заключается в вытягивании кристаллизующего слитка из зоны обогрева в специальном тигле, обеспечивающем преимущественное зарождение и рост одного центра кристаллизации, находящегося в более благоприятных расположении и условиях по сравнению с другими зародившимися центрами. Таким методом получены монокристаллы с $W_{max}=46,4$ кДж/м³.

Метод зонной плавки позволяет получать крупные монокристаллы со столбчатой структурой, пригодные для промышленного применения. Осуществляется этот метод на многопозиционных установках зонной плавки, конструкция которых учитывает специфические требования процесса зонной перекристаллизации магнитных сплавов. По

результатам японских исследований на сплаве ЮНДК24 этим методом удается получать магниты \varnothing 20 мм, длиной 400 мм с $W_{\max} = 53,5$ кДж/м³.

4-2. ТЕРМИЧЕСКАЯ ОБРАБОТКА СПЛАВОВ ТИПА АЛЬНИКО

Сплавы на основе системы Fe-Ni-Al-Co относятся к группе дисперсионно-твердеющих сплавов, высокая коэрцитивная сила которых обусловлена $\beta_2 \rightarrow \beta + \beta_2$ превращением, проходящим по механизму спинодального распада. Фаза β — это твердый раствор на основе Fe или в случае сплавов, содержащих Co на основе FeCo; фаза β_2 — твердый раствор на основе NiAl.

В результате распада структура сплава представляет собой однодоменные анизотропные выделения ферромагнитной β -фазы, расположенные вдоль направлений (100) кубического кристалла в слабомагнитной β_2 -матрице. Такая структура обеспечивает однодоменный механизм перемагничивания и, следовательно, высокую коэрцитивную силу.

Задачей термомагнитной обработки является создание таких условий $\beta_2 \rightarrow \beta + \beta_2$ -распада, при которых анизотропия формы и магнитная изолированность β -выделений были бы максимальны, а также создание в случае высококобальтовых сплавов магнитной текстуры.

Все сплавы на основе Fe-Ni-Al обладают низкой теплопроводностью и высокой хрупкостью. Поэтому на всех этапах термообработки должны быть приняты меры для предотвращения растрескивания магнитов, а именно должны быть обеспечены медленный подогрев магнитов и медленное охлаждение их до комнатной температуры.

Процесс термообработки магнитов заключается в следующем. Отливки нагреваются в печи до температуры однофазного состояния и выдерживаются при этой температуре в течение времени, необходимого для полного растворения присутствующей в литом материале α -фазы. Далее отливки извлекаются из печи и помещаются в поле электромагнита для термомагнитной обработки. Весь процесс термомагнитной обработки делится на два интервала: охлаждение от температуры закалки до 800°C и охлаждение в интервале температур 800—700°C. В верхнем интервале температур необходимо обеспечить скорость охлаждения, достаточную для того, чтобы не мог произойти высокотемпературный распад с выделением α -фазы, ведущей к резкому снижению магнитных свойств. В нижнем интервале температур скорость охлаждения должна обеспечить протекание процесса распада твердого раствора: $\beta \rightleftharpoons \beta + \beta'$. Здесь β' — мелкодисперсные выделения ферромагнитной фазы, обогащенной Fe и Co, а β — неферромагнитная матрица, обогащенная Ni и Al. Этот распад происходит в сплаве в довольно узком интервале температур (800—700°C), причем эффективное действие магнитного поля, заключающееся в ориентировании зародышей β' -фазы в направлении поля, имеет место в еще более узком интервале температур (800—780°C). Наилучшие результаты дает изотермическая обработка с изотермой в области температур 800—700°C. После термомагнитной

Режим термообработки сплавов

Марка сплава	Режим подогрева	Режим нагрева, °С	Режим охлаждения	
Изотропные: ЮНД4 ЮНД8 ЮНТС ЮНДК15 ЮНДК18С	Не требуют дополнительной термической обработки	1100 1280 1280 1280 1200	Охлаждение на спокойном воздухе	
Анизотропные: ЮН13ДК24С ЮН13ДК24 ЮН14ДК24 ЮН15ДК24 ЮН14ДК24Т2 ЮН13ДК25А ЮН13ДК25А ЮН14ДК25А ЮН13ДК25БА ЮН14ДК25БА ЮН15ДК25БА	От 20 до 800°С за 6—8 ч	1280—1300	До 900°С на воздухе, 150—200 °С/мин	От 900 до 650°С, 15—25 °С/мин
Анизотропные, титана 5% и выше: ЮНДК31ТЗБА ЮНДК34Т5 ЮНДК35Т5Б ЮНДК35Т5 ЮНДК35Т5БА ЮНДК3817 ЮНДК40Т8		1260 — — 1260 — 1230 1230	Подстуживание до 900°С со скоростью 200°С/мин	

Примечания: 1. Время выдержки при нагреве под закалку определено: для анизотропных с титаном до 2% — в пределах 15—90 мин; для 2. Изотермическую магнитную обработку проводят в расплаве свинца, 3. Напряженность магнитного поля — для изотропных магнитов не менее

Таблица 4-3

на основе системы Al-Ni-Co

Режим магнитной обработки		Режим отпуска		Режим охлаждения после отпуска	Оптимальная масса магнита, кг
термической обработки	изотермическая обработка мин	Температура, °C	Время, ч		
		580	2—4	На спокойном воздухе	0,05—1 0,05—1 0,05—1 1,00—1,5 1,00—1,5
Охлаждение в магнитном поле		580	4	Вместе с печью до температуры не выше 100°C, не менее 10 ч	1,00—1,5
		630	2		0,50—1,0
		580	8		—
		630	2		0,50—1,0
		580	8		—
		590	30		—
		560	30		1,50—2,0
		590	30		—
		560	30		1,50—2,0
		630	2		0,50—1,0
		580	8		—
Охлаждение в магнитном поле	800°—10	640	2	Охлаждение вместе с печью до комнатной температуры не менее 12 ч	0,3—0,5
	—	560	—		—
	800°—10	650	5		0,3—0,5
	—	560	20		—
	810°—10	675	0,5		0,05—0,08
	830°—10	650	2		—
		585	16		0,05—0,08
		560	20		—

ляется массой и колеблется: для изотропных магнитов — в пределах 10—анизотропных с титаном свыше 5% — в пределах 20—90 мин.

олова или соли.

160 кА/м и для анизотропных магнитов в пределах 160—280 кА/м.

обработки производится отпуск. Во время отпуска происходит дальнейшая ферромагнитная изоляция β' -фазы и возрастает коэрцитивная сила магнита. Режим отпуска следующий: 640°C — 2 ч и 560°C — 8 ч.

На разных стадиях технологического процесса в металле возникают внутренние напряжения. Накапливаясь, эти напряжения в определенный момент могут превысить предел прочности материала и привести к образованию трещин. Исходные литейные напряжения могут быть в значительной мере ослаблены отжигом отливок по режиму: нагрев с печью от комнатной температуры до 800°C, выдержка в течение 8 ч и охлаждение с печью до комнатной температуры. Во избежание возникновения сильных термических напряжений при термообработке нагрев следует вести медленно, особенно в области низких температур. Лучше всего осуществлять непрерывный нагрев со скоростью примерно 100°C/ч до 800°C. Термический удар, приводящий к возникновению внутренних напряжений, имеет место при переносе отливки из печи с температурой 800°C в печь с температурой 1240°C. Опыт показал, что наилучшие результаты получаются при непрерывном нагреве до температуры закалки в одной печи. При отсутствии такой возможности следует использовать промежуточный подогрев в другой печи при температуре порядка 950°C.

Важным этапом технологии термообработки является процесс охлаждения в электромагните. Относительно высокая скорость охлаждения на этом этапе необходима для создания структуры сплава, обеспечивающей высокие магнитные свойства. Сопутствующие этому процессу термические напряжения могут быть уменьшены путем создания более равномерного охлаждения в объеме магнита. С этой целью магниты в электромагните тщательно утепляются со всех сторон асбестом, отверстия отливок перед термообработкой заделываются смесью асбеста и глины. Наиболее опасным является интервал температур ниже 800°C, когда в металле уже произошел распад. Именно в этом интервале температур чаще всего образуются «холодные» трещины. Чтобы предотвратить их образование, надо заканчивать процесс термомагнитной обработки при достижении температуры 700°C [4-1] и сразу помещать магниты в печь, нагретую до температуры отпуска, и производить отпуск. Охлаждение после отпуска должно быть по возможности медленным. Магниты не следует извлекать из отпускной печи при температурах выше 100°C.

К числу изотропных сплавов, не обладающих магнитной текстурой, относятся сплавы ЮНД4, ЮНД8, ЮНТС, ЮНДК15, ЮНДК18, ЮНДК-18С (ГОСТ 17809-72). Основные этапы термообработки этих сплавов состоят в медленном подогреве от 20 до 800°C, нагреве до температуры существования однофазного твердого раствора и охлаждении с критической скоростью, обеспечивающей оптимальные условия $\beta_2 \rightarrow \beta + \beta_2$ -распада. Для сплавов с повышенным содержанием меди (ЮНД8) и для сплава с кобальтом (ЮНДК15) рекомендуется отпуск.

Режимы термообработки сплавов приведены в табл. 4-3.

Сплавы ЮНТС и ЮНДК18С имеют низкую критическую скорость охлаждения, что дает возможность получать высокие магнитные свойства на магнитах массой более 1 кг.

Сплавы с большим содержанием кобальта имеют точку Кюри выше температуры распада $\beta_2 \rightarrow \beta + \beta_2$. Если распад проходит в присутствии магнитного поля, поле ориентирует выделение ферромагнитной β -фазы в одном направлении, создавая тем самым магнитную текстуру, что характерно для сплавов ЮНДК24, ЮНДК24Б, ЮНДК24Т2, ЮНДК35Т5, ЮНДК40Т7, ЮНДК24Т8. Оптимальными условиями для $\beta_2 \rightarrow \beta + \beta_2$ -распада являются:

1) для сплавов, содержащих не более 2% титана, охлаждение из состояния однофазного твердого раствора β_2 с критической скоростью в интервале температур 900—700°C;

2) для сплавов с 5% и более титана — изотермическая магнитная обработка.

Особенностью сплавов, содержащих кобальт, является наличие в интервале температур 1200—850°C превращения $\beta_2 \rightarrow \beta_2 + \gamma$, которое отрицательно сказывается на магнитных свойствах. Поэтому охлаждение в этом интервале температур нужно проводить с определенной скоростью, обеспечивающей подавление γ -распада. В том случае, когда в структуре литого материала нет γ -фазы, возможно проведение низкотемпературной обработки с нагревом до температуры 950—1000°C. Однако такая обработка возможна лишь для магнитов с равноосной структурой, так как условия охлаждения после кристаллизации отливок со столбчатой структурой не могут обеспечить отсутствия γ -фазы.

Термообработку можно проводить в любых печах, обеспечивающих заданный температурный режим, имеющий температурный перепад рабочего пространства 5—10°.

4.3. ОБРАБОТКА ПОВЕРХНОСТЕЙ ЛИТЫХ МАГНИТОВ

Шлифование

Особенностью литых сплавов для постоянных магнитов является их высокая твердость, хрупкость, низкая механическая прочность, склонность к сколо- и трещинообразованию. Раньше шлифование было практически единственным методом обработки поверхностей литых постоянных магнитов.

Для получения магнитов с заданными размерами полученные заготовки подвергаются механической обработке (шлифовке). Шлифование производится после термообработки, при этом соблюдается следующий порядок операций: шлифовка отверстий, шлифовка по наружному диаметру, шлифовка торцов.

При шлифовке образуется большое количество сколов. Для их уменьшения вводится предварительная шлифовка, т. е. снятие основного припуска с «сырых» отливок», обладающих меньшей, чем у термически обработанных, хрупкостью. Перед предварительной шлифовкой можно произвести отжиг отливок, что еще больше облегчит процесс шлифования. После предварительной шлифовки оставляют припуск 0,5—0,7 мм. Однако количество сколов даже в этом случае остается все еще значительным. Дальнейшие меры по снижению сколов следующие:

1. Введение фаски по наружному и внутреннему диаметрам, снимаемой после предварительной шлифовки. (Это одновременно по-

ложительно сказывается и на термообработке, так как острые кромки являются местом концентрации термических напряжений.)

2. Снижение подач на глубину при плоской шлифовке до 0,01—0,005 мм.

3. Шлифование торцов магнитов при различных способах установки в креплениях их на станке, а именно:

- а) установка в гнездах специального приспособления;
- б) установка на магнитной плите станка с креплением в планках;
- в) установка на плите станка магнитов, залитых в гипс.

Ни один из этих способов не обеспечивает полного устранения сколов. Наиболее существенным для качественного шлифования магнитов является:

тщательная балансировка и правка шлифовальных кругов при установке их на станке, правильный выбор шлифовальных кругов по твердости и зернистости, достаточно малые подачи на глубину, правильное чередование операций шлифования, минимальный съем при окончательной шлифовке после термообработки. Припуски на обработку деталей из магнитных сплавов составляют значительную величину (от 0,5 до 12 мм). Обработка выполняется на универсальном шлифовальном оборудовании электрокорундовыми кругами на керамической связке Э24-36С1К или (предварительное, грубое шлифование) мягкими кругами на бакелитовой связке (46-60СМ1-СМ2Б) (окончательная доводка на размер). Характеристики кругов для основных видов шлифования сведены в табл. 4-4.

Таблица 4-4

Характеристика шлифовальных кругов

Вид шлифования	Абразив	Связка	Зернистость	Твердость
Круглое	Э и ЭБ	К и Б	25—40	СМ1—СМ2
Внутреннее	Э и ЭБ	К	16—25	С1—СТ1
Плоское	Э и ЭБ	К и Б	25—40	СМ1—СМ2
Бесцентровое	Э и ЭБ	К и Б	25—40	СМ1—С2

Примечание. При чистовых операциях рекомендуется повышать характеристику круга на один номер зернистости и одну ступень твердости.

Оптимальным абразивным инструментом для обработки сплавов типа ЮНДК является круг на керамической связке ЭБ40СМ2К6.

Шлифование алмазными кругами зернистостью 120—140 на связке Б1 с концентрацией алмазов 50% применяется лишь при доводке магнитов до 10—12-го классов чистоты при снятии припуска до 0,01 мм на режимах: скорость круга $v_k = 12 \div 15$ м/с, продольная подача $s = 3$ м/мин, глубина резания $t = 0,005 \div 0,007$ мм. Алмазные круги на металлической связке для обработки магнитов не пригодны, так как они быстро нагреваются, засаливаются и на обрабатываемой поверхности появляются «прижоги».

На стойкость кругов и условия выбора абразивного инструмента влияет: марка обрабатываемого материала, жесткость системы СПИД, дисбаланс круга, высота круга. Если интенсивность съема выдерживается постоянной, частота вращения детали не влияет на стойкость круга. Чем интенсивнее режим шлифования, тем меньше стойкость между правками. С увеличением площади зоны шлифованной твердость понижается. Чем больше диаметры детали и круга и чем толще круг, тем меньшей твердостью он должен обладать. При плоском шлифовании периферией круга необходимо применять более твердые круги, чем при плоском шлифовании торцом. С понижением скорости резания и с уменьшением подачи твердость круга должна быть повышена. Крупнозернистые круги нужно выбирать более твердые, чем мелкозернистые. При механической подаче круги выбираются более мягкими, чем при ручной. Сухое шлифование требует более мягких кругов, чем мокрое. Тонкое чистовое шлифование производится более мягкими кругами, чем шлифование предварительное (обдирочное). На жестких станках можно применять более мягкие круги, чем на станках, дающих вибрацию.

Износ рабочей части круга зависит от вида шлифования, материала шлифовального круга, твердости структуры, связки, размера зерна, режима шлифования и других факторов.

Износ больше у кругов с более крупным зерном. Установлены следующие расчетные коэффициенты сравнительного износа в зависимости от зернистости применяемого круга:

Зернистость .	80	50	40	25	18	12	6	5	3
Коэффициент сравнительно- го износа . .	2	1,5	1	0,8	0,6	0,5	0,3	0,25	0,15

Пр и м е ч а н и е. Чем меньше номер структуры, тем больше изнашивается круг.

Удельный расход абразива рассчитывается по формуле

$$q = \frac{Q_a}{Q_m},$$

где Q_a — масса изношенного абразива, г; Q_m — масса снятого металла, г.

Удельный расход абразива колеблется в значительных пределах в зависимости от режимов обработки и составляет 0,08 на режиме $v_k=10$ м/мин, $s=20$ мм/проход, $t=0,1$ мм/проход и 0,13 на режиме $v_k=22$ м/мин, $s=10 \div 20$ мм/проход, $t=0,1$ мм/проход, удельный расход абразива возрастает. Эти данные относятся к сплавам ЮНДК15, ЮНДК24Б и др. по ГОСТ 17809-72.

При шлифовании сплава ЮНДК25БА в зависимости от режима шлифования удельный расход абразива находится в пределах 0,29—0,53.

По трудоемкости обработки магнитные сплавы разделяются на три группы:

1) легкообрабатываемые (ЮНДК15, ЮНДК18, ЮН15ДК24, ЮН14ДК24Б);

Т а б л и ц а 4-5

Режимы шлифования

Наименование операции	Режимы	Группа № 1	Группа № 2	Группа № 3
Плоское шлифование	Скорость круга, м/с	25—30	25—30	25—30
	Скорость хода стола, м/мин:			
	предварительная обработка	16—22	10—16	8—12
	окончательная обработка	8—12	8—12	6—8
	Поперечная подача, мм/двойной ход:			
	а) керамические круги	2—4	2—4	1—3
	б) бакелитовые круги	4—12	4—10	2—8
Круглое шлифование (наружное)	Подача на врезание, мм/проход:			
	предварительная обработка	0,05—0,1	0,03—0,05	0,01—0,03
	окончательная обработка	0,03—0,05	0,01—0,03	0,05—0,01
	Скорость круга, м/с	35—50	35—50	35—50*
Бесцентровое шлифование	Скорость изделия, м/мин	25—35	25—35	25—35
	Продольная подача, мм/мин	0,8—2	0,5—2	0,3—1,5
	Поперечная подача, мм/ход	0,03—0,1	0,01—0,03	0,01—0,03
	Скорость круга, м/с	15—35	15—35	15—35
Внутреннее шлифование	Скорость изделия, мм/мин	7—15	10—14	6—8
	Продольная подача, мм/об	0,05—0,08	0,02—0,04	0,01—0,03
	Удвоенная глубина резания, мм	0,06—0,1	0,03—0,05	0,01—0,03
	Угол поворота ведущего круга, град	1—3	0,5—2	0,025—1,5
	Скорость круга, м/с	10—25	10—25	10—25
	Скорость изделия, м/мин	15—40	15—30	15—30
	Продольная подача, мм/мин	6—8	4—6	2—5
	Подача на врезание, мм/мин	0,6—0,8	0,4—0,6	0,2—0,4

2) средней трудности (ЮН14ДК25БА, ЮН14ДК25А);

3) труднообрабатываемые (ЮНДК40Т8, ЮНДК35Т5).

Режимы шлифования приведены в табл. 4-5.

Большинство изделий шлифуются по 2—3-му классам точности. Чистота обработанной поверхности $\nabla 6—7$, на доводочных операциях $\nabla 8—10$.

Средняя производительность для круглого шлифования составляет $370 \text{ мм}^3/\text{мин}$, а плоского шлифования — $200 \text{ мм}^3/\text{мин}$. Средняя производительность шлифования по режимам различных предприятий (А, Б, В) представлена в табл. 4-6.

Таблица 4-6

Производительность шлифования

Вид шлифования и тип станка	Теоретическая производительность в зависимости от применяемых режимов, мм ³ /мин		
	А	Б	В
Плоское, станок 3Б722	2070	1500	6000
Плоское, станок 3756	30 140	60 300	56 400
Плоское, станок 372Б	—	—	1600
Круглое	660	2240	1440

При закреплении деталей в станок должны выполняться следующие требования:

а) детали должны быть размагничены:

б) при установке заготовок на магнитной плите следует с трех сторон укреплять их стальными планками.

Оснастка для шлифования не должна допускать изгибающих усилий; не допускается крепление магнитов по острым граням и углам. Для сохранения постоянного и равномерного зажимного усилия, а также с целью снижения вспомогательного времени, особенно в многоступенчатых приспособлениях, рекомендуется применять гидропластмассовые и пневматические элементы крепления.

Большой практический интерес имеет предложенный Г. А. Мартыновым новый производственный способ обработки литых магнитов резанием с искусственным подогревом заготовки до температуры 850—950°C. В качестве режущего инструмента применяются резцы, оснащенные пластинками твердого сплава Т15К6. Оптимальные геометрические параметры режущей части резцов, определенные экспериментально, составляют $\gamma = +10^\circ$, $\alpha = 12^\circ$, $\lambda = 0^\circ$. Скорость резания $v = 30 \div 50$ м/мин, глубина t до 3 мм, подача $s = 0,1 \div 0,2$ мм/об.

При чистовых операциях режим следующий: $v = 60 \div 80$ м/мин, $t = 0,08 \div 0,15$ мм, $s = 0,5 \div 1,0$ мм/об.

При объемном нагреве заготовки до 800°C и режиме резания $v = 20 \div 40$ м/мин, $s = 0,1 \div 0,15$ мм/об, $t = 1,2$ мм качество поверхности соответствует 4—6-му классам чистоты по ГОСТ 2789-59. При индукционном нагреве чистота поверхности примерно на один класс ниже. Точность обработки соответствует 5-му классу, что допустимо, так как операция токарной обработки с нагревом заготовки является предварительной и выполняется до термоманитной обработки. Производительность обработки составляет 50—60 см³/мин, что в 30—40 раз превышает производительность при шлифовании.

Электроэрозионная обработка

Электроэрозионная обработка используется для операций прошивки отверстий (в основном цилиндрических) и резки заготовок. Эти операции являются предварительными для получения заданных

форм и размеров заготовки под последующую окончательную обработку. Чистовая электроэрозионная обработка магнитов малопродуктивна. При электроэрозионной обработке возникают сетки микротрещин (дефектный слой иногда достигает 0,5—0,8 мм). Качество поверхности не превышает 1—3-го класса чистоты. При прошивке отверстий небольшого диаметра наблюдается уход инструмента и значительный его расход (до 100% массы снятого материала).

Для прошивания и резки постоянных магнитов используются латунные или медные электроды-инструменты необходимой конфигурации и размеров. Кроме латунных и медных электродов используются также электроды из специального графита марки ЭЭГ. Расход электродов-инструментов зависит от обрабатываемого материала, материала электрода, режимов обработки, условий прокачки рабочей жидкости. На грубых режимах расход латунных электродов составляет до 100%, а графитовых до 40% массы снятого материала.

Операции прошивания, кольцевой вырезки выполняются методом трепанации полыми электродами с небольшим отходом металла. Удаленные электроэрозионным способом части заготовки используются при переплавке. При прошивании и разделке отверстий в литых магнитах применяются следующие режимы: ток короткого замыкания 3—8 А, напряжение 220 В, ток 0,5 А. Производительность обработки 100—800 мм³/мин, чистота поверхности 1—3-й классы, точность 0,1—0,5 мм.

Анодно-механическая обработка

Анодно-механическая обработка используется в основном для высокопроизводительного разрезания заготовок из магнитных сплавов и обработки плоскостей. В качестве электродов-инструментов для резки используются стальные диски, а для обработки плоскостей — диски из чугуна СЧ15-32. Рабочая жидкость (электролит) — водный раствор жидкого стекла плотностью 1,3 с 5%-ной добавкой эмульсола или машинного масла. Добавки эмульсола или масла снижают прочность прилипания стекла, не снижая производительности процесса. Метод имеет высокую производительность, но из-за налипания жидкого стекла эксплуатация оборудования затруднена. Расход инструмента при анодно-механической резке составляет 5—15% массы снятого материала. Режимы: напряжение 32 В, рабочий ток 100 А, частота вращения 1400 об/мин. Ширина резца равна утроенной толщине диска (2,5—4 мм). Основные показатели обработки следующие:

Напряжение, В	Ток, А	Достигаемая чистота обработки	Производительность, мм ³ /мин
22—32	75—200	3—1	1000—2000
10—12	18—20	6—5	30—100

Электрохимическая размерная обработка

Электрохимическая размерная обработка является перспективным методом обработки литых постоянных магнитов типа ЮНДК.

Сущность ее заключается в использовании эффекта направленного анодного растворения под высокими плотностями тока, создаваемого между электродом-инструментом и обрабатываемой деталью. При прохождении постоянного тока через электролит (растворы солей) происходит растворение анода (детали) и выделение водорода на поверхности катода (инструмента). Продукты растворения анода удаляются струей электролита. Между деталью и электродом-инструментом сохраняется определенный межэлектродный зазор, через который протекает электролит. При электрохимической обработке отсутствует механическое воздействие инструмента на деталь, что исключает возможности появления трещин, сколов и прижогов. Этим методом можно обрабатывать плоскости, наружные и внутренние поверхности тел вращения, фасонные поверхности, прошивать отверстия и резать заготовки.

В качестве электродов-инструментов для электрохимического шлифования используются абразивные круги на токопроводящей металлической связке, а для резки и прошивки отверстий — металлические электроды (латунные, стальные).

При использовании абразивных кругов на металлической связке износ инструмента по сравнению с обычным абразивным шлифованием сокращается в десятки раз. Металлический инструмент практически не изнашивается, так как служит лишь для обмена зарядов, но иногда в результате коротких замыканий выходит из строя.

Электрохимическое профильное шлифование осуществляется на модернизированном плоскошлифовальном станке модели 3Г71М. В качестве режущего инструмента используются шлифовальные круги ПП250×25×73, ЭБ16, связка СЭШ-П, $K=50\%$. Режимы шлифования: скорость резания $v=35$ м/с, подача: продольная $S_{\text{прод}}=5$ мм/мин, поперечная $S_{\text{поп}}=2$ мм/двойной ход стола, глубина $t=0,05\div0,15$ мм, напряжение $U=12\div15$ В, ток $I=100\div250$ А.

Электрохимическое профильное шлифование не дает сколов и трещин, чистота обработанной поверхности соответствует 8—9-му классам, точность $\pm 0,02$ мм. Производительность труда по сравнению с абразивным шлифованием увеличивается в 1,5—2 раза (до 500—1000 мм³/мин). Стойкость шлифовального круга выше стойкости абразивных кругов в 8—10 раз. Процесс правки практически отсутствует, но необходима балансировка круга.

Электрохимическое шлифование внутренних цилиндрических отверстий проводится на модернизированном для электрохимической обработки внутришлифовальном станке модели 3А227. Режущий инструмент — шлифовальный круг, токопроводящий, связка СЭШ-П, ПП20×30×10, ЭБ8, $K=50\%$. Режимы шлифования: $v=15$ м/с, частота вращения круга $n=12\,600$ об/мин, $n_{\text{под}}=70\div80$ об/мин, $S_{\text{поп}}=0,05$ мм/двойной ход стола, $U=10\div12$ В, I до 250 А.

Чистота обработанной поверхности $\nabla 8-9$, точность 2—3-го классов. Производительность труда по сравнению с обычным абразивным методом шлифования увеличивается в 1,5—2 раза, стойкость применяемых шлифовальных кругов в 10—15 раз выше абразивных.

Круглое наружное электрохимическое шлифование магнитов проводится на модернизированном станке модели 312М. Чистота обработанной поверхности $\nabla 8-9$. Точность обработки 2—3-го классов. Режимы шлифования: инструмент ПП300×40×127, СЭШ-2, К316,

$K=50\%$, линейная скорость круга $v_k=35$ м/с, скорость стола $v_{ст}=1,5$ м/мин, $n_{изд}=33$ об/мин, $t=0,05$ мм/двойной ход стола, $U=12\div 14$ В, $I\leq 200$ А.

Прорезание пазов и резка заготовок осуществляется на модернизированном универсально-заточном станке модели ЗА64. Процесс разрезания совмещенный, т. е. наряду с электрохимическим процессом в межэлектродном зазоре протекают эрозионные процессы. Электрод-инструмент — металлический диск толщиной 0,5—0,6 мм, диаметром 250—300 мм. Режимы резания: $v_{диска}=45\div 50$ м/с, $v_{стола}=10\div 20$ мм/мин, $U=15\div 18$ В, $I=100\div 500$ А. Чистота обработанной поверхности $\nabla 5\text{--}6$. Ширина реза 1,2—1,8 мм в зависимости от сечения заготовки. Производительность процесса 300—800 мм³/мин.

Электрохимическое прошивание отверстий в магнитах производится на модернизированном вертикально-сверлильном станке модели 2А150. Нерабочие поверхности электрода-инструмента изолируются поливинилбутиралем. Производительность выше, чем при электроэрозионном методе. Чистота обработанной поверхности $\nabla 6\text{--}7$. Коунусность не более 0,1. Режимы обработки: частота вращения инструмента $n_{ин}=1400$ об/мин, подача инструмента $s_{ин}=2\div 3$ мм/мин, давление электролита $p=0,3\div 1,2$ МПа, $U=12\div 14$ В, I — до 1500 А, межэлектродный зазор $\delta=0,2\div 0,5$ мм.

При электрохимическом шлифовании рекомендуется применять менее агрессивный электролит, например водный раствор KNO_3 (7%), $NaNO_2$ (0,5%).

При резке заготовок электрод-инструмент (диск) должен иметь толщину не более 0,5 мм. Диски необходимо предварительно отжечь.

Расход электродов-инструментов (дисков) при резке магнитов составляет 5—10% массы снятого материала.

4-4. ИЗГОТОВЛЕНИЕ МАГНИТОВ ИЗ СПЛАВОВ АЛЬНИКО МЕТОДОМ ПЛАСТИЧЕСКОЙ ДЕФОРМАЦИИ

Наиболее простым и потому чаще применяемым методом деформирования является гибка литых заготовок в открытых штампах. Гибочные операции практически могут быть применены ко всем сплавам типов ЮНД, ЮНДК. Литые заготовки, например, сплава типа ЮНДК при применении метода пластического деформирования подвергаются последовательно следующим операциям: нагреву, гибке, термообработке (магнитной), отпуску, шлифовке.

Для получения качественных магнитов скобообразной конфигурации необходимо придерживаться условия

$$r \geq \frac{H_0}{2},$$

где H_0 — толщина изгибаемой заготовки; r — радиус кривизны в вершине магнита.

Между толщиной изгибаемой заготовки H_0 , радиусом изгиба r и поперечным сужением ψ существует зависимость

$$\psi = \frac{H_0}{2(r + H_0)},$$

При проектировании оснастки под гибку (при чистом изгибе) придерживаются соотношения

$$r = \frac{H_0 (1 - 2\psi)}{2\psi}$$

и учитывают пружинение сплава при гибке. Средние значения углов пружинения даны в табл. 4-7.

Т а б л и ц а 4-7

Средние значения углов пружинения при гибке

Отношение внутреннего радиуса гибки к толщине материала	Угол гибки		
	120°	90°	60°
До 1	1°	2°	2° 30'
3	2°	3°	4°
5	3°	4° 30'	5° 30'
8	5°	6° 30'	8°
10	6°	8°	9° 30'

При расчете необходимой длины заготовки магнита нужно придерживаться следующей методики определения ее размеров.

Радиус R нейтральной по механическому напряжению линии в миллиметрах определяется по формуле

$$R = r + xs,$$

где r — радиус гибки, мм; s — толщина материала, мм; x — коэффициент, который зависит от отношения радиуса гибки к толщине заготовки (табл. 4-8).

Т а б л и ц а 4-8

*Коэффициент x в зависимости от отношения радиуса
гибки r к толщине заготовки*

r/s	x	r/s	x	r/s	x
0,1	0,323	0,7	0,4	3	0,463
0,2	0,340	0,8	0,413	4	0,469
0,3	0,356	1	0,421	5	0,477
0,4	0,367	1,2	0,426	6	0,48
0,5	0,379	1,5	0,441	7—10	0,5
0,6	0,389	2	0,455	и более	

Длина развертки определяется по формуле

$$L_p = \frac{\pi \phi R}{180},$$

где ϕ — центральный угол дуги изгиба.

Химический состав литых сплавов аэли и аэлико нормирован ГОСТ 17809-72 и представлен в табл. 4-9.

Таблица 4-9

Химический состав сплавов альни и альнико

Марка сплава	Химический состав (основные элементы), %						Железо	Тип кристаллической структуры	Магнитная анизотропия
	Алюминий	Никель	Медь	Кобальт	Титан	Ниобий			
ЮНД4	13,0—14,0	24,0—25,0	3,0—4,0	—	0,2—0,3	—	—	—	Отсутствует
ЮНД8	10,8—11,3	28,0—28,4	7,8—8,2	—	—	—	—	—	
ЮНТС	13,0—16,0	32,0—35,0	—	—	0,4—0,5	—	—	1,0—1,5	
ЮНДК15	8,5—9,5	19,0—20,0	3,0—4,0	14,0—15,0	0,2—0,3	—	—	—	
ЮНДК18	9,0—10,0	18,0—19,0	3,0—4,0	18,0—19,0	—	—	—	—	
ЮНДК18С	6,5—7,5	14,0—15,0	1,5—2,0	18,0—20,0	—	—	—	0,5—0,8	Имеется
ЮН13ДК24С	7,5—8,0	12,0—13,0	2,0—2,5	23,5—24,5	—	—	—	0,15—0,25	
ЮН13ДК24	7,5—8,5	12,5—13,5	2,5—3,5	23,5—24,5	—	—	—	—	
ЮН14ДК24	7,5—8,5	13,5—14,5	2,5—3,5	23,5—24,5	—	—	—	—	
ЮН15ДК24	7,5—8,5	14,5—15,5	2,5—3,5	23,5—24,5	—	—	—	—	
ЮН14ДК24Т2	8,0—9,0	14,0—15,0	3,0—4,0	23,5—24,5	1,5—2,0	—	—	—	
ЮН13ДК25А	7,5—8,0	12,5—13,5	3,0—3,5	24,0—26,0	—	—	—	—	Столбчатая
ЮНДК1425А	8,0—8,5	13,5—14,5	3,5—4,0	24,0—26,0	0,2—0,3	—	—	—	
ЮН13ДК25БА	7,7—8,1	12,5—13,0	3,0—3,5	24,0—26,0	—	0,5—0,8	—	0,3—0,6	

Имеет- ся	Ос- таля- ное							Равно- осная	Столбча- тая	Монокрис- талличес- кая	Равноос- ная	Монокрис- талличес- кая	Равно- осная
		8,0—8,5	13,5—14,0	3,5—4,0	24,0—26,0	0,2—0,3	0,8—1,0						
ЮН14ДК25БА		8,0—8,5	13,5—14,0	3,5—4,0	24,0—26,0	0,2—0,3	0,8—1,0	—	—	—	—	—	—
ЮН15ДК25БА		8,3—8,7	14,5—15,0	4,0—4,5	24,0—26,0	0,2—0,3	1,0—1,4	—	—	—	—	—	—
ЮНДК31Т3БА		6,8—7,2	13,0—13,5	3,0—3,5	30,5—31,5	3,0—3,5	0,9—1,5	—	—	—	—	—	—
ЮНДК34Т5		6,8—7,2	14,0—14,5	3,0—4,0	34,0—35,0	5,0—5,5	—	—	—	—	—	—	—
ЮНДК35Т5Б		6,8—7,2	14,0—15,0	3,0—4,0	34,5—35,5	5,0—5,5	0,8—1,1	—	—	—	—	—	—
ЮНДК35Т5		6,8—7,2	14,0—14,5	3,3—3,7	34,5—35,5	5,0—5,5	—	—	—	—	—	—	—
ЮНДК35Т5БА		6,8—7,2	14,0—14,5	3,3—3,7	34,5—35,5	4,0—5,0	0,9—1,1	—	—	—	—	—	—
ЮНДК35Т5АА		7,0—7,5	14,0—14,5	2,5—3,0	34,5—35,5	5,0—5,5	—	—	—	—	—	—	—
ЮНДК38Т7		6,9—7,3	13,5—14,0	3,3—3,7	38,0—40,0	6,9—7,2	—	—	—	—	—	—	—
ЮНДК40Т8АА		7,2—7,7	14,0—14,5	3,0—3,4	39,0—40,0	7,0—8,0	—	—	—	—	—	—	—
ЮНДК40Т8		7,5—8,5	13,5—14,0	3,0—4,0	40,0—42,0	8,0—9,0	—	—	—	—	—	—	—

Припуски на шлифовку в зависимости от массы магнита определяют по табл. 4-10.

Таблица 4-10

Припуск на шлифовку в зависимости от массы магнита

Масса магнита, кг	Припуск на шлифовку, мм	Масса магнита, кг	Припуск на шлифовку, мм
0,1	4	30	7
0,4	5	45	9
0,8	6	55	10
15	6	70	12

Нагрев заготовок под пластическую деформацию:

- 1) медленный нагрев до температуры 800°C в течение 5—6 ч;
- 2) быстрый нагрев до температуры 1280°C (для сплава ЮН13ДК25БА).

Медленный нагрев вызван опасностью образования трещин ввиду плохой теплопроводности магнитных сплавов.

Ввиду малого интервала пластичности магнитных сплавов пластическая деформация должна проводиться в максимально короткий промежуток времени. Для этого необходимо при настройке пресса расстояние между пуансоном и заготовкой устанавливать минимальным (20—30 мм). Деформирование должно быть плавным без ударных нагрузок. После деформирования следует вновь произвести термообработку для получения необходимых магнитных свойств.

При проведении термоманитной обработки необходимо правильно установить полюсные наконечники электромагнита для получения требуемой формы магнитного поля. Направление магнитного поля определяют напылением железного порошка на картонную модель требуемого магнита, покрытую жидким клеем. Коррекцию формы поля производят изменением настройки электромагнитов. Режим термоманитной обработки приведен в табл. 4-3.

Деформирование магнитов производится при температурах 1280—1290°C. Для изготовления рабочих приспособлений рекомендуется применять стали марок 5ХГМ, 5ХНМ, 3Х2138Ф по ГОСТ 5950-63.

Рабочие поверхности матрицы и пуансона должны соответствовать 6-му классу чистоты.

В настоящее время магниты скобообразной формы имеют следующие припуски: по высоте магнита 5—12 мм, по ширине — 2—4 мм.

Производительность гибки 100 шт. магнитов в смену на прессе П457Г усилием 2 МН и скоростью рабочего хода 1,3—2 мм/с.

Стоимость деформированных магнитов со столбчатой структурой по сравнению с магнитами, собранными из отдельных блоков, в 1,5 раза ниже.

ГЛАВА ПЯТАЯ

ТЕХНОЛОГИЯ ИЗГОТОВЛЕНИЯ МАГНИТОВ ИЗ ПОРОШКОВ

Методы порошковой технологии находят применение в различных областях техники потому, что они позволяют точно выдерживать химический состав, обеспечивают высокую однородность материала, резко уменьшают или полностью устраняют дополнительную механическую обработку изделий, позволяют получать магниты, армированные полюсными наконечниками, осями и втулками. Кроме того, методы порошковой технологии позволяют получать композиции из несплавляющихся металлов и неметаллов. Основной областью применения порошковой технологии является производство малых изделий массой от долей грамма до нескольких сотен грамм. В производстве постоянных магнитов порошковая технология применяется при изготовлении металлокерамических и композиционных магнитов, а также при изготовлении ферритовых и редкоземельных магнитов, технология изготовления которых изложена в гл. 7 и 8.

5-1. ТЕХНОЛОГИЯ ИЗГОТОВЛЕНИЯ МЕТАЛЛОКЕРАМИЧЕСКИХ МАГНИТОВ

Постоянные магниты по металлокерамической технологии изготовляют как из хрупких сплавов системы Fe-Al-Ni-Co, так и из пластичных сплавов CO-Pt, Cu-Ni-Co, Cu-Ni-Fe, Fe-Co-Mo, Fe-Cr-Co и др. Изделия из пластичных сплавов производят путем штампования или обработки резанием металлокерамических спеченных заготовок или проката. На рис. 5-1 изображены основные технологические процессы изготовления металлокерамических постоянных магнитов. Металлокерамические магниты из Fe-Ni-Al-Co-сплавов изготовляют по процессам 1А, 2А и 2Б. Процессы 1Б; 2Аб; 2Б относятся к магнитам из деформируемых сплавов. Во всех случаях в качестве исходных материалов берут порошки чистых металлов и лигатур. Порошки смешивают между собой в пропорции, необходимой для получения металлокерамического сплава заданного химического состава. Для металлокерамических магнитов в основном используют сплавы того же химического состава, что и для литых магнитов. Отклонения по содержанию основных компонентов должны быть минимальными, не более 0,1—0,3% (в зависимости от концентрации компонента в сплаве).

Смешение производят в смесителях барабанного типа всухую с добавлением небольшого количества стеарата цинка или лития как смазывающего вещества. Полученную смесь прессуют при высоком давлении, порядка $(8 \div 10) \cdot 10^5$ кПа, в стальных закаленных или твердосплавных пресс-формах на механических или гидравлических прессах в виде магнитов конечной формы или заготовок для прокатки. По экономическим соображениям прессование следует выполнять с возможно большей скоростью, используя прессы-автоматы.

Прессование и допрессование при высоте (толщине) магнитов

свыше 2—3 мм рекомендуется проводить при двустороннем приложении нагрузки. При проектировании пресс-форм следует учитывать, что спекание Fe-Al-Ni-Co-магнитов обычно сопровождается усадкой, а магнитов из деформируемых сплавов — ростом (увеличе-

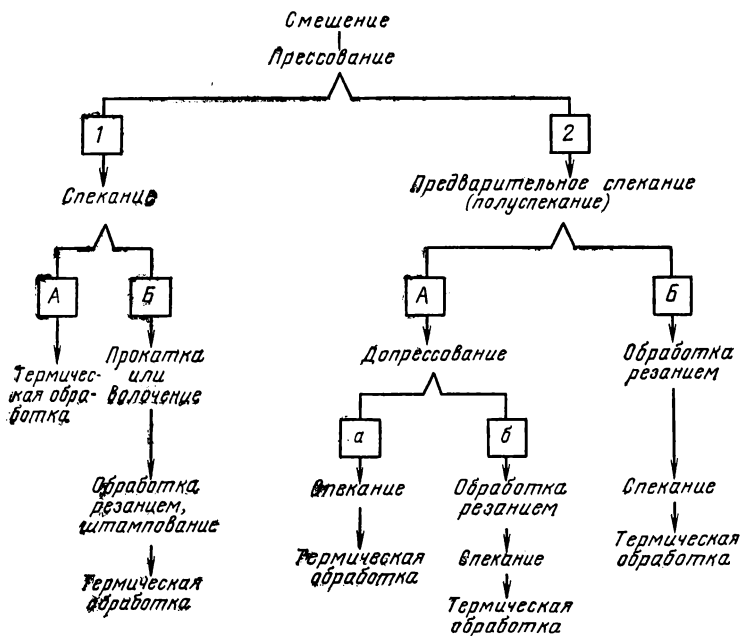


Рис. 5-1. Схема технологических процессов изготовления металло-керамических постоянных магнитов.

нием размеров) изделий. Усадка или рост зависит от многочисленных факторов — химического состава сплава, гранулометрического состава исходных порошков, давления прессования и др. Для ориентировки могут быть названы следующие величины: линейная усадка Fe-Al-Ni-Co-магнитов 3—5%, линейное расширение магнитов из деформируемых сплавов около 10—15%.

Прессовки нагревают в защитной среде (водороде, вакууме и т. п.), исключающей их окисление. Эта операция называется спеканием. Во время спекания, благодаря развитию ряда физических и химических процессов — гетеродиффузии, рекристаллизации, усадки и т. д., спрессованный из разных металлических частиц конгломерат превращается в однородный материал, близкий по структуре и свойствам к литому сплаву аналогичного химического состава. Для того чтобы ускорить процессы, обуславливающие это превращение, тем-

пература нагрева при спекании должна быть возможно более близкой к температуре начала плавления готового сплава. Однако расплавление материала недопустимо. Продолжительность спекания обычно составляет несколько часов.

При спекании (в том числе при предварительном спекании) магнитов из разных материалов используют разную рабочую атмосферу. Для Fe-Al-Ni-Co и Fe-Cr-Co-магнитов необходимы чистый (точка росы минус 30—40° С) водород (примеси кислорода, влаги, углеродсодержащих газов, азота должны строго ограничиваться) или вакуум (для магнитов из сплавов с большим содержанием титана — только вакуум); для Cu-Ni-Co — водород, эндотермический газ; для Fe-Co-Mo, Cu-Ni-Fe — водород; для Co-Pt — вакуум; для Ag-Mn-Al — чистый водород.

В случае спекания в водороде магниты из сплавов, содержащих алюминий, марганец, титан, хром, нагревают в порошкообразной засыпке, способной хемосорбировать кислород. Для спекания магнитов Fe-Al-Ni-Co и Pt-Co достаточен невысокий вакуум, порядка 1,33 Па.

Если спеченные магниты имеют законченный вид, их подвергают сначала дополнительной термической обработке, необходимой для формирования высоких магнитных свойств, а затем механической обработке для получения точных размеров и улучшения состояния поверхности. Спеченные заготовки подвергают обработке резанием или прокатке. Магниты из проката штампуют или вырезают на станках. После придания магнитам заданной формы и размеров их подвергают термической обработке для получения высоких магнитных характеристик.

Термическую обработку (закалку, отпуск), как правило, проводят по режимам, обычным для литых магнитов из сплавов аналогичных составов. Магниты из сплавов Pt-Co, Cu-Ni-Co, Cu-Ni-Fe, Ag-Mn-Al могут обрабатываться резанием как до, так и после термической обработки, обеспечивающей высококоэрцитивное состояние материала. Fe-Cr-Co-магниты обрабатываются резанием только после закалки (до отпуска). Магниты Fe-Co-Mo в высококоэрцитивном состоянии поддаются только шлифованию абразивами. При прокатке деформируемых металлокерамических сплавов, особенно в начальной стадии, необходимо учитывать пониженную пластичность металлокерамики. Спеченные заготовки перед прокаткой целесообразно обжимать на гидравлическом прессе на 25—50% по толщине с последующим повторным спеканием (отжигом). Холодную прокатку необходимо проводить при небольших обжатиях от прохода к проходу с промежуточными отжигами.

Важное значение при производстве металлокерамических магнитов имеет вариант технологического процесса, по которому магниты после спекания допрессовываются, т. е. обжимаются в пресс-форме. При этом благодаря снижению остаточной пористости улучшаются магнитные характеристики и возрастает механическая прочность. Для допрессования магнитов наиболее пригодны гидравлические прессы. Давление при допрессования p_d равно или немного больше давления прессования p_n . Практически $p_d = (1,0—1,5)p_n$. В случаях изготовления по этому варианту технологии магнитов из твердых и хрупких сплавов прессовки вначале подвергают предварительному спеканию (полуспеканию) при температуре 0,45—0,60 температуры

спекания. После предварительного спекания Fe-Al-Ni-Co-полуфабрикаты способны пластически деформироваться во время допрессовывания. Допрессованные полуфабрикаты подвергают окончательному спеканию в обычных условиях. Полуспеченные Fe-Al-Ni-Co-магниты возможно обрабатывать резанием стальным и твердосплавным инструментом. Это иногда используется при изготовлении магнитов сложной формы. После обработки резанием полуспеченные магниты подвергают окончательному спеканию. Предварительное спекание деформируемых сплавов проводят при температуре, близкой или равной температуре окончательного спекания. В этом случае окончательное спекание является по существу отжигом, во время которого происходит также и дополнительная гомогенизация магнитно-твердого металлокерамического сплава.

Пористость материала снижает остаточную индукцию и магнитную энергию магнитов. Это действие пор вызвано уменьшением объема ферромагнетика, а также размагничивающим влиянием магнитных полей, возникающих на поверхности пор внутри магнита. На коэрцитивную силу H_{cm} поры не влияют. При отсутствии пор магнитные свойства металлокерамических и литых магнитов должны быть одинаковыми. Зависимость остаточной индукции и максимальной магнитной энергии от пористости описывается эмпирическими формулами, приведенными в [5-1].

Металлокерамические Fe-Al-Ni-Co-магниты, спрессованные и спекенные в форме готовых изделий, обычно имеют пористость от 2 до 5% объема (пористость значительно снижается при допрессовывании магнитов и может быть практически устранена, если подвергнуть магниты горячей штамповке). Пористость магнитов из деформируемых сплавов, изготовленных с применением операции допрессовывания, примерно такая же. Магниты из металлокерамического проката практически не содержат пор.

Магниты из пластически деформируемых сплавов Co—Pt, Cu-Ni-Co, Cu-Ni-Fe обладают умеренной твердостью, легко обрабатываются резанием на всех стадиях технологического процесса [5-2]. Они пластичны и поддаются, хотя и в разной степени, прокатке и другой обработке давлением в холодном состоянии. Сплав Fe-Co-Mo в высококоэрцитивном состоянии тверд и хрупок [5-3]. Однако после спекания, отжига, закалки он способен к горячей деформации. Fe-Cr-Co-спекенные магниты в закаленном состоянии хорошо обрабатываются резанием на станках. Наиболее высокие свойства имеют магниты из платинокобальтового сплава эквивалентного состава, что соответствует 23,3% Co и 76,7% Pt. В настоящее время из металлокерамического Pt-Co-сплава изготавливают магниты в виде коротких тонких пластин массой несколько миллиграммов для вибрационных гальванометров и других прецизионных приборов. Pt-Co-магниты после непрерывного охлаждения с критической скоростью и отпуска имеют следующие свойства: $H_c=220$ кА/м, $B_r=0,47$ Тл, $W_{max}=13$ кДж/м³, после изотермической закалки свойства могут быть выше: $H_c=280$ кА/м, $B_r=0,7$ Тл, $W_{max}=32$ кДж/м³. Разработаны сплавы типа кунико: 1) 48% Cu, 23% Ni, 29% Co; 2) 35% Cu, 24% Ni, 41% Co. Характерная особенность первого сплава — высокая коэрцитивная сила при сравнительно небольшой остаточной индукции. Второй сплав по магнитным свойствам близок к сплаву типа альни. Маг-

нитные свойства изотропны. Пластическая деформация и обработка в магнитном поле не влияют на их магнитные характеристики. Металлокерамические сплавы Cu-Ni-Co легко допрессовываются и пористость спеченных полуфабрикатов значительно снижается. Сплавы Cu-Ni-Co целесообразно применять для магнитов особо сложной формы, имеющих несквозные отверстия, поперечные пазы, резьбу и т. д.

Металлокерамический сплав кунифе (60% Cu, 20% Ni, 20% Fe) легко прокатывается и протягивается в холодную при выполнении обычных для металлокерамики мер предосторожности на ранних стадиях деформации. Наиболее высокие свойства сплав приобретает после термомеханической обработки, состоящей в закалке, первом отпуске, прокатке в холодную (или протяжке) и втором отпуске материала. Такой материал имеет анизотропные магнитные свойства, причем максимальные в направлении прокатки. В случае закалки и отпуска без прокатки сплав изотропен. С увеличением степени деформации магнитные характеристики возрастают и сплав становится анизотропным. Присадка кобальта повышает остаточную индукцию сплава, но снижает его коэрцитивную силу.

Разработан металлокерамический сплав: 50% Cu, 20% Ni, 20% Fe, 10% Co, имеющий после прокатки и термической обработки магнитные параметры: $H_c = 16,8$ кА/м, $B_r = 0,67$ Тл.

По металлокерамической технологии изготавливают также магниты из сплава: 71% Fe, 12% Co, 17% Mo. Этот сплав способен к прокатке и другим видам пластической деформации в горячую. В холодном состоянии его деформировать нельзя, после спекания обрабатывается резанием. Оптимальное сочетание магнитных свойств достигается закалкой и отпуском материала. После отпуска сплав очень тверд, хрупок, поддается лишь шлифованию.

Металлокерамический сплав Fe-Cr-Co содержит 42% Fe, 35% Cr, 23% Co. Иногда в состав сплава вводится кремний в количестве 1—2%. Магниты изготавливаются прессованием и спеканием из порошков исходных материалов. Спеченные полуфабрикаты закаливают и далее отпускают в свинцовой ванне. После этого магниты подвергают двухступенчатому отпуску. Обработанные таким образом магниты близки по магнитным свойствам к металлокерамическим магнитам марок ММК7 и ММК8 (ГОСТ 13569-68). Механические свойства сплавов системы Fe-Al-Ni-Co и Fe-Cr-Co приведены в табл. 5-1.

Металлокерамическая технология позволяет изготавливать биметаллические магнитные системы в виде постоянных магнитов, непосредственно соединенных с магнитно-мягкими или крепежными деталями. В этом случае отпадает необходимость в сварке, пайке, склеивании, болтовых и винтовых креплениях. Полость матрицы делится на нужные части специальным приспособлением в виде перегородки из металлической фольги. В образующиеся объемы засыпаются соответствующие порошки. Приспособление извлекается и производится прессование магнитов. Дальнейшая обработка биметалла осуществляется обычным способом. Процесс прессования биметалла может выполняться как на обычных прессах, так и на прессах-автоматах. Свойства металлокерамического железа в таких системах, изготовленных по технологии однократного прессования-спекания, следующие: максимальная относительная магнитная проницаемость 1900—2100; маг-

Таблица 5-1

Механические свойства металлокерамических сплавов Fe-Al-Ni-Co
и Fe-Cr-Co

Сплав (химический состав, %)	Способ изготовления ¹	Предел прочности (Н/мм ²) при		
		растяже- нии	сжатии	изги- бе
Альни (13Al, 25Ni, 4Cu, 58Fe)	П—С, вы- держка при спекании 4 ч	210	1600	500
Альни (13Al, 25Ni, 4Cu, 58Fe)	П—С, 16 ч	330	2400	600
Альнико (8Al, 15Ni, 24Co, 3Cu, 1Ti, 49Fe)	П—С	110	1200	330
Альнико (8Al, 15Ni, 24Co, 3Cu, 1Ti, 49Fe)	П—ПС—Д—С	130	1500	480
Альнико (7,6Al, 14Ni, 34Co, 3,5Cu, 5,5Ti, 35,4Fe)	П—С	—	1900	190
Альнико (7,5Al, 14Ni, 38Co, 4Cu, 7,5Ti, 29Fe)	П—С	—	1700	180
Fe-Cr-Co (42Fe, 35Cr, 23Co)	—	110	170	—

¹ Условные сокращения: П — прессование; С — спекание; ПС — предварительное спекание (полуспекание); Д — допрессование.

нитная индукция в поле 8 кА/м — 1,1—1,3 Тл; предел прочности при растяжении 140—170 Н/мм²; твердость по Бринеллю $H_B=53\div 56$; плотность $(6,9\div 7,3)10^3$ кг/м³; пористость 6—12% объема. Свойства биметалла могут быть значительно улучшены применением технологии двукратного прессования и спекания или горячей штамповки систем.

5-2. ТЕХНОЛОГИЯ ИЗГОТОВЛЕНИЯ МАГНИТОВ ИЗ КОМПОЗИЦИЙ

В группу композиционных входят магниты, состоящие из магнитно-твердого порошка и немагнитного связующего, в качестве которого обычно используют смолу или резину. В зависимости от физических свойств связующего магниты могут быть хрупкими, пластичными и эластичными. Магнитно-твердый порошок получают измельчением хрупких материалов, в основном ферритов и сплавов альнико. Особую группу составляют композиции из тонких порошков. Однако из-за трудностей получения и хранения тонких порошков и сложной технологии изготовления магниты этой группы практически не нашли применения пока не нашли. Эластичные магниты из резины с фер-

ристовым наполнением нашли широкое применение в герметизирующих устройствах. Магниты со связующим из синтетических смол применяют в статорах электрических микромашин и подвижных частях измерительных приборов. Роль этих магнитов существенно возросла с появлением интерметаллических соединений редкоземельных металлов, магнитные свойства которых позволяют изготавливать магниты в виде толстой пленки, покрывающей полюсные поверхности магнитопровода.

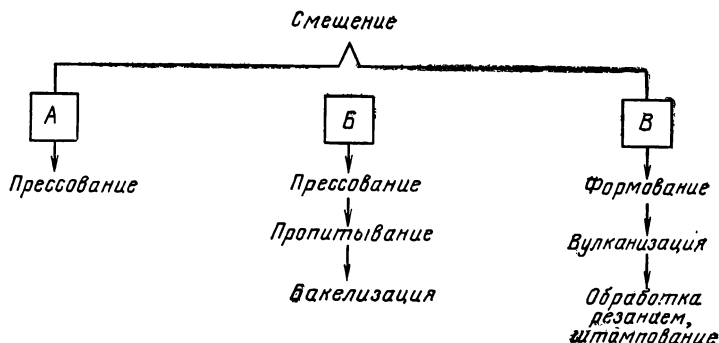


Рис. 5-2. Схема технологических процессов изготовления металлопластических магнитов.

Магниты со связкой из полимеризующихся синтетических смол готовят методами металлопластической технологии (рис. 5-2, процессы А и Б), а эластичные магниты — по технологии изготовления резиновых изделий (рис. 5-2, процесс В).

При производстве целнопрессованных магнитов применяют два способа смешения магнитно-твердого порошка со связующим веществом. В качестве связующего обычно используется полимеризующаяся фенольная смола. По первому способу порошки магнитно-твердого материала и смолы в сухом виде смешивают между собой. Из этой смеси прессуют магниты. По второму — магнитно-твердый порошок смешивают со спиртовым раствором смолы. Образовавшуюся полужидкую массу сушат, а затем вновь измельчают. Из полученной порошкообразной смеси прессуют магниты. Смолу берут в количестве 24—26% по объему, или 6—6,5% массы магнитно-твердого материала. Магнитно-твердый материал измельчают до состояния порошка нужной степени дисперсности сначала в валковых или щековых дробителях, а затем в шаровых мельницах. Магниты прессуют на гидравлических прессах, в стальных закаленных пресс-формах с подогревом. Температура нагрева при прессовании 150—160°C. Иногда магниты выдерживают под нагрузкой столько времени, сколько необходимо для полимеризации смолы. Но чаще для разгрузки прессового оборудования прессовки извлекают из пресс-формы раньше, а затем дополнительно нагревают (бакелизируют) с целью полимери-

зации смолы. Для повышения механической прочности и улучшения внешнего вида магниты перед бакелизацией пропитывают спиртовым раствором смолы. При прессовании металлопластических магнитов для обеспечения однородной плотности наиболее пригодны пресс-формы с двусторонним приложением нагрузки. Изделия имеют гладкую поверхность и размеры с допусками по 3—4-му классу. Они не нуждаются в дополнительной термической обработке для обеспечения оптимальных магнитных характеристик. Механическая прочность металлопластических магнитов вполне достаточна для применения их в стационарных и подвижных системах. Предел прочности при сжатии цельнопрессованных магнитов со смолой 120—150 Н/мм².

В последние годы разработана новая группа магнитно-твердых материалов на основе порошков интерметаллических соединений типа $MeCo_5$, где Me — один из редкоземельных металлов (иттрий, церий, празеодим, самарий или их смеси). Процесс [5-5, 5-7] основан на прессовании магнитов заданной формы из смеси магнитно-твердого порошка и полимерного связующего. Такие магниты изготавливаются в изотропном и анизотропном вариантах. Они дешевле спеченных магнитов. По магнитным свойствам анизотропные металлопластические магниты из РЗМ приближаются к кобальтплатиновым магнитам.

Эластичные магниты вырезают и штампуют из полос и прутков, изготовленных смешением магнитно-твердого порошка с каучуком и другими инградиентами, применяемыми в производстве резины. Смесь подвергают прокатке с последующей вулканизацией полученных полуфабрикатов. Иногда в качестве эластичного связующего применяют полихлорвинил.

Магниты из тонких порошков. Размер частиц в тонких порошках, применяемых для изготовления постоянных магнитов, колеблется для разных материалов от нескольких десятых долей микрометров до нескольких микрометров. При измельчении до частиц однодоменной величины каждая частица становится постоянным магнитом, имеющим высокие магнитные свойства. Наиболее известны магниты из тонких порошков железа, сплава $FeCo$ (из частиц равноосных и удлиненных), сплавов $Mn-Bi$ и $Sm-Co$ [5-6, 5-8]. Магниты из тонких порошков обычно прессуют в законченном виде (заданных размеров). Однако магниты Fe , $Fe-Co$ (со свинцом в качестве связующего), $Mn-Bi$ можно обрабатывать резанием стальным инструментом.

Для получения тонких порошков применяют методы механического измельчения литых металлов и металлических сплавов в шаровых мельницах, вибромельницах и т. п.; механического измельчения окислов и других химических соединений металла с последующим восстановлением; осаждения химических соединений металлов из растворов их солей с последующим восстановлением полученного осадка; термической диссоциации химических соединений металлов; испарения расплавленных металлов и конденсации их паров; электролитического осаждения металлов и сплавов.

При формировании магнитов применяют следующие способы: заполнение порошком полых форм с последующим уплотнением порошка вибрацией и давлением, прессование в пресс-форме без применения связующего вещества, прессование в пресс-форме со связующим веществом, отливка суспензии с наполнителем из высококоррозийного тонкого порошка с последующим удалением жидкости и

уплотнением отливки, обработка давлением (прокатка и т. п.) полуфабрикатов, полученных из тонкого порошка. Во всех этих случаях возможно наложение магнитного поля на обрабатываемый материал с целью получения магнитной текстуры. Схема технологических процессов изготовления магнитов из тонких порошков представлена на рис. 5-3. Процессы *А а*; *А б* относятся к магнитам из равноосных частиц Fe и Fe-Co; *Б* — из удлиненных частиц Fe и Fe-Co; *В а* — из частиц Mn-Bi; *В б* — из частиц SmCo_5 .

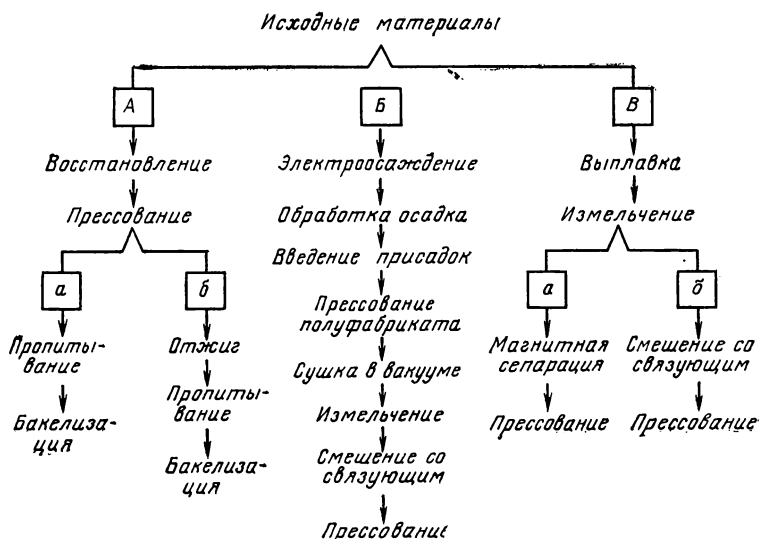


Рис. 5-3. Схема технологических процессов изготовления магнитов из тонких порошков.

Магниты из порошков Fe и Fe-Co (равноосные частицы). Тонкие порошки Fe или Fe-Co получают восстановлением водородом солей этих металлов при умеренной температуре с последующим прессованием порошка в виде готовых магнитов. Порошок состоит из частиц приблизительно равноосной формы размером 0,2—0,3 мкм. Порошки пиррофорны, от возгорания защищаются смачиванием ацетоном или бензином. Спрессованные магниты пропитывают раствором смолы для предотвращения коррозии и повышения механической прочности. Магниты, полученные этим методом, имеют изотропные свойства. Магнитная стабильность их достаточно высокая: уменьшение магнитного потока неостаренных магнитов за 1000 ч в пределах 1—3% со стабилизацией после первых 200 ч. Магниты крупнее, но легко обрабатываются резанием. Предел прочности при сжатии 1200—1300 Н/мм².

Таблица 5-2

Свойства магнитов из тонких порошков

Материал	Химический состав	$H_c B_i$, кА/м	B_r , Тл	W_{max} , кДж/м ³	Плотность, г/см ³
Fe*	Fe, Fe ₃ O ₄	36—40	0,45—0,50	3,0—4,5	4,1—4,4
Fe-Co**	Fe, Co, Fe ₂ O ₃	44—48	0,55—0,70	4,0—5,5	4,3—4,6
Fe**	—	56	0,9	14	—
Fe-Co**	—	78,4	1,08	26	—
Lodex 42**	—	68	0,52	5,5	9,5
Lodex 32**	—	75,2	0,73	13,5	9,5
Mn-Bi***	23 Mn, 77 Bi	248	0,42	15,0	8,5

* Равноосные частицы, ** Удлиненные частицы Fe или FeCo, анизотропный материал, *** Анизотропный материал.

Магниты из порошков Fe и Fe-Co (удлиненные частицы). Эти магниты по магнитным характеристикам значительно превосходят аналогичные из равноосных частиц. Технология их изготовления основана на электрохимическом осаждении на ртутном катоде железа или железокобальта (30—35%, остальное — Fe) в виде осадка с дендритообразной структурой. Дополнительная выдержка осадка в ртутной ванне, сопровождающаяся частичным его растворением, обеспечивает получение частиц Fe или FeCo удлиненной (стержневидной) формы, оптимальных размеров. Рекомендуется добавлять в ртуть небольшое количество олова или сурьмы для создания немагнитной пленки на поверхности частиц, предупреждающей их схватывание. Затем масса спрессовывается, причем большая часть ртути отделяется. Остаток ртути удаляется нагревом спрессованного полуфабриката в вакууме. Высушенный полуфабрикат измельчают до состояния крупнодисперсионного порошка. Порошок смешивают со связующим — свинцом, смолой. Смесь спрессовывают в форме готовых магнитов, в магнитном поле или без него. В первом случае получают магниты анизотропные, во втором — изотропные. Магниты со свинцовой связкой имеют точные размеры: допуски $\pm 0,01$ мм для деталей толщиной до 12 мм, $\pm 0,02$ мм для деталей толщиной свыше 12 мм. Эти магниты пластичны, однако механическая прочность их невелика: предел прочности при растяжении около 10 Н/мм².

Магниты из порошка сплава Mn-Bi. Слитки марганец-висмутового сплава размалывают до получения тонкого порошка из частиц размером 5—8 мкм. Порошок подвергают магнитной сепарации для отделения частиц висмута марганца, обладающего ферромагнитными свойствами, от неферромагнитных частиц. Обогащенный порошок прессуют в немагнитной пресс-форме при нагреве в магнитном поле в виде готовых изделий.

Магниты из Mn-Bi-порошка (20,8% Mn, 79,2% Bi) имеют высокие магнитные свойства при комнатной температуре. Однако при

охлаждении свойства их быстро падают. При этом для восстановления магнитных характеристик, после того как температура достигнет комнатной температуры, необходимо их повторное намагничивание. Магниты легко обрабатываются резанием. Однако коррозионная устойчивость их невысока. Для защиты от коррозии Мп-Ві-магниты обычно пропитываются раствором смолы. Необратимое падение магнитных свойств при охлаждении Мп-Ві-магнитов ограничивает возможность их использования в технике.

Свойства магнитов из тонких порошков приведены в табл. 5-2.

ГЛАВА ШЕСТАЯ

ТЕХНОЛОГИЯ ИЗГОТОВЛЕНИЯ МАГНИТОВ И ДРУГИХ ИЗДЕЛИЙ ИЗ ПЛАСТИЧЕСКИ ДЕФОРМИРУЕМЫХ МАГНИТНО-ТВЕРДЫХ СПЛАВОВ

К магнитно-твердым материалам наряду с требованиями к магнитным свойствам предъявляются определенные требования к механическим свойствам, например способность материала подвергаться горячей или холодной деформации, механической обработке на металлорежущих станках и т. д. В некоторых случаях деформируемость магнитно-твердого материала может являться основным качеством, определяющим его промышленную и потребительскую ценность. Деформируемые магнитно-твердые сплавы являются незаменимыми в тех случаях, когда изделия из них должны иметь особый вид, исключающий их изготовление методом литья или прессования порошков, например изделия в виде тонких лент, листов или проволоки. Они могут применяться при изготовлении деталей приборов, которые по роду своей работы должны обладать высокой прочностью и пластичностью, либо когда технологическая схема производства изделий требует обязательного проведения механической обработки на металлорежущих станках. И, наконец, деформируемые магнитно-твердые сплавы находят широкое применение в изделиях массового производства, где снижение стоимости изделия происходит за счет использования высокопроизводительного металлургического оборудования.

Деформируемые сплавы по способности к деформации можно разделить на две группы: сплавы, деформируемые в горячем состоянии, и сплавы, деформируемые в холодном состоянии. По применению деформируемые сплавы можно разделить на три группы:

1. Сплавы общего назначения, к которым относятся сплавы типа альни и альнико, сплавы системы железо — кобальт — ванадий — викаллои, сплавы системы железо — хром — кобальт, сплавы на медной основе — кунико и кунифе, сплавы на платиновой основе — платинакс.

2. Сплавы для активной части роторов гистерезисных двигателей, «полутвердые» магнитные материалы.

3. Сплавы для магнитной записи.

Деформируемые магнитно-твердые сплавы производятся металлургическими заводами и поставляются потребителям как полуфабрикат в виде поковок, сортового проката, горячекатаных и холоднокатаных листов, тонкой ленты и проволоки [6-7].

Все сплавы поставляются в термически необработанном виде. Смягчающая и окончательная термическая обработка готовых изделий обычно производится потребителем по режимам, указанным в сертификате завода-поставщика. Исключение составляют сплавы для магнитной записи и термомеханически обработанный викаллой 52КФТМ — термехако. Эти материалы поставляются в виде, готовом к употреблению. В справочнике приводятся характеристики деформируемых магнитно-твердых сплавов и описывается технология изготовления магнитов из полуфабрикатов, поставляемых металлургическими заводами.

6-1. МАГНИТНО-ТВЕРДЫЕ ДЕФОРМИРУЕМЫЕ СПЛАВЫ ОБЩЕГО НАЗНАЧЕНИЯ

а) Сплавы типа альни, деформируемые в горячем состоянии

Сплавы этой системы являются аналогами широко известных сплавов альни. Содержание алюминия в них ниже — 9%, а медь заменена ниобием. Это существенно улучшило механические свойства сплава и обеспечило возможность проведения пластической деформации при высоких температурах.

Выпускаются сплавы марок 20НЮ, 22НЮ, 25НЮ. Химический состав и нормируемые по техническим условиям магнитные свойства приведены в табл. 6-1.

Таблица 6-1

Химический состав и магнитные свойства сплавов системы

Марка сплава	Содержание элементов, %			Примеси не более, %	Магнитные свойства	
	Ni $\pm 0,5$	Al $\begin{smallmatrix} +0,6 \\ -0,4 \end{smallmatrix}$	Nb $\begin{smallmatrix} +0,4 \\ -0,3 \end{smallmatrix}$		H_c , кА/м	B_r , Тл
20НЮ	20	9	4	C—0,05	12—15	0,7—0,8
22НЮ	22	9	4	Si—0,4	18—20	0,7—0,8
25НЮ	25	9	4	Mn—0,6	32—40	0,5—0,6

Сплавы поставляются в виде горячекатаных листов. Сортамент сплавов приведен в табл. 6-2.

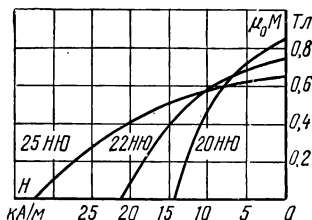
Поставляемые листы из сплава хрупки с твердостью 400 НВ. При температуре 800°C и выше листы можно резать на гильотинных ножницах и штамповать из них заготовки для магнитов несложной формы.

Таблица 6-2

Сортамент сплавов 20НЮ, 22НЮ и 25НЮ

Толщина, мм	Допуск по толщине, мм	Ширина, мм	Допуск по ширине, мм	Длина, мм
1,5	$\pm 0,10$	35—120	± 15	≥ 250
2,0—3,0	$\pm 0,15$	35—120	± 15	≥ 250
4,0—6,0	$\pm 0,25$	35—120	± 15	≥ 250
8,0—10,0	$\pm 0,50$	35—120	± 15	≥ 250

Рис. 6-1. Кривые размагничивания горячекатаных листов толщиной 3 мм из сплавов 20НЮ, 22НЮ и 25НЮ. Воздушная закалка с температуры 1200°С.



Окончательная термическая обработка заключается в нормализации с температуры 1200°С: охлаждением на воздухе. Возможна двойная обработка: закалка в масле с температуры 1200°С: и последующий отпуск при температуре 600°С в течение 8—10 ч. Твердость сплавов в этом состоянии 550 Н_В.

Магнитные свойства в листах изотропны. Типичные кривые размагничивания сплавов системы представлены на рис. 6-1.

б) Сплавы альнико, деформируемые в горячем состоянии

К деформируемым относятся сплавы ЮНДК15 и ЮНДК24. Постоянные магниты из них обычно изготавливаются методом литья. Однако применение современных способов выплавки с использованием синтетических шлаков и диффузионного раскисления жидкого металла улучшает механические свойства сплавов и позволяет проводить пластическую деформацию при высоких температурах: свободную ковку, прессование и горячую прокатку как в закрытых калибрах, так и в гладких валках [6-1, 6-2].

Химический состав деформируемых сплавов ЮНДК15 и ЮНДК24 отличается от состава литых магнитов (ГОСТ 17809-72) пониженным содержанием алюминия и меди. Химический состав и нормируемые магнитные свойства сплавов представлены в табл. 6-3.

Сплавы поставляются в виде горячекатаных листов. Сортамент представлен в табл. 6-4.

Возможна поставка сплавов в виде кованных прутков диаметром 4—8 мм, длиной более 60 мм.

Таблица 6-3

Химический состав и магнитные свойства деформируемых сплавов
ЮНДК15 и ЮНДК24

Марка сплава	Содержание элементов, %				Примеси не более, %	Магнитные свойства		
	Co $\pm 0,4$	Ni $\pm 0,4$	Al $\pm 0,2$	Cu $\pm 0,4$		H _c , кА/м	B _r , Тл	W _{уд} , кДж/м³
ЮНДК15	15	20	8,5	3,5	C—0,03, S—0,1 Si—0,15, Mn—0,35	44,0	0,75	8—11
ЮНДК24	24	14	9,0	3,0		46,5—52	1,28—1,35	16—24

Таблица 6-4

Сортамент горячекатаных листов сплавов ЮНДК15 и ЮНДК24

Толщина	Допуск на толщину, мм	Ширина, мм	Допуск на ширину, мм	Длина, мм
3,0—10,0	$\pm 0,5$	180—220	± 10	150—500
11,0—16,0	$\pm 1,0$	150—170	± 10	150—500

Сплавы изотропны и из-за отсутствия характерных литейных дефектов (дендритное строение отливки, поры и т. п.) обладают лучшими магнитными и механическими свойствами и высокой однородностью потока по сечению магнита.

Механические свойства поставляемых листов из сплава ЮНДК24: прочность на изгиб 50—90 МПа у продольных и 40—50 МПа у поперечных образцов, что обусловлено волокнистостью структуры горячекатаного металла.

Ударная вязкость МПа·м меняется от 0,15—0,25 при 20°C до 10—20 при 900°C. При температуре 1000—1200°C образцы гнутся без разрушения.

Твердость изменяется от 420 при 20°C до 140 Н_В при 800°C.

Технологическая схема изготовления магнитов из листов сплавов ЮНДК15 и ЮНДК24: заготовка — горячая деформация (штамповка, резка, гибка при 800—1200°C) — окончательная термическая обработка.

Завод-изготовитель проводит контроль магнитных свойств на образцах шириной 5—10 мм и длиной 60 мм, обработанных по ре-

жиму: нагрев до 1280—1300°, выдержка 25—30 мин. Охлаждение до 700°С в асбестовом контейнере с толщиной стенок 4—5 мм в магнитном поле 500—1000 кА/м. Время охлаждения до 700°С занимает около 15 мин. Отпуск при температуре 600°С в течение 2 ч. Охлаждение с печью до 200°С.

Типичные кривые размагничивания и возврата сплавов ЮНДК15 и ЮНДК24 представлены на рис. 6-2, 6-3. Физические свойства горячекатаного сплава ЮНДК24: плотность — 7,35 г/см³, точка Кю-

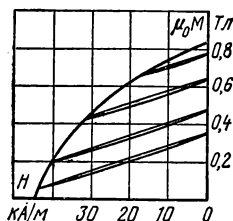


Рис. 6-2. Кривая размагничивания горячекатаного листа толщиной 4 мм из сплава ЮНДК15.

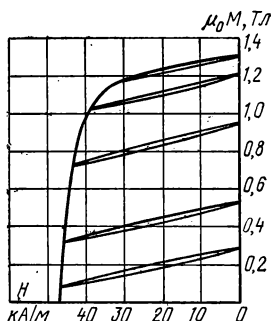


Рис. 6-3. Кривая размагничивания горячекатаной полосы 10×12 мм из сплава ЮНДК24.

ри — 880°С, намагнитченность насыщения — 1,5 Тл, удельное электрическое сопротивление — 0,47 мкОм·м, теплопроводность при 20°С — 0,25 Вт/(м·к), коэффициент линейного расширения в диапазоне 20—300°С — $11,3 \cdot 10^{-6}$ град⁻¹.

в) Сплавы системы Fe-Co-V (викаллой)

Сплавы этой системы пластичны и могут подвергаться деформации как в горячем, так и в холодном состоянии. Характерной особенностью этих сплавов является существенное влияние технологической схемы производства на их конечные магнитные свойства.

Постоянные магниты, изготавливаемые из кованных или горячекатаных заготовок после закалки и отпуска, а также методом литья, имеют невысокий уровень магнитных свойств. За рубежом сплав, изготовленный по такой технологии, известен как викаллой-1 и содержит, кроме железа, 52% Со и 9,5% V. Типичные магнитные свойства викаллой-1 следующие: $H_r = 24$ кА/м, $B_r = 0,9$ Тл, $W_{max} = 4$ кДж/м³.

Если в технологическую схему производства сплава включена холодная деформация, то по мере увеличения степени деформации наблюдается существенный рост магнитных свойств сплава. За ру-

бежом сплав, изготовленный по такой технологии, известен как ви-каллой-II.

На рис. 6-4 представлен процесс улучшения магнитных свойств викаллой с увеличением степени холодной деформации. Видно, что по мере уменьшения диаметра проволоки растет коэрцитивная сила, остаточная индукция, коэффициент выпуклости и магнитная энергия сплава. Наблюдаемое явление делает особенно выгодным применение викаллой в виде тонкой проволоки, листа и лент.

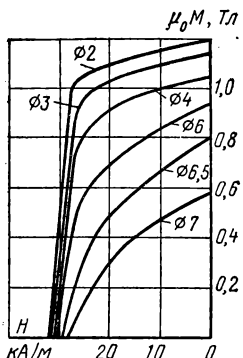


Рис. 6-4. Кривые размагничивания проволок из сплава 52K11Ф, отобранных на различных стадиях холодного волочения с исходного диаметра 8 мм. Отпуск при 600°С.

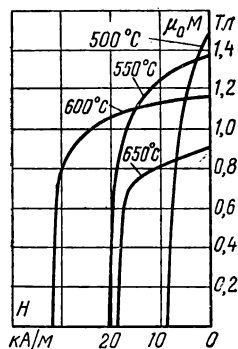


Рис. 6-5. Влияние температуры отпуска на кривые размагничивания сплава 52K11Ф. Выдержка при температуре отпуска 2 ч.

Термическая обработка викаллой-I заключается в мягкой закалке (охлаждение в масле или на воздухе) и отпуске при 550—650°С. Викаллой-II подвергается только отпуску.

По мере увеличения степени холодной деформации закаленного викаллой происходит превращение немагнитной γ -фазы в ферромагнитную α -фазу. Структура сплава в сильнодеформированном состоянии носит блочный характер и состоит преимущественно из ферромагнитной α -фазы. Сплав текстурирован и имеет высокую внутреннюю индукцию насыщения ($B_{is}=1,6$ Тл) и малую коэрцитивную силу ($H_{cm}=1,6$ кА/м). Последующий нагрев и выдержка во время отпуска приводят к обратному превращению α -фазы в γ -фазу, причем немагнитная γ -фаза выделяется в виде тонких прослоек по границам блоков скольжения, размеры которых очень малы (примерно 50 нм), изолирует участки α -фазы друг от друга и делает их однодоменными. Одновременно изменяется знак и растет константа магнитной кристаллической анизотропии ферромагнитной α -фазы. Все эти процессы приводят к росту коэрцитивной силы и остаточной индукции сплава.

Таблица 6-5

Химический состав и магнитные свойства сплавов типа 52КФ

Марка сплава	Содержание элементов, %		Примеси не более, %	Магнитные свойства					
	V	Co		H_c , кА/м		B_r , Тл		W_{max} , кДж/м ³	
				лист	проволока	лист	проволока	лист	проволока
52K5Ф	3,8—5,0	52—54	Ni—0,8, Cr—0,5, Mn—0,5, C—0,12 S—0,02, P—0,025	4,0	4,0	1,4	1,4	—	—
52K7Ф	5,8—7,0			6,4	6,4	1,25	1,25	—	—
52K9Ф	7,8—9,0			9,6	9,6	1,15	1,15	—	—
52K10Ф	9,8—11,2			15,2	18,4	1,0	1,0	—	—
52K11Ф	10,0—11,5			17,6	24	1,0	1,0	9,2	12
52K12Ф	11,5—12,5			24	28	0,75	0,85	9,2	12
52K13Ф	12,6—13,5			28	40	0,60	0,60	8,8	12
52КФТМ	11,7—13,0			—	32	—	0,9	—	17,7

Таблица 6-6

Сортамент сплавов типа 52КФ

Листы		Проволока	
Толщина, мм	Допуск, мм	Диаметр, мм	Допуск, мм
0,20—0,25	0,03	0,5—0,9	0,02
0,30—0,35	0,04	1,0—1,9	0,03
0,40—0,45	0,04		
0,50—0,55	0,05	2,0—3,0	0,05
0,60—0,65	0,05		
0,70—0,75	0,05		
0,80—0,90	0,07		
1,00—1,10	0,09		
1,20—1,30	0,09		

ГОСТ 10224-74 на прецизионные сплавы предусматривает изготовление викаллой четырех марок: 52К10Ф, 52К11Ф, 52К12Ф и 52К13Ф. По техническим условиям выпускаются сплавы и с пониженным содержанием ванадия: 52К5Ф, 52КЭФ, 52К9Ф. Сплавы поставляются в холоднодеформированном состоянии с высокой степенью обжатия (около 90%) в виде проволоки и листов.

Химический состав и нормируемые свойства сплавов типа викаллой представлены в табл. 6-5, выпускаемые сортаменты — в табл. 6-6.

Ширина листов 50—200 мм с допуском ± 1 мм, длина листов более 500 мм.

В зависимости от содержания ванадия и температуры отпуска в сплавах могут быть получены различные сочетания коэрцитивной силы и остаточной индукции в пределах 28—40 кА/м и 1,3—0,6 Тл соответственно.

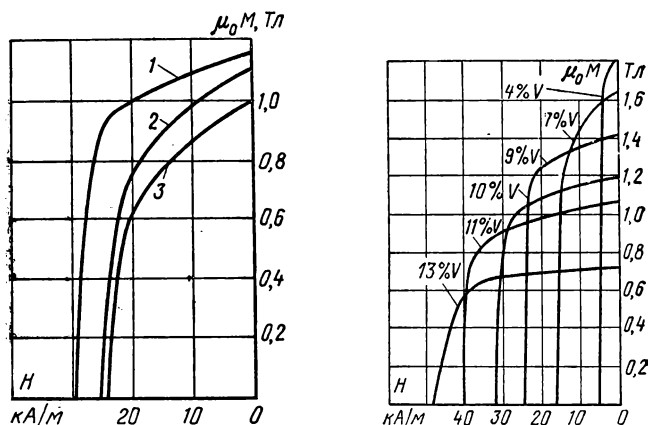


Рис. 6-6. Влияние кристаллографической текстуры на кривые размагничивания сплава 52K11Ф.

1 — проволока; 2 — лист вдоль направления прокатки; 3 — лист поперек направления прокатки.

Рис. 6-7. Кривые размагничивания проволоки из сплавов типа 52КФ с различным содержанием ванадия.

Магнитные свойства сплавов чрезвычайно чувствительны к режиму отпуска (рис. 6-5). Для достижения максимальных магнитных свойств необходимо определять оптимальный режим отпуска в каждом отдельном случае. Проверка магнитных свойств должна производиться на нескольких образцах сплавов, термически обработанных при разных температурах и временах выдержки по режимам: посадка в нагретую печь при температуре 580—620°C; выдержка в течение 20—90 мин, охлаждение на воздухе.

В некоторых случаях использования сплавов диапазон поиска наилучшего интервала температуры отпуска может быть увеличен от 400 до 650°C и времени выдержки от 30 мин до 8 ч.

Технологическая схема изготовления магнитов из сплава типа викаллой следующая: заготовка → холодная обработка резанием, гибка, штамповка → окончательная термическая обработка.

Исправить ошибку при неудачном отпуске сплавов типа 52КФ — перегрев или передержка — нельзя. Последующая закалка и отпуск

уже не смогут привести к исходному структурному состоянию, так как в формировании магнитных свойств сплавов типа 52КФ большое значение играет холодная деформация.

Магнитные свойства сплавов анизотропны. Магнитные свойства проволоки из-за более благоприятной текстуры несколько выше, чем магнитные свойства листа. В листе магнитные свойства более высоки вдоль направления проката (рис. 6-6).

Кривые размагничивания проволоки из сплавов типа 52КФ представлены на рис. 6-7.

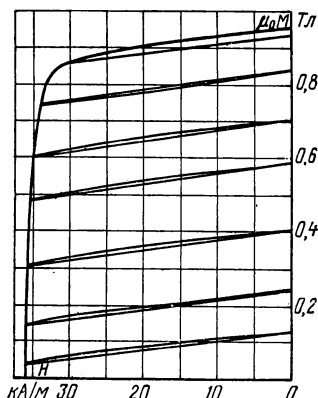
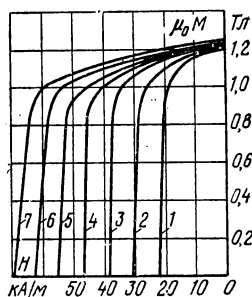


Рис. 6-8. Влияние упругого растяжения на кривые размагничивания проволоки из сплава 52К11Ф. Кривые измерены при нагрузках.

1 — без нагрузки; 2 — 510 МПа; 3 — 1010 МПа; 4 — 1520 МПа; 5 — 2030 МПа; 6 — 2540 МПа; 7 — 3050 МПа.

Рис. 6-9. Кривая размагничивания и петли возврата проволоки диаметром 2 мм из сплава 52КФТМ.

Одной из особенностей сплавов типа 52КФ является чувствительность его магнитных свойств к внешним механическим напряжениям [6-7]. На рис. 6-8 показано влияние растягивающих нагрузок на кривые размагничивания викаллой с 12% V в виде проволоки диаметром 0,5 мм. Упругие напряжения вызывают очень резкое возрастание коэрцитивной силы и максимальной магнитной энергии. Если без растягивающей нагрузки проволоочный образец обладал $H_c = 22,4$ кА/м, $B_r = 1,2$ Тл и $W_{max} = 4,6$ кДж/м³, то в присутствии растягивающей нагрузки 305 МПа этот же образец имеет $H_c = 70,4$ кА/м, $B_r = 1,25$ Тл и $W_{max} = 15,4$ кДж/м³. После снятия нагрузки магнитные свойства сплава восстанавливаются.

Приложение растягивающей нагрузки во время отпуска вызывает улучшение магнитных свойств. Нагрузка в этом случае не должна превышать 300—400 МПа, причем более высокой температуре отпуска соответствует меньшая нагрузка. Викаллой, обработанный таким образом, имеет марку 52КФТМ и называется «термеха-

ко» (термомеханически обработанный ванадиевокобальтовый сплав). Сплав поставляется в виде термически обработанных прутков диаметром 1, 2 и 3 мм и длиной не менее 600 мм. Термехвако предназначен для изготовления постоянных магнитов прямолинейной формы. Поставляемый сплав хрупок и тверд, какой-либо механической обработке, кроме шлифования и анодно-механической резки, не поддается. Абразивную резку прутков из сплава 52КФТМ следует проводить с интенсивным охлаждением, не допуская нагрева прутков выше 300°C. Технологическая схема изготовления магнитов из сплава прутков 52КФТМ: заготовка → резка на готовые магниты.

Типичная кривая размагничивания и кривые возврата сплава 52КФТМ представлена на рис. 6-9.

г) Сплавы на медной основе кунико и кунифе

В горячем состоянии сплавы на медной основе не деформируются, поэтому разливка металла производится непосредственно в прутки или сутунки, которые в дальнейшем проходят холодную ковку, прокатку или волочение с промежуточными отжигами. Наилучшие свойства сплавы получают при оптимальной степени холодной деформации — 10—20%.

Сплавы на медной основе очень пластичны и могут подвергаться любым видам холодной деформации и обработке на металлорежущих станках как в холоднодеформированном состоянии, так и в состоянии с высокой коэрцитивной силой. В некоторых случаях технологическая схема изготовления магнитов может допускать штамповку и механическую обработку термически обработанных и даже намагниченных заготовок, например штамповку плоских магнитных стрелок.

Твердость сплавов после холодной прокатки составляет 130—140 Н_В и возрастает до 160—200 после магнитного твердения при температуре 600—700°C.

Сплавы при высокой температуре легко подвергаются глубокому окислению, поэтому термическая обработка должна проводиться в нейтральной атмосфере.

Известно несколько сплавов на медной основе, химический состав и магнитные свойства некоторых приведены в табл. 6-7.

Таблица 6-7

Химический состав и магнитные свойства сплавов на медной основе

Название сплава	Химический состав				Коэрцитивная сила H_c , кА/м	Остаточная индукция B_r , Тл	Плотность, г/см ³
	Cu	Ni	Co	Fe			
Кунико I	50	21	29	—	56	0,34	8,3
Кунико II	35	24	41	—	36	0,53	8,3
Кунифе I	60	20	—	20	47	0,53	8,6
Кунифе II	50	20	2,5	27,5	20	0,73	8,6

Магнитные свойства сплавов в листах, деформированных со степенью отжигания 10—20%, изотропны. Магнитные свойства сплавов, прошедших холодную деформацию с высокой степенью отжигания — 95%, — анизотропны. Отношение значений W_{\max} при продольном и поперечном намагничивании достигает 4. Кривые размагничивания сплава типа кунико и кунифе представлены на рис. 6-10.

По стабильности магнитных свойств сплавы на медной основе не уступают сплавам типа ЮНДК. По техническим условиям выпускается только сплав кунико следующего состава: 27—31% Со, 19—23% Ni, остальное Cu. Примеси не более: Mn — 1,0%, Si — 0,2%; C — 0,15%, Mg — 0,1%. Сплав поставляется в виде полос толщиной 1,8 и 2,6 мм с $H_{св} > 40$ кА/м и $B_r > 0,25$ Тл.

Сплавы типа кунико и кунифе применяются в самолетных приборах, телевизионных трубках, спидометрах и т. п.

Сплавы типа кунифе (45% Fe, 15% Ni, 40% Cu или 70—87% Fe, 10—20% Ni, остальное — Cu) после деформации с высокой степенью обжатия в виде тонкой ленты или проволоки применяются как материал для магнитной записи.

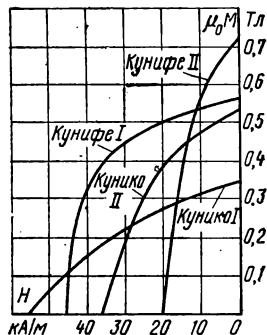


Рис. 6-10. Кривые размагничивания сплавов на медной основе кунико и кунифе.

д) Сплавы на платиновой основе — «платинакс»

Сплавы платины с кобальтом и железом известны как магнитно-твердые материалы, обладающие высокой коэрцитивной силой и магнитной энергией. Они пластичны, легко подвергаются любой механической обработке, коррозионно-стойкие не только в атмосферных условиях, но и в таких агрессивных средах, как концентрированная серная и азотная кислота, крепкие растворы едкой щелочи, гипохлората натрия [6-3, 6-4].

Сочетание высоких магнитных, механических и химических свойств определяет использование сплавов на платиновой основе в отдельных оригинальных конструкциях, а также может быть часто оправдано для широкого практического применения. Например, платинокобальтовые магниты используются в электрических наручных часах, слуховых аппаратах, в малогабаритных электроизмерительных приборах и т. д.

Высокая коэрцитивная сила — до 400 кА/м — позволяет изготавливать постоянные магниты с малым отношением длины магнита к сечению. Например, в слуховых аппаратах применяются магниты, изготовленные из фольги платинокобальтового сплава в виде дисков диаметром 8 мм и толщиной 0,075 мм. Масса такого магнита не превышает 0,06 г.

Высококоэрцитивные сплавы платины с кобальтом и железом содержат в своем составе 50% атомов платины и относятся к упорядочивающимся. Практическое применение нашел сплав платины с кобальтом — «платинакс». Сплавы платины с железом имеют меньшую коэрцитивную силу и магнитную энергию.

Температура фазового превращения «порядок — беспорядок» сплава PtCo составляет 820—830°C. Эквивалентный сплав после закалки в области температур выше фазового превращения имеет однофазную неупорядоченную структуру с гранецентрированной кубической решеткой. Коэрцитивная сила сплава в этом состоянии мала — 0,5—1 кА/м, внутренняя индукция насыщения B_{is} — 0,94 Тл.

Если сплав эквиатомного состава охлаждать с достаточно малой скоростью, то при температуре ниже 820°C возникает упорядоченная структура типа CuAu, причем кристаллическая решетка становится тетрагональной. Рентгеновские исследования показывают, что частицы тетрагональной фазы имеют размер не менее 100 нм и что в сплаве отсутствуют заметные напряжения. Полностью упорядоченный сплав при комнатной температуре имеет большую константу магнитной анизотропии — 4900 кДж/м³ и намагниченность насыщения 1,0 Тл с полем анизотропии около 104 кА/м. Коэрцитивная сила сплава в этом состоянии зависит от размера антифазных доменов упорядочения и имеет диапазон от 40 до 320 кА/м. Наиболее вероятной причиной высокой коэрцитивной силы упорядоченного однофазного сплава следует признать наличие антифазных границ упорядочения, препятствующих процессам смещения границ ферромагнитных доменов.

Наибольшей магнитной твердостью эквиатомный сплав платины с кобальтом обладает в промежуточном состоянии, когда структура сплава представляет собой мелкодисперсную смесь кубической и тетрагональной фаз в виде правильно чередующихся пластинчатых выделений. Существенная когерентная связь между фазами вызывает сильные моноклинные искажения кубической решетки и возникновение больших градиентов внутренних напряжений в обеих фазах. Эти процессы вносят существенный вклад в магнитоупругую часть эффективной константы магнитной анизотропии и обуславливают высокую коэрцитивную силу сплава в этом состоянии.

Платинокобальтовый сплав имеет марку ПлК78. По техническим условиям завода-изготовителя в сплаве может быть от 76,5 до 79,5% Pt. Высокое содержание платины в эквиатомном сплаве обусловлено большими атомной массой и плотностью платины по сравнению с кобальтом.

Вариации содержания платины в сплаве вызывают изменение магнитных свойств. Сплав ПлК76 имеют несколько большую остаточную намагниченность при меньшей коэрцитивной силе, чем сплавы с большим содержанием платины.

Сплав ПлК78 поставляется в виде прутков, полос и трубной заготовки.

Прутки диаметром $2,5 \pm 0,2$; $3,0 \pm 0,5$; $5,0 \pm 0,5$; $7,0 \pm 0,5$; $8,0 \pm 0,5$; $9,0 \pm 0,5$ и $14,0 \pm 0,5$ мм, длиной — 100 мм.

Полосы толщиной $3,0^{+0,5}_{-0,2}$ мм, шириной — кратно $11,0 \pm 1,0$, длиной 50 мм, толщиной $3,7^{+0,5}_{-0,2}$ мм, шириной — кратно $7,0 \pm 1,0$ мм, длиной — кратно 14,5 мм.

Трубы диаметром 31×20 мм, длиной — 100 мм.

По согласованию с заводом-изготовителем сплав ПлК78 может быть поставлен в виде другого сортамента. Сплав поставляется без термообработки. Для облегчения механической обработки сплавы могут быть закалены в воде с температуры 1000°C . Твердость после такой обработки снижается до $170 H_v$.

Технологическая схема изготовления магнитов из сплава ПлК78: заготовка → закалка → механическая обработка, гибка, штамповка → окончательная термическая обработка.

Окончательная термическая обработка сплавов производится по режиму: нагрев до 1000°C , выдержка 1 ч, охлаждение в соляной ванне при температуре 660°C в течение 30—60 мин, далее на воздухе.

Свойства сплава ПлК78 после оптимальной термической обработки

Температурный коэффициент магнитного потока
% · $^\circ\text{C}^{-1}$:

при $20-100^\circ\text{C}$	0,042
при $100-200^\circ\text{C}$	3,36
Температура точки Кюри, $^\circ\text{C}$	520—530
Плотность, г/см^3	15—16
Температурный коэффициент линейного расширения, $1/^\circ\text{C}$	$9,3-11,0 \cdot 10^{-6}$
Удельное сопротивление при $0-100^\circ\text{C}$, Ом · м	30
Модуль нормальной упругости, ТПа	2
Твердость H_{RC}	31—33
Предел прочности, МПа	860
Предел пропорциональности, МПа	730

Кривые размагничивания сплава ПлК78 представлены на рис. 6-11.

Температурный коэффициент магнитного потока магнитов из платинокобальтовых сплавов в интервале $20-100^\circ\text{C}$ достаточно велик — $0,042\%/^\circ\text{C}$ (вдвое больше, чем у сплава ЮНК24).

Магниты допускают кратковременный нагрев до 250°C . При этом их свойства восстанавливаются, если их повторно намагнитить. Наиболее заметный спад магнитных свойств при нагреве до 250°C происходит в течение первых 3 ч, поэтому рекомендуется проводить искусственную стабилизацию магнитов с 2—3 ч выдержкой при температуре несколько выше предполагаемой рабочей.

Нагрев магнитов выше 300°C ведет к необратимым структурным изменениям и соответственно необратимым изменениям магнитных свойств.

Замена в платинокобальтовом сплаве 2—5% платины палладием повышает температуру Кюри сплава на 50°C и улучшает тем-

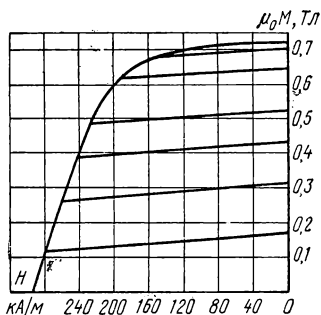


Рис. 6-11. Кривая размагничивания прутка диаметром 5 мм сплава ПлК78.

пературную стабильность сплавов. Сложное легирование сплавов железом, никелем, медью позволяет получать сплавы с $W_{\max} = 58 \text{ кДж/м}^3$ при $H_c = 640 \text{ кА/м}$ и $B_r = 0,8 \text{ Тл}$.

Приложение во время отпуска внешней сжимающей нагрузки 30 МПа приводит к возникновению в первоначально изотропном сплаве одноосной анизотропии с энергией 300 кДж/м³ и улучшает магнитные свойства вдоль оси сжатия.

е) Сплавы системы Fe-Cr-Co

В последние годы в Советском Союзе и в Японии разработаны новые сплавы на основе системы Fe-Cr-Co, которые подвергаются горячей и холодной деформации, всем видам обработки резани-

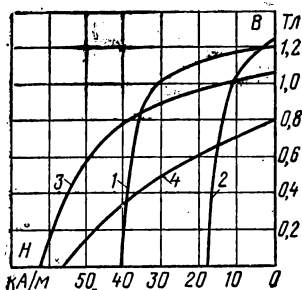


Рис. 6-12. Кривые размагничивания сплавов системы железо — хром — кобальт.

1 — 25ХК15; 2 — 28ХК10; 3 — 30ХК25; 4 — 30ХК25 изотропный.

ем, имеют высокие магнитные и прочностные свойства. Сплавы содержат 8—25% Со, 20—30% Сг, около 3% легирующих добавок (Si, Al, Mo, W, Nb, V, Ti), остальное — Fe. По своей природе сплавы аналогичны сплавам ЮНДК, т. е. магнитная твердость в них возникает в результате спинодального распада высокотемпературного ОЦК α -твердого раствора на два изоморфных ОЦК раствора $\alpha_1 + \alpha_2$, где α_1 — твердый раствор, обогащенный Fe и Со (сильномагнитная фаза), а α_2 — твердый раствор, обогащенный Сг (слабомагнитная фаза). Считается, что коэрцитивная сила обусловливается преимущественно анизотропией формы однодоменных частиц α_1 -фазы.

В зависимости от содержания кобальта сплавы Fe-Cr-Co можно условно разбить на три группы: сплавы с содержанием 13—16% Со, обладающие коэрцитивной силой 40—48 кА/м (например, сплав 25ХК15), сплавы с 8—10% Со, имеющие коэрцитивную силу 18—25 кА/м (например, сплав 28ХК10) и сплавы с содержанием 20—25% Со, которые обладают коэрцитивной силой до 72 кА/м (например, сплав 30ХК25).

Магнитные свойства сплавов 25ХК15, 28ХК10 и 30ХК25 приведены в табл. 6-8 и на рис. 6-12.

Термомагнитная обработка сплавов 25ХК15 и 28ХК10 состоит в нагреве до температуры выше 800°C и охлаждении в магнитном

Таблица 6-8

Магнитные свойства сплавов Fe-Cr-Co

Марка сплава	H_c , кА	B_r , Тл	W_{max} , кДж/м³	H_d , кА/м	B_d , Тл
25ХК15	40	1,2	8	43	0,95
28ХК10	18	1,25	4	—	—
30ХК25(анизотропный)	62	1,05	8	45	0,72
30ХК25(изотропный)	56	0,8	7,5	33	0,45

поле напряженностью не менее 100 кА/м со скоростью 0,15—0,25°С/мин в интервале от 650 до 620°С. После термомагнитной обработки сплавы подвергают отпуску при 540—620°С в течение 12—20 ч.

Сплав 30ХК25 во избежание образования немагнитной γ -фазы закалывают от 1300°С, затем подвергают изотермической обработке в магнитном поле при 640°С в течение 1 ч с последующим отпуском или только отпуску (изотропный вариант).

В настоящее время практическое применение получили сплавы 25ХК15, 28ХК10 и 30ХК25. Сплав 25ХК15 (ЭП924) поставляется в виде горячекатаных прутков диаметром 8—70 мм и толщиной 5—20 мм по ТУ 14-131-262-76. После обработки на твердый раствор (закалка от 1100°С) сплав весьма пластичен и легко подвергается деформации в холодном состоянии.

Ниже приведены некоторые магнитные, физические и механические свойства сплава 25ХК15 после оптимальной термической обработки и после закалки от 1100°С.

Температурный коэффициент магнитного потока, %/°С:	
при 80—20°С	0,01
при 20—300°С	0,02
Коэффициент возврата μ_r , Гн/м	5·10 ⁻⁶
Магнитная проницаемость B/H в точке W_{max} , Гн/м	25·10 ⁻⁶
Плотность, г/см³	7,8
Удельное электрическое сопротивление, мкОм·м	0,60
Температурный коэффициент теплового расширения, 1/°С	12·10 ⁻⁶
Твердость H_{RC}	38—40
Предел прочности на растяжение, МПа	980—1000
Ударная вязкость, Н/м	10 ⁵
Удлинение, %	5
Твердость после закалки H_{RC}	18—20
Предел прочности на растяжение после закалки, МПа	700
Ударная вязкость после закалки, Н/м	(8÷10)10 ⁵
Удлинение после закалки, %	20

6-2. СПЛАВЫ ДЛЯ ИЗГОТОВЛЕНИЯ АКТИВНОЙ ЧАСТИ РОТОРОВ ГИСТЕРЕЗИСНЫХ ДВИГАТЕЛЕЙ, ПОЛУТВЕРДЫЕ МАТЕРИАЛЫ

Гистерезисные сплавы обычно работают в поле максимальной проницаемости, поэтому их магнитные характеристики B_r , H_{cb} и т. д. определяют не по предельной петле гистерезиса, а в поле максимальной проницаемости [6-5]. Некоторые гистерезисные сплавы, предназначенные для работы в полях до 10 кА/м, можно отнести к «полутвердым» материалам. Все гистерезисные сплавы имеют высокую прочность, хорошую пластичность и их часто используют в качестве активных элементов разнообразных электромагнитных реле, герконов и т. д.

а) Сплавы систем Fe-Co-Mo, Fe-Cr-W и Fe-Cr-Mo-W

Сплавы этих систем подвергаются пластической деформации только в горячем состоянии и поставляются в виде горячекатаных листов, прутков и поковок. Сплавы, содержащие примерно 12% Со и от 10 до 20% Мо, носят название «комол». Молибден частично может быть заменен хромом или вольфрамом. Магнитная твердость комолов возникает после высокотемпературной закалки и отпуска. Фазовая диаграмма состояния системы железо—кобальт—молибден имеет большую область твердого раствора, положение границ которой сильно зависит от температуры. Резкая закалка из гомогенной области фиксирует при комнатной температуре пересыщенный твердый раствор. Коэрцитивная сила сплавов в этом состоянии низка — порядка 1,0 кА/м, остаточная индукция 0,3 Тл. При дальнейшем нагревании и выдержке при отпуске из пересыщенного твердого раствора выделяется в мелкодисперсном виде фаза, обогащенная молибденом. Обоеднение матричного твердого раствора немагнитными элементами увеличивает остаточную индукцию сплава, а высокая дисперсность выделений обеспечивает большую коэрцитивную силу.

Ввиду того, что молибден, хром и ванадий являются сильными карбидообразующими элементами, сплавы типа «комол» должны

Таблица 6-9

Химический состав сплавов типа «комол»

Марка сплава	Содержание элементов $\pm 0,5\%$			Примеси, %, не более	Плотность, г/см ³
	Со	Мо	W		
12K12M	12	12	—	C—0,05	8,1
12K14M	12	14	—		8,3
12K16M	12	16	—	Si—0,3	8,4
12KM12B	12	6	12	Mn—0,4	8,7
12KM14B	12	6	14		8,8

быть по возможности чистыми по углероду. Наличие углерода в сплаве приводит к образованию карбидов, которые обедняют твердый раствор легирующими элементами, снижают степень его пересыщенности, что приводит к снижению коэрцитивной силы.

Химический состав некоторых сплавов приведен в табл. 6-9.

Сплавы поставляются в виде кованых прутков, трубной заготовки и горячекатаных листов. Все виды изделий поставляются без термической обработки и травления. Сортамент сплавов типа 12KM представлен в табл. 6-10.

Таблица 6-10

Сортамент сплавов типа 12KM

Марка сплава	Вид материала	Диаметр или толщина, мм	Допуск, мм	Ширина, мм	Длина, мм, не менее
12K12M 12K14M 12K16M 12KM12B	Кованые прутки	15—25	$\pm 1,0$	—	300
		26—32	$\pm 2,0$	—	300
		33—38	$\pm 3,0$	—	300
		40—60	$\pm 4,0$	—	200
12KM14B	Листы горячекатаные	3,0—5,0	$\pm 0,5$	Кратная 100, но не более 400	400
12K14M	Трубная заготовка горячекатаная	Наружный диаметр 30 и 45 Толщина стенок 5,0	$+2$ -1 $+12,5\%$ -15%	— —	Кратная 30
12K12M	Трубная заготовка кованая	Наружный диаметр 90 и 105 Внутренний 40 и 40	$\pm 1,5$ $\pm 1,0$	— —	

Сплавы в горячем состоянии весьма пластичны и могут подвергаться резке, штамповке и другим видам горячей деформации. Ввиду того, что эти марки предназначены в основном для изготовления активной части роторов гистерезисных двигателей, заводы контролируют магнитные свойства лишь в поле максимальной проницаемости (табл. 6-11). Магнитные свойства измеряются на тороидах.

Таблица 6-11

Магнитные свойства сплавов типа «комол»

Марка сплава	H_m , кА/м	B_m , Тл	H_{CB} , кА/м	B_r , Тл	P_r/H_m , Дж/(м ² ·А)
	Не менее				
12K12M	12—16	1,0	8,8	0,80	2,250
12K14M	16—20	0,95	9,6	0,75	2,250
12K16M	20—24	0,95	12,0	0,75	2,250
12KM12B	14—20	1,00	9,6	0,75	2,250
12KM14B	16—24	1,00	12,0	0,75	2,350

Примечание. P_r — потери на гистерезис.

В магнитно-твердом состоянии комолы изотропны и обладают высокой магнитной твердостью ($H_{RC}=60$). Температурная стабильность магнитных свойств высока. В интервале температур $-140 \div 250^\circ\text{C}$ изменение остаточного потока не превышает 5%. При нагреве до 500°C магнитные параметры H_{CB} и B_r обратимо уменьшаются приблизительно на 10%. Для изготовления роторов гистерезисных двигателей различного типа выпускаются кованные прутки диаметром 20—60 мм из сплавов на основе Fe-Cr-W и Fe-Cr-Mo-W типа 5XB и 5XMB. Химический состав их приведен в табл. 6-12.

Таблица 6-12

Химический состав сплавов типов 5XB и 5XMB

Марка сплава	Содержание элементов $\pm 0,5\%$				Примеси, %, не более	Плотность, г/см ³
	Cr	W	Mo	Co		
5X10B	5	10	—	—	—	8,30
5X12B	5	12	—	—	—	8,45
5X14B	5	14	—	—	C—0,05	8,55
5X16B	5	16	—	—	—	8,65
5X10B	5	10	6	—	—	8,58
5XMB12B	5	12	6	—	Si—0,3	8,70
5XMB14B	5	14	6	—	Mn—0,4	8,85
5XMB16B	5	16	6	—	—	8,80
5XMB18B	5	18	6	—	—	8,90
5X7MB18B	5	18	7	5	—	8,95

Некоторые сплавы помимо кованных прутков изготавливаются в виде трубной заготовки следующих размеров (в миллиметрах): 5XB14: 15×3,5; 20×3,0; 22×4,5; 25×3,5; 30×4,0; 30×5; 45×5,0; 5XMB10: 30×4,0; 5XMB18: 30×4,0; 53×4,0.

Допуски по диаметру составляют +0,45 мм, по толщине стенки $\pm 12,5\%$. Сплавы в поставляемом виде имеют твердость 20—30 H_{RC} . После закалки в масле с температурой 1250—1300°C твердость сплавов снижается до 18—22 H_{RC} , что позволяет без затруднений проводить любые механические работы резанием. Дисперсионное твердение сплавов происходит в результате отпуска при температурах 650—750°C. Твердость в этом состоянии возрастает до 45—50 H_{RC} .

Прочностные и механические характеристики сплавов типов 12KM, 12KMB, 5XB и 5XMB достаточно высоки, поэтому ротор гистерезисного двигателя обычно вытачивается целиком из кованого прутка. В тех случаях, когда предусмотрена составная конструкция ротора, магнитно-активная часть вытачивается из трубной заготовки в виде втулки, которая плотно напрессовывается на ось.

Предел прочности у сплавов типов 5XB и 5XMB 600—1000 и 900—1200 МПа соответственно. Магнитные свойства сплавов контролируются в поле максимальной проницаемости (табл. 6-13).

Таблица 6-13

Магнитные свойства сплавов типов 5XB и 5XMB

Марка сплава	H_m , кА/м	B_m , Тл	H_{CB} , кА/м	B_r , Тл	$\frac{P_r}{J} \frac{H_m}{\text{Дж}/(\text{м}^2 \cdot \text{А})}$
	Не менее				
5X10B	2,8—3,6	1,00	1,6	0,8	1,88
5X12B	2,8—5,6	0,95	3,2	0,8	1,88
5X14B	5,6—6,8	0,95	4,0	0,8	1,88
5X16B	7,2—8,8	0,85	4,4	0,75	1,88
5XМ10В	8,0—10,5	0,80	—	—	1,75
5XМ12В	10,5—13,5	0,80	—	—	1,75
5XМ14В	13,5—17,5	0,80	—	—	1,75
5XМ16В	17,0—21,0	0,75	—	—	1,63
5XМ18В	20,0—26,0	0,75	—	—	1,50
5X7М18В	28,0—32,0	0,75	—	—	1,50

Точка Кюри сплавов высока и меняется в зависимости от состава: для 12KM и 12KMB — 800—850°C, для 5XM и 5XMB — 720—760°C.

Температурная стабильность магнитных параметров высока. Изменение H_{CB} и B_r в интервале температур — 140÷250°C не превышает 5%. При кратковременном нагреве до 500°C происходит обратимое снижение этих параметров в пределах 10%. Удельное электропротивление сплавов 12XMB и 5XMB 0,40—0,45 и 0,50—

Таблица 6-14

Средние коэффициенты линейного расширения сплавов
типов 12КМВ, 5ХВ и 5ХМВ

Марка сплава	Температурный коэффициент линейного расширения, $10^{-6} \cdot ^\circ\text{C}^{-1}$, в интервале температур от 20°C до					
	100°C	200°C	300°C	400°C	500°C	600°C
12КМ12В	10,50	10,85	11,55	12,00	12,45	12,90
12КМ14В	10,05	10,70	11,30	11,60	12,10	12,60
5Х12В	10,80	10,80	11,10	—	—	—
5ХМ12В	10,90	11,60	12,40	12,70	13,30	13,85

0,55 Ом·мм²/м соответственно. Средний коэффициент линейного расширения некоторых сплавов представлен в табл. 6-14.

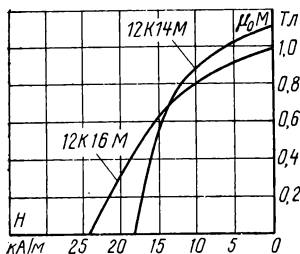


Рис. 6-13. Кривые размагничивания поковок из сплавов типа комол.

Благодаря высокой температурной стабильности магнитного потока сплавы типа комол применяют также и для эталонных магнитов магнетометрических устройств. Этим магнитам обычно придают форму вытянутого эллипсоида вращения. Кривые размагничивания сплавов 12К14М и 12К16М приведены на рис. 6-13.

б) Сплавы системы Fe-Co-V, Fe-Co-Cr-V и Fe-Co-Ni-V

Сплавы Fe-Co-V типов 52К10Ф, 52К11Ф и 52К12Ф целесообразно применять в двигателях повышенной мощности с напряженностью намагничивающего поля 12—35 кА/м. В двигателях обычной мощности нашли применение сплавы с пониженным содержанием ванадия 52К5Ф, 52К7Ф и 52К9Ф. Сплавы поставляются в термически необработанном виде с твердостью 30—37 H_{RC} . Какую-либо смягчающую термическую обработку без существенного снижения магнитных свойств делать нельзя.

Технология изготовления роторов из листов толщиной 0,7 мм и выше включает в себя высежку элементов ротора, его сборку и окончательную термическую обработку — отпуск при температуре 550—650°C в течение 30—60 мин. Отличительной особенностью сплавов типа 52КФ является наличие в листах анизотропии магнитных свойств. В направлении проката все магнитные свойства выше, чем в поперечном: B_r — на 30%, $H_{св}$ — на 10%, потери на гистерезис — на 30—60%. Эту особенность следует учитывать. При изготовлении

шихтованных роторов простых двухполюсных двигателей, набирая пакет, выдерживают единое направление прокатки. А при изготовлении роторов многополюсных двигателей следует шихтовать каждую последующую пластину со смещением направления прокатки на $30-45^\circ$.

Активную часть ротора гистерезисного двигателя иногда выполняют из ленты или проволоки. В этом случае тонкая лента или проволока навивается на ось-оправку и закрепляется на ней точечной сваркой или бандажом.

Магнитные параметры ротора гистерезисного двигателя, изготовленного по такой технологии, можно еще существенно повысить за счет использования эффекта термомеханической обработки. Для этого проволоку или ленту следует наматывать с натягом 300—400 МПа и в таком состоянии проводить отпуск. Технология термомеханического отпуска сложна в наладке, но позволяет полностью использовать резервы магнитного материала и получать двигатели с очень высокими параметрами. За рубежом широко применяется сплав ремендюр (49% Co, 2—5% V, остальное — Fe). По химическому составу он соответствует сплаву 52K5Ф и занимает промежуточную область между викаллоем и магнитно-мягким сплавом пермендюр (49% Co, 2% V, остальное — Fe). Козерцитивная сила ремендюра в зависимости от содержания ванадия, степени холодной деформации и режима отпуска может меняться от 1,5 до 5 кА/м, остаточная индукция соответственно от 2,1 до 1,6 Тл. Сплав с 49% Co и 4% V после закалки от температуры 800°C , холодной прокатки с обжатием 95% и отпуском при 600°C в течение 4 ч имеет $H_{CB}=3,2$ кА/м и $B_r=1,7$ Тл. Максимум магнитной энергии приходится на $H_m=2,9$ кА/м и $B_m=1,5$ Тл.

Кроме сплавов 52K5Ф, 52K7Ф и 52K9Ф наша промышленность выпускает сплавы с меньшим содержанием кобальта, легированные дополнительно хромом или никелем. Сплавы поставляются в холоднодеформированном виде с обжатием не менее 90% в виде листов толщиной 0,2—1,0 мм, шириной 50—140 мм, длиной не менее 200 мм

Таблица 6-15

Нормированные значения параметров листов из сплавов типа 52KФ (среднее арифметическое свойстве вдоль и поперек направлений прокатки)

Марка сплава	H_m , кА/м	B_m , Тл	$K_{\text{вып}}^*$	B_r/B_m	H_{CB}/H	P_r/H_m , Дж/(м ² ·А)
52K5Ф	4,0—5,2	1,3—1,4	0,50—0,60	0,80—0,85	0,70—0,75	3,12—3,38
52K7Ф	5,6—8,0	1,2—1,3	0,50—0,60	0,80—0,85	0,70—0,75	2,62—2,75
52K9Ф	8,0—12	1,1—1,15	0,50—0,60	0,75—0,85	0,68—0,72	2,38—2,62
52K11Ф	12—20	1,0—1,05	0,50—0,60	0,75—0,85	0,65—0,70	2,25—2,50
52K12Ф	20—28	0,85—0,95	0,50—0,55	0,75—0,80	0,65—0,70	1,75—1,88
52K13Ф	28—34	0,75—0,85	0,50—0,55	0,75—0,80	0,65—0,70	1,56—1,68

* $K_{\text{вып}}$ — коэффициент выпуклости кривой размагничивания.

Таблица 6-16

Нормирование значения параметров проволоки прямоугольного сечения из сплавов типов 35КХФ и 35КФН

Марка сплава	Напряженность рабочего поля, кА/м	Сортамент 1,0×1,0; 1,2×1,2; 1,5×1,5; 1,5×2,5; 2,0×2,0 мм			Сортамент 2×4; 2,5×2,5; 2,5×4; 3×3 мм		
		B_m , Тл	$K_{вып}$	$P_{г}/H_m$, Дж/(м ² ·А)	B_m , Тл	$K_{вып}$	$P_{г}/H_m$, Дж/(м ² ·А)
25К14НФ	2,4—3,6	1,40—1,60	0,65—0,75	3,15—4,40	—	—	—
35К8НФ	6,4—4,0	1,50—1,75	0,68—0,80	4,52—5,40	—	—	—
35К10НФ	6,0—7,2	1,50—1,70	0,75—0,85	4,40—5,40	1,40—1,60	0,60—0,75	3,78—4,65
35К8Х4Ф	4,8—6,4	1,40—1,65	0,70—0,85	3,78—5,28	—	—	—
35К8Х6Ф	6,4—8,0	1,40—1,60	0,70—0,80	3,78—5,15	1,35—1,50	0,60—0,70	3,15—4,65
35К8Х8Ф	8,0—11,2	1,40—1,60	0,70—0,80	3,78—4,40	1,35—1,50	0,60—0,70	3,15—3,78

Таблица 6-17

Нормируемые магнитные свойства сплавов в поле 8 кА/м

Марка сплава	Толщина листа, мм	$H_{сВ}$, кА/м	B_r , Тл	B_r/B_m
25К14Н4Ф	1,0	1,6—2,0	1,55	0,87
	0,7—0,5	1,6—2,0	1,60	0,90
	0,35—0,2	1,6—2,0	1,65	0,90
30К15Х	1,0	2,15—2,80	1,70	0,90
	0,7—0,5	2,15—2,80	1,75	0,90
	0,35—0,2	2,15—2,80	1,80	0,90
	Проволока	3,6	1,90	0,95
35К12Х	1,0	2,15—2,80	1,70	0,90
	0,7—0,5	2,15—2,80	1,75	0,90
	0,35—0,2	2,15—2,80	1,80	0,90
	Проволока	3,9	1,92	0,94
35К15Х	1,0	3,3—4,2	1,55	0,90
	0,7—0,5	3,3—4,2	1,60	0,90
	0,35—0,2	3,3—4,2	1,60	0,90
35К8Х6Ф, 35К8Х8Ф	0,3—1,0	4,8	1,10	—

и в виде проволоки круглого и прямоугольного сечения. Магнитные свойства в листах анизотропны. Проволока квадратного сечения имеет размеры (мм): 1,0×1,0; 1,2×1,2; 1,5×1,5; 2,0×2,0; 2,5×2,5; 3,0×3,0, а проволока прямоугольного сечения размеры (мм): 1,5×2,5; 2,0×4,0; 2,5×4,0. Магнитные свойства проволоки выше, чем

Таблица 6-18

Нормируемые магнитные свойства сплавов в поле максимальной проницаемости

Марка сплава	H_m , кА/м	B_m , Тл	$H_{св}$, кА/м	B_r , Тл
35К8Х4Ф	3,6—4,4	1,14—1,40	2,5—3,2	0,94—1,15
35К8Х6Ф	4,8—5,6	1,14—1,28	3,2—4,2	0,93—1,10
35К8Х8Ф	6,4—8,0	1,02—1,17	4,0—5,2	0,80—1,05
35К10Н4Ф	32—36	1,30—1,50	2,2—2,6	1,06—1,40

у листов. Магнитные свойства тонкой проволоки выше, чем у толстой.

Нормированные значения параметров сплавов типа 52КФ приведены в табл. 6-15, для сплавов типов 35КХФ и 35КФН — табл. 6-16.

Свойства сплавов контролируются на тороидальных образцах в поле 8 кА/м (табл. 6-17) или в поле максимальной проницаемости (табл. 6-18).

в) Сплавы системы Fe-Ni-Mn

Сплав 12ГН содержит $12 \pm 0,5\%$ Mn, $3,5 \pm 0,5\%$ Ni, $1,0 \pm 0,2\%$ Mo, $1,5 \pm 0,3\%$ V, остальное — Fe. Выпускается в виде холоднокатаных листов толщиной 0,8 мм. Отличается высокой пластичностью как в состоянии поставки, так и после окончательного отпуска. Магнитные свойства листов анизотропны. В зависимости от режима отпуска можно получить различное сочетание коэрцитивной силы и остаточной индукции соответственно: от 2,4 кА/м и 1,2 Тл до 1,6 кА/м и 0,7 Тл. Магнитные свойства сплава формируются в процессе холодной деформации, поэтому исправить неправильно проведенный отпуск (перегрев, передержка) нельзя. В магнитно-твердом состоянии сохраняет высокую пластичность и может подвергаться механической обработке резанием, гибке, штамповке, прокатке и пр. Сплав дешевый, и его следует применять для изготовления роторов гистерезисных двигателей с рабочими полями от 4 до 20 кА/м. Нормированные значения параметров: $B_m = 1,0 \div 0,5$ Тл; $B_r/B_m = 0,75 \div 0,80$; $H_{св}/H_m = 0,60 \div 0,70$; $K_m = 0,45 \div 0,55$; $P_r/H_m = 1,75 \div 2,12$ Дж/(м²·А).

6-3. СПЛАВЫ ДЛЯ НОСИТЕЛЕЙ МАГНИТНОЙ ЗАПИСИ

В настоящее время в качестве носителей магнитной записи применяются главным образом магнитные ленты на органических основах с рабочим слоем, состоящим из игольчатых частиц гамма-оксида железа, окислов хрома или порошков магнитно-твердых сплавов, диспергированных в пластмассовом связующем [6-6]. В качестве ор-

Таблица 6-19

Сортамент и магнитные свойства лент из сплава ЭП31А
для магнитной записи

Толщина, мм	Ширина, мм	Магнитные свойства	
		B_r , Тл	H_{cB} , кА/м
0,012±0,002	6,25 _{-0,05} ; 12,7 _{-0,1}	0,075—0,105	24
0,015±0,002	19,05 _{-0,1} ; 25,40 _{-0,1}	0,075—0,110	25
0,020±0,002	35,00 _{-0,1} ; 50,8 _{-0,1}	0,075—0,130	21,5

ганической основы используются триацетилцеллюлозные, поливинилхлоридные и полиэфирные пленки толщиной 36; 25; 18 и 9 мкм. Толщина активного слоя может быть от 5 до 1 мкм. Размер магнитных

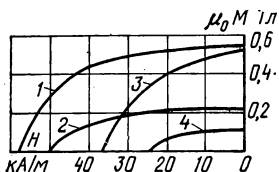


Рис. 6-14. Кривые размагничивания носителей магнитной записи.

1 — проволока сплава магнетофлекс 72 (72% Cr, 10% Ni, остальное — Fe); 2 — проволока из сплава ЭП322; 3 — лента сплава магнетофлекс 20 (60% Cu, 20% Ni, остальное — Fe) вдоль направления прокатки; 4 — лента на органической основе с суспензией из гамма-оксида железа.

частиц активного слоя обычно составляет от 0,1 до 0,015 мкм. Коэрцитивная сила таких пленок составляет 20—40 кА/м. Остаточная индукция 0,15—0,25 Тл. Максимальная разрешающая способность записи и воспроизведения информации, достигнутая в лабораторных условиях, — 530 периодов/мм при скорости движения ленты 35 мм/с. Это соответствует верхней граничной частоте 13 750 Гц.

Металлические носители магнитной записи рекомендуются использовать в особо ответственных случаях, когда по условиям работы на носитель могут воздействовать высокие температуры, удары, влажность, биологические активные среды и т. п. Для магнитной записи используются сплавы системы железо-никель-хром, по составу близкие к нержавеющей стали 18/8. Сплавы отличаются высокой пластичностью, механической прочностью и коррозионной стойкостью. Формирование микроструктуры сплавов, обеспечивающей оптимальные магнитные свойства, происходит в процессе холодной деформации и промежуточных отпусков. Сплавы поставляются в виде проволоки и ленты, пригодные к употреблению в состоянии поставки. Сортамент лент и их магнитные свойства представлены в табл. 6-19.

Электроакустические свойства материалов для магнитной записи контролируются на специальных стендах. Механические свойства проволоки ЭИ708А приведены в табл. 6-20. Кривые размагничива-

Таблица 6-20

Механические свойства проволоки ЭИ708А

Диаметр проволоки, мм	Разрывное усилие не менее, г		Диаметр завитка, образуемого свободным концом проволоки не менее, мм
	без узла	с узлом	
0,030	140	80	15
0,050	380	230	30

Таблица 6-21

Электроакустические свойства проволоки для магнитной записи, ДБ

Показатель	ЭИ708А				ЭИ708АТ		ЭИ708Н
	Для магнитной записи звука	Для аппаратуры, работающей при +60°С и влажности 98% при 40°С			Для отбора магнитных головок и контроля рабочих параметров магнитофонов (типовая аппаратура)	Для настройки и сдачи аппаратуры магнитной записи (настроечная аппаратура)	
Толщина, мм, допуск ±0,002 мм							
	0,030	0,050	0,030	0,050	0,030	0,050	0,050
Средняя чувствительность	-2 ±3	+2+6	-2+4	+1±2	+0+0,5	+0+0,5	±1 (400 Гц)
Однородность чувствительности	±1	±1	±1	±1	±0,5	±0,5	±0,5 (400 Гц)
Частотная характеристика	-1 ±5	0±5	—	-4+3	+0±1,5	0±1,5	+1,5—2,5
Нелинейные искажения не более	-23	-26	—	-26	-5%	4—5%	-26
Шум размагниченной проволоки не более	-40	-48	—	-43	-43	-50	-45
Размагничиваемость не более	-55	-55	—	-50	-55	-55	-55
Шум при намагничивании постоянным током не более	-30	-37	—	-39	-39	-37	-37
Копир-эффект не более	-40	-40	—	-40	-40	-40	-40
Неравномерность частотной характеристики не более	—	—	—	—	—	—	3
Динамический диапазон не менее	—	—	45	—	—	—	—

ния носителей магнитной записи представлены на рис. 6-14. В табл. 6-21 приведены электроакустические свойства проволоки, предназначенной для магнитной записи и ее рекомендуемое применение.

ГЛАВА СЕДЬМАЯ

ТЕХНОЛОГИЯ ИЗГОТОВЛЕНИЯ ФЕРРИТОВЫХ МАГНИТОВ

Феррит относится к классу ферромагнетиков и является кристаллическим веществом, получаемым из окислов методами керамической технологии. По объему производства магнитно-твердых материалов магнитно-твердые ферриты занимают первое место в мире. Для изготовления постоянных магнитов используются ферриты бария, стронция и кобальта. В нашей стране наибольшее распространение получил феррит бария. Отличительные признаки и характерные области применения основных марок ферритов представлены в табл. 7-1.

Таблица 7-1

*Относительные признаки и характерные области
применения ферритов*

Марка феррита	Отличительные признаки	Характерные области применения
6БИ230	Лучшие свойства в направлении, перпендикулярном прессованию	Электродвигатели
6БИ240	Лучшие свойства в направлении прессования; в направлении, перпендикулярном прессованию, свойства ниже на 5—15%	Радиоэлектроника, связь, автоматика
7БИ215	Высокая изотропность, высокое электрическое сопротивление	Электродвигатели, муфты, устройства связи
7БИ300	Высокая коэрцитивная сила по намагниченности	Устройства связи
9БА205	Радиальная анизотропия свойств (кольцевые магниты)	Электродвигатели
15БА300	Высокая коэрцитивная сила по намагниченности	Устройства связи
16БА190	Самая дешевая из марок анизотропного феррита	Радиоэлектроника, связь, автоматика

Продолжение табл. 7-1

Марка феррита	Отличительные признаки	Характерные области применения
18БА220	Свойства, улучшенные по сравнению с 16БА190	Радиоэлектроника, связь, автоматика
18БА300	Высокое электрическое сопротивление	Устройства связи
19БА260	—	Электродвигатели
22БА220	—	Магниторазрядные насосы
24БА210	—	Сепараторы
25БА150	—	Электродвигатели, магнитные муфты
25БА170	—	Устройства связи
28БА170	Высокое значение W_{max}	Динамические громкоговорители, электродвигатели
28БА190	То же	То же
21СА320	Свойства, улучшенные по сравнению с 15БА300	» »
27СА220	Более технологичен, чем феррит бария с такими же параметрами	Устройства связи
11КА135, 14КА135	Температурный коэффициент индукции почти в 4 раза меньше, чем у феррита бария (стронция); магнитное старение возможно в области положительных температур, начиная с $+80^{\circ}\text{C}$	То же

7-1. МАГНИТЫ ИЗ ФЕРРИТА БАРИЯ

Магниты из феррита бария двух видов (изотропные и анизотропные) производят по технологической схеме, изображенной на рис. 7-1. Химический состав, физические и прочностные параметры представлены в табл. 7-2—7-4. Изотропные магниты, как правило, прессуют из сухого порошка при отсутствии магнитного поля; анизотропные магниты прессуют из водной суспензии порошка в присутствии магнитного поля.

Подготовка исходных материалов в основном сводится к контролю исходных компонентов, просушке окиси железа, прокаливанию (с целью удаления влаги) углекислого бария, просушке каолина и размельчению углекислого бария и каолина.

Затем составляется шихта по следующей рецептуре: Fe_2O_3 — $81,5 \pm 0,2\%$ (массовых); BaCO_3 — $18,5 \pm 0,2\%$ (массовых).

Следующими операциями являются смешивание шихты и обжиг смеси — ферритизация при температуре 1150 — 1250°C .

После ферритизации производят грубый, тонкий и мокрый помолы шихты. Оптимальной тошине порошка соответствует средний размер частичек порошка примерно $0,3$ — $0,7$ мкм.

Анизотропия магнитных свойств создается прессованием магнитов из водяной суспензии ферритового порошка в магнитном поле напряженностью 300—500 кА/м. Влажность суспензии составляет при этом 25—30%. Это накладывает на анизотропные магниты ограничения по форме, размерам и виду текстуры.

Прессование производится при удельном давлении порядка 25 МПа (для изотропных — порядка 50—100 МПа).

Влага при прессовании отсасывается через специальные фильтры вакуумным насосом.

Т а б л и ц а 7-2

Химический состав ферритов бария

Марка феррита	Химический состав, %											
	Оксись железа		Оксись бария		Оксись стронция		Оксись алюминия		Двуокись кремния		Оксись бора	
	Номиналь- ный	Допуск	Номиналь- ный	Допуск	Номи- нальный	Допуск	Номи- нальный	Допуск	Номи- нальный	Допуск	Номи- нальный	Допуск
6БИ230 6БИ240 7БИ300	84,3		14,2		—		1,0		0,5	±0,05		
7БИ215 9БА205 15БА300 16БА190 18БА220 18БА300 19БА260	84,1	±0,3	15,4	±0,3	—		—	±0,05	—		0,5	±0,05
22БА220 24БА210 25БА150 25БА170 28БА170 28БА190	84,8		14,3		—		0,5		0,5	±0,05	—	—
21СА320 27СА220	88,9 89,2		— —	— —	10,1	±0,3	0,6 0,3	±0,05	0,4	±0,05	—	—

Примечание. Кристаллическая структура — гексагональная. Допускается легирование ферритов другими элементами в количестве до двух массовых процентов, а также отклонение химического состава от норм, указанных в табл. 1, при этом отклонение химического состава от норм не должно приводить к ухудшению магнитных параметров материала.

Таблица 7-3

Механические, электрические и тепловые параметры
бариевых и стронциевых ферритов

Наименование параметра	Значение параметра
Точка Кюри θ , °С:	
для феррита бария	450
для феррита стронция	460
Проницаемость возврата μ_b :	
для изотропных ферритов	1,15—1,35
для анизотропных ферритов	1,03—1,25
Удельное электрическое сопротивление ρ , Ом·м*	10—10 ³
Действительная составляющая диэлектрической проницаемости ϵ' на частоте 3000 Гц	16—20
Тангенс угла диэлектрических потерь $\operatorname{tg} \delta_\epsilon$ на частоте 3000 МГц**	0,005—0,5
Плотность ρ_m , кг/м ³ :	
кажущаяся	(4,5—5,1)·10 ³
рентгеновская	5,27·10 ³
Коэффициент теплопроводности λ , Вт/(м·°С)	1,9—3,2
Удельная теплоемкость c , Дж/(кг·°С)	600—700
Температурный коэффициент магнитного расширения α , 1/°С:	
параллельно ориентации	(13—15,5)·10 ⁻⁶
перпендикулярно ориентации	(8—11)·10 ⁻⁶
Твердость по Моосу	6—7

* Для феррита марки 7БИ215 (1БИС) удельное электрическое сопротивление $\rho = 10^{10} \div 10^{11}$ Ом·м; для 18БА300— $\rho \geq 10^4$ Ом·м.

** Для феррита марки 7БИ215 (1БИС) $\operatorname{tg} \delta_\epsilon = (0,9 \div 1,1) \cdot 10^{-3}$.

Таблица 7-4

Прочностные параметры ферритов бария и стронция

Предел прочности, МПа				Модуль Юнга $E \cdot 10^{-5}$, МПа	Модуль сдвига, 10^{-5} , МПа	Коэффициент Пуассона
на растяжение	на сжатие	на изгиб	на кручение			
25—30 (250—300)	200 (2000)	70—90 (700—900)	40—50 (400—500)	1—2 (10—20)	0,4—0,7 (4—7)	} 0,2—0,4

Примечание. Данные, указанные в таблице, являются среднестатистическими.

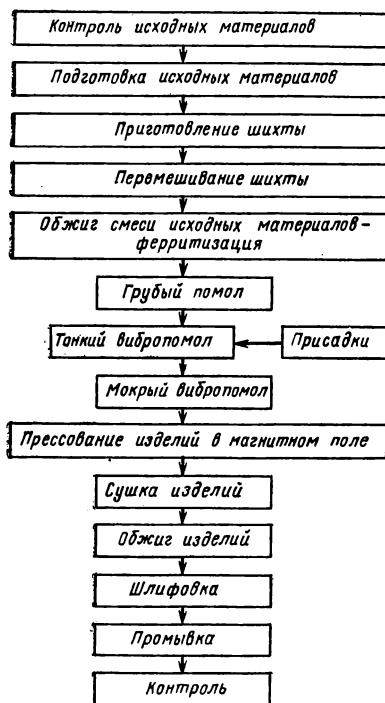


Рис. 7-1. Схема технологического процесса производства магнитов из ферритов бария и стронция.

Отпрессованные изделия просушиваются и затем подвергаются спеканию при температуре 1150—1280° С (различной для разных марок).

7-2. МАГНИТЫ ИЗ ФЕРРИТА СТРОНЦИЯ

Феррит стронция представляет собой материал с гексагональной кристаллической структурой состава $\text{SrO} \cdot 6\text{Fe}_2\text{O}_3$. По своей кристаллической структуре и физическим свойствам феррит стронция является аналогом феррита бария.

Ввиду различия в значениях ионных радиусов бария и стронция замена первого на второй приводит к некоторому увеличению константы магнитной кристаллографической анизотропии K_1 . Однако увеличение K_1 не превышает 10% и поэтому существенных преимуществ

ществ феррит стронция не имеет. Единственное преимущество — лучшая технологичность.

Химический состав этих ферритов представлен в табл. 7-2, механические, электрические и тепловые — в табл. 7-3, а прочностные — в табл. 7-4.

7-3. РЕЖИМЫ МЕХАНИЧЕСКОЙ ОБРАБОТКИ ФЕРРИТОВ БАРИЯ И СТРОНЦИЯ

Резку (вырезку) производят на универсально-заточном станке алмазным отрезным кругом, например, кругом марки $160 \times 0,7 \times 5$ — $63\ 150 \times 100\%$ (ГОСТ 10110-71).

Режимы резки. Скорость шлифовального круга $v_{кр} = 45$ м/с. Продольная подача изделия на круг ручная, плавная. Вырезка ведется с охлаждением 1,5—3%-ным водным раствором кальцинированной соды (ГОСТ 5100-73). Расход охлаждающей жидкости 2—4 л/мин.

Шлифование производят на плоскошлифовальном станке алмазным кругом, например, АПП250 \times 10, на металлической связке, со 100%-ной концентрацией алмазов зернистостью 63/50÷80/63 (ГОСТ 16167-70).

Режимы шлифования. Скорость шлифовального круга $v_{кр} = 28 \div 32$ м/с. Продольная подача стола $v_{ст} = 1,0 \div 6$ м/мин. Глубина шлифования $t = 0,05 \div 0,2$ мм/проход. Поперечная подача $S = 0,5 \div 1,0$ мм/ход. Охлаждение ведется 1,5—3%-ным водным раствором кальцинированной соды. Расход охлаждающей жидкости 4—10 л/мин.

7-4. МАГНИТЫ ИЗ ФЕРРИТА КОБАЛЬТА

Кобальтовый феррит $\text{CoO} \cdot \text{Fe}_2\text{O}_3$ является материалом со структурой шпинели.

Основной вклад в высококоэрцитивное состояние вносит высокая константа одноосной кристаллографической анизотропии, введенная в процессе термообработки в магнитном поле. Поэтому промышленное значение имеют только анизотропные ферриты кобальта.

Наведенная константа анизотропии оценивается значением, близким к $1,2 \cdot 10^5$ Дж/м³. По коэрцитивной силе и остаточной индукции выпускаемые промышленностью кобальтовые ферриты уступают анизотропным бариевым ферритам. Однако заметно меньший температурный коэффициент индукции делает их конкурентоспособными и в ряде случаев незаменимыми, особенно при работе в области отрицательных температур.

Температурный коэффициент индукции феррита кобальта равен 0,05% на 1 °С в интервале температур $-100 \div +20^\circ\text{C}$ и 0,08% на 1 °С в интервале температур $+20 \div +80^\circ\text{C}$. Магниты из феррита кобальта производят по технологической схеме, представленной на рис. 7-2.

Состав шихты определяется соотношением $\text{Fe}_2\text{O}_3 - 71,5\%$ (массовых), $\text{Co}_2\text{O}_3 - 28,5\%$ (массовых).

Технологический процесс получения анизотропных магнитов из феррита кобальта отличается от процесса получения анизотропных бариевых магнитов наличием операции термообработки в магнитном

поле и тем, что прессование проводится в отсутствие магнитного поля.

Промышленностью выпускаются магниты из феррита кобальта двух марок: 11КА135 и 14КА135. Для ферритов кобальта характерными являются: плотность $(3,3-4,0) \times 10^3 \text{ кг/м}^3$; точка Кюри 550°C ; константа наведенной магнитной кристаллографической анизотропии $1,2 \cdot 10^5 \text{ Дж/м}^3$; удельное электрическое сопротивление $10 \text{ Ом} \cdot \text{м}$.

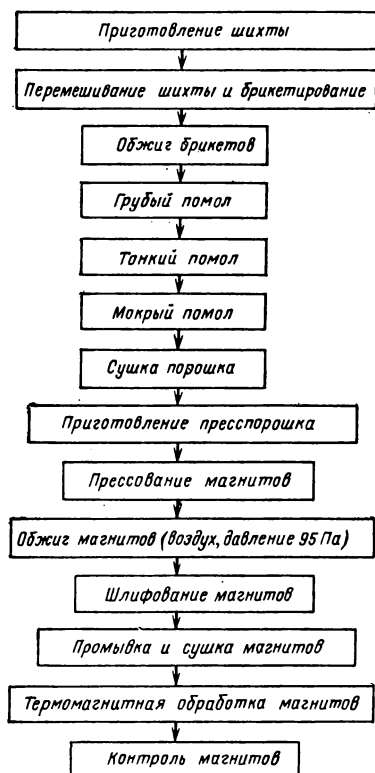


Рис. 7-2. Схема технологического процесса производства магнитов из ферритов кобальта.

7-5. ЗАВИСИМОСТЬ МАГНИТНЫХ ПАРАМЕТРОВ ФЕРРИТОВ ОТ ТЕМПЕРАТУРЫ

Температурный коэффициент остаточной индукции (намагниченности) для ферритов бария и стронция — $0,2\%$ на 1°C в интервале температур $-70 \div +200^\circ\text{C}$.

Температурный коэффициент коэрцитивной силы по намагниченности зависит от коэрцитивной силы по намагниченности и диапазона температур. Зависимость коэрцитивной силы по намагниченности от температуры приведена на рис. 7-3; при нагревании феррита до температуры 300°C намагниченность его претерпевает обратимые изменения, обусловленные температурным коэффициентом; при охлаждении

феррита возможны необратимые потери намагниченности, зависящие от коэрцитивной силы и от суммы внешних и внутренних размагничивающих полей.

Многочисленные последующие охлаждения до температуры первоначального охлаждения не вызывают дополнительных потерь намагниченности и изменения ее становятся обратимыми.

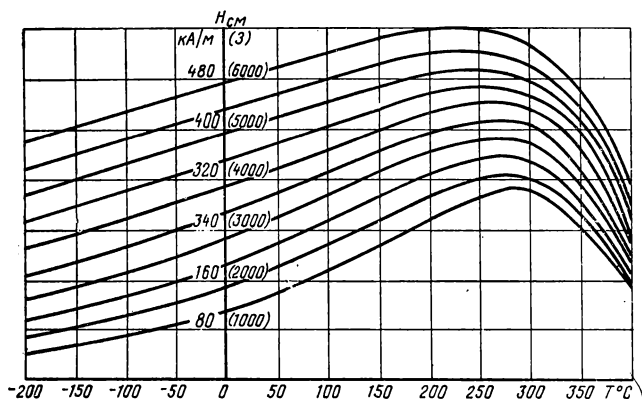


Рис. 7-3. Зависимость значения коэрцитивной силы $H_{см}$ от температуры.

7-6. УСТОЙЧИВОСТЬ МАГНИТНЫХ ПАРАМЕТРОВ ФЕРРИТОВ

Ферриты сохраняют магнитные параметры в процессе и после воздействия следующих факторов: вибраций в диапазоне частот от 5 до 2500 Гц с ускорением до 200 м/с²; многократных ударов с ускорением до 1500 м/с²; одиночных ударов с ускорением до 5000 м/с²; линейных нагрузок с ускорением до 500 м/с²; повышенной влажности воздуха до 98% при температуре 35°С.

Ферриты сохраняют магнитные параметры при эксплуатации и при хранении по ГОСТ 21493-76 в течение не менее 10 лет при отсутствии в воздухе кислотных и других агрессивных примесей. К концу 10 лет эксплуатации (или хранения) изменение остаточной индукции, коэрцитивной силы по индукции и намагниченности, энергии W_{max} намагниченных или ненамагниченных ферритовых магнитов практически отсутствует (не превышает 0,5%).

ГЛАВА ВОСЬМАЯ

ТЕХНОЛОГИЯ ИЗГОТОВЛЕНИЯ МАГНИТОВ ИЗ ИНТЕРМЕТАЛЛИЧЕСКИХ СОЕДИНЕНИЙ

8-1. МАГНИТЫ ИЗ РЕДКОЗЕМЕЛЬНЫХ МЕТАЛЛОВ (РЗМ)

Магниты из интерметаллического соединения SmCo_5 с магнитной энергией 41 кА·Тл/м впервые получили в 1967 г. В 1969 г. на порошковых магнитах было получено значение $W_{max} > 80$ кДж/м³.

В 1972 г. Фонер и другие достигли на лабораторных образцах максимальной магнитной энергии 96 кДж/м².

Наивысший уровень W_{max} , достигнутый на магнитах из соединения SmCo_5 , составляет 128 кДж/м³. Это значение получено в 1972 г на овоидных монокристаллах [8-2]. Однако малые размеры монокристаллов, а также сильное влияние на коэрцитивную силу качества поверхности ограничивают возможности их применения.

Исходный сплав выплавляют в вакуумных индукционных или дуговых печах в атмосфере инертного газа. Для приготовления сплава используют чистые шихтовые материалы: кобальт марки КО и самарий марки СМ-1. Литой материал измельчают в шаровых мельницах. Для предохранения порошка от окисления используют спирт, толуол, гексан и другие защитные среды. Иногда измельчение производят в вихревых мельницах в струе инертного газа.

Для изготовления магнитов из материала на основе соединения SmCo_5 используют методы порошковой металлургии: получают тонкие порошки, ориентируют их в магнитном поле, прессуют, спекают и подвергают термообработке для повышения коэрцитивной силы и коэффициента кривой размагничивания $M=f(H)$.

Большое значение для получения высоких магнитных свойств имеет состав порошка, в котором содержание редкоземельных элементов должно быть чуть выше, чем в стехиометрическом соединении RCO_5 . Например, в соединении SmCo_5 стехиометрическое содержание самария составляет 33,8% (массовых), а лучшие спеченные магниты получают при содержании самария около 36,5% (массовых). Это обусловлено тем, что, во-первых, часть самария в процессе изготовления магнитов расходуется на окисление и испарение, во-вторых, для успешного осуществления процесса спекания в материале должны существовать вакансии кобальта, делающие возможной диффузию самария.

Существуют два способа, с помощью которых получают порошки нестехиометрического состава с избытком редкоземельного элемента:

- 1) сплав стехиометрического состава при измельчении смешивают с так называемой «спекающей добавкой», содержащей 60% Sm (массовых) и 40% Co (массовых). При температуре спекания «спекающая добавка» расплавляется и осуществляется жидкофазное спекание;

- 2) окончательный состав сплава получают в процессе выплавки материала. При спекании жидкая фаза не образуется. Имеет место твердофазное спекание.

В последнее время наметилась тенденция использования восстановительно-диффузионных процессов, которые позволяют сразу изготавливать самарий-кобальтовый сплав, минуя стадию предварительного получения чистого самария. В результате применения метода кальцийтермического восстановления окислов и хлоридов редкоземельных металлов гидридом кальция можно сразу без выплавки сплава и механического измельчения получить порошок, пригодный для изготовления постоянных магнитов.

Далее порошки подвергают прессованию в магнитном поле. Степень ориентировки частиц в магнитном поле оказывает большое влияние на магнитные свойства готовых магнитов. Особенно чувств-

вительны к ухудшению ориентировки остаточная индукция и максимальная магнитная энергия.

На практике используют два способа прессования в магнитном поле, отличающиеся степенью ориентировки порошка;

1) линейное, одноосное прессование, при котором давление на порошок осуществляется в одном направлении вдоль или перпендикулярно направлению магнитного поля;

2) изостатическое и гидростатическое прессование, при котором благодаря эластичным прокладкам или давлению жидкости давление равномерно распределяется по всей поверхности заготовки. Если прессование производится в направлении магнитного поля, то первый способ проще и дешевле, но магнитные свойства при его применении получаются ниже из-за более низкой степени текстуры.

Пресс-заготовки подвергают спеканию в вакууме или в среде инертного газа при температуре 1100—1140°C.

После спекания получают магниты, имеющие относительную плотность свыше 95% и замкнутые поры, в результате чего затруднено внутреннее окисление магнитов на воздухе и не происходит падения коэрцитивной силы со временем.

Термообработку проводят непосредственно после спекания. Термообработка заключается в медленном охлаждении (со скоростью примерно 0,25°C/мин) от температуры спекания до температуры 850—900°C и выдержке при этой температуре. За выдержкой следует быстрое охлаждение. Как было отмечено выше, термообработка повышает коэрцитивную силу и выпуклость кривой размагничивания. Механизм влияния термообработки на магнитные свойства до сих пор остается неясным. Быстрое охлаждение после температуры 850—900°C необходимо, как предполагают, для предотвращения эвтектидного распада фазы SmCo_5 на Sm_2Co_7 и $\text{Sm}_2\text{Co}_{17}$, который имеет место при температуре 750°C и резко снижает коэрцитивную силу.

Что касается механизма перемагничивания магнитов из соединений RCO_5 и природы их высокой коэрцитивной силы, то этот вопрос еще полностью не изучен.

Так как достигнутая на магнитах из РЗМ коэрцитивная сила значительно ниже ее теоретического значения, равного $2K/M_s$ (K — константа анизотропии, M_s — намагниченность насыщения), то ясно, что механизм перемагничивания определяется не когерентным вращением, а ростом либо остаточного домена обратной намагниченности, либо вновь образованного домена. При этом установлено, что местом блокировки остаточного домена или зарождения нового являются всевозможные дефекты, к числу которых относятся неровные поверхности и включения (на них могут возникнуть высокие локальные размагничивающие поля) и дефекты кристаллической структуры.

До настоящего времени наибольший объем в промышленном производстве составляют магниты из соединения SmCo_5 . Средний уровень энергетического произведения у материалов, изготовленных методом линейного прессования, составляет 108 Тл·кА/м, а у изготовленных методом изостатического прессования — 144—192 Тл·кА/м при $H_{em} \geq 1300$ кА/м. Значения $(BH)_{max} > 192$ Тл·кА/м достигнуты лишь на лабораторных образцах.

Таблица 8-1
Магнитные свойства промышленных РЗМ

Параметр	SmCo	(Sm, MM) Co*	(Sm, Pr) Co	Sm (Cu, Fe, Co)	Ce (Cu, Fe, Co)
Остаточная индукция B_r , Тл	0,78—0,9	0,65—0,76	0,89—1,05	0,92	0,36—0,7
Коэрцитивная сила, мА/м: $H_{св}$	0,56—0,68	0,4—0,56	0,51—0,7	0,5	0,24—0,44
$H_{см}$	1,2—2,0	0,72—1,2	0,92—1,24	0,53	0,38—0,48
Магнитная энергия $(BH/2)_{max}$, кДж/м ³	120—160	80—112	134—200	168	16—96
Температура Кюри T_K , °C	700—750	500	700—750	820	—
Рабочая температура, °C, при кратковременном воздействии	250°—300°C	—	200°C	300°C	От —100 до +300°C

* MM — миниметалл.

Таблица 8-2

Температурный коэффициент индукции

Сплав	Температурный коэффициент индукции α_B , %/°C				
	—190 ÷ —60 °C	—60 ÷ +20 °C	+20 ÷ +100 °C	+100 ÷ +150 °C	+150 ÷ +200°C +200 ÷ +300°C
Sm Co ₆	(+0,0021) — (+0,028)	(+0,035) — (+0,041)	(—0,036) — (—0,043)	(—0,039) — (—0,047)	(—0,046) — (—0,056)
(Sm _{0,5} Pr _{0,5}) Co ₅	(+0,030) — (+0,034)	(+0,047) — (+0,052)	(—0,049) — (—0,056)	(—0,046) — (—0,060)	(—0,055) — (—0,065)

В тех случаях, когда от магнитов требуется энергия выше 168 Тл·кА/м (21 МГц·Э), в промышленном производстве используют сплавы Sm-Pg-Co.

Наивысший уровень магнитных свойств получен японскими исследователями. По данным фирмы «Синецу индастри» в материале $\text{Sm}(\text{Co}_{0,8}\text{Cu}_{0,14}\text{Fe}_{0,06})_7$ марки «Реренет» получено значение максимальной магнитной энергии $W_{\text{max}} = 108 \text{ кДж/м}^3$. В этой же публикации отмечено, что магниты из материала «Реренет» обладают высокой термостабильностью и их магнитный поток мало меняется после выдержки 1000 ч при 300°C.

Уровень магнитных свойств промышленных сплавов для постоянных магнитов из РЗМ представлен в табл. 8-1.

Обратимые изменения индукции для материалов на основе SmCo_5 и $\text{Sm}_{0,5}\text{Pr}_{0,5}\text{Co}_5$ в различных температурных интервалах представлены в табл. 8-2.

Теоретическая предпосылка для создания материалов с низким значением температурного коэффициента обратимых потерь намагниченности α_B заключается в том, что для соединений RCo_5 в области повышенных температур коэффициент обратимых потерь отрицателен, а для соединений $\text{R}'\text{Co}_5$ — положителен. Поэтому в квазибинарных системах $(\text{R}_{1-x}\text{R}'_x)\text{Co}_5$ по мере замещения одного РЗМ другим можно в широких пределах варьировать α_B . Но так как соединения $\text{R}'\text{Co}_5$ имеют низкие значения намагниченности насыщения и напряженности поля анизотропии, снижение α_B связано с потерей магнитных свойств. Бенц и др. [8-2] исследовали магнитные свойства соединений $\text{Sm}_{1-x}\text{Gd}_x\text{Co}_5$ в зависимости от содержания гадолиния. В магнитах из сплава $\text{Sm}_{0,575}\text{Gd}_{0,425}\text{Co}_5$ $\alpha_B = 0,0015\%/^\circ\text{C}$ в интервале температур от 0 до 100°C при $B_r = 0,635 \text{ Тл}$, $H_{cB} = 454 \text{ кА/м}$, $(BH)_{\text{max}} = 74,4 \text{ кА} \cdot \text{Тл/м}$. Эти результаты близки к данным, полученным Дерягиным и др. [8-1] в сплаве $\text{Sm}_{0,53}\text{Gd}_{0,47}\text{Co}_5$.

Что касается необратимых потерь, то на них сильное влияние оказывает ряд технологических факторов, таких как химический состав сплава, температура спекания, скорость охлаждения.

Для лучших образцов, выдержанных при 250°C 5000 ч, падение остаточного потока составляло 2%. При 300°C падение потока происходит быстрее и на большую величину. После отжига при 300°C в течение нескольких тысяч часов наступает катастрофическое уменьшение магнитного потока. Есть предположения, что причиной этого падения могут быть процессы окисления и фазовые превращения, в частности эвтектидный распад фазы SmCo_5 .

Для уменьшения необратимых потерь в процессе эксплуатации магнитов при повышенной температуре Милдрум предлагает проводить предварительную стабилизацию при температуре, на 50°C превышающей рабочую.

8-2. МАГНИТЫ ИЗ ИНТЕРМЕТАЛЛИЧЕСКИХ СОЕДИНЕНИЙ МАРГАНЦА

Практический интерес представляют три соединения марганца: MnBi , MnAl , MnGa . Все они не содержат ферромагнитных элементов. Возникновение в них ферромагнетизма обусловлено изменениями

ми, происходящими при образовании соединений в электронной структуре марганца.

Соединение $MnBi$ можно получать сплавлением компонентов или методами порошковой металлургии. Полученный компактный материал подвергается дроблению и магнитной сепарации от немагнитных фаз.

В чистом виде соединение $MnBi$ имеет намагниченность насыщения, равную 0,75 Тл, и большую константу магнитной кристаллической анизотропии — 10^3 кДж/м³. Теоретический предел энергетического произведения: $(BH)_{max} = 132$ Тл·кА/м.

При измельчении в порошок коэрцитивная сила этого соединения резко увеличивается и может достигать 1000 кА/м. Прессованием порошков с размером частиц 2—3 мкм можно получать изотропный материал плотностью 8,5 г/см³ и с остаточной индукцией 0,35 Тл, коэрцитивной силой $H_{сМ} = 400 \div 500$ кА/м и $H_{сВ} = 250 \div 300$ кА/м.

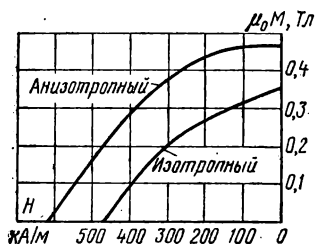


Рис. 8-1. Кривая размагничивания магнитов из порошка $MnBi$.

нулю. Коэрцитивная сила магнитов из $MnBi$ также монотонно уменьшается с понижением температуры. При -120°C коэрцитивная сила равна 10—20 кА/м. Это сопровождается потерей остаточного магнитного потока магнитов и даже почти полным размагничиванием. После нагревания до комнатной температуры и нового намагничивания магнитные свойства магнитов восстанавливаются. Кривая размагничивания магнитов из порошка $MnBi$ представлена на рис. 8-1.

В настоящее время интенсивно ведется разработка технологии изготовления тонких пленок соединения $MnBi$ как очень перспективного материала для магнитной записи и хранения информации.

Соединение $MnAl$ обладает низкой плотностью 5,1 г/см³, хорошей коррозионной стойкостью. Имеет внутреннюю индукцию насыщения $\mu_0 M_s = 0,8$ Тл, большое значение константы магнитной кристаллической анизотропии — 10^3 кДж/м³. Магнитная твердость возникает после резкой закалки от температуры 1000—1150°C и отпуска при 400—500°C. Магнитные свойства соединения связаны с процессами упорядочения ε-фазы и ее высокими значениями константы магнитной кристаллической анизотропии.

В литом виде сплав 70ГЮ после закалки и отпуска имеет коэрцитивную силу $H_{сМ} = 120 \div 130$ кА/м, $H_{сВ} = 80 \div 100$ кА/м и остаточную индукцию 0,25 Тл.

Сплав не содержит дефицитных металлов и обладает низкой стоимостью. По магнитным свойствам он близок к магнитно-твердым ферритам и отличается от них более высокой прочностью и лучшей температурной стабильностью магнитных свойств. В виде литых гранул диаметром 2—8 мм он может быть рекомендован для широкого использования в электромагнитных диспергаторах в качестве мелющих и перемешивающих тел.

Сплав 70ГЮ хрупок, но в условиях всестороннего обжатия его можно деформировать. Деформация сплава методом гидроэкструзии

Рис. 8-2. Кривая размагничивания интерметаллического соединения MnBi.

— литой, состояние заковки с 1000°С в воде, отпуск; — пруток диаметром 4,5 мм после воздушной заковки с 1000°С и гидроэкструзии.

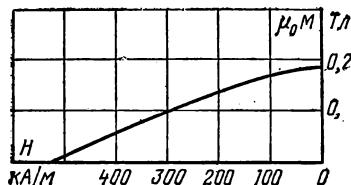
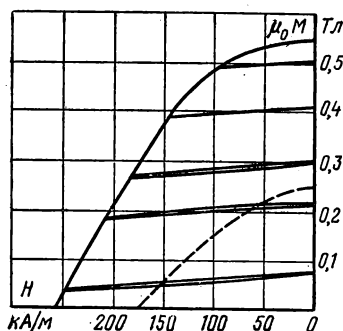


Рис. 8-3. Кривая размагничивания прутка диаметром 4 мм из интерметаллического соединения MnGa после 87%-ной деформации. Отпуск при температуре 450°С в течение 1,5 ч.

с противодействием существенно улучшает его магнитные свойства. Остаточная индукция возрастает до 0,45—0,55 Тл, коэрцитивная сила $H_{см}$ до 250—400 кА/м, $H_{св}$ до 200—220 кА/м, энергетическое произведение $(BH)_{max}$ до 24—40 Тл·кА/м. Кривая размагничивания соединения представлена на рис. 8-2.

Сплав MnGa содержит в своем составе 28—30% относительно дорогого металла — галлия. В закаленном состоянии пластичен и может легко обрабатываться на металлорежущих станках и подвергаться холодной деформации прокаткой или волочением. В закаленном состоянии немагнитен. После отпуска при температуре 400—500°С приобретает коэрцитивную силу $H_{см}=400÷500$ кА/м, $H_{св}=80÷120$ кА/м и остаточную индукцию 0,2—0,25 Тл; энергетическое произведение $(BH)_{max}=5÷15$ Тл·кА/м. Плотность сплава MnGa —

7,1 г/см³. Твердость в закаленном состоянии 1500 МПа, в магнитно-твердом — 4800 МПа. Кривая размагничивания соединения MnGa представлена на рис. 8-3.

8-3. ТЕХНОЛОГИЧЕСКОЕ ОБЕСПЕЧЕНИЕ РАСЧЕТНОГО ЗНАЧЕНИЯ МАГНИТНОГО ПОТОКА В ИЗДЕЛИЯХ ИЗ РЗМ

Уникальные свойства РЗМ: высокое значение коэрцитивной силы $H_{сМ}$ и прямолинейный характер кривой размагничивания $B = f(H)$ требуют развития существующих методов прогнозирования

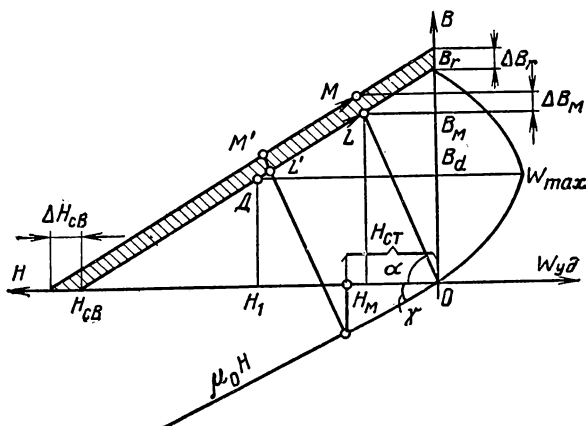


Рис. 8-4. Технологический разброс свойств сплава SmCo_5 в партии магнитов.

технологического разброса $\delta_{0\Phi}$ и температурной погрешности α_{Φ} рабочего магнитного потока для успешного освоения серийного производства изделий из РЗМ [1-2].

Поток в рабочем зазоре Φ для этих изделий представляется по аналогии с системами, имеющими магниты из литых сплавов, как аналитическая функция первичных магнитных параметров РЗМ и конструктивных размеров системы. При этом учитывается, что первичными магнитными параметрами для РЗМ являются B_r и $H_{сВ}$ (рис. 8-4).

Аналитическое описание рабочей диаграммы магнитов из сплавов типа SmCo_5 является решением системы уравнений

$$\left. \begin{aligned} \frac{B}{B_r} + \frac{H}{H_{сВ}} &= 1; \\ B &= H \operatorname{tg} \alpha, \end{aligned} \right\} \quad (8-1)$$

где $\operatorname{tg} \alpha$ — угловой коэффициент линии приведенной проводимости OM магнитной системы, являющийся функцией ее конструктивных размеров. Решая систему (8-1), получаем:

$$B_m = \frac{B_r H_{cB} \operatorname{tg} \alpha}{B_r + H_{cB} \operatorname{tg} \alpha}. \quad (8-2)$$

Применение формулы (1-32) к рассматриваемой математической модели дает:

$$N_{\Phi B_r} = \frac{H_{cB} \operatorname{tg} \alpha}{B_r + H_{cB} \operatorname{tg} \alpha}; \quad N_{\Phi H_o} = \frac{B_r}{B_r + H_{cB} \operatorname{tg} \alpha}. \quad (8-3)$$

Очевидно, что в этом случае

$$N_{\Phi B_r} + N_{\Phi H_{cB}} = 1. \quad (8-4)$$

Принимая во внимание соотношения относительно параметров $B_d = B_r/2$; $H_d = H_{cB}/2$, для сплавов типа SmCo_5 в точке W_{\max} имеем:

$$N_{\Phi B_r} = N_{\Phi H_{cB}} = 0,5,$$

так как

$$\operatorname{tg} \alpha_{(BH)_{\max}} = \frac{B_d}{H_d} = \frac{B_r}{H_{cB}}.$$

Следует отметить, что выражения (8-3) позволяют определить указанные коэффициенты влияния еще на этапе проектирования любых систем с магнитами из сплавов типа SmCo_5 .

Найденные коэффициенты могут быть использованы в качестве критерия чувствительности параметра качества магнитных систем Φ к производственным и температурным погрешностям первичных конструктивных и магнитных параметров.

Известно [1-3], что минимуму технологического разброса выходной характеристики $y = F(q_i)$ изделия при заданной точности получения его конструктивных и магнитных параметров q_i соответствует минимум функции

$$z = \sum_{i=1}^n N_{yq_i}^2, \quad (8-5)$$

где N_{yq_i} — относительный коэффициент влияния погрешности i -го конструктивного и магнитного параметров на погрешность выходной характеристики изделия.

Для систем, магниты которых изготавливаются из сплавов типа SmCo_5 , функцию (8-5) с учетом зависимости (8-4) приводим к виду

$$z = N_{\Phi B_r}^2 + (1 - N_{\Phi B_r})^2. \quad (8-6)$$

Экстремум функции (8-6) определяется из условия: $dz/dN_{\Phi B_r} = 0$, которое соблюдается при $N_{\Phi B_r} = 0,5$.

Таким образом, для материалов типа SmCo_5 минимум технологического разброса потока Φ будет в том случае, когда постоянный магнит работает в точке W_{\max} .

Данные о технологических и температурных отклонениях параметров B_r и H_{cb} , необходимые для расчета производственных погрешностей параметра качества магнитных систем Φ по (1-30), получают на основе статистического исследования партии магнитов из РЗМ.

Пример. Для проектируемой магнитной системы с магнитом из сплава SmCo_5 определить допуск $\delta_{0\Phi}$ и температурную стабильность в условиях серийного производства.

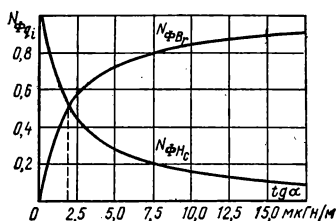


Рис. 8-5. Зависимость коэффициентов влияния $N_{\Phi B_r}$ и $N_{\Phi H_c}$ от положения рабочей точки магнита.

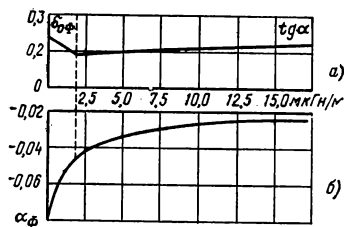


Рис. 8-6. Зависимость технологической (а) и температурной (б) погрешностей параметра качества магнитной системы Φ от положения рабочей точки постоянных магнитов из сплава SmCo_5 .

С целью получения достоверных статистических данных о точности формирования основных магнитных параметров этого сплава SmCo_5 было исследовано 100 призматических образцов размером $30 \times 20 \times 4,1$ мм³.

Магниты изготавливались методом жидкофазного спекания. Для исследования была выбрана рядовая партия магнитов.

Проверка результатов эксперимента по критерию χ^2 показывает, что закон распределения производственных погрешностей параметров B_r и H_{cb} сплава SmCo_5 может быть принят нормальным. При этом в качестве практически предельного поля допуска исследуемых свойств взяты соответствующие $\pm 3S_{a_i}$ пределы, а в качестве номинальных значений — соответствующие выборочные средние. По результатам экспериментального исследования для магнитов из сплава SmCo_5 в условиях серийного производства получены: $\delta_{0B_r} = 0,2 (\pm 10\%)$, $\delta_{0H_c} = 0,3 (\pm 15\%)$, номинальные значения соответственно $B_r = 0,84$ Тл, $H_c = 530$ кА/м. Полученный на выборке из 100 образцов коэффициент корреляции $r_{B_r H_{cb}} = 0,4$ нужно учитывать при 95%-ном уровне доверительной вероятности [1-9].

Значения $\alpha_{\Phi}(T)$ для основных параметров сплава SmCo_5 получены нами, исходя из экспериментальных данных, приведенных в [8-2].

В диапазоне 20—200°С для рассматриваемого сплава:

$$\alpha_{B_r} = -0,019\%/^{\circ}\text{C}; \quad \alpha_{H_{CB}} = -0,072\%/^{\circ}\text{C}.$$

Коэффициенты влияния для области значений $\text{tg } \alpha$ определяются по формулам (8-3). Зависимость коэффициентов влияния $N_{\Phi B_r}$ и $N_{H_{CB}}$ от положения рабочей точки магнита из сплава SmCo_5 приведена на рис. 8-5.

Таким образом, получены все необходимые исходные данные для расчетного определения погрешностей $\delta_{0\Phi}$ и $\alpha_{\Phi}(T)$.

На рис. 8-6, а представлена зависимость $\delta_{0\Phi} = \psi(\text{tg } \alpha)$. При значениях $\text{tg } \alpha$ в области W_{max} указанная зависимость имеет достаточно выраженный минимум, где $\delta_{0\Phi}$ примерно на 30% меньше, чем для остальных вариантов конструктивного оформления магнитной системы.

Результаты расчета по (1-31) температурной погрешности магнитного потока $\alpha_{\Phi}(T)$ представлены на рис. 8-6, б.

Зависимость $\alpha_{\Phi}(T) = \varphi(\text{tg } \alpha)$ показывает, что для магнитов из исследуемого сплава SmCo_5 температурный коэффициент магнитной системы без применения средств температурной компенсации принципиально не может быть выше значения α_{B_r} и ниже $\alpha_{H_{CB}}$, т. е. соответственно $-0,02$ и $-0,07\%/^{\circ}\text{C}$. В окрестности точки W_{max} в диапазоне температур 20—200°С расчетное значение $\alpha_{\Phi} = -0,045\%/^{\circ}\text{C}$.

Допустим, что проектируемая магнитная система имеет расчетное значение $\text{tg } \alpha = 2,5$ мкГн/м. Из рис. 8-6 определяем допуск $\delta_{0\Phi} = \pm 10\%$ и температурную погрешность $\alpha_{\Phi} = -0,04\%/^{\circ}\text{C}$.

Таким образом, получив экспериментально на промышленных образцах данные о технологических и температурных отклонениях параметров B_r и H_{CB} , можно прогнозировать точность и стабильность рабочего магнитного потока в условиях серийного производства изделий из РЗМ.

ГЛАВА ДЕВЯТАЯ

МАТЕРИАЛЫ

ДЛЯ АРМАТУРЫ ПОСТОЯННЫХ МАГНИТОВ

9-1. ОБЩИЕ СВЕДЕНИЯ

Арматуру постоянных магнитов принято делить на магнитную и механическую.

К магнитной арматуре относится совокупность узлов и деталей, от выбора формы и магнитных свойств материала которых зависит:

получение требуемых характеристик рабочего поля и поля рассеяния постоянного магнита. Сюда относятся полюсные наконечники, сердечники, ярмо, термоманитный компенсатор;

защита магнитной системы от воздействия внешних магнитных полей и защита внешнего пространства от поля магнита (магнитные экраны).

К механической арматуре относится совокупность узлов и деталей, служащих для монтажа магнитных систем (валы магнитных роторов, болты, нарезные гнезда, втулки и другие крепежные детали, заформовываемые в тело магнита).

В зависимости от требований, предъявляемых к деталям и узлам магнитной арматуры, материалы, применяемые для их изготовления, можно подразделить на:

а) материалы с большой максимальной магнитной проницаемостью $\mu_{r \max}$ — для сердечников, полюсных наконечников, ярма и других деталей магнитопровода;

б) материалы с большой начальной и большой максимальной проницаемостями $\mu_{r \text{нач}}$ и $\mu_{r \max}$ — для деталей и узлов, осуществляющих магнитное экранирование;

в) материалы с большой индукцией насыщения $B_s \max$ — для концентраторов магнитного потока (полюсные наконечники у шлейфов светолучевых осциллографов, медицинских магнитов);

г) материалы с резким изменением магнитной проницаемости при изменении температуры — для термоманитных шунтов;

д) материалы с необратимым изменением магнитных свойств при нагревании — для цельных деталей, в которых необходимо иметь магнитные и немагнитные участки (например, для полюсных наконечников быстроходных магнитоиндукционных генераторов).

К ряду этих материалов предъявляются дополнительные требования малой коэрцитивной силы и высокого удельного электрического сопротивления.

Примерное применение магнитно-мягких материалов по группам магнитной арматуры (в соответствии с принятой классификацией) следующее:

а) для изготовления различных деталей магнитопровода — сталь 10, техническое железо (для дешевых приборов и устройств, работающих в средних и сильных полях на постоянном токе); железо высокой чистоты (для точных дорогих приборов и устройств, работающих в средних и сильных полях на постоянном токе); тонколистовая электротехническая сталь (для приборов и электрических машин, работающих в средних и сильных полях на постоянном и переменном токе); пермаллон (особо точные приборы и электрические устройства, работающие в области слабых полей на постоянном и переменном токе);

б) для изготовления различных деталей и узлов, осуществляющих магнитное экранирование, — пермаллон, различные сорта технически чистого железа, малоуглеродистая сталь, тонколистовая электротехническая сталь;

в) для концентраторов магнитного потока — железокобальтовые сплавы;

г) для термоманитных шунтов — термоманитные сплавы.

9-2. МАТЕРИАЛЫ ДЛЯ ДЕТАЛЕЙ МАГНИТОПРОВОДОВ И ДЕТАЛЕЙ, ОСУЩЕСТВЛЯЮЩИХ МАГНИТНОЕ ЭКРАНИРОВАНИЕ

Железо и низкоуглеродистая нелегированная электротехническая сталь

Благодаря высоким магнитным свойствам (высокие магнитная проницаемость и индукция насыщения, относительно коэрцитивная сила), хорошим механическим и технологическим свойствам и невысокой стоимости, железо широко применяется для изготовления магнитной арматуры. Однако вследствие низкого удельного электрического сопротивления железа, обуславливающего повышенные потери на вихревые токи, применение его ограничивается только устройствами постоянного тока (магнитные цепи аппаратов, приборов; экранирующие корпуса приборов и различной электрической аппаратуры). Чем чище железо, тем выше его магнитная мягкость.

Промышленность изготавливает железо: карбонильное, электролитическое и технически чистое (железо армко).

Карбонильное железо применяется для магнитопроводов в прессованном виде с добавкой связующего диэлектрического вещества в качестве сырья для изготовления прецизионных сплавов.

Наиболее широко применяется технически чистое железо как наиболее экономичное. Особо чистые сорта железа применяются для специальных целей.

По магнитным свойствам к технически чистому железу приближается низкоуглеродистая нелегированная электротехническая сортовая и тонколистовая сталь. Кроме железа и низкоуглеродистой

Таблица 9-1

Магнитные свойства железа

Наименование материала	Содержание углерода, %	Начальная магнитная проницаемость	Максимальная магнитная проницаемость	Коэрцитивная сила, А/м
		мГн/м		
Карбонильное железо, рафинированное в водороде и переплавленное в вакууме	0,005—0,01	4,0	26	6,4
Электролитическое железо, переплавленное в вакууме	0,01	—	79	7,2
Электролитическое железо	0,02—0,04	0,8	19	28
Технически чистое железо (железо армко)	0,02—0,025	0,3	9	64

Таблица 9-2

Магнитные и механические свойства нелегированной горячекатаной, ковальной и калиброванной сортовой электротехнической стали по ГОСТ 11036-75

Обозначение марки		Коэрцитивная сила в разомкнутой цепи, А/м, не более	Магнитная индукция, Тл, не менее при напряженности магнитного поля, А/м, в замкнутой цепи		
новое	старое		500	1000	2500
10895 20895 11895 21895	Э12	95,0	1,32	1,45	1,54
10880 20880 11880 21880	Э10	80,0	1,36	1,47	1,57
10864 20864 11864 21864	Э8	64,0	1,40	1,50	1,60

Таблица 9-2а

Вид продукции	Предел прочности σ_B , Н/мм ²	Относительное удлинение δ , %	Относительное сужение ψ , %	Диаметр отпечатка, мм	Твердость по Бринеллю H_B
	Не менее				Не более
Горячекатаная (термически обработанные образцы)	270	24	60	5,2	131
Калиброванная	350	4	—	—	—

электротехнической стали для изготовления деталей магнитопровода электроизмерительных приборов применяют обычную углеродистую сталь марки 10.

Свойства указанных разновидностей железа приведены в табл. 9-1, сортовой электротехнической нелегированной стали (ГОСТ 11036-75) — в табл. 9-2, 9-2а и тонколистовой нелегированной электротехнической стали (ГОСТ 3836-73) — в табл. 9-3.

Таблица 9-3

Магнитные свойства тонколистовой нелегированной
электротехнической стали по ГОСТ 3836-73

Марка стали	Коэрци- тивная сила, А/м	Макси- мальная проницае- мость, МГн/м	Магнитная индукция, Тл, при напряжен- ности магнитного поля, кА/м, в замкнутой цепи					
			0,5	1,0	2,5	5,0	10	30
			не более		не менее			
10895 20895	95	22	1,38	1,50	1,62	1,71	1,81	2,05
10880 20880	80	32	1,38	1,50	1,62	1,71	1,81	2,05
10864 20864	64	36	1,38	1,50	1,62	1,71	1,81	2,05
10848 20848	48	38	1,38	1,50	1,62	1,71	1,81	2,05
20832	32	40	1,38	1,50	1,62	1,71	1,81	2,05

У сортовой электротехнической нелегированной стали в обозначении марок цифры означают:

первая — класс по виду обработки давлением (1 — горячекатаная и кованая, 2 — калиброванная);

вторая — содержание кремния (0 — сталь нелегированная, без нормирования коэффициента старения; 1 — сталь нелегированная с заданным коэффициентом старения);

третья — группу по основной нормируемой характеристике (8 — коэрцитивная сила);

четвертая и пятая — количественное значение основной нормируемой величины (коэрцитивной силы в целых единицах А/м).

Коэффициентом старения называется процент увеличения коэрцитивной силы после старения, у стали марок 11880, 21880, 11895 и 21895 не должен быть более 10%. Сталь марок 11864 и 21864 изготавливается с нормированным коэффициентом старения по соглашению с потребителем.

*Химический состав (не более) сортовой электротехнической
нелегированной стали*

Наименование элемента	Содержание, %, не более
Углерод	0,035
Марганец	0,3
Кремний	0,3
Фосфор	0,020
Сера	0,030
Медь	0,3

Сортамент, форма и размеры сортовой электротехнической стали должны соответствовать требованиям следующих стандартов: горячекатаной — ГОСТ 2591-71 и ГОСТ 4405-75, кованой — ГОСТ 1133-71 и ГОСТ 4405-75, калиброванной — ГОСТ 7417-75.

В зависимости от назначения горячекатаная и кованая сталь делится на подгруппы: а) для горячей обработки давлением, б) для механической обработки.

У тонколистовой электротехнической нелегированной стали в обозначении марок цифры означают:

первая — класс по структурному состоянию и виду прокатки (1 — горячекатаная изотропная, 2 — холоднокатаная изотропная);

вторая — содержание кремния (0 — содержание до 0,3% включительно нелегированная);

третья — группу по основной нормируемой величине (8 — коэрцитивная сила);

четвертая и пятая — количественное значение основной нормируемой величины для наиболее широко применяемой толщины листа или ленты (для восьмой группы значение коэрцитивной силы в целых числах, А/м, для всех толщин).

Химический состав тонколистовой электротехнической стали

Наименование элементов	Содержание элементов, % не более
Углерод	0,04
Кремний	0,3
Марганец	0,3

Сортамент листовой горячекатаной и холоднокатаной стали: толщина 0,5—3,9 мм и ширина от 500 до 750 мм. Горячекатаную сталь поставляют в листах, холоднокатаную — в листах и рулонах. По форме, размерам и предельным отклонениям листы и рулоны должны соответствовать требованиям ГОСТ 3680-57 и ГОСТ 8596-57.

Холоднокатаную ленту изготовляют толщиной от 0,1 до 2,0 мм. Размеры, форма и предельные отклонения по ним должны соответствовать требованиям ГОСТ.

Тонколистовая электротехническая легированная сталь изготовляется трех классов:

1 — холоднокатаная анизотропная (ГОСТ 21427.1-75),

2 — холоднокатаная изотропная (ГОСТ 21427.2-75),

3 — горячекатаная (ГОСТ 21427.3-75).

Классификация и марки электротехнической тонколистовой стали отражены в табл. 9-4.

Стали подразделяют на:

а) по структурному состоянию и виду прокатки на классы:

1 — холоднокатаная анизотропная с ребровой текстурой.

2 — холоднокатаная изотропная,

3 — горячекатаная изотропная;

б) по содержанию кремния на:

0 — с содержанием кремния до 0,4% (нелегированная),

1 — свыше 0,4 до 0,8%,

Таблица 9-4

Марки электротехнической тонколистовой стали

Марка стали		Класс	Содержание кремния, %	Группа	Тип стали
новая	старая				
1211 1212 1213	Э11 Э12 Э13	1	0,8—1,8	1	Горячекатаная изотропная (ГОСТ 21427.3-75)
1311 1312 1313	Э21 Э22 —		1,8—2,8		
1411 1412 1413	Э31 Э32 Э33		2,8—3,8		
1511 1512 1513 1514	Э41 Э42 Э43 Э43А		3,8—4,8		
1521	Э44			2	
1561 1562	Э45 Э46			6	
1571 1572	Э47 Э48			7	
2011 2012 2013	Э0100 Э0300 —	2	До 0,4	1	Холоднокатаная изотропная (ГОСТ 21427.2-75)
2111 2112	Э100 Э1000АА		0,4—0,8		
2211 2212	Э1300		0,8—1,8		
2311 2312	Э2200		1,8—2,8		

Продолжение табл. 9-4

Марка стали		Класс	Содержание кремния, %	Группа	Тип стали
новая	старая				
2411 2412	Э3100 —	2	2,8—3,8	1	Холоднокатаная изотропная (ГОСТ 21427.2.75)
3411 3412 3413 3414 3415 3416	Э310 Э320 Э330 Э330А — —	3	2,8—3,8		Холоднокатаная анизотропная (ГОСТ 21427.2.75)
3404 3405 3406	— — —				
3421 3422 3423 3424 3425	Э340 Э350 Э360 Э360А Э360АА				

2 — свыше 0,8 до 1,8%,

3 — свыше 1,8 до 2,8%,

4 — свыше 2,8 до 3,8%,

5 — свыше 3,8 до 4,8%.

Примечание. Химический состав стали не нормируется.

в) по основной нормируемой характеристике на группы:

0 — удельные потери при магнитной индукции 1,7 Тл и частоте 50 Гц ($p_{1,7/50}$);

1 — удельные потери при магнитной индукции 1,5 Тл и частоте 50 Гц ($p_{1,5/50}$);

2 — удельные потери при магнитной индукции 1,0 Тл и частоте 400 Гц ($p_{1,0/400}$) — для горячекатаной стали и удельные потери при магнитной индукции 1,5 Тл и частоте 400 Гц ($p_{1,5/400}$) — для холоднокатаной анизотропной стали;

6 — магнитная индукция в слабых магнитных полях при напряженности поля 0,4 А/м ($p_{0,4}$);

7 — магнитная индукция в средних магнитных полях при напряженности поля 10 А/м (p_{10}).

Сортамент и размеры трех классов электротехнической тонколистовой стали отражены в табл. 9-5.

Каждый класс стали подразделяют по определенным параметрам:

Холоднокатаную анизотропную сталь (3-й класс) подразделяют:

- а) по видам продукции на: лист, рулон, ленту резаную;
- б) по точности прокатки по толщине: нормальной точности — Н, повышенной точности — П;
- в) по неплоскостности на классы: 1 и 2;
- г) по виду покрытия: с электроизоляционным термостойким покрытием — ЭТ, с покрытием, не ухудшающим штампуемость, — М (мягкое), без электроизоляционного покрытия — БП;
- д) по коэффициенту заполнения стали с покрытием на группы: А и Б.

Холоднокатаную изотропную сталь подразделяют:

- а) по видам продукции на: лист, рулон, ленту резаную;
- б) по точности прокатки по толщине: нормальной точности — Н, повышенной точности — П;
- в) по неплоскостности на классы: 1 и 2;
- г) по термической обработке на: термически обработанную на магнитные свойства — ТО, без термической обработки на магнитные свойства — БТО;
- д) по типу покрытия: с термостойким электроизоляционным покрытием — ЭТ, с нетермостойким электроизоляционным покрытием — Э, без покрытия — БП;
- е) по коэффициенту заполнения на группы: А и Б.

Горячекатаную сталь подразделяют:

- а) по точности прокатки по толщине: нормальной точности — Н, повышенной точности — П;
- б) по неплоскостности на классы: 1 и 2;
- в) по состоянию поверхности: с травленной поверхностью — Т, с нетравленной поверхностью — НТ.

Все виды деформации технически чистого железа и низкоуглеродистой стали снижают их магнитные свойства. Для получения оптимальных магнитных свойств после механической обработки и различных технологических операций, приводящих к деформации, производят термическую обработку — отжиг по режиму: нагрев без доступа воздуха (вакуум 1—0,1 Па, или среда водорода, или ящики с песочным затвором) при температуре 900—1200°C с выдержкой 3—6 ч и последующим медленным охлаждением вместе с печью до 600°C.

Тонколистовая электротехническая легированная сталь

Электротехническая легированная сталь представляет собой сплавы железа, содержащие от 0,8 до 5,0% кремния, изготовленного в виде рулонов, листов и резаной ленты толщиной 1 мм и ниже. Легирование кремнием повышает удельное электрическое сопротивление, снижает потери на вихревые токи, увеличивает магнитную проницаемость, уменьшает коэрцитивную силу и потери на гистерезис.

Магнитные свойства электротехнической тонколистовой стали в зависимости от толщины отражены в табл. 9-6—9-9.

Таблица 9-5
Сортамент, размеры и отклонения по размерам электротехнической тонколистовой стали
(ГОСТ 21427.1-75—ГОСТ 21427.3-75)

Класс сплава	Вид продукции	Толщина, мм	Предельные отклонения по толщине стали при точности изготовления		Ширина, мм	Предельные отклонения по ширине для рулонов и по ширине и длине для листов, %, не более
			нормальной (Н)	повышенной (П)		
3—холоднокатаная анизотропная (ГОСТ 21427.1-75)	Рулоны	0,28; 0,30 0,35 0,50	$\pm 0,02$ $\pm 0,03$ $\pm 0,04$	$\pm 0,01$ $\pm 0,02$ $\pm 0,03$	750, 860, 1000	0,5
	Лист	0,35 0,50	$\pm 0,03$ $\pm 0,04$	$\pm 0,02$ $\pm 0,03$		
	Лента резаная	0,28; 0,30	$\pm 0,02$	$\pm 0,01$	170, 180, 190, 200, 240, 250;	$\pm 0,4$
		0,35	$\pm 0,03$	$\pm 0,02$		

		0,50	±0,04	±0,03	300, 325, 360, 400, 465, 500	±0,6
2—холодноката- тая изотропная (ГОСТ 21427.2-75)	Рулон	0,35 0,50 0,65	±0,03 ±0,04 ±0,05	±0,02 ±0,03 ±0,04	500, 530, 600, 670, 750, 860, 1000	0,5
	Лист	0,35 0,50 0,65	±0,03 ±0,04 ±0,05	±0,02 ±0,03 ±0,04	500, 750, 1000	
	Лента резаная	0,35 0,50 0,65	±0,03 ±0,04 ±0,05	±0,02 ±0,03 ±0,04	90, 95, 107, 123, 138, 140, 150, 187, 200, 215, 226, 300, 322, 325, 360, 400, 445, 500	При ширине: до 125±0,3 125—250±0,4 250—500±0,6
1—горячекатаная	лист	0,10 0,20; 0,22 0,35 0,50 0,65 1,00	±0,02 ±0,02 ±0,04 ±0,05 ±0,07 ±0,10	— — ±0,03 ±0,04 ±0,05 ±0,08	500, 530, 600, 670, 700, 750, 800, 860, 1000	Не более 1,0

Таблица 9-6

Магнитные свойства электротехнической тонколистовой стали

Марка стали	Толщина, мм	Удельные потери, Вт/кг, не более			Магнитная индукция, Тл, при напряженности магнитного поля, А/м, не менее						
		P _{1,0/50}	P _{1,5/50}	P _{1,7/50}	100	250	1000	2500	5000	10 000	30 000
Холоднокатаная анизотропная по ГОСТ 21427.1-75											
3411	0,50	1,10	2,45	3,20	—	—	—	1,75	—	—	—
	0,35	0,80	1,75	2,50	—	—	—	—	—	—	—
3412	0,50	0,95	2,10	2,80	—	—	—	1,85	—	—	—
	0,35	0,70	1,50	2,20	—	—	—	—	—	—	—
3413	0,50	0,80	1,75	2,50	—	—	—	—	—	—	—
	0,35	0,60	1,30	1,90	—	—	—	—	—	—	—
	0,30	—	1,19	1,75	—	—	—	—	—	—	—
3414	0,50	0,70	1,50	2,20	1,60	1,70	—	1,88	—	—	—
	0,35	0,50	1,10	1,60	—	—	—	—	—	—	—
	0,30	—	1,03	1,50	—	—	—	1,85	—	—	—
3415	0,35	0,46	1,05	1,50	1,61	1,71	—	1,90	—	—	—
	0,30	—	0,97	1,40	—	—	—	—	—	—	—
	0,28	—	0,95	1,38	—	—	—	—	—	—	—

3416	0,28	—	0,89	1,30	1,61	1,70	—	1,90	—	—	—
Холоднокатаная изотропная по ГОСТ 21427.2-75											
2011	0,65 0,50	3,8 3,5	9,0 8,0	— —	— —	— —	1,48 1,49	1,60	1,70	1,80	2,02
2012	0,65 0,50	3,6 2,9	8,0 6,5	— —	— —	— —	1,50	1,62	1,72	1,82	2,02
2013	0,65 0,50	3,1 2,5	7,0 5,6	— —	— —	— —	1,53 1,54	1,64 1,65	1,74 1,75	1,85	2,05
2111	0,65 0,50	4,3 3,5	10,0 8,0	— —	— —	— —	1,45 1,46	1,58	1,66 1,67	1,75 1,78	2,00
2112	0,65 0,50	3,5 2,6	8,0 6,0	— —	— —	— —	1,46	1,59 1,60	1,68	1,77	2,02
2211	0,65 0,50	3,0 2,6	7,0 5,8	— —	— —	— —	1,40	1,56	1,65	1,73 1,76	1,96 2,00
2212	0,65 0,50	2,6 2,2	6,3 5,0	— —	— —	— —	1,42	1,58 1,60	1,67 1,68	1,77	2,00
2311	0,65 0,50	2,5 1,9	5,8 4,4	— —	— —	— —	1,36 1,38	1,52 1,54	1,62 1,64	1,72 1,74	1,96

1312 1313	0,50 0,50	2,2 2,1	5,3 4,6	— —	— —	— —	— —	1,48 1,48	1,59 1,59	1,73 1,73	1,95 1,95
1411	0,50 0,35	2,0 1,6	4,4 3,6	— —	— —	— —	— —	1,46	1,57	1,71	1,92
1412	0,50 0,35	1,8 1,4	3,9 3,2	— —	— —	— —	— —	1,46	1,57	1,71	1,92
1413	0,50 0,35	1,55 1,35	3,5 3,0	— —	— —	— —	— —	1,48	1,59	1,73	1,94
1511	0,50 0,35	1,55 1,35	3,5 3,0	— —	— —	— —	1,30	1,46	1,57	1,70	1,90
1512	0,50 0,35	1,40 1,20	3,1 2,8	— —	— —	— —	1,29	1,45	1,56	1,69	1,89
1513	0,50 0,35	1,25 1,05	2,9 2,5	— —	— —	— —	1,29	1,44	1,55	1,69	1,89
1514	0,50 0,35	1,15 0,90	2,7 2,2	— —	— —	— —	1,29	1,44	1,55	1,69	1,89

Т а б л и ц а 9-7

Магнитные свойства стали марки 1521

Марка стали	Толщина, мм	Удельные потери, Вт/кг, не более		Магнитная индукция, Тл, не менее, при напряженности магнитного поля, А/м		
		0,75/400	1,0/400	500	1000	2500
1521	0,35	10,75	19,5	1,21	1,30	1,44
	0,22	8,0	14,0	1,20	1,29	1,42
	0,20	7,2	12,5			
	0,10	6,0	10,5	1,19	1,28	1,40

Примечание. Удельные потери проверяют при магнитной индукции 1,0 Тл, магнитную индукцию — при напряженности магнитного поля 2500 А/м. По требованию потребителя проверяют удельные потери при одном любом значении напряженности магнитного поля.

Т а б л и ц а 9-8

Магнитные свойства стали марок 1561 и 1562

Марки стали	Толщина, мм	Магнитная индукция, Тл, не менее, при напряженности магнитного поля, А/м		
		0,2	0,4	0,8
1561	0,35	0,00010	0,00022	0,00065
	0,20		0,00023	0,00060
1562	0,35	0,00012	0,00028	0,00076
	0,20		0,00030	0,00075

Примечание. Магнитную индукцию проверяют при напряженности магнитного поля 0,4 А/м. По требованию потребителя проверяют магнитную индукцию при одном любом значении напряженности магнитного поля.

Т а б л и ц а 9-9

Магнитные свойства стали марок 1571 и 1572

Марка стали	Толщина, мм	Магнитная индукция, Тл, не менее, при напряженности магнитного поля, А/м							
		10	20	50	70	100	200	500	1000
1571	0,20	0,030	0,10	0,38	0,58	0,66	0,90	1,18	1,29
	0,35	0,035	0,14	0,48	0,61	0,77	0,92	1,21	1,30
1572	0,20	0,040	0,17	0,57	0,62	0,74	1,02	1,20	1,29
	0,35	0,045			0,71	0,87		1,25	1,30

Примечание. Магнитную индукцию проверяют при напряженности магнитного поля 10 А/м. По требованию потребителя проверяют магнитную индукцию при двух любых значениях напряженности магнитного поля.

Электротехническая холоднокатаная изотропная сталь (ГОСТ 21427.1-75) поставляется в термически обработанном состоянии; изготавливается: толщиной 0,28; 0,30 и 0,35 мм — с электроизоляционным термостойким покрытием; толщиной 0,50 мм — без электроизоляционного термостойкого покрытия или с покрытием, не ухудшающим штампуемость.

Коэффициент старения стали (процент увеличения удельных потерь в образце после старения по сравнению с удельными потерями, приведенными в табл. 9-6) не должен превышать: для листов — 6%, для рулонов и ленты — 4%.

Термостойкое электроизоляционное покрытие стали должно удовлетворять следующим нормам:

толщина на одной стороне листа — не более 0,005 мм (5 мкм); электрическое сопротивление, приведенное к 1 см² поверхности, при давлении в контактах 0,5 МПа (5 кгс/см²) — не менее 150 Ом×см²;

сохранять электроизоляционные свойства после нагрева до 800°C в течение 3 ч в нейтральной атмосфере или после выдержки при температуре 820±10°C в течение 2,5 мин на воздухе;

не отслаиваться на наружной стороне при загибе образца;

быть нейтральным к трансформаторному маслу при 100°C и маслостойким при 150°C.

Коэффициент заполнения стали должен соответствовать табл. 9-10.

Таблица 9-10

Толщина, мм	Коэффициент заполнения не менее для стали		
	без покрытия	с покрытием	
		группа А	группа Б
0,28	—	0,95	0,94
0,30	—	0,96	0,95
0,35	—	0,97	0,96
0,50	0,98	—	0,97

Электротехническая холоднокатаная изотропная сталь (ГОСТ 21427.2-75) марок 2011, 2012 и 2013 поставляется: без термической обработки на магнитные свойства, а по соглашению потребителя с изготовителем — с термической обработкой; марок 2111, 2112, 2211, 2212, 2311, 2312, 2411 и 2412 в термически обработанном состоянии на магнитные свойства, а по требованию потребителя — без термической обработки; изготавливается с термостойким, нетермостойким электроизоляционным покрытием или без покрытия; сталь марок 2011, 2012 и 2013 должна иметь следующие показатели механических свойств:

предел прочности $\sigma_b = 300 \div 500$ Н/мм²,

относительное удлинение δ_4 не более 30%.

Для стали, поставляемой с дрессировкой, относительное удлинение δ_4 должно быть не более 35%.

Сталь других марок должна иметь предел прочности $\sigma_b = 280 \pm \div 650$ Н/мм² и относительное удлинение δ_4 не более 30%.

Коэффициент старения стали (процент увеличения удельных потерь в образце после старения по сравнению с удельными потерями, приведенными в табл. 9-11) не должен превышать значений, указанных в табл. 9-12.

Таблица 9-11

Содержание кремния в стали, %	Коэффициент старения
До 0,8	10
0,8—1,8	8
1,8—3,8	6 (для листов)
	4 (для рулонов)

Коэффициент заполнения стали должен соответствовать значениям, указанным в табл. 9-12.

Таблица 9-12

Толщина, мм	Коэффициент заполнения не менее для стали группы			
	А		Б	
	без покрытия	с покрытием	без покрытия	с покрытием
0,35	0,97	0,96	0,96	0,95
0,50 и 0,65	0,98	0,97	0,97	0,96

Электротехническая горячекатаная сталь поставляется в термически обработанном состоянии; листы из стали типов 141, 151, 152 и 157 изготовляют с травленной поверхностью. По требованию потребителя листы поставляют без травления.

Горячекатаные листы из стали типов 121 и 131 поставляют без травления, по соглашению изготовителя с потребителем они могут поставляться с травленной поверхностью.

Коэффициент старения стали (процент увеличения удельных потерь в образце после старения по сравнению с удельными потерями, приведенными в табл. 9-6 и 9-7) не должен превышать значений, указанных в табл. 9-13.

Таблица 9-13

Содержание кремния в стали, %	Коэффициент старения
От 0,8—1,8	8
От 1,8—3,8	6
От 3,8—4,8	3

Электротехнические стали с низким содержанием кремния, обладающие большими удельными потерями и низкой магнитной проницаемостью, имеют большую намагниченности насыщения. Их следует применять в электрической аппаратуре, работающей на постоянном или переменном токе низкой частоты при высоких значениях индукции (выше 1,5 Тл).

Электротехнические стали с высоким содержанием кремния следует применять в тех случаях, когда требуются малые потери на гистерезис и вихревые токи или высокая магнитная проницаемость в слабых и средних полях. Холоднокатаные текстурованные стали обладают более высокой проницаемостью в области слабых полей и более низкими удельными потерями по сравнению с горячекатаными сталями.

Электротехническая сталь очень чувствительна к деформациям. Наклеп, возникающий при изготовлении деталей, значительно ухудшает ее магнитные свойства. Поэтому после различных, сопровождаемых наклепом операций (резки, штамповки и т. д.) необходим отжиг. Отжиг производят в неокислительной среде при температуре 750—800° С.

Магнитно-мягкие прецизионные сплавы

Магнитно-мягкие прецизионные сплавы (ГОСТ 10160-75), обладающие высокой магнитной проницаемостью и малой коэрцитивной силой, представляют собой нелегированные и легированные двойные железоникелевые, железокобальтовые и железохромистые и тройные железоникелекобальтовые сплавы.

В зависимости от основных свойств сплавы изготовляют групп и марок, указанных в табл. 9-14.

Таблица 9-14

Группа	Марка	Основные свойства
1	79НМ, 80НХС,	Наивысшая магнитная проницаемость в слабых полях
2	81НМА, 83НФ 50НХС	Высокая магнитная проницаемость и повышенное удельное электросопротивление
3	45Н, 50Н	Повышенная магнитная проницаемость и повышенная индукция технического насыщения
4	50НП, 68НМП, 34НҚМП, 35НҚХСП, 40НҚМП, 79НМП, 77НМДП, 65НП	Прямоугольная петля гистерезиса. Сплавы обладают анизотропией магнитных свойств
5	47НҚ, 47НҚХ, 64Н, 40НҚМ	Низкая остаточная магнитная индукция и постоянство магнитной проницаемости. Сплавы обладают анизотропией магнитных свойств
6	79НЗМ, 68НМ	Высокая магнитная проницаемость при однополярном намагничивании. Сплавы обладают анизотропией магнитных свойств
7	16Х, 36КНМ	Высокая коррозионная стойкость

Таблица 9-15

Магнитные свойства сплавов с наивысшей магнитной
проницаемостью в слабых полях

Марка сплава	Вид продукции	Класс	Толщина или диаметр, мм	Начальная проницаемость		Максимальная проницаемость	Коэрцитивная сила, А/м	Индукция технического насыщения, Тл
				мГн/м				
79НМ	Холоднокатаные ленты	I	0,005	8,8	38	8,0	0,75	
			0,01	17,5	75	5,6		
			0,02	20	88	4,0		
			0,05; 0,08	20	110	3,2		
			0,10; 0,15	25	150	2,4		
	Холоднокатаные листы и ленты		0,20; 0,25	28	160	1,6		
			0,35; 0,50 0,8; 1,0	31	190			
			1,5; 2,0; 2,5	28	160			
	Холоднотянутая проволока		0,05—0,10	6,3	50	6,4		
	Горячекатаные листы		3—22					
				25	100	3,2		
	Прутки		8—100					
79 НМ (79НМУ)	Холоднокатаные ленты	II	0,005	12,5	44	6,4	0,73	
			0,01	20	110	3,2		
			0,02	25	125	2,4		
			0,05; 0,08		150	1,6		
			0,10; 0,15	28	190	1,2		
			0,20; 0,25	31	230			
			0,35; 0,5; 0,8; 1,0	38	280	1,0		
			1,5; 2,0	31	230	1,2		

Продолжение табл. 9-15

Марка сплава	Вид продукции	Класс	Толщина или диаметр, мм	Начальная проницаемость		Максимальная проницаемость	Коэффициентная сила, А/м	Индукция технического насыщения, Тл	
				мГн/м					
79НМ	Холоднокатаные ленты	III	0,01	25	150	2,4	0,73		
			0,02	31	190	1,6			
			0,05 0,10	38	250	1,2			
			0,20; 0,25 0,35	44	280 310	1,0			
80НХС		I	0,005	10	38	8,0	0,63		
			0,01	17,5	65	5,6			
			0,02	23	88	4,0			
			0,05; 0,08	25	110	3,2			
			0,10; 0,15	28	150	2,4			
			0,20; 0,25	35	160	1,6			
			0,35; 0,50	44	190	1,2			
			0,8; 1,0	38	210	1,0			
			1,5; 2,0; 2,5	31	190	1,2			
			Горячекатаные листы		3—22				
				25	88	3,2			
	Прутки		8—100						
	Холоднокатаные ленты	II	0,02	28	125	3,2			
			0,05; 0,08	38	190	1,6			
			0,10; 0,15	40	200	1,2			
			0,2; 0,25 0,35; 0,50	44	250	1,0			
			0,01	31	110	3,2			
			0,02	38	150	1,6			
			0,05; 0,08 0,10	50 56	250	1,0			
			0,35; 0,50	63	340	0,8			

Примечание. Проволока из сплава 79НМ диаметром 0,2—5,0 мм поставляется по химическому составу.

Таблица 9-16

Магнитные свойства сплава марки 81НМА при намагничивании
в постоянных и переменных токах

Вид продукции	Класс	Толщина или диаметр, мм	Магнитная проницае- мость в поле 0,08 А/м		Максимальная маг- нитная проницае- мость	Коэрцитивная сила H _c , А/м	Индукция технического насыщения, Тл	Амплитудная магнитная проницаемость в поле 0,1 А/м на частотах, мГц/м			
			мГн/м					1 кГц	10 кГц	100 кГц	1 МГц
Холоднока- танные ленты	I	0,02 0,05 0,1	63	—	—	0,50	—	—	—	—	
		0,2 0,35 0,5	88	310	1,2		—	—	—	—	
		1,0 1,5 2,0	63	250	1,2	0,50	—	—	—	—	
Прутки	10— 50	50	190	1,6	—		—	—	—		
Холоднока- танные ленты	II	0,02 0,05	63	190 250	2,0 0,8	0,50	— —	56 23	23 5	3,8 1	
		0,1 0,2	88	310	0,64		44 19	11 5	— —	— —	
Холоднотя- нутая прово- лока		0,05	12,5	63	4,8	0,50	—	—	—	—	
Холоднока- танные ленты	III	0,02 0,05	88 125	210 380	1,6 0,56	0,50	88 100	75 28	25 6	4,4 1,2	
		0,1 0,2	150	440	0,4		56 25	14 7	— —	— —	
Холоднотя- нутая прово- лока		0,05	25	94	3,2	0,50	—	—	—	—	

Таблица 9-17
Магнитные свойства сплава марки 83НФ при намагничивании
в постоянных и переменных токах

Вид продукции	Класс	Толщина, мм	Магнитная проницаемость в поле для частоты			Температурный коэффициент проницаемости, %/°С, при температуре, °С			Индукция технического насыщения, Гл, не менее		
			0 Гц	1 кГц	15 кГц	от 20 до 80	от —20 до 20	от —40 до 20			
не менее			не более								
Холоднокатаные ленты	I	0,02	44	—	31	—	—	—	0,60		
		0,05	50	—	—	—	—	—			
		0,10	63	31	—	—	—	—			
	II	0,02	44	—	31	0,3	0,5	0,7	0,60		
		0,05	50	—	—	0,5		0,8			
		0,10	63	38	—						
	III	0,02	63	—	44	0,5	—	0,8	0,60		
		0,05	75	—	—						
		0,10	88	56	—						

Таблица 9-18
Магнитные свойства сплава марки 50НХС с высокой магнитной
проницаемостью и повышенным удельным электрическим
сопротивлением

Вид продукции	Класс	Толщина, мм	Начальная магнитная проницаемость	Максимальная проницаемость	Коэрцитивная сила, А/м, не более	Индукция технического насыщения, Тл, не менее
			мГн/м, не менее			
Холоднокатаные ленты	I	0,005	1,25	10	56	1,00
		0,01	1,6	12,5	40	
		0,02	1,9	19	20	
		0,05; 0,08	2,5	25	16	
		0,1; 0,15	3,1	31	13	
		0,2; 0,25	3,8	35	10	
		0,35; 0,5	4,0	38	8	
		0,8; 1,0	3,8	25	10	
	II	0,02; 0,05	3,8	31	12	
		0,1; 0,2; 0,25	3,9	35	10	
		0,35; 0,5	4,4	44	8	

Таблица 9-19

Магнитные свойства сплавов с высокой магнитной проницаемостью и повышенной индукцией технического насыщения

Марка сплава	Вид продукции	Класс	Толщина или диаметр, мм	Начальная магнитная проницаемость		Максимальная магнит- ная проницаемость	Коэрцитивная сила, А/м, не более	Индукция технического насы- щения, Тл, не менее
				МГн/м	МГн/м			
				Не менее				
50Н	Холоднока- танные ленты	I	0,05; 0,08	2,5	25	20	1,50	
			0,10; 0,15	2,9	31	16		
			0,20; 0,25	3,3	38	12		
			0,35; 0,50	3,8	44	10		
			0,80; 1,0	3,8	38	12		
	1,5; 2,0; 2,5	3,5	11	13				
	Горячека- танные листы		3—22	3,1	25	24		
	Прутки		8—100	3,1	25	24		
50Н (50НУ)	Холоднока- танные ленты	II	0,10; 0,15 0,20; 0,25 0,35; 0,50 0,80; 1,0 1,5; 2,0	3,8 4,4 5,0 5,0 3,8	38 44 56 50 44	14 12 10 10 12		
50Н	Холоднока- танные ленты	III	0,05; 0,10; 0,20	12,5*	75	0,4	1,52	
45Н	Холоднока- танные ленты	I	0,10; 0,15	2,5	25	24	1,50	
			0,20; 0,25	0,1	29	20		
			0,35; 0,50					
			0,8; 1,0; 1,5	3,5	31	16		
			2,0; 2,5					
		Горячека- танные листы		3—22	2,5	23		24
	Прутки		8—100	2,5	23	24		

* Значение магнитной проницаемости для холоднокатаной ленты из сплава марки 50Н приведено для поля напряженностью 0,04 А/м.

Таблица 9-20

Магнитные свойства сплавов с прямоугольной петлей гистерезиса
(холоднокатаные ленты)

Марка сплава	Класс	Толщина, мм	Максимальная магнитная проницае- мость, мГ/м, не менее	Коэрцитивная сила, А/м, не более	Индукция техничес- кого насы- щения, Тл	Коэффици- ент прямо- угольности в поле 800 А/м
					не менее	
50НП	I	0,005	19	40	1,50	0,80
		0,01	25	32		0,83
		0,02	50	20		0,85
		0,05; 0,10		18		
50НП (50НПУ)	II	0,01	44	20		0,87
		0,02	75	15		0,92
		0,05; 0,10	—	—		0,90
50НП	III	0,01	75	15	1,52	0,91
		0,02	95	13		0,94
		0,05	100	11		
34НКМП	I	0,005	19	80	1,50	0,90
		0,01	44	24		0,92
		0,02	50	16		0,90
		0,05	75	12		0,87
		0,10	125	8		0,85
		0,20; 0,25; 0,35; 0,50	150	6,4		0,85
		0,01	50	16		0,92
		0,02	80	11		0,94
		0,05	94	10		0,92
		0,10	160	6,4		0,90
		0,20; 0,25; 0,35; 0,50	230	6,4		0,90
35НКХСП	I	0,005	19	80	1,30	0,90
		0,01	38	24		
		0,02	50	16		0,85
		0,05	75	12		
		0,10	125	8		
		0,20; 0,25; 0,35; 0,50	150	6,4		0,80

Продолжение табл. 9-20

Марка сплава	Класс	Толщина, мм	Максимальная магнитная проницае- мость, мГн/м; не менее	Коррелятивная сила, А/м, не более	Индукция техничес- кого насы- щения, Тл	Коэффици- ент прямо- угольности в поле 800 А/м
					не менее	
35НҚХСП	II	0,01	63	16	1,30	0,92
		0,02	100	8		
		0,05	250	4,8		
		0,10; 0,20;	380	4,0		
		0,25; 0,35; 0,50				
40НҚМП	I	0,01	125	6,4	1,35	0,93
		0,02	250	4,0		
		0,05	380	3,2		
		0,10	500	2,4		
	II	0,01	250	4,8		0,94
		0,02	500	2,4		
		0,05	625	1,6		
		0,10	750	1,6		
	III	0,02	125	8,0	1,15	0,90
		0,05	250	5,6		
		0,10; 0,20	280	4,0		
		0,02	250	4,0		
		0,05	500	3,2		
		0,10; 0,20	750	2,4		
65НП	I	0,02	88	6,4	1,30	0,90
		0,05	125	3,2		
		0,10	250	2,8		
		0,20	310	2,4		
		0,35; 0,50	380	2,4		

Примечание. Сплав марки 40НҚМП изготавливают методом вакуум-ной выплавки.

Таблица 9-21

Магнитные свойства сплава толщиной 0,003 мм с прямоугольной петлей гистерезиса (холоднокатаные ленты)

Марка сплава	Класс	Коэрцитивная сила, А/м	Остаточная индукция, Тл	Коэффициент прямоугольности в поле $5 H_c$, А/м
79НМП	I	9,6	0,6	0,90
77НМДП	I	7,2	0,5	

Таблица 9-22

Магнитные свойства сплавов с низкой остаточной индукцией и постоянством магнитной проницаемости (холоднокатаные ленты)

Марка сплава	Класс	Толщина, мм	Начальная магнитная проницаемость, мГн/м, не менее	Отношение максимальной магнитной проницаемости к начальной	Коэффициент прямоугольности в поле 800 А/м	Температурный коэффициент магнитной проницаемости в интервале температур от -60 до $+120^{\circ}\text{C}$, $\% \cdot ^{\circ}\text{C}^{-1}$	
						начальный	максимальный
47НК	I	0,01 0,02 0,10	1,1	1,15	0,05	0,06	0,06
	II	0,01 0,02 0,10	1,4	1,15	0,05	0,06	0,06
47НКХ	I	0,02 0,10	1,9	1,2	0,05	0,03	0,03
64Н	I	0,01 0,02 0,10	2,5	1,2	0,07	0,06	0,06
	II	0,01 0,02 0,10	2,7	1,2	0,07	0,06	0,06
40НКМ	I	0,01 0,02 0,10	2,3	1,2	0,07	—	—

Примечания: 1. Сплав марки 40НКМ изготавливают методом вакуумной выплавки.

2. Температурный коэффициент предприятие-изготовитель может не проверять.

Таблица 9-23

Магнитные свойства сплавов с высокой магнитной проницаемостью при однополярном импульсном намагничивании (холоднокатанные ленты)

Марка сплава	Класс	Толщина, мм	Импульсная проницаемость		Коэффициент прямоуг- ольности в поле 800 А/м	Температурный коэффициент импульсной проницаемости в интервале температур от -60 до +60° С, %·°С ⁻¹
			в поле 20 А/м	в поле 80 А/м		
			не менее		не более	
79НЗМ	I	0,005	6,5	—	0,45	0,25
		0,01	8,8	—	0,30	
		0,02	10	—	0,25	
68НМ	I	0,02	—	7,5	0,20	0,25

Примечание. Сплавы изготавливают методом вакуумной выплавки.

Таблица 9-24

Магнитные свойства сплавов с высокой коррозионной стойкостью

Марка сплава	Вид продукции	Класс	Толщина или диаметр, мм	Максимальная магнитная проницаемость мГ/н/м	Индукция, Тл, при напряженности магнитного поля, А/см				Коэффициент сила, А/м, не более
					B_1	B_{10}	B_{25}	B_{100}	
					не менее				
16Х	Холоднокатаные листы и ленты	I	0,20; 0,35	—	0,6	—	1,2	1,45	64
			0,50						
			1,0; 1,5						
	Горячекатаные листы	I	4—12						
	Прутки		10—120						
36КНМ	Прутки	II	10—120	—	0,6	—	1,2	1,45	24
	Прутки	III							
36КНМ	Прутки	I	15—80	5,6	—	1,3	1,45	—	56
	Прутки	II		7,5			—	1,45	—

Примечание. Сплав марки 16Х изготавливают методом вакуумной выплавки.

Таблица 9-25

Размеры холоднокатаной ленты и предельные отклонения
по толщине

Толщина, мм	Предельные отклонения по толщине, мм (мкм)	Ширина, мм	Длина ленты, м, не менее
0,0015	$\pm 0,00015$ (0,15)	20, 30, 40	10
0,002	$\pm 0,0002$ (0,20)	20, 30, 40	10
0,003	$\pm 0,0003$ (0,30)	20, 30, 40	10
0,005	$\pm 0,0005$ (0,50)	30, 40, 70, 80, 90, 100	10
0,01	$\pm 0,001$ (1,0)	70, 80, 90, 100	20
0,02	$-0,003$ (3,0)	70, 80, 90, 100	30
0,05	$-0,008$ (8,0)	70, 80, 90, 100, 150, 200, 250	30
0,08	$-0,01$ (10,0)	80, 90, 100, 150, 200, 250	20
0,10	$-0,02$ (20,0)	80, 90, 100, 150, 200, 250	20
0,15	$-0,02$ (20,0)	80, 90, 100, 150, 200, 250	20
0,20	$-0,03$ (30,0)	80, 90, 100, 150, 200, 250	20
0,25	$-0,03$ (30,0)	80, 90, 100, 150, 200, 250	20
0,35	$-0,04$ (40,0)	80, 90, 100, 150, 200, 250	10
0,50	$-0,05$ (50,0)	80, 90, 100, 150, 200, 250	6
0,80	$-0,07$ (70,0)	100, 150, 200, 250	1
1,0	$-0,09$ (90,0)	100, 150, 200, 250	1
1,5	$-0,11$ (110)	100, 150, 200, 250	1
2,0	$-0,13$ (130)	100, 150, 200, 250	1
2,5	$-0,16$ (160)	250	1

Таблица 9-26

Режимы термической обработки магнитно-мягких сплавов

Марка сплава	Среда отжига	Температура и скорость нагрева	Время выдержки, ч	Скорость охлаждения
45Н 50Н 79НМ 50НП	Вакуум ¹ или водород ²	1125±25°С, не более 500°С/ч	3—6	До 600°С не более 200°С/ч, от 600 до 200°С не менее 400°С/ч
34НКМП 35НКХСП 40НКМП		Двойная термообработка: 1) отжиг 1125±25°С, не более 500°С/ч; 2) отпуск при 600°С в продольном магнитном поле ³	3 0,5—4	До 600°С не более 200°С/ч, До 200°С 25—100°С/ч
50НХС 80НХС		1125±25°С, не более 500°С/ч	3—6	До 400—500°С не более 200°С/ч, от 400 до 200°С не менее 400°С
81НМА	Вакуум	1100±20°С, не более 500°С/ч	3	До 600°С не более 200°С/ч, от 600 до 400°С не менее 400°С/ч, от 400°С с произвольной скоростью до T=100°С
81НМА ⁴		850±25°С, не более 500°С/ч		
81НМА ⁵		1000±25°С, не более 500°С/ч		

83НФ	Вакуум или водород	$1100 \pm 20^\circ\text{C}$	3	До 600°C не более 200°C/ч , от 600 до 350°C $20-60^\circ\text{C/ч}$, от 350°C произвольно в ва- кууме или водороде до ? менее 150°C
79НМП	Вакуум	$960 \pm 20^\circ\text{C}$ для толщины $0,003$ мм $950 \pm 20^\circ\text{C}$ для толщины $0,02$ мм	2	До 150°C не более 250°C/ч , далее произвольно
77НМДП			1,5	
40НКМ	Вакуум или водород	Двойная термообработка: 1) отжиг $1100 \pm 20^\circ\text{C}$, не более 500°C/ч 2) отпуск в поперечном поле $550-600^\circ\text{C}$	3	До 600°C не более 200°C/ч
47НК			0,5—1	До 350°C $30-50^\circ\text{C/ч}$, далее с выключенной печью
	Вакуум или водород	Двойная термообработка: 1) стжиг $1000 \pm 20^\circ\text{C}$, не более 500°C/ч 2) отпуск в поперечном поле $550-600^\circ\text{C}$	3	То же
			0,5—1	

Продолжение табл. 9-27

Марка сплава	Среда отжига	Температура и скорость нагрева	Время выдержки, ч	Скорость охлаждения
47НХХ	Вакуум или водород	Двойная термообработка: 1) отжиг $1100 \pm 20^\circ\text{C}$, не более $500^\circ\text{C}/\text{ч}$ 2) отпуск в поперечном поле $550-600^\circ\text{C}$	3 0,5—1	До 600°C не более $200^\circ\text{C}/\text{ч}$ До 350°C $70-100^\circ\text{C}/\text{ч}$, да- лее с выключенной печью
		Двойная термообработка: 1) отжиг $1100 \pm 20^\circ\text{C}$, не более $500^\circ\text{C}/\text{ч}$ 2) отпуск в поперечном поле $550-600^\circ\text{C}$	3 0,5—1	До 600°C не более $200^\circ\text{C}/\text{ч}$ До 500°C $50^\circ\text{C}/\text{ч}$, от 500 до 380°C $10^\circ\text{C}/\text{ч}$, далее с выключенной печью
68НМ	Вакуум	Двойная термообработка: 1) отжиг $1100 \pm 20^\circ\text{C}$, не более $500^\circ\text{C}/\text{ч}$ 2) отпуск в поперечном поле $550-600^\circ\text{C}$	3 0,5—1	До 600°C не более $200^\circ\text{C}/\text{ч}$ До 200°C $200-300^\circ\text{C}/\text{ч}$
		Двойная термообработка: 1) отжиг $1100 \pm 20^\circ\text{C}$, не более $500^\circ\text{C}/\text{ч}$	3	До 600°C не более $200^\circ\text{C}/\text{ч}$

70НЗМ	Вакуум	2) отпуск в поперечном поле 460—480°C/ч	0,5—1	До 380°C: 15—20°C/ч для толщины 0,02 мм, 10—15°C/ч для 0,01 мм, 5—10°C/ч для 0,005 мм, далее с выключенной печью
16Х	Вакуум или водород	1200°C	4	До 750°C 100°C/ч, до 200°C не менее 200°C/ч
36КНМ		1100°C	10	До 700°C 100°C/ч, далее до 200°C не менее 200°C/ч

¹ Вакуум с остаточным давлением 10^{-2} Па.

² Водород с точкой росы не выше -40°C.

³ Напряженность поперечного магнитного поля должна быть достаточной для достижения технического насыщения сплава при температуре отпуска.

⁴ Проволока класса II из сплава марки 81НМА.

⁵ Проволока класса III из сплава марки 81НМА.

П р и м е ч а н и я: 1. Для сплавов марок 50Н и 50НП класса III рекомендуется термообработку проводить в вакууме.
2. Для обеспечения скорости охлаждения ниже 600°C допускается наполнение или продувка печи инертным газом.
3. Время выдержки устанавливается в зависимости от размера и массы садки.
4. При отжиге сплавов марок 50Н, 79НМ, 35НКХСЛ, 40НКМП, 68НМП и 80НХС класса III температура отжига может быть повышена до 1200°C.

5. При отжиге сплавов марок 34НКМП, 35НКХСП, 40НКМП, 68НМП допускается совмещение отжига с отпуском в продольном магнитном поле.

6. Для образцов, изготовленных из ленты толщиной 0,01 и 0,005 мм и проволоки диаметром менее 0,10 мм, допускается снижение температуры отжига на 100°C.

7. Для повышения уровня свойств сплава марки 50НП после высокотемпературного отжига рекомендуется проводить термомагнитную обработку по режиму, приведенному для сплава марки 34НКМП.

8. По согласованию сторон допускается применять другие режимы термической обработки образцов.

Таблица 9-27

Основные физические и механические свойства сплавов

Марка сплава	Плотность γ , кг/м ³	Удельное электрическое сопротивление ρ , мКОМ·м	Температура точки Кюри, °С	Магнитострикция насыщения λ_s , 10 ⁶	Твердость по Бринеллю H_B	Предел прочности σ_B , кг/мм ²	Предел текучести σ_T , кг/мм ²	Модуль нормальной упругости E , кН/мм ²	Относительное удлинение δ_s , %	Относительное сжатие ψ , %
79НМ	8600	0,55	430	2	210/120	105/15	100/15	210	3/50	—
80НХС	8500	0,62	330	—	240/130	95/55	90/15	—	4/40	15/—
83НФ	8700	0,70	360	0,5	—	95/50	—/15	220	2/45	—
81НМА	8700	0,80	260	0,5	260/160	130/65	125/25	210	2/50	—
50НХС	8200	0,90	360	—	190/125	90/50	85/15	—	2/40	—
45Н	8200	0,54	450	25	170/130	75/—	75/—	200	3/—	15/—
50Н	8200	0,45	580	25	170/130	80/45	70/15	160	3/35	15/60
50НП	8200	0,45	500	—	170/130	80/45	70/15	160	3/35	15/60
68НМП	8400	0,45	580	—	230/120	95/55	—/15	—	3/50	5/—
34НКСМП	8500	0,50	580	—	155/130	95/55	90/—	—	4/40	5/40
35НКСХСП	8400	0,60	560	—	170/130	90/50	90/15	170	4/40	—
40НКСМП	8550	0,55	580	12	—/100	100/55	100/15	180	4/50	—
65НП	8350	0,25	600	20	200/130	90/55	90/15	190	3/40	10/—
77НМДП	8600	0,55	350	—	230/110	100/55	100/15	—	2/40	—
47НКС	8400	0,20	700	14	160/130	90/50	—/15	200	3/40	—
47НКСХ	8350	0,48	600	—	170/130	90/50	—	—	3/35	—
64Н	8350	0,20	600	20	200/130	90/55	90/15	190	3/40	10/—
79НЗМ	8600	0,50	460	2	210/120	105/50	100/15	210	3/50	—
16Х	7750	0,44	680	25	185/—	40/25	—/20	220	5/25	—/65
36КНМ	8200	0,48	570	—	170/—	—/50	—/25	—	—/45	—/70

Примечание. Значения механических свойств, указанные в числителе, определялись для ленты в нагартованном состоянии, в знаменателе — в состоянии после термической обработки.

Скорость коррозии для сплава 16Х в аммиаке — 0,002 мм/год; в 40%-ном растворе КОН при температуре до 110°С — 0,0007 мм/год; в паровой фазе продукта «Меланж» — 0,002 мм/год; для сплава 36КНМ в морской воде — 0,014 мм/год.

В зависимости от уровня магнитных свойств сплавы поставляют трех классов: I — с нормальными магнитными свойствами; II — с повышенными магнитными свойствами; III — с высокими магнитными свойствами.

Сплавы изготовляют в виде холоднокатаных лент, холоднокатаных и горячекатаных листов, горячекатаных и кованых прутков и проволоки. Сортамент для каждого сплава приведен в табл. 9-15—9-24.

Размеры холоднокатаной ленты и предельные отклонения по толщине должны соответствовать указанным в табл. 9-25.

Химический состав сплавов должен соответствовать ГОСТ 10994-74, сплава марки 81НМА — ГОСТ 10994-74.

Листы, ленты, прутки и проволоку поставляют без термической обработки.

Поверхность горячекатаных и кованых прутков должна соответствовать требованиям ГОСТ 5949-75.

Магнитные свойства сплавов, определенные на контрольных образцах после их термической обработки, должны соответствовать указанным в табл. 9-26, 9-27.

Альсиферы. Сплавы Al-Si-Fe обладают высокой магнитной проницаемостью и высоким удельным сопротивлением, но в отличие от пермаллоев тверды (45—50 H_{RC}) и хрупки (легко размалываются в порошки). Альсифер обладает хорошими литейными качествами. Поэтому его применяют в виде фасонных тонкостенных отливок, что определяет область применения альсифера для магнитных экранов, корпусов приборов и аппаратов, фасонных деталей магнитопроводов и других изделий, работающих в постоянных магнитных полях. Оптимальный состав альсифера: 5,4% Al, 9,6% Si, остальное — Fe. Сплав этого состава имеет свойства:

$$\mu_{нач} = 35\,000; \quad \mu_{max} = 117\,000;$$

$$B_r = 0,335 \text{ Тл}; \quad H_c = 18,3 \text{ А/м};$$

$$\mu_0 M_s = 1,1 \text{ Тл}; \quad \rho = 0,81 \text{ мкОм} \cdot \text{м}.$$

9-3. МАТЕРИАЛЫ ДЛЯ КОНЦЕНТРАТОРОВ МАГНИТНОГО ПОТОКА

Железokoбальтовые сплавы

Среди магнитно-мягких сплавов сплавы на железokoбальтовой основе известны как самые сильные ферромагнетики. Намагниченность насыщения некоторых сплавов при 20°C превосходит 2,4 Тл и при увеличении температуры остается значительно выше намагниченности насыщения всех других известных ферромагнетиков. На рис. 9-1 приведены изотермы намагниченности насыщения железokoбальтовых сплавов от состава. При комнатной температуре максимум намагниченности насыщения пологий, приходится на область сплавов с 35% Со. В диапазоне температур 900—950°C, ког-

да железо становится неферромагнитным, железокобальтовые сплавы обладают еще достаточно высокой намагниченностью насыщения (1,9—1,6 Тл). Максимум намагниченности сдвигается к сплавам с 40—50% Со [9-3, 9-4].

В системе Fe-Со аналогично системе железо — никель константа магнитной кристаллической анизотропии меняет знаки. Сплавы с 48—49% Со магнитно-изотропны и обладают самой выпуклой

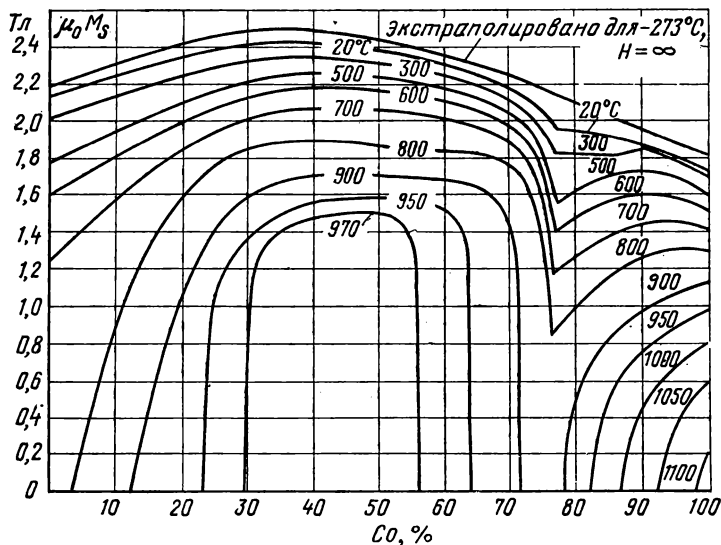


Рис. 9-1. Зависимость индукции намагниченности насыщения железокобальтовых сплавов от состава и температуры.

кривой намагничивания и самой высокой проницаемостью при высоких индукциях. Техническое насыщение сплава $\mu_0 M_s = 2,39$ Тл достигается в поле 30 А/см (рис. 9-2) [9-5, 9-6].

На рис. 9-3 и 9-4 представлены кривые намагничивания бинарных сплавов с содержанием 25 и 35% Со, а на рис. 9-5 для сравнения — кривая намагничивания чистого железа. Все сплавы и чистое железо выплавлены в одних и тех же условиях и прошли одинаковую технологическую обработку. Кривые намагничивания снимали на отожженных тороидальных образцах, выточенных из поковок.

Бинарные железокобальтовые сплавы отличаются повышенной хрупкостью, затрудняющей холодную деформацию сплавов. Для снижения хрупкости и облегчения обработки бинарные сплавы легируют 0,3—0,5% Сг или 1—2% V. Это приводит к уменьшению индукции намагниченности насыщения на 0,05—0,1 Тл, но одно-

временно в 3—8 раз возрастает удельное сопротивление, что позволяет использовать сплавы для работы в переменных магнитных полях.

В настоящее время во всем мире выпускаются под названиями: гиперко, гиперм, пермендюр, супермендюр, фимакс и др. несколько

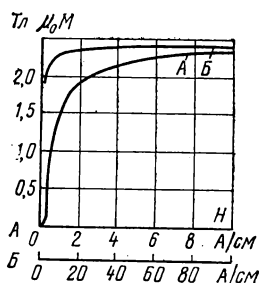


Рис. 9-2. Кривая индукции намагниченности железокальцевого сплава с 49% (массовых) Со. Выплавка и отжиг в атмосфере водорода.

$$\mu_0 M_s = 2,39 \text{ Тл}, H_c = 0,44 \text{ А/см}.$$

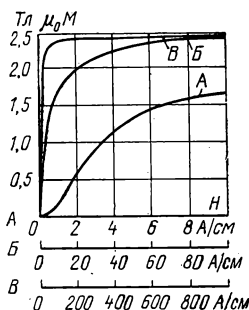


Рис. 9-3. Кривая индукции намагниченности железокальцевого сплава с 35% (массовых) Со. Выплавка и отжиг в атмосфере водорода.

$$\mu_0 M_s = 2,41 \text{ Тл}, H_c = 0,75 \text{ А/см}.$$

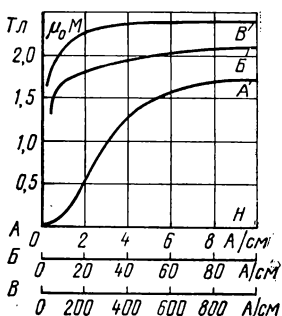


Рис. 9-4. Кривая индукции намагниченности железокальцевого сплава с 25% (массовых) Со. Выплавка и отжиг в атмосфере водорода.

$$\mu_0 M_s = 2,39 \text{ Тл}, H_c = 1,12 \text{ А/см}.$$

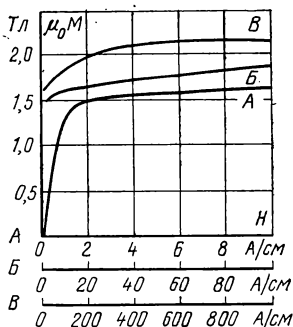


Рис. 9-5. Кривая индукции намагниченности чистого железа 99,99%. Выплавка и отжиг в атмосфере водорода.

$$\mu_0 M_s = 2,15 \text{ Тл}, H_c = 0,27 \text{ А/см}.$$

Таблица 9-28
Химический состав, сортament, режимы термической обработки и рекомендуемые области применения железобетонных сплавов с высоким магнитным насыщением

Марка сплава	Основной химический состав, %	Сортament	Режимы термической обработки	Рекомендуемые области применения
27KX	26,5—28,0 0,5 Cr	Поковки, прутки до диаметром 50 мм	Вакуум или водород, 1100°C, выдержка 3 ч, охлаждение 100°C/ч до 800°C, далее с печью	Магнитопроводы с высокой плотностью потока, работающие в средних и сильных постоянных магнитных полях и подвергающиеся механическим нагрузкам. Возможна рабочая температура до 850°C
		Холоднокатаные листы и ленты толщиной 0,2; 0,35 и 0,7 мм, шириной до 200 мм	Вакуум или водород, 850°C, выдержка 3 ч, охлаждение с печью	
49K2Ф	48,0—49,5 1,3—1,7 V	Поковки, прутки до диаметром	Вакуум или водород, 1100°C, выдержка 3 ч, охлаждение	Магнитные экраны, магнитопроводы, полюсные наконечники

49К2ФВИ (пермен- дюр)	48,0—49,5 1,7—2,0 V Co,	50 мм	лаждение 100°C/ч до 800°C, далее с печью	ки, работающие в слабых и средних магнитных полях, не подвергающихся механическим нагрузкам. Возможна рабочая температура до 800°C
		Холоднокатаные листы, лента тол- щиной 0,1; 0,2; 0,35; 0,7 мм, шири- ной до 130 мм	Вакуум или водород, 800—820°C, выдержка 1 ч, далее с печью или в контей- нере на воздухе (600°C/ч)	Телефонные мембраны, силовые магнитострикционные преобра- зователи, трансформаторы, ста- торы электродвигателей с вы- сокой удельной мощностью, ра- ботающие в переменных и по- стоянных полях
		Проволока диамет- ром 0,10—0,15 мм, плотная лента толщиной 0,05 мм	Вакуум или водород, 700°C, выдержка 1 ч, ок- лаждение с печью или в контейнере на воздухе (600°C/ч)	Магнитострикционные линии задержки, преобразователи ис- кровых камер и т. д.
49К2ФА (супер- мендюр)	48—49,5 Co, 1,7—2,1 V	Холоднокатаная лента толщиной 0,05—0,10 мм, ши- риной 70 мм	Вакуум или водород, 800—820°C, выдержка 1 ч, охлаждение с печью или в контейнере на воздухе (600°C/ч). Термообработку проводить в магнитном по- ле напряженностью не ниже 10 А/см (ТМО)	Магнитопроводы силовых и им- пульсных трансформаторов, магнитных усилителей, работа- ющие в переменных полях по- вышенной частоты до 10 кГц, и при высоких плотностях маг- нитного потока до 2,0—2,1 Тл

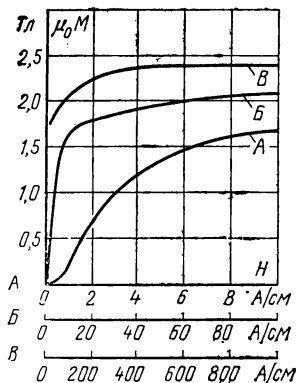


Рис. 9-6. Кривая индукции намагниченности сплава 27КХ.

$\mu_0 M_s = 2,38$ Тл, $H_c = 1,28$ А/см.

десятков магнитно-мягких сплавов на железокобальтовой основе с содержанием 25—49% Со.

В СССР металлургическими заводами выпускается более десяти марок магнитно-мягких железокобальтовых сплавов. В их основе лежат два состава: сплав с 26,5—28,0% Со, легированный 0,5% Сг, и магнитно-изотропный высокопроницаемый сплав с 48—49,5% Со, легированный ванадием, — пермендюр. Содержание ванадия в пермендюре зависит от сортамента. Для изготовления повок беретс 1,3—1,7% V. Слитки, предназначенные в дальнейшем для холодной прокатки или волочения, содержат несколько больше ванадия — 1,7—2,0%.

Сплавы могут выплавляться в вакуумной индукционной печи и иметь улучшенный состав по примесям, в этом случае в конце марки добавляются буквы ВИ, например 49К2ФВИ.

Для магнитопроводов, работающих в переменных магнитных полях повы-

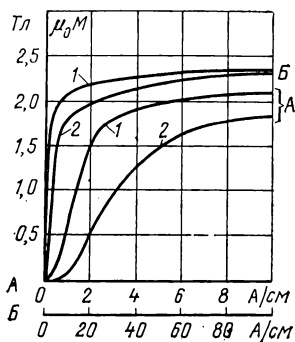


Рис. 9-7. Кривые индукции намагниченности повок железкобальтовых сплавов.

1 — 49К2ФВМ, $\mu_0 M_s = 2,38$ Тл, $H_c = 1,0$ А/см; 2 — 49К2Ф, 50КФ, $\mu_0 M_s = 2,28$ Тл, $H_c = 2,0$ А/см.

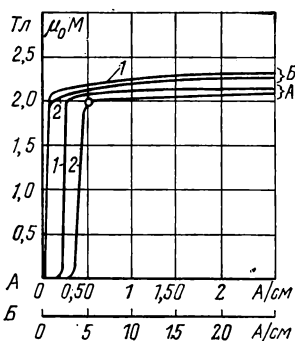


Рис. 9-8. Кривые индукции намагниченности ленты железокобальтовых сплавов толщиной 0,1 мм.

1 — сплав 49К2ФА, $\mu_0 M_s = 2,32$ Тл, $H_c = 0,20$ А/см; 2 — сплав 49К2ФВИ, $\mu_0 M_s = 2,30$ Тл, $H_c = 0,35$ А/см.

шенной частоты, выпускается сплав супермендюр. Сплав выплавляется в вакуумных индукционных печах на шихтовых материалах более высокого качества и выпускается только в виде ленты под маркой 49К2ФА. Магнитные сердечники из супермендюра должны подвергаться окончательной термической обработке в магнитном поле.

Сортамент выпускаемых железокобальтовых сплавов, режимы окончательных термообработок и рекомендуемые области применения представлены в табл. 9-28. Контроль магнитных свойств железокобальтовых сплавов производится в зависимости от сортамента и назначения. Нормируемые магнитные свойства приведены в табл. 9-29, а справочные данные о потерях на пермагнитивание — в табл. 9-30. Некоторые физические свойства и линейные коэффициенты расширения приведены в табл. 9-31 и 9-32. Типичные кривые намагнитивания сплавов заводского изготовления показаны на рис. 9-6 — 9-8.

Железокобальтовые сплавы, прошедшие ТМО, имеют высокую проницаемость только в направлении магнитной текстуры. Проницаемость достигает максимума в поле $(1,05 \div 1,1) H_c$. Если напряженность ниже значения H_c магнитная проницаемость низка (300—800). Железокобальтовые сплавы обладают хорошей пластичностью и при необходимости позволяют производить холодную прокатку ленты начиная с толщины 1,2 мм до 2—3 мкм без промежуточных термических обработок. Коэрцитивная сила ленты сплава 49К2ФВИ в толщине 3—5 мкм достигает 2—3 А/см.

Редкоземельные металлы

Ферромагнитными являются шесть редкоземельных металлов (РЗМ): гадолиний, тербий, диспрозий, гольмий, эрбий и тулий. Все они обладают намагнитченностью насыщения, превышающей при 0 К намагнитченность насыщения железа и железокобальтовых сплавов почти в 1,5 раза, но в отличие от последних имеют низкие значения температуры Кюри. Практически их удобно использовать при глубоком охлаждении в комплекте со сверхпроводящими обмотками (4,2 К) или гиперпроводящими обмотками (20—77 К), т. е. в среде жидкого гелия, водорода или азота.

Все РЗМ имеют плотноупакованную гексагональную решетку. Плотность, твердость и температура плавления возрастают с увеличением атомного номера элемента от гадолиния до тулия.

Металлы химически активны, реагируют с кислородом, водородом, азотом, галогенами, фосфором и пр. при относительно низких температурах (-300°C). Ввиду этого РЗМ и их сплавы обычно плавят в вакууме в дуговых печах на медной водоохлаждаемой подине. При сплавлении РЗМ образуют ряд непрерывных твердых растворов. Горячая деформация РЗМ и их сплавов требует обязательной защиты металла от окисления. Холодная деформация возможна, но с небольшими обжатиями, порядка 10%. Твердость металлов в литом виде невысока: 50—70 H_v . РЗМ и их сплавы в холодном состоянии пластичны и легко обрабатываются резанием.

Во всех РЗМ наблюдается сильная анизотропия магнитных свойств. Направления легкого намагнитивания у тербия, диспрозия

Т а б л и ц а 9-29

Нормируемые магнитные свойства железокобальтовых сплавов

Марка сплава	Сортамент, диаметр или толщина, мм	Регламентируемые параметры ¹	Примечание
27КХ, I класс	Поковки 75—100	$B_{25} > 1,75$ Тл, $B_{120} > 2,05$ Тл	
	Листы 0,7	$B_{25} > 1,80$ Тл, $B_{120} > 2,15$ Тл	
	Листы 0,35	$B_{25} > 1,80$ Тл, $B_{120} > 2,15$ Тл, $\rho < 100$ Вт/кг	
	Листы 0,2	$B_{25} > 1,80$ Тл, $B_{120} > 2,15$ Тл, $\rho < 80$ Вт/кг	
49К2Ф (50КФ), I класс	Поковки	$B_{8,8} > 1,50$ Тл, $B_{12,8} > 1,70$ Тл, $B_{20} > 2,00$ Тл, $B_{30} > 2,05$ Тл, $B_{40} > 2,10$ Тл, $B_{50} > 2,20$ Тл	
	Листы 0,2	$\mu_H > 800$, $B_{120} > 2,25$ Тл	Для телефонных мембран
	Листы 0,2	$\lambda > 60 \cdot 10^{-3}$, $B_{120} > 2,25$ Тл	Для магнито-стрикционных генераторов
49К2ФВИ, II класс	Поковки	$B_{8,8} > 1,80$ Тл, $B_{12,8} > 1,90$ Тл, $B_{20} > 2,0$ Тл, $B_{30} > 2,05$ Тл, $B_{40} > 2,10$ Тл, $B_{50} > 2,20$ Тл, $H_c < 1,60$ А/см	
	Лента 0,2	$B_{25} > 2,20$ Тл, $H_c < 1,2$ А/см, $\mu_{max} > 5500$ или после ТМО: $B_{25} > 2,20$ Тл, $H_c < 0,80$ А/см	Для электрических машин
	Лента 0,1	$B_{25} > 2,20$ Тл, $H_c < 1,4$ А/см, $\mu_{max} > 5500$ или после ТМО; $B_{25} > 2,20$ Тл, $H_c < 1,0$ А/см	
49К2ФА, III класс	Листы 0,2—0,7	$B_4 > 1,85$ Тл, $B_{10} > 2,05$ Тл, $B_{25} > 2,20$ Тл, $H_c < 0,60$ А/см	Для сердечников силовых трансформаторов
	Лента 0,15—0,2 без ТМО	$B_4 > 1,85$ Тл, $B_{10} > 2,05$ Тл, $B_{25} > 2,20$ Тл, $H_c < 0,60$ А/см $P_{1,8/400} < 39$ Вт/кг	
	Лента 0,10—0,15 после ТМО	$B_4 > 2,00$ Тл, $B_{10} > 2,10$ Тл, $B_{25} > 2,20$ Тл, $H_c < 0,30$ А/см, $P_{1,8/400} < 25$ Вт/кг; $P_{2,0/400} < 30$ Вт/кг	

¹ Индекс при B обозначает напряженность магнитного поля в А/см.

Таблица 9-30

Полные потери на перемагничивание железокобальтовых сплавов
(для лабораторных образцов)

Частота, Гц	Индукция, Тл	Марка сплава и сортament		
		27КХ, δ=0,2 мм	49К2ФВИ, δ=0,1 мм	49К2ФА, δ=0,1 мм
		Потери на перемагничивание, Вт/кг		
50	1,0	3,5	1,2—1,0	1,0—0,6
	1,5	6,5	2,0—1,8	1,2—0,9
	1,8	11,5	2,5—2,0	1,4—1,2
	2,0	—	3,5—2,5	2,0—1,4
400	1,0	40—30	10—8	8—5
	1,5	80—60	18—15	15—12
	1,8	100—80	25—20	18—16
	2,0	—	30—25	25—18
1000	1,0	160—140	45—30	25—18
	1,5	310—280	70—50	45—35
	1,8	450—420	80—70	65—55
	2,0	—	110—90	80—60
1600	1,0	—	70—50	—
	1,5	—	120—100	—
	1,8	—	150—130	—
	2,0	—	210—180	—
2400	1,0	—	120—100	—
	1,5	—	230—200	—
	1,8	—	270—240	—
	2,0	—	330—280	—
4800	1,0	—	270—240	—
	1,5	—	510—420	—
	1,8	—	700—520	—
	2,0	—	1100—900	—

Таблица 9-31

Физические свойства железобальтовых сплавов

Состав сплава	Марка сплава	Плотность, г/см ³	Индукция насыщения $\mu_0 M_s$, Тл	Напряженность поля насыщения, А/см	Коэрцитивная сила, А/см	Магнитострикция, $\times 10^6$	Электрическое сопротивление, мКОм·см	Модуль Юнга E, МПа	Твердость H _{RB}
100% Fe	—	7,878	2,15	500	0,2—1,0	8	9,68	21,5	20
25% Co	—	7,985	2,39	300	0,7—2,5	25	15,55	21,2	68
30% Co	—	8,025	2,42	300	1,0—1,8	35	13,85	21,8	72
35% Co	—	8,065	2,41	300	1,2—2,0	55	9,769	22,2	80
49% Co	—	8,157	2,39	30—40	0,4—1,0	70	5,610	18—19	75
27% Co; 0,5% Cr	27KX	8,00	2,40	300	1,5—2,5	25—35	20—22	22,1	75
49% Co; 2% V	49K2Ф	8,15—8,17	2,35	30—100	0,1—1,0	60—70	35—48	20,1	80
50% Co; 2% V	50KФ	8,16—8,18	2,30	100—150	1,0—2,0	60—70	35—40	20,1	80

Таблица 9-32

Температурный коэффициент линейного расширения железобальтовых сплавов

Марка сплава	Коэффициент теплового режима, 10^{-6} , 1/°C, в интервале температур, °C						
	20—100	20—200	20—300	20—400	20—500	20—600	20—800
27KX	9,2	9,5	9,8	10,1	10,4	10,5	11,3
49K2Ф, 49K2ФА, 50KФ	12,2	12,3	12,3	12,4	12,8	13,0	13,9

Таблица 9-33

Физические свойства РЗМ

Элемент	Температура плавления, °C	Плотность, при 20° C, г/см³	Удельное электрическое сопротивление, мкОм·X см, при -196° C	Индукция насыщения $\mu_0 M_s$, Тл, при -273° C	Температура Кюри θ_1 , °C	Температура Нееля θ_2 , °C	Критическое поле $H_{кр}$, кА/м
Gd	1350	7,87	30	2,66	+18	—	—
Tb	1356	8,25	33	3,27	-55	-43	16
Dy	1480	8,60	37	3,70	-188	-94	880
Ho	1500	8,80	50	3,75	-250	-140	1440
Er	1500	9,10	42	3,42	-250	-188	1440
Tu	1545	9,33	—	2,72	-222	-213	1200

и гольмия лежат в базисной плоскости, у эрбия направлены под углом к гексагональной оси. В гадолинии положение осей легкого намагничивания зависит от температуры. Напряженность поля магнитной кристаллической анизотропии имеет порядок 10^7 – 10^8 кА/м, поэтому в полях 10^6 кА/м насыщение достигается лишь в монокристаллах в направлении легкого намагничивания. Некоторые физические свойства РЗМ представлены в табл. 9-33 [9-2].

Кривые намагничивания монокристаллов гольмия и диспрозия в направлении легкого намагничивания, а также поликристаллов РЗМ при 4,2 К представлены на рис. 9-9, там же для сравнения показаны кривые намагничивания железа и железокобальтового сплава с 49% Со.

Еще одной особенностью ферромагнитных РЗМ является то, что почти у всех, за исключением гадолиния, существует температурная область, в которой они ведут себя как антиферромагнетики. Точка Нееля θ_2 лежит выше точки Кюри θ_1 . В температурной области между ними для каждой температуры существует критическое поле $H_{кр}$, при котором антиферромагнитный порядок переходит — «опрокидывается» — в ферро-

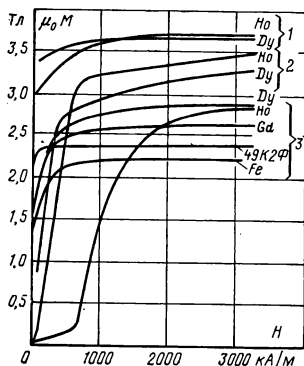


Рис. 9-9. Кривые индукции намагниченности редкоземельных металлов.

1 — монокристаллы вдоль оси легкого намагничивания, $T = 4,2$ К; 2 — поликристаллические образцы, $T = 4,2$ К; 3 — поликристаллические образцы, $T = 77$ К.

магнитный. На кривых намагничивания в этом случае наблюдается характерный излом. Таким образом, РЗМ можно использовать как магнитные элементы даже выше точки Кюри при условии приложения к ним магнитного поля выше критического (рис. 9-9, кривая намагничивания поликристаллического гольмия при 78 К).

РЗМ имеют большие значения магнитострикции — 10^{-2} — 10^{-3} . Это почти на два порядка больше магнитострикции насыщения железокобальтовых сплавов. Температура возникновения магнитного порядка в РЗМ низка, вследствие этого механические напряжения,

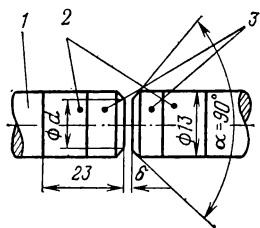


Рис. 9-10. Конструкция магнитной системы с использованием постоянного магнита из сплава ЮНДК35Т5 и наконечников из РЗМ ферромагнетиков.

1 — литой магнит ЮНДК35Т5; 2 — переходная часть из сплава 49К2Ф; 3 — полюсные наконечники из РЗМ.

сопровождаящие появления термострикции, не могут быть сняты. Это приводит к тому, что РЗМ и их сплавы ниже температуры точки Кюри всегда находятся в механически напряженном состоянии. Поэтому даже в монокристаллических образцах в направлении легкого намагничивания трудно получить высокую магнитную проницаемость.

Намагничивание РЗМ в сильных полях порядка 10 000 кА/м вызывает в них перераспределение внутренних механических напряжений и облегчает последующие процессы намагничивания в том же направлении. Изменение оси намагничивания сопровождается обратным эффектом. Таким образом, намагничивание РЗМ в сильных полях дает эффект, сходный с эффектом термомагнитной обработки.

Т а б л и ц а 9-34

Магнитное поле в центре зазора δ постоянного магнита с 90-градусными коническими полюсными наконечниками

Материал наконечника	Магнитное поле в зазоре H , кА/м	
	$d=9$ мм, $\delta=1,7$ мм	$d=4$ мм, $\delta=0,7$ мм
ЮНДК35Т5БА	836	1234
Пермендюр	1632	2269
Пермендюр + монокристалл гадолиния	1950	2747
Пермендюр + монокристалл тербия	2388	3543

Использование наконечников из диспрозия и гольмия и их сплавов в комплекте со сверхпроводящими соленоидами позволяет получить приращение напряженности магнитного поля 3000—4000 кА/м при температуре 4,2 К.

Для работы при температурах жидкого азота (77 К) наиболее подходящим ферромагнетиком является тербий и гадолиний. По данным В. П. Посядо, в постоянном магните из ЮНДК35Т5БА с составными наконечниками в виде последовательно расположенных стержней из пермендюра и насадки из монокристаллического тербия удается получать магнитные поля до 3500 кА/м в зазоре 0,7 мм.

Монокристалл должен быть ориентирован таким образом, чтобы его ось легкого намагничивания была расположена по направлению магнитного поля в зазоре.

На рис. 9-10 схематически изображен постоянный магнит с составными полюсами, а в табл. 9-34 приведены сравнительные результаты влияния материала наконечников на магнитное поле в зазоре этого постоянного магнита при температуре 77 К. Геометрические размеры и форма наконечников одинаковые.

9.4. МАТЕРИАЛЫ ДЛЯ ТЕРМОМАГНИТНЫХ ШУНТОВ

Термомагнитными называются магнитно-мягкие материалы, обладающие сильной зависимостью магнитной проницаемости от температуры. Основная область их применения (табл. 9-35) — термокомпенсаторы измерительных приборов, выполняемые в виде магнитных шунтов. При увеличении температуры магнитная проницаемость шунта падает, его шунтирующее действие ослабевает и рабочий магнитный поток возрастает. При этом компенсируется влияние температуры на сопротивление измерительной обмотки, жесткость противодействующих пружин и магнитную индукцию в нейтральной части постоянного магнита. Для термокомпенсаторов необходимо, чтобы термомагнитные материалы обладали сильной зависимостью магнитных свойств от температуры в климатическом диапазоне температур ($-60 \div +60^\circ\text{C}$). Так как магнитные свойства всех ферромагнетиков существенно зависят от температуры лишь вблизи точки Кюри, то для термокомпенсаторов оказываются пригодными только материалы с низкой температурой точки Кюри. Основой для термомагнитных сплавов служит никель, обладающий по сравнению с железом и кобальтом наиболее низкой температурой точки Кюри (350°C), но все же слишком высокой для целей температурной компенсации. Низкая температура точки Кюри у сплавов может быть достигнута введением немагнитных присадок (например, 30% Cu), в результате чего образуется смешанная кристаллическая структура и температура точки Кюри понижается до $+50^\circ\text{C}$. Другой способ понижения температуры точки Кюри состоит в использовании структурных превращений системы Fe-Ni в необратимой области.

Сплавы Ni-Fe обладают большей магнитной проницаемостью, чем сплавы Ni-Cu, но очень чувствительны к изменению содержания никеля (изменение содержания никеля на 0,25% изменяет температуру точки Кюри на 10°C), а при охлаждении шунта до критической температуры возникает опасность внутрискруктурных пре-

Таблица 9-35
Состав и свойства термомангнитных сплавов

Марка сплава	Химический состав, %	Основное назначение	Основные технические характеристики	Сортамент
НЗ3Ю1 (термалой)	33Ni, 1Al, 66Fe	Магнитные шунты регуляторов напряжения	1. Магнитная индукция в поле 8 кА/м при $t = 20^\circ\text{C}$ $B_{+20} = 0,3 \div 0,8$ Тл, при $t = 80^\circ\text{C}$ $B_{+80} = 0,1 \div 0,5$ Тл 2. Перепад магнитной индукции $B_{+20} - B_{+80} = 0,22 \div 0,40$ Тл	Холоднокатаные ленты толщиной 1,2; 1,5 и 2,0 мм, шириной 20, 25, 30 и 35 мм, длиной не менее 500 мм
НЗ8Х14 (компенсатор)	38Ni, 14Cr, 48Fe	Термокомпенсаторы измерительных приборов, работающих в узком интервале температур	1. Магнитная индукция в поле 8 кА/м при $t = -20^\circ\text{C}$ $B_{-20} = 0,21 \div 0,37$ Тл, при $t = 20^\circ\text{C}$ $B_{+20} = 0,035 \div 0,24$ Тл, при $t = 35^\circ\text{C}$ $B_{+35} = 0,020 \div 0,16$ Тл 2. Перепад магнитной индукции $B_{-20} - B_{+20} = 0,18 \div 0,24$ Тл, $B_{+20} - B_{+35} = 0,035 \div 0,13$ Тл	Холоднокатаные ленты 0,8; 1,0; 1,2; 1,4 и 1,5 мм, шириной 20, 25, 30 и 35 мм. Длина не ограничена
НЗ2Х6Ю	31—33 Ni, 5,5—6,5 Cr, 0,9—0,14 Al, Fe—остальное	Термокомпенсаторы измерительных приборов, работающих в широком интервале температур	Компенсация температурной погрешности в интервале температур от -60 до $+60^\circ\text{C}$	Холоднокатаные ленты толщиной 0,45—1,35 мм и шириной 100—130 мм и ленты толщиной 1,4—2,0 мм и шириной 100—250 мм. Длина на ленте не менее 500 мм
ЭП279	10—12 Cr, 35—37 Ni, Fe—остальное	Термокомпенсаторы счетчиков электроэнергии	Температура точки Кюри в пределах от $+50$ до $+100^\circ\text{C}$	Холоднокатаные листы толщиной 1,0—2,0 мм, шириной 200 мм и длиной не менее 1350 мм

вращений и связанного с этим необратимого ухудшения термомагнитных свойств. Для понижения критической температуры в состав сплава вводят присадку хрома. Однако введение хрома заметно понижает магнитную проницаемость сплава.

Высокая чувствительность сплава Ni-Fe к содержанию никеля требует строго выдерживать процесс плавки. Поэтому получение данной температуры точки Кюри достигается легче при металлокерамической технологии. Эти сплавы все же являются основным материалом для изготовления термокомпенсаторов. Наибольшее применение находят сплав H38X14 (компенсатор), обладающий критической температурой около -80°C и хорошими технологическими свойствами, допускающими холодную обработку резанием и штамповкой. Сплав H33Ю1 (термаллой) обладает приблизительно такими же технологическими свойствами и значительно большей магнитной проницаемостью, но применим только в диапазоне положительных температур, так как его критическая температура лежит вблизи 0°C .

Сплавы Ni-Cu, известные под общим названием «кальмаллой», обладают значительно меньшей магнитной проницаемостью и сильной зависимостью магнитных свойств от термообработки. Оптимальный режим термообработки — нагрев до 1000°C с выдержкой 5—10 ч и последующей закалкой. Шунты из кальмаллоя применяют для компенсации температурной погрешности измерительных приборов в интервале температур от 20 до 80°C . Кальмаллой состава 66,5% Ni, 30% Cu, 22% Fe и близкой к нему по составу монель-металл марки НМЖМц28-2,5-1,5 имеют следующие термомагнитные параметры: магнитная индукция в поле напряженностью $H=5,9 \text{ кА/м}$ при температуре 25, 50 и 75°C составляет $B_{+25}=0,065 \text{ Тл}$, $B_{+50}=0,04 \text{ Тл}$ и $B_{+75}=0,02 \text{ Тл}$. О характере температурной зависимости индукции в поле $H=8 \text{ кА/м}$ для кальмаллоя с 30% Cu и термаллоя с 30% Cu можно судить по графику (рис. 9-11), из которого следует, что термомагнитная характеристика кальмаллоя по сравнению с характеристикой термаллоя обладает значительно большей степенью нелинейности.

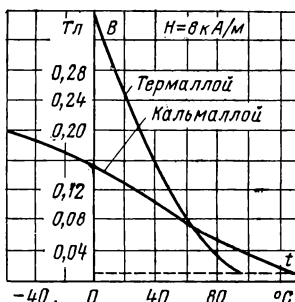


Рис. 9-11. Характеристики термомагнитных материалов.

9-5. МАТЕРИАЛЫ ДЛЯ СПЛОШНЫХ ДЕТАЛЕЙ С МАГНИТНЫМИ И НЕМАГНИТНЫМИ УЧАСТКАМИ

Если магнитная система состоит из звездообразного магнита, запрессованного в стальное кольцо, то необходимо, чтобы участки кольца, сопрягаемые с магнитом и выполняющие роль полюсных наконечников, были магнитными, а участки между полюсами — не-

Таблица 9-36

Состав, термическая и механическая обработка, свойства
и примерное назначение немагнитной стали

Химический состав*, %	Термическая и механическая обработка	Магнитная проницаемость μ в поле $H=80$ кА/м	Механические свойства					Прочие характеристики
			Предел прочности при растяжении, МПа	Предел текучести, МПа	Относительное удлинение, %	Относительное сжатие, %	Твердость НВ, МПа	
0,2—0,5 С, 0,5—1,3 Мп, 23—25 Ni, 0,8—3 Cr	Закалка 700—800°C или нормализация	1,05— 1,2	550—700	250—400	30—40	—	1400— 1600	Хорошо обрабатывается при $S=0,25 \div 0,3\%$; при наклепе от резания, от слабой прокатки и осадки повышается μ
	То же	1,05— 1,2	550—700	—	—	—	—	Сталь марки ЭН25; при содержании 1% Мп аустенит стабилен и наклеп не вызывает роста μ
0,25—0,35 С, <0,6 Мп, 22—25 Ni, 2—3 Cr	Холодная деформация	1,05— 1,2	700—800	450—550	20—30	6—7	1400— 1600	Коррозионно-стойкое
	Низкотемпературнаяковка	1,05— 1,2	1000	450	55	—	—	Плохая обрабатываемость
0,25—0,35 С, 18—19 Мп, 1,0 Cr	Ковка Закалка от 1000°C в воде или на воздухе	1,05	880	270	51	23	—	При наклепе μ не увеличивается; при $t=0 \div 180^\circ\text{C}$ сохраняет вязкость, коррозионная стойкость хуже, чем у стали марки ЭН25

То же, холодная деформация на 10%	До 1,1	1180	660	36	13	—	То же. Обрабатывается хуже, чем сталь ЭН25
То же на 18%	До 1,3	1190	950	32	11	—	
Нормализация от 850°C, холодное волочение до 60% или обжатие	До 1,15	900—1800	—	—	—	—	
0,35—0,7 C, 17,5— 21,5 Mn, 1,0—1,5 Si, 1,0—1,5 Cu							
Нормализация	Свойства выше, чем у стали с 25% Ni						Обрабатываемость хуже, чем у стали ЭН25. Не стареет, коррозионно-стойка (как сталь ЭН25)
0,5—0,6 C, 4,5—5,5 Mn, 11,5— 13,5 Ni, 3,4 Cr							
Нормализация. Холодная прокатка или волочение	До 1,3	1680— 1700	1500— 1000	—	—	—	Обрабатывается хорошо, не ржавеет и кислотоупорна. При резании и холодной обработке сильно повышается μ
0,1—0,2 C, 3,5—8,0 Mn, 8—12 Ni, 12—14 Cr							
Нормализация или закалка от 1000°C в воде	До 1,5	1500	1200	3	—	—	
0,14—0,26 C, 0,3—0,7 Mn, 8—9 Ni, 17—19 Cr							

Продолжение табл. 9-36

Химический состав*, %	Термическая и механическая обработка	Магнитная проницаемость в поле $H=80$ кА/м	Механические свойства					Прочие характеристики
			Предел прочности при растяжении, МПа	Предел текучести, МПа	Относительное удлинение, %	Относительное сжатие, %	Твердость H_B , МПа	
0,14—0,26 С, 0,3—0,7 Мп, 10—11 Ni, 17—19 Cr, 0,5—1,0 Ti или V	То же, плюс холодная прокатка или волоче- ние	До 1,5	—	—	—	—	—	Не повышается и при резании и холодном во- лочении, не ржавеет и кислотоупорна
0,5—0,6 С, 4—5 Мп, 19—21 Ni, 0,25—0,4 С, 10,5—12 Мп, 7—8 Ni	То же	До 1,1	1500	1200	3	—	—	Обрабатывается как сталь ЭН25, менее кор- розионно-стойка

* Остальное Fe.

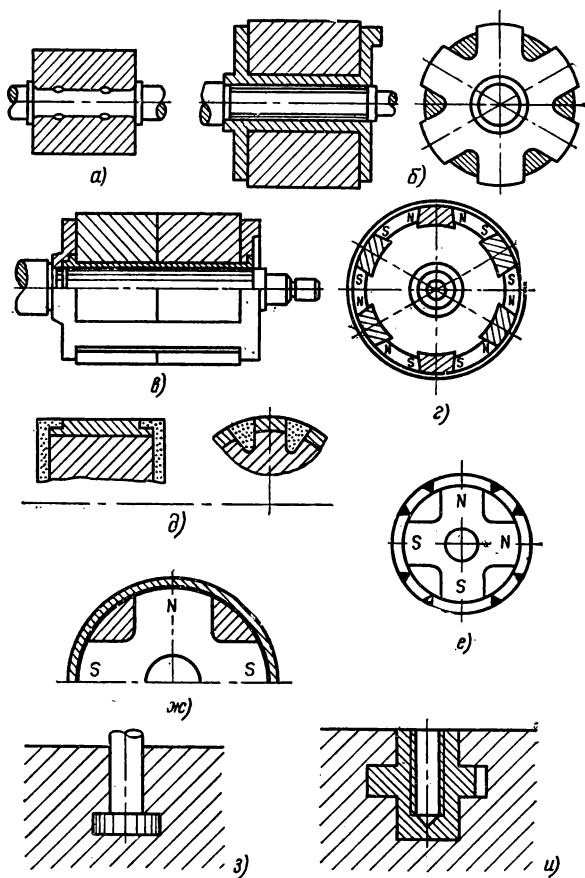


Рис. 9-12. Примеры соединений постоянных магнитов с магнитной и механической арматурой.

а — заливка магнита на вал из жаропрочной стали; *б* — заливка алюминиевой рубашки на звездообразный магнит с последующей расточкой отверстия и посадкой на вал; *в* — заливка алюминиевой рубашки на два звездообразных магнита, укрепленных на трубчатой втулке с посадкой на вал; *г* — запрессовка магнитов и полюсных наконечников в трубчатый корпус из немагнитного материала; *д* — крепление полюсных наконечников путем заливки их алюминиевой рубашкой, одновременно выполняющей роль беличьей клетки; *е* — запрессовка магнита в стальное кольцо, сваренное из магнитных и немагнитных участков; *ж* — запрессовка магнита в сплошное кольцо из стали X18H9T с немагнитными участками; *з* — заливка магнита на стержень; *и* — заливка магнита на втулку с последующими сверлением и нарезкой отверстия.

магнитными. Такую конструкцию имеют, например, роторы магнитоиндукционных генераторов (рис. 9-12).

Кольца для звездообразных магнитов можно изготавливать составными, сваривая их из участков магнитной и немагнитной стали (с предварительной шлифовкой сопрягаемых участков.) При этом для участков, сопрягаемых с магнитом, можно использовать технически чистое железо, а для промежуточных участков — любую немагнитную сталь (табл. 9-36).

Эти же кольца можно изготавливать и сплошными, выполняя их из стали, могущей необратимо терять свои магнитные свойства при определенных условиях. Такой способ изготовления дает более прочные кольца. Для изготовления сплошных колец можно применять хромоникелевую сталь марки X18H9T (ЭЯТ1). Эта сталь относится к типу аустенитных сталей. Она жаропрочна, окалиностойка, коррозионно-стойка, обладает высокой пластичностью и хорошей свариваемостью. Состав стали (17—19% Cr, 8—9% Ni, 1—2% Mn, 0,5—0,7% Ti, меньше 0,12% C) обуславливает практическую неустойчивость аустенита, приводящую в процессе металлургического изготовления к выделению некоторых магнитных фаз (мартенсит, феррит). Полную немагнитность (с необратимой потерей магнитных свойств) сталь получает только после специальной термической обработки, заключающейся в нагреве до 1050—1100°C с последующим быстрым охлаждением. Это свойство стали используют при изготовлении колец для звездообразных магнитов. После запрессовки кольца участок между полюсами нагревают токами высокой частоты до температуры 1050—1100°C, после чего они становятся немагнитными.

Сталь X18H9T можно использовать во всех случаях, когда в цельных деталях магнитной арматуры необходимо иметь немагнитные и магнитно-мягкие участки.

9-6. МАТЕРИАЛЫ ДЛЯ МЕХАНИЧЕСКОЙ АРМАТУРЫ

Механическая арматура, т. е. различные узлы и детали, служащие для монтажа магнитных систем (валы магнитных роторов, различные крепежные детали), не должна изменять характеристик рабочего поля и поля рассеяния магнитных систем. С этой целью она должна изготавливаться из немагнитных материалов.

Этими материалами являются немагнитные стали и различные немагнитные цветные металлы и сплавы (бронза, латунь).

Если соединение магнита с механической арматурой производится методом заливки сплава на арматуру, необходимо применять жароупорную немагнитную сталь (для крупных магнитов) или цветные немагнитные сплавы, обладающие высокой теплостойкостью (для малых магнитов).

Различают следующие виды соединений арматуры с магнитами: заливка магнита на вал, болт, гнездо и т. д.; заливка легкоплавкими сплавами типа силумин; запрессовка; заформовка магнита в пластмассу (в том числе в эпоксидную смолу); сварка; паяние; склеивание; спекание (для металлокерамических магнитов).

Способ соединения зависит в основном от вида арматуры. Сое-

динение постоянного магнита с магнитной арматурой производят склеиванием, сваркой, запрессовкой, паянием и заливкой легкоплавкими сплавами, а у металлокерамических магнитов и спеканием. Соединение постоянного магнита с механической арматурой производят в основном заформовкой и запрессовкой валов и крепежных деталей в тело магнита, а также склеиванием.

Соединение магнитов с полюсными наконечниками производят способами, приведенными в табл. 9-37 и на рис. 9-12.

Соединение магнита с механической арматурой. Для соединения магнита с арматурой или для укрепления его на валу втулки стержни из жароупорной немагнитной стали устанавливают в литейные формы и на них заливают магнит. Заливаемая деталь должна иметь форму, препятствующую ее проворачиванию в теле магнита и смещению вдоль оси. Во втулках высверливают и нарезают крепежные отверстия, а стержни используют как крепежные болты. Применение стержней предпочтительнее, так как при прочих равных условиях диаметр стержня меньше диаметра втулки. Диаметр втулок, валов и отверстий во избежание трещин не должен превышать 20—30% диаметра магнита. Втулки и стержни, заливаемые в магниты малых размеров, могут быть из бронзы, так как тепла, содержащегося в отливке, недостаточно, чтобы расплавить втулку. Бронза не должна содержать цинк во избежание его испарения и выбрасывания металла из формы.

Паяние магнитов, в том числе металлокерамических, производится в основном с помощью ультразвука. Для паяния применяют мягкие припои: авиа, ПОЦ90, ПОИ75 с температурой плавления соответственно 210, 230, 150°C. Особое внимание следует уделять качеству подготовки поверхности перед паянием.

Склеивание арматуры с магнитами. При склеивании особое внимание нужно уделять выбору клеев с тем, чтобы последние не изменяли электромагнитные параметры систем (магнитную проницаемость, добротность, потери и др.). Клеевые соединения должны быть стойки к воздействию влаги, механических нагрузок (вибраций, ударов), низкой и повышенной температуры. Одним из основных условий получения качественного клеевого соединения является качество подготовки поверхности под склеивание.

Для склеивания литых и металлокерамических магнитов можно применять следующие клеи:

1. Эпоксидный пластифицированный клей [эпоксидная смола ЭД-5—100 массовых частей (м. ч.), эпоксидная смола ДЭГ-1—20 м. ч., полиэтилен—20 м. ч., полиамин—20 м. ч.)]. Режим полимеризации: выдержка в течение 25 мин при температуре $20 \pm 5^\circ\text{C}$ или в течение 2 мин при температуре 100°C . Клей применяется для узлов, работающих без воздействия влаги и больших механических нагрузок.

2. Клей марки К-400 на эпоксидно-полиамидно-кремнийорганической основе (смола Т-III—100 м. ч., полиамидная смола Л-20—40 м. ч., нитрид бора—60 м. ч.). Режим полимеризации: выдержка в течение 4 мин при температуре 80°C . Клей применяется при работе узлов в жестких механических и климатических условиях (длительное воздействие влажного воздуха, морского тумана, грибков).

Таблица 9-37

Способы соединения магнитов с полюсными наконечниками

Способ соединения	Особенности изготовления	Прочность соединения	Немагнитный промежуток, мм	Область применения
Заливка магнита на полюсные наконечники	Полюсные наконечники устанавливаются в литейную форму	Высокая		Электрические машины
Электросварка сопряжением	Магнит предварительно нагревают до 550—650° С	То же	Отсутствует	Массовое производство измерительных приборов: счетчиков, реле, телефонов, электрических машин
Запрессовка звездообразного магнита в стальное кольцо	Кольцо сваривают из участков магнитной и немагнитной стали*. Сопрягаемые поверхности шлифуют	Средняя	Пренебрежимо мал	Роторы быстроходных электрических машин
Заливка на магнит и	Полюсные наконечники снаб-	То же	$\leq 0,05$	Измерительные приборы,

полюсные наконечники рубашки из цинкового сплава	жают выступами и магнит устачиваются в специальную форму для заливки легкоплавким сплавом			реле, тихоходные электрические машины
Соединение пайкой	Поверхность магнита предварительно лудят или кадмируют	Средняя	0,05—0,10**	Массовое производство измерительных приборов: телефонов, счетчиков, реле
Соединение склеиванием	Склеиваемые поверхности покрывают слоем клея, сушат и, соединив под давлением, нагревают до полимеризации клея	То же	0,1—0,2**	Массовое производство малотабаритных электронных измерительных приборов и реле
Разъемные соединения впритык	Магнит представляют в плотную к наконечникам и укрепляют скобами на той же плате	Нет	0,02—0,05**	Измерительные приборы, реле

* Кольцо может быть сплошным, выполненным из нержавеющей стали марки X18H9T, необратимо теряющей магнитные свойства при нагреве до 1000—1050° С. После загресовки участки кольца между полосами подвергают нагреву токами высокой частоты до 1050° С, вследствие чего они становятся немагнитными.

** Влияние прослойки сказывается мало, если коэрцитивная сила магнита $H_c \geq 40$ кА/м.

3. Клей марки БФ-4 (спиртовой раствор фенолформальдегидной смолы и поливинилбутираля). Режим полимеризации: выдержка в течение 6 мин при температуре $20 \pm 5^\circ\text{C}$ или 1—2 мин при температуре $60\text{—}70^\circ\text{C}$. Клей применяется для узлов, работающих при незначительных механических нагрузках в сухих отапливаемых помещениях.

Для получения надежного клеевого соединения необходимо обеспечить толщину клеевого шва $0,1\text{—}0,2$ мм, а также строго выдерживать режим полимеризации. Необходимо принимать меры против возникновения внутренних напряжений, возникающих из-за большой разности температурных коэффициентов теплового расширения клеев и склеиваемых деталей. С этой целью после горячей полимеризации следует вести медленное охлаждение изделий ($20\text{—}30^\circ\text{C}/\text{ч}$).

Спекание магнитов с арматурой. Метод металлокерамики пригоден для изготовления магнитов, армированных полюсными наколечниками, спеченными из магнитно-мягких материалов. Для этого в пресс-форму, разделенную перегородками, засыпают порошок магнитно-твердой смеси, а в отделение для полюсных наконечников — порошок чистого железа и после удаления перегородок прессуют заготовку и затем спекают. Прочность на разрыв зоны соединения составляет 400 МПа.

9-7. АМОРФНЫЕ МАГНИТНЫЕ МАТЕРИАЛЫ

Аморфные магнитные материалы [9-7] по структуре внутреннего строения можно отнести к стеклообразным твердым телам. Поэтому их иногда называют «металлическими стеклами». На рентгенограммах аморфных веществ имеется только один интенсивный пик, характерный для ближнего порядка. Аморфное состояние металлических сплавов возникает при высоких скоростях охлаждения расплавов, когда зарождение и рост кристаллической фазы не успевает происходить. Обычно это скорости $10^4\text{—}10^6^\circ\text{C}/\text{с}$ и выше. Получение таких скоростей охлаждения возможно лишь в тонких слоях металлов, охлаждаемых на поверхностях, имеющих высокую теплоемкость и теплопроводность. Возникновение аморфных фаз принципиально возможно у всех металлов и сплавов. Однако практически их легче получить только из жидкотекучих расплавов многокомпонентных сплавов, имеющих в твердом состоянии низкотемпературную линию эвтектики. Такие расплавы легко переохлаждаются и критическая скорость образования аморфной фазы в них невелика. Обычно выбранные композиции аморфных сплавов соответствуют формуле $M_{80}T_{20}$. Здесь M — один или несколько переходных элементов, например железо, кобальт, никель, марганец, гадолиний; T — металлоидные элементы — фосфор, сера, кремний, углерод, бор и т. д. В качестве M часто берут составы хорошо известных сплавов, например составы магнитно-мягкого сплава 50Н, 92К. Наиболее перспективными способами получения аморфных сплавов считают непрерывную разливку металла на быстровращающийся барабан или в вальки прокатного стана, впрыск или распыление жидкого металла в охлаждающую среду движущейся жидкости или

газа, получение тонких аморфных пленок с помощью техники напыления или электролиза. Перечисленные методы позволяют получать аморфные сплавы в виде порошков, тонких пленок, проволоки и ленты.

Аморфные материалы обладают повышенной твердостью, прочностью, высокой коррозионной стойкостью. Эти качества обусловлены отсутствием в аморфных сплавах таких слабых мест, как границы зерен. Удельное сопротивление аморфных сплавов примерно в 3—5 раз выше, чем кристаллических, и приближается к значению удельного сопротивления расплавов. Температурный коэффициент сопротивления примерно в 10 раз ниже и, что самое интересное, в определенном интервале температур может иметь отрицательное значение. Границей температурной стабильности удельного сопротивления аморфных материалов является переход в кристаллическое состояние. В ферромагнитных материалах эта же температура часто соответствует точке Кюри. Присутствие в ферромагнитных сплавах металлоидных элементов снижает намагнитченность насыщения аморфных сплавов. Аморфные ферромагнетики так же, как и кристаллические, имеют доменную структуру. Магнитострикция насыщения у аморфных ферромагнетиков несколько выше, но, так же и в кристаллических сплавах, они имеют составы, для которых магнитострикция равна нулю. Этим составам аморфных сплавов также соответствуют минимальные значения коэрцитивной силы и максимальные значения магнитной проницаемости.

К настоящему времени ближе всего к практическому применению находятся аморфные высокопроницаемые магнитно-мягкие сплавы. Составы наиболее интересных сплавов и их физические свойства приведены в табл. 9-38. Сплав 45НПР-А разработан в Институте прецизионных сплавов ЦНИИЧМ и изготавливается в виде ленты толщиной 30 мкм и шириной 2—3 мм. По магнитным свойствам аморфный сплав 45НПР-А близок к высоконикелевым пермаллоям, но в отличие от них может использоваться при поставке без термической обработки и допускает механическую обработку: резку, штамповку, изгиб и т. д. без ухудшения магнитных параметров. Дополнительной термомагнитной обработкой аморфного сплава 45НПР-А можно в 2—3 раза понизить коэрцитивную силу и повысить максимальную проницаемость. В слабых полях сплав имеет прямоугольную петлю гистерезиса (рис. 9-13). Прямоугольная петля гистерезиса в сочетании с высоким удельным электрическим сопротивлением позволяет считать этот сплав перспективным для изготовления магнитных элементов памяти ЭВМ. В общем случае магнитно-мягкие аморфные ленты могут быть рекомендованы для изготовления из них сердечников миниатюрных высокочастот-

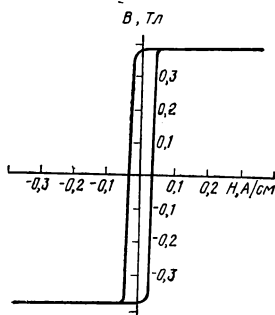


Рис. 9-13. Петля гистерезиса аморфной ленты сплава 45НПР-А.

Толщина — 30 мкм, ширина — 2,0 мм.

Таблица 9-38

Состав и физические свойства аморфных магнитно-мягких сплавов

Состав или название сплава	Температура Кюри, °C	$\mu_0 M_s$, Тл	B_r , Тл	$\frac{M_r}{M_s}$	H_c , А/м	$\mu_{rmax} \times 10^{-3}$	$\rho_{\text{мгн}} \times 10^3 \text{ г/см}^3$
$\text{Fe}_{80}\text{P}_{13}\text{C}_7$ в состоянии поставки	580	1,42	0,60	0,42	8	130	135
После отжига при $t=330^\circ\text{C}$ в поле 320 А/см			1,30	0,95	1,8	180	—
$\text{Fe}_{80}\text{Co}_{72}\text{Si}_8\text{B}_{15}$ в состоянии поставки	—	0,70	0,23	0,35	1	130	134
После отжига при $t=150^\circ\text{C}$ в поле $H=320$ А/см			0,57	0,86	0,6	960	—
45НПР-А в состоянии поставки	—	0,75	0,40	0,5	3	600	140

ных трансформаторов, магнитных головок записи и воспроизведения, обладающих высокой коррозионной стойкостью и стойкостью к абразивному износу. Из узких лент можно изготавливать плетеные «металлические ткани» и применять их для магнитного экранирования в виде гибких оболочек, покрытых резиной или пластиком. При необходимости можно производить фиксацию формы магнитного экрана пропиткой полимерными материалами.

Интенсивные исследования ведутся и в области аморфных магнитно-твердых материалов. Быстрое охлаждение расплава системы Fe-Co-V позволяет получить высококоэрцитивное состояние в сплавах типа викаллой без предварительной холодной деформации с высокой степенью обжата. Коэрцитивная сила сплава с 14% V после отпуска достигает 48 кА/м, а в сплаве с 20% V — 68 кА/м. Это самые высокие значения коэрцитивной силы, полученные на сплавах этого типа без термомеханической обработки. Практический интерес представляют и аморфные магнитно-твердые сплавы, полученные на основе систем железо — гадолиний, железо — тербий, кобальт — гадолиний, кобальт — медь — самарий. Эти сплавы в виде тонких аморфных пленок имеют очень высокие значения коэрцитивной силы (порядка 10^4 кА/м) в направлении, перпендикулярном плоскости пленки, и могут применяться как материалы для термомагнитной записи информации.

По-видимому, могут найти практическое применение и высококоэрцитивные аморфные порошки для изготовления композиционных магнитно-твердых материалов (это справедливо и для магнитно-мягких материалов). Другим аспектом применения аморфного состояния может явиться искусственное образование покрытия аморфной структуры на хрупких магнитно-твердых сплавах типа ЮНДК или RCO_5 . Такой аморфный слой можно создать обработкой поверхности готового магнита сканирующим лучом лазера. При достаточно высокой мощности сфокусированного луча лазера происходит мгновенное оплавление и затвердевание поверхностного слоя материала. Этот слой имеет толщину порядка 1 мкм и носит название слоя Бэلبби. Слой Бэلبби имеет повышенную твердость, прочность, коррозионную стойкость и может защищать материал от внешних механических и химических воздействий.

Необычное сочетание магнитных и физических свойств аморфных магнитных материалов уже нашло практическое применение, и в скором времени они займут надлежащее положение среди традиционных магнитных материалов.

ГЛАВА ДЕСЯТАЯ

ИСПЫТАНИЕ МАГНИТНО-ТВЕРДЫХ МАТЕРИАЛОВ И ПОСТОЯННЫХ МАГНИТОВ, ИЗМЕРИТЕЛЬНАЯ АППАРАТУРА

10-1. ОСНОВНЫЕ ТРЕБОВАНИЯ, ПРЕДЪЯВЛЯЕМЫЕ К ИСПЫТУЕМЫМ ОБРАЗЦАМ И ИЗМЕРИТЕЛЬНЫМ УСТАНОВКАМ

Методы измерения статических магнитных характеристик образцов литых магнитов типов ЮНД и ЮНДК с коэрцитивной силой $H_{\text{св}}$ от 20 до 250 кА/м определяет ГОСТ 8.262-66. Он распространяется на литые, металлокерамические и ферритовые материалы и не распространяется на деформируемые сплавы типа викаллой, кунифе, сплавы системы железо — хром — кобальт, интерметаллические соединения кобальта с РЗМ.

В настоящее время рабочими группами Международной электротехнической комиссии (МЭК) рассматриваются проекты международных стандартов на испытания всех существующих магнитно-твердых материалов. Приведенные ниже требования к испытываемым образцам магнитно-твердых материалов и установкам, предназначенным для определения кривых размагничивания, составлены с учетом рекомендаций МЭК.

Кривая размагничивания магнитно-твердого материала определяется как часть предельной петли гистерезиса во втором квадранте, ограниченная остаточной индукцией и коэрцитивной силой.

Кривая размагничивания может быть построена по отдельным точкам, определенным с помощью импульсно-индукционного «баллистического» метода, или непосредственно записана на какой-либо установке в режиме медленно меняющегося поля. Приведенная погрешность результатов магнитных измерений по намагниченности и напряженности поля не должна превышать 3%.

Ввиду того что результаты магнитных измерений зависят не только от свойств магнитно-твердого материала, но и от формы испытуемого образца, его размеров, а также от параметров намагничивающего устройства, наличия воздушных зазоров, то для получения стабильных результатов магнитных измерений необходимо строго регламентировать требования как к испытуемым образцам, так и к намагничивающим устройствам.

Образцы магнитно-твердых материалов, подготовленные для снятия кривых размагничивания, должны иметь простую форму. Обычно это кольца, тонкие стержни, цилиндрические бруски или параллелепипеды. Поперечное сечение образца должно быть постоянным по всей длине. Такие поверхностные дефекты, как видимые сколы граней, допускаются лишь в том случае, когда изменение поперечного сечения в области дефекта не превышает 0,5% площади поперечного сечения образца. Для точных измерений желательно, чтобы поверхность образца была шлифованной.

Форма и размеры образцов зависят от используемых намагничивающих устройств.

Кольцевые образцы, намагничивающиеся по замкнутому контуру, имеют «нулевой» коэффициент размагничивания и могут использоваться для измерений магнитных свойств материалов с коэрцитивной силой менее 10 кА/м. Обычно это выточенные из поковок или штампованные из холоднокатаного листа кольца, свернутая в бунт тонкая проволока или лента с внешним диаметром 30—60 мм, шириной и толщиной до 6 мм. Образец помещается в каркас из немагнитного материала, на который наносится измерительная и намагничивающая обмотки. Напряженность магнитного поля зависит от количества витков намагничивающей обмотки и редко превышает 30 кА/м. Напряженность намагничивающего поля определяют по формуле

$$H = \frac{w_1 I}{\pi d}, \quad (10-1)$$

где H — напряженность поля, кА/м; w_1 — количество витков намагничивающей обмотки; I — ток намагничивающей обмотки, кА; d — средний диаметр кольцевого образца, м.

При расчете индукции намагниченности образца необходимо обязательно учитывать несоответствие площади сечения измерительной обмотки и вносить соответствующую поправку по формуле

$$\mu_0 M = \frac{\Phi - \mu_0 H S_1}{w_2 S_0}, \quad (10-2)$$

где $\mu_0 M$ — внутренняя индукция образца, Тл; Φ — магнитный поток измерительной обмотки, Вб; H — напряженность магнитного поля, кА/м; w_2 — количество витков измерительной обмотки; S_1 — пло-

щадь сечения измерительной обмотки, м^2 ; S_0 — площадь сечения образца, м^2 .

Эту поправку можно вводить автоматически. Для этого на идентичный пустой каркас наматывают измерительную и намагничивающую обмотки с тем же количеством витков, что и на каркас с образцом. Намагничивающие обмотки образца и пустого каркаса соединяют последовательно, а измерительные — встречно-последовательно.

К преимуществам магнитных измерений на кольцевых образцах следует отнести «нулевой» коэффициент размагничивания, высокую точность и воспроизводимость результатов на различных установках.

Кольцевые образцы используются для снятия магнитных характеристик магнитно-мягких, полутвердых материалов и материалов, идущих на изготовление гистерезисных двигателей.

Образцы в виде длинных стержней и проволоки с отношением длины к диаметру более 10 можно измерять в «разомкнутой» цепи, применяя в качестве намагничивающего устройства соленоид.

Ввиду того что максимальная напряженность в соленоиде с естественным охлаждением обычно не превышает 100 кА/м, то в нем производят измерения магнитно-твердых образцов с коэрцитивной силой до 30 кА/м. Параметры намагничивающего соленоида типа СД-3 «баллистической» установки БУ-3 завода «Точэлектроприбор» приведены ниже. Рабочее пространство: диаметр 50 мм, длина 350 мм, номинальный рабочий ток соленоида до 12 А, соленоид имеет три обмотки с постоянными $k=0.64; 3,2$ и $8,0$ (кА/м)/А.

Напряженность магнитного поля в соленоиде обычно рассчитывают по формуле $H = kI$.

К недостаткам магнитных измерений в соленоиде следует отнести необходимость внесения поправки в значение напряженности магнитного поля на коэффициент размагничивания образца. У разомкнутых образцов кривая намагничивания и петля гистерезиса скашиваются вправо и для достижения одного и того же значения намагниченности требуется большая напряженность поля, чем для образца замкнутой формы. Чтобы не вводить поправку, часто берут образцы с очень большим отношением длины к диаметру — 50 и более или применяют специальные методы непосредственного измерения напряженности магнитного поля на поверхности образца в области нанесения измерительной обмотки.

В соленоидах производят магнитные измерения полутвердых материалов и материалов, идущих на изготовление активной части роторов гистерезисных двигателей.

Образцы в виде цилиндров и параллелепипедов с отношением длины к диаметру или к толщине менее 10 измеряют в электромагнитах. Этот вид измерений постоянных магнитов универсален и наиболее распространен. Размеры максимального поперечного сечения исследуемых образцов и их длина зависят от геометрических размеров рабочего пространства электромагнита

$$d + 1,2l < D; \quad 2,5l < D,$$

где d — максимально допустимый диаметр образца; l — длина образца или расстояние между полюсами электромагнита; D — диаметр

или короткая сторона прямоугольного наконечника электромагнита.

Торцевые поверхности испытываемых образцов должны быть перпендикулярными оси образца и иметь шлифовку для установки минимально возможного зазора между торцом образца и поверхностью полюсного наконечника. Следует помнить, что отсутствие зазора даже при наличии блокирующего устройства полюсов приводит к сильным сжимающим нагрузкам образца. В то же время наличие зазора между торцом образца и полюсным наконечником вносит дополнительную погрешность в определение напряженности магнитного поля. Она оценивается по формуле

$$\frac{\Delta H}{H} = \frac{2\delta B}{\mu_0 l H}, \quad (10-3)$$

где B — индукция образца, Тл; H — напряженность магнитного поля, кА/м; δ — зазор между торцом образца и полюсным наконечником, м; l — длина испытываемого образца, м.

Для определения значения максимальной удельной энергии W_{max} с точностью 1% относительный зазор $\Delta = \delta/l$ различных материалов должен быть не более:

для сплавов типа ЮНДК	0,00025
для ферритов	0,005
для материалов типа RCO_5	0,003

Обычно образцы с длиной 20—60 мм обеспечивают приведенную погрешность измерений не более 2—3%. В тех случаях, когда требуется проведение магнитных измерений на коротких образцах, следует иметь в виду, что погрешность измерений будет тем выше, чем короче образец.

ГОСТ допускает минимальную длину образца — 4 мм.

Намагничивающий электромагнит, используемый для магнитных измерений, должен отвечать следующим требованиям.

1. Ядро электромагнита должно быть симметричным и изготовлено из магнитно-мягкого материала.

2. Ось испытываемого образца должна совпадать с осью электромагнита.

3. По крайней мере один из полюсов электромагнита должен передвигаться для устранения воздушного зазора между образцом и полюсными наконечниками.

4. Электромагнит должен иметь блокировку полюсов с тем, чтобы давление наконечников не передавалось на испытываемый образец.

5. Катушки электромагнита должны быть расположены симметрично относительно центра рабочего пространства и возможно ближе к полюсным наконечникам.

6. Максимальная напряженность магнитного поля электромагнита должна быть достаточной для достижения предельной петли гистерезиса. В общем случае она должна превышать значение коэрцитивной силы по намагниченности материала более чем в 3 раза.

В тех случаях, когда мощность обмоток электромагнита недостаточна, допускается производить импульсное намагничивание образцов в электромагните, используя специальные обмотки и питающие их устройства.

7. Однородность магнитного поля в рабочей зоне электромагнита должна быть не хуже 1% во всем диапазоне магнитных измерений.

В качестве датчиков намагниченности рекомендуется применять исключительно индукционные в виде обмоток, охватывающих образец. Измерительная обмотка должна наноситься в середине образца. Для исключения наводок концы измерительной обмотки должны быть тщательно перевиты и подсоединяться к измерительной аппаратуре в зоне, свободной от воздействия магнитного поля. Допускается использование скомпенсированных обмоток для непосредственной регистрации значений намагниченности материала образца *М*. Регистрирующим прибором может быть баллистический гальванометр, веберметр или электронный веберметр. В случае использования электронного веберметра допускается подсоединение выхода прибора на двухкоординатный потенциометр для автоматической записи петли гистерезиса. В конечные результаты изменений намагниченности должны быть обязательно внесены поправки на несоответствие площади сечения образца и площади сечения измерительной обмотки по (10-2).

В качестве датчиков напряженности магнитного поля могут быть использованы индукционные катушки или преобразователи Холла. Они должны иметь малые размеры и помещаться непосредственно у поверхности середины испытуемого образца.

Измерительная аппаратура должна обеспечивать относительную ошибку измерений магнитного потока образца и напряженности магнитного поля, в котором находится образец, не выше 2% верхних пределов измерения соответствующих приборов.

Протокол магнитных испытаний должен содержать следующие сведения:

1. Марка материала, форма и линейные размеры образца.
2. Тип намагничивающего устройства установки: соленоид, электромагнит и т. д.
3. Кривая размагничивания.
4. Кривые возврата.
5. Численное значение остаточной индукции B_r .
6. Численное значение коэрцитивной силы по намагниченности $H_{см}$.

7. Значения B_d , H_d , W_{max} .

В качестве примера ниже описываются конструкции электромагнита и схема установки, использованной для измерения магнитных свойств материалов постоянных магнитов. (Разработка ИПС ЦНИИЧМ [10-7].)

Электромагнит имеет закрытую конструкцию (рис. 10-1). Ядро магнита литое из железа-армко, состоит из двух половин: верхней 8 и нижней 1. Сбоку в ядре имеются рабочие окна размером 200×300 мм и круглое отверстие сверху диаметром 120 мм. Керны 3 изготовлены в виде конусов с углом 84° при вершине. Наибольший диаметр основания конуса 530 мм, наименьший — 230 мм, длина — 170 мм. В керне выточены каналы диаметром 200 мм, в которых с помощью ручного привода перемещаются цилиндрические части кернов 4. Их положение фиксируется контргайкой 5, которая изготовлена заодно с чехлом, защищающим резьбовую часть керна от слу-

чайных повреждений. Полусные наконечники 7 съемные, изготовлены из поковок железокобальтового сплава (Fe с 29,7% Co), легированного 0,3 Сг с намагниченностью насыщения 2,42 Тл. Внешний диаметр ярма 830 мм, внутренний — 560 мм; длина — 800 мм.

Обмотки электромагнита навиты медной шиной прямоугольного сечения 4,75×5,25 мм с двойной бумажной изоляцией. Она содержит 1700 витков с общим сопротивлением 1,68 Ом. Обмотка имеет

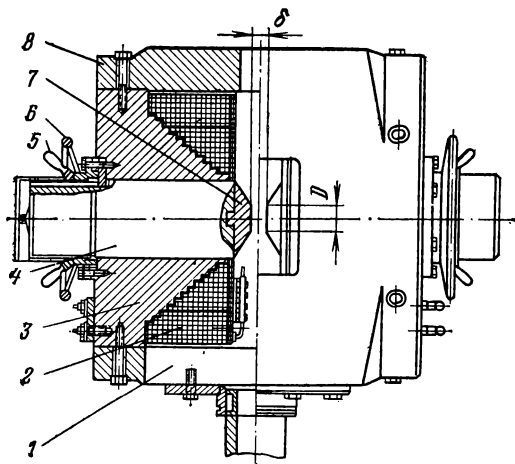


Рис. 10-1. Электромагнит конструкции ИПС ЦНИИЧМ.

1, 8 — ярмо; 2 — обмотка; 3, 4 — керн; 5 — контргайка; 6 — гайка; 7 — полюсный наконечник. Максимальная напряженность поля в рабочем пространстве электромагнита: диаметром 100 мм и длиной 30 мм — 2600 кА/м; диаметром 22 мм и длиной 6 мм — 4000 кА/м. Общая масса электромагнита 35 т.

естественное охлаждение. Номинальный ток обмотки 50 А, максимальный — 200 А. Разработан вариант обмотки с водяным охлаждением на номинальный ток нагрузки — 200 А. Электромагнит установлен на опорном подшипнике и может свободно поворачиваться вокруг вертикальной оси. Общая масса электромагнита 3,5 т.

Максимальная напряженность поля в электромагните с наконечниками диаметром 100 мм в рабочем зазоре 30 мм — 2600 кА/м, с наконечником диаметром 22 мм в рабочем зазоре 6 мм — 4000 кА/м.

Зависимость напряженности поля в электромагните для различных зазоров и диаметров полюсных наконечников представлена на рис. 10-2 [10-8].

Электромагнит питается от реверсивного тиристорного преобразователя ПТТР 460—200 [10-9], имеющего выходное напряжение 460 В, максимальный ток нагрузки до 200 А. Для сглаживания пульсаций тока на выходе преобразователя включен электрический RC-фильтр. В целом блок питания занимает площадь 0,60×0,84 м с высотой 3,0 м, масса 500 кг.

Основу схемы установки составляют аттестованные приборы, поэтому она не нуждается в предварительной градуировке. Установка позволяет исследовать практически все известные магнитно-твердые материалы, включая интерметаллические соединения типа RCu_6 . Установка работает в полуавтоматическом режиме медленно изменяющегося поля с записью характеристик в нормализованном масштабе в координатах $\mu_0 M = f(H)$ или $B = f(H)$ на двухкоординатном потенциометре.

Схема установки представлена на рис. 10-3. Образец 6 вставляется в измерительную катушку 11 и помещается между полюсами электромагнита 7. Компенсирующая катушка 5 включена последовательно-встречно с измерительной. Компенсация производится шунтированием обмотки компенсирующей катушки сопротивлением магазина 4. Сигнал от измерительных катушек подается на вход электронного веберметра 3. К выходу веберметра подключен магазин сопротивлений 2, с помощью которого устанавливается нормализованный масштаб записываемого сигнала по оси ординат. Напряжение с магазина сопротивлений 2 подается непосредственно на вход двухкоординатного самописца 1. Напряженность магнитного поля измеряется преобразователем Холла (ПХ) 12, который питается от стабилизированного источника тока 13.

Потенциальные выводы ПХ подсоединены ко второму входу двухкоординатного самописца 1. Обмотки электромагнита 8 питаются от тиристорного преобразователя через сглаживающий фильтр 9. Выходное напряжение преобразователя задается оператором с помощью блока управления 10.

Образцы для испытания имеют форму цилиндра или прямоугольника с гладкими торцами. Каркас измерительной катушки изготовлен точно по профилю сечения образца так, что образец свободно без зазора входит внутрь катушки. Компенсационная обмотка размещена в непосредственной близости от поверхности образца. Использование ПХ марки Х500 или Х511, имеющего температурный коэффициент $0,4 \cdot 10^{-3}$, позволяет в нормальных условиях работы ($15-20^\circ\text{C}$) обходиться без температурной стабилизации. Преобразователь Холла и обмотки устанавливаются в одной плоскости измерительной вставки — линейки, изготовленной из органического стекла. На каждый профиль сечения образца изготавливается своя линейка. Это позволяет проводить измерения образцов различного сечения с одинако-

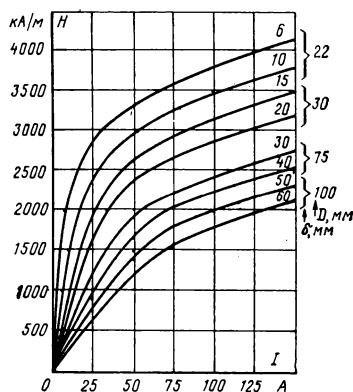
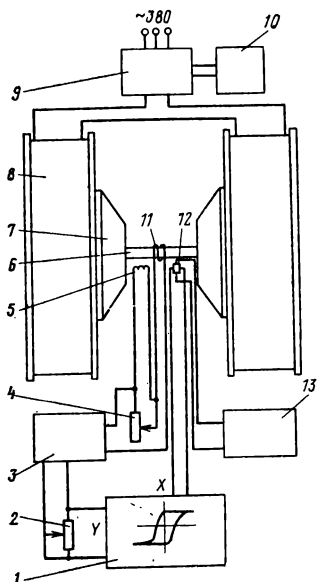


Рис. 10-2. Зависимость напряженности магнитного поля в электромагните от тока в обмотках. $\omega = 1700$ витков, $R = 1,68$ Ом.

δ — межполюсное расстояние, мм (рис. 10-1); D — диаметр полюсной поверхности, мм.

вой точностью. Приборы измерительной схемы заводские: электронный микровеберметр типа Ф-190; магазины сопротивлений типа МСР-60М; двухкоординатный самописец типа ЛКД4-003 или ПДС-021. Блок питания датчика Холла выдает стабилизированный ток в диапазоне от 5 до 200 мА. В самом простом случае он может состоять из батареи сухих элементов с напряжением порядка 100 В, последовательно включенного сопротивления, стабилизирующего рабочий ток ПХ, и контролирующего миллиамперметра.



При работе на установке ток ПХ устанавливается согласно паспортным данным такой величины, чтобы 1 мВ э. д. с. Холла соответствовал напряженности магнитного поля в 100 кА/м. Для кратного изменения масштаба записи можно переключить предел чувствительности усилителя самописца.

Рис. 10-3. Схема установки ИПС ЦНИИЧМ.

1 — двухкоординатный самописец ЛКД4-003; 2 — магазин сопротивлений МСР-63; 3 — фотогальванометрический микровеберметр Ф-190; 4 — магазин сопротивлений МСР-63; 5 — компенсационная обмотка; 6 — измеряемый образец; 7 — полюсные наконечники электромагнита; 8 — обмотки электромагнита; 9 — тиристорный преобразователь тока ПТТР-460-200 с электрическим фильтром; 10 — блок управления тиристорным преобразователем; 11 — измерительная обмотка; 12 — датчик Холла Х-500 (на схеме условно повернут на 90° в плоскость рисунка); 13 — блок питания датчика Холла.

Нормализация записи производится с помощью магазина сопротивлений 2 (см. рис. 10-3). Сопротивление, выставляемое оператором на магазине, определяется по формуле

$$R = 0,01 \frac{A_1 A_2 A_3}{\omega S}, \quad (10-4)$$

где A_1 — желаемый масштаб записи по оси, см/Тл; A_2 — чувствительность самописца по оси B , мВ/см; A_3 — предел измерений микровеберметра Ф-190, мкВб/мА; ω — число витков в измерительной катушке; S — сечение образца, см²; R — согласующее сопротивление магазина, Ом.

После прогрева всех приборов, устранения дрейфа нуля микровеберметра и проверки компенсации измерительных катушек оператор переключает микровеберметр на измерение и вставляет образец в измерительную катушку. Перо самописца при этом из начала координат перемещается по оси ординат и отмечает имеющуюся оста-

точную намагниченность образца. При последующем помещении измерительной линейки с образцом в рабочий зазор электромагнита перо самописца отмечает изменение магнитного состояния образца в связи с изменением коэффициента размагничивания и наличием остаточного поля в электромагните. Далее оператор непрерывно следит за перемещением пера самописца и одновременно управляет направлением тока в обмотках электромагнита, не допуская чрезмерной скорости перемагничивания. Самописец вычерчивает изменение магнитного состояния образца в процессе испытаний: кривую намагничивания, петлю гистерезиса или кривую возврата.

Приведенная погрешность записанных характеристик составляет 2—3%. Время снятия кривой намагничивания и петли гистерезиса одного образца 1—2 мин. Время подготовки к очередному измерению 15—20 мин.

10-2. ОБЩАЯ КЛАССИФИКАЦИЯ МАГНИТНО-ИЗМЕРИТЕЛЬНОЙ АППАРАТУРЫ, ПРЕДНАЗНАЧЕННОЙ ДЛЯ ИСПЫТАНИЯ ПОСТОЯННЫХ МАГНИТОВ

Развитие методов и магнитно-измерительной аппаратуры для испытания магнитно-твердых материалов (МТМ) и постоянных магнитов (ПМ) связано с вопросами достаточно строгого обоснования магнитных характеристик и параметров, подлежащих измерению и контролю.

При проведении научных исследований, расчетов и проектирования систем с постоянными магнитами (СПМ) в общем случае необходимо знание начальной кривой намагничивания, предельной петли магнитного гистерезиса, кривых возврата для различных точек размагничивающего участка петли магнитного гистерезиса, перечисленных характеристик при температурах, отличающихся от нормальных.

Для оценки правильности ведения технологического процесса изготовления МТМ и возможности внесения в него соответствующей коррекции необходимо иметь характеристики и параметры, предусмотренные нормативными документами. Однако, учитывая в этом случае необходимость испытания большого количества образцов, проводят контроль отдельных параметров материала, наиболее чувствительных к нарушениям технологического режима. Такими параметрами, как правило, являются остаточная магнитная индукция B_r , коэрцитивная сила H_{cb} , максимальная удельная энергия W_{max} . Иногда количество контролируемых параметров сокращается до одного — коэрцитивной силы образца МТМ.

При передаче готовой продукции от изготовителя к потребителю, контроле ПМ в процессе эксплуатации необходимо иметь в виду его основное назначение — создание однородного магнитного поля в заданном объеме. В этом случае наиболее эффективной характеристикой, оценивающей качество ПМ, может служить значение магнитной индукции и характер ее распределения в условиях, близких к рабочим. Ввиду сложности обеспечения этих условий контролируемым параметром часто является магнитная индукция в какой-либо точке или вся размагничивающая часть петли магнитного гистерезиса.

Таким образом, магнитно-измерительная аппаратура для испытания МТМ и ПМ развивается в основном в следующих направлениях: исследование характеристик МТМ, производственный контроль параметров МТМ, производственный контроль ПМ.

10-3. МЕТОДЫ И АППАРАТУРА ДЛЯ ИССЛЕДОВАНИЯ ХАРАКТЕРИСТИК МАГНИТНО-ТВЕРДЫХ МАТЕРИАЛОВ

Основополагающим классифицирующим признаком устройств для испытания МТМ является способ намагничивания, так как им определяется тип характеристик — статическая или динамическая. Статическая характеристика может быть получена при намагничивании испытуемого образца постоянным магнитным полем. Циклическое непрерывное изменение намагничивающего поля дает возможность фиксировать динамическую петлю гистерезиса. Эта характеристика приближается к статической при достаточно низких скоростях изменения индукции, когда влияние вихревых токов и магнитной вязкости практически не сказывается на форме петли магнитного гистерезиса.

К наиболее распространенному методу исследований статических характеристик МТМ относится импульсно-индукционный метод со скачкообразным изменением внешнего поля и регистрацией изменения магнитного потока в образце с помощью баллистического гальванометра на баллистических установках. Этот метод измерений узаконен ГОСТ и до сих пор широко применяется во всем мире. Теоретические основы импульсно-индукционного метода и его особенности подробно описаны в [10-10].

В настоящее время в СССР серийно выпускается установка У-541, предназначенная для испытания образцов МТМ длиной 20—60 мм с коэрцитивной силой 10—120 кА/м.

Дальнейшее развитие импульсно-индукционного метода испытания МТМ нашло свое отражение в установке УПМ-68, разработанной в Харьковском государственном научно-исследовательском институте метрологии (рис. 10-4). Испытуемый образец и магнитопровод электромагнита образуют замкнутую магнитную цепь. Цепь импульсного намагничивания состоит из выпрямителя B_1 , батареи конденсаторов C , переключателя заряда Π_1 , переключателя направления намагничивающего тока Π_2 , обмотки намагничивания w_n . Цепь размагничивания содержит регулировочный трансформатор, выпрямитель B_2 , переключатель полярности тока Π_3 и размагничивающую обмотку w_r . Магнитная индукция измеряется микроверберметром Ф-190, напряженность магнитного поля — преобразователем Холла типа Х-211. Использование показывающих приборов для отсчета результатов измерения позволило повысить производительность процесса исследований и значительно упростить обработку результатов измерения. Установка типа УПМ-68 позволяет испытывать образцы МТМ с коэрцитивной силой по индукции до 250 кА/м. Погрешность измерения не превосходит $\pm 3\%$.

Другая модификация (УПМ-70) описанной установки предназначена для испытания малогабаритных образцов МТМ длиной 5—20 мм и сечением 0,5—5 см². Функциональная схема ее практически

не отличается от установки УПМ-68. Обмотка импульсного намагничивания создает в рабочем зазоре 5 мм поле напряженностью 1400 кА/м. Обмотки размагничивания обеспечивают в том же зазоре поле 400 кА/м. Канал измерения индукции градуируется по катушке

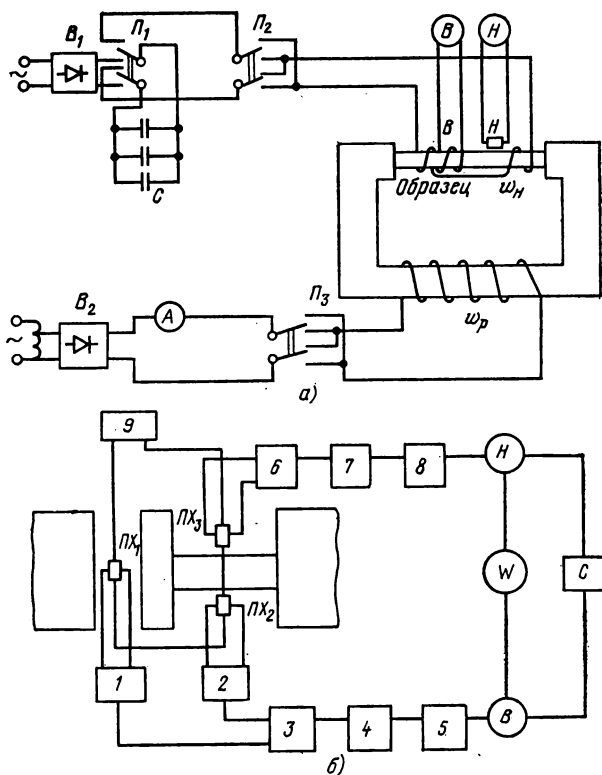


Рис. 10-4. Схема установки типа УПМ (а), схема устройства для испытания МТМ с преобразователями Холла (б).

взаимной индуктивности. Градуировка канала H осуществляется путем сравнения его показаний с показаниями измерителя, использующего эффект ядерного магнитного резонанса (ЯМР), в том же электромагните. Установка УПМ-70 позволяет определять B_r , H_c , кривую размагничивания и кривые возврата всех литых МТМ с погрешностью не более 2%.

Заводом «Точэлектроприбор» разработана измерительная информационная система У5056, предназначенная для определения статических характеристик образцов МТМ по методике согласно ГОСТ 8.268-77.

Система обеспечивает измерение B и H в любой точке кривой размагничивания при импульсном намагничивании и размагничивании плавно изменяющимся полем. Значения измеряемых величин отсчитываются по цифровым гистерезисметрам Ф-5155/1,2. Погрешность измерения B_r , $H_c \leq 3\%$, B и H в любой другой точке не более 4%. Длина испытываемых образцов 4—100 мм. Предельные значения напряженности поля в зазоре электромагнита, кА/м, определяются формулой

$$H = \frac{2,5 \cdot 10^4}{55 + l}, \quad (10-5)$$

где l — размер зазора, мм.

Для непосредственного отсчета B используется моделирующее устройство по площади сечения измерительной катушки ωS от 3,00 до 13,00 см².

Отмечая в общем высокие метрологические показатели, следует подчеркнуть основной недостаток устройств со скачкообразным изменением внешнего магнитного поля — длительность процесса получения полной информации о свойствах материала.

В устройствах для исследования характеристик МТМ в постоянных полях определение магнитного состояния проводится путем непосредственного отсчета измеряемых величин по показывающим приборам. В устройствах подобного типа измерение индукции проводится либо в зазоре магнитопровода, либо у торца испытываемого образца.

Представителем этого класса являются устройства М1 и М4, выпускаемые фирмой АЕГ, и установка Института электродинамики АН УССР [10-11]. Испытание образцов МТМ в указанных установках проводится с использованием двойного симметричного магнитопровода. Установка М1 служит для испытания образцов МТМ длиной 11—100 мм, сечением 1,5—25 см². Основные характеристики установки М4 следующие: длина образцов 5—30 см; сечение образцов 0,3—6 см²; напряженность поля для образцов 5—11 мм 1200 кА/м, для образцов 11—20 мм — 960 кА/м, для образцов 20—30 мм — 800 кА/м; погрешность измерения 2—4%.

Различные устройства для компенсации потока намагничивающих катушек, суть которой заключается во введении поправок на сигнал, несущий информацию о напряженности магнитного поля, описаны в [10-13]. В этих устройствах в качестве первичных преобразователей использованы преобразователи Холла (рис. 10-4, б), питающиеся от источника 9. Преобразователь Холла PX_1 служит в качестве чувствительного элемента индукции, PX_3 — напряженности поля. Компенсация потока намагничивающих обмоток осуществляется с помощью PX_2 . Для получения информации о намагниченности сигналы PX_1 и PX_2 подаются на сумматор 3 через повышающие трансформаторы 1 и 2, далее через переключатель пределов 4 и широкополосный автокомпенсатор 5 на выходной прибор B типа М907. Аналогично сигнал с PX_3 через трансформатор 6, переключатель пре-

делов 7 и автокомпенсатор 8 поступает на выходной прибор такого же типа H . Для измерения магнитной энергии используется ваттметр W типа Д539. В установке предусмотрена запись размагничивающего участка петли гистерезиса на самопишущем приборе C типа Н359. На рис. 10-5, a представлена функциональная схема установки, разработанной в Институте электродинамики АН УССР совместно с

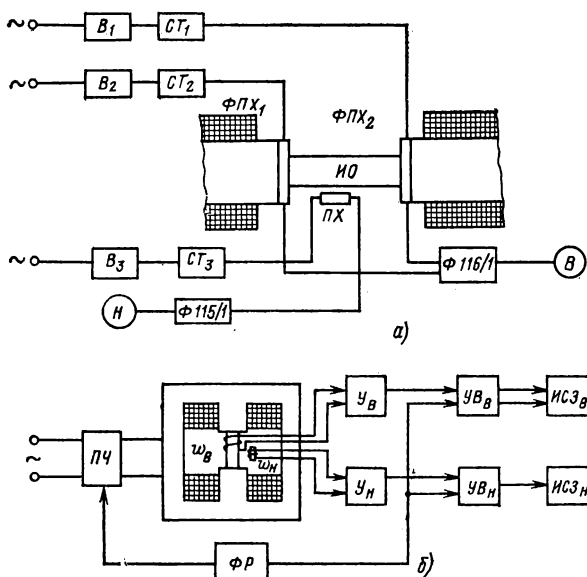


Рис. 10-5. Схема устройства для испытания МТМ с ферромагнитными преобразователями Холла (a); схема феррометра для испытания ПМ (b).

заводом «Точэлектроприбор». Магнитная индукция в этой установке измеряется у торца образца ферромагнитным преобразователем Холла. Испытуемый образец $ИО$ помещается между торцами полюсных наконечников. С двух торцов образца находятся ферромагнитные преобразователи $\Phi\Pi X_1$ и $\Phi\Pi X_2$, питание которых осуществляется от сети через выпрямители B_1 и B_2 и стабилизаторы тока CT_1 и CT_2 . Сигналы преобразователей суммируются и подаются на высокочувствительный фотокомпенсационный усилитель $\Phi 116/1$, нагруженный на измерительный прибор B , градуированный в единицах магнитной индукции. Измерение H осуществляется преобразователем Холла, расположенным у поверхности испытуемого образца. Преобразователь ΠX питается от сети переменного тока через выпрямитель B_3 и стабилизатор тока CT_3 . Выходное напряжение его через фотокомпенсационный усилитель $\Phi 115/1$ подается на измерительный прибор

H , градуированный в единицах напряженности поля. К достоинствам устройства относятся: непосредственный отсчет измеряемых величин и как следствие упрощение измерительных схем; независимость измерений от сечения испытуемых образцов МТМ. Основными недостатками являются: отличие индукции, измеренной у торца, от индукции в нейтральном сечении образца, вызванное потоками рассеяния при наличии зазоров; погрешность градуировки измерителя, обусловленная нарушением однородности поля при внесении в него ферромагнитного преобразователя, снижающая точность градуировочных образцовых приборов.

В последние годы развитие аппаратуры для исследования статических характеристик МТМ идет по пути создания автоматических устройств с изменением внешнего намагничивающего поля по определенному закону и непрерывным измерением магнитной индукции и напряженности поля. Запись результатов измерения осуществляется на самопишущих приборах, электронно-лучевых трубках или цифропечатающих устройствах.

Одним из устройств подобного типа является феррометр Новочеркасского политехнического института. Функциональная схема феррометра приведена на рис. 10-5, б. Намагничивающее устройство включает преобразователь частоты ПЧ и электромагнит ЭМ. В качестве первичных преобразователей магнитных величин используются измерительные катушки магнитной индукции ω_B и напряженности магнитного поля ω_H . Для повышения чувствительности в схему введены усилители $У_B$ и $У_H$. Выходные сигналы последних преобразуются управляемыми выпрямителями $УВ_B$ и $УВ_H$ и измеряются измерителями средних значений $ИСЗ_B$ и $ИСЗ_H$. Управление работой ПЧ и $УВ$ осуществляется от фазорегулятора ФР с двумя парами кон-

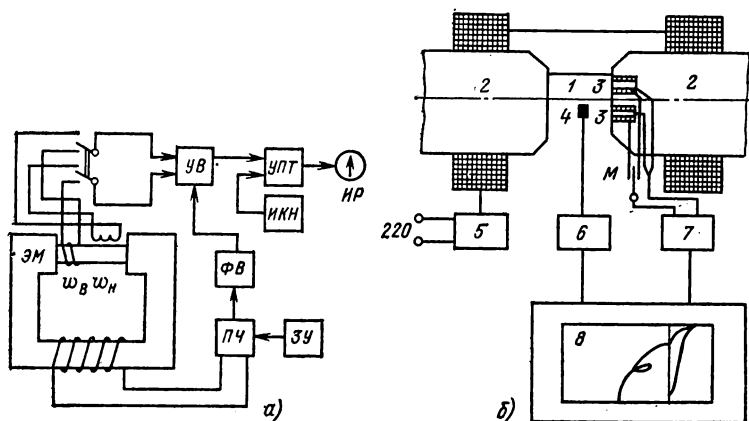


Рис. 10-6. Схема компенсационного устройства для испытания ПМ (а); схема установки Штейнгривера (б).

тактных колец. Неподвижные контакты включены в цепь $ПЧ$, а подвижные, регулируемые в пределах $0-360^\circ$, — в цепь $УВ$. С помощью феррометра можно снять всю кривую намагничивания и, следовательно, ее размагничивающий участок. Погрешность измерения $\pm 5\%$. На рис. 10-6, а показана схема компенсатора для измерения характеристик МТМ на инфранизкой частоте циклического перемагничивания. Схема включает электромагнит $ЭМ$ с помещенным в него образцом МТМ, преобразователь частоты $ПЧ$, задающее устройство $ЗУ$, фазовращатель $ФВ$, управляемый выпрямитель $УВ$, балансный усилитель постоянного тока $УПТ$, источник компенсирующего напряжения $ИКН$ и индикатор равновесия $ИР$. Первичная информация о состоянии материала снимается с измерительных обмоток ω_B и ω_H при циклическом перемагничивании испытуемого образца МТМ. Эти сигналы поступают на $УВ$ с отсечкой 180° . Выход управляемого выпрямителя связан с одним из входов $УПТ$, на другой вход которого подается калиброванное напряжение с $ИКН$. При фиксированном положении $ФВ$ и нулевом показании $ИР$ компенсирующее напряжение равно среднему значению сигнала измерительной катушки при любой форме последнего. Индукция и напряженность поля рассчитываются по формулам:

$$B = \frac{E_{KB}}{4f\omega_B S}; \quad H = \frac{E_{KH}}{4f\mu_0 \omega_H S}, \quad (10-6)$$

где E_{KH} , E_{KB} — напряжения $ИКН$ при нулевом показании $ИР$; f — частота перемагничивания; $\omega_B S$ — постоянная измерительной катушки индукции, $\omega_H S$ — постоянная катушки напряженности поля.

Значения B и H на кривой размагничивания измеряются при различных положениях $ФВ$. Средняя погрешность не превышает $\pm 2\%$, производимость процесса испытаний в 5 раз больше по сравнению с установкой У541.

Среди зарубежных устройств для автоматической записи характеристик МТМ следует отметить установку Штейнговера (Steingrover). Схема прибора приведена на рис. 10-6, б, где 1 — испытуемый образец, 2 — полюсы электромагнита, 3 — измерительные полюсные обмотки, 4 — преобразователь Холла, 5 — источник намагничивающего тока, 6 — индикатор поля, 7 — индикатор индукции или намагниченности, 8 — самопишущий прибор.

Устройство является автоматическим с распечаткой данных о характеристиках материала. Технические показатели прибора: напряженность магнитного поля в зазоре 10 мм — 2250 кА/м, в зазоре 60 мм — 750 кА/м, длина испытуемых магнитов 5—60 мм; сечение образцов — 0,5—200 см²; погрешность измерения B , и H не более 3%, время записи одной характеристики 1 мин.

Автоматическая установка для измерения магнитных характеристик МТМ, в которой предусмотрен вывод результатов на цифровую печать, представлена на рис. 10-7, а. Измерение магнитной индукции проводится с помощью измерительной катушки 5, охватывающей образец, преобразователя «напряжение — частота» 9, счетчика 7, выполняющего функции интегрирующего вольтметра, селектора интервала потока 8 и печатающего устройства 6. Измерение напряженности магнитного поля осуществляется преобразователем Холла ли-

бо потенциометром 4. Дальнейшее преобразование сигнала аналогично каналу индукции с помощью узлов 1—3. С помощью усилителя постоянного тока 14, усилителя мощности 13, редуктора 10, двигателя прямого и обратного хода 11, тормозного устройства 12 осуществляется регулирование намагничивающего поля по скорости изме-

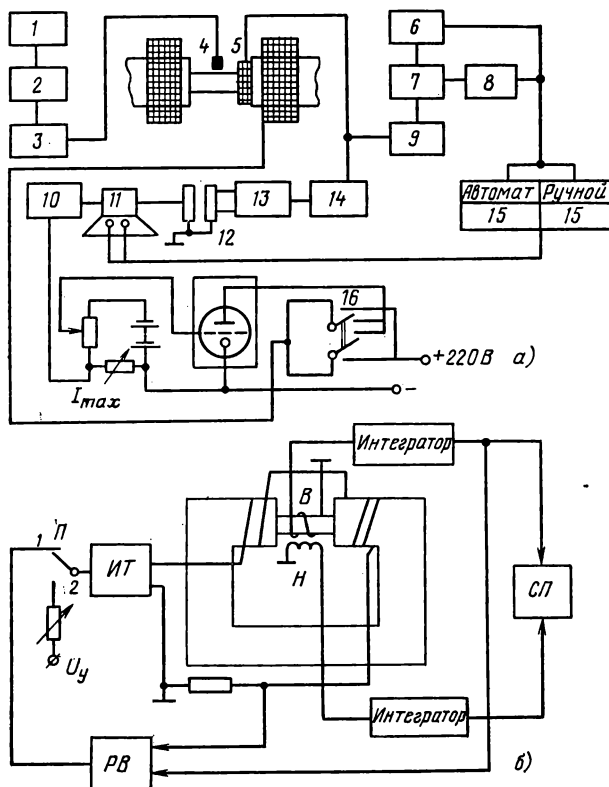


Рис. 10-7. Схемы установок.

а — Х. Капптуллера; б — 3257-3.

нения магнитной индукции. Изменение полярности поля производится устройством 16. Установка работает как в автоматическом, так и в ручном режиме. Переключение режимов осуществляется с помощью устройства 15. Измеренная информация поступает на перфоратор для дальнейшей обработки на ЦВМ, которая выдает полный протокол данных измерения H , B , M , μ_d , W_{max} . Время получения информации 15—20 с.

Японская фирма Yokogawa Electric Works выпускает установку типа 3257-3 для автоматической записи петель гистерезиса МТМ (рис. 10-7, б). Система намагничивания, включающая электромагнит, мощный источник тока ИТ, регулятор возбуждения РВ, управляемый сигналами, несущими информацию о магнитной индукции и напря-

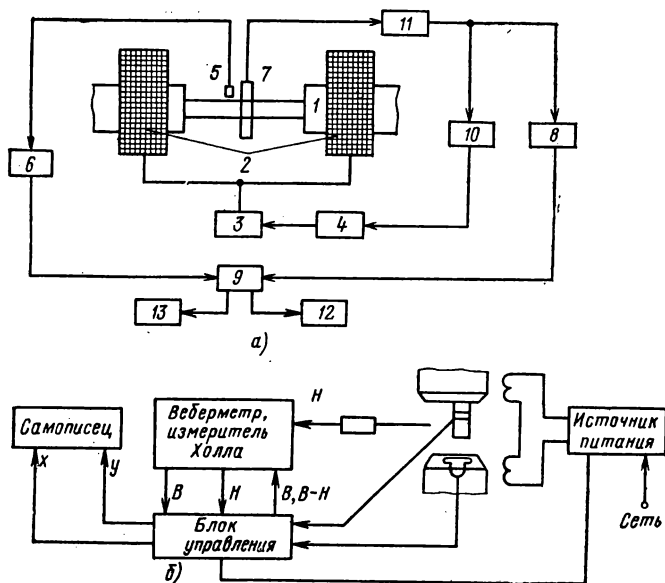


Рис. 10-8. Схемы установок.

а — Ердмана; б — типа МН.

женности магнитного поля образца, обеспечивает квазистатический режим перемагничивания материала. Измерительные каналы, состоящие из индукционных датчиков и интеграторов, обеспечивают высокую чувствительность и малый дрейф при записи характеристик образцов МТМ. Электромагнит обеспечивает поле 1200 кА/м в зазоре 10 мм с однородностью в рабочем объеме не хуже 1%. В установке предусмотрено размагничивание испытуемых образцов и совмещение осей самопишущего прибора СП с осями петли магнитного гистерезиса. Отсчет измеряемых величин проводится в целочисленном масштабе. Переключатель П в положении 1 обеспечивает автоматический режим, в положении 2 — ручной.

Установка для регистрации петель гистерезиса, частных симметричных и несимметричных циклов на двухкоординатном самопишущем приборе представлена на рис. 10-8, а. Форма намагничивающего поля регулируется усилителем мощности 3 и источником магнитного

поля в виде катушек 2 и магнитопровода 1, интегратором 4, на который подается сигнал обратной связи, пропорциональный скорости изменения магнитной индукции через преобразователь постоянного тока 10. Магнитная индукция образца измеряется с помощью обмотки 7, усилителем 11 и интегратором 8. Напряженность магнитного поля определяется с помощью преобразователя Холла 5 и усилителя 6. Для коррекции сигнала ошибки, вызванной отличием площади сечения съемной катушки и образца МТМ, служит звено 9. Регистрация результатов измерения может осуществляться на самопишущем приборе 12 и цифровом индикаторе 13.

Фирма Walker выпускает несколько моделей гистериографов, предназначенных для испытания среднекоэрцитивных материалов (МН-1, МН-10) и высококоэрцитивных МТМ (МН-30, МН-40, МН-50). Устройства МН-1020, МН-3020, МН-4020 и МН-5020 являются универсальными и используются для испытания как МММ, так и МТМ. Структурная схема устройств приведена на рис. 10-8, б. Измерение средних по величине магнитных полей проводится с помощью преобразователя Холла. Устройства МН-30, МН-40, МН-50, кроме того, снабжены дополнительными интегрирующими веберметрами для измерения сильных магнитных полей. Полюсные измерительные катушки обеспечивают измерение B и M материала испытуемых образцов. Однако смещение измерителя магнитной индукции от нейтрального сечения к полюсу вносит значительную погрешность в получаемую информацию за счет искажения результирующего магнитного поля. Электромагнит установки обеспечивает в рабочем зазоре, равном 6,4 мм, напряженность поля 2800 кА/м. Мощность источника питания электромагнита равна 11,25 кВт.

Реализации метода медленно изменяющегося внешнего поля посвящены разработки МЭИ по созданию ряда устройств для исследования характеристик магнитно-твердых материалов, позволяющих при сохранении точностных показателей в значительной степени автоматизировать процесс измерения [10-14]. В основу их положен закон изменения намагничивающего поля, соответствующий постоянству скорости изменения B за цикл перемагничивания.

Первой разработкой является автоматический регистратор статических петель гистерезиса (АРСПГ), позволяющий проводить испытание МТМ с коэрцитивной силой $H_c \leq 200$ кА/м при длине образцов $l=4$ см и $H_c \leq 400$ кА/м при $l=1$ см. Погрешность измерений установки 3—4%. Воспроизводимость результатов записи статических петель магнитного гистерезиса на двухкоординатном самописце 0,5%. Время испытания одного образца и обработки результатов измерения 5 мин.

В одном из вариантов установка используется для испытания МТМ в температурном диапазоне — 190 ÷ +300°C. С этой целью в устройство введена специальная термокамера с внутренними полюсными наконечниками — концентраторами магнитного потока.

Более совершенные разработки МЭИ представлены установками АРСПГ-4, МИС-1 и их промышленными аналогами.

АРСПГ-4 — установка, построенная на базе самонастраивающейся беспонсковой системы для поддержания линейного закона изменения индукции. Измерительная часть установки подобна вышеописанной. Намагничивающее устройство состоит из электромагни-

та, схемы управления, управляемого источника тока и схемы самонастройки. В целях автоматизации процесса подготовки образцов для испытания используемые обмотки для измерения B и потенциометр для измерения H заменены съемными компенсационными преобразователями коаксиального типа, конструкция и геометрические размеры обмоток которого позволяют автоматически компенсировать погрешность измерения, обусловленную разностью сечений испытуемого образца и измерительной обмотки. Градуировка измерительных

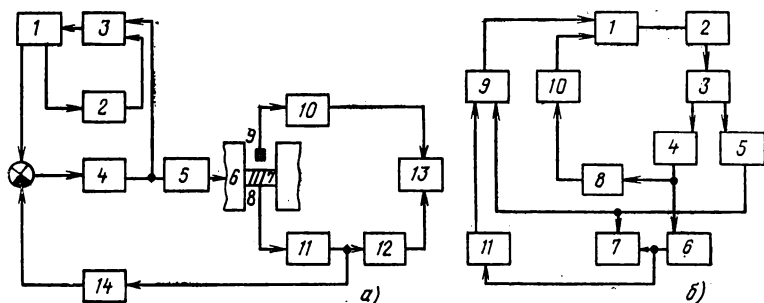


Рис. 10-9. Схемы установки МЭИ.

а — для испытания малогабаритных магнитов; б — высококоэрцитивных материалов.

каналов устройства проводится с помощью измерителя Ш1-1. Погрешность определения B и H на петле гистерезиса — 3%.

На базе АРСПГ создано устройство для исследования статических магнитных характеристик высококоэрцитивных малогабаритных магнитов (рис. 10-9, а). Задающий генератор, включающий триггер 1, двухполярный источник опорного напряжения 2, схему сравнения 3 и нелинейный элемент 4, обеспечивает средневероятную форму намагничивающего тока. После преобразования этого сигнала усилителем мощности 5 и электромагнитом 6 осуществляется перемагничивание испытуемого образца 7 по предельному магнитному циклу. Сигналы первичных преобразователей 8 и 9 после усиления 10, 11 и интегрирования 12 фиксируются регистрирующим прибором 13. Сигнал, несущий информацию о скорости изменения магнитной индукции, корректирует изменение внешнего поля. При достижении поля максимального значения схема сравнения перебрасывает триггер в другое состояние. Таким образом, осуществляется реверс перемагничивания. Чувствительным элементом напряженности магнитного поля является ПХ, чувствительным элементом магнитной индукции — съемный компенсационный преобразователь коаксиального типа. Установка позволяет производить испытание образцов МТМ с размерами: длина 4—10 мм, сечение 2—25 мм². Максимальное поле в зазоре ЭМ 2000 кА/м. Вид информации — предельная петля магнитного гистерезиса $B(H)$ или $M(H)$. Время записи характеристики

материала при использовании ДРП не более 20 с. Погрешность измерения не более 5%.

Структурная схема устройства МИС-1 приведена на рис. 10-9, б. Работа системы заключается в следующем: на интегрирующий сумматор 1 с узла реверса перемагничивания 9 подается напряжение, задающее скорость изменения B в испытуемом образце 3, которое, преобразуясь, поступает на намагничивающее устройство 2, создавая определенный закон изменения внешнего магнитного поля. Сигналы ПП, несущие информацию о скорости изменения B и H , преобразуются усилителями 4, 5 и интегратором 6 до значений, необходимых для регистрации самописцем 7. Сигнал, пропорциональный скорости изменения магнитной индукции, поступает через канал обратной связи 8 на нелинейный элемент 10, воздействуя на характер изменения магнитного поля путем изменения коэффициента преобразования этого тракта.

Максимальная напряженность магнитного поля в зазоре 6 мм составляет 2800 кА/м, а в зазоре 15 мм — 2320 кА/м. В качестве усилителя мощности при испытании высококоэрцитивных материалов используется электромашиный усилитель с выходной мощностью 4 кВт или тиристорный управляемый источник; при испытании низкокоэрцитивных материалов — полупроводниковый выходной каскад мощностью 0,5 кВт. Кроме автоматического задания режима перемагничивания в установке предусмотрено ручное управление внешним магнитным полем и автоматическое размагничивание испытуемых образцов. Погрешность измерения устройства — 3%.

Подробный анализ модификаций установок, реализующих метод медленно изменяющегося поля, и рекомендации по использованию их для исследования МТМ с повышенной точностью даются в [10-12].

10-4. ПРОИЗВОДСТВЕННЫЙ КОНТРОЛЬ ТЕХНОЛОГИЧЕСКОГО ПРОЦЕССА ИЗГОТОВЛЕНИЯ ПОСТОЯННЫХ МАГНИТОВ

При массовом производстве постоянных магнитов для определения правильности технологического режима их изготовления осуществляется контроль наиболее важного параметра МТМ — коэрцитивной силы.

На рис. 10-10, а представлена структурная схема феррозондовых коэрцитиметров. Зонды 1 и 2 расположены вне размагничивающей катушки 3 и соединены по схеме градиентомера так, что на них действует поле образца 4, а внешнее однородное поле соленоида не действует. Образец намагничивается до насыщения, а затем размагничивается. Это состояние фиксируется прибором 5, стоящим на выходе измерительной схемы. Коэрцитивную силу определяют по току I_c и постоянной K соленоида согласно формуле

$$H_c = KI_c. \quad (10-7)$$

Основным достоинством феррозондовых коэрцитиметров является высокая чувствительность и быстроедействие измерительной части устройства, большая производительность процесса контроля.

Примером устройства с индукционным преобразователем является коэрцитиметр, схема которого представлена на рис. 10-10, б. Он состоит из соленоида 1 и чувствительного элемента 5 в виде катушки, вращаемой двигателем 3 у торца образца 6. Индуцируемая э.д.с., пропорциональная скорости изменения потока, вызванного намагниченностью образца, выпрямляется с помощью двух полуколец 2 и измеряется измерительным прибором 4. Коэрцитивная сила H_c определяется аналогично (10-7). Коэрцитиметру свойственна

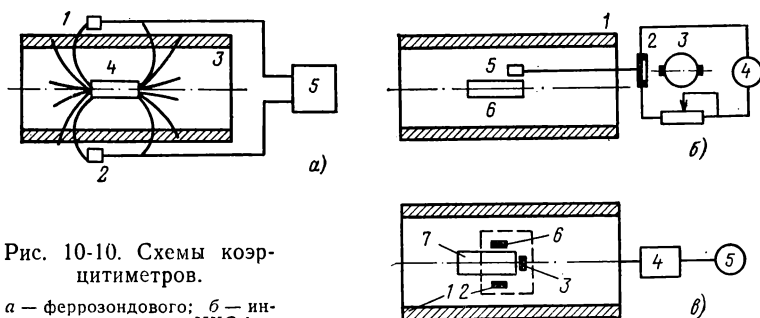


Рис. 10-10. Схемы коэрцитиметров.

а — феррозондового; б — индукционного; в — ИКС-1.

погрешность, вызванная тем, что размагничивание у торца образца наступает раньше, чем в нейтральном сечении. Более точное значение напряженности магнитного поля, размагничивающего образец, получают, располагая измеритель H у поверхности. Недостатком устройств с индукционными преобразователями является длительность процесса измерения и градуировки измерительной цепи, а также трудности практического использования для контроля малогабаритных образцов МТМ.

Использование в качестве чувствительных элементов намагниченности преобразователей Холла (ПХ) позволяет значительно повысить производительность контроля, увеличить точность измерения. На рис. 10-10, в приведена схема измерителя коэрцитивной силы ИКС-1, состоящего из трех ПХ (2, 3, 6), электронной схемы 4 и выходного прибора 5, фиксирующего равенство нулю намагниченности образца 7. Источником размагничивающего поля служит соленоид 1 типа СД4. Объектом контроля являются образцы МТМ длиной 25 мм и сечением 10×10 мм². Использование двух преобразователей (2 и 6) в качестве индикатора намагниченности позволяет уменьшить влияние неоднородности свойств образца на результат измерения, представляемый как среднее значение напряженности магнитного поля

$$H_c = \frac{H_{c2} + H_{c6}}{2}, \quad (10-8)$$

где $H_{с2}$ и $H_{с6}$ — значения напряженности магнитного поля при нулевом показании преобразователей 2 и 6 соответственно. Преобразователь 3 служит для измерения напряженности поля соленоида в отсутствие образца. Коэрцитивная сила определяется по постоянной соленоида и току в его обмотке. Погрешность коэрцитиметра составляет 1,5—2%.

Использование соленоидов в качестве размагничивающих устройств приводит к значительному увеличению габаритных размеров

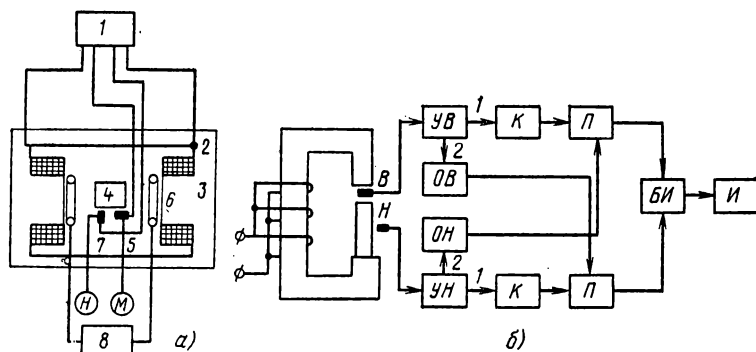


Рис. 10-11. Схема коэрцитиметра Института электродинамики АН УССР (а); схема устройства УКДМ-1 (б).

при испытании высококоэрцитивных МТМ. Намагничивание образцов в электромагнитах и перенос их в соленоид для размагничивания снижает производительность контроля. Поэтому в современных разработках в качестве размагничивающих устройств применяют электромагниты.

Принципиальная схема коэрцитиметра, разработанного в Институте электродинамики АН УССР, приведена на рис. 10-11, а. Испытуемый образец 4 располагается в межполюсном пространстве магнитной системы 2 и размагничивающих обмоток 3. Коэрцитивная сила H_c измеряется с помощью ПХ 7 и выходного прибора Н. Индикатором намагниченности является ПХ 5, располагаемый параллельно продольной оси образца МТМ. Нулевое состояние намагниченности фиксируется прибором М. Питание размагничивающих обмоток и преобразователей Холла осуществляется от источника 1, а намагничивающих обмоток 6 с помощью генератора одиночных импульсов 8. На основе описанного коэрцитиметра заводом «Точэлектроприбор» серийно выпускается коэрцитиметр типа У-5030 для измерения образцов длиной 20—66 мм, сечением 0,5—4 см² с коэрцитивной силой до 100 кА/м и погрешностью измерения не более 4%. Описанный в [10-10] коэрцитиметр является усовершенствованием последнего и обеспечивает автоматический контроль образцов МТМ с коэрцитивной силой до 300 кА/м с цифровым отсчетом. В установке

применен комбинированный способ намагничивания посредством наложения импульсного магнитного поля от тока разряда батарей конденсаторов на стационарное поле постоянного тока. Работа схем импульсного намагничивания и намагничивания постоянным полем синхронизирована. Размагничивание производится с помощью катушек магнитной системы, питающихся от управляемого выпрямителя с заданным законом изменения тока. Напряженность магнитного поля и намагниченность образца фиксируются двумя ПХ, расположенными в нейтральном сечении и у торца образца. В момент достижения намагниченности, равной нулю, отключается ток в катушках электромагнита и производится отсчет H_c . В устройстве предусмотрена калибровка измерительного канала с помощью источника образцового магнитного поля. Коэрцитиметр рассчитан на использование для образцов МТМ длиной 18—50 мм с поперечным сечением 0,5—16 см². Погрешность измерения не более 2%. Время контроля одного образца не более 10 с. Питание устройства от сети переменного тока 220 В.

При измерении H_c высококоэрцитивных постоянных магнитов возникает дополнительная погрешность из-за появления в больших полях продольной составляющей э. д. с. Холла. Помехи смещают нулевое значение э. д. с. преобразователя и делают его непригодным при работе в качестве индикатора нуля M . В этом случае используют второй преобразователь, включенный последовательно-встречно с основным и реагирующий только на размагничивающее поле. Достигается это расположением корректирующего преобразователя в зоне однородного внешнего поля на таком расстоянии, чтобы поле образца не влияло на его показания. Данный способ включения преобразователей рекомендуется использовать при контроле образцов МТМ с коэрцитивной силой более 1000 кА/м.

На рис. 10-11,6 представлена структурная схема устройства (УКДМ-1) контроля параметров МТМ (B_r , H_c) при перемагничивании магнитов по предельной петле магнитного гистерезиса двумя разнополярными импульсами магнитного поля. Сигнал, пропорциональный индукции B , поступает на схему измерения B_r , состоящую из усилителя $УВ$ и коммутатора K . С выхода преобразователя поля H сигнал поступает на схему измерения H_c , содержащую усилитель $УН$ и коммутатор K . Усилители $УВ$ и $УН$ имеют два выхода. С выходов 1 сигналы поступают на коммутаторы, которые в режиме измерения выдают сигналы на преобразователи P , пропорциональные B_r и H_c . Со вторых выходов сигналы усилителей поступают на нуль-органы $ОВ$ и $ОН$, которые при прохождении сигналов через нуль подают запускающие импульсы на преобразователи каналов H и B . Напряжения, пропорциональные соответственно H и B , преобразуются во временной интервал, который управляет задающим генератором блока измерения $БИ$, выдающим число импульсов, пропорциональное измеряемой величине. Блок измерения $БИ$ служит для счета импульсов, обработки и выдачи результатов на цифровой индикатор $И$. Установка УКДМ-1 может работать как в режиме индикации абсолютных результатов в цифровой форме, так и в режиме разбраковки магнитов. Технические характеристики ее следующие: пределы измерения $B_r=0,5÷1,6$ Тл, $H_c=40÷100$ кА/м, погрешность 3%, длина магнитов 25—70 мм, диаметр 15—30 мм. Питание уста-

новки осуществляется от сети 380 В, 50 Гц. В режиме разбраковки предусмотрены автоматизированная загрузка, транспортировка и сортировка магнитов.

10-5. ПРОИЗВОДСТВЕННЫЙ КОНТРОЛЬ ПОСТОЯННЫХ МАГНИТОВ (ПМ)

Стремление к повышению производительности при массовом производстве ПМ привело к созданию автоматических устройств, производящих разбраковку по определенным параметрам.

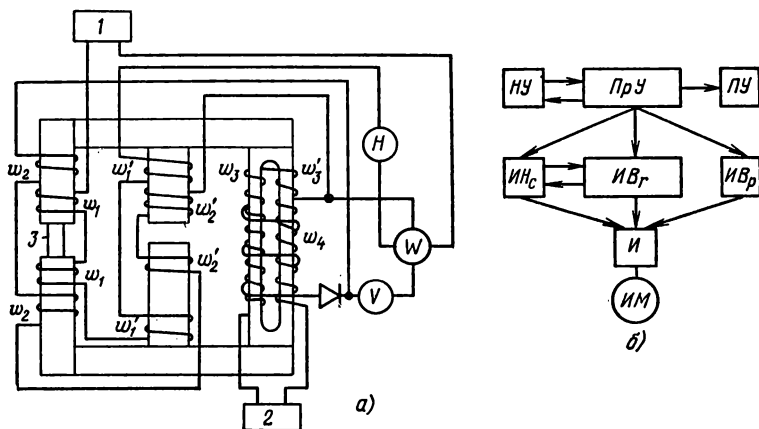


Рис. 10-12. Схема автоматического устройства для контроля параметров ПМ (а); схема установки Владимирского политехнического института для контроля ПМ (б).

В Новочеркасском НИИ постоянных магнитов разработано устройство для серийного контроля ПМ простой формы путем сравнения характеристик эталонных и испытуемых магнитов одинаковой геометрии [10-4]. Устройство (рис. 10-12, а) обеспечивает измерение индукции, напряженности поля и магнитной энергии. Измеритель индукции представляет собой сердечник с двумя возбуждающими w_3 и w_3' и одной выходной w_4 обмотками. Обмотки w_3 и w_3' питаются переменным током от источника 2. Сердечник измерителя индукции перемагничивается потоком испытуемого образца 3. Напряжение выходной обмотки w_4 выпрямляется и измеряется вольтметром V , градуированным в единицах измерения магнитной индукции. Напряженность магнитного поля определяется по постоянной намагничивающих катушек w_1 и w_1' и току в них. Пропорциональную зависимость между током и напряженностью поля образца обеспечивают дополнительные катушки w_2 и w_2' , компенсирующие магнитное со-

противление магнитопровода и воздушного зазора. Питание намагничивающих катушек осуществляется от источника постоянного тока I . Магнитная энергия ПМ определяется с помощью ваттметра W , токовая обмотка которого соединена последовательно с амперметром H , контролирующим ток намагничивающих обмоток.

Описываемое устройство не предусматривает коррекции выходных величин в зависимости от сечения и длины испытуемого магнита, поэтому оно может быть рекомендовано для контроля одного типоразмера ПМ.

Во Владимирском политехническом институте разработана установка для магнитной подготовки и разбраковки ПМ из сплава ЮНДК-24 (рис. 10-12, б). Магниты считаются годными, если измеренные параметры больше заданных значений. Намагничивающее устройство $HУ$ состоит из датчика поля инфранизкой частоты, усилителя мощности и электромагнита, в зазоре которого устанавливается контролируемое изделие. Измерительное устройство осуществляет контроль ПМ по трем параметрам: H_c , B_r , B_p ($ИH_c$, $ИБ_r$, $ИБ_p$). В первых двух каналах используются индукционные преобразователи, запрессованные в гнездо поворотного стола. В канале $ИБ_p$ используется преобразователь магнитной индукции в частоту, построенный на базе кольцевого феррита с нанесенной на него обмоткой. Автоматический цикл работы начинается с перемагничивания ПМ пятью импульсами разной полярности для магнитной подготовки. После окончания пятого импульса программное устройство ПрУ дает команду на измерения H_c и B_r , получаемая информация поступает в узел памяти измерительных каналов. Шестой импульс воздействует на поворотное устройство $ПУ$, и контролируемый ПМ ставится в зону «контроль B_p », а в зазор электромагнита подается очередной ПМ. При наличии трех сигналов (H_c , B_r и B_p) срабатывает элемент $И$ и исполнительный механизм $ИМ$ пропускает магнит в бункер годных. Если один из сигналов отсутствует, магнит попадает в бункер брака. Производительность установки составляет примерно 6 шт. в минуту.

Описанные способы непосредственного отсчета измеряемых параметров используются и для контроля ПМ более сложной конфигурации.

Так, контроль коэрцитивной силы ПМ в виде двухполюсных роторов может проводиться при тех же условиях, что и контроль H_c образцов МТМ с учетом определенных рекомендаций по расположению испытуемого ПМ относительно чувствительных элементов M и H .

Для контроля ПМ подковообразной и цилиндрической формы с отверстием вдоль оси может быть использована методика непосредственного измерения параметров размагничивающей кривой при определенном месте расположения первичных преобразователей с введением поправок, учитывающих магнитный поток в отверстии магнита. Определение кривых размагничивания на магнитах, используемых в электроизмерительных приборах, форма которых представлена на рис. 10-13, а—е, может проводиться в замкнутой магнитной цепи. Измерительные обмотки магнитной индукции имеют такую же форму, как и сечение ПМ. Особое внимание уделяется выбору метода измерения напряженности магнитного поля. Сопоставление резуль-

татов измерения [10-3] на магнитах более простой формы (рис. 10-13) показало, что наибольшая погрешность получается при использовании потенциометра. Условием, обеспечивающим достаточную точность измерения (порядка 5%), является использование плоской катушки с площадью, в 3—4 раза меньшей площади, на которой располагается измеритель.

Создание замкнутой магнитной цепи для ПМ (рис. 10-13, а, з) требует наличия специальных полюсных наконечников (рис. 10-13, ж).

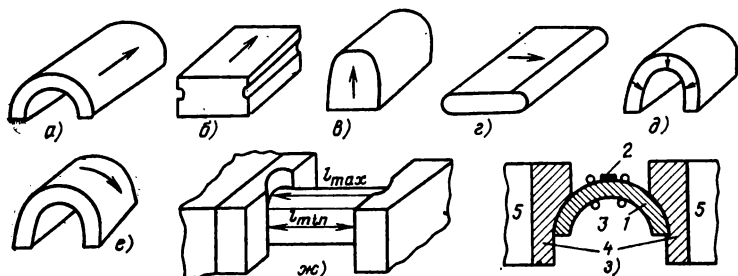


Рис. 10-13. Постоянные магниты сложной формы для измерительных приборов.

Однако и в этом случае имеет место неоднородное намагничивание ПМ из-за различного расстояния между эквипотенциальными поверхностями полюсных наконечников

$$H_{min} = F/l_{max}; \quad H_{max} = F/l_{min},$$

где F — м. д. с. ПМ; l_{min} , l_{max} — минимальная и максимальная длины ПМ.

Так как измеряемая индукция является средней по сечению, следовало бы иметь напряженность поля

$$H_{cp} = \frac{2}{b} \int_0^{b/2} H_i dx, \quad (10-9)$$

где b — ширина ПМ.

В какой-то мере такое усреднение дает плоская катушка с шириной, немного меньшей ширины грани с l_{max} .

Для случая рис. 10-13, е рекомендуется использовать наконечники с поверхностью замыкания, равной примерно половине поверхности ПМ (рис. 10-13, з: здесь 1 — постоянный магнит, 2 — измерительная катушка поля, 3 — измерительная обмотка индукции, 4 — полюсные наконечники, 5 — полюсы ЭМ). Если ПМ изготовлен из изотропного материала, то испытание его можно вести в удобных

для этого условиях. Если ПМ в готовом виде намагничен радиальным полем (рис. 10-13, е), испытывать его можно, намагничивая вдоль оси полукольца. Общими же требованиями при испытании ПМ сложной геометрической формы должны быть: обеспечение замкнутой магнитной цепи; обеспечение достаточно однородного намагничивающего поля; применение конструкции измерительных катушек ин-

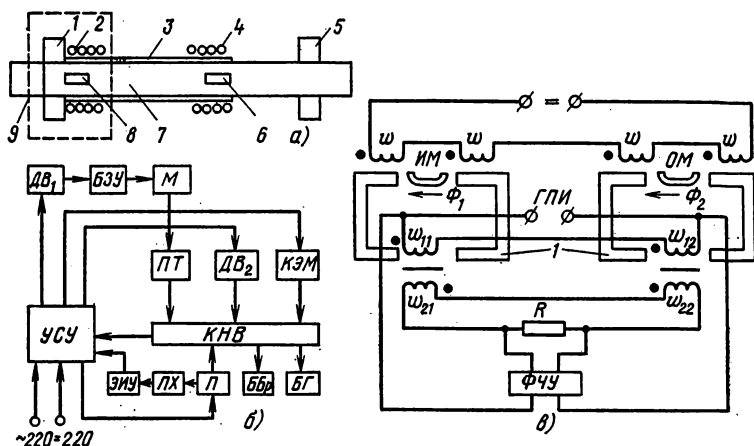


Рис. 10-14. Схема дифференциального устройства для контроля ПМ (а); схема автомата для разбраковки постоянных магнитов (б); схема устройства для контроля ПМ с насыщающими трансформаторами (в).

дукции, при которой витки охватывают сечение собственно ПМ; применение катушек поля таких размеров, при которых они располагаются в однородном поле у поверхности ПМ.

С целью исключения ошибок измерения из-за нестабильности работы схем отсчета параметров ПМ часто используют метод сравнения. Примером реализации его является устройство контроля ПМ, основанное на нулевом индукционно-импульсном методе сравнения магнитных потоков (рис. 10-14, а). В трубу 7 из немагнитного материала помещают образцовый 8 и испытуемый 6 магниты. На второй трубе 3 также из немагнитного материала намотаны две измерительные обмотки 2, 4, включенные последовательно-встречно. Труба вместе с обмотками перемещается между упорами 1 и 5. Образцовый и испытуемый магниты имеют одинаковые размеры и изготовлены из одного и того же материала. Погрешность измерения для однотипных ПМ определяется в основном нестабильностью образцового магнита.

Сравнительная оценка дифференциальных методов контроля ПМ с использованием преобразователей Холла показывает, что наиболее эффективной является дифференциальная схема по магнитному по-

току для контроля ПМ в рабочей точке и мостовая схема по магнитному потоку для контроля ПМ по размагничивающему участку петли магнитного гистерезиса.

На базе дифференциальных схем работает автомат для разбраковки постоянных магнитов [10-6]. Способ контроля заключается в сравнении рабочих участков кривой размагничивания испытуемого и образцового магнита. Функциональная схема автомата приведена на рис. 10-14, б. Испытуемые ПМ загружаются в бункер автомата. Механизм бункера загрузочного устройства БЗУ, приводимый в действие двигателем ДВ₁, захватывает магниты, ориентирует их определенным образом и подает в магазин М. Далее ПМ поступают в питатель ПТ, который за каждый такт работы выдает по одному магниту в гнездо конвейера карусельного типа КНВ, представляющий собой диск с четырьмя симметрично расположенными гнездами. За такт диск поворачивается на $\frac{1}{4}$ окружности. Контролируемый магнит проходит операции: захват магнита КНВ; перемагничивание и контроль свойств, выброс бракованных ПМ в бункер брака ББр, выброс годных ПМ в бункер годных БГ. В начале каждого такта КНВ запускает устройство синхронизации и управления УСУ, которое осуществляет переключение обмоток электромагнита П по заданной программе. На электронное измерительное устройство ЭИУ от преобразователя Холла ПХ подается сигнал разности потоков испытуемого и образцового магнитов. Преобладание той или другой величины определяет фазу сигнала, который в свою очередь является определяющим для сортировки ПМ. Вращение КНВ осуществляется от специального двигателя ДВ₂. Классифицирующий электромагнит КЭМ служит для пропуска ПМ в годные. Магнитопроводом электромагнита является трехстержневая магнитная система. Погрешность за счет отклонения размеров при контроле ПМ не компенсируется. Производительность автомата 10 000 шт. за смену.

В устройствах с датчиками магнитного потока типа насыщающих трансформаторов сравниваются не сами потоки, а пропорциональные им электрические сигналы. Схема подобного устройства приведена на рис. 10-14, в, где ω — силовые обмотки намагничивающего устройства; ОМ и ИМ — образцовый и испытуемый магниты; I — магнитопроводы электромагнита; R — сопротивление нагрузки дифференциальной схемы; Φ_1 и Φ_2 — потоки образцового и испытуемого магнитов; ГПИ — генератор прямоугольных импульсов; ω_{11} и ω_{12} — первичные обмотки насыщающихся трансформаторов; ω_{21} и ω_{22} — вторичные обмотки насыщающихся трансформаторов; ФЧУ — фазочувствительный усилитель. При совпадении характеристик перемагничиваемых ОМ и ИМ на выходе дифференциальной схемы сигнал отсутствует. Если характеристики ПМ отличаются, то на выходе ФЧУ появляются однополярные импульсы. Полярность их указывает на знак, а ширина — на разность магнитных потоков. Из-за низкой чувствительности и сложности измерительных узлов устройства с насыщающимися трансформаторами менее перспективны по сравнению с дифференциальными магнитными системами.

Установка для контроля шлифованных внутрирабочных ПМ диаметром 15—35 мм и высотой 10—30 мм имеет функциональные узлы, связь между которыми приведена на рис. 10-15, а. От управляющего устройства УУ поступают сигналы на включение соответствую-

ющих цепей блока питания *БП*: силовых цепей постоянного тока электромагнита *ЭМ* и размагничивающей обмотки *РО*; силовых цепей импульсного тока для намагничивающей обмотки *НО*; цепей питания измерителей магнитной индукции *В* и напряженности поля *Н* и устройства контроля *УК*. В качестве первичных преобразователей используются феррозонды — для измерения *В* и ПХ — для измерения *Н*. Принцип работы установки основан на сравнении характери-

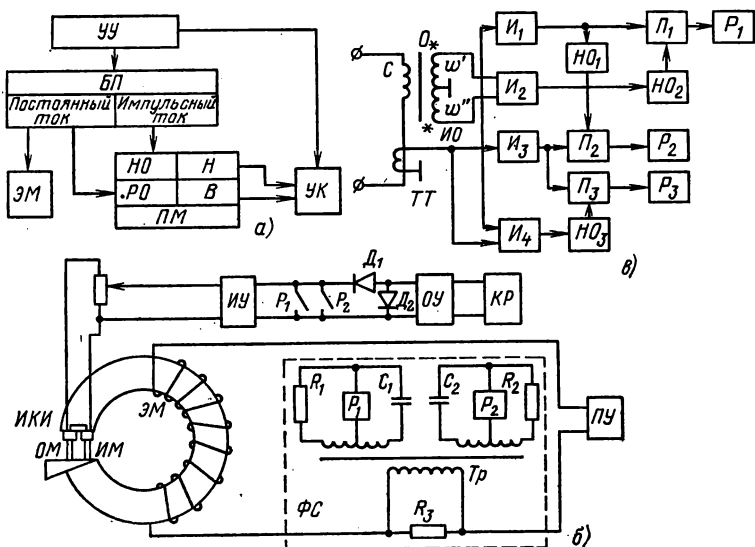


Рис. 10-15. Схемы устройства для контроля ПМ.

а — для ПМ простой формы; *б* — по разностному методу испытания; *в* — с импульсным перемагничиванием ПМ.

стик образцового и испытуемого ПМ на участке кривой размагничивания от значения *В*, меньшего *В_г*, до точки вблизи *Н_с*. Установка позволяет определять ось термомангнитной обработки ПМ, намагничивать ПМ автоматически трехкратно повторяющимся импульсом тока, сравнивать характеристики *ОМ* и *ИМ*, определяя кривую $\Delta B = (B_{\text{н}} - B_0) = f(H)$, автоматически разбраковывать ПМ. Источником магнитного поля является мостовая магнитная система. Устройство контроля работает в режимах измерения и разбраковки. В первом случае *Н* измеряется ПХ, а разностное значение магнитного потока — феррозондом. Сигнал с ПХ подается на реле, отключающее ток в *РО* при значениях *Н*, соответствующих *Н_с* контролируемых ПМ в пределах от 0 до 120 кА/м. Сигнал с феррозонда через фазочувствительный выпрямитель подается на потенциометр. В режиме «Раз-

браковка» разница этого сигнала и опорного воздействует на поляризованное реле так, что годные ПМ не вызывают срабатывания реле. Время разбраковки одного ПМ 5 с. Время измерения координат одной точки 8 с.

Функциональная схема устройства, реализующего разностный метод испытания и непрерывно-индукционный способ измерения, представлена на рис. 10-15, б. В качестве намагничивающего устройства используется тороидальный электромагнит ЭМ, в зазоре которого с помощью клина размещаются испытуемый и образцовый ПМ. Клин выполняется разрезным: одна его половина зажимает образцовый магнит ОМ, другая — испытуемый ИМ. Питание ЭМ осуществляется от тиристорного переключателя ПУ с независимым возбуждением колебательного контура. Частота намагничивающего тока 5—7 Гц. Измерительные обмотки индукции ИКИ, имеющие одинаковые площади и числа витков, соединены встречно. Магниты ИМ и ОМ располагаются параллельно друг другу. Сигнал с ИКИ поступает на интегрирующее устройство ИУ. В устройстве используется фазовый селектор ФС, предназначенный для выделения из всего разностного сигнала участка, соответствующего спинке петли магнитного гистерезиса. Фазовый селектор состоит из двух цепочек (R_1C_1 и R_2C_2) и источников переменной э. д. с., получаемой с помощью резистора R_3 и трансформатора Тр от источника намагничивающего тока.

Фазовращатели управляют работой поляризованных реле P_1 и P_2 , контакты которых шунтируют выход ИУ для получения сигнала разности на участке от V_r до 0. Диоды D_1 и D_2 образуют сектор полярности с целью обеспечения однозначного срабатывания классифицирующего реле КР, т. е. срабатывания только при прохождении негодных магнитов. Оконечный усилитель ОУ предназначен для усиления сигналов, появляющихся при наличии ПМ с заниженными характеристиками. Описываемый автомат для разбраковки ПМ малых размеров обеспечивает погрешность разбраковки $\pm 1,5\%$ и производительность контроля 2000 шт. в час.

В последнее время все большее внимание уделяется импульсным устройствам для намагничивания высококоэрцитивных материалов на основе сплава РЗМ-Со. Поэтому естественно стремление использовать их и для контроля качества ПМ. Примером разработки устройства для производственного контроля качества ПМ при импульсном перемагничивании является установка УИК-2. Схема ее приведена на рис. 10-15, в, где С — соленоид, О — испытуемый образец, ИО — измерительные обмотки с числом витков w' и w'' , ТТ — токовый трансформатор, И — интеграторы, НО — нуль-органы, P_1 — P_3 — устройства памяти, Р — регистраторы. Индукционный преобразователь выполнен в виде двух обмоток с одинаковым числом витков ($w'' = w'$), намотанных с некоторым зазором ΔS одна на другую. Обмотки включены последовательно-встречно и помещаются в нейтральное сечение магнита, причем обмотка w' используется для измерения потока намагниченности, а разность сигналов обмоток w' и w'' несет информацию о среднем значении тангенциальной составляющей результирующей напряженности поля. Напряженность внешнего перемагничивающего поля измеряется с помощью ТТ по току соленоида С.

Перед измерением размагниченный ПМ с измерительными обмотками помещается в соленоид и намагничивается импульсом тока до насыщения. Устройство памяти P_1 запоминает сигнал, пропорциональный остаточной намагниченности M_r . Измерение $H_{св}$ осуществляется в момент равенства нулю потока вектора индукции в нейтральном сечении ПМ. Сигналом об этом служит управляющий импульс HO_1 , который воздействует на устройство памяти P_2 . Аналогично работает канал для измерения $H_{сМ}$ (I_3 , P_3), причем памятью P_3 управляет HO_3 , на вход которого поступает сигнал, пропорциональный намагниченности. Установка УИК-2 работает совместно с импульсным намагничивающим устройством и обеспечивает относительные испытания магнитов одного типоразмера в диапазоне $M_r = 0 \div 1000$ кА/м, $H_{св} = 0 \div 1000$ кА/м; $H_{сМ} = 0 \div 2000$ кА/м. Погрешность измерения не превышает 1,5%. Индикация результатов осуществляется при помощи трех цифровых вольтметров типа Ф-210.

СПИСОК ЛИТЕРАТУРЫ

К введению

В-1. Стрнат К. Дж. Обзор и анализ промышленных магнитов из редкоземельных металлов с кобальтом. — В кн.: Магниты из сплавов редкоземельных металлов с кобальтом. М.: Металлургия, 1978.

В-2. Evershed S. Permanent magnets in theory and practice. — IEEE, 1920, vol. 58, p. 780—825.

В-3. Пику Р. Постоянные магниты. Расчет и техника применения: Пер. с фр. ГНТИ, 1931.

В-4. Аркадьев В. К. Электромагнитные процессы в металлах. М.: ОНТИ, 1935.

В-5. Разумовский Н. Н. Применение метода постепенного интегрирования к магнитным системам, подвергнутым магнитной стабилизации частичным размагничиванием. — Известия электропромышленности слабого тока, 1940, № 11, с. 56—58.

В-6. Underhill E. Designing stabilized permanent magnets. — Electronics, 1944, vol. 17, № 1, p. 118—121, 310, 313, 314, 316.

В-7. Сенкевич А. М. Постоянные магниты / пособие к проектированию / М.: Изд. ВВИА им. Жуковского, 1947.

В-8. Ротерс Г. Электромагнитные механизмы: Пер. с англ. М.: Госэнергоиздат, 1949.

В-9. Сливинская А. Г. и Гордон А. В. Постоянные магниты. Л.: Энергия, 1965.

В-10. Арнольд Р. Р. Расчет и проектирование магнитных систем с постоянными магнитами. М.: Энергия, 1969.

В-11. Коген-Далин В. В. и Комаров Е. В. Расчет и испытание систем с постоянными магнитами. М.: Энергия, 1977.

В-12. Дерягин А. В. Редкоземельные магниты. — Успехи физических наук, 1976, т. 120, вып. 3, с. 393—437.

В-13. Брехна Г. Сверхпроводящие магнитные системы. М.: Мир, 1976.

В-14. Пентлика С., Пубо П. Моментный маховик на магнитных подшипниках. — В кн.: Магниты из сплавов редкоземельных металлов с кобальтом. Пер. с англ. М.: Металлургия, 1978, с. 185—198.

В-15. Веди Х. П., Шиндлингер Р. С. R-Co-магниты для нового поколения двигателей и магнитных подшипников высокоскоростных двигателей. Там же, с. 175—184.

В-16. Штудер Ф. А. Новый моментный двигатель постоянного тока. Там же, с. 156—160.

В-17. Эффлек С. А. Применение R-Co-магнитов в прецизионных акселерометрах. Там же, с. 93—102.

В-18. Люпольд Х. А., Ротварф Ф. Разработка настраиваемой магнитной цепи для СВЧ-фильтров с полосами частот от 18 до 26,5 ГГц (К) и от 26,5 до 40 ГГц (Ка). Там же, с. 115—131.

В-19. Лимэн Дж., Ямамура А. Магнитные подшипники и высокие скорости вращения. Там же, с. 161—174.

В-20. Бейли Л. Дж., Рихтер Е. Разработка быстроходного генератора с номинальной мощностью 200 кВ·А на постоянных магнитах из сплава R-Co. Там же, с. 144—155.

В-21. Нудлман С. Применение постоянных магнитов на основе редкоземельных элементов в двигателях постоянного тока. Там же, с. 132—143.

В-22. Уайтли Е. Многофункциональный датчик скорости с применением R-Co магнитов. Там же, с. 103—107.

В-23. Джаффи В., Герр Дж. Новые направления в конструировании приводов с использованием редкоземельных магнитов. Там же, с. 73—78.

В-24. Тейлор Р. Дж., Вэйпрайт Д. П. Характеристики и стоимость магнитов из редкоземельных металлов с кобальтом с полимерными связками. Там же, с. 222—224.

К гл. 1

1-1. Аркадьев В. К. Электромагнитные процессы в металлах. М.: ОНТИ, 1935.

1-2. Гаврилов А. Н., Чижиков Ю. В. Технология магнитных элементов для приборов и средств автоматики и вычислительной техники. М.: Энергия, 1974.

1-3. Гехер К. Теория чувствительности и допусков электронных полей. М.: Советское радио, 1973.

1-4. Калашников С. Г. Электричество. М.: Наука, 1970.

1-5. Кривоногов В. К., Чеботаренко В. Я. Некоторые особенности топографии магнитного поля радиально намагниченных магнитов из феррита бария, имеющих центральное отверстие. — Труды НИИ-автоприборов, 1975, вып. 1 (35).

1-6. Мельников Ю. А. Постоянные магниты электровакуумных СВЧ приборов. М.: Советское радио, 1967.

1-7. Миткевич А. В. Стабильность постоянных магнитов. М.: Энергия, 1971.

1-8. Пятин Ю. М. Магнитные цепи с постоянными магнитами. — В кн.: Приборостроение и средства автоматики, т. 2, кн. 2, М.: Машиностроение, 1964.

1-9. Румшицкий Л. З. Математическая обработка результатов экспериментов. М.: Наука, 1971.

1-10. Сенкевич А. М. Постоянные магниты (пособие к проектированию). М.: изд. ВВИА им. Жуковского, 1947.

1-11. Сухоруков Р. Ю. Аналитическое исследование точности магниторезистивных потенциометрических датчиков. — В кн.: Тезисы докладов Всесоюзной научно-технической конференции «Совершенствование технологии приборостроения на основе последних достижений науки и техники». М.: 1973.

1-12. Тейлор К., Дарби М. Физика редкоземельных соединений. М.: Мир, 1974.

К гл. 2

- 2-1. Балагуров В. А., Голтеев Ф. Ф., Ларионов А. Н. Электрические машины с постоянными магнитами. М.: Энергия, 1964.
- 2-2. Boerdijk A. H. Levitation by static magnetic fields. Philips Technical Review 18, 1956—1957, 4—5, p. 125—127.
- 2-3. Boutry, Evrard, Perrin. Metrologie-mesure absolue tres bosses prassions au moyen d'un dispositif radiometrique a suspension diamagnetique. — Comptes Rendus des Seances de R'Academie des Sciences, 251, № 1, 70—73.
- 2-4. Braunbeck W. Freischwebende Körper im elektrischen und magnetischen Feld. — Z. f. Physik, 1939, Bd 112, H. 7—8.
- 2-5. Злобин В. А., Муромкина Т. С., Поспелов П. В. Изделия из ферритов и магнитодиэлектриков. М.: Советское радио, 1972.
- 2-6. Earnshaw S. Transactions Cambridge Philips Society, 1842, vol. 7.
- 2-7. Кошелев Б. В., Курис Э. Д. Оценка максимальной силы в диамагнитном подвесе. — Труды МАИ. Системы ориентации и навигации и их элементы, 1978, вып. 42.
- 2-8. Понизовский В. М. Свободный подвес диамагнитных тел в постоянном магнитном поле. — Успехи физических наук. 1970, т. 100, вып. 3.
- 2-9. Понизовский В. М., Кошелев Е. А. Пассивный диамагнитный подвес. — Труды МАИ. Системы ориентации и навигации и их элементы, 1978, вып. 42.
- 2-10. Шабашов А. П., Николаев Е. А. Магнитные системы для передачи движения через перегородку. — Вестник машиностроения, 1970, № 6.
- 2-11. Steingrower E., Frank S. Indikations-Mebwerk mit freischwebendem Läufer. — Elektrotechnische Zeitschrift, Bd 19, H. 25, S. 716—719.

К гл. 3

- 3-1. Арнольд Р. Р. Расчет и проектирование магнитных систем с постоянными магнитами. М.: Энергия, 1969.
- 3-2. Буль Б. К. Основы теории и расчета магнитных цепей. М.: Энергия, 1964.
- 3-3. Говорков В. А. Электрические и магнитные поля. М.: Госэнергоиздат, 1960.
- 3-4. Гордон А. В., Сливинская А. Г. Электромагниты постоянного тока. М.: Госэнергоиздат. 1960.
- 3-5. Зейн Е. Н. Исследование магнитной проводимости между боковыми поверхностями соосных цилиндрических магнитопроводов. — В кн.: Научные труды Всесоюзного заочного машиностроительного института, 1974, т. 24.
- 3-6. Cramp W., Calderwood N. I. The calculation of air-space flux. — IEE Journal, 1923.
- 3-7. Любчик М. А. Силовые электромагниты аппаратов и устройств автоматики постоянного тока. М.: Энергия, 1974.

- 3-8. Пику Р. Постоянные магниты. М.: ГНТИ, 1931.
- 3-9. Пятин Ю. М. Расчет электрических элементов измерительных приборов. М.: Машиностроение, 1965.
- 3-10. Пятин Ю. М., Рейттан Э. Я., Дмитриев С. В. О распространенной ошибке, допускаемой при расчете воздействия внешнего поля на постоянный магнит. Приборы и системы управления, 1970, № 2.
- 3-11. Ротерс Г. Электромагнитные механизмы: Пер. с англ. М.: Госэнергоиздат, 1949.
- 3-12. Сотсков Б. С. Основы расчета и проектирования электро-механических элементов автоматических и телемеханических устройств. М.: Энергия, 1965.

К гл. 5

- 5-1. Альтман А. Б. Зависимость магнитных свойств металлокерамических постоянных магнитов от пористости. — Физика металлов и металловедение, 1967, т. 4, № 1.
- 5-2. Постоянные магниты из порошков / Альтман А. Б., Гладышев П. А., Мелашенко И. П., Мемелов В. Л., Сорокина В. Н. Эйсурович А. С. — Информационно-технический сборник, ЦБТИ МЭП, 1956, вып. 15.
- 5-3. Постоянные магниты: Пер. с англ. / Справочник под ред. Л. Ш. Казарновского. М.: Госэнергоиздат, 1963.

К гл. 6

- 6-1. Грацианов Ю. А., Пасечная В. В. Исследование пластичности сплава ЮНДК-24. — Сборник трудов ЦНИИЧМ, 1969, вып. 71, с. 114—119.
- 6-2. Грацианов Ю. А., Пасечная В. В. Особенности деформируемых железоникельалюминиевых сплавов для постоянных магнитов. — В кн.: Применение прецизионных сплавов в приборо- и агрегатостроении. Саратов: НТИ, 1971, с. 89—93.
- 6-3. Грацианов Ю. А., Рябинкин А. Г. Влияние химического состава и режимов термической обработки на магнитные свойства высококоэрцитивных кобальт-платиновых сплавов. — Сборник трудов ЦНИИЧМ, 1968, № 51, с. 90—97.
- 6-4. Грацианов Ю. А., Рябинкин А. Г. Высококоэрцитивные кобальт-платиновые сплавы. — Электричество, 1965, № 10, с. 86—87.
- 6-5. Мастяев Н. З., Орлов И. Г. Гистерезисные электродвигатели. Ч. 1. М.: Энергия, 1963.
- 6-6. Ми Ч. Физика магнитной записи: Пер. с англ. М.: Энергия, 1967.
- 6-7. Прецизионные сплавы / Справочник под ред. Б. В. Молотилова. М.: Металлургия, 1974.
- 6-8. Шур Я. С., Лужинская М. Г., Шубина Л. А. Влияние упругих напряжений и термомеханической обработки на магнитные свойства высококоэрцитивных сплавов. — Физика металлов и металловедение, 1957, № 9, с. 1275—1279.

К гл. 8

8-1. Зак А. Л., Сухоруков Р. Ю. Электромагнитное поле в зазоре систем с магнитами из сплавов SmCo_5 . — Электротехника, 1976, № 8.

8-2. Martin D. L., Benz M. G. Magnetization change for Cobalt Rare Earth Permanent magnet Alloys when Heated up to 650°C — «IEEE Trans. on Magn». 1972, v. May-8, № 1, p. 35.

К гл. 9

9-1. Редкоземельные ферромагнетики и антиферромагнетики / Белов К. П., Белянчикова М. А., Левитин Р. З. и др. М.: Наука, 1965.

9-2. Влияние химического состава, термической обработки и условий технологии производства на магнитные свойства сплавов типа супермендюркос / Елютин О. П., Красных В. И., Шопов Б. Н. и др. — Сборник ЦНИИЧМ «Прецизионные сплавы», 1968, № 64.

9-3. Пшеченкова Г. В., Скоков А. Д. Температурная зависимость индукции магнитного насыщения сплавов системы железокобальт. — Физика металлов и металловедение, 1962, № 14, с. 797.

9-4. Пшеченкова Г. В., Скоков А. Д. Магнитные сплавы для работы при высоких температурах. — Электричество, 1964, № 4, с. 79.

9-5. Скоков А. Д. Магнитная анизотропия железокобальтовых сплавов. — Физика металлов и металловедение, 1967, № 24, с. 240.

9-6. Скоков А. Д., Пшечникова Г. В. Магнитная анизотропия сплавов типа пермендюр. — Физика металлов и металловедение, 1968, № 26.

К гл. 10

10-1. Андриевский Е. А. Измерение параметров постоянных магнитов. Киев: Техника, 1977.

10-2. А. С. № 345459 (СССР). Андриевский Е. А., Лесник Л. Н., Непокрый Я. Ф. Коэрцитиметр. Оpubл. в Б. И., 1972, № 22.

10-3. Астапенко М. Ф., Игнатовская Г. Я., Чечурина Е. Н. Определение магнитных характеристик материала на готовых магнитах. — Труды ин-тов Комитета стандартов, мер и измерительных приборов, 1965, вып. 79 (139), с. 116—119.

10-4. А. С. № 161421 (СССР). Конашинский А. В., Конашинский Ю. А. Устройство для серийного контроля постоянных магнитов. Оpubл. в Б. И., 1964, № 7.

10-5. Лобынцев Е. С. Измерение коэрцитивной силы образцов высококоэрцитивных материалов при помощи преобразователей Холла. — Измерительная техника, 1975, № 5, с. 63—64.

10-6. Пеккер И. И., Доманов А. Д. Автомат для разбраковки постоянных магнитов по магнитным свойствам. — Тр. ин-тов Госкомитета, 1962, вып. 64(124), с. 123—128.

10-7. Пузей И. М., Сабинин П. Г. Электромагнит для физико-химических исследований. — Приборы и техника эксперимента, 1960, № 1, с. 104.

10-8. Скоков А. Д., Красавин Ю. И., Пузей И. М. Топография поля мощного электромагнита, работающего в режиме пересыщенных наконечников. — Приборы и техника эксперимента, 1977, № 3, с. 195.

10-9. Скоков А. Д., Потапов Н. Н., Красавин Ю. И. Использование тиристорного преобразователя типа ПТТР 460-200 в качестве блока питания лабораторного электромагнита. — Приборы и техника эксперимента, 1974, № 3, с. 240.

10-10. Февралева Н. Е. Магнитотвердые материалы и постоянные магниты. Киев: Наукова думка, 1969.

10-11. Февралева Н. Е. Устройства для определения характеристик МТМ. — В кн.: Вопросы общего электроприборостроения. Киев: АН УССР, 1960, с. 156—163.

10-12. Шихин А. Я. Автоматические магнитоизмерительные системы. М.: Энергия, 1977.

10-13. Шихин А. Я., Казаков В. Н. Преобразователь магнитной индукции с компенсирующим устройством. — Измерительная техника, 1973, № 7, с. 51—52.

10-14. Устройство для испытания магнитотвердых материалов / Шихин А. Я., Казаков В. Н., Лагутин О. Б. и др. Киев: Наукова думка, 1971, с. 58—65.

О Г Л А В Л Е Н И Е

Предисловие	3
Введение	5

Г л а в а п е р в а я

Основные характеристики магнитно-твердых материалов

1-1. Основные величины, единицы и уравнения магнетизма	10
1-2. Виды магнетизма	15
1-3. Магнитные свойства материалов	23
1-4. Классификация магнитно-твердых материалов	34
1-5. Магнитные параметры отечественных магнитно-твердых материалов	44
1-6. Магнитные параметры зарубежных магнитно-твердых материалов	49
1-7. Расчетные характеристики размагничивания и характеристики магнитного возврата для материалов, выпускаемых в СССР	67
1-8. Аппроксимация кривой размагничивания и петли магнитного возврата	102
1-9. Теоремы подобия магнитных систем	108
1-10. Выбор материала для магнита	108
1-11. Стабильность постоянных магнитов	114
1-12. Методика расчета технологической точности и температурной стабильности рабочего потока магнитных систем	121

Г л а в а в т о р а я

Конструкции магнитных систем с постоянными магнитами

2-1. Общие положения	127
2-2. Магнитные системы измерительных приборов	128
2-3. Магнитные системы светолучевых осциллографов	135
2-4. Магнитные системы приборов радиоэлектроники	137
2-5. Магнитные системы электрических машин	138
2-6. Магнитные системы муфт и редукторов	152
2-7. Магнитные системы опор и фиксаторов	156
2-8. Постоянные магниты поляризованных магнитных систем	164

2-9. Нормальные ряды литых магнитов простейшей формы	168
2-10. Нормальные ряды ферритовых магнитов	172
2-11. Нормальные ряды магнитов и магнитных систем сложной формы	178

Глава третья

Расчет магнитных систем с постоянными магнитами

3-1. Общие положения	185
3-2. Расчет магнитов с арматурой методом отношений	186
3-3. Расчет магнитов без арматуры методом В. К. Аркадьева (методом размагничивающего фактора)	194
3-4. Расчет магнитов без арматуры методом эквивалентного соленоида	202
3-5. Взаимодействие магнита и стороннего поля	211
3-6. Расчет сил взаимодействия стержневых магнитов методом эквивалентных диполей	217
3-7. Расчет магнитных систем силовых магнитных опор энергетическим методом	219
3-8. Расчет защиты измерительных приборов от полей рассеяния сильных постоянных магнитов	228
3-9. Реализация требуемой характеристики распределения поля в рабочей зоне магнита	237
3-10. Расчет магнитных систем приборов радиоэлектроники	244
Методика и порядок расчета	244
Примеры расчета	246
3-11. Расчет проводимости воздушных путей магнитного потока	267

Глава четвертая

Технология изготовления литых постоянных магнитов

4-1. Изготовление отливок	306
4-2. Термическая обработка сплавов типа альнико	319
4-3. Обработка поверхностей литых магнитов	323
4-4. Изготовление магнитов из сплавов альнико методом пластической деформации	330

Глава пятая

Технология изготовления магнитов из порошков

5-1. Технология изготовления металлокерамических магнитов	335
5-2. Технология изготовления магнитов из композиций	340

Глава шестая

Технология изготовления магнитов и других изделий из пластически деформируемых магнитно-твердых сплавов

6-1. Магнитно-твердые деформируемые сплавы общего назначения	346
6-2. Сплавы для изготовления активной части роторов гистерезисторных двигателей, полутвердых материалов	360
6-3. Сплавы для носителей магнитной записи	367

Глава седьмая

Технология изготовления ферритовых магнитов

7-1. Магниты из феррита бария	371
7-2. Магниты из феррита стронция	374
7-3. Режимы механической обработки ферритов бария и стронция	375
7-4. Магниты из феррита кобальта	375
7-5. Зависимость магнитных параметров ферритов от температуры	376
7-6. Устойчивость магнитных параметров ферритов	377

Глава восьмая

Технология изготовления магнитов из интерметаллических соединений

8-1. Магниты из редкоземельных металлов (РЗМ)	377
8-2. Магниты из интерметаллических соединений марганца	381
8-3. Технологическое обеспечение расчетного значения магнитного потока в изделиях из РЗМ	384

Глава девятая

Материалы для арматуры постоянных магнитов

9-1. Общие сведения	387
9-2. Материалы для деталей магнитопроводов и деталей, осуществляющих магнитное экранирование	389
9-3. Материалы для концентраторов магнитного потока	417
9-4. Материалы для термомагнитных шунтов	433
9-5. Материалы для сплошных деталей с магнитными и немагнитными участками	435
9-6. Материалы для механической арматуры	440
9-7. Аморфные магнитные материалы	444

Глава десятая

Испытание магнитно-твердых материалов и постоянных магнитов, измерительная аппаратура

10-1. Основные требования, предъявляемые к испытуемым образцам и измерительным установкам	447
10-2. Общая классификация магнитно-измерительной аппаратуры, предназначенной для испытания постоянных магнитов	455
10-3. Методы и аппаратура для исследования характеристик магнитно-твердых материалов	456
10-4. Производственный контроль технологического процесса изготовления постоянных магнитов	466
10-5. Производственный контроль постоянных магнитов	470
Список литературы	478

Постоянные магниты: Справочник/Альтман А. Б.,
П 63 Герберг А. Н., Гладышев П. А. и др.; Под ред.
Ю. М. Пятина. — 2-е изд., перераб. и доп. — М.:
Энергия, 1980. — 488 с., ил.

В пер.: 1 р. 80 к.

В справочнике приведены материалы, необходимые для проектирования постоянных магнитов, характеристики размагничивания и магнитного возврата для магнитно-твердых материалов, данные о параметрах нормальных рядов постоянных магнитов и систем с постоянными магнитами, описаны технологии изготовления и обработки и свойства магнитов. Первое издание вышло в 1971 г. Новое издание дополнено материалами по технологии изготовления магнитов из редкоземельных материалов и измерению параметров постоянных магнитов.

Для инженерно-технических работников, занимающихся вопросами изготовления, расчета и проектирования постоянных магнитов.

П 30308-028
051(01)-80 119-80.

2302020000

ББК 31.235
6П2.1.06

Александр Борисович Альтман, Эдуард Евгеньевич Верниковский,
Александр Наумович Герберг, Петр Алексеевич Гладышев,
Юрий Александрович Грацианов, Евгений Николаевич Зейн,
Людмила Александровна Кавалерова, Юрий Михайлович Пятин,
Ювеналий Сергеевич Сакатунов, Виктор Георгиевич Сергеев,
Алексей Денисович Скоков, Рафаэль Юрьевич Сухоруков,
Анна Марковна Чернявская

ПОСТОЯННЫЕ МАГНИТЫ

Редактор *Е. Н. Зейн*

Редактор издательства *Н. Б. Фомичева*

Переплет художника *В. П. Осипова*

Технический редактор *Н. П. Собакина*

Корректор *М. Г. Гулина*

ИБ № 1929

Сдано в набор 25.06.79. Подписано в печать 18.02.80. Т-01071. Формат 84×108^{1/32}. Бумага типографская № 2. Гарн. шрифта литературная. Печать высокая. Усл. печ. л. 25,62. Уч.-изд. л. 28,59. Тираж 20 000 экз. Заказ № 64. Цена 1 р. 80 к.

Издательство «Энергия», 113114, Москва, М-14, Шлюзовая наб., 10

Владимирская типография «Союзполиграфпрома»
при Государственном комитете СССР по делам издательств,
полиграфии и книжной торговли
600000, г. Владимир, Октябрьский проспект, д. 7

1p. 80k